

СПРАВОЧНИК
ТЕРМИСТА

А. А. ШМЫКОВ

СПРАВОЧНИК
ТЕРМИСТА



А. А. ШМЫКОВ
канд. техн. наук

СПРАВОЧНИК ТЕРМИСТА

*Издание второе,
исправленное и дополненное*



ГОСУДАРСТВЕННОЕ НАУЧНО-ТЕХНИЧЕСКОЕ ИЗДАТЕЛЬСТВО
МАШИНОСТРОИТЕЛЬНОЙ ЛИТЕРАТУРЫ
Москва 1952

В справочнике в виде таблиц, формул и графиков приведены данные по применяемым в машиностроении маркам стали и процессам термической обработки деталей машин и инструментов, а также по печам, нагревательным установкам и приборам теплового контроля.

Справочник рассчитан на инженеров, техников и мастеров, и также может быть использован студентами при курсовом и дипломном проектировании.

Рецензенты:

канд. техн. наук Ю. А. Геллер
канд. техн. наук Н. Ф. Вязников

Редактор инж. Б. М. Глинер

Редактор графических материалов инж. В. Г. Карганов

*Редакция Энциклопедического справочника „Машиностроение“
И. о. зав. редакцией инж. М. Е. МАРКУС*

ПРЕДИСЛОВИЕ

На основе современных научных достижений в последние годы быстрыми темпами развивается наука о металлах и их термической обработке, основоположником которой является великий русский ученый Д. К. Чернов.

Качество деталей машин и инструментов, их высокие механические и требуемые техническими условиями физико-химические свойства в значительной степени зависят от термической и химикотермической обработки, применяемой на различных стадиях производства.

Современные процессы термической обработки металлов весьма разнообразны и разделяются на процессы, связанные:

а) с аллотропическими, структурными, карбидными превращениями, происходящими во всем объеме или только в поверхностных слоях обрабатываемых деталей при нагреве до определенной температуры, выдержке при ней и охлаждении с определенной скоростью (отжиг, нормализация, закалка, отпуск, старение и обработка при температуре ниже нуля);

б) с изменениями химического состава в поверхностных слоях обрабатываемых деталей с последующим их упрочнением (или без него) посредством химикотермической обработки (цементация, азотирование, цианирование, аллитирование, хромирование, силицирование, борирование и т. д.).

В нашей стране современное состояние науки о термической обработке стали характеризуется следующим:

1. На основе работ советских ученых внесены принципиальные уточнения в так называемые S-образные кривые изотермического распада аустенита в области мартенситного превращения, а также выявлено влияние легирующих элементов на кинетику изотермического превращения аустенита.

2. На основе работ советских ученых (работы школы члена-корреспондента АН СССР Г. В. Курдюмова) с большой достоверностью выяснены природа и свойства мартенсита и характер превращений, происходящих при отпуске.

3. На основе работ советских ученых установлена количественная зависимость влияния легирующих элементов на прокаливаемость стали.

4. Изучение и разработка процессов термической обработки высокопрочных легированных сталей. Принципиально разрешена проблема легирования стали.

5. Широкое изучение и внедрение процессов поверхностной закалки при электронагреве токами высокой частоты. В этой области проводятся работы в ряде институтов и заводов.

6. Изучение превращений аустенита при температурах ниже нуля.

7. В области химико-термической обработки стали научными достижениями являются результаты изучения: а) диффузионных процессов; работами советских ученых установлена количественная характеристика процессов азотирования, изучены физические основы диффузионных процессов; б) влияния легирующих

элементов на процессы диффузии; в) ряда новых химико-термических процессов, например, силицирования, борирования, хромирования, вольфрамирования, молибденирования и т. п.; г) процессов окисления и обезуглероживания стали и методов защиты от них; работами советских ученых установлена кинетика процессов окисления и обезуглероживания сталей, количественная характеристика процессов и др.

В области металловедения и термической обработки металлов за последние годы произошли значительные изменения, способствовавшие повышению эффективности технологических процессов и повышению качества деталей машин и инструментов.

Московская конференция машиностроителей и Уральская конференция металловедов-термистов (г. Свердловск) отметили следующие достижения в области металловедения и термической обработки:

- а) широкая механизация и автоматизация процессов термической обработки;
- б) дальнейшее развитие процессов поверхностной закалки с применением различных методов нагрева — т. в. ч., в электролите и газокислородным пламенем;
- в) дальнейшее развитие изучения процессов, связанных с превращениями, происходящими в стали при нагреве и охлаждении;
- г) определены новые факторы, влияющие на прочность стали;
- д) определены факторы, влияющие на деформацию стали при термической обработке, и др.

Достижением является также выход в 1950—1951 гг. крупных трудов-монографий по металловедению и термической обработке, обобщающих опыт заводов, научно-исследовательских институтов и учебных заведений страны, а именно: „Проблемы металловедения и физики металлов“. Термическая обработка металлов, УралНИТОМАШ, Материалы конференции, Машгиз, 1950; А. Н. Минкевич „Химико-термическая обработка стали“, Машгиз, 1950; И. Н. Кидин „Термическая обработка стали при индукционном нагреве“, Металлургиздат, 1950 (за указанный труд И. Н. Кидину присуждена Сталинская премия); „Автомобильные конструкционные стали“, Справочник под редакцией А. П. Гуляева и И. С. Козловского, Машгиз, 1950; А. Д. Ассонов „Термическая обработка деталей машин“, Машгиз, 1951; С. Ф. Юрьев „Деформация стали при химико-термической обработке“, Машгиз, 1950; А. Г. Солодихин „Механизация процессов термической обработки“ (альбом чертежей) и др. Изданы также труды основоположника научного металловедения Д. К. Чернова (1950), избранные труды С. С. Штейнберга (1950) и сборник трудов П. П. Аносова, Н. В. Калакуцкого, А. А. Ржешотарского, Н. И. Беляева, А. Л. Бабошина и др. (1951).

В 1951 г. закончили работу Заочные курсы по металловедению и термической обработке ВНИТОМАШ. Машгизом издано 45 выпусков лекций указанных курсов,

Все больший масштаб приобретают научно-исследовательские работы в центральных заводских лабораториях и в научно-исследовательских институтах и высших учебных заведениях.

За работы, проведенные в 1950 г., правительство присудило Сталинские премии группе металловедов-термистов Московского автозавода имени И. В. Сталина — А. Д. Ассонову, В. И. Прядилову, В. Т. Чирикову, И. Е. Чернышеву, Д. И. Констаненко и Н. К. Лабутину.

Сталинская премия присуждена тт. Волкову и Садовскому за разработку процесса светлой закалки стали в соляных ваннах и А. Н. Минкевичу за разработку и внедрение высокопроизводительных методов химико-термической обработки стали.

Дальнейшее развитие металлургии и машиностроения привело к необходимости изменения, уточнения и дополнения некоторых важнейших ГОСТ. Введены новые ГОСТ: 380-50, Сталь углеродистая горячекатанная обыкновенного качества; 2335-50, Поковки из углеродистой стали общего назначения; 2334-50, Поковки из легированной стали общего назначения; 5950-51, Сталь инструментальная легированная; 5952-51, Сталь инструментальная быстрорежущая; 5632-51, Сталь высоколегированная нержавеющая, жаропрочная и сплавы с высоким омическим сопротивлением; 5639-51, Сталь. Метод определения величины зерна; 5657-51, Сталь конструкционная. Испытание на прокаливаемость и другие.

Данное издание справочника является вторым (первое издание вышло в конце 1950 г.), исправленным и дополненным. Однако в нем, так же как и в первом издании, из-за недостаточного объема неполностью освещены вопросы теории процессов термической обработки и данные по оборудованию термических цехов.

При составлении справочника автором использованы различные наиболее достоверные литературные данные, материалы заводов и институтов и в некоторой части свои работы (ссылки на основные источники указаны в тексте).

В данном издании справочника приведены материалы по термической обработке конструкционных и инструментальных сталей, а также чугуна. Из-за ограниченного объема не приводятся данные о цветных сплавах и некоторых специальных марках стали; более подробные данные читатель может получить в Справочнике машиностроителя, т. 1 и 2, Машгиз, 1951.

Справочник состоит из пяти глав.

Глава I содержит краткие биографические данные о выдающихся русских ученых-металловедах и термистах.

В главе II приводятся краткие сведения о физических величинах и константах.

Глава III содержит сведения о химическом составе и свойствах стали и чугуна.

Глава IV является основной и содержит сведения по технологическим процессам термической обработки.

В главе V даются сведения по оборудованию — печам, нагревательным установкам и приборам для контроля тепловых процессов.

Глава I

ВЫДАЮЩИЕСЯ РУССКИЕ УЧЕНЫЕ МЕТАЛЛОВЕДЫ-ТЕРМИСТЫ

Современное состояние науки о металлах и их термической обработке во многом обязано трудам русских ученых-исследователей и инженеров-производственников. Гений русской научной мысли проявился еще в период царского самодержавия, преодолевая иностранное влияние, сознательно поддерживаемое правящими классами. Ломоносов, Менделеев, Попов, Кулибин, Чернов являются гениальными пионерами науки.

В царской России при сравнительно слабо развитой промышленности вообще, и особенно машиностроительной русские ученые — Аносов, Чернов, Ржешотарский, Калакуцкий и др.—явились новаторами и основоположниками научного металловедения.

С особой силой талант русских ученых-металловедов проявился после Великой Октябрьской социалистической революции.

П. П. АНОСОВ (1797—1851 гг.)

Заслугами П. П. Аносова, который в течение многих лет был начальником Златоустовского металлургического завода, являются:

1. Разработка методов изготовления и свойств булатов. П. П. Аносов пришел к убеждению, что булат является наиболее „совершенной“ сталью, сочетающей в себе высокую твердость, высокую упругость, хорошую вязкость и исключительные режущие свойства. Он считал, что булат может найти применение не только в военном деле, но и для изготовления инструментов и деталей машин. Труды П. П. Аносова о булатах опубликованы в Горном журнале: „О приготовлении литой стали“ (1837 г.) и „О булатах“ (1841 г.).

2. Разработка и внедрение в заводскую практику (1841 г.) микроскопического метода исследования металлов.

В своей работе „О булатах“ П. П. Аносов писал: „На выполированном и вы-



травленном куске видны были местами в микроскоп узоры, подобные по расположению булатным“ *.

3. Определение зависимости между структурой стали и ее свойствами.

4. Изучение влияния различных элементов — углерода, марганца, хрома и титана на свойства стали (1841 г.). П. П. Аносов установил, что из всех элементов только углерод повышает твердость закаленной стали **.

5. Разработка процесса газовой цементации (1837 г.).

П. П. Аносов производил цементацию железа окисью углерода и при этом

* На Западе метод микроскопического анализа был применен англичанином Сорби лишь спустя 23 года (1864 г.) после опубликования работ Аносова.

** Это свойство углерода было вторично „открыто“ американцами Барисом, Муром и Арчесом в 1938 г., т. е. через сто лет после открытия, сделанного Аносовым.

указывал, что существовавший в то время взгляд на процесс цементации, как происходящий только за счет соприкосновения угля с железом, является неверным***.

6. Исследование процесса отжига и его влияния на свойства стали.

Труды П. П. Аносова имели большое значение для сельского хозяйства того времени. Аносовым разработан состав и изучены свойства стали для кос, а также разработана технология их изготовления.

За усовершенствование производства кос в 1838 г. «Московское общество сель-

ского хозяйства» присудило П. П. Аносову золотую медаль.

Решением Советского правительства предусмотрено сооружение П. П. Аносову памятника в г. Златоусте. В учебных заведениях введены стипендии и учреждены премии его имени за лучшие работы в области металлургии, металловедения и термической обработки стали. Златоустовскому техникуму присвоено имя Аносова.

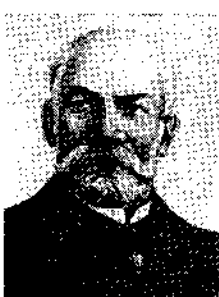
*** На Западе первые заметки по газовой цементации были опубликованы Брухом в 1906 г. («Metallurgie»).

Д. К. ЧЕРНОВ (1839—1921 гг.)

Дмитрий Константинович Чернов — отец металлографии, основоположник научного металловедения и современных методов термической обработки стали.

Основными его работами являются: «Критический обзор статей гг. Лаврова и Калакунского о стали и стальных орудиях и собственные Д. К. Чернова исследования по этому же предмету» (1868 г.); «Исследования, относящиеся до структуры литьих стальных бояванок» (1878 г.); «Об изготавливении стальных бронепробивающих снарядов» (1885 г.).

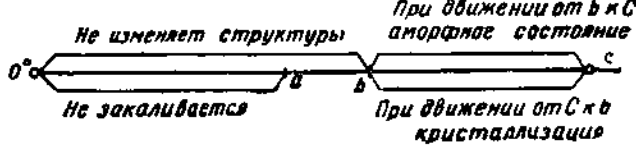
В первом исследовании Д. К. Чернов экспериментально, без термопар и гальванометра, которые в то время еще не применялись в промышленности, показал, что во время нагрева и охлаждения стали происходят превращения при определенных температурах в зависимости от ее химического состава. Эти температуры были названы им „особыми точ-



Д. К. Чернов является создателем атомистической теории аллотропии железа и стали.

Критические точки по Чернову связаны с перестройкой атомов в пространственной решётке, чем определяется физическая сущность превращений железа и стали.

Д. К. Чернов — создатель современного представления о теории процессов закалки и отпуска стали. „Так, например, подобно тому, как мы рассматривали изменение структуры стали в зависимости от того или другого относительного расположения и группировки сложных частиц стали, можно рассматривать и явления закалки и отпуска как результат того или другого расположения и группировки атомов в сложной частице стали“. Открытые им точки на температурной шкале (фиг. 3) и указания о продолжительности процессов закалки и отпуска совпадают с современными данными: точка d (200°) близка к точке M_1



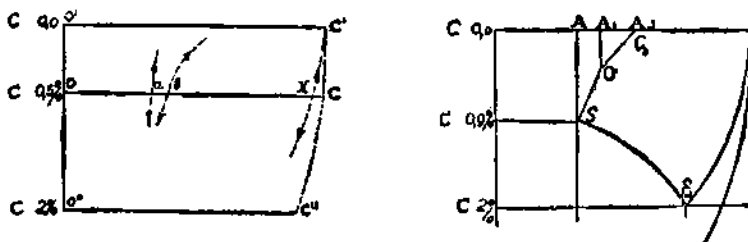
Фиг. 1.

ками“ и обозначены буквами a и b (фиг. 1 и 2). Эти точки являются критическими точками аллотропического превращения стали по современной диаграмме „железо — углерод“.

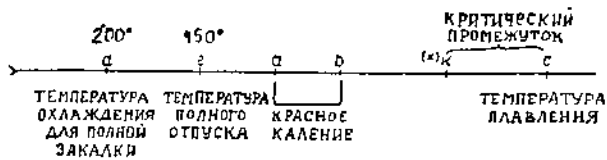
мартенситного превращения (С. С. Штейнберг); точка e (450°) указывает на окончание фазовых превращений при отпуске (распад аустенита, мартенсита и образование феррита + Fe_3C); точки a и

b — критические точки аллотропических превращений; точки *k* и *c* определяют интервал плавления.

являются основой современных методов изотермической обработки стали и чугуна.



Фиг. 2.



Фиг. 3.

Д. К. Чернов сделал вывод, что структурный фактор обуславливает объемные изменения при закалке и отпуске.

Существует неразрывная связь между увеличением объема и твердостью стали и изменением во взаимной группировке атомов углерода и железа". Впоследствии эта его идея была полностью подтверждена экспериментальными работами советского ученого М. Г. Окунова и др.

Во втором исследовании Д. К. Чернов впервые сформулировал теорию кристаллизации стали. В частности, им было дано правильное представление о центробежном литье.

Учение Д. К. Чернова о строении стального слитка является классическим и излагается в каждом учебнике по металлографии.

Развитые в дальнейшем акад. А. А. Бочваром работы Д. К. Чернова являются основой современного учения о кристаллизации стали.

В третьем исследовании об изготовлении бронепробивающих снарядов Д. К. Черновым предложен процесс изотермической обработки стали, резко повышающий прочность стали при одновременно высокой ее вязкости. Эти его работы, развитые в дальнейшем С. С. Штейнбергом и его учениками,

Проф. А. А. Ржешотарский (1847—1904 гг.) — продолжатель деятельности Д. К. Чернова на Обуховском заводе. В 1895 г. он организовал на этом заводе первую в России металлографическую лабораторию.

На основе работ металлографической лаборатории Ржешотарский издал в 1898 г. широко известный в свое время труд „Микроскопическое исследование железа, стали и чугуна“, положивший начало практическим руководствам по металлографии. В указанном труде он развил учение Д. К. Чернова о закалке стали и предложил, вопреки установившейся традиции, оценивая роль и значение трудов русских ученых металловедов, следующую терминологию в названии структур стали: железит — практически чистое железо (вместо феррита); стальит — неопределенное соединение углерода с железом (вместо перлита); закалит — главная составная часть закаленной стали (вместо мартенсита).

Н. В. Калакуцкий (1831—1889 гг.) впервые указал на существование в стальных изделиях внутренних напряжений и разработал метод их определения.

В своей работе „Исследование внутренних напряжений в чугуне и стали“ (1888 г.) он указал, что внутренние напряжения в зависимости от характера работы изделия могут быть полезными и вредными. „Нет никакого основания, ни расчета оставлять в металле вредные напряжения. Каждый завод должен для увеличения сопротивления выделяемых предметов пользоваться силами, заключенными внутри металлических масс, и сообразно этому видоизменять существующие или устанавливать новые способы фабрикации“.

Проф. Н. И. Беляев (1877—1920 гг.) разработал одну из важнейших областей металлографии — учение о макростроении стали, основы которой были заложены Д. К. Черновым. Н. И. Беляев совместно с Н. Т. Гудцовым провел классические работы по механическим свойствам стали с применением комплекс-

ных методов исследования („О пределе упругости стали“, ЖРМО № 3, 1914) и совместно с Б. В. Старком — первые работы по определению газов в стали.

С 1902 г. по 1916 г. Н. И. Беляев работал на бывшем Путиловском заводе. В 1904 г. он организовал на этом заводе металлографическую лабораторию, ставшую впоследствии образцовой, самой крупной и передовой не только в России, но и за ее пределами. Глубокое и систематическое изучение свойств стали привело Н. И. Беляева к убеждению в необходимости постройки в России завода по производству специальных сортов стали. По его проектам выстроен завод „Электросталь“, пущенный в эксплуатацию после Великой Октябрьской социалистической революции, в декабре 1917 г. Он был первым его техническим руководителем, создателем многих марок качественной стали (быстро режущей, автомобильной, для самолетостроения и др.).

Н. С. КУРНАКОВ

(1861—1941 гг.)

Акад. Николай Семенович Курнаков — крупнейший металловед-теоретик, создатель науки о физических методах исследования сплавов и законов их образования. Им установлены фазы, обладающие сингулярными точками, а также химические соединения переменного состава. Данное Н. С. Курнаковым определение интерметаллического соединения признано классическим.

При изучении большого количества двойных и тройных систем Н. С. Курнаков сконструировал и построил особый самопишуций пирометр, нашедший широкое применение при изучении свойств сплавов как в отечественных, так и в заграничных лабораториях.

Н. С. Курнакову принадлежит заслуга в создании при Академии наук школы специалистов по физико-химическому анализу металлов и сплавов. Им опубликовано 179 работ, из которых половина относится к изучению металлов и спла-



вов. Основные из них: „О взаимных соединениях металлов“ (1899 г.), „Нахождение сплава определенного состава по методу плавкости“ (1901 г.), „О номенклатуре интерметаллических соединений“ (1913 г.), „Соединение и химический индивид“ (1913 г.), „Сингулярные точки химических диаграмм“ (1921 г.), „Непрерывность химических превращений вещества“ (1922 г.), „Растворы и сплавы“ (1928 г.), „Топология равновесной химической диаграммы“ (1932 г.).

Работы Н. С. Курнакова изданы также в виде двух капитальных сборников: „Введение в физико-химический анализ“ (изд. 1925, 1928, 1935 и 1940 гг.) и „Собрание избранных работ“ (1938—1939 гг.), которые в настоящее время являются руководящими материалами для каждой металлографической лаборатории.

Многочисленные работы Курнакова показывают, что металлография и наука о термической обработке являются ча-

стью науки — физической химии, и к нему как к физико-химику в полной мере приложимы слова великого Ломоносова: «Химик без знания физики, подобен человеку, который всего искать должен ощупом. И сии две науки так соединены между собой, что одна без другой в совершенстве быть не могут».

Все процессы химико-термической обработки — цементация, азотирование, цианирование и др., а также процессы

окисления металлов могут быть объяснены только на основе законов физической химии. Взаимосвязь внешней среды с поверхностью нагреваемого металла осуществляется как посредством химического взаимодействия, так и путем физической адсорбционной связи. Явления, протекающие при этом во внутренних слоях металла, осуществляются под воздействием физической адсорбционной связи.

С. С. ШТЕЙНБЕРГ

(1872—1940 гг.)

Член-корреспондент АН СССР Сергей Самойлович Штейнберг — создатель Уральской школы металловедов-термистов, занимающей одно из ведущих мест в наиболее прогрессивной советской науке. Начав свою практическую работу в должности мастера мартеновского цеха Юрзинского завода (1906 г.), С. С. Штейнберг, благодаря своему таланту и исключительному трудолюбию, стал крупнейшим ученым с мировым именем и развел советское металловедение и науку о термической обработке стали.

Особенно полно развернулась научная деятельность С. С. Штейнberга после Великой Октябрьской социалистической революции, когда началась социалистическая реконструкция промышленности всей страны и, в частности, Урала. Он является одним из организаторов Уральского научно-исследовательского института черных металлов, Уральского филиала Академии наук СССР и основателем лаборатории металловедения этого филиала.

Основной заслугой С. С. Штейнберга является изучение проблемы «аустенит и его превращения», во всем многообразии связанных с этим превращениями явлений и получением конечных результатов.

Как работы Д. К. Чернова дали основы понимания аллотропических превращений, происходящих в сплавах железа с углеродом, так и работы С. С. Штейн-



берга по кинетике превращений переохлажденного аустенита дали основы современной практики термической обработки стали.

Центральным в этой проблеме является вопрос о закалке стали. Старые представления о процессе закалки как фиксации с помощью быстрого охлаждения определенных стадий распада переохлажденного твердого раствора на его составные части принципиально изменены. По Штейнбергу закалка не есть простая фиксация определенных стадий распада аустенита, а более сложное явление, слагающееся из диффузионных (переохлаждающихся) и бездиффузионных (неперохлаждающихся) процессов. Основным в новой теории является признание специфики мартенситного превращения как бездиффузионного (скачкообразный переход количественных изменений в качественные). В этой связи принципиально важно уточнение так называемых S-образных кривых изотермического распада аустенита в области мартенситного превращения и уточнение положения и зависимости от различных факторов точки начала и конца мартенситного превращения (точки *M* по Штейнбергу).

Учениками С. С. Штейнберга при его непосредственном участии проведено большое количество работ для решения этой проблемы; при этом достигнуты результаты, имеющие практическое применение, — разработаны рациональные

методы отжига легированной стали, режимы изотермической закалки, дан анализ действия различных охлаждающих сред и методы расчета критической скорости охлаждения при закалке, разработаны новые способы закалки и многократный отпуск быстрорежущей стали, установлена необходимость дифференцированного подхода к назначению режимов термической обработки для стали различного металлургического типа и различных плавок, главным образом в зависимости от размера зерна.

Разработанная С. С. Штейнбергом диаграмма кинетики изотермического распада аустенита с положением мартенситной точки и установление кинетики распада аустенита и превращений мартенсита, происходящих при отпуске, дополненные исследованиями В. Г. Курдюмова, дают современное представление о теории закалки и отпуска стали.

С. С. Штейнберг был не только крупнейшим ученым, но и прекрасным педагогом и обладал крупным лекторским талантом. С 1925 г. он заведывал кафедрой металловедения и термической обработки Уральского индустриального института имени С. М. Кирова. Его перу принадлежит более ста работ. Из них классическим является трехтомный учебник по металловедению. Помимо этого им был написан ряд популярных брошюр для мастеров и рабочих по самым разнообразным вопросам металлургии, например: „Электропечь“, „Ферросплавы“, „Высококачественный чугун“, „Трансформаторное железо“, „Слиток стали“, „Отжиг и закалка стали“, „Вредные примеси в стали“, „Шарикоподшипниковая сталь“ и др., а также отдельные лекции по термической обработке для стахановцев-термистов.

* * *

Акад. А. А. Байков (1870—1946 гг.) — ученик Д. И. Менделеева — изучил систему „медь — сурьма“ и дал общее определение закалки сплавов. А. А. Байков впервые экспериментально исследовал структуру аустенита и указал на непостоянство химического состава цементита (по Байкову цементит — твердый раствор железа в графите). В 1902 г. А. А. Байков создал в Ленинградском политехническом институте первую учебную металлографическую лабораторию и ввел курс металлографии, который до сих пор читается в каждом техническом

вузе. А. А. Байков — страстный патриот своей Родины. Умер он в 1946 г. на посту депутата Верховного Совета Союза ССР и вице-президента Академии наук Союза ССР (см. Избранные труды А. А. Байкова, т. 2, изд. Академии наук ССР).

*

Проф. А. Л. Бабошин (1872—1938 гг.) создал теорию отжига стали, установил научно обоснованные требования к рельсовой стали и разработал методы термической обработки рельсов, бандажей, паровозных и вагонных осей [по Бабошину (1904 г.) фактором, повышающим сопротивление рельсов сжатию, является не твердость, а предел упругости].

А. Л. Бабошин впервые описал структурно свободный цементит в котельном железе. Учебник А. Л. Бабошина „Металлография и термическая обработка железа, стали и чугуна“ в течение многих лет являлся основным пособием в подготовке инженеров металловедов-термистов.

Проф. А. М. Бочвар (1870—1947 гг.), основатель учебных и научно-исследовательских металлографических лабораторий МВТУ, провел наиболее полные исследования антифрикционных сплавов, в частности, баббитов. На основе этих исследований создан оригинальный стандарт советских баббитов, действующий до настоящего времени.

Проф. М. Г. Окнов (1878—1942 гг.) — продолжатель научной деятельности Д. К. Чернова и А. А. Ржешотарского. С 1903 по 1905 г. М. Г. заведывал металлографической лабораторией б. Обуховского сталелитейного завода, а с 1907 г. работал на кафедре общей металлургии в Петербургском политехническом институте. М. Г. Окновым создан курс металлографии чугуна и написан первый в мире учебник по этому курсу. Крупными, имевшими в свое время (1915—1931 гг.) мировое значение, являются его работы, посвященные изучению превращений в эвтектоидных сплавах во взаимосвязи с происходящими при этом объемными изменениями.

Труд М. Г. Окнова „Топливо и его сжигание“ долгое время являлся основным учебником для металлургических и машиностроительных вузов.

* * *

Проф. докт. техн. наук К. Ф. Грачев (1880—1948 гг.) — ученик А. М. Бочвара — крупный ученый-металловед, кузнец и термист, начавший свой творческий путь в лаборатории Брянского машиностроительного завода. К. Ф. Грачев (совместно с Н. А. Минкевичем) является основоположником широкого изучения свойств и применения легированной

специальной стали. Организовав в 1923 г. Комиссию по высококачественной специальной стали, он налаживает производство этой стали на Молотовском, Пензенском, б. Обуховском и других заводах. Книги К. Ф. Грачева „Специальные стали“ и „Металловедение“ долгое время служили учебными пособиями для студентов вузов и руководствами для инженеров-производственников.

Н. А. МИНКЕВИЧ

(1883—1942 гг.)

Проф. докт. техн. наук Николай Анатольевич Минкевич — крупнейший ученый-металловед, практик и непосредственный участник индустриализации нашей страны, участник строительства первенцев Сталинских пятилеток. Богатые дарования и совершенно исключительная трудоспособность Н. А. Минкевича не могли найти себе достойного применения в условиях дореволюционной России. Только после Октябрьской социалистической революции его деятельность приобрела широкий размах.

Н. А. Минкевич являлся руководителем и непосредственным участником работ по определению, назначению и разработке технологических процессов термической обработки стали для деталей новых машин: самолетов, автомобилей, тракторов и других изделий промышленности периода первых пятилеток.

Огромная по размаху и народнохозяйственному значению работа проделана Н. А. Минкевичем в области создания качественной металлургии, специального машиностроения и изыскания новых легированных марок стали. Им разработано большое количество малолегированных конструкционных и инструментальных (быстрорежущих) марок стали, содержащих минимум или совсем не содержащих ценных легирующих элементов — никеля, молибдена, вольфрама и др. За эти работы в 1941 г. Правительство удостоило Н. А. Минкевича звания лауреата Сталинской премии.

Н. А. Минкевич является пионером изучения и внедрения процесса газовой



цементации в практику советского машиностроения. В 1933 г. Н. А. Минкевич совместно с инж. С. Г. Шевахиным впервые провел работы по цементации стали парами нефтепродуктов, масел и других жидкостей, содержащих углерод. Проведенная им же совместно с проф. С. К. Ильинским и Е. И. Просвириным работа по изучению процесса цементации газом пиролиза керосина легла в основу разработки конструкции печи и пиролизной установки, первые образцы

которых были внедрены в практику на Московском автозаводе имени И. В. Сталина.

В настоящее время процесс газовой цементации является обычным для большинства наших машиностроительных заводов.

С 1921 г. и до последних дней жизни Н. А. Минкевич руководил кафедрами металловедения и термической обработки металлов в Московской горной академии и Московском институте стали, являясь прекрасным педагогом советской высшей школы. Его перу принадлежит до 80 научных работ, в том числе такие капитальные руководства, как „Сталь“, „Стальные и чугунные полуфабрикаты в авиастроении“, „Свойства, тепловая обработка и назначение стали и чугуна“, „Печи и оборудование термических цехов“ и др. Указанные книги до сих пор являются учебными пособиями для студентов вузов и настольными руководствами для инженеров-производственников.

Оценивая заслуги Н. А. Минкевича, Правительство в 1934 г. присвоило ему

звание заслуженного деятеля науки и техники.

Горячий патриот своей Родины, Н. А. Минкевич проявил себя также и в качестве общественного деятеля. Дважды (в 1934 и 1939 гг.) он избирался депутатом Московского совета.

* *

Творческие возможности русского народа наиболее ярко проявились после Великой Октябрьской социалистической революции.

В период индустриализации страны широко развивается сеть научно-исследовательских институтов и заводских лабораторий, оборудованных по последнему слову техники.

Многие заводские лаборатории (например, ЧТЗ, УЗТМ, СТЗ, ХТЗ, ЗИС и др.), богато оснащенные оборудованием, являются крупнейшими научно-исследовательскими базами, внедряющими передовую технологию в промышленность.

В стране имеются специальные институты, призванные решать проблемы

металловедения и термической обработки. Академия наук Союза ССР и академии наук союзных республик ведут крупные исследовательские работы в области металловедения и термической обработки. Большие работы ведутся в Уральском филиале Академии наук. Школа УФАН является одной из ведущих школ металловедения.

Имеющие большое научное и практическое значение работы проводятся в Академии наук, учебных и научно-исследовательских институтах Украинской ССР. Самостоятельные научные школы прогрессивного, имеющего мировое значение, советского металловедения, созданы чл.-корр. АН СССР В. Г. Курдюмовым, акад. А. А. Бочваром и акад. Н. Т. Гудцовым.

Поддержка и внимание, оказываемые партией и правительством ученым и производственникам металловедам-термистам, открывают широкие возможности для дальнейшего развития прогрессивного советского металловедения.

Глава II

ФИЗИЧЕСКИЕ ВЕЛИЧИНЫ И КОНСТАНТЫ

В данной главе приведены физические величины и константы, имеющие общее значение.

ОБОЗНАЧЕНИЯ И РАЗМЕРНОСТИ ВЕЛИЧИН

Обозначение	Наименование величин	Размерность	Размерность в англо-американских единицах	Переводной множитель
L, l	Длина	$\text{м}, \text{ft}$	inch (in) — дюйм foot (ft) — фут	25,4 0,305
F, f	Площадь	$\text{м}^2, \text{sq ft}$	Sq. in — кв. дюйм Sq. ft — кв. фут	6,45 0,0929
V, v	Объем .	$\text{м}^3, \text{cu ft}$	Cu. in — куб. дюйм Cu. ft — куб. фут	16,387 0,0283
		м^3	USA gall — галлон	0,00878
\bar{v}	Удельный объем .	$\text{м}^3/\text{kg}$	Cu. ft/lb	0,0624
G, g	Вес	$\text{г}, \text{kg}$	ounce (oz) — унция pound (lb) — фунт	28,35 0,4536
α, ν	Объемный вес .	kg/m^3	long ton — большая тонна	1016,05
γ	Удельный вес		oz/cu. ft	1,0
A	Атомный вес		lb/cu. ft	16,0
M	Молекулярный вес		—	—
P, p	Давление	$\text{Нм вод. ст.}, \text{mm рт. ст.}$	$\begin{cases} \text{oz/Sq. in} \\ \text{in of water} \rightarrow \text{дюйм вод. ст.} \\ \text{in of mercury} \rightarrow \text{дюйм рт. ст.} \end{cases}$	44,0 25,4 345,5
		mm рт. ст.	$\frac{\text{lb}}{\text{Sq-in}}$	51,712
			$\frac{\text{lb}}{\text{Sq-ft}}$	4,88
			$\frac{\text{lb}}{\text{Sq-in}}$	0,0703
		kg/cm^2	$\frac{\text{ton}}{\text{Sq-in}}$	157,5
Q, q	Количество тепла		BTU — британская единица	0,252
Q_H	Теплотворность низшая . . .	$\text{kкал}/\text{кг}$	$\frac{\text{BTU}}{\text{lb}}$	0,555
Q_B	То же высшая	$\text{kкал}/\text{м}^3$	$\frac{\text{BTU}}{\text{Cu-ft}}$	4,899~8,9
q_v	Расход тепла удельный . . .	$\text{kкал}/\text{м}^2$	$\frac{\text{BTU}}{\text{Sq-ft}}$	2,712
q_f	То же	ж	$\frac{\text{BTU}}{\text{ft}}$	0,825
q_l			$\frac{\text{BTU}}{\text{lb}}$	0,555
$I,$	Теплосодержание (энталпия)	$\text{kкал}/\text{кг}$	$\frac{\text{BTU}}{\text{BTU}}$	1,0
c	Теплоемкость удельная . . .	$\text{kкал}/\text{кг·град}$	$\frac{\text{lb-degr F}}{\text{BTU}}$	1,488
λ	Коэффициент теплопроводности	$\text{kкал}/\text{ч·см·град}$	$\frac{\text{ft·h-degr F}}{\text{BTU}}$	

Продолжение

Обозна- чение	Наименование величины	Размерность	Размерность в англо-амери- канских единицах	Переводной множитель
λ	Коэффициент теплопроводности	$\frac{\text{ккал}}{\text{м}\cdot\text{час}\cdot\text{град}}$	$\frac{\text{BTU}}{\text{ft}\cdot\text{h}\cdot\text{degr F}}$	17,88
	Коэффициент температуропроводности	$\frac{\text{м}^2}{\text{ч}}$	$\frac{\text{ft}^2}{\text{h}}$	0,0929
	Коэффициент теплоотдачи (теплопередачи)	$\frac{\text{ккал}}{\text{м}^2\cdot\text{час}\cdot\text{град}}$	$\frac{\text{BTU}}{\text{Sq.ft}\cdot\text{h}\cdot\text{degr F}}$	4,88
K	Коэффициент теплопередачи	$\frac{\text{ккал}}{\text{м}^2\cdot\text{час}\cdot(\text{°K})^4}$	—	—
C_s	Коэффициент лучеиспускания (константа излучения) абсолютно черного тела	$\frac{\text{ккал}}{\text{м}^2\cdot\text{час} \cdot (\text{°K})^4}$	—	—
	Степень черноты серого тела $\epsilon = \frac{C}{C_s}$	—	—	—
ρ	Плотность	$\frac{\text{кг}\cdot\text{сек}^2}{\text{м}^4}$	$\frac{\text{lb}\cdot\text{sec}^2}{\text{ft}^4}$	52,7
μ	Коэффициент динамической вязкости	$\frac{\text{кг}\cdot\text{сек}}{\text{м}^2}$	$\frac{\text{lb}\cdot\text{sec}}{\text{Sq.ft}}$	4,9
	Коэффициент кинематической вязкости	$\text{м}^2/\text{ч}$	$\frac{\text{Sq.ft}}{\text{sec}}$	0,0929
P	Производительность печи (стакана, машины)	кг/час	$\frac{\text{lb}}{\text{h}}$	0,4536
P_f	Удельная производительность печи	$\text{кг}/\text{м}^3\text{час}$	$\frac{\text{lb}}{\text{Sq.ft}, \text{b}}$	4,88
P_u	То же	$\text{кг}/\text{м}^3\text{час}$	$\frac{\text{lb}}{\text{Cu-ft}, \text{b}}$	16,0
B	Расход топлива	$\frac{\text{кг/час}}{\text{м}^3/\text{час}}$	$\frac{\text{lb}}{\text{h}}$ $\frac{\text{Cu-ft}}{\text{h}}$	0,4536 0,0283
	Расход топлива удельный	$\frac{\text{кг/кг}}{\text{м}^3/\text{кг}}$	$\frac{\text{lb}}{\text{lb}}$ $\frac{\text{Cu-ft}}{\text{lb}}$	1,0 0,0625
W	Расход электроэнергии	$\text{kвт}\cdot\text{ч}$	kWh	—
φ_w	Расход электроэнергии удельный	$\text{kвт}\cdot\text{ч}/\text{кг}$	$\frac{\text{kWh}}{\text{lb}}$	2,2
η	Коэффициент полезного действия	$\%$	—	—
η_u	Коэффициент использования топлива	$\%$	—	—
D	Коэффициент диффузии	$\frac{\text{см}^2/\text{сек}}{\text{см}^2/\text{час}}$	$\frac{\text{Sq.in}}{\text{sec}}$ $\frac{\text{Sq.in}}{\text{ft}}$	6,45; 1,791·10 ⁻³
A	Работа	$\text{кг}\cdot\text{м}$	$\frac{\text{lb}\cdot\text{ft}}{\text{BTU}}$	0,138; 107,6
N, W	Мощность (производительность)	$\text{квт}\cdot\text{сек}$	$\frac{\text{lb}\cdot\text{ft}}{\text{sec}}$	0,138

ОБОЗНАЧЕНИЯ ВЕЛИЧИН МЕХАНИЧЕСКОЙ ПРОЧНОСТИ

Обозначение	Наименование величин	Размерность
σ	Нормальное напряжение	$\text{кг}/\text{м}^2$, $\text{кг}/\text{см}^2$
σ_n	Номинальное нормальное напряжение	To же
$[\sigma]$	Допускаемое нормальное напряжение	
$[\sigma]_p$	То же при растяжении	
$[\sigma]_{\text{сж}}$	сжатии	
$[\sigma]_{\text{из}}$	" изгибе	
σ_s	Предел прочности (временное сопротивление)	
$(\sigma_a) \sigma_{sp}$	Предел прочности при растяжении	
$\sigma_{\text{сж}}$	сжатии	
$\sigma_{\text{из}}$	изгибе	
σ_t	Предел текучести	
$\sigma_{0,2}$	Предел текучести при допуске пластической деформации 0,2%	
σ_1	Предел выносливости при изгибе с симметричным циклом	
σ_{-1p}	Предел выносливости при растяжении и сжатии с симметричным циклом	
σ_{-1K}	Предел выносливости при наличии концентрации напряжений для изгиба с симметричным циклом	
σ_{pl}	Предел ползучести	
σ_d	Предел длительной прочности	
τ	Касательное напряжение	
τ_n	Номинальное касательное напряжение	
$[\tau]$	Допускаемое касательное напряжение	
$[\tau]_{cp}$	Допускаемое напряжение при срезе	
$[\tau]_k$	То же при кручении	
τ_{cr}	Предел прочности при срезе	
τ_b	" " кручении	
τ_T	Предел текучести при сдвиге	
τ_1	Предел выносливости при кручении	
τ_{-1K}	Предел выносливости при кручении при наличии концентрации напряжений	
φ	Угол закручивания относительный	
ψ	Относительное сужение площади поперечного сечения при разрыве	
δ	Относительное удлинение	$\%$
α_n	Ударная вязкость при надрезе образца удельная	$\text{дж}/\text{см}^2$
E_T	Модуль продольной упругости	$\text{кг}/\text{см}^2$
f	Модуль упрочнения	$\text{кг}/\text{см}^2$
L и l	Стрела прогиба, частота колебаний	
G	Длина, пролет	мм
M	Модуль свинга	$\text{кг}/\text{см}^2$
M_K	Изгибающий момент	$\text{кгс} \cdot \text{м}$
N	Крутящий момент	$\text{кгс} \cdot \text{м}$
n	Число циклов	
n_y	Запас прочности	
P	Запас устойчивости	
p	Сосредоточенная сила, внешняя нагрузка	кг ; т
Q	Нагрузка на единицу длины или поверхности, равнодействующее напряжение	$\text{кг}/\text{см}$; $\text{т}/\text{м}$ или $\text{кг}/\text{см}^2$; $\text{т}/\text{м}^2$
S	Нагрузка вес	кг ; т
S_K	Статический момент площади	см^3
t_k	Сопротивление отрыву	$\text{кг}/\text{м}^2$
δ, Δ	Сопротивление срезу	To же
a, β	Толщина, глубина	мм ; см
H	Коэффициент линейного расширения	$\text{мм}/\text{м} \cdot \text{град}$
H_B	Твердость	$\text{см}/\text{см} \cdot \text{град}$
H_R	Твердость при определении стальными шариком алмазным конусом	$\text{кг}/\text{м}^2$
H_V	алмазной пирамидой	
H_{Sh}	по методу упругой отдачи	

**СООТНОШЕНИЯ МЕЖДУ РАЗМЕРНЫМИ ЧИСЛАМИ
ТЕХНИЧЕСКОЙ (м, кг, час., ккал), ФИЗИЧЕСКОЙ [см, г (масса), сек., кал]
И ЭЛЕКТРИЧЕСКОЙ (см, сек, вт) СИСТЕМАМИ МЕР**

Количество тепла Q			
	дж	кет-ч	
1 ккал	1	4186	$1,163 \cdot 10^{-3}$
1 дж	$2,39 \cdot 10^{-4}$	1	$2,778 \cdot 10^{-7}$
1 кет-ч	860	$3,6 \cdot 10^4$	1

Теплопроводность λ			
	ккал м·час·град	ккал см·сек·град	вт см·град
$\frac{\text{ккал}}{\text{м} \cdot \text{час} \cdot \text{град}}$	1	$2,788 \cdot 10^{-3}$	$1,163 \cdot 10^{-2}$
$\frac{\text{ккал}}{\text{см} \cdot \text{сек} \cdot \text{град}}$	360	1	4,187
$\frac{\text{вт}}{\text{см} \cdot \text{град}}$	86,0	0,239	1

Удельная теплоемкость c			
	ккал $(\frac{\text{кал}}{\text{г} \cdot \text{град}})$	дж $(\frac{\text{г} \cdot \text{град}}{\text{кг} \cdot \text{сек}})$	$\frac{\text{квт} \cdot \text{ч}}{\text{кг} \cdot \text{град}}$
$\frac{\text{ккал}}{\text{кг} \cdot \text{град}} \left(\frac{\text{кал}}{\text{г} \cdot \text{град}} \right)$	1	4186	$1,163 \cdot 10^{-3}$
$\frac{\text{дж}}{\text{кг} \cdot \text{град}}$	$2,39 \cdot 10^{-4}$	1	$2,778 \cdot 10^{-7}$
$\frac{\text{квт} \cdot \text{ч}}{\text{кг} \cdot \text{град}}$	860	$3,6 \cdot 10^4$	1

Динамическая вязкость μ			
	$\frac{\text{кг} \cdot \text{час}}{\text{м}^2}$	Пуаз = $\frac{\text{з}}{\text{см} \cdot \text{сек}}$	$\frac{\text{кг} \cdot \text{сек}}{\text{м}^2}$
$\frac{\text{кг} \cdot \text{час}}{\text{м}^2}$	1	$3,532 \cdot 10^4$	3600
пуаз = $\frac{\text{з}}{\text{см} \cdot \text{сек}}$	$2,833 \cdot 10^{-6}$	1	0,0102
$\frac{\text{кг} \cdot \text{сек}}{\text{м}^2}$	$2,778 \cdot 10^{-4}$	98,1	1

Продолжение

Кинематическая вязкость ν и коэффициент температуропроводности α

	$\text{м}^2/\text{час}$	$\text{см}^2/\text{сек}$	$\text{м}^2/\text{сек}$
$\text{м}^2/\text{час}$	1	$2,778$	$2,778 \cdot 10^{-4}$
$\text{см}^2/\text{сек}$	0,36	1	$1 \cdot 10^{-4}$
$\text{м}^2/\text{сек}$	3600	10^4	1

Коэффициент теплопередачи α , K и коэффициент лучепускания C^*

	$\frac{\text{ккал}}{\text{м}^2 \cdot \text{час} \cdot \text{град}}$	$\frac{\text{кал}}{\text{см}^2 \cdot \text{сек} \cdot \text{град}}$	$\frac{\text{вт}}{\text{см}^2 \cdot \text{град}}$	$\frac{\text{ват}}{\text{м}^2 \cdot \text{град}}$
$\frac{\text{ккал}}{\text{м}^2 \cdot \text{час} \cdot \text{град}}$	1	$2,778 \cdot 10^{-5}$	$1,163 \cdot 10^{-4}$	$1,163 \cdot 10^{-3}$
$\frac{\text{кал}}{\text{см}^2 \cdot \text{сек} \cdot \text{град}}$	36 000	1	4,186	41,86
$\frac{\text{вт}}{\text{см}^2 \cdot \text{град}}$	8 600	0,239	1	10
$\frac{\text{ват}}{\text{м}^2 \cdot \text{град}}$	860	0,0239	0,1	1

Единица работы $A \text{ кгм} = 2,34 \text{ ккал} = 3,70 \cdot 10^{-6} \text{ д. с.} = 2,724 \cdot 10^{-6} \text{ кват} \cdot \text{ч} = 9,81 \text{ джоуля}.$
Единица мощности $W \text{ кгм/сек} = 9,81 \cdot 10^6 \text{ эрг/сек} = 1,33 \cdot 10^{-2} \text{ д. с.} = 0,981 \cdot 10^{-2} \text{ кват.}$

* Коэффициент лучепускания в знаменателе размерности вместо ${}^\circ\text{C}$ содержит $({}^\circ\text{K})^4$, например, $\frac{\text{ват}}{\text{м}^2 \cdot \text{час} ({}^\circ\text{K})^4}$.

ЭЛЕКТРИЧЕСКИЕ И МАГНИТНЫЕ ВЕЛИЧИНЫ [177, т. I]

Обозначение	Величина	Формула	Размерность
I, i	Сила тока	$I = \frac{U}{R}$	$\text{а} (\text{ампер})$
Q, q	Количество электричества	$Q = It$	$\text{к} (\text{кулон}, \text{ампер-час})$
U, u	Напряжение	$U = E = \frac{A}{Q} = \frac{P}{I}$	$\text{в} (\text{вольт})$
E, e	Электродвижущая сила	$R = \frac{U}{Q} = \frac{P}{I^2}$	ом
R, r	Сопротивление	$r_t = r_0(1 + \alpha t)$	
α	Температурный коэффициент сопротивления	$r_2 = r_1[1 + \alpha(t_2 - t_0)]$	
ρ, ρ	Удельное сопротивление	$\rho = \frac{R \cdot S}{l}$	$\frac{\text{ом} \cdot \text{мм}^2}{\text{м}}$
τ	Удельная проводимость	$\tau = \frac{1}{\rho}$	$\frac{\text{м}}{\text{ом} \cdot \text{мм}^2}$
C	Емкость	$C = \frac{Q}{U}$	$\text{Ф} (\text{фарада})$
f, v	Частота	$f = \frac{l}{\tau}$	$\text{гц} (\text{герц})$
ω	Угловая частота	$\omega = 2\pi f$	$1/\text{сек}$

Продолжение

Обозначение	Величина	Формула	Размерность
P, N	Мощность	$N = UI \cos \varphi = I^2 \cdot R \cos \varphi$	квт
A	Работа	$A = Nt$	квт·ч
B	Магнитная индукция	$B = \frac{F}{l}$	$\frac{B}{cm^2} \left(\text{еббер} \right)$
Φ	Магнитный поток	$\Phi = B \cdot S$	B (еббер или вольт-секунда)
L	Индуктивность	$L = \frac{\Phi \omega}{I}$	зН
H	Напряженность магнитного поля	$H = \frac{Iw}{l}$	a/cm
μ	Магнитная проницаемость	$\mu = \frac{B}{H}$	$\frac{\text{ом}\cdot\text{сек}}{\text{см}} \left(\frac{\text{зН}}{\text{ампер}} \right)$
R_m	Магнитное сопротивление	$R_m = \frac{l}{\mu S}$	$\frac{1}{\text{ом}\cdot\text{сек}}, \frac{1}{\text{зН}}$
F	Намагничивающая сила (м. д. с.)	$F = \frac{\Phi l}{\mu S}$	а (ампер)
H_c	Коэрцитивная сила	H (при $B = 0$)	a/cm

ШКАЛЫ ТЕМПЕРАТУР [177, т. 1]

Температура — степень нагретости тела.

Основные постоянные точки международной стоградусной температурной шкалы:

точка кипения кислорода	- 182,97°
плавления льда	0,000°
кипения воды	+ 100,000°
серы	+ 444,60°
затвердевания серебра	+ 960,5°
затвердевания золота	+ 1063,0°

Шкала Цельсия (°C) практически не отличается от международной стоградусной шкалы.

В шкале Фаренгейта (°F) нуль смещен в сторону понижения температуры на 32°; шкала между состояниями таяния льда (+ 32°F) и кипения воды (+ 212°F) разделена на 180 делений (град.).

По шкале Рейомюра (°R) таяние льда — при 0°, кипение воды при + 80°.

Шкала Кельвина (°K, T_{abs}) — абсолютная температура, отсчитываемая от

абсолютного нуля, смещенному на 273,16°C в сторону убывания температуры; в технических расчетах принимают

$$T^\circ = t^\circ C + 273^\circ$$

$$\text{или } T^\circ = \frac{5}{9} t^\circ F + 255,2^\circ;$$

абсолютная температура в градусах Фаренгейта

$$T^\circ F = \frac{9}{5} T^\circ = t^\circ F + 459,4^\circ.$$

Если $t^\circ C$, $t^\circ R$ и $t^\circ F$ определяют одно и то же тепловое состояние, то

$$t^\circ C = \frac{5}{4} t^\circ R = \frac{5}{9} (t^\circ F - 32^\circ);$$

$$t^\circ R = \frac{4}{5} t^\circ C = \frac{4}{9} (t^\circ F - 32^\circ);$$

$$t^\circ F = \frac{9}{5} t^\circ C + 32 = \frac{9}{4} t^\circ R + 32^\circ.$$

Сравнение градусов Цельсия и Фаренгейта

-459,4 до 0			0—100					100—1000					1000—2000					2000—3000								
C	C или F	F	C	C или F	F	C	C или F	F	C	C или F	F	C	C или F	F	C	C или F	F	C	C или F	F	C	C или F	F			
-273	-459,4		-17,8	0	32	10,0	50	122,0	38	100	212	260	500	932	538	1000	1832	816	1500	2732	1093	2000	3632	1371	2500	4532
-268	-450		-17,2	1	33,8	10,6	51	123,8	43	110	230	266	510	950	543	1010	1850	821	1510	2750	1099	2010	3650	1377	2510	4550
-262	-440		-16,7	2	35,6	11,1	52	125,6	49	120	248	271	520	968	549	1020	1868	827	1520	2768	1104	2020	3668	1382	2520	4568
-257	-430		-16,1	3	37,4	11,7	53	127,4	54	130	266	277	530	986	554	1030	1886	832	1530	2786	1110	2030	3686	1388	2530	4586
-251	-420		-15,6	4	39,2	12,2	54	129,2	60	140	284	282	540	1004	560	1040	1904	838	1540	2804	1116	2040	3704	1393	2540	4604
-246	-410		-15,0	5	41,0	12,8	55	131,0	66	150	302	288	550	1022	566	1050	1922	843	1550	2822	1121	2050	3722	1399	2550	4622
-240	-400		-14,4	6	42,8	13,3	56	132,8	71	160	320	293	560	1040	571	1060	1940	849	1560	2840	1127	2060	3740	1404	2560	4640
-234	-390		-13,9	7	44,6	13,9	57	134,6	77	170	338	299	570	1058	577	1070	1958	854	1570	2858	1132	2070	3758	1410	2570	4658
-229	-380		-13,3	8	46,4	14,4	58	136,4	82	180	356	304	580	1076	582	1080	1976	860	1580	2876	1138	2080	3776	1416	2580	4676
-223	-370		-12,8	9	48,2	15,0	59	138,2	85	190	374	310	590	1094	588	1090	1994	866	1590	2894	1143	2090	3794	1421	2590	4694
-218	-360		-12,2	10	50,0	15,6	60	140,0	93	208	392	316	600	1112	593	1100	2012	871	1600	2912	1149	2100	3812	1427	2600	4712
-212	-350		-11,7	11	51,8	16,1	61	141,8	99	210	410	321	610	1130	599	1110	2030	877	1610	2930	1154	2110	3830	1432	2610	4730
-207	-340		-11,1	12	53,6	16,7	62	143,6	100	212	413,6	327	620	1148	604	1120	2048	882	1620	2948	1160	2120	3848	1438	2620	4748
-201	-330		-10,6	13	55,4	17,2	63	145,4	104	220	428	332	630	1166	610	1130	2066	888	1630	2966	1166	2130	3866	1443	2630	4766
-196	-320		-10,0	14	57,2	17,8	64	147,2	110	230	446	338	640	1184	616	1140	2084	893	1640	2984	1171	2140	3881	1449	2640	4784
-190	-310		-9,4	15	59,0	18,3	65	149,0	116	240	464	343	650	1202	621	1150	2102	899	1650	3002	1177	2150	3902	1454	2650	4802
-184	-300		-8,9	16	60,8	18,9	66	150,8	121	250	482	349	660	1220	627	1160	2120	904	1660	3020	1182	2160	3920	1460	2660	4820
-179	-290		-8,3	17	62,6	19,4	67	152,6	127	260	509	354	670	1238	632	1170	2138	910	1670	3038	1188	2170	3938	1466	2670	4838
-173	-280		-7,8	18	64,4	20,0	68	154,4	132	270	513	360	680	1256	683	1180	2156	916	1680	3056	1193	2180	3956	1471	2680	4856
-169	-273	-439,4	-7,2	19	66,2	20,6	69	156,2	138	280	536	366	690	1274	693	1190	2174	921	1690	3074	1199	2190	3974	1477	2690	4874
-168	-270	-454	-6,7	20	68,0	21,1	70	158,0	143	290	554	371	700	1292	699	1200	2192	927	1700	3092	1204	2200	3992	1482	2700	4892
-162	-260	-436	-6,1	21	69,8	21,7	71	159,8	149	300	572	377	710	1310	684	1210	2310	932	1710	3110	1210	2210	4010	1488	2710	4910
-157	-258	-418	-5,5	22	71,6	22,2	72	161,6	154	310	590	382	720	1328	660	1220	2328	938	1720	3128	1216	2220	4028	1493	2720	4928
-151	-249	-400	-5,	23	73,4	22,8	73	163,4	160	320	608	388	730	1346	680	1230	2346	943	1730	3146	1221	2330	4046	1499	2730	4946
-146	-230	-382	-4,4	24	75,2	23,3	74	165,2	166	330	626	393	740	1364	671	1240	2364	949	1740	3164	1227	2420	4064	1504	2740	4964

Продолжение

—459, до 0			0—100						100—1000						1000—2000						2000—3000					
C	C или F	F	C	C или F	F	C	C или F	F	C	C или F	F	C	C или F	F	C	C или F	F	C	C или F	F	C	C или F	F	C	C или F	F
—140	—220	—364	—3,9	25	77,0	23,9	75	167,0	171	340	644	399	750	1382	677	1250	2282	954	1750	3182	1232	2250	4082	1510	2750	4982
—134	—210	—346	—3,3	26	78,8	24,4	76	168,8	177	350	662	404	760	1400	682	1260	2300	960	1760	3200	1238	2260	4100	1516	2760	5000
—129	—200	—328	—2,8	27	80,6	25,0	77	170,6	182	360	680	410	770	1418	688	1270	2318	966	1770	3218	1243	2270	4118	1521	2770	5018
—123	—190	—310	—2,2	28	82,4	25,6	78	172,4	188	370	693	416	780	1436	696	1280	2336	971	1780	3236	1249	2280	4136	1527	2780	5036
—118	—180	—292	—1,7	29	84,2	26,1	79	174,2	193	380	716	421	790	1454	699	1290	2354	977	1790	3254	1254	2290	4154	1532	2790	5051
—112	—170	—274	—1,1	30	86,0	26,7	80	176,0	199	390	734	427	800	1472	704	1300	2372	982	1800	3272	1260	2300	4172	1538	2800	5072
—107	—160	—256	—0,6	31	87,8	27,2	81	177,8	204	400	752	432	810	1490	710	1310	2390	988	1810	3290	1266	2310	4190	1543	2810	5090
—101	—150	—238	0,0	32	89,6	27,8	82	179,6	210	410	770	438	820	1508	716	1320	2408	993	1820	3308	1271	2320	4208	1549	2820	5108
—96	—140	—220	0,6	33	91,4	28,3	83	181,4	216	420	788	443	830	1526	721	1330	2426	999	1830	3326	1277	2330	4226	1554	2830	5126
—90	—130	—202	1,1	34	93,2	28,9	84	183,2	221	430	806	449	840	1544	727	1340	2444	1004	1840	3344	1282	2340	4244	1560	2840	5144
—84	—120	—184	1,7	35	95,0	29,4	85	185,0	227	440	824	454	850	1562	732	1350	2462	1010	1850	3362	1288	2350	4262	1566	2850	5162
—79	—110	—166	2,2	36	96,8	30,0	86	186,8	232	450	842	460	860	1580	738	1360	2480	1016	1860	3380	1293	2360	4280	1571	2860	5180
—73	—100	—148	2,5	37	98,6	30,6	87	188,6	238	460	860	466	870	1598	743	1370	2498	1021	1870	3398	1299	2370	4298	1577	2870	5198
—68	—90	—130	3,3	38	100,4	31,1	88	190,4	243	470	878	471	880	1616	749	1380	2516	1027	1880	3416	1304	2380	4316	1582	2880	5219
—62	—80	—112	3,9	39	102,2	31,7	89	192,2	249	480	896	477	890	1634	754	1390	2534	1032	1890	3434	1310	2390	4334	1588	2890	5234
—57	—70	—94	4,4	40	104,0	32,2	90	194,0	254	490	914	482	900	1652	760	1400	2552	1038	1900	3452	1316	2400	4352	1593	2900	5252
—51	—60	—76	5,0	41	105,8	32,8	91	195,8			488	910	1670	766	1410	2570	1043	1910	3470	1321	2410	4370	1599	2910	5270	
—46	—50	—58	5,3	42	107,6	33,3	92	197,6			493	920	1688	771	1420	2588	1049	1920	3488	1327	2420	4388	1604	2920	5288	
—40	—40	—40	6,1	43	109,4	33,9	93	199,4			499	930	1706	777	1430	2606	1054	1930	3506	1332	2430	4406	1610	2930	5306	
—34	—30	—22	6,7	44	111,2	34,4	94	201,2			504	940	1724	792	1440	2624	1060	1940	3524	1338	2440	4424	1616	2940	5324	
—29	—20	—4	7,2	45	113,0	35,0	95	203,0			510	950	1742	798	1450	2642	1066	1950	3542	1343	2450	4442	1621	2950	5342	
—23	—10	14	7,8	46	114,8	35,6	96	204,8			516	960	1760	798	1460	2660	1071	1960	3560	1349	2460	4460	1627	2960	5360	
—17,9	—0	32	8,3	47	116,6	36,1	97	206,6			521	970	1778	799	1470	2678	1077	1970	3578	1354	2470	4478	1632	2970	5372	
			8,9	48	118,4	36,7	98	208,4			527	980	1796	804	1480	2696	1082	1980	3596	1360	2480	4496	1638	2980	5396	
			9,4	49	120,2	37,2	99	210,2			532	990	1814	816	1490	2714	1088	1990	3614	1366	2490	4514	1643	2990	5414	
					37,8	109	212,0			538	1000	1832			1093	2000	3632			1649	3000	5432				

ТЕПЛОЕМКОСТЬ [133]

Истинная теплоемкость

$$c = \frac{dq}{dt}.$$

Средняя теплоемкость

$$c_m = \frac{q}{t_2 - t_1} = \frac{1}{t_2 - t_1} \int_{t_1}^{t_2} c dt.$$

Для двухатомных газов

$$c = a + bt,$$

где a — теплоемкость газа при $t = 0^\circ\text{C}$;

$$c_m = a + \frac{b}{2}(t_2 + t_1).$$

Удельная теплоемкость единицы массы вещества

Атомная $c_A = cA$.Весовая c_m ккал/кг·град.Мольная c или μc ккал/моль·град.Объемная C или c' ккал/нм³·град.

Зависимость между мольной, весовой и объемной теплоемкостями:

$$\mu c = c \cdot \mu = c' 22,4;$$

$$c = \frac{\mu c}{\mu} = \frac{c'}{T_h}; \quad c' = \frac{\mu c}{22,4} = c_{T_h},$$

где μ — молекулярный вес вещества; T_h — удельный вес газа при нормальных условиях (0°C и 760 мм рт. ст.) и $22,4$ — объем моля при нормальных условиях.Теплоемкость при постоянном давлении — c_p , c'_p , μc_p , при постоянном объеме — c_v , c'_v , μc_v .

Для идеального газа

$$\mu c_p - \mu c_v = A \mu R \approx 2$$

или

$$c_p - c_v = AR,$$

где

 A — тепловой эквивалент работы; R — газовая постоянная в кгм/кг; ${}^\circ\text{C} \cdot R = 448$ кгм/моль·град = $= 1,986$ ккал/моль·град — универсальная газовая постоянная одного моля газа.

Теплосодержание

$$i = ct; \quad i = \int_{t_1}^{t_2} c dt.$$

ТЕПЛОЕМКОСТЬ И ТЕПЛОСОДЕРЖАНИЕ ГАЗОВ [133]

Средняя объемная теплоемкость C_m в ккал/нм ³ ·град							Теплосодержание i_m в ккал/нм ³						
$t^\circ\text{C}$	CO_2	H_2O	SO_2	N_2	O_2	Воздух	CO_2	H_2O	SO_2	N_2	O_2	Воздух	
0	0,3801	0,3569	0,414	0,3103	0,3116	0,3097	0	0	0	0	0	0	0
100	0,4092	0,3556	0,433	0,3106	0,3145	0,3106	40,92	35,96	43,0	31,06	31,45	31,06	31,06
200	0,4290	0,3635	0,451	0,3115	0,3190	0,3123	85,80	72,70	90,0	62,30	63,80	62,46	62,46
300	0,4469	0,3684	0,468	0,3132	0,3240	0,3147	134,1	110,5	140,0	93,96	97,20	94,41	94,41
400	0,4628	0,3739	0,482	0,3154	0,3288	0,3175	185,1	149,6	193,0	126,2	131,6	127,0	127,0
500	0,4769	0,3796	0,495	0,3183	0,3336	0,3207	238,4	189,8	247,0	159,1	166,9	160,3	160,3
600	0,4895	0,3856	0,505	0,3214	0,3382	0,3241	293,7	231,4	303,0	192,8	203,1	194,5	194,5
700	0,5008	0,3920	0,514	0,3246	0,3426	0,3275	356,0	274,4	360,0	227,2	239,8	229,2	229,2
800	0,5110	0,3985	0,522	0,3277	0,3464	0,3307	408,8	318,8	418,0	262,2	277,1	264,6	264,6
900	0,5204	0,4050	0,529	0,3308	0,3498	0,3338	468,4	364,5	476,0	297,7	314,8	300,4	300,4
1000	0,5286	0,4115	0,535	0,3337	0,3629	0,3367	528,8	411,5	535,0	333,7	352,9	336,7	336,7
1100	0,5363	0,4180	0,540	0,3365	0,3557	0,3396	589,9	458,8	594,0	370,1	391,3	373,6	373,6
1200	0,5433	0,4244	0,544	0,3392	0,3584	0,3422	652,0	509,3	653,0	407,0	430,1	410,6	410,6
1300	0,5495	0,4306	—	0,3419	0,3608	0,3448	714,3	560,0	—	444,5	469,0	448,2	448,2
1400	0,5553	0,4367	—	0,3443	0,3631	0,3472	777,4	611,4	—	482,0	508,3	468,1	468,1
1500	0,5606	0,4425	—	0,3466	0,3653	0,3494	840,9	663,7	—	519,9	547,9	524,1	524,1
1600	0,5655	0,4482	—	0,3487	0,3673	0,3515	904,8	717,1	—	557,9	587,7	562,4	562,4
1700	0,5701	0,4537	—	0,3506	0,3693	0,3534	969,2	771,3	—	596,0	627,8	600,8	600,8
1800	0,5744	0,4590	—	0,3525	0,3712	0,3552	1034,0	826,2	—	634,5	668,2	639,4	639,4
1900	0,5783	0,4640	—	0,3543	0,3730	0,3570	1090,9	881,6	—	673,2	708,7	678,3	678,3
2000	0,5820	0,4689	—	0,3558	0,3747	0,3586	1164,0	937,8	—	711,6	749,4	717,2	717,2
2100	0,5855	0,4736	—	0,3574	0,3764	0,3602	1229,0	994,6	—	750,5	790,4	756,4	756,4
2200	0,5887	0,4780	—	0,3589	0,3781	0,3616	1295,0	1052,0	—	789,6	831,8	795,5	795,5

Средняя теплоемкость углеродистой стали c_m в $\frac{\text{ккал}}{\text{кг град}}$

°C	Чистое железо	Содержание углерода в стали в %								
		0,22	0,30	0,54	0,61	0,80	0,92	1,0	1,23	1,40
100	0,111	0,1113	0,1115	0,1125	0,1142	0,1153	0,1181	0,1162	0,1173	0,1159
200	0,117	0,1148	0,1148	0,1149	0,1157	0,1160	0,1200	0,1185	0,1195	0,1200
300	0,122	0,1193	0,1200	0,1207	0,1217	0,1230	0,1240	0,1230	0,1233	0,1230
400	0,128	0,1229	0,1233	0,1248	0,1253	0,1255	0,1275	0,1260	0,1273	0,1256
500	0,134	0,1273	0,1278	0,1282	0,1286	0,1298	0,1318	0,1300	0,1310	0,1301
600	0,142	0,1354	0,1357	0,1366	0,1368	0,1373	0,1391	0,1380	0,1383	0,1375
700	0,143	0,1432	0,1436	0,1443	0,1446	0,1449	0,1467	0,1456	0,1460	0,1451
800	0,1503	0,1620	0,1646	0,1645	0,1636	0,1620	0,1643	0,1625	0,1676	0,1625
900	0,155	0,1678	0,1658	0,1647	0,1639	0,1620	0,1600	0,1606	0,1660	0,1607
1000	0,1613	0,1678	0,1670	0,1646	0,1640	0,1622	0,1581	0,1602	0,1579	0,1608
1100	0,1616	0,1678	0,1670	0,1650	0,1645	0,1629	0,1575	0,1610	0,1580	0,1616
1200	0,1623	0,1693	0,1676	0,1657	0,1630	0,1635	0,1575	0,1600	0,1584	0,1618

Истинная и средняя теплоемкость металлов в $\frac{\text{ккал}}{\text{кг град}}$ [133]

Наименование металла	Истинная c при t° С								
	-200	-100	0	20	100	200	300	500	1000
Алюминий	0,075	0,175	0,210	0,214	0,224	0,235	0,241	0,26	—
Хром.	0,034	0,076	0,102	0,105	0,118	0,119	0,125	—	—
Железо.	0,032	0,085	0,105	0,108	0,116	0,127	0,139	0,162	—
Медь.	0,040	0,082	0,0905	0,0915	0,0947	0,0969	0,0994	0,1049	—
Магний.	0,13	0,21	0,288	0,243	0,265	0,268	0,276	0,30	—
Марганец.	—	0,095	0,113	0,116	0,123	—	0,14	—	—
Молибден.	0,020	0,050	0,059	0,060	0,052	—	—	—	0,074
Никель	0,050	0,087	0,1056	0,1055	0,1116	0,123	0,136	—	—
Платина	0,018	0,028	0,0317	0,0318	0,0324	0,0326	0,0326	0,0335	0,035
Ртуть.	0,0073	0,0322	—	0,0383	—	—	—	—	—
Серебро	0,0375	0,0616	0,0556	0,0569	0,0568	0,0595	0,061	0,063	0,074
Титан.	—	—	—	0,148	—	—	—	—	—
Висмут	0,024	0,0273	0,0293	0,0293	0,0303	0,032	0,034	—	—
Цинк	0,058	0,035	0,091	0,092	0,095	0,099	0,1003	—	—

Продолжение

Наименование металла	Средняя c_m в интервале температур t° С						
	-200—0	-100—0	0—100	0—200	0—300	0—500	0—1000
Алюминий	0,164	0,194	0,217	0,223	0,228	0,237	—
Хром.	0,071	0,090	0,108	—	0,116	—	0,135
Железо	0,080	0,096	0,111	0,116	0,122	0,133	0,168
Медь.	0,078	0,087	0,0928	0,0949	0,0958	0,0974	—
Магний.	0,20	0,225	0,247	—	0,260	0,27	—
Марганец.	—	0,105	0,119	—	0,127	—	—
Молибден.	0,047	0,055	0,061	—	—	—	0,067
Никель	0,083	0,099	0,108	0,112	0,118	—	0,13
Платина	0,025	0,0305	0,0321	—	0,0328	0,0333	—
Серебро	0,0505	0,0539	0,0562	—	0,0572	—	—
Титан.	—	—	0,1462	0,1503	0,1563	—	—
Висмут	0,027	0,0286	0,0298	0,0304	—	—	—
Цинк	0,082	0,098	0,093	0,095	—	—	—

Истинная удельная теплоемкость водных растворов в ккал/кг град

NaCl						
Весовое содержание NaCl в %	0,8	3,2	7,5	24,5		
Теплоемкость при температуре:						
$t = 6^\circ \text{C}$	—	0,96	0,91	0,805		
20° C	0,99	0,97	0,915	0,81		
38° C	—	0,97	0,915	0,81		
57° C	—	—	0,923	0,82		

NaOH (при 20°)						
Весовое содержание NaOH в %	0	1,1	2,2	18,2	30,8	47,0
Теплоемкость .	1,0	0,985	0,97	0,835	0,80	0,784

KOH (при 20°)						
Весовое содержание KOH в %	0	1,6	4,9	13,5	23,7	
Теплоемкость .	1,0	0,975	0,93	0,814	0,76	

HCl						
Весовое содержание HCl в %	0	16,8	28,9	33,6	41,4	
Теплоемкость при температуре:						
$t = 0^\circ \text{C}$	1,0	0,72	0,61	0,58	0,55	
10° C	—	0,72	0,605	0,575	—	
20° C	—	0,74	0,631	0,591	—	
40° C	—	0,75	0,645	0,615	—	
60° C	—	0,78	0,67	0,633	0,61	

Средняя удельная теплоемкость некоторых материалов в интервале температур 0–100° C c_m в ккал/кг град [133]

Материал	c_m	Материал	c_m
Бензин (при 10°)	0,34	Кокс	0,20
Бензол	0,44	Масло машинное	0,40
Бетон	0,21–0,27	Масло трансформаторное	0,45
Графит	0,19	Серная кислота	0,33
Дерево: луб	0,57	Сернистая кислота	0,32
сосна	0,65	Скипидар	0,42
Древесные опилки	0,24	Слюда	0,2–0,7
Древесный уголь (при 20°)	0,277	Стекло	0,12–0,20
Зола	0,20	Фарфор	0,25
Каменный уголь	0,31	Цемент	0,27
Керосин	0,50	Эбонит	0,59

ТЕПЛОВЫЕ ЭФФЕКТЫ РЕАКЦИЙ (77)

Реакция	Тепловой эффект реакции		
	ккал/кг моль	ккал/кг	ккал/м³
$C + O_2 = CO_2$	97 650	8 138	—
$C + \frac{O_2}{2} = CO$	29 970	2 498	—
$CO + \frac{O_2}{2} = CO_2$	67 680	2 417	3 021
$H_2 + \frac{O_2}{2} = H_2O_{ж}$	68 360	34 180	3 052
$H_2 + \frac{O_2}{2} = H_2O_{п}$	57 810	28 905	2 581
$H_2O_{п} \rightarrow H_2O_{ж}$	10 550	586	471
$S + O_2 = SO_2$	70 910	2 216	—
$H_2S + 1,5O_2 = SO_2 + H_2O_{ж}$	134 510	3 956	6 005
$H_2S + 1,5O_2 = SO_2 + H_2O_{п}$	123 960	3 646	5 534
$FeS + 1,5O_2 = FeO + SO_2$	165 280	1 377	—
$FeS + 1,5O_2 + SiO_2 = FeSiO_3 + 2SO_2$	180 893	2 826	—
$Fe + \frac{O_2}{2} = FeO$	64 430	1 150	—
$2Fe + 1,5O_2 = Fe_3O_4$	196 910	1 758	—
$3Fe + 2O_2 = Fe_3O_4$	265 960	1 583	—
$CH_4 + 2O_2 = CO_2 + 2H_2O_{ж}$	210 800	13 200	9 420
C_nH_{2n+2} (горение, $H_2O_{ж}$)	$210\ 800 + 157\ 500 \times \frac{11,4n+4}{7n+1}$	$6900 \frac{11,4n+4}{7n+1}$	$7000n + 2400$
$CH_4 + 2O_2 = CO_2 + 2H_2O_{п}$	192 400	12 025	8 589
C_nH_{2n+2} (горение, $H_2O_{п}$)	—	$8400 \times \frac{8,7n+2}{7n+1}$	$6600n + 1950$
$C_2H_6 + 3O_2 = 2CO_2 + 2H_2O_{ж}$	341 100	12 182	15 228
$C_2H_6 + 3O_2 = 2CO_2 + 2H_2O_{п}$	—	—	$7000n + 550$
$C_2H_4 + 3O_2 = 2CO_2 + 2H_2O_{п}$	320 000	11 429	14 286

**ТЕПЛОВЫЕ ЭФФЕКТЫ ОБРАЗОВАНИЯ СОЕДИНЕНИЙ
МЕТАЛЛИЧЕСКИХ ЭЛЕМЕНТОВ [177, т. 1, гл. III]**

Формула	Схема реакции образования	Тепловой эффект в ккал/г моль	Формула	Схема реакции образования	Тепловой эффект в ккал/г моль
Cu ₂ O	2Cu + ½O ₂	+ 40,8	FeO	Fe + ½O ₂	+ 64,3
CuO	Cu + ½O ₂	+ 37,8	Fe ₂ O ₃	2Fe + ¾O ₂	+ 198,5
Al ₂ O ₃	2Al + ¾O ₂	+378,0	Fe ₃ O ₄	3Fe + 2O ₂	+266,9
AlN	Al + ½N ₂	+ 78,0±1,0	Fe ₃ C	3Fe + C (β-граф.)	- 5,4
V ₂ O ₃	2V + ¾O ₂	+302±10	Fe ₂ N	2Fe + ½N ₂	+ 3,0
V ₂ O ₄	V ₂ O ₃ +½O ₂	+ 59,6	Fe ₄ N	4Fe + ½N ₂	+ 1,0
V ₂ O ₅	2V + ¾O ₂	+437,7±7	FeS	Fe + S (ромб.)	+ 23,1
VC	-	+ 49,5	Fe ₂ S	Fe + 2S (ромб.)	+ 35,5
VN	V + ½N ₂	+ 58,1±0,9	CoO	Co + ½O ₂	+ 57,5
Cr ₂ O ₃	2Cr + ¾O ₂	+268,0	Co ₃ O ₄	3Co + 2O ₂	+193,4
CrO ₃	Cr + ¾O ₂	+140,0	NiO	Ni + ½O ₂	+ 58,9
Cr ₂ C ₆	-	-	SiO ₂ (кварц)	Si + O ₂	+208,3
Cr ₃ C	-	-	SiC	Si + C (β-граф.)	+ 30,0
CrN	Cr + ½N ₂	+ 16,4±0,6	TaC	-	+ 38,0±5
MoO ₃	Mo + O ₂	+142,8	TaN	-	+ 58,0
MoO ₂	Mo + ¾O ₂	+175,6	TiO ₂	Ti + O ₂	+220,0
Mo ₂ C	-	- 4,2	TiC	Ti + C (β-граф.)	+ 45,0
Fe ₃ Mo ₂ C	-	-	TiN	Ti + ½N ₂	+ 82,2
MoN	-	+ 17,0	ZrN	-	+ 82,5
Mo ₂ N	2Mo + ½N ₂	+274±3,0	ZrC	-	+ 58,0
WO ₃	W + O ₂	+131,4	(α - W ₂ C)		
WO ₄	W + ¾O ₂	+194,9	WC	- 14,5	
W ₂ C	2WO ₃ +7C=W ₂ C+6CO	-	Fe ₃ W ₂ C	-	
β - W ₂ C			MnO	Mn + ½O ₂	+ 95,5
WC	-	-	MnO ₂	Mn + O ₂	+123,0
Fe ₃ W ₂ C	-	-	Mn ₃ O ₄	3Mn + 2O ₂	+345,0
MnO	Mn + ½O ₂	+ 95,5	Mn ₃ C	3Mn + C (β-граф.)	+ 23,0

КОНСТАНТЫ РАВНОВЕСИЯ ВАЖНЕЙШИХ ХИМИЧЕСКИХ РЕАКЦИЙ
[177, т. 1] *

Реакция	Выражение для константы равновесия	Константа равновесия в функции температуры T в $^{\circ}\text{K}$
$2\text{C} + \text{O}_2 = 2\text{CO}$	$K = \frac{P_{\text{CO}}}{P_{\text{CO}_2}^2}$	
$\text{C} + \text{O}_2 = \text{CO}_2$	$K = \frac{P_{\text{CO}_2}}{P_{\text{CO}}}$	Реакция практически необратима
$2\text{CO} + \text{O}_2 = 2\text{CO}_2$	$K = \frac{P_{\text{CO}_2}^2 \cdot P_{\text{O}_2}}{P_{\text{CO}}^2}$	$\lg K = - \frac{28850}{T} + 1,76 \lg T + 3,72$ $\lg K = - \frac{29072}{T} + 3,81$
$2\text{CO} = \text{CO}_2 + \text{C}$	$K = \frac{P_{\text{CO}}^2}{P_{\text{CO}_2}}$ **	(β -граф.) $\lg K = - \frac{40800}{4,571T} + 4,864T - 0,301 \times 10^{-2}T + \dots - 2,926$ (С аморфн.) $\lg K = - \frac{37200}{4,571T} + 4,577T - 0,260 \times 10^{-2}T + \dots - 3,133$ (Реакция обратима в условиях высоких температур $> 1500^{\circ}\text{K}$)
$2\text{H}_2 + \text{O}_2 = 2\text{H}_2\text{O}$	$K = \frac{P_{\text{H}_2}^2 \cdot P_{\text{O}_2}}{P_{\text{H}_2\text{O}}^2}$	$\lg K = - \frac{26320}{T} + 6,08$ $\lg K = \frac{25300}{T} + 1,76 \lg T - 0,16$ (Реакция обратима в условиях высоких температур $> 1500^{\circ}\text{K}$)
$\text{CO} + \text{H}_2\text{O} = \text{CO}_2 + \text{H}_2$ (Реакция водяного газа)	$K = \frac{P_{\text{CO}} \cdot P_{\text{H}_2}}{P_{\text{CO}_2} \cdot P_{\text{H}_2}}$ **	$\lg K = - \frac{2203,4}{T} - 5,1588 \cdot 10^{-5}T + \dots + 2,3$ $\lg K = - \frac{2235}{T} + 2,0$
$2\text{H}_2 + \text{C} = \text{CH}_4$	$K = \frac{P_{\text{H}_2}^2}{P_{\text{CH}_4}}$	(β -граф.) $\lg K = \frac{4,003}{T} - 1,75 \lg T + 0,63 \times 10^{-3}T - 0,7$ (С аморфн.) $\lg K = \frac{4,583}{T} - 1,75 \lg T + 0,63 \cdot 10^{-3}T - 0,7$
$\text{N}_2 + 3\text{H}_2 = 2\text{NH}_3$	$K = \frac{P_{\text{N}_2} \cdot P_{\text{H}_2}^3}{P_{\text{NH}_3}^2}$	$\lg K = \frac{4780}{T} + 3,52 \lg T + 0,8$
$2\text{Fe} + \text{O}_2 = 2\text{FeO}$	$K = P_{\text{O}_2}$	$\lg (P_{\text{O}_2})_{\text{FeO}} = - \frac{28740}{T} - 1,47 \lg T - 0,425 \times 10^{-3}T + \dots + 12,914$

* См. С. Т. Ростовцев, Теория металлургических процессов, Металлургиздат, 1945.

** См. табл. на стр. 164.

Продолжение

Реакция	Выражение для константы равновесия	Константа равновесия в функции температуры T в $^{\circ}\text{K}$
$\frac{1}{2}\text{Fe} + \text{O}_2 = \frac{1}{2}\text{Fe}_2\text{O}_4$	$K = P_{\text{O}_2}$	$\lg (P_{\text{O}_2})_{\text{Fe}_2\text{O}_4} = -\frac{32\,250}{T} + 2,068 \lg T - 0,395 \times 10^{-3}T + \dots + 6,806$
$\frac{1}{3}\text{Fe} + \text{O}_2 = \frac{1}{3}\text{Fe}_2\text{O}_3$	$K = P_{\text{O}_2}$	$\lg (P_{\text{O}_2})_{\text{Fe}_2\text{O}_3} = -\frac{29\,160}{T} + 2,75 \lg T - 1,215 \times 10^{-3}T + \dots + 1,76$
$3\text{Fe}_2\text{O}_3 + \text{CO} = 2\text{Fe}_3\text{O}_4 + \text{CO}_2$	$K = \frac{P_{\text{CO}}}{P_{\text{CO}_2}}$	Реакция практически необратима
$\text{Fe}_3\text{O}_4 + 4\text{CO} = 3\text{Fe} + 4\text{CO}_2$ при $t < 570^{\circ}\text{C}$	$K = \frac{P_{\text{CO}}^4}{P_{\text{CO}_2}^4}$	$\lg K = -\frac{170}{T} + 0,22$
$\text{Fe}_3\text{O}_4 + \text{CO} = 3\text{FeO} + \text{CO}_2$ при $t > 570^{\circ}\text{C}$	$K = \frac{P_{\text{CO}}}{P_{\text{CO}_2}}$	$\lg K = +\frac{1373}{T} + 0,341 \lg T - 0,41 \times 10^{-3}T - 2,303$
$\text{FeO} + \text{CO} = \text{Fe} + \text{CO}_2$	$K = \frac{P_{\text{CO}}}{P_{\text{CO}_2}} *$	$\lg K = -\frac{381}{T} + 2,11 \lg T - 0,395 \times 10^{-3}T - 5,357$
$3\text{Fe}_2\text{O}_3 + \text{H}_2 = 2\text{Fe}_3\text{O}_4 + \text{H}_2\text{O}$	$K = \frac{P_{\text{H}_2}}{P_{\text{H}_2\text{O}}}$	Реакция практически необратима
$\text{Fe}_3\text{O}_4 + 4\text{H}_2 = 3\text{Fe} + 4\text{H}_2\text{O}$ при $t < 570^{\circ}\text{C}$	$K = \frac{P_{\text{H}_2}^4}{P_{\text{H}_2\text{O}}^4}$	
$\text{Fe}_3\text{O}_4 + \text{H}_2 = 3\text{FeO} + \text{H}_2\text{O}$	$K = \frac{P_{\text{H}_2}}{P_{\text{H}_2\text{O}}}$	
$\text{FeO} + \text{H}_2 = \text{Fe} + \text{H}_2\text{O}$	$K = \frac{P_{\text{H}_2}}{P_{\text{H}_2\text{O}}} *$	

* См. табл. на стр. 164.

**СВОЙСТВА НЕКОТОРЫХ ЭЛЕМЕНТОВ И ИХ СОЕДИНЕНИЙ,
ПРИМЕНЯЕМЫХ ПРИ ТЕРМИЧЕСКОЙ ОБРАБОТКЕ МЕТАЛЛОВ [177, т. 1]**

Элементы и соединения	Формула	Молекулярный вес	Плотность г/см ³	Температура в °C	
				плавления	кипения
Водород	H	1,0081 *	—	—257	— 263
Вода	H ₂ O	18,016	0,9168	0	100
Литий	Li	6,94 *	0,53	186	1372
Натрий	Na	22,997 *	0,97	97,7	892
Натрий азотистокислый	NaNO ₂	69,01	2,17	276,9	—
Натрий азотнокислый	NaNO ₃	85,01	2,25	308	—
Натрий тетраборнокислый, гидрат (бура)	Na ₂ B ₄ O ₇ ·10H ₂ O	381,43	1,72 2,37 **	711 ** 322	— 1388
Едкий натр	NaOH	40,01	2,02	—	
Натрий углекислый (кальцинированная сода)	Na ₂ CO ₃	106,0	2,5	852	—
Натрий углекислый, гидрат (сода)	Na ₂ CO ₃ ·10H ₂ O	286,1	1,5	—	
Натрий фтористый	NaF	42,0	2,73	992	1695
“ хлористый ”	NaCl	58,46	2,17	800	1440
“ цианистый ”	NaCN	49,01	—	562,3	—
Калий	K	39,096 *	0,86	62,2	774
Калий азотистокислый	KNO ₂	85,11	1,92	297,5	—
Калий азотнокислый	KNO ₃	101,11	2,10	336	—
“ углекислый ”	K ₂ CO ₃	138,2	2,29	891	—
“ едкий ”	KOH	56,11	2,12	360,4	1324
“ цианистый ”	KCN	65,11	1,56	623,5	—
“ хлористый ”	KCl	74,56	1,99	768,0	1415
Медь	Cu	63,57 *	8,945	1083	2360
Медь закись	Cu ₂ O	143,14	5,88	>1280	—
Медь окись	CuO	79,57	6,40	1148	—
Бериллий	Be	9,02 *	1,85	1285	2767
Кальций углекислый	CaCO ₃	100,07	2,71	1339	(10,25 atm)
Кальций хлористый	CaCl ₂	110,99	2,15	774	—
Кальций хлористый, гидрат	CaCl ₂ ·6H ₂ O	219,05	1,65	29,5	—
Барий окись	BaO	153,4	5,72; 5,32	—	—
“ углекислый ”	BaCO ₃	197,4	4,3	~1740	—
“ хлористый ”	BaCl ₂ ·2H ₂ O	244,4	3,10	960**	—
Цинк	Zn	65,38 *	7,14	419,4	907***
Цинк окись	ZnO	81,38	5,78	—	1800
Кадмий	Cd	112,41 *	8,65	320,8	768
Ртуть	Hg	200,61 *	13,395	38,85***	357,25
Бор	B	10,82 *	2,3	~2300	2550
Алюминий	Al	26,97 *	2,7	658	1800
Алюминий, гидроокись	Al(OH) ₃	77,99	2,42	—	—
Алюминий карбид	Al ₂ C ₃	143,87	2,36	—	—
“ нитрид ”	AlN	40,98	—	—	
“ окись ”	Al ₂ O ₃	101,94	3,96	2050	2980
Алюминий хлористый	AlCl ₃	133,35	2,41	~190	183
Углерод	C	12,01 *	—		
	Графит	—	2,5	>3600	—
	Алмаз	—	3,5	3600	4830
Углерод окись	CO	28	0,967	—207	-190
“ двуокись ”	CO ₂	44	1,524	— 57	- 78,5
Цианистый водород	HCN	27,01	0,691	— 13	+ 26,5
Ацетилен	CH — CH	26,02	—	— 81	+ 84
Бензол	C ₆ H ₆	78,05	0,88	— 6	+ 80
Глицерин	C ₃ H ₈ (OH) ₃	92,06	1,26	— 19	+ 290
Метан	CH ₄	16,03	0,415	—184	-161,4
Этан	C ₂ H ₆	30,05	—	-172	- 93
Этиловый спирт	C ₂ H ₅ OH	46,05	0,79	-114	78

* Атомный вес.

** Для безводного соединения.

*** Температура возгорания.

**** Температура затвердевания.

Продолжение

Элементы и соединения	Формула	Молекулярный вес	Плотность г/см ³	Температура в °C	
				плавления	кипения
Кремний . . .	Si	28,06 *	2,35—2,40	1427	2287
Кремний карбид (карборунд)	SiC	40,07	3,12	—	—
Кремний окись, квадр.	SiO ₂	60,06	2,65	—	2950
Олово . . .	Sn	72,06 *	5,36	960	2760
Свинец . . .	Pb	207,21 *	11,34	327	1744
Титан . . .	Ti	47,90 *	4,5	1813	5100
Цирконий . . .	Zr	91,92 *	6,4	1700	5050
Азот . . .	N	14,008 *	—	-210***	-196
Аммоний хлористый (иашатырь) . . .	NH ₄ Cl	53,59	1,53	33***	—
Фосфор . . .	P	30,98 *	1,82	44	280
Сурьма . . .	Sb	121,76 *	7,62	630	1440
Висмут . . .	Bi	209,0 *	9,8	271	1450
Ванадий . . .	V	50,95 *	5,68	1710	~3000
Ниобий . . .	Nb	92,91 *	8,57	1950	~3700
Кислород . . .	O	16,00 *	1,13	-219	-183
Сера . . .	S	32,06	2,07 (ромб.) 1,96 (монооклин.)	112,8 119,0	— 444,5
Сера двуокись . . .	SO ₂	64,07	—	-72,7	-10
Кислота серная . . .	H ₂ SO ₄	98,09	1,85	10,49	338
Сернистый водород . . .	H ₂ S	34,09	—	-83	-60,2
Хром . . .	Cr	52,01*	7,14	1550	2480
— хлорный . . .	CrCl ₃	153,4	2,92	—	—
Молибден . . .	Mo	95,95*	10,2	2620	4800
Вольфрам . . .	W	183,92*	19,3	3370	~5920
Вольфрам карбид . . .	W ₂ C	379,85	16,06	2877	~6000
— . . .	WC	192,93	15,07	2777	~6000
Марганец . . .	Mn	54,93*	7,44	1242	2151
Железо . . .	Fe	55,85*	7,86	1530	3000
— окись . . .	FeO	71,84	5,7	1377	—
— окись-окись . . .	Fe ₂ O ₄	231,52	5,16	1527	—
— окись . . .	Fe ₃ O ₄	159,68	5,1	1565	—
— сернистое . . .	FeS	87,91	4,84	1170—1197	—
Железо сернистое (пирит) . . .	FeS ₂	119,98	5,03	—	—
Железо карбид . . .	Fe ₃ C	179,52	7,66	—	—
Железосинеродистый калий (красная кровяная соль) . . .	K ₂ Fe(CN) ₆	329,19	1,85	—	—
Железистосинеродистый калий (желтая кровяная соль) . . .	K ₄ Fe(CN) ₆	422,34	1,93	—	—
Кобальт . . .	Co	58,94*	8,9	1490	2900
Никель . . .	Ni	58,69*	8,9	1452	2900
Платина . . .	Pt	195,23*	21,45	1773	4389

* Атомный вес.

** Для безводного соединения.

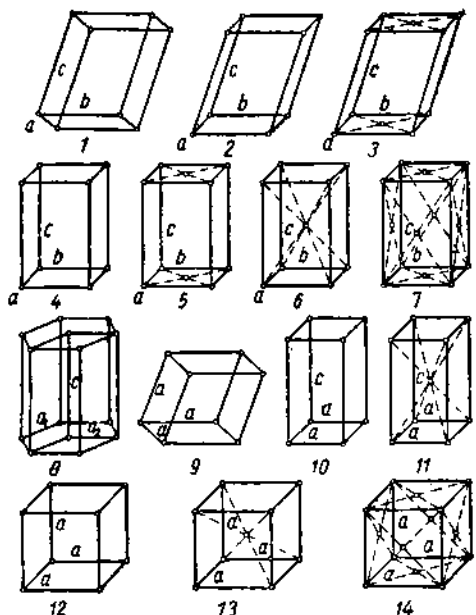
*** Температура взрыва.

**** Температура затвердевания.

УПРУГОСТЬ ВОДЯНОГО ПАРА И СОДЕРЖАНИЕ ВЛАГИ В 1 м³ ВЛАЖНОГО ГАЗА [76]

Темпера- тура в °C	Упругость водяного пара в мм рт. ст.	Содержание влаги в 1 м ³ газа (влажного)		Темпера- тура в °C	Упругость водяного пара в мм рт. ст.	Содержание влаги в 1 м ³ газа (влажного)		Темпера- тура в °C	Упругость водяного пара в мм рт. ст.	Содержание влаги в 1 м ³ газа (влажного)	
		в г/м ³	в %			в г/м ³	в %			в г/м ³	в %
-65	0,002	0,0024	0,0003	0	4,579	4,84	0,602	20	17,54	18,50	2,30
-60	0,007	0,008	0,001	1	4,926	5,21	0,648	22	19,83	21,00	2,61
-55	0,015	0,016	0,002	2	5,294	5,60	0,697	24	22,38	23,60	2,94
-50	0,029	0,032	0,004	3	5,685	6,01	0,748	26	25,21	26,70	3,32
-45	0,052	0,056	0,007	4	6,101	6,46	0,804	28	28,35	30,00	3,73
-40	0,093	0,097	0,012	5	6,543	6,91	0,860	30	31,82	33,70	4,19
-35	0,167	0,177	0,022	6	7,013	7,42	0,922	32	35,66	37,70	4,69
-30	0,28	0,30	0,037	7	7,513	7,94	0,988	34	39,90	42,20	5,25
-25	0,471	0,50	0,062	8	8,045	8,52	1,06	36	44,56	47,10	5,86
-20	0,772	0,81	0,101	9	8,609	9,10	1,13	38	49,69	52,70	6,55
-15	1,238	1,31	0,163	10	9,209	9,73	1,21	40	55,32	58,50	7,27
-10	1,946	2,06	0,256	11	9,844	10,40	1,29	45	71,88	76,00	9,46
-8	2,321	2,45	0,305	12	10,52	11,10	1,38	50	92,51	97,90	12,18
-6	2,761	2,84	0,363	13	11,23	11,90	1,48	55	118,00	125,00	15,50
-5	3,008	3,18	0,395	14	11,99	12,70	1,58	60	149,0	158,0	19,7
-4	3,276	3,46	0,430	15	12,79	13,50	1,68	65	187,5	198,0	24,7
-3	3,566	3,77	0,469	16	13,63	14,40	1,79	70	233,7	247,0	30,7
-2	3,879	4,10	0,510	17	14,53	15,50	1,93	75	289,1	306,0	38,0
-1	4,216	4,46	0,555	18	15,48	16,40	2,04	80	355,1	376,0	46,7
-0	4,579	4,84	0,602	19	16,48	17,40	2,17	90	525,8	555,0	69,1
				20	17,54	18,50	2,30	100	760,0	804,0	100,0

ЭЛЕМЕНТАРНЫЕ ЯЧЕЙКИ ПРОСТРАНСТВЕННЫХ КРИСТАЛЛИЧЕСКИХ РЕШЕТОК



1 — простая триклинная; $a \neq b \neq c$; $\alpha \neq \beta \neq \gamma \neq 90^\circ$; 2 — простая моноклинная; $a \neq b \neq c$; $\alpha \neq \gamma = 90^\circ \neq \beta$; 3 — моноклинная с центрированными основаниями; 4 — ромбическая простая; $a \neq b \neq c$; $\alpha = \beta = \gamma = 90^\circ$; 5 — ромбическая с центрированными основаниями; 6 — ромбическая объемноцентрированная; 7 — ромбическая гранецентрированная; 8 — гексагональная; $a = b \neq c$; $\alpha = \beta = 90^\circ$; $\gamma = 120^\circ$; 9 — ромбоэдрическая; $a = b = c$; $\alpha \neq 90^\circ$; $\beta = \gamma$; 10 — тетрагональная простая; $a = b \neq c$; $\alpha = \beta = \gamma = 90^\circ$; 11 — тетрагональная объемноцентрированная; 12 — кубическая простая; $a = b = c$; $\alpha = \beta = \gamma = 90^\circ$; 13 — кубическая объемноцентрированная; 14 — кубическая гранецентрированная.

ОСНОВНЫЕ ФИЗИЧЕСКИЕ ХАРАКТЕРИСТИКИ ЭЛЕМЕНТАРНЫХ ЧАСТИЦ [40, вып. 11]

	Масса в г	Заряд в кулонах	Магнитный момент в $g\text{с}/\text{см}^3$	Условный радиус в см
Электрон	$9,109 \cdot 10^{-28}$	$-1,602 \cdot 10^{-19}$	$9,27 \cdot 10^{-21}$	$1,1 \cdot 10^{-13}$
Ядро атома				
протон .	$1,6727 \cdot 10^{-24}$	$+1,602 \cdot 10^{-19}$	$2,785 \cdot 5,05 \cdot 10^{-24}$	$1,4 \cdot 10^{-13}$
нейтрон	$1,6749 \cdot 10^{-24}$	0	$-1,935 \cdot 5,05 \cdot 10^{-24}$	—
Атом водорода	$M_{\text{яд}} \cdot 1837,3 =$ $= 1,67 \cdot 10^{-24}$	0	—	$0,528 \cdot 10^{-8}$

Положение о том, что ядра атомов построены только из нейтронов и протонов, было впервые высказано советским физиком Д. Д. Ивановым в 1932 г., чем и было положено начало современному представлению о строении ядра атома.

В ядре каждого элемента ядро несет столько элементарных положительных зарядов и вне ядра движется столько электронов, сколько единиц содержит порядковый номер (Z) данного элемента в периодической системе Менделеева.

ВОЗМОЖНЫЕ ЗНАЧЕНИЯ И СОЧЕТАНИЯ КВАНТОВЫХ ЧИСЕЛ

	<i>l</i>	<i>m</i>	Число электронов <i>N</i>	Количество возможных комбинаций чисел при каждом значении числа <i>n</i> . Максимально возможное число электронов в слое (емкость слоя) $N = 2n^2$
1	0	0	2	$2 \cdot 1^2 = 2$
2	0 1	0 -1, 0, 1	2 6	$2 \cdot 2^2 = 8$
3	0 1 2	0 -1, 0, 1 -2, -1, 0, 1, 2	2 6 10	$2 \cdot 3^2 = 18$
4	0 1 2 3	0 -1, 0, 1 -2, -1, 0, 1, 2 -3, -2, -1, 0, 1, 2, 3	2 6 10 14	$2 \cdot 4^2 = 32$

Квантовые числа:

n — главное, определяющее в основном энергию электрона, равно одному из целых чисел $n = 1, 2, 3, \dots$ *l* — второе, азимутальное число, определяющее момент количества движения электрона на орбите; $l = 0, 1, 2, \dots, n-1$;*m_l* — третье, или „магнитное”, характеризующее поведение орбиты в магнитном поле*m_l* = 0, $\pm 1, \pm 2, \dots, \pm l$;*m_s* — четвертое, характеризующее собственный магнитный момент электрона, возникающий от вращения электрона вокруг его оси (так называемый „спин”); $m_s = +\frac{1}{2}$ или $-\frac{1}{2}$.В спектроскопии слои, отвечающий главному квантовому числу $n = 1, 2, 3, 4, 5, 6$ и 7, обозначаются соответственно *K*, *L*, *M*, *N*, *O*, *P*, *Q*; подгруппы, соответствующие квантовому числу *l* = 0, 1, 2, 3, обозначаются соответственно малыми буквами *s*, *p*, *d*, *f*.

Главное квантовое число соответствует периоду системы Менделеева.

Период	I	II	III	IV	V	VI	VII										
Слой	<i>K</i>	<i>L</i>	<i>M</i>	<i>N</i>	<i>O</i>	<i>P</i>	<i>Q</i>										
Квантовые числа	<i>n</i>	1	2	3	4	5	6	7									
	<i>l</i>	0	0	1	0	1	2	0									
Подгруппа	1 <i>s</i>	2 <i>s</i>	2 <i>p</i>	3 <i>s</i>	3 <i>p</i>	3 <i>d</i>	4 <i>s</i>	4 <i>p</i>	4 <i>d</i>	4 <i>f</i>	5 <i>s</i>	5 <i>p</i>	5 <i>d</i>	6 <i>s</i>	6 <i>p</i>	6 <i>d</i>	7 <i>s</i>
Максимальное число электронов	2	2	6	2	6	10	2	6	10	14	2	6	10	2	6	10	26
Емкость слоя <i>N</i> = n^2	2	8	18		32		18										

Принятые обозначения. Например: кислород, $z = 8$; $1s^2 2s^2 2p^4$; железо, $z = 26$: $1s^2 2s^2 2p^6 3s^2 3p^6 3d^6 4s^2$ (показатель — число электронов в подгруппе).

ПЕРИОДИЧЕСКАЯ СИСТЕМА ЭЛЕМЕНТОВ

ПЕРИОДЫ	ГРУППЫ ЭЛЕМЕНТОВ							
	I	II	III	IV	V	VI	VII	0
1	H водород 1,0080						(H)	He гелий 4,003
2	Li литий 6,940	Be бериллий 9,02	B бор 10,82	C углерод 12,010	N азот 14,008	O кислород 16,0007	F фтор 19,00	Ne нейон 20,183
3	Na натрий 22,997	Mg магний 24,32	Al алюминий 26,97	Si кремний 28,08	P фосфор 30,98	S сера 32,068	Cl хлор 35,457	Ar аргон 39,944
4	K калий 39,096	Ca кальций 40,08	Sc скандий 45,05	Ti титан 47,90	V ванадий 50,95	Cr хром 52,01	Mn марганец 54,93	
	Cu медь 63,54	Zn цинк 65,36	Ga галиций 69,72	Ge германий 72,62	As мышьяк 74,91	Se сelen 78,96	Br бром 79,916	Kr криптон 83,7
5	Rb рубидий 85,59	Sr стронций 87,63	Y литий 88,92	Zr цирконий 91,22	Nb ниобий 92,91	Mo молибден 95,95	Tc технеций 95,2	
	Ag серебро 107,860	Cd кадмий 112,41	In индий 116,76	Sn олово 119,70	Sb сурыма 121,76	Te терпур 127,87	J иода 126,92	Xe ксенон 131,7
6	Cs цезий 132,91	Ba барий 137,56	La лантан 139,92	Hf гасимит 148,6	Ta тантал 160,88	W вольфрам 161,92	Re рений 162,31	
	Au золото 197,2	Hg руть 200,61	Tl талькит 204,94	Pb свинец 207,27	Bi висмут 209,09	Po полоний 209,92	At астатин 210,2	Nt нитон
7	Fr франций 226,05	Ra радий 227	Ac актиний 227	Th торий 232,12				



VIII

Fe железо 55,85	Co cobальт 58,94	Ni никель 58,69
-----------------------	------------------------	-----------------------

Ru рутений 101,7	Rh родий 102,91	Pd палладий 106,7
------------------------	-----------------------	-------------------------

Ag серебро 107,860	Cd кадмий 112,41	In индий 116,76	Sn олово 119,70	Sb сурыма 121,76	Te терпур 127,87	J иода 126,92	Xe ксенон 131,7
--------------------------	------------------------	-----------------------	-----------------------	------------------------	------------------------	---------------------	-----------------------

Os осмий 190,2	Ir иродий 193,1	Pt платина 195,23
----------------------	-----------------------	-------------------------

ЛАНТАНИДЫ (ЛАНТАНОИДЫ)

Ce церий 140,913	Pr прасодий 140,92	Nd нейодим 144,27	Pm прометий 147,1	Sm самарий 150,93	Eu европий 152,0	Gd гадолиний 154,9	Tb титанний 159,2	Dy дильтий 162,46	Ho холмий 164,94	Er эрбий 167,2	Tu титаний 169,4	Yb итербий 173,03	Lu лютениум 176,99
------------------------	--------------------------	-------------------------	-------------------------	-------------------------	------------------------	--------------------------	-------------------------	-------------------------	------------------------	----------------------	------------------------	-------------------------	--------------------------

АКТИНИДЫ (АКТИНОИДЫ)

(Th) титаний 140,913	Pa полоний 218,02	U уран 238,02	Np неупорядоченный уран 233	Pu упорядоченный уран 239	Am америций 243	Cm америй 247
----------------------------	-------------------------	---------------------	-----------------------------------	---------------------------------	-----------------------	---------------------

ФИЗИКО-ХИМИЧЕСКИЕ КОНСТАНТЫ ВАЖНЕЙШИХ ЭЛЕМЕНТОВ, ОБРАЗУЮЩИХ МЕТАЛЛИЧЕСКИЕ СПЛАВЫ [52]

Элементы	Атомный вес A	Атомный объем V_A	Удельный вес (плотность) γ в г/см^3	Температура плавления t_p в $^\circ\text{C}$	Теплота плавления q_p в $\text{kкал}/\text{кг}$	Теплоемкость при 20°C в $\text{kкал}/\text{кг}\cdot\text{град}$	Сжатие при кристаллизации в $^{10^-6}$ в $\text{мм}/\text{мм}^2$	Коэффициент линейного расширения $\alpha \cdot 10^6$ в $\text{мм}/\text{мм}^2$	Механические свойства					Тип кристаллической решётки	Постоянная решётки в \AA	Атомные радиусы в \AA	
									Удельное электросопротивление $10^9 \Omega \cdot \text{м}$	H_B	σ_{sp} в $\text{кз} \cdot \text{мм}^2$	δ в %	B_Φ в %	E в $\text{кг}/\text{мм}^2$			
Алюминий Al .	27,0	10	2,70	658	94	0,21	6,6	24,0	2,7	20	6	40	85	7 200	Куб с центр. гранями	4,05	1,43
Бериллий Be	9,0	4,9	1,85	1285	260	0,425	—	12,3	2,5	140	—	—	—	30 000	Гексагональная	2,28	1,12
Ванадий V	51,0	8,5	5,68	1710	—	0,11	—	—	—	—	—	—	—	—	Объемноцентр. куб	3,04	1,36
Висмут Bi	209,0	21,4	9,75	271	13,0	0,03	3,3	13,45	115	9	Хрупкий			3 200	Ромбоздрическая	4,74	—
Вольфрам W	184,0	9,5	19,3	3370	45,7	0,036	—	4,0	5,48	350	150	—	—	42 000	Объемноцентр. куб	3,150	1,41
Железо Fe α	55,8	7,1	7,86	1530	65	0,102	—	11,9	9,065	80	25–30	50–40	85	21 000	Объемноцентр. куб	2,86	1,26
Золото Au	197,2	10,2	19,32	1063	16,11	0,032	5,2	14,4	2,19	20	14	50	90	7 900	Куб с центр. гранями	4,08	1,46
Калий K	39,1	41,0	0,86	62,2	14,5	0,18	2,5	83,0	7,1	—	—	—	—	—	Объемноцентр. куб	—	2,38
Кадмий Cd	112,4	13,0	8,65	320,8	13,17	0,055	5,0	29,8	7,59	20	6	20	50	5 300	Гексагональная	2,96	1,54
Кальций Ca .	40,1	26,0	1,54	810	—	0,16	—	25,0	10,5	30	6	10	—	2 600	Куб с центр. гранями	5,56	1,97
Кобальт (α) Co	58,9	6,8	8,90	1490	58,38	0,10	—	12,08	9,7	130	25	10	—	20 750	Гексагональная	2,51	1,25
Кремний Si	28,1	11,6	2,35	1427	—	0,17	—	6,95	—	30	—	—	—	4 450	Тип алмаза	5,43	—
Литий Li	6,94	13,0	0,534	186	32,81	0,83	—	56,0	8,55	—	—	—	—	—	Объемноцентр. куб	3,5	1,58
Магний Mg	24,3	14,0	1,74	650	70,0	0,24	4,2	25,7	4,46	25	8–22	3–12	2–19	4 360	Гексагональная	3,22	1,60
Марганец (α) Mn	54,9	7,4	7,44	1242	64,8	0,11	—	23,0	4,4	20	Хрупкий			20 160	Объемноцентр. куб	8,89	1,27
Молибден Mo .	96,0	9,3	10,2	2620	—	0,065	—	4,0	4,4	35	70	—	—	35 000	Объемноцентр. куб	3,143	1,39
Мышьяк As .	74,9	18,1	5,73	850	—	0,08	—	5,0	35	—	—	—	—	—	Ромбоздрическая	5,6	—
Медь Cu	63,57	7,15	8,94	1038	48,8	0,91	4,0	16,42	1,56	35	22	50	70	11 200	Куб с центр. гранями	3,60	1,28
Натрий Na	23,0	23,7	0,97	97,7	27,53	0,29	2,5	71	4,28	—	—	—	—	—	Объемноцентр. куб	—	1,92
Никель Ni	58,7	6,7	8,9	1452	73,8	0,106	—	13,7	11,8	60	45–56	35–50	50–70	20 500	Куб с центр. гранями	3,54	1,25
Олово (ρ) Sn	118,7	16,3	7,3	231,9	14,40	0,53	2,8	22,4	11,14	5	2	40	90	5 500	Центр. тетрагональн.	5,81	—
Платина Pt .	195,2	9,1	21,45	1773	24,10	0,03	—	8,80	10,06	—	—	—	—	17 000	Куб с центр. гранями	3,93	1,39
Свинец Pb	207,2	18,3	11,34	327,4	6,32	0,03	3,4	29,50	20,4	4	1,8	45	90	780	Куб с центр. гранями	4,94	—
Сера (ромб.) S	32,0	15,5	2,07	112,8	9,3	—	—	—	—	—	—	—	—	—	Ромбическая	—	—
Серебро Ag .	107,9	10,2	10,53	960,5	25,2	0,056	4,5	18,9	1,47	25	13	50	90	8 100	Куб с центр. гранями	4,08	1,4
Сурьма Sb	121,76	18,0	7,62	630	39,4	0,05	1,4	11,29	39,0	30	Хрупкий			7 100	Ромбоздрич. шестигр.	4,5	—
Титан Ti	47,9	10,7	4,5	1813	—	0,11	—	—	35,7	—	—	—	—	8 400	Гексагональная плотная	2,97	1,47
Углерод C	12,0	—	—	—	—	—	—	—	—	—	—	—	—	—	Решётка алмаза	—	—
Алмаз .	—	3,42	3,52	3500	—	0,11	—	1,18	—	—	—	—	—	—	Тетраэдриальная	3,56	—
Графит	—	5,35	2,50	3500	—	0,16	—	7,86	4–10·10 ⁴	—	—	—	—	—	Гексагональная	2,47	—
Фосфор P .	30,98	17,0	1,82	44	5,04	0,18	—	125,3	—	—	—	—	—	—	Ромбоздрическая	5,96	—
Цинк Zn	65,4	7,74	7,14	419,4	24,09	0,088	6,5	32,5	5,92	30	15	20	70	13 000	Гексагональная плотн.	2,67	1,37
Хром Cr	52,0	7,5	7,14	1550	31,75	0,105	—	8,1	2,6	Хрупкий			—	—	Объемноцентр. куб	2,895	1,30

Глава III

СОСТАВ, СВОЙСТВА И НАЗНАЧЕНИЕ СТАЛИ

ДИАГРАММА СОСТОЯНИЯ «ЖЕЛЕЗО — УГЛЕРОД»*

Диаграмма состояния системы „железо — углерод” (фиг. 1) построена на основе открытия Д. К. Чернова в пределах концентрации углерода от 0 до 6,67%. Этому содержанию углерода соответствует химическое соединение Fe_3C . Диаграмма называется цементитной, так как в ней не отражены критические точки (линии), приводящие к образованию графита.

При нагреве и охлаждении железо претерпевает следующие аллотропические превращения:

При нагреве		При охлаждении	
$T^{\circ}\text{C}$	Состояние	$T^{\circ}\text{C}$	Состояние
До 768	α -железо (магнитное)	1539—1390	δ -железо
768—910	β -железо (немагнитное)	1390—898	γ -железо
910—1400	γ -железо	898—768	β -железо
1400—1535	δ -железо	< 768	α -железо

При температуре 768° железо претерпевает магнитное превращение: при нагревании теряет магнитные свойства, при охлаждении приобретает; модификации α и β имеют одинаковую кристаллическую решётку. Потеря или приобретение магнитных свойств объясняются внутриатомными изменениями.

Каждая из аллотропических модификаций железа обладает определенными параметрами кристаллической решётки, находящимися в прямолинейной зависимости от температуры; α , β и γ имеют одинаковую зависимость.

Параметры решётки:

$$\alpha_{0-768^{\circ}} = 2,86 - 2,895 \text{ \AA};$$

$$\delta_{1400-1535^{\circ}} = 2,925 - 2,93 \text{ \AA};$$

$$\gamma_{910-1400^{\circ}} = \sim 3,65 - 3,678 \text{ \AA}.$$

По мере усовершенствования методов исследования положение точек диа-

грамм состояния уточняется. Последние точные данные принадлежат проф. д-ру хим. наук И. И. Корнилову (Институт общей и неорганической химии им. Н. С. Курнакова Академии наук СССР).

Характерные точки диаграммы состояния „железо — углерод”

Точка	Температура t $^{\circ}\text{C}$	Содержание углерода в %
A	1539	0
B	1492	0,45
C	1130	4,3
D	~1600	6,67 (100%, Fe_3C) 2,0 (1,7)
E	1130	6,67
F	910	0
G	1492	0,1
H	1492	0,16
J	723	0,67
K	1400	0
L	723	0,04
M	723	0,80
N	20	0,008

Фазы:

жидкость — жидкий раствор углерода в железе;

аустенит — твердый раствор углерода в γ -железе;

феррит — твердый раствор углерода в α -железе;

цементит — химическое соединение железа и углерода — Fe_3C ;

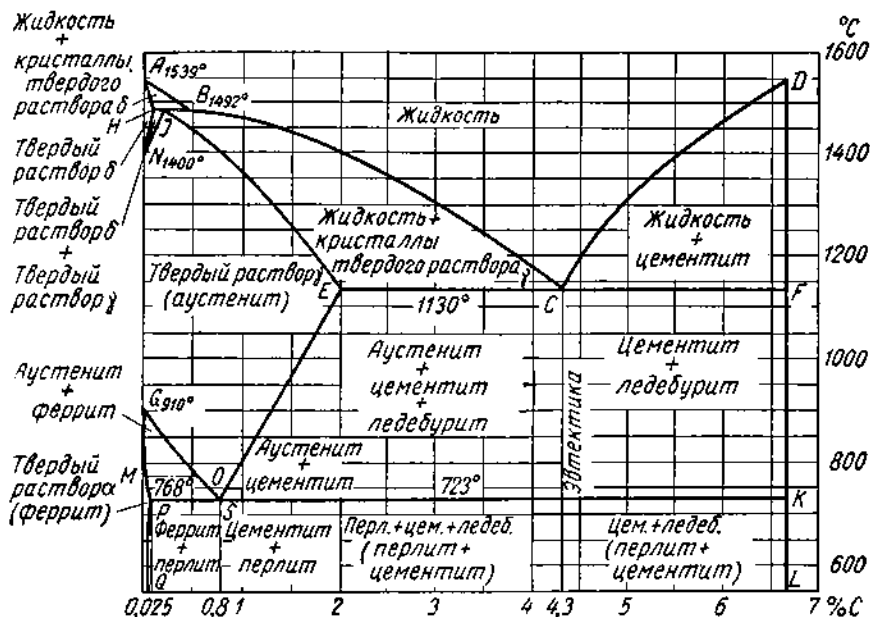
графит — углерод, выделяющийся в сплаве в свободном состоянии.

Линии:

ECF — начала затвердевания (или плавления) чугуна;

GOS — начала выделения феррита;

ES — начала выделения цементита из аустенита;



Фиг. 1. Диаграмма состояния железоуглеродистых сплавов (структурные составляющие и фазы указаны для системы Fe - Fe₃C).

GO — превращения $\beta \rightleftharpoons \gamma$;

OS — превращения $\alpha \rightleftharpoons \gamma$;

PSK — превращения перлита в аустенит и обратно (при нагреве и охлаждении);

GPQ — ограничивающая область α -железа;

MO — магнитного превращения $\alpha \rightleftharpoons \beta$.

Критические точки:

Ac₁ (при нагреве) или *Ar₁* (при охлаждении) — превращение перлита в аустенит и обратно;

Ac₂ или *Ar₂* — магнитное превращение $\alpha \rightleftharpoons \beta$;

Ac₃ или *Ar₃* — превращение $\beta \rightleftharpoons \gamma$ или $\alpha \rightleftharpoons \gamma$;

Ac₄ или *Ar₄* — превращение $\gamma \rightleftharpoons \delta$.

Положение критических точек зависит от скорости нагрева или охлаждения.

СТРУКТУРЫ И ИХ СВОЙСТВА

Феррит (фиг. 2, *a*, см. вклейку) — твердый раствор углерода и легирующих элементов в α -железе — Fe _{α} (C) (почти чистое железо α ; содержание углерода $\leq 0,04\%$); механические свойства феррита: $\sigma_{sp} = 25 \text{ кг}/\text{мм}^2$; $\sigma_7 = 12 \text{ кг}/\text{мм}^2$;

$\delta = 50\%$; $\psi = 80\%$; $H_B = 80 \div 100$. Кристаллическая решетка феррита — кубическая объемноцентрированная, параметр решетки $a = 2,8 \text{\AA}$.

Аустенит (фиг. 2, *b*) — твердый раствор углерода и легирующих элементов в γ -железе — Fe _{γ} (C) (содержание углерода $\leq 2,0\%$); кристаллическая решетка — кубическая гранецентрированная, $a = 3,63 \text{\AA}$.

Цементит (фиг. 2, *c*) — химическое соединение железа и углерода — Fe₃C (6,67% C); $H_B > 700$; температура плавления 1600°; кристаллическая решетка — сложная ромбоэдрическая.

Перлит — эвтектоидная смесь феррита и цементита — Fe _{α} (C) + Fe₃C. Температура равновесного превращения — 723°, концентрация углерода — 0,80%; твердость перлита зависит от формы перлита (в пределах 160—260 H_B); при пластинчатой форме цементита перлит называется пластинчатым (2, *g*), при зернистой — зернистым (фиг. 2, *d*).

Ледебурит (фиг. 2, *e*) — эвтектическая смесь аустенита и цементита, образующаяся при кристаллизации жидкого сплава, содержащего 4,3% C при

1130° — $\text{Fe}_1(\text{C}) + \text{Fe}_3\text{C}$. При температуре ниже 723° ледебурит представляет собой смесь цементита и перлита — $\text{Fe}_3\text{C} + [\text{Fe}_a(\text{C}) + \text{Fe}_3\text{C}]$.

В зависимости от скорости охлаждения аустенит может переохлаждаться ниже температуры его равновесного состояния 723° с образованием неустойчивых структур.

Сорбит (фиг. 2, ж) — продукт превращения (распада) аустенита в интервале (районе) температур 600 — 650° — механическая смесь феррита и цементита, отличающаяся от перлита большей дисперсностью составляющих и более высокой твердостью.

Сорбит также является продуктом распада мартенсита при его нагреве (сорбит отпуска).

Троостит (фиг. 2, з) — продукт превращения аустенита в интервале температур 500 — 610° — механическая смесь феррита и цементита еще большей дисперсности и твердости, чем сорбит. Троостит также является продуктом распада мартенсита при его нагреве.

Игольчатый троостит* (фиг. 2, и) — продукт превращения аустенита

при температуре ниже 600° — предстает собой смесь пересыщенного (по углероду) феррита и цементита чаще игольчатого строения без дифференциации составных частей структуры.

Игольчатый троостит обладает более высокой твердостью, чем троостит.

Название структуры условное; исследования последнего времени показали, что «игольчатый троостит» может иметь и зернистое строение. По свойствам и строению различают «игольчатый троостит» верхний, получаемый в интервале температур распада 600 — 500° , и нижний, получаемый при температуре ниже 500° .

Мартенсит (фиг. 2, к) — раствор углерода и легирующих элементов в железе — продукт бездиффузионного превращения аустенита в α -фазу (без выделения углерода)* — наиболее твердая из всех неустойчивых структур; имеет игольчатое строение. Содержание углерода в мартенсите равно исходному в аустените.

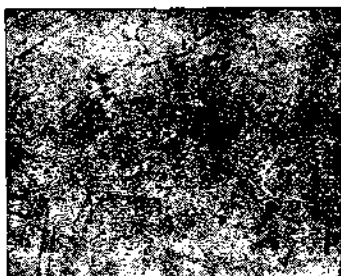
* По последним исследованиям чл.-кор. АН СССР Г. В. Курдюмова, мартенсит есть особая модификация аустенита.

Свойства структурных составляющих стали и чугуна [177, т. 3 и 4]

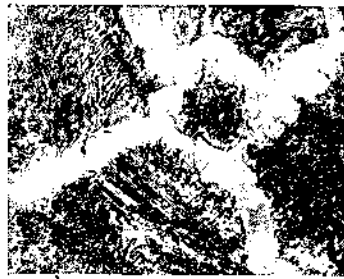
Свойства	Структурные составляющие				
	Аустенит	Феррит	Цементит	Перлит	Графит
Удельная теплоемкость c в $\frac{\text{ккал}}{\text{кг}\cdot\text{град}}$ при:					
100°	0,12	0,1107	0,140	—	0,2024
200°	—	0,1161	0,1488	—	0,2248
300°	—	0,1215	0,1490	—	0,2467
400°	—	0,1275	0,1505	—	0,2671
500°	—	0,1337	0,1524	—	0,2865
600°	—	0,1417	0,1557	—	0,3070
700°	—	0,1515	0,1559	—	0,3237
800°	—	0,1650	0,1649	—	0,3460
900°	—	0,1700	0,1710	—	0,3610
1000°	—	—	—	—	0,3755
1100°	—	—	—	—	0,3860
Коэффициент термического линейного расширения $a \cdot 10^6$ в $\frac{\text{см}}{\text{см}\cdot\text{град}}$	17,0—24,0	12,0—12,5	6,0—6,5	10,0—11,0	7,5—8,0
Теплопроводность λ в $\frac{\text{ккал}}{\text{м}\cdot\text{час}\cdot\text{град}}$	36,0	66,0	6,1	44,6	13,3
Теплопроводность λ в $\frac{\text{кал}}{\text{см}\cdot\text{сек}\cdot\text{град}}$	0,10	0,180	0,017	0,122	0,036
Молекулярный или атомный вес	55,55	55,85	179,5	—	12,01



а



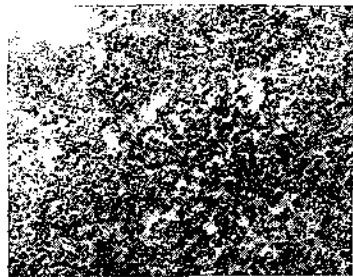
б



в

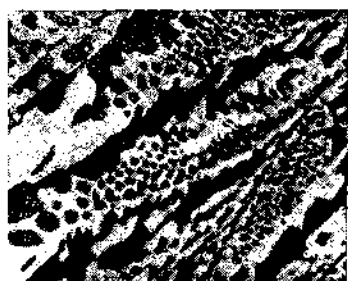


г



д

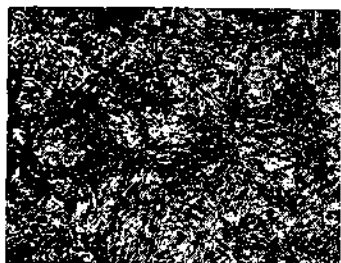
Фиг. 2. Структуры стали: а — феррит; б — аустенит; в — цементит (по границам зерен); г — перлит пластинчатый; д — перлит зернистый.



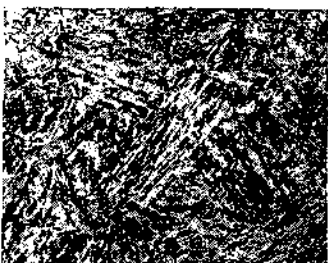
е



жс



з



и



к

Фиг. 2 (продолжение). Структуры стали: е — ледебурит; жс — сорбит; з — троостит; и — „игольчатый троостит”; к — мартенсит игольчатого строения.

Основные атомные и объемные характеристики фаз стали [173]

Фаза	Характеристика атомной решетки			Средний коэффициент расширения		Удельный объем в см ³ /г (привед. к t = 20° С)	
	Тип решетки	Среднее число атомов в решетке	Параметр решетки в Å (привед. к t = 20° С)	Линейный α × 10 ⁶	Объемный β × 10 ⁶		
Феррит	Объемноцентрированный куб	2,000	2,861	14,5	43,5	0,12708	
Аустенит (γ-железо) 0,2% С 0,4% С 0,6% С 0,8% С 1,0% С 1,4% С	Гранецентрированный куб	4,000 4,037 4,089 4,156 4,224 4,291 4,427	3,5586 3,5650 3,5714 3,5778 3,5842 3,5906 3,6034	23,0	70,0	0,12227 0,12270 0,12313 0,12356 0,12399 0,12442 0,12528	
Мартенсит (α-железо) 0,2% С 0,4% С 0,6% С 0,8% С 1,0% С 1,4% С	Тетрагональный	2,000 2,018 2,036 2,056 2,075 2,094 2,132	a 2,861 2,858 2,855 2,852 2,849 2,846 2,840	c 2,861 2,885 2,908 2,932 2,955 2,979 3,026	11,57	35,07	0,12708 0,12761 0,12812 0,12863 0,12915 0,12965 0,13061
Цементит (Fe ₃ C)	Орторомбический	12 (Fe) 4 (C)	$\alpha = 4,5144$ $b = 5,0767$ $c = 6,7297$		12,5	37,5	0,13023

Удельные объемы структурных составляющих стали

(по С. Ф. Юрьеву, фиг. 3)

$$\text{Феррит } (V_a)_t = 0,12708 + 5,528 \cdot 10^{-6} t.$$

$$\text{Аустенит } (V_{\gamma})_t, C_p \approx 0,12282 + 8,56 \cdot 10^{-6} t + 2,15 \cdot 10^{-3} C_p.$$

$$\text{Мартенсит } (V_M)_t, C_p \approx 0,12708 + 4,448 \cdot 10^{-6} t + 2,79 \cdot 10^{-3} C_p.$$

$$\text{Карбид Fe}_3\text{C } (V_k)_t = 0,13023 + 4,884 \cdot 10^{-6} t.$$

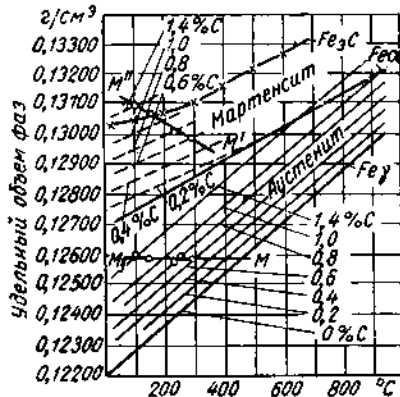
Объемный эффект реакции мартенситного превращения

$$\left(\frac{\Delta V}{V_{M,\gamma}} \right) = 2,5 + 1,08 C_p \%$$

То же ниже точки M_n ($\Delta t = t_{\text{переохл}} - t_{M_n}$).

$$\Delta V = 0,00426 + 0,64 \cdot 10^{-3} C_p - 4,11 \cdot 10^{-6} \Delta t \text{ см}^3/\text{г}.$$

C_p — весовая концентрация углерода.



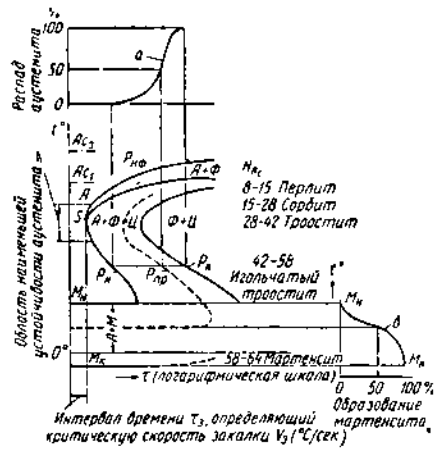
Фиг. 3. Диаграмма объемных состояний фаз (С. Ф. Юрьев [173]).

Твердость H_B структурных составляющих

Феррит	80—100
Цементит	820
Перлит пластинчатый	190—230
“ зернистый	160—190
“ сорбитаобразный	230—260
Сорбит	270—320
Троостит	330—400
Троостомартенсит	400—600
Мартенсит	646—760
Аустенит	170—220

ИЗОТЕРМИЧЕСКИЙ РАСПАД АУСТЕНИТА

Типичная диаграмма изотермического распада аустенита приведена на фиг. 4. Характерные линии и точки диаграммы: линии $P_{\text{н}}$ и $P_{\text{кф}}$ — начало и конец распада аустенита на феррит и цементит, которые при определенном сочетании и дисперсности образуют структуры перлит, сорбит и троостит.



Фиг. 4. Типичная кривая изотермического распада аустенита: а — кривая кинетики распада аустенита; б — кривая кинетики образования мартенсита.

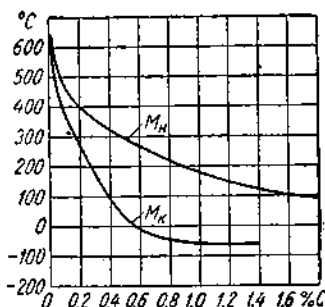
У доэвтектоидной стали линия $P_{\text{н}}$ в верхней части раздваивается; линия $P_{\text{кф}}$ — начало выделения феррита. Линия $P_{\text{пр}}$ характеризует промежуточное количество распавшегося аустенита (25, 50, 75% и т. д.). Кинетика распада аустенита характеризуется кривой a фиг. 4.

Точка S определяет температурную область наименьшей устойчивости аустенита в интервале времени τ_3 , соответствующую критической скорости закалки V_3 °C/сек.

Линии M_{n} и M_{k} — начало и конец превращения аустенита в мартенсит (мартенситные точки).

Количество образующегося мартенсита характеризуется кривой b , приведенной на фиг. 4. Температура начала и конца мартенситного превращения зависит от содержания углерода (фиг. 5) и легирующих элементов в стали (фиг. 6).

Температура начала мартенситного превращения (точка M_{n}) для стали с содержанием 0,2—0,8% C с достаточным

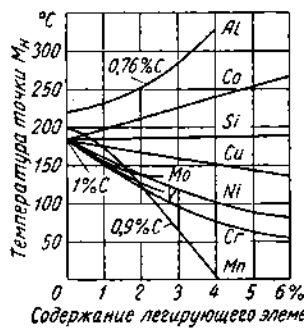


Фиг. 5. Влияние содержания углерода в стали на температуру начала и конца мартенситного превращения — точки M_{n} и M_{k} . Мартенситная диаграмма углеродистой стали [155].

для практики приближением может быть определена по формуле А. А. Попова [110]:

$$M_n = 520 - 320 (\% \text{C}) - 50 (\% \text{Mn}) - 30 (\% \text{Cr}) - 20 (\% \text{Ni} + \% \text{Mo}) - 5 (\% \text{Si} + \% \text{Cu}).$$

Температура конца мартенситного превращения некоторых марок стали, легированных марганцем, хромом, ванадием и другими элементами, лежит



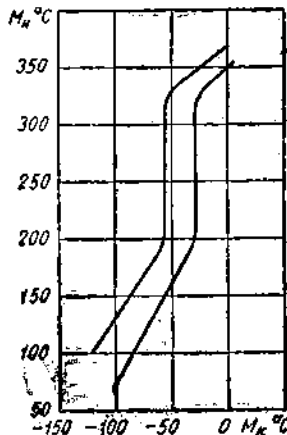
ниже 0° C. На фиг. 7 представлена взаимозависимость точек начала и конца мартенситного превращения, а на фиг. 8 — количество остаточного аустенита.

Влияние легирующих элементов на характер кривых изотермического распада аустенита представлено на фиг. 9 и 10. Комплексное влияние легирующих

элементов приводит к осложнению диаграмм изотермического распада аустенита.

Схемы диаграмм и кривые изотермического распада аустенита некоторых марок стали приведены на фиг. 11, 12 и 13.

В. П. Романовым (Кузнецкий металлургический комбинат имени И. В. Сталина) разработан новый метод изучения превращений аустенита



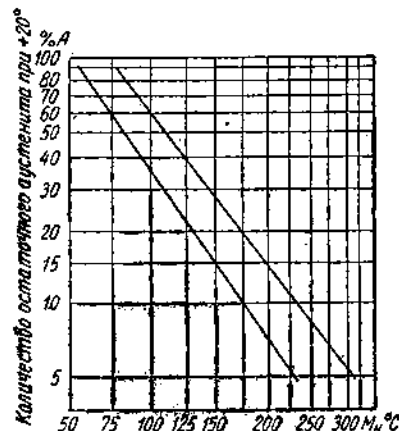
Фиг. 7. Взаимозависимость точек начала и конца мартенситного превращения стали марганцовистой, никелевой, хромистой с содержанием углерода 0,6 и 1,0%, молибденовой с содержанием углерода 1,0%, углеродистой стали и марки 18ХНВА (В. Г. Воробьев [155]).*

стали при непрерывном охлаждении образцов и построения так называемых термо-кинетических кривых. Принцип изучения превращений аустенита на основе построения термо-кинетических кривых заключается в том, что структура и свойства стали изучаются на образцах, охлаждаемых с различной скоростью.

На кривых охлаждения в координатах — "температура — время" ($t-t_0$) отмечаются точки образования новых структур распада аустенита, представляющие собой области верхней и нижней зон образования новой структуры, которая, как отмечалось выше, условно названа "игольчатым трооститом" (при этом отмечено также получение зернистой формы этой структуры).

* На фигурах указаны пределы значений (разброс экспериментальных точек).

Охлаждение образцов с различной скоростью и последующее исследование микроструктуры и физико-механических свойств позволяют точно определять границы превращений в зонах наименьшей устойчивости аустенита.



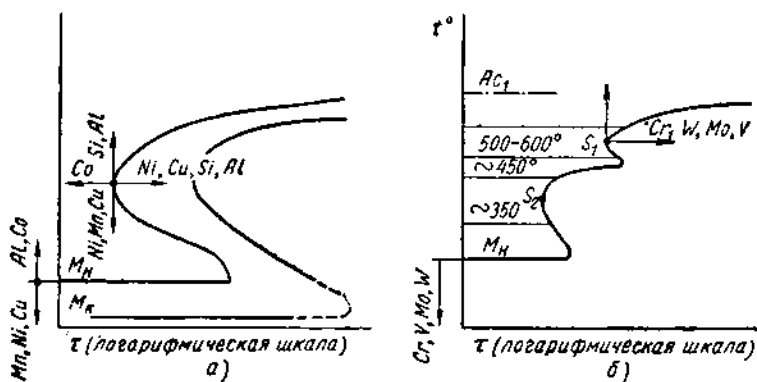
Фиг. 8. Количество остаточного аустенита при комнатной температуре в закаленной стали хромистой с содержанием углерода 0,6 и 1,0%, молибденовой с содержанием углерода 1,0% и углеродистой. Кривая подчиняется закономерности

$$(1 - M_{20}) = e^{-\frac{A}{T/M_n}}$$

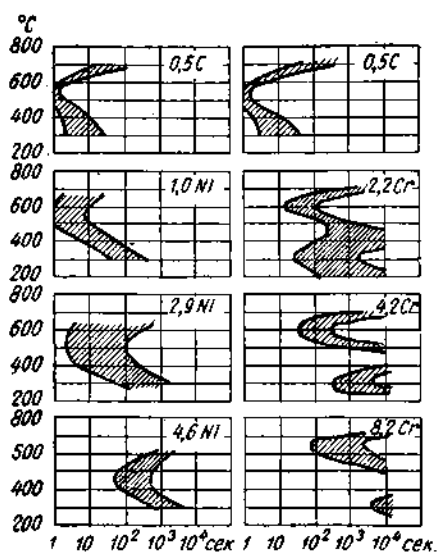
где M_{20} — относительное количество мартенсита при 20°; T — абсолютная температура точки M_n ; A — относительное количество остаточного аустенита (В. Г. Воробьев [155]).*

Влияние легирующих элементов на положение мартенситной точки M_n [177, т. 3]

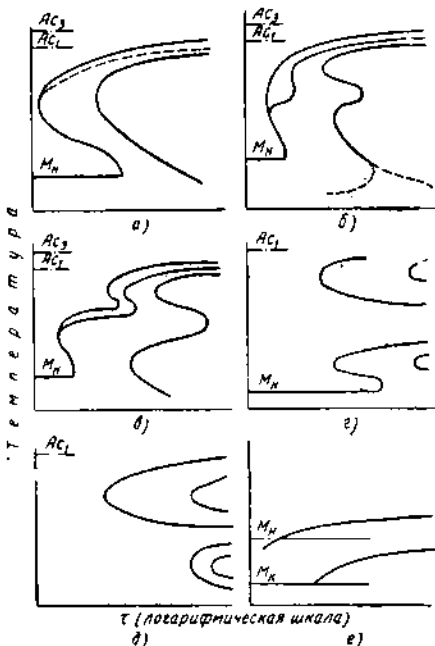
Легирующий элемент	Понижение (или повышение) мартенситной точки M_n в °С на 1% легирующего элемента при содержании углерода в %			
	0,4	0,8	1,0	1,2
Марганец	-50	-	-55	-
Хром	-8	-15	-22	-30
Никель	-12	-	-20	-
Молибден	-17	-	-40	-
Кремний	-	-	0	-
Кобальт	-	-	+12	-



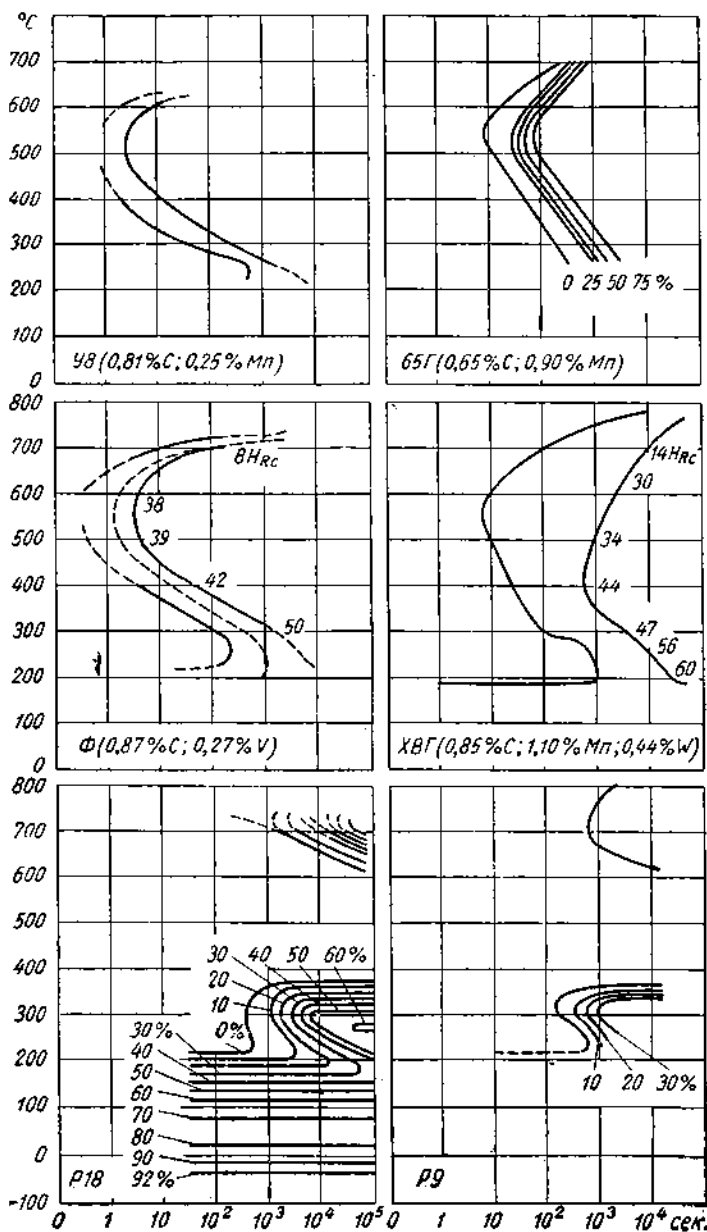
Фиг. 9. Влияние легирующих элементов на характер кривых изотермического распада аустенита: а — кривые для стали, содержащей элементы, не образующие карбидов; б — кривые для стали, содержащей карбидообразующие элементы.



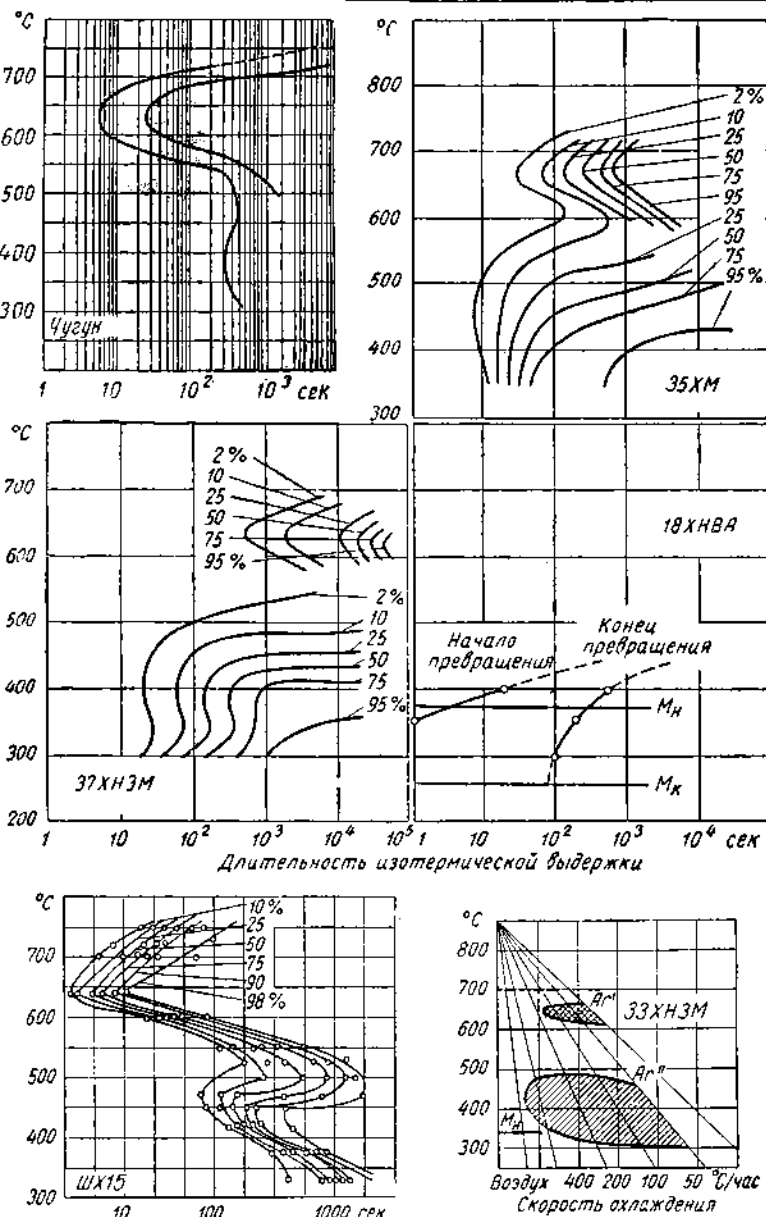
Фиг. 10. Влияние никеля и хрома на характер кривых изотермического распада аустенита стали с 0,5% С (ззоны).



Фиг. 11. Схемы типичных диаграмм изотермического распада аустенита: а — для стали марок: 30—50; У8 — У13; Х, Х05, Х09, ХГ, ХВГ, ХБ5, Ф, 50Г, 50Г2 и т. п.; б — 40ХН, 12ХН2, 35ХМ, 40Х, 35ХН15, 40ХФ; в — 30Н, 12Х2Н4, 30ХМ, 35ХМ, 35ХНМ, 6ХНМ; г — желеzокобальтовые сплавы, нержавеющая хромистая и хромомolibденовая сталь, быстрорежущая сталь марок Р18, Р9 и С — Cr — Mo — W — V — Co; д — быстрорежущая сталь типа С — Cr — Mo — W — V, железокобальтовые сплавы (< 2,0% Co), сталь марки Х12М, е — сталь марок 18ХНВА, 18ХНМА.



Фиг. 12. Диаграммы изотермического распада аустенита стали различных марок.



Фиг. 13. Диаграммы изотермического распада яустенита доэвтектического чугуна состава: 2,9%₀ С, 1,9%₀ Si, 1,2%₀ Mn (0,38%₀ P, 0,2%₀ Cr, 0,2%₀ Ni) со степенью эвтектическости 0,82 (В. Ф. Синкевич [162]) и стали марок: 35ХМ и 37ХН3М (Попов, Нагорнов и др.), 18ХНВА (Гуляев и Дьяконова), ШХ15 (Сирота), типа 33ХН3М (Скляев).

ВЛИЯНИЕ ЛЕГИРИУЮЩИХ ЭЛЕМЕНТОВ НА СВОЙСТВА СТАЛИ

Легирующие элементы стали и чугуна Mn, Si, Cr, Ni, Mo, V, W и др. помимо основного влияния на образование различных структур оказывают также комплексное влияние на физико-

механические и технологические свойства (многие из этих свойств являются функцией структуры).

Необходимо учитывать, что раздельное изучение влияния легирующих элементов в многокомпонентных марках стали дает лишь весьма приближенное представление об их свойствах.

Распределение легирующих элементов в стали

Характер распределения легирующих элементов в стали	Легирующие элементы	Химические соединения, или структурные формы
Находятся в свободном состоянии	Pb, Ag, Cu > 1,0%	Находятся в свободном состоянии в виде включений. В промышленных марках стали указанные легирующие элементы не встречаются. Cu при содержании < 1,0% применяется в малолегированной стали для строительных конструкций.
Дают с железом интерметаллические соединения	—	В промышленных марках стали легирующие элементы интерметаллических соединений не образуют. Химические соединения с железом образуют при большом процентном содержании легирующих элементов, например, FeSi при > 14% Si, Fe ₃ P при > 1,2% P и т. д.
Реагируют с газовой фазой (кислородом), образуя оксиды и другие неметаллические соединения	Элементы, расположенные левее железа в периодической системе Расксилиты: Mn; Si; Al; V; Ti и т. д.	Элементы, имеющие большее сродство к кислороду, чем к железу, образуют окислы: MnO; SiO ₂ ; Al ₂ O ₃ ; V ₂ O ₅ ; TiO ₂ . Элементы, имеющие большее сродство к сере, чем к железу, создают десульфацию $FeS + Mn \rightarrow MnS + Fe$
Растворяются в цементите или самостоятельно образуют карбиды	Элементы, расположенные левее железа в периодической системе: Mn; Cr; Mo; W; V; Nb; Ti; Zr и др.	Элементы, имеющие к углероду большее сродство, чем железо, помимо растворения в цементите образуют специальные карбиды: Mn ₃ C; Cr ₃ C ₂ или Cr ₂ C ₃ ; Mo ₂ C или Fe ₂ Mo ₃ C; WC или Fe ₂ W ₂ C; VC; NbC; TiC; ZrC
Растворяются в феррите (железе)	Большинство легирующих элементов, кроме удаленных в периодической системе от железа и неметаллов (C, N, O, B и S) Элементы, расположенные в периодической системе левее железа, распределяются между ферритом и карбидной фазой Элементы, расположенные правее железа, — Ni, Co, Pt, Cu, а также Al и Si, только растворяются в феррите, не образуя карбидов	Указанные легирующие элементы находятся в отожженной стали в следующих структурных формах: алюминий — в феррите и оксидах; кремний — то же; фосфор — в феррите; титан — в феррите, карбидах и оксидах; ванадий — то же; хром — в феррите и карбидах; марганец — в феррите, карбидах, оксидах и сульфидах; кобальт — в феррите; никель — то же; медь — то же; молибден — в феррите и карбидах; вольфрам — то же. Помимо этих элементов: углерод — в виде карбидов; азот — в виде нитридов; кислород — в виде окислов; сера — в сульфидах

Влияние легирующих элементов на свойства стали
 [37, 52, 177, т. 3, гл. VI *]

Элемент и его кристаллическая решетка	Расторимость в твердом растворе в %		Влияние на свойства феррита **	Влияние на свойства аустенита	Образование карбидов	Влияние на прочие свойства
	γ -Fe	α -Fe				
Алюминий Al; куб. гранецентрированная $a = 4,04 \text{\AA}$	1,1; увеличивается с повышением содержания углерода	30	Значительно повышается твердость H	Повышает точки A_1 и A_3 ; увеличивает содержание углерода в перлите — сдвигает точку S *** вправо, предупреждает рост зерна и уменьшает прокаливаемость при малом содержании, и наоборот: замедляет превращение аустенита; уменьшает критическую скорость закалки v_{α} , $k\rho$; резко повышает мартенситную точку M_H ; уменьшает количество остаточного аустенита — $A_{ ост }$	—	Активно раскисляет; образует нитриды, является легирующим элементом азотируемой стали. Применяется в магнитных сплавах с высокой коэрцитивной силой
Марганец Mn; α -Mn и β -Mn; куб., $a = 6,29 \text{\AA}$, γ -Mn; тетрагональная гранецентрированная $a = 3,77 \text{\AA}$, $b = 3,53 \text{\AA}$	Неограниченная	12	Резко повышает σ_{sp} , σ_T , H_p , H_c , снижает ϕ , α_H , α , B , μ	Понижает все критические точки, сдвигает точку S влево; расширяет γ -область; увеличивает склонность к росту зерна; увеличивает прокаливаемость; замедляет превращение аустенита; уменьшает v_{α} , $k\rho$; резко понижает точку M_H (при 4% до 0°); резко увеличивает $A_{ ост }$	Карбидное соединение Mn_3C	Противодействует красноломкости при повышении в стали содержания серы; увеличивает износостойчивость, особенно при высоком содержании углерода (например, сталь марки Г13). Снижает α_H , повышает σ_{sp} стали в равновесном и высокоотпущенном состоянии. Увеличивает склонность к отпускной хрупкости

* См. также И. С. Гаев, Металлографический атлас. Металлургиздат, 1941.

** σ_{sp} — предел прочности при растяжении; σ_T — предел текучести; ϕ — сжатие поперечного сечения; H — твердость; β — коэффициент линейного расширения; α_H — ударная вязкость; ρ — удельное электросопротивление; H_c — коэрцитивная сила; B — магнитная индукция; μ — магнитная проницаемость.

*** Точка S диаграммы «железо — углерод».

Элемент и его кристаллическая решетка	Растворимость в твердом растворе в %		Влияние на свойства феррита	Влияние на свойства аустенита	Образование карбидов	Влияние на прочие свойства
	γ -Fe	α -Fe				
Кремний Si решетка алмаза	2% замкнутая область	14,5 при 20°, 18,5 при 1030°	При содержании до 4,5% повышает μ ; снижает H_c , осталтое аналогично Mn	Повышает точки A_1 и A_3 ; сдвигает точку S влево; сужает γ -область, "выклинивает" ее при 10% (с повышенением содержания углерода γ -область расширяется); увеличивает склонность к росту зерна и резко увеличивает прокаливаемость; замедляет превращение аустенита; уменьшает v_{α} , кр; не оказывает влияния на точку M_A ; несколько увеличивает $A_{ост}$	—	Активно раскисляет; является легирующим элементом стали со специальными электрическими и магнитными свойствами; углерод повышает износостойчивость и является основным графитизирующим элементом; повышает a_{cr} и снижает a_n и δ стали в равновесном и высокоотпущенном состоянии
Никель Ni куб. гранецентрированная $a = 3,51 \text{ \AA}$	Неограниченная	25	Повышает σ_T , H , Φ , ρ . H_c снижает B , μ ; при содержании до 2% повышает a_K	Понижает точки A_1 и A_3 ; сдвигает точку S влево; неограниченно расширяет γ -область; слабо влияет на рост зерна; умеренно увеличивает прокаливаемость; замедляет превращение аустенита; уменьшает v_{α} , кр; понижает точку M_A ; увеличивает $A_{ост}$	—	Повышает прочность стали при одновременном повышении вязкости; переводит высокогохромистые стали в аустенитный класс. В сочетании с хромом является наиболее распространенным легирующим элементом конструкционной стали
Кобальт Co: гексагональная; $a = 2,51 \text{ \AA}$; $c/a = 1,63$	Неограниченная	80	Резко повышает твердость H	Повышает точки A_1 и A_3 ; сдвигает точку S влево; сужает в небольшой степени γ -области; слабо влияет на рост зерна; уменьшает прокаливаемость; ускоряет превращение аустенита; увеличивает v_{α} , кр; повышает точку M_A ; уменьшает $A_{ост}$	—	Иногда применяется в быстрорежущей стали для повышения ее красностойкости. Применяется в магнитных сплавах с высокой коэрцитивной силой

Продолж.

Элемент и его кристаллическая решетка	Растворимость в твердом растворе в %		Влияние на свойства феррита	Влияние на свойства аустенита	Образование карбидов	Влияние на прочие свойства
	γ -Fe	α -Fe				
Хром Cr; куб. объемно-центрированная; $a = 2,88\text{\AA}$	12,8 (20 при 0,5% C)	Неограниченная	Повышает ρ , H_c , $\sigma_{\text{бр}}$, σ_T , H_s ; снижает α , B , μ	Понижает точку A_1 , и повышает точку A_3 ; сдвигает точку S влево; сужает γ -область, замыкает ее при ~130%; "выклинивает" при ~150%; препятствует росту зерна; резко увеличивает прокаливаемость; зона наименьшей устойчивости аустенита при 100–500°; 400–250°; увеличивает v_s , кр.; понижает точку M_u ; увеличивает $A_{\text{ост}}$	Карбидные соединения Cr_2C —куб. границен-трированная; $a = 10,63\text{\AA}$; Cr_7C_3 — гексагональ-ная; $a = 4,53\text{\AA}$; $c = 13,98\text{\AA}$	Растворяется в цементите, заменяя атом железа; повышает устойчивость против коррозии (при содержании > 14%) и окисления; увеличивает износостойчивость; повышает сопротивляемость снижению прочности при высоких температурах
Молибден Mo; куб. объемно-центрированная; $a = 3,14\text{\AA}$	3,5	5 при 20°; 38 при 1450°	Повышает H_c , $\sigma_{\text{бр}}$, σ_T ; снижает α , B , μ ; не оказывает влияния на ψ	Повышает точку A_1 , понижает точку A_3 , сдвигает точку S влево; сужает γ -область, замыкает ее при 20%; "выклинивает" при 70%; препятствует росту зерна; увеличивает прокаливаемость; зона наименьшей устойчивости аустенита ~ 600° и 350°; уменьшает v_s , кр.; понижает точку M_u ; незначительно увеличивает $A_{\text{ост}}$	Фаза внедрения — Mo_2C ; карбидное соединение $\text{Fe}_3\text{Mo}_2\text{C}$; Mo_2C — гексагональ-ная; $a = 2,993\text{\AA}$, $c/a = 1,58$; $\text{Fe}_3\text{Mo}_2\text{C}$ — куб.; $a = 11,05$	Повышает температуру роста зерна аустенита; уменьшает склонность стали к отпускной хрупкости; повышает краснотойкость; является легирующим элементом быстрорежущей и конструкционной стали; в быстрорежущей стали повышает чувствительность к ее обезуглероживанию
Вольфрам W; куб. объемно-центрированная; $a = 3,15\text{\AA}$	1,5	6 при 20°; 32 при 1540°	Повышает $\sigma_{\text{бр}}$, σ_T , H_s ; снижает ψ , α , H_c	Повышает точки A_1 и A_3 ; сдвигает точку S влево; сужает γ -область и выклинивает ее при 6,5%; препятствует росту зерна аустенита; резко увеличивает прокаливаемость; зона наименьшей устойчивости аустенита 50–400° и ~ 100°; резко уменьшает v_s , кр.; понижает точку M_u ; незначительно увеличивает $A_{\text{ост}}$	Фазы внедрения — W_2C , WC и карбидное соединение $\text{Fe}_3\text{W}_2\text{C}$; W_2C — гексагональная; $a = 2,966\text{\AA}$, $c/a = 1,578$; WC — куб. объемно-центрированная; $a = 2,901$; $\text{Fe}_3\text{W}_2\text{C}$ — куб.; $a = 11,04$	Резко повышает краснотойкость; является основным легирующим элементом быстрорежущей стали; сплавы с 6–32% W (без углеродистые) способны к дисперсионному твердению

Элемент и его кристаллическая решетка	Растворимость в твердом растворе в %		Влияние на свойства феррита	Влияние на свойства аустенита	Образование карбидов	Влияние на прочие свойства
	$\gamma\text{-Fe}$	$\alpha\text{-Fe}$				
Ванадий V; куб. объемно-центрированная; $a = 3,03\text{\AA}$	1,25	Ограниченнай (~ 28)	Повышает твердость H	Повышает точки A_1 и A_3 ; сдвигает точку S влево; сужает γ -область и "выклинивает" ее; препятствует росту зерна аустенита; замедляет превращение аустенита; уменьшает $v_{\alpha, kp}$; дает две зоны наименьшей устойчивости аустенита: ~ 700° и ~ 500°; увеличивает прокаливаемость; понижает точку M_n	Фаза внедрения VC; куб. гранецентрированная; $a = 4,13\text{\AA}$	Повышает устойчивость против отпуска, является основным легирующим элементом быстрорежущей и некоторых марок конструкционной стали
Титан Ti; гексагональная; $a = 2,95\text{\AA}$; $c/a = 1,61$	0,75	Ограниченнай (~ 22)	--	Резко повышает точки A_1 и A_3 ; резко сдвигает точку S влево; сужает γ -область и при 1% "выклинивает" ее; препятствует росту зерна; повышает прокаливаемость в растворенном виде (карбиды снижают прокаливаемость); уменьшает $v_{\alpha, kp}$	Фаза внедрения TiC — куб. гранецентрированная; $a = 4,32\text{\AA}$	Связывает углерод в карбиды; снижает твердость мартенсита и уменьшает прокаливаемость в среднехромистой стали; препятствует получение аустенита после закалки в высокохромистой стали. Сталь с 2% Ti и 0,5% C не закаливается
Медь Cu; куб. гранецентрированная; $a = 3,60\text{\AA}$	5,9 при 820° до 21 при 1400°	3,5 при 820°; 0,4 при 20°	--	Понижает точку A_3 , повышает прочность, повышает прокаливаемость	--	Увеличивает устойчивость против воздушной коррозии, повышает когезионную силу в магнитных сплавах; в чугунах снижает температуру начала графитизации

ЗЕРНИСТОСТЬ СТАЛИ

Действительное зерно — размер зерна, полученный в стали в результате ее термической обработки.

Наследственное зерно — размер зерна аустенита, полученный при определенной температуре нагрева, превышающей критическую для роста зерна.

Методы определения величины аустенитного зерна

А. Для дозвтектоидной стали (по ГОСТ 5639-51) размер зерна определяется по карбидной сетке, образованной по границам зерен аустенита при цементации.

Цементация образцов (круглых $\varnothing 15$ — 30 mm или плоских 15 — 30 mm) производится при $930 \pm 10^\circ$ в активном карбюризаторе в течение 8 час. с получением глубины цементованного слоя $>1,0\text{ mm}$, с последующим медленным охлаждением: углеродистой стали $<100^\circ/\text{час}$, легированной $<50^\circ/\text{час}$.

Травление шлифов: а) кипящим раствором пикрата натрия, б) 4% -ным раствором азотной кислоты в этиловом спирте и в) 50% -ным раствором пикриновой кислоты в этиловом спирте.

Б. Для дозвтектоидной стали размер зерна определяется по карбидной сетке, получаемой после нагрева образцов до $930 \pm 10^\circ$, выдержки в течение 3 час. и охлаждения 80 — $100^\circ/\text{час}$ до 600° . Травление шлифов — аналогично методу цементации.

В. Для углеродистой и легированной конструкционной и инструментальной стали размер зерна определяется по сетке окислов, выявляемых методом горячего травления или окисления микршлифов.

1. Метод горячего травления. Полированный шлиф нагревается в печи с защитной атмосферой, или в печи с применением защитных покрытий от окисления шлифа (засыпка стружкой из серого чугуна, бурой, древесно-угольным порошком и т. п.), или в ванне из углекислой соли (Na_2CO_3), буры и др. при температуре $930 \pm 10^\circ$ в течение 3 час. с последующим горячим травлением в расплавленных солях следующего состава: $\frac{1}{8}\text{BaCl}_2 + \frac{1}{3}\text{NaCl} + \frac{1}{8}\text{CaCl}_2$ при температуре 930° в течение 2—5 мин. Охлаждение образцов в керосине.

В случае нечеткого выявления сетки шлиф дополнительно травится в 4% -ном растворе пикриновой кислоты в этиловом спирте.

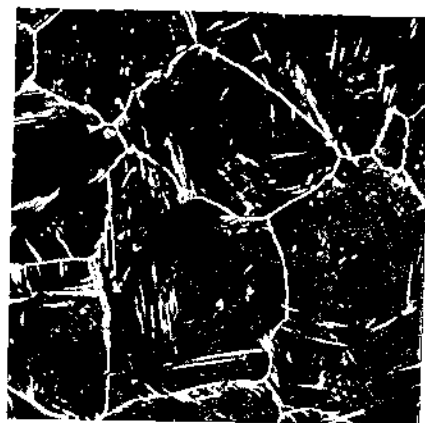
2. Метод окисления. Шлифы нагреваются в окислительной среде печи при $930 \pm 10^\circ$ в течение 3 час. После охлаждения образцы шлифуются, полируются и подвергаются травлению 15% -ным раствором соляной кислоты в этиловом спирте в течение 2—10 мин.

Размер зерна определяется под микроскопом при увеличении $\times 100$ путем сравнения видимых на шлифе зерен с эталонным изображением зерен (фиг. 14 см. вклейку).

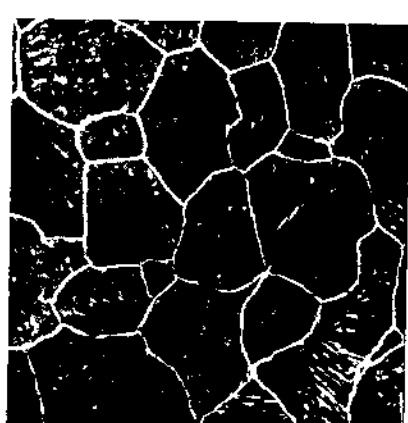
Геометрические параметры зерен различных номеров (по ГОСТ 5639-51)

№ зерна *	Площадь зерна в μm^2			Число зерен на площади 1 mm^2	Число зерен в 1 mm^3	Число зерен, видимых под микроскопом при увеличении $\times 100$, на площади 10 cm^2		
	наименьшая	средняя	наибольшая			наименьшее	среднее	наибольшее
1	160 000	256 000	320 000	4	5,6	0,28	0,38	0,57
0	80 000	128 000	160 000	8	16	0,56	0,75	1,2
1	40 000	64 000	80 000	16	45	1	1,5	2,4
2	20 000	32 000	40 000	32	128	2	3	5
3	10 000	16 000	20 000	64	360	4	6	10
4	5 000	8 000	10 000	128	1 020	8	12	20
5	2 500	4 000	5 000	256	2 900	16	24	40
6	1 200	2 000	2 500	512	8 200	32	48	80
7	600	1 000	1 200	1024	23 000	64	96	160
8	300	500	600	2048	65 000	128	192	320
9	150	250	300	4096	185 000	256	384	640
10	75	125	150	8200	520 000	512	758	1280

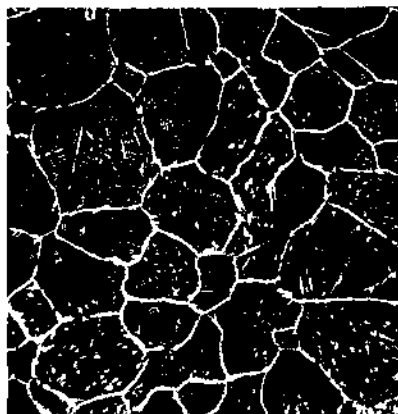
* При наличии в микроструктуре зерен двух номеров обозначение дается двумя номерами, из которых первый указывает преобладающую величину зерна.



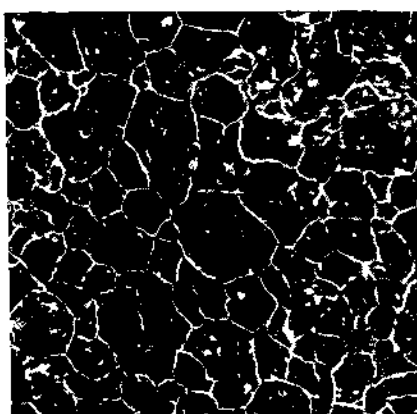
I



2

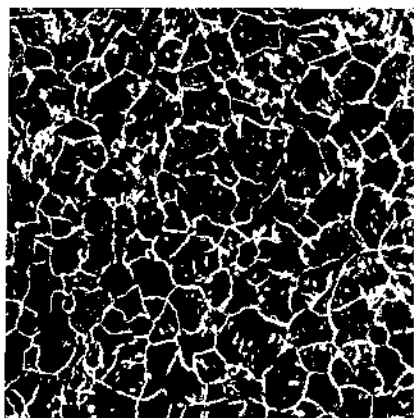


3

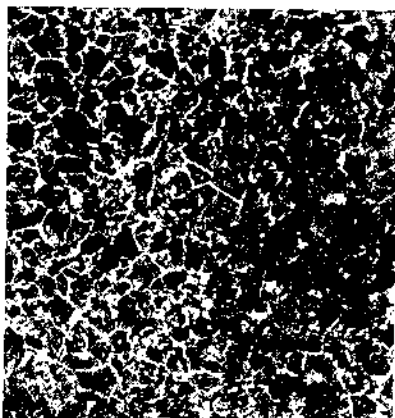


4

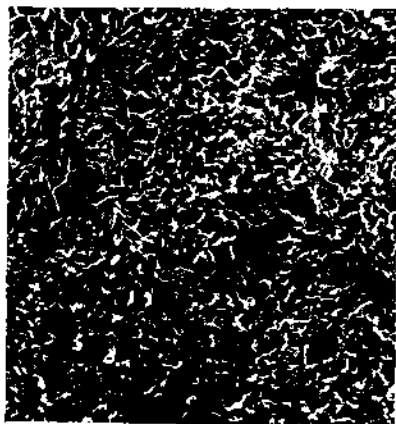
Фиг. 14. Шкала величины аустенитного зерна [цифры указывают номер (балл) зерна]. $\times 100$.



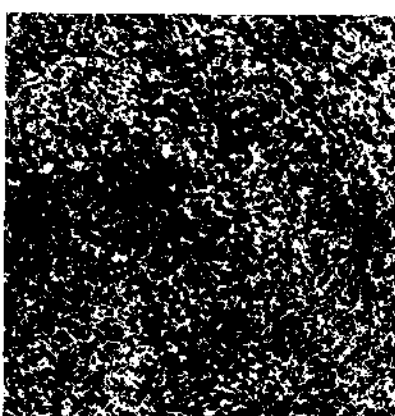
5



6



7



8

Фиг. 14. (продолжение). Шкала величины аустенитного зерна [цифры указывают номер (балл) зерна]. $\times 100$.

Номера зерен при различных увеличениях и соответствующие им номера зерен при стандартном увеличении $\times 100$ (по ГОСТ 5639-51)

Увеличение	№ зерна												
	$\times 100$	-1	0	1	2	3	4	5	6	7	8	9	10
$\times 50$	1	2	3	4	5	6	7	8					
$\times 200$				1	2	3	4	5	6	7	8		
$\times 300$						1	2	3	4	5	6	7	
$\times 400$							1	2	3	4	5	6	

Примеры. При увеличении $\times 50$ № 4 соответствует стандартному № 2; при увеличении $\times 400$ № 2 соответствует стандартному № 6.

Помимо указанных стандартных методов, могут применяться и другие методы определения величины зерна, например:

а) Отжиг с последующим медленным охлаждением для заэвтектоидной стали — сетка цементита располагается по границам аустенитных зерен; нормализация для дозвтектоидной стали — сетка феррита располагается вокруг бывших зерен аустенита — или неполная закалка — тонкая сетка феррита вокруг мартенситных зерен; закалка со скоростью немного ниже критической для стали с любым содержанием углерода — тонкая оточка троостита вокруг мартенситных зерен.

б) Изотермический отжиг для высококарбидистой стали. Нагрев до заданной температуры роста зерен аустенита с быстрым охлаждением до 700° и выдержкой при этой температуре. Продукты распада выделяются по границам зерен аустенита.

в) Специальное травление [реактив: 1 г никриновой кислоты + 5 мг соляной кислоты (конц.) на 100 мг этилового спирта] закаленной на мартенсит стали.

ПРОКАЛИВАЕМОСТЬ СТАЛИ

Прокаливаемость — способность стали воспринимать закалку на глубине от поверхности (прокаливаемость — глубина проникновения закалки).

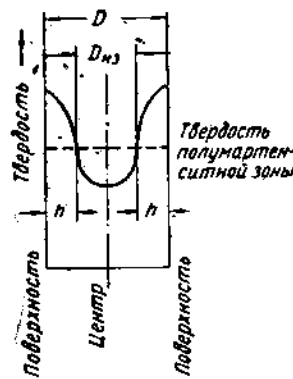
Вопрос о прокаливаемости стали является важнейшей проблемой современного металловедения и термической

обработки, особенно в связи с применением малолегированной стали.

Глубина прокаливаемости (закаленной зоны) — толщина от поверхности до слоя с полумартенситной структурой (50% мартенсита и 50% троостита, фиг. 15 и 16).

$$h_3 = \frac{D_{нз}}{D}.$$

где $D_{нз}$ — диаметр незакаленной сердцевины; D — диаметр образца (детали).



Фиг. 15. Распределение твердости по сечению закаленного образца (цилиндрической детали).

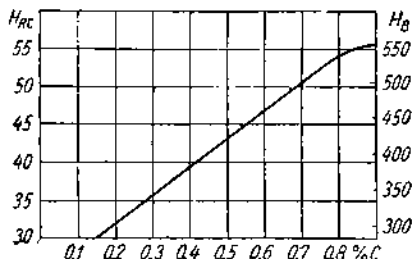
оценка прокаливаемости легированных и высоколегированных марок стали при наличии нижней области наименьшей устойчивости аустенита производится по структуре игольчатого троостита [147].

Прокаливаемость зависит от легирующих элементов в стали, размера зерна, диаметра (размеров) детали и температуры закалки.

Физическим фактором, определяющим глубину прокаливаемости, является скорость распада аустенита в области его наименьшей устойчивости ($500\text{--}700^\circ$ (см. фиг. 4).

Критический диаметр D_{kp} — диаметр, при котором деталь прокаливается насквозь.

Влияние легирующих элементов на прокаливаемость стали изучено советскими исследователями проф. В. С. Меськиным и инж. Л. П. Копп. Приняв за основу величину критического диаметра



Фиг. 16. Твердость полумартенситной зоны в зависимости от содержания углерода в стали.

и определяющую ее критическую твердость в центре образца, они установили коэффициенты повышения прокаливаемости (коэффициенты-множители) в зависимости от легирующих элементов стали.

Коэффициент повышения прокаливаемости стали K_{kp} — отношение критического диаметра для стали, содержащей легирующий элемент, к критическому диаметру так называемой основы — стали, не содержащей данного легирующего элемента:

для хрома (до 1,6%)

$$K_{kp\text{ Cr}} = 1 + 2,25 \text{ Cr},$$

для кремния (до 2,5%)

$$K_{kp\text{ Si}} = 1 + 0,65 \text{ Si} \quad (\text{при } \leq 10\% \text{ Si});$$

$$K_{kp\text{ Si}} = 1,65 \text{ Si} \quad (\text{при } > 10\% \text{ Si});$$

для марганца (до 1,6%)

$$K_{kp\text{ Mn}} = 1 + 5,0 \text{ Mn} \quad (\text{при } t_3 = 830^\circ);$$

$$K_{kp\text{ Mn}} = 1 + 5,5 \text{ Mn} \quad (\text{при } t_3 = 870^\circ),$$

где Cr, Si и Mn — содержание этих элементов в стали в %; t_3 — температура закалки.

Методы определения прокаливаемости: а) экспериментальное определение прокаливаемости (классический способ) путем измерения твердости в сечении закаленного образца (фиг. 17 и 18). Снижение твердости в поверхностных слоях стали марок У13 и В1 с повышением температуры объясняется влиянием остаточного аустенита;

б) по излому закаленных образцов; закалка образцов $20 \times 20 \text{ мм}$ с температурой, например, $760, 800$ и 860° при выдержке 20 мин. с охлаждением в воде (для стали марок У7-У13) при $20\text{--}25^\circ$; в) расчет прокаливаемости по nomogrammam (см. ЭСМ, т. 3, разд. II, гл. IV стр. 288);

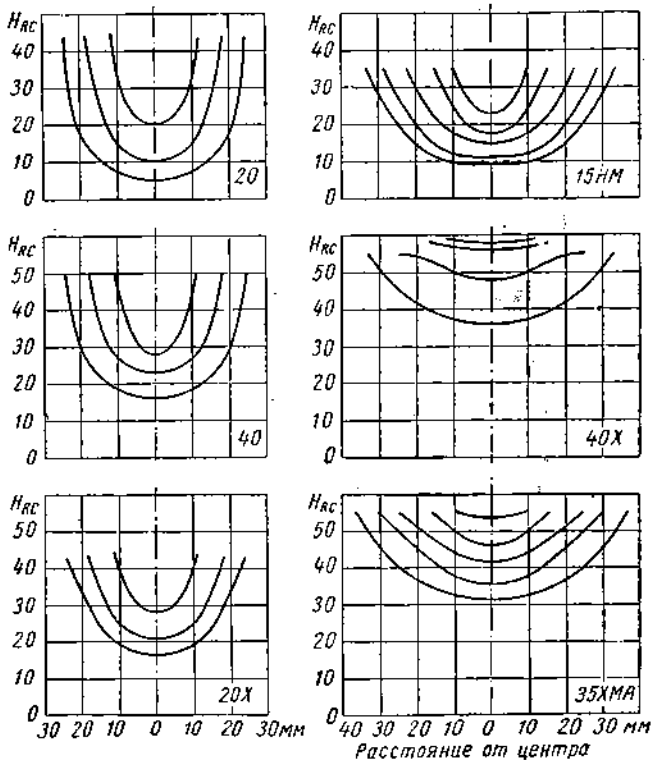
г) экспериментальное определение прокаливаемости высоколегированной стали путем нагрева образцов диаметром 25 мм , ввинченных в цилиндрический блок диаметром 150 мм , охлаждаемых на воздухе или водой с торца (метод Сомина [110]); при охлаждении на воздухе минимальная скорость охлаждения равна 10 град/мин (при 400°); при охлаждении водой с торца минимальная скорость охлаждения равна 10 град/мин, максимальная соответствует торцевой закалке;

Шкалы прокаливаемости стали марок У10А, У12А и Ф

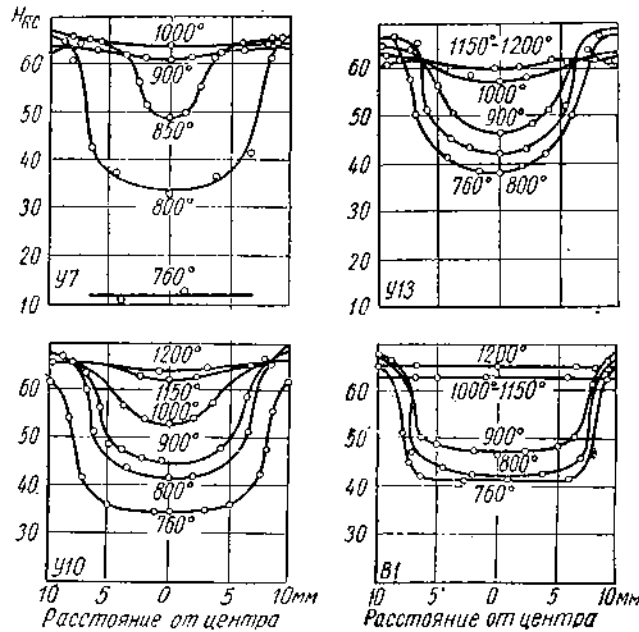
(по данным завода „Фрезер“)

Балл	Прокаливаемость по излому в мм при закалке с температурой *			Назначение стали
	760°	800°	850°	
I	До 0,5 До 1,5	0,5—1,0 2,0—2,5	1,0—2,0 2,5—3,0	Непригодна Развертки $d \leq 20 \text{ мм}$
II	2,0—3,0	3,0—4,0	4,0—5,0	Развертки $d > 20 \text{ мм};$ метчики $d \leq 25 \text{ мм}$
III	4,0—5,0	5,0—6,0	6,0—8,0	Метчики всех размеров

* Отнесение стали к тому или иному баллу производится испытанием при 760° и 800° .



Фиг. 17. Прокаливаемость по сечению некоторых марок конструкционной стали при закалке в воду (по данным Горьковского автозавода им. Молотова; И. С. Зверев).



Фиг. 18. Прокаливаемость по сечению наиболее распространенных марок инструментальной стали (закалка в среды, соответствующие каждой марке; И. С. Гаев «Металлографический атлас»).

д) экспериментальное определение прокаливаемости высоколегированной стали методом частичного или полного воспроизведения на образцах (например, ударных с надрезом) температурного режима охлаждения этой или иной части детали и последующего изучения вида излома образцов (метод Сахина [110]);

е) для определения прокаливаемости конструкционной углеродистой и среднелегированной стали в практике машиностроительных заводов широко распространен метод торцевой закалки, впервые примененный Д. К. Черновым в 1885 г., и затем в 1924 г. акад. Н. Т. Гудцовым и инж. Сильяницким при проведении ими экспериментов на Ленинградском Кировском заводе. Этот метод в настоящее время стандартизован (ГОСТ 5657-51).

Определение прокаливаемости методом торцевой закалки производится на

образцах диаметром 25 мм, длиной 100 мм; закалка водой с торца с последу-



Фиг. 19. Образец для испытания стали на прокаливаемость торцевым методом.

ющим определением твердости по длине образца через равные интервалы, начиная от закаленного торца (фиг. 19 и 20)

Шкалы прокаливаемости стали марки В1 в применении к различным инструментам

(по данным заводов «Фрезер» и «Калибр»)

Балл	Прокаливаемость в мм по излому при закалке с температурой				Назначение по видам и размерам инструмента
	(700°)*	800°	850°	900°	
0	(0,0–0,5) (0,5–1,0)	До 0,5 (0,5–1,0)	0,5–1,0 (1,0)	1,0–2,0 (1,0–3,0)	Непригодна
1	(0,5–1,0)	1,0–2,0	2,0–2,5 (2,0)	3,0–4,0	Развертки средних размеров (кроме штифтовых); метчики $d \leq 14$ мм; сверла $d \leq 20$ мм
2	(1,0–2,0)	2,0–3,5 (2,0–3,0)	4,0–5,0 (3,0–4,0)	5,0–6,0 (4,0–5,0)	Развертки всех размеров (кроме штифтовых)
3	(2,0–4,0)	4,0–6,0 (4,0–5,0)	6,0–8,0 (5,0–8,0)	Сквозная без перегрева	Сверла $d \leq 38$ мм; метчики всех размеров (и плашки); развертки штифтовые; плашки круглые
4	(3,0–5,0)	7,0–9,0 Сквозная без перегрева	Сквозная с небольшим перегревом	Сквозная с небольшим перегревом	Сверла всех размеров; плашки круглые всех размеров; развертки штифтовые
5	(8,0–10,0)	Сквозная без перегрева	Сквозная с небольшим перегревом	Сквозная с перегревом и трещинами	Сверла крупных размеров; плашки круглые крупных размеров

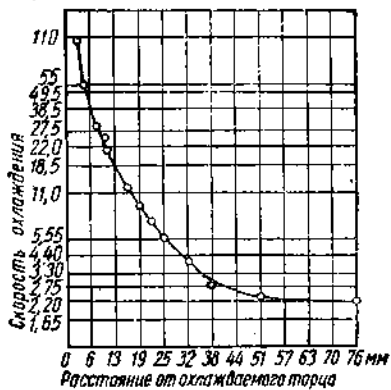
* Цифры, заключенные в скобки, относятся к данным завода «Калибр».

Скорость охлаждения (средняя) в сечениях круглых стальных прутков, нагретых до температур закалки [см. 177, т. 3]

Диаметр образца в мм	Охлаждающая среда	Скорость охлаждения от 700° в град./сек		
		на поверхности	на расстояния половины радиуса от поверхности	в центре
25	Вода	472	75	55
	Масло	65	30	25
50	Вода	305	25	18
	Масло	82	13	10
75	Вода	222	16	8
	Масло	17	6,5	5
100	Вода	8	7,5	4,5
	Масло	5,5	3,5	3

На основе исследований, проведенных в НАМИ (И. С. Козловский и Р. А. Брагилевская), по влиянию различных факторов на прокаливаемость

график



Фиг. 20. Скорость охлаждения при торцевой закалке в зависимости от расстояния от охлаждаемого торца образца.

стали при закалке торцевым методом образца диаметром 25 мм и длиной 100 мм установлено:

1. Оптимальной является высота свободной водяной струи, равная 65 мм; без особого влияния на результат возможно превышение этой величины вплоть до 130 мм.

Скорость охлаждения (средняя), обеспечивающая получение твердости 50 HRC

Марка стали	Скорость охлаждения от 700° в град/сек	Расстояние в м.м. от охлаждаемого торца образца $d = 25$ м.м.
35	87	3,5
45	50	5,0
30Х	20	10,5
40Х	16	12,0
40Х	10	16,0
20Х3	2,5	50,0
12ХН3	10	16,0

2. Изменение диаметра струи в пределах от 6 до 15 мм не оказывается на результатах испытания.

3. Изменение рабочей высоты струи (расстояние от сопла до торца образца при диаметре струи 12,5 мм и свободной ее высоте, равной 65 мм) в пределах от 6 до 20 мм практически не оказывается на результатах испытания.

4. Температура воды в зависимости от химического состава стали может изменяться в пределах:

а) для нелегированных малоуглеродистых и среднеуглеродистых марок стали — от +5 до +30°;

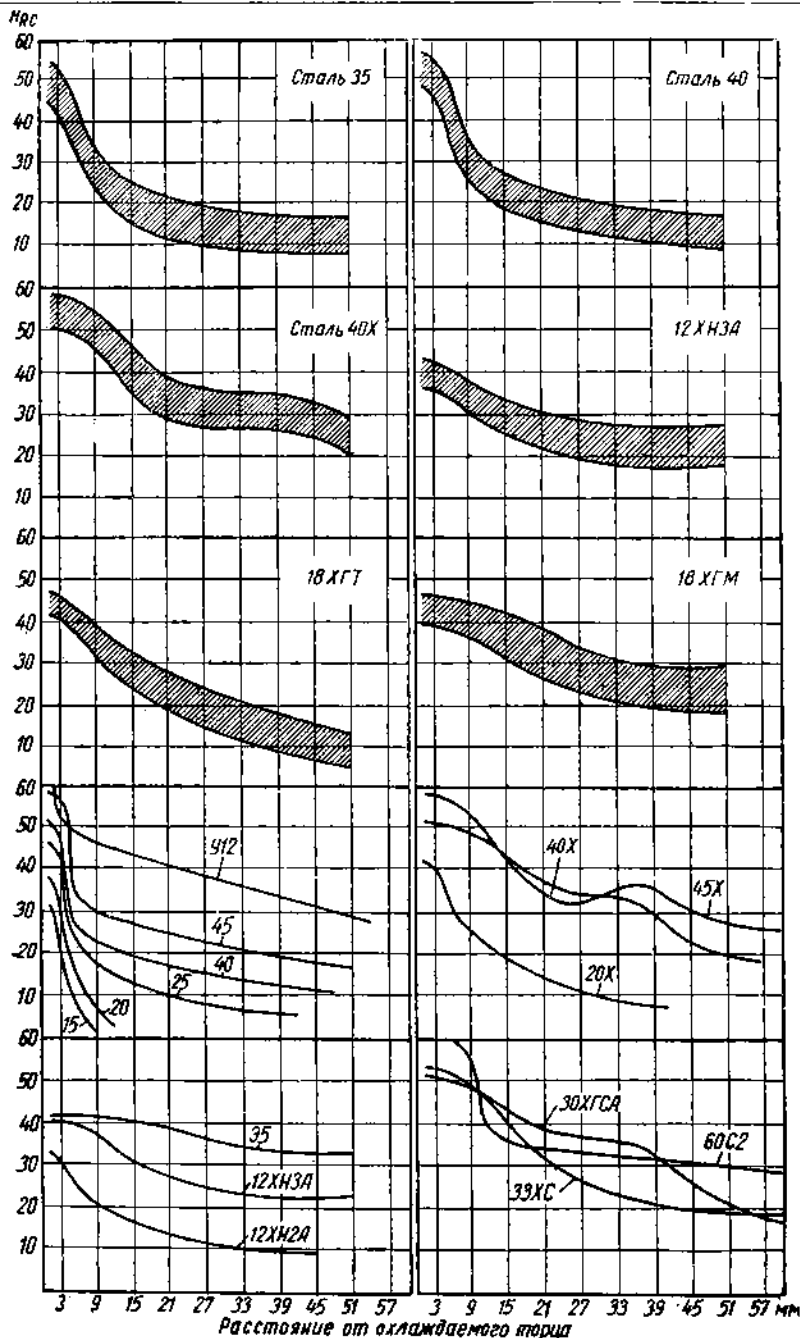
б) для стали типа 45 — от +5 до +40°;

в) для стали легированной малоуглеродистого типа 12ХН3А — от +5 до +64°.

Практически, при массовом испытании стали на прокаливаемость нагрев охлаждающей воды не следует допускать выше +30°.

5. Общая продолжительность нагрева образца в печи, имеющей оптимальную температуру закалки, обеспечивающая прогрев образца диаметром 25 мм, устанавливается равной 45 мин. (продолжительность переноса образца из печи в установку не более 5 сек.).

6. С целью устранения влияния обезуглероживания при проведении массовых испытаний достаточной является глубина сошлифовываемого слоя, равная 0,2 мм (шлифовка при интенсивном охлаждении с двух сторон образца, измерения твердости через 1,5 мм по HRC, нагрузка 150 кг; желательно производить нагрев образца в печи с контролируемой атмосферой; обязательной является защита от окисления и обезуглероживания торца образца).



Фиг. 21. Полосы прокаливаемости некоторых марок стали (И. С. Козловский и Р. А. Брагилевская).

7. Предварительная термическая обработка практически не оказывает влияния на результаты испытания.

Показатели прокаливаемости некоторых марок стали [см. 177, т. 3]

Марка стали	Температура закалки в °С	Обозначение прокаливаемости	Величина зерна
A12	870	$I_{50} = 2$	1-3
25	850	$I_{45} = 3$	5-7
45	840	$I_{50} = 3+4$	6
У12А	770	$I_{50} = 3$	—
30Х	860	$I_{45} = 5+7$	8
40Х*	850	$I_{50} = 6+9$	3-4
40СХ	950	$I_{50} = 12$	8
30ХН3	840	$I_{45} = 10$	—
20Х3	830	$I_{50} = 34$	4-5
18ХГМ	960	$I_{50} = 7$	—
18ХНВА	850	$I_{45} = 24$	5-6
12ХН3А	780	$I_{50} = 4.5 + 16.5$	7-8

* В обозначениях, например, $I_{50} = 6+9$ принята твердость 50 H_{Rc} на расстоянии $l=6+9$ мм от охлаждаемого конца образца [в США принято обозначение $I_{50} = 6+9$; обозначение по НАМИ для этой же стали: $\Pi_{40X} = (6+9)_{50}$].

Прокаливаемость стали марок 20Х3, 18ХГМ, 18ХНВА и 12ХН3А определялась после цементации при 950° в течение 6 час.

Оптимальные условия охлаждения образцов

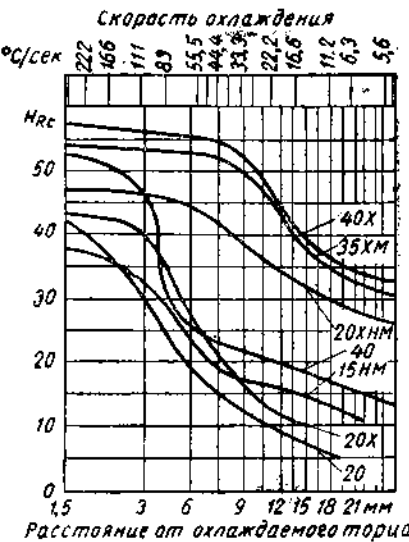
Диаметр образца в мм	Диаметр сопла в мм	Высота свободной струи в мм	Расстояние от сопла до торца в мм
25	12,5	65	12,5
20	12,5	65	12,5
12	6	100	10
6	3	200	6

Полосы и кривые прокаливаемости некоторых марок стали приведены на фиг. 21 и 22.

Эквивалентная твердость сердцевины круглых образцов в зависимости от среды охлаждения приведена на фиг. 23.

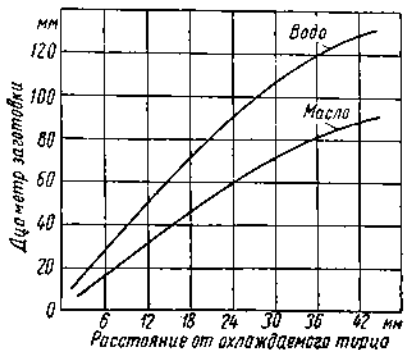
Для определения прокаливаемости высоколегированной глубокопрокаливающейся стали А. Л. Немчинским [109] разработан способ торцевой закалки

образцов диаметром 60-80 мм при тепловой изоляции их поверхности путем применения трех-четырех железных эк-



Фиг. 22. Кривые прокаливаемости некоторых марок стали (по данным Горьковского автозавода им. Молотова; Н. С. Зверев).

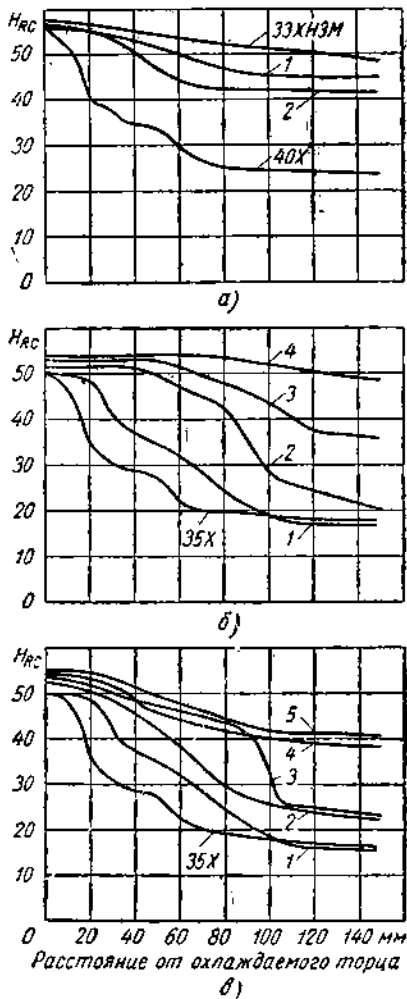
ранов с воздушными прослойками. Экраны предохраняют теплоотдачу с поверхности образцов при охлаждении, что дает более точные показания твердости.



Фиг. 23. Эквивалентность твердости сердцевины круглых стальных деталей и расстояния от охлаждаемого торца в зависимости от среды охлаждения при закалке (И. С. Козловский).

На фиг. 24 приведены кривые прокаливаемости некоторых легированных марок стали.

Закаливаемость стали — способность стали воспринимать закалку с получением на поверхности максималь-



Фиг. 24. Влияние легирующих элементов на закаливаемость. Кривые прокаливаемости получены по методу Немчинского на образцах диаметром 70 м.м., длина 150 м.м.

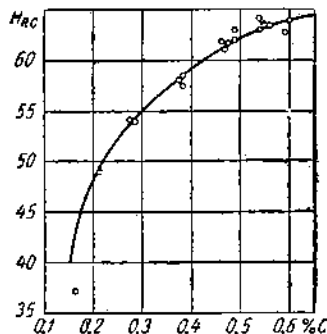
а) 1 — сталь типа 33ХН3М с содержанием 1,4% Cr, 1,48% Ni и 0,17% Mo; 2 — сталь типа 33ХН3М с содержанием 1,9% Cr, 3,5% Ni и 0,58% Mo.

б) 1 — сталь типа 35Х с содержанием 1,85% Cr; 2 — то же 3,0% Cr; 3 — то же 4,61% Cr ($I_3 = 880^\circ$); 4 — то же 4,61% Cr ($I_3 = 950^\circ$);

в) 1 — сталь типа 35Х с содержанием 1,85% Cr; 2 — то же плюс 1,05% Si; 3 — то же плюс 0,99% Mn и 1,25% Si; 4 — то же плюс 1,91% Mn; 5 — то же плюс 1,58% Ni (П. В. Скалов [155]).

но возможной твердости при структуре маргентита.

На основании многочисленных исследований установлена зависимость твердости на поверхности от содержания углерода (фиг. 25). Эта зависимость



Фиг. 25. Зависимость максимальной твердости закаленной стали от содержания углерода.

действительна для конструкционных углеродистых и легированных марок стали.

ХИМИЧЕСКИЙ СОСТАВ, МЕХАНИЧЕСКИЕ СВОЙСТВА И НАЗНАЧЕНИЕ РАЗЛИЧНЫХ МАРОК СТАЛИ

Классификация стали [52; 177, т. 3, гл. VII]

Сталь можно классифицировать по следующим признакам: а) способу получения; б) химическому составу; в) структуре; г) качеству; д) методу придания формы и размеров; е) применению.

Классификация стали по способу получения

В жидком состоянии — маркновская основная, маркновская кислая; бессеревовская; электросталь кислая и основная; тигельная.

В твердом состоянии — электролитическое железо.

Классификация стали по химическому составу

По химическому составу сталь подразделяется на углеродистую и легированную.

Принятые ГОСТ обозначения марок стали: первые две цифры обозначают среднее содержание углерода в сотых долях процента; Г — марганец, С — кремний, Х — хром, Н — никель, В — вольфрам, Ф — ванадий, М — молибден, Ю — алюминий, Т — титан; цифры за буквами обозначают процентное содер-

жение соответствующего элемента, округленное до целого числа.

Высококачественная сталь, более чистая по содержанию серы и фосфора и обладающая более высокими механическими свойствами, обозначается буквой А в конце индекса.

Классификация стали по химическому составу

Тип стали	Содержание легирующих элементов в %	Марка стали (пример)	ГОСТ
Углеродистая			
Конструкционная	a) Mn до 0,8 при С до 0,75 б) Mn до 1,2 при С~0,75 в) Mn до 1,8 при С до 0,55 г) Mn до 0,4 при С≥0,6 д) Mn до 0,6 при С≥0,6	20, 45 и др. 65Г 50Г2 У8 У8Г	Б-1050-41 Б-1414-42 Б-1435-45
Инструментальная			
Легированная			
а) низколегированная	Общее содержание легирующих элементов <3,0 %	40Х, 40ХГ, 40ХГМ	4543-48
б) среднелегированная	Общее содержание легирующих элементов от 3 до 5%	20ХН3, 20ХНМ, 7Х3, ШХ15	4543-48 5950-51 801-47
в) высоколегированная	Общее содержание легирующих элементов >5%	18ХНВ, 35ХН3, Х12, 4ХНВ, Р18	4543-48 5950-51 5952-51

Классификация стали по структуре

Класс стали	Краткая характеристика	Примеры типов стали по химическому составу
<i>В равновесном состоянии (после медленного охлаждения)</i>		
Доэвтектоидная	В структуре избыточный (доэвтектоидный) феррит	Углеродистая, <0,83%, С низколегированная
Завтектоидная	В структуре избыточные карбиды (вторичные, выделившиеся из аустенита)	Высокуглеродистая, 0,83—1,7%С и среднє- и высоколегированная
Ледебуритная	В структуре первичные карбиды	Высоколегированная
Ферритная	α-фаза устойчива	Высоколегированная, содержащая элементы, "выклинивающие" γ-область, —Cr, W, Mo, V, Ti, Si, Al и др.
Полуферритная	α+γ частичное	
Аустенитная	γ-фаза устойчива	Высоколегированная, содержащая элементы, расширяющие γ-область, —Ni, Mn, Co
Полуаустенитная	γ+α частичное	

Продолжение

Класс стали	Краткая характеристика	Примеры типов стали по химическому составу
<i>В закаленном состоянии (после охлаждения на воздухе) *</i>		
Перлитная	При охлаждении происходит распад аустенита на перлито-ферритную смесь в области наименьшей устойчивости аустенита	Сталь углеродистая, низко- и среднелегированная
Мартенситная	При охлаждении происходит переохлаждение аустенита до температуры мартенситного превращения (до точки M_4)	Высоколегированная конструкционная - 18ХНВА, легированная инструментальная - Х12, Х12М быстрорежущая
Аустенитная	Температура начала мартенситного превращения M_4 ниже нуля	Сталь ЭИ256 (Г13) жаростойкая, теплостойчивая и др.
Карбидная **	В структуре карбиды	Сталь, содержащая в составе карбидообразующие элементы, например, Cr, W, Mo, Ti

* При изменении скорости охлаждения принятые классы по структуре становятся условными. Так, при увеличении скорости охлаждения в стали перлитного класса можно получить мартенситную структуру, и наоборот—при замедленной скорости в стали мартенситного класса можно получить перлитную структуру.

** Сталь карбидного класса может иметь перлитную, мартенситную, аустенитную структуру.

Классификация стали по качеству

Группа	Наименование группы стали	Краткая характеристика стали
1	Обыкновенного качества	Углеродистая — широкого погребения
2	Повышенного качества (ПК)	Углеродистая — котельное железо, сталь для бандажей, для паровозных и вагонных осей, для изготовления проволоки
3	Качественная (К)	Углеродистая, низко- и среднелегированная конструкционная, например, 40Х, 20НМ и др. (ГОСТ 4543-48), рессорно-пружинная, инструментальная, штамповочная и др.
4	Высококачественная (ВК)	Углеродистая и легированная (с индексом А по ГОСТ 4543-48), высоколегированная, шарикоподшипниковая и др.

Высококачественную сталь определяют минимальное содержание S и P и особые требования по чистоте (неметаллическим включениям)

Классификация стали по методу придания формы и размеров

Литая — стальное фасонное литье.

Кованая — поковки свободной ковки и штамповки.

Катаная — прокат различного профиля — пруток, лента, лист, проволока, специальные профили и т. п.

Классификация стали по применению

Сталь конструкционная подразделяется по признакам:

а) химического состава — на углеродистую и легированную;

б) технологическим — на цементируемую ($\leq 0,25\%$ С); улучшаемую (0,35—0,60% С); автоматную, с повышенным содержанием серы и фосфора.

По применению для различных деталей машин сталь подразделяется на строительную; для авиастроения; для автотракторостроения; сельхозмашиностроения; станкостроения; для вагоностроения и т. п.; бандажную; для паровозных и вагонных осей; заклепочную; шарикоподшипниковую; рессорно-пружинную и т. п.

Сталь инструментальная подразделяется на: инструментальную углеродистую и легированную (режущий и измерительный инструмент, штампы холодного деформирования металлов, штампы горячего деформирования металлов) и инструментальную быстрорежущую.

Сталь с особыми свойствами: нержавеющая и кислотостойкая; окалиностойкая и жаропрочная; сплавы с высоким омическим сопротивлением; сталь со специальными физическими свойствами и др.

Химический состав и механические свойства углеродистой стали обыкновенного качества (по ГОСТ 380-50) [180]

Сталь группы А подразделяется на марки по механическим свойствам, гарантированным в состоянии поставки

Механические свойства стали группы А обыкновенного качества (по ГОСТ 380-50)

Марки	σ_{kp} в кг/мм ²	δ в %			σ_T в кг/мм ²	Норма испытания на загиб*
		при σ_{kp}	δ_{10}	δ_5		
Ст. 0	32—47	32—47	18	22	19	$d = 2a$
Ст. 1	32—40	32—40	28	33	—	$d = 0$
Ст. 2	34—42	34—42	26	31	22	$d = 0$
Ст. 3 **	38—47	{ 38—40 41—43 44—47	23 22 21	27 26 25	{ 24	$d = 0$
Ст. 4	42—62	{ 42—44 45—48 49—52	21 20 19	25 24 23	{ 26	$d = 2a$
Ст. 5	60—62	{ 50—53 54—57 58—62	17 16 15	21 20 19	{ 28	$d = 3a$
Ст. 6	60—72	{ 60—63 64—67 68—72	13 12 11	15 14 13	{ 31	—
Ст. 7	≥ 70	{ 70—74 75—79 > 80	9 8 7	11 10 9	{ —	—

* Обозначения: d — толщина оправки; a — толщина образца при испытании загиб в холодном состоянии на 180°.

** При толщине от 12 до 25 мм ударная вязкость сортовой и фасонной стали при испытании на продольных образцах $a_H = 10 \text{ кгм/см}^2$; листовой и широкополосовой стали на продольных образцах $a_H = 8 \text{ кгм/см}^2$; то же на поперечных образцах $a_H = 7 \text{ кгм/см}^2$.

Химический состав стали группы Б [180] (по ГОСТ 380-50)

Марка стали	Химический состав в %				
	C	Mn	Si	S не более	P не более
<i>Сталь марганцевая</i>					
МСт. 0	До 0,23	—	—	0,060	0,070
МСт. 1	0,07—0,12	0,35—0,50	—	0,055	0,050
МСт. 2	0,09—0,15	0,35—0,50	—	0,055	0,050
МСт. 3	0,14—0,22	0,40—0,65	0,12—0,30	0,055	0,050
МСт. 4	0,18—0,27	0,40—0,70	0,12—0,30	0,055	0,050
МСт. 5	0,28—0,37	0,50—0,80	0,17—0,35	0,055	0,050
МСт. 6	0,38—0,50	0,50—0,80	0,17—0,35	0,055	0,050
МСт. 7	0,50—0,63	0,55—0,85	0,17—0,35	0,055	0,050
<i>Сталь бессемеровская (конверторная)</i>					
БСт. 0	До 0,14	—	—	0,070	0,090
БСт. 3	До 0,12	0,25—0,55	0,10—0,35	0,065	0,085
БСт. 4	0,12—0,20	0,35—0,55	0,10—0,35	0,065	0,085
БСт. 5	0,17—0,30	0,50—0,80	0,10—0,35	0,065	0,085
БСт. 6	0,26—0,40	0,60—0,90	0,10—0,35	0,065	0,085

В кипящей стали содержание кремния — следы для всех марок стали, содержание марганца для стали марок МСт. 1, МСт. 2 и МСт. 3 от 0,30 до 0,50%.

НАЗНАЧЕНИЕ, ХИМИЧЕСКИЙ СОСТАВ, МЕХАНИЧЕСКИЕ СВОЙСТВА И

ГОСТ или ТУ	Назначение	Марка стали	Химический			Прочие	$\sigma_{B, P}$ в кг/мм ²	σ_T в кг/мм ²	δ_{10}/δ_5 в %	Технологические пробы *
			C	Mn	Si		S не более	P		
<i>Сортовая и фасонная</i>										
499-41	Заклепочная общего назначения	Ст. 2 Ст. 3				По ГОСТ				
ОСТ 12535-38	Заклепочная мостостроительная	Ст. 2 мост.	—	—	—					
	Конструкционная мостостроительная	Ст. 3 мост.	—	—	—					
5058-49	Заклепочная низколегированная (она же для металлических конструкций)	НЛ1 (СХЛ3) НЛ2 (СХЛ2)	$\leq 0,15$ $0,12-0,18$	$0,5-0,8$ $0,5-0,8$	$0,3-0,5$ $0,3-0,5$					
538-41	Для котельных связей и анкеров	Ст. 1				—				
		Ст. 2	По ГОСТ 380-50			—				
		Ст. 3				—				
ТУ 106	Связевая для морских котлов	Ст. 3ТС	$0,12-0,20$	$\leq 0,65$	$< 0,4$					
		Ст. 4Т	$0,18-0,26$	$\leq 0,60$	$< 0,4$					
		Ст. 5К	$\leq 0,30$	$\leq 0,80$	$< 0,4$					
5521-50	Для судостроения	Ст. 1С	$0,07-0,12$	$0,35-0,50$	Следы					
		Ст. 2С	$0,09-0,15$	$0,35-0,50$	—					
		Ст. 3С	$0,14-0,22$	$0,35-0,60$	$0,12-0,35$					
		Ст. 4С	$0,18-0,27$	$0,40-0,70$	$0,12-0,35$					
		Ст. 4Ф	$0,18-0,27$	$0,40-0,70$	$0,12-0,35$					
		Ст. 4Л	$0,18-0,27$	$\leq 0,70$	$0,12-0,35$					
		Ст. 5С	$0,28-0,35$	$\leq 0,80$	$0,17-0,35$					
		Ст. 5С пов.	$0,28-0,32$	$\leq 0,80$	$0,17-0,35$					

* Технологические пробы: на осадку по ОСТ 1686 в холодном состоянии X_x и в горячем состоянии d_x ; на незакаливаемость по ОСТ 1684— d_3 .

ТЕХНОЛОГИЧЕСКИЕ ПРОБЫ СТАЛИ ОБЫКНОВЕННОГО КАЧЕСТВА [180]

состав в %			Механические свойства				Технологические пробы *		
S не более	P	Прочие	$\sigma_{B, P}$ в кг/мм ²	σ_T в кг/мм ²	δ_{10}/δ_5 в %				
сталь общего назначения									
380-50			34-42	—	26/31	$X_x = 0,4; X_z = 1_3$			
			38-47	—	22/26	$X_x = 0,5; X_z = 1_3$			
0,05	0,04	—	34-42	—	26/31	$X_x = 0,4; X_z = 0,33;$			
0,05	0,045	—	38-45	23	24/28	$d_3 = a$			
0,045	0,04	$\left. \begin{array}{l} 0,5-0,8 \text{ Cr} \\ 0,3-0,7 \text{ Ni} \\ 0,3-0,5 \text{ Cu} \end{array} \right\}$	≥ 42	≥ 30	20. $a_H = 10$	$X_{x, z} = 0,5; d_x = a$			
0,045	0,04		48-63	35/34	18. $a_H = 8$	$d_x = 2a$			
0,05	0,05	—	32-40	—	23/33	$X_x = 0,3$			
0,05	0,05	—	34-42	—	26/31	$X_x = 0,4$			
0,05	0,05	—	38-47	—	24/28	$X_x = 0,4$			
0,04	0,04	—	38-41	—	25	$d_3 = 0; X_z = 0,25$			
0,04	0,04	—	41-43	—	24				
0,04	0,04	—	43-45	—	23				
0,04	0,04	—	41-48	—	23	$d_3 = 0; X_z = 0,25$			
0,05	0,05	—	47-52	—	21	$d_x = 1,5a; X_z = 0,33$			
0,05	0,05	—	52-56	—	20	$d_x = 0$			
		—	32-40	—	28/33	$d_x = 0$			
		—	34-42	21	26/31	$d_x = 0$			
		—	38-40	22	23/27				
		—	41-43	22	22/26	$d_x = 0,5a$			
		—	44-47	22	21/25				
		—	42-47	24	21/25				
		—	45-48	24	20/24	$d_x = 2a$			
		—	49-52	24	19/23	$d_x = 2a$			
		—	41-47	24	20/24	$d_x = 2a$			
0,05	0,05	—	42-50	25	20/24				
		—	50-53	27	17/21				
		—	54-57	27	16/20				
		—	58-62	27	15/19	$d_x = 3a$			
		—	50-62	30	18/22	$d_x = 2a$			
		—							

X_z : на загиб на 180° при толщине оправки d и толщине образца a в холодном состоянии по ОСТ 1683— d_x

Продолжение

ГОСТ или ТУ	Назначение	Марка стали	Химический состав в %			Механические свойства			Технологические пробы *
			С	Mn	Si	S не более	P	Прочие	
ТУ 577 (ТУ 681 для листов)	Для судостроения: полособульбовая (листовая)	Для полос (листов) толщиной $< 6 \text{ мм}$ от 6 до 8 мм от 8 до 14 мм	$\leq 0,20$ $\leq 0,22$ $\leq 0,28$	1,3—1,65 1,3—1,65 1,3—1,65	0,4 0,4 0,4				$d_x = 3a$
Ст. 1718-39	То же марганцовистая нормальная	—	$\leq 0,3$	$\leq 1,65$	$\leq 0,4$	0,045	0,045	$\leq 0,5 \text{ Ni};$ $\leq 0,2 \text{ Cr}$	55—70 35 18
ТУ 612	То же для сварных конструкций марганцовистая	Для толщин $\leq 10 \text{ мм}$ 10—30 мм	$\leq 0,22$ $\leq 0,26$	1,3—1,65 1,3—1,65	$\leq 0,4$	0,045	0,04	$\leq 0,5 \text{ Ni};$ $\leq 0,3 \text{ Cr}$	60—70 40 16
<i>Сталь разного назначения</i>									
ОСТ НКТП 4197	Для гаек	Фосфористая	0,06—0,12	$\leq 0,55$	$\leq 0,20$	0,06	0,20—0,25	—	—
ГОСТ 5687-51	Лемешная для машиностроения	Л-53** Л-65***	0,47—0,59 0,60—0,70	0,5—0,8 0,3—0,6	0,15—0,4 0,15—0,4	0,05 0,05	0,05 0,045	—	—
924-41	Для цепей горновой сварки		$\leq 0,18$	0,3—0,6	Следы	0,04	0,04	—	37—45 24 $d_x = 0,5a$
<i>Катаная</i>									
502-41	Катаная проволока	БиМСт. 0*** МСт. 1 БиМСт. 2 МСт. 3	По ГОСТ 380-50						—
4231-42	Катанка телеграфная	Обыкновенная Медистая	$\leq 0,11$ $\leq 0,11$	$\leq 0,5$ $\leq 0,5$	0,2 Cu 0,2—0,4 C	0,05 0,05	0,045 0,045	{ $\leq 0,15 \text{ Cr}$ $\leq 0,20 \text{ Ni}$ }	$\rho = 0,133 \text{ о.м}$ $\rho = 0,141 \text{ о.м}$
<i>* Технологические пробы: на осадку по ОСТ 1686 в холодном состоянии X_x и в горячем состоянии по ОСТ 1683 — d_x; на незакаливаемость по ОСТ 1684 — d_3.</i>									
<i>** При $C > 0,54\%$, Mn $< 0,70\%$.</i>									
<i>*** При $C > 0,65\%$, Mn $< 0,50\%$.</i>									
<i>**** Для стали МСт.0 C < 0,20%, а для стали БСт.0 C < 0,12%.</i>									
<i>Число перегибов: $\varnothing 5,5 \text{ мм} — 12$ $\varnothing 6,0 \text{ } " — 11$ $\varnothing 6,5 \text{ } " — 9$ $\varnothing 7,0 \text{ } " — 8$</i>									

Продолжение

ГОСТ или ТУ	Назначение	Марка стали	Химический состав в %			Механические свойства			Технологические пробы *			
			C	Mn	Si	S не более	P	Прочие				
5520-50	Для котлостроения	Ст. 2	—	—	—			—	34—42	—	26/31	$d_x = 0; d_x = a$ при $a > 30$ мм $d_x = 0,5a; d_x = 1,5a$ при $a > 30$ мм
		Ст. 3	0,12—0,23	—	—			—	38—40	—	23/27	
		15K	0,12—0,20	≤ 0,65	0,15—0,30			—	41—43 44—47 36—38 39—40	— 22/26 21/25 24/28 23/27		$d_x = 0; d_x = a$ при $a > 30$ мм $a_\mu = 8$
		20K	0,16—0,24	≤ 0,65	0,15—0,30	0,045	0,045	—	41—42 43—44 41—42 43—44	22 22 25 25	22/26 21/25 22/26 21/25	
		25K	0,20—0,28	≤ 0,80	0,15—0,30			—	45—47 48—50 45—48 49—52 53—55	25 25 28 28 28	20/24 19/23 20/24 19/23 18/22	$a_\mu = 7$ $d_x = a; d_x = 2a$ при $a > 30$ мм $a_\mu = 7$ $a_\mu = 6$ $d_x = 2a; d_x = 3a$ при $a > 30$ мм $a_\mu = 6$
399-41	Котельная и топочная для паровозов **	Ст. 3Т	0,12—0,22	—	—	0,04	0,04	—	36—38 38—40 40—42 42—46 38—40 40—42 42—44 >44	$a_\mu^{**} = 8$ 8 7 7 7 7 6 6	26 25 24 23 24 23 22 21	$d = 0$
		Ст. 3К	0,12—0,22	—	—	0,05	0,05	—				$d = 0,5a$
ОСТ НКТП 4034	Котельная и топочная для котлов морских и речных судов	Ст. 3ТС	0,12—0,20	—	—	0,04	0,04	—	38—41 41—43 43—45 41—48 47—52 52—56	— — — — — —	25 24 23 23 21 20	$d_3 = 0$
		Ст. 4Т	≤ 0,26	0,6	—	0,04	0,04	—				$d_2 = a$
		Ст. 5К	≤ 0,30	—	—	0,05	0,05	—				$d_x = 1,5a$
ТУ 773	Топочная для с.-х. локомобилей	Ст. 3	по ГОСТ 380-50			0,04	0,04	—	38—40 40—42 42—46	— — —	25 24 23	—

* Технологические пробы: на осадку по ОСТ 1686 в холодном состоянии X_x и в горячем состоянии по ОСТ 1683 — d_x , на незакаливаемость по ОСТ 1684 — d_3 .** Ударная вязкость определяется для листов $s < 10$ мм; при $s > 15$ мм допускается понижениенижней X_x ; на загиб на 180° при толщине оправки d и толщине образца a в холодном состоянии по ОСТ 1683 — d_x , на 0,25% на каждый миллиметр увеличения толщины свыше 15 мм.

Продолжение

ГОСТ или ТУ	Назначение	Марка стали	Химический			состав в %	Механические свойства			Технологические пробы *	
			C	Mn	Si		S не более	P	Прочие		
ТУ 714	Листовая для котлостроения $s = 60 \pm 120 \text{ мм}$	Ст. 2 Ст. 3 Ст. 4	По ГОСТ 380-50			0,05	—	$\leq 0,3\%$ Cr, Ni и Cu (каждого)	—	По ГОСТ 380-41 с уменьшением на 2 кг/мм ²	—
ТУ 977	Для обечайек и днищ сварных коллекторов судовых паровых котлов **	Среднемарганская	0,2—0,27	1,2—1,5	$\leq 0,36$	0,045	0,04	$\leq 0,5\%$ Cr, Ni и Cu (каждого)	57 при 350°—52	$a_H = 7$ при 350° $\sigma_T = 27$	$\phi \geq 40$
ОСТ 10222-39	Качественная для судостроения	Марганцовистая	$\leq 0,32$	1,3—1,65	$\leq 0,45$	0,045	0,04	$\leq 0,5 \text{ Ni}$ $\leq 0,2 \text{ Cr}$	60—75	40	16
Ст. 1718-39	Нормальная широкополосная (универсальная) для судостроения	То же	$\leq 0,3$	$\leq 1,65$	$\leq 0,4$	0,045	0,04	$\leq 0,5 \text{ Ni}$ $\leq 0,2 \text{ Cr}$	60—75	40	16
МПТУ 2120-49	Трамвайные желобчатые	Среднемарганская	0,40—0,55	1,2—1,6	0,15—0,35	0,04	0,04	—	80 _I , 70 _{II}	—	—
4224-48 МПТУ 2222-49	Рельсы железнодорожные широкой колеи до 45 кг/пог. м *** То же типа Р50	М62 Б48 М70	0,55—0,72 0,42—0,55 0,63—0,78	0,6—0,9 0,6—1,1 0,65—1,0	0,13—0,28 0,10—0,30 0,13—0,28	0,05 0,06 0,05	0,05 0,08 0,045	—	>72 >70 >75	При С $\geq 0,64$ — твердые При С $\geq 0,50$ — твердые	321—401 H _B — средняя твердость закаленных концов (> 302 H _B , < 418 H _B)
ТУ 712 (МПТУ 2309-49)	То же узкой колеи	Категория А М Б Категория Б М Б	0,3 0,2 0,3 0,2 (0,14)	— — — —	— — — —	0,065 0,070 0,070 0,075	0,065 (0,06) 0,090 0,070 (0,075) 0,10	— — — —	{ 50 (40)	— — — —	125 H _B
4133-48	Накладки рельсовые широкой колеи	Мст. 6 Мст. 7	По ГОСТ 380-50			—	—	—	70· 50·	10	—
3280-46	Подкладки рельсовые широкой колеи	М Б	$\geq 0,16$ $\geq 0,12$	—	—	—	0,05 0,085	—	— — —	—	—

* Технологические пробы: на осадку по ОСТ 1686 в холодном состоянии X_x и в горячем состоянии X_x на незакаливаемость по ОСТ 1684— d_3 .

** При $\delta > 40 \text{ мм}$ и $l > 5 \text{ м}$ $\sigma_{sp} > 54 \text{ кг/мм}^2$ и $\sigma_T > 34 \text{ кг/мм}^2$, при 350° $\sigma_T > 26 \text{ кг/мм}^2$.

*** Поверхность головок рельс закаливается на глубину 4—10 мм на длине 150—200 мм от торца.

ни X_x ; на загиб на 180° при толщине оправки d и толщине образца a в холодном состоянии по

Продолжение

ГОСТ или ТУ	Назначение	Марка стали	Химический состав в %			Прочие	Механические свойства			Технологические пробы *	
			C	Mn	Si		S	P	δ_{10}/δ_s в %		
<i>Бандажи черные паровозные, тендерные и вагонные</i>											
398-41	Для пассажирских локомотивов всех типов	I	0,50—0,65	0,6—0,9	0,15—0,35		0,05	0,05	$\leq 212 H_B$	75	$\psi = 16$
	Вагонные бандажи всех типов	II	0,55—0,70	0,6—0,9	0,15—0,35		0,05	0,05	—	80	$\psi = 14$
	Тендерные бандажи всех типов	III	0,60—0,75	0,6—0,9	0,15—0,35		0,05	0,05	$\leq 255 H_B$	85	$\psi = 14$
	Ведущие бандажи товарных локомотивов	IV	0,65—0,80	0,5—0,8	0,15—0,35		0,05	0,05	—	90	$\psi = 12$
ОСТ НКТП 3113	Бандажи всех типов узкой колеи	—	—	—	—		0,05	0,05	—	70	$\psi = 15$
											$P = 500 \text{ кг}$
ГОСТ 5257-50	Бандажи трамвайные	—	0,60—0,75	0,6—0,9	—		0,05	0,05	$\leq 229 H_B$	≥ 85	$\psi = 14$
											$P = 1000 \text{ кг}$ $f = 0,75 \frac{D}{\sigma_{sp}}$
<i>Колеса цельноштампанные</i>											
ОСТ НКТП 7550	Колеса вагонов и тендеров	—	—	—	—		—	—	75—90	$\psi = 13$	10
											$P = 1000 \text{ кг}$ $Q = 1,32 R_S$
<i>Ось вагонная заготовка</i>											
74-40	Для вагонных и тендерных осей широкой колеи	Плавочный анализ	0,3—0,45	0,5—0,9	0,15—0,35		0,05	0,05	$\leq 0,3 \text{ Cr}$ $\leq 0,5 \text{ Ni}$ $\leq 0,2 \text{ Cu}$ $\leq 0,1 \text{ Mo}$	$\{ 52—55,9^{**}$	$a_H > 3,5$
		Контрольный анализ в заготовке	0,3—0,48	0,5—0,9	0,15—0,35		0,05	0,05	$\leq 0,35 \text{ Cr}$ $\leq 0,6 \text{ Ni}$ $\leq 0,25 \text{ Cu}$ $\leq 0,1 \text{ Mo}$	$\{ 56—58,9$ $59—61,9$ > 62	$\begin{array}{l} \cdot > 3,0 \\ \cdot > 2,5 \\ \cdot > 2,0 \end{array}$
ГОСТ 4728-49	Для паровозных осей широкой колеи и моторных электровагонов	—	0,35—0,45	0,5—0,8	0,15—0,35		0,05	0,05	$\leq 0,3 \text{ Cr}$ $\leq 0,3 \text{ Ni}$ $\leq 0,3 \text{ Cu}$	$\{ 55—58^{***}$ $58,1—61,0$ > 61	$\begin{array}{l} a_H > 3,5 \\ \cdot > 3,0 \\ \cdot > 2,5 \end{array}$
											$a_H(\epsilon p) = 6,0$ (среднее из 4-х образцов)
											$5,0$ $4,0$ $3,5$
											$a_H(\epsilon p) = 7,0$ $6,0$ $5,0$

* Технологические пробы: P — вес бабы при испытании на удар под копром; f — стрела проекции $A > 15 g \text{ кгм}$, где g — вес бандажа в кг; Q — сумма работы ударов; R — радиус колеса в мм; S — толщина диска колеса в мм.

** Механические свойства определяются на образцах, вырезанных из заготовок сечением 100×100 мм, длиной $\geq 300 \text{ мм}$ в нормализованном состоянии.

*** Механические свойства определяются на образцах, вырезанных из приспособлений к оси со стороны усадочного конца после нормализации с высоким отпуском.

Химический состав и механические свойства качественной, углеродистой стали (по ГОСТ В-1050-41) [181]

Марка стали	Химический состав в %		Нормы твердости $\leq H_B$ *	Механические свойства ***				
	С	Мп		$\sigma_{\delta P}$ в кг/мм ²	σ_T в кг/мм ²	δ_e в %	ψ в %	
				не менее				
05	$\leq 0,06$	$\leq 0,20$	—	—	—	—	—	
08kp	0,05—0,12	$\leq 0,03 Si^{**}$ 0,25—0,50 $\leq 0,03 Si$	131	32	18	33	60	
10	0,05—0,15	0,35—0,65	137	32	18	31	55	
15	0,10—0,20	0,35—0,65	143	35	21	27	55	
20	0,15—0,25	0,35—0,65	156	40	24	25	55	
25	0,20—0,30	0,50—0,80	170	43	26	22	50	
30	0,25—0,35	0,50—0,80	179	48	28	20	50	
35	0,30—0,40	0,50—0,80	187	52	30	18	45	
40	0,35—0,45	0,50—0,80	217/197	57	32	17	45	
45	0,40—0,50	0,50—0,80	241/207	60	34	15	40	
50	0,45—0,55	0,50—0,80	241/217	63	35	13	40	
55	0,50—0,60	0,50—0,80	255/229	64	36	12	35	
60	0,55—0,65	0,50—0,80	255/229	65	37	10	35	
65	0,60—0,70	0,50—0,80	255/229	66	38	10	30	
70	0,65—0,75	0,50—0,80	269/229	67	39	8	30	
15Г	0,10—0,20	0,70—1,00	163	40	23	24	55	
20Г	0,15—0,25	0,70—1,00	197	43	25	22	50	
30Г	0,25—0,35	0,70—1,00	217/187	55	29	15	45	
40Г	0,35—0,45	0,70—1,00	229/207	60	33	14	45	
50Г	0,45—0,55	0,70—1,00	255/229	65	37	11	40	
60Г	0,55—0,65	0,70—1,00	269/229	70	38	9	35	
65Г	0,60—0,70	0,90—1,20	269/229	75	40	8	35	
70Г	0,65—0,75	0,90—1,20	269/229	80	42	7	30	
10Г2	0,05—0,15	1,20—1,60	197/—	43	25	22	50	
30Г2	0,25—0,35	1,40—1,80	241/207	60	35	15	45	
35Г2	0,30—0,40	1,40—1,80	241/207	63	37	13	40	
40Г2	0,35—0,45	1,40—1,80	255/217	67	37	12	40	
45Г2	0,40—0,50	1,40—1,80	269/229	70	41	11	40	
50Г2	0,45—0,55	1,40—1,80	269/229	75	43	10	35	

* В числителе указана норма твердости в горячекатанном состоянии, в знаменателе — в отожженном.

** Все остальные марки стали содержат 0,17—0,37% Si. Сталь марки 08kp содержит S и P по $\leq 0,040\%$; сталь марок 10 до 20Г включительно и 10Г2 содержит S и P по $\leq 0,045\%$; сталь марок 30Г2 до 50Г2, а также 30Г—70Г содержит $\leq 0,040\%$ P и $\leq 0,045\%$ S; содержание Cr и Ni допускается не более 0,30% каждого (для стали 8kp Cr $\leq 0,15\%$).

*** Механические свойства определяются на нормальных разрывных образцах по ГОСТ 1497-42, вырезанных из нормализованных заготовок диаметром 25 мм.

КЛАССИФИКАЦИЯ УГЛЕРОДИСТОЙ СТАЛИ ПО МЕХАНИЧЕСКИМ СВОЙСТВАМ (по ГОСТ 2335-50)

Класс	Марка стали	Максимальный диаметр поковки в мм	Механические свойства						H _B	диаметр отпечатка
			σ_{er} в кг/мм ²	σ_T в кг/мм ²	δ в %	ϕ в %	a_H в кгм/см ²	не менее		
I	15	100	35	25	27	55	6,5	143	5,0	
		100—300	34	17	25	50	6,0			
		300—500	33	15	24	45	5,5			
II	20	100	40	22	24	53	5,5	156	4,8	
		100—300	38	20	23	50	5,0			
		300—500	37	19	22	45	5,0			
		500—750	36	18	20	40	4,5			
III	25	100	43	24	22	50	5,0	170	4,5	
		100—300	40	22	20	48	4,0			
IV	30	100	48	25	19	48	4,0	179	4,5	
		100—300	47	24	19	46	3,5			
		300—500	46	23	18	40	3,5			
		500—750	45	22	17	35	3,0			
V	35	100	52	27	18	43	3,5	187	4,4	
		100—300	50	26	18	40	3,0			
		300—500	48	24	17	37	3,0			
		500—750	46	23	16	32	2,5			
VI	40	100	56	28	17	40	3,0	207	4,2	
		100—300	54	27	17	36	3,0			
		300—500	52	26	16	32	2,5			
		500—750	50	25	15	30	2,5			
VII	45	100	60	30	15	38	3,0	217	4,1	
		100—300	58	29	15	35	2,5			
		300—500	56	28	14	32	2,5			
		500—750	54	27	13	30	2,0			
VIII	50	100	62	32	13	35	3,0	229	4,0	
		100—300	60	30	12	33	2,5			
		300—500	58	29	12	30	2,5			
IX	55	100	66	33	12	30	3,0	229	4,0	
		100—300	64	32	11	28	2,5			
		300—500	62	31	10	25	2,5			
X	60	100	65	35	10	28	—	229	4,0	

* Значения механических свойств относятся к нормальному цилиндрическому пятикратному разрывному образцу и нормальному ударному (ГОСТ 1524-42).

Группы поковок по эксплуатационным требованиям

Группа	Характеристика группы	Обязательные показатели механических свойств	Порядок испытания
H	Неответственные поковки, изготовленные из стали одной марки, независимо от плавки	H_B	> 10% от партии, составленной из поковок одного чертежа
O	Ответственные поковки, изготовленные из стали одной плавки	σ_T , δ или σ_T , ϕ	3—5% от партии, составленной из поковок одного чертежа, одной марки и одной плавки, независимо от числа поковок из одного слитка
OO	Особо ответственные поковки	σ_T , δ , a_H или σ_T , ϕ , a_H	Испытывается каждая поковка

МЕХАНИЧЕСКИЕ СВОЙСТВА ТОНКО- И ТОЛСТОЛИСТОВОЙ УГЛЕРОДИСТОЙ СТАЛИ (по ГОСТ 914-47) [181]

Марка стали	σ_{sp} в кг/мм ² **	Механические свойства			Твердость *	
		δ_{10} в % не менее для листов толщиной в мм			H_B	HRC
		< 1,5	1,5-2,0	> 2,0 **		
05	23	26	28	30	—	—
08 КП	28-38	26	28	30	100	55
08 и 10 КП	28-42	24	26	27	108	61
15 КП	32-45	23	25	26	117	66
20	35-50	22	23	24	127	71
25	40-55	21	22	23	138	76
30	45-60	19	20	21	150	80
35	50-65	16	17	18	161	84
40	52-67	15	16	17	167	85
45	55-70	13	14	15	174	87
50	55-75	11	12	13	184	90

* Относится только к толстолистовой стали (ГОСТ 4041-48).

** Относится как к тонко-, так и к толстолистовой стали.

По штампаемости тонколистовая сталь подразделяется на ВГ — весьма глубокая штампаемость, Г — глубокая и Н — нормальная; по состоянию поверхности подразделяется на 4 группы: 1 — особо высокой отдачи, II, III и IV (см. ГОСТ 914-47). Толстолистовая сталь по штампаемости подразделяется на Г — глубокая штампаемость и Н — нормальная. Легированная тонколистовая сталь поставляется по ГОСТ 1542-42.

ХИМИЧЕСКИЙ СОСТАВ АВТОМАТНОЙ СТАЛИ (по ГОСТ В-1414-42)*

Марка стали	Химический состав в %				
	C	Si	Mn	S	P
A12 .	0,08-0,16	0,15-0,35	0,6-0,9	0,08-0,20	0,08-0,15
A15 .	0,10-0,20	0,15-0,35	0,7-1,0	0,08-0,15	≤ 0,06
A15Г .	0,10-0,20	0,15-0,35	1,0-1,4	0,08-0,15	≤ 0,06
A20 .	0,15-0,25	0,15-0,35	0,6-0,9	0,08-0,15	≤ 0,06
A30 .	0,25-0,35	0,15-0,35	0,7-1,0	0,08-0,15	≤ 0,06
A35 .	0,30-0,40	0,15-0,35	0,8-1,2	0,08-0,15	≤ 0,06
A40 .	0,35-0,45	0,15-0,37	1,20-1,55	0,12-0,30	≤ 0,05
У7АВ .	0,70-0,80	< 0,30	0,4-0,7	0,16-0,24	0,04-0,08

* Марки A40 и У7АВ по ТУ завода-изготовителя.

В стали У7АВ допускается до 0,25 Cr и до 0,25 Ni; в стали A12 при P < 0,10% должно быть S > 0,10%. По требованию потребителей допускается в стали A20 и A35 до 0,20% S; в стали A12 — 0,08-0,15% S.

В прокате для стали A12, A20 и A35 допускаются следующие отклонения по химическому составу: —0,02, + 0,05% C; —0,05, + 0,10% Mn; ± 0,05% Si; —0,01, + 0,02% S; —0,02, + 0,01% P; в горячекатаном состоянии сталь этих марок поставляется без отжига.

МЕХАНИЧЕСКИЕ СВОЙСТВА СОРТОВОЙ АВТОМАТНОЙ СТАЛИ (по ГОСТ В-1414-42)

Марка стали	Сталь горячекатанная			Сталь холоднотянутая нагартованная		
	Предел прочности при растяжении σ_{sp} в кг/мм ²	Относительное удлинение δ_5 в %	Относительное сужение ψ в %	Диаметр прутка в мм	Предел прочности при растяжении σ_{sp} в кг/мм ²	Относительное удлинение δ_5 в %
	не менее	не менее	не менее	не менее	не менее	не менее
A12 и A15 .	42-60	22	35	До 20 20-30 Свыше 30	60-85 55-80 50-75	6 6 6
A15Г и A20 .	50-65	19	30	—	—	—

Примечания: 1. Механические свойства для марок A30, A35 и A40 определяются соглашением сторон.

2. Обрабатываемость резанием автоматной стали марки A12 в 2,5-3 раза выше по сравнению с углеродистой сталью с таким же содержанием углерода (например, марка 15).

3. Механические свойства проволоки из стали У7АВ (в состоянии поставки) следующие:

Диаметр проволоки в мм σ_{sp} в кг/мм² δ в % не менее

До 4,0 вкл. 75-95 4

Свыше 4,0 65-90 7

Свинец в количестве до 0,2% улучшает обрабатываемость автоматной стали, не оказывая влияния на ее механические свойства.

ОТЛИВКИ ФАСОННЫЕ ИЗ УГЛЕРОДИСТОЙ СТАЛИ (по ГОСТ 977-41)

Обозначение марки	Качество *	Химический состав в %										δ в %		
		Способ выплавки стали					Не более							
		C	Mn	Si	Основной	Кислый	бессеребровский	Основной	Кислый	бессеребровский	δ _{BP}	δ _T	δ _{2,8}	
15-4020	Нормальное	0,10—0,20									40	—	20	25
25-4518		0,20—0,30									45	—	18	23
35-5018		0,30—0,40	0,50—0,90	0,17—0,37	0,05	0,06	0,09	0,05	0,06	0,07	50	—	15	19
45-5512		0,40—0,50									55	—	12	15
55-6010		0,50—0,60									60	—	10	12
15-4024	Повышенное	0,10—0,20									40	20	24	30
25-4522		0,20—0,30									45	23	22	27
35-5019		0,30—0,40	0,50—0,90	0,17—0,37	0,05	0,06	0,08	0,05	0,06	0,06	50	25	19	24
45-5516		0,40—0,50									55	28	16	20
55-6012		0,50—0,60									60	30	12	15
15-4028	Особое	0,10—0,20									40	23	28	35
25-4525		0,20—0,30	0,50—0,90	0,17—0,37	0,04	0,05	—	0,04	0,05	—	45	27	25	31
35-5022		0,30—0,40									50	29	22	27

* Отливки подвергаются термической обработке в соответствии с техническими условиями заказа

ХИМИЧЕСКИЙ СОСТАВ КОНСТРУКЦИОННОЙ ЛЕГИРОВАННОЙ СТАЛИ
(по ГОСТ 4543-48)

Тип стали	Марка стали	Химический состав в %					Прочие
		C	Mn	Cr	Прочие		
Хромистая	15Х (A) *	0,12—0,20 (0,18)	0,3—0,6	0,7—1,0	—	—	0,15—0,35 Si
	20Х (A)	0,15—0,25 (0,17—0,24)	0,5—0,8	0,7—1,0	—	—	
	30Х (A)	0,25—0,35 (0,33)	0,5—0,8	0,8—1,1	—	—	
	35Х	0,30—0,40	0,5—0,8	0,8—1,1	—	—	
	38ХА	0,34—0,42	0,5—0,8	0,8—1,1	—	—	
	40Х	0,35—0,45	0,5—0,8	0,8—1,1	—	—	
	45Х (A)	0,40 (0,42)—0,50	0,5—0,8	0,8—1,1	—	—	
	50Х (A)	0,45 (0,47)—0,55	0,5—0,8	0,8—1,1	—	—	
	20Х3 **	0,17—0,24	0,2—0,6	2,6—3,2	—	—	
	15ХГ (A)	0,12—0,20 (0,18)	1,1—1,4	0,4—0,7	—	—	
Хромомарганцевая	20ХГ (A)	0,15 (0,18)—0,25	0,9—1,2	0,9—1,2	—	—	0,10—0,20 V
	40ХГ (A)	0,35 (0,37)—0,45	0,9—1,2	0,9—1,2	—	—	
	35ХГ2 (A)	0,30 (0,32)—0,40	1,6—1,9	0,4—0,7	—	—	
Хромованадиевая	15ХФ (A)	0,12—0,20 (0,18)	0,3—0,6	0,8—1,1	0,10—0,20 V	—	0,10—0,20
	20ХФ (A)	0,15 (0,17)—0,25	0,4—0,7	0,8—1,1	0,10—0,20	—	
	40ХФА	0,37—0,45	0,5—0,8	0,8—1,1	0,10—0,20	—	
	50ХФА	0,46—0,54	0,5—0,8	0,8—1,1	0,10—0,20	—	
Хромомолибденовая	12ХМ	< 0,16	0,4—0,7	0,8—1,1	0,40—0,55 Mo	—	0,15—0,25
	15ХМА	0,10—0,18	0,4—0,7	0,8—1,1	0,40—0,55	—	
	20ХМ (A)	0,15—0,25 (0,17—0,24)	0,4—0,7	0,8—1,1	0,15—0,25	—	
	30ХМ (A)	0,25—0,35 (0,25—0,33)	0,4—0,7	0,8—1,1	0,15—0,25	—	
	35ХМ (A)	0,30 (0,32)—0,40	0,4—0,7	0,8—1,1	0,15—0,25	—	
	35Х2МА	0,32—0,40	0,4—0,7	1,6—1,9	0,15—0,25	—	
Хромомарганцево-молибденовая	18ХГМ (A)	0,16—0,24	0,9—1,2	0,9—1,2	0,20—0,30	—	0,20—0,30
	40ХГМ (A)	0,37—0,45	0,9—1,2	0,9—1,2	0,20—0,30	—	
	(38ХГМ)	—	—	—	—	—	
Молибденовая	ЭИ275*	0,35—0,42	0,7—1,0	1,5—1,8	0,25—0,40	—	0,40—0,55
	15M (12MA)	0,10—0,18 (0,16)	0,4—0,7	0,4—0,7	0,40—0,55	—	
	20M (A)	0,15—0,25 (0,17—0,24)	0,4—0,7	0,4—0,7	0,40—0,55	—	
	30M (A)	0,25—0,35 (0,25—0,34)	0,5—0,8	0,5—0,8	0,40—0,55	—	

Продолжение

Тип стали	Марка стали	Химический состав в %			
		C	Mn	Cr	Прочие
Хромомарганцевая с титаном	ЭИ274** 18Х1ГТ	0,13—0,18 0,16—0,24	1,4—1,7 0,8—1,1	1,5—1,8 1,0—1,3	0,06—0,12 Ti 0,08—0,15 Ti
Никелевая	25Н (A) 30Н (A) 13Н2А** 13Н5А** 21Н5А**	0,20 (0,22)—0,30 0,25 (0,27)—0,35 0,10—0,16 0,10—0,17 0,18—0,25	0,5—0,8 0,5—0,8 0,25—0,55 ≤ 0,6 ≤ 0,6	≤ 0,30 ≤ 0,30 0,2—0,5 ≤ 0,25 ≤ 0,25	0,5—0,9Ni 0,8—1,2 1,7—2,2 4,5—5,0 4,5—5,0
Никельмolibденовая	15НМ (A)	0,10—0,18 (≤ 0,17)	0,4—0,7	≤ 0,30	1,5—2,0 0,2—0,3Mo 1,5—2,0Ni
	20НМ 40НМ (A)	0,17—0,25 0,37—0,45	0,4—0,7 0,5—0,8	≤ 0,30 ≤ 0,30	0,2—0,3Mo 1,5—2,0Ni 0,2—0,3Mo
Хромоникелевая	20ХН (A) 40ХН (A) 45ХН 50ХН 12ХН2 (A) 12ХН3 (A) 20ХН3А 30ХН3 (A) 37ХН3А 12ХН4(A) 20ХН4 (A) 25ХН4А ** 36** 35ХН3А**	0,15—0,25 (0,23) 0,35 (0,37)—0,45 0,40—0,50 0,45—0,55 ≤ 0,17 (0,11—0,17) ≤ 0,17 (0,11—0,17) 0,17—0,25 0,25 (0,27)—0,35 0,33—0,41 ≤ 0,17 (0,11—0,17) 0,15—0,22 0,17—0,27 0,25—0,33 0,33—0,38	0,4—0,7 0,5—0,8 0,5—0,8 0,5—0,8 0,3—0,6 0,3—0,6 0,3—0,6 0,3—0,6 0,25—0,55 0,3—0,6 0,3—0,6 0,25—0,6 0,25—0,55	0,45—0,75 0,45—0,75 0,45—0,75 0,45—0,75 0,6—0,9 0,6—0,9 0,6—0,9 0,6—0,9 1,2—1,6 1,25—1,75 1,25—1,75 0,7—1,1 1,2—1,6	1,0—1,5Ni 1,0—1,5 1,0—1,5 1,0—1,5 1,5—2,0 2,75—3,25 2,75—3,25 2,75—3,25 3,0—3,50 3,25—3,75 3,25—3,75 3,3—4,0 3,0—3,5
Кремисмолибденовая	55СМА**	0,5—0,6	0,3—0,5	≤ 0,30	0,8—1,0 Si 0,4—0,6Mo
Хромомарганцево-никелевая	38ХГН**	0,35—0,42	0,8—1,1	0,5—0,8	0,7—1,1 Ni 0,05—0,10Mo
Хромокремнистая	33ХС (A) 37ХС (40ХС) 40ХС (A)	0,29—0,37 0,32—0,42 0,37—0,45	0,3—0,6 0,3—0,6 0,3—0,6	1,3—1,6 1,3—1,6 1,3—1,6	1,0—1,3Si 1,0—1,3 1,2—1,6 (1,0—1,3)
Кремнемарганцевая	27СГ 35СГ	0,22—0,32 0,30—0,40	1,1—1,4 1,1—1,4	≤ 0,3 ≤ 0,3	1,1—1,4 1,1—1,4
Хромокремнемарганцевая	20ХГС (A) 25ХГС (A) 30ХГС (A) 35ХГС (A)	0,15—0,25 (0,17—0,24) 0,22—0,30 (0,29) 0,26—0,35 (0,28—0,39) 0,30—0,40 (0,32—0,39)	0,8—1,1 0,8—1,1 0,8—1,1 0,8—1,1 0,8—1,1	0,8—1,1 0,8—1,1 0,8—1,1 1,1—1,4	0,9—1,2 0,9—1,2 0,9—1,2 1,1—1,4
Хромоалюминиевая	ЭИ196**	0,13—0,18	0,9—1,1	0,5—0,7	0,6—0,9
Хромомолибдеоалюминиевая	35ХЮА 38ХЮА	0,31—0,39 0,35—0,42	0,3—0,6 0,3—0,6	1,35—1,65 1,35—1,65	0,7—1,2 Al 0,15—0,25 Mo
Хромомолибденовая-диевая	35ХМФА 25Х2МФА Э10**	0,30—0,38 0,22—0,29 0,22—0,30	0,4—0,7 0,4—0,7 0,4—0,7	1,0—1,3 1,5—1,8 1,6—1,8	0,20—0,30 Mo 0,10—0,20 V 0,20—0,30Mo 0,15—0,30 V 0,25—0,35 Mo 0,20—0,30 V
Хромоникельван-диевая	20ХН4ФА	0,17—0,24	0,25—0,55	0,7—1,1	3,75—4,25 Ni 0,15—0,30 V

** По техническим условиям завода. [181]

Продолжение

Тип стали	Марка стали	Химический состав в %				
		C	Mn	Cr	Прочие	
Хромоникельвольфрамовая	18ХНВА	0,14—0,21	0,25—0,55	1,35—1,65	4,0—4,5 Ni	
	25ХНВА	0,21—0,28	0,25—0,55	1,35—1,65	0,8—1,2 W	
Хромоникелемолибденовая	12Х2Н3МА	0,10—0,17	0,3—0,6	1,45—1,75	4,0—4,5 Ni	
	18Х2Н4МА	0,15—0,22	0,4—0,7	1,45—1,75	0,8—1,2 W	
Хромоникелемолибденонадиевая	20ХН **	0,15—0,22	0,4—0,7	0,4—0,6	2,75—3,25 Ni	
	33ХН3МА	0,29—0,37	0,5—0,8	0,8—1,1	0,20—0,30 Mo	
	40ХНМА	0,36—0,44	0,5—0,8	0,6—0,9	2,50—3,00 Ni	
	30ХН2МФА	0,26—0,33	0,3—0,6	0,6—0,9	0,20—0,30 Mo	
	45ХНМФА	0,42—0,50	0,5—0,8	0,8—1,1	0,15—0,20 Mo	
	ЭИ355**	0,15—0,20	0,6—0,9	1,8—2,2	0,15—0,25 Mo	
					2,0—2,5 Ni	
					0,20—0,30 V	
					0,15—0,30 V	
					1,3—1,8 Ni	
					0,20—0,30 Mo	
					0,10—0,20 V	
					2,2—2,6 Ni	
					0,20—0,30 Mo	
					≤ 0,10 V	

* Обозначение марок стали, например, 15Х (A) . . . 45Х (A) и т. д., указывает, что данные марки относятся как к качественной, так и к высококачественной стали. Указанное в скобках содержание углерода относится к высококачественной стали, например, 15ХА содержит 0,12—0,18% C. В качественной стали содержится S и P по 0,040%; в высококачественной S ≤ 0,030%; P ≤ 0,035%; (в стали никелевой, ЭИ275, ЭИ274, 35ХНЗА, ЭИ10 и ЭИ355 S и P по ≤ 0,035%; Si = 0,17 ± 0,37% во всех марках стали (когда кремний не является легирующим элементом); Cr ≤ 0,30% и Ni ≤ 0,40% во всех марках стали (когда Cr и Ni не являются легирующими элементами) за исключением стали марок 15M (A), 20M (A), 27СГ, 15ХМА, в которых Ni ≤ 0,30% и ЭИ275, ЭИ274, в которых Ni ≤ 0,050%; Cu ≤ 0,30% в качественной стали и ≤ 0,25% в высококачественной.

** По техническим условиям завода [181].

НОРМЫ ТВЕРДОСТИ И МЕХАНИЧЕСКИЕ СВОЙСТВА ЛЕГИРОВАННОЙ СТАЛИ НА ТЕРМИЧЕСКИ ОБРАБОТАННЫХ ОБРАЗЦАХ (по ГОСТ 4543-48) [177, т. 3; 181]

Марка стали	Нормы твердости H_B (не более) ***	Закалка t в °C, охлаждающая среда (м — масло, в — вода) **	Отпуск t в °C	Механические свойства ****				
				σ_{sp} в kg/mm^2	σ_T в kg/mm^2	δ_1 в %	ϕ в %	A_N в kg/cm^2
				не менее				
15Х (A)*	179	860 I, 780 II, в	200	70	50	10 (11)	45 (50)	7 (8)
20Х .	179	860 I, в или м	200	80	60	10	40	6
30Х .	187	860, м	500	90	70	11	45	6
35Х .	197	860, м	500	95	75	10	45	6
38ХА .	207	860, м	500	95	80	12	50	9
40Х .	217	850, м	500	100	80	9	45	6
45Х .	229	840, м	500	105	85	8	40	5
50Х .	229	830, м	500	110	90	8	40	4
20Х3 .	219	860 I, 860 II, м	200	110	90	7,5	50	8
15ХФ .	187	860 I, 780 II, в	200	75	55	12	50	8
20ХФ .	197	880, в или м	500	80	60	12	50	8
40ХФА .	241	880, м	650	90	75	10	50	9

Продолжение

Марка стали	Норма твердости H_B (не более) ***	Закалка t в $^{\circ}\text{C}$, охлаждающая среда (м — масло, в — вода) **	Опуск t в $^{\circ}\text{C}$	Механические свойства ****				
				$\sigma_{\text{в}}$ в Kg/mm^2	σ_T в Kg/mm^2	δ_e в $\%$	ψ в $\%$	α_N в Kg/mm^2
не менее								
50ХФА	255	860, м	475	130	110	10	45	—
20ХМ	197	880, в или м	500	80	60	12	50	8 (9)
30ХМ (A)	229	880, м	560	95	75	11 (12)	45 (50)	7 (8)
35ХМ (A)	241	850, м	560	95	80	11 (12)	45 (50)	—
35Х2МА	269	870, м	620	105	90	8	45	—
25ХГ**	207	860, в или м	650	50	30	20	50	7
30ХГ**	207	850, м	650	63	35	16	40	5
15НМ	197	860 _I , 780 _{II} ,	200	85	65	11	50	8
20ХГ	187	860, м	180	80	60	12	50	—
35ХГ2	229	870, м	600	85	70	12	45	8
40ХГ2**	255	850, м	540	100	80	10	40	—
18ХГМ	217	860, м	190	110	90	10	50	—
40ХГМ	241	850, м	600	100	80	10	45	—
27СГ	217	920, м	420	100	80	12	40	—
35СГ	229	900, м	590	85	65	15	40	6
15ХН	197	860 _I , 780 _{II} , м или в	180	80	60	10	45	8
20ХН	197	840, м или в	500	80	60	10	50	8
40ХН	207	820, м	500	100	80	10	45	7
45ХН	207	820, м	530	100	80	10	45	7
50ХН	207	820, м	500	110	85	8	40	5
12ХН2 (A)	207	860 _I , 780 _{II} , м или в	200	80	60	12	50	8 (9)
12ХН3 (A)	217	860 _I , 780 _{II} , м	150	95	70	10 (11)	50 (55)	8 (9)
20ХН3А	241	820, м	500	95	75	11	55	10
30ХН3	241	820, м	530	100	80	9	45	8
37ХН3А	269	820, м	530	115	100	10	50	6
25ХН4А	269	820, м	530	100	80	8	45	7
12Х2Н4 (A)	269	880 _I , 780 _{II} , м	200	110	85	10	50	8 (9)
20Х2Н4 (A)	269	880 _I , 780 _{II} , м	200	120	110	9	45	7 (8)
33ХС	241	920, в или м	630	85	65	13	50	6
37ХС (40ХС)	255	900, м	630, м	90	70	12	50	7
40ХС	255	900, м	540,	125	105	12	40	5
20ХГС (A)	207	880, м	500	80	60	10	40	6
25ХГС (A)	217	880, м	520	80	60	10	40	6
30ХГС (A)	229	880, м	520	110	85	10	45	4, 5 (6)
35ХГС (A)	241	— ₃ изо	—	165	130	9	40	6
35ХМФА	229	880 → 280 — 310	900, м	630	110	95	10	50
18ХНВА	269	950 _I , 850 _{II} , возд.	160	115	85	12	50	10
25ХНВА	269	850, м	560	110	95	11	45	9
12Х2Н3МА	269	860, м	180	100	80	9	50	9
18Х2Н4МА	269	950, возд.	200	115	85	10	45	10
40ХНМА	269	850, м	600	100	85	12	55	10
20ХН2МФА	241	860, м	680	90	80	10	40	9
45ХНМФА	269	850, м	460, м	150	135	7	35	4
35ХЮА	229	940, м	650	95	75	10	50	8
38ХМЮА	229	940, м	650	100	85	15	50	9
20ХН4ФА	—	850, м	510, м	110	90	10	50	8

* Указанные в скобках данные относятся к высококачественной стали.

** Данные по Энциклопедическому справочнику "Машиностроение", т. 3, гл. VII, стр. 384.

*** Указана твердость стали в отожженном состоянии.

**** $\sigma_{\text{в}}$, σ_T , δ и ψ по ГОСТ 1497-42; a_N по ГОСТ 1524-42 на образцах, изготовленных из термически обработанных по указанному режиму заготовок для цементируемой стали сечением 15 мм и для неприменяемой — 25 мм .

Указанные механические свойства характеризуют сталь только в образцах небольшого сечения и не определяют свойства этой же стали в деталях большого сечения. Этими данными пользуются для контроля качества стали, поставляемой металлургическими заводами.

**МЕХАНИЧЕСКИЕ СВОЙСТВА СЕРДЦЕВИНЫ ЦЕМЕНТУЕМОЙ СТАЛИ
ПОСЛЕ ЗАКАЛКИ И НИЗКОГО ОТПУСКА [133]**

Марка стали	Термическая обработка		Механические свойства *						H_B
	Закалка	Отпуск	σ_{B0} в кг/мм ²	σ_T в кг/мм ²	δ_0 в %	ψ в %	a_N в кгм/см ²		
	t °C **	Среда	в °C **	Не менее					
10.	780	180	40	25	25	55	—	137	
	800	200							
20.	780	180	50—60	28—35	18	45	—	145—160	
	800	200							
15Г	780	180	50	30	17	45	—	140—160	
	800	200							
20Г	850	300	125—130	—	6,5	57—60	8,0—9,0	364	
15Х	780	180	62	38	15	45	6	179	
	800	200							
20Х	780	180	65	40	13	40	5	197	
	800	200							
20Х3	860	190	110	90	7	50	9	235—415	
	870	210							
20ХГ	800	180	80	60	10	40	6	229	
	820	200							
15ХФ	780	190	80	60	9	50	7	241—255	
	800	210							
15ХМА	840	150	125	—	—	—	14	—	
18ХГМ	820	190	110	90	7	50	9	285—388	
	830	210							
ЭИ274	800	180	110	90	10	50	9	321—364	
	820	200							
18ХГТ	800	180	115	95	10	50	8	332—375	
	820	200							
13Н2А	800	160	60	40	15	50	11	180—302	
	820	180							
15НМ	780	190	85	75	10	50	9	241—255	
	800	210							
12ХН2А	780	180	80	60	12	50	9	229	
	800	200							
12ХН3А	780	180	85	70	10	50	8	241	
	800	200							
20ХН3А	780	180	—	—	—	—	10—13,7	383—398	
	800	200							
12Х2Н4А	780	160	100	80	10	55	10	321—426	
	800	180	130	110	9	45	8		
20Х2Н4А	780	160	125—145	115	7	45	8	321—444	
	800	180	145—160	130	7	40	7		
18ХНВА	810	160	115	85	11	50	12	331—388	
18ХНМА	820	180							
12Х2Н3МА	780	180	120	95	10	50	9	328—386	
	800	200							

* При испытании на стандартных образцах.

** Указаны пределы температур.

**КЛАССИФИКАЦИЯ ЛЕГИРОВАННОЙ СТАЛИ ПО МЕХАНИЧЕСКИМ
СВОЙСТВАМ**
(по ГОСТ 2334-50)

№ по пор.	Класс поковки	Показатели механических свойств *						Твердость H_B	диаметр отпечатка
		σ_{sp} в $\text{кг}/\text{мм}^2$	σ_T в $\text{кг}/\text{мм}^2$	δ в %	Φ в %	a_N в $\text{кг}/\text{мм}^2$			
		не менее							
1	КТ-35 .	60	35	12	40	5	179—207	4,5—4,2	
2	КТ-40 .	65	40	12	40	5	187—212	4,45—4,15	
3	КТ-45 .	70	45	12	40	5	196—229	4,30—4,0	
4	КТ-50	75	50	10	40	5	207—235	4,20—3,95	
5	КТ-55 . .	80	55	10	40	5	217—248	4,10—3,85	
6	КТ-60	85	60	10	40	4,5	229—262	4,00—3,75	
7	КТ-65	90	65	8	35	4,5	241—277	3,90—3,65	
8	КТ-70	95	70	8	35	4,5	248—286	3,85—3,60	
9	КТ-75	100	75	8	35	4,0	262—302	3,75—3,50	
10	КТ-80	105	80	8	35	4,0	269—311	3,70—3,45	

* Обозначения: К — сталь качественная; Т — термически обработанная; двухзначная цифра — значение предела текучести.

** Значения механических свойств относятся к нормальному продольному цилиндрическому пятикратному образцу и нормальному ударному образцу (ГОСТ 1524-42). Для радиальных и тангенциальных образцов показатели механических свойств уменьшаются против норм (см. ГОСТ).

Группы поковок по эксплуатационным требованиям

Группа	Характеристика групп	Обязательные показатели механических свойств	Порядок испытания
Н	Неответственные поковки, изготовленные из стали одной марки	H_B	> 10% от партии одного чертежа и одной марки стали
О	Ответственные, изготовленные из стали одной плавки	σ_T , δ или σ_T , Φ	> 5% от партии одного чертежа, одной марки и одной плавки
ОО	Особо ответственные поковки, подлежащие поштучным испытаниям	σ_T , δ , a_N или σ_T , Φ , a_N	Испытывается каждая поковка

МЕХАНИЧЕСКИЕ СВОЙСТВА * КАЛИБРОВАННОЙ ХОЛОДНОТЯНУТОЙ СТАЛИ
 (по ГОСТ 1051-50) [18!]

Марка стали **	Сталь нагартованная			Сталь отожженная			Сталь для холодной высадки					
	σ_{sp} в кг/мм ²	δ_5 в % \geq	ψ в % \geq	$H_B \leq$	σ_{sp} в кг/мм ²	δ_5 в % \geq	ψ в % \geq	$H_B \leq$	σ_{sp} в кг/мм ²	δ_5 в % \geq	ψ в % \geq	$H_B \leq$
10 .	42	8	50	187	30	26	55	143	45	24	60	131
15 .	45	8	45	197	35	23	55	149	55	18	50	131
20 .	50	7,5	40	207	40	21	50	163	-	-	-	-
25 .	55	7	40	217	42	19	50	170	-	-	-	-
30 .	57	7	35	229	45	17	45	179	-	-	-	-
35 .	60	6,5	35	229	48	15	45	187	-	-	-	156
40 .	62	6	35	241	52	14	40	197	-	-	-	-
45 .	65	6	30	241	55	13	40	207	-	-	-	163
50 .	67	6	30	255	57	12	40	217	-	-	-	-
15Г .	50	7,5	40	207	40	21	50	163	-	-	-	-
50Г .	70	5,5	30	269	60	10	35	229	-	-	-	-
50Г2 .	75	5	25	285	65	9	30	241	-	-	-	-
15Х .	-	-	-	217	-	-	-	179	-	-	-	-
20Х .	-	-	-	229	-	-	-	179	-	-	-	-
30Х .	-	-	-	241	-	-	-	187	-	-	-	-
35Х .	-	-	-	255	-	-	-	207	-	-	-	-
40Х .	-	-	-	269	-	-	-	217	60	14	50	179
45Х, 30ХН, 40ХФ, 30ХСА и 20ХН3 .	-	-	-	269	-	-	-	229	-	-	-	-
20Х3 .	-	-	-	255	-	-	-	207	-	-	-	-
15ХФ .	-	-	-	217	-	-	-	187	45	20	60	143
40ХН .	-	-	-	269	-	-	-	207	-	-	-	-
50ХН, 12ХН3	-	-	-	269	-	-	-	217	-	-	-	-
12Х2Н4 и 40ХНМ . .	-	-	-	-	-	-	-	255	-	-	-	-
35Х2Н4	-	-	-	-	-	-	-	269	-	-	-	-

* Механические свойства — σ_{sp} , δ и ψ по требованию заказчика; твердость H_B в состоянии поставки. Глубина обезуглероженного слоя должна быть не более 1,5% диаметра

** Марки стали с сузженными пределами химического состава в %:

10 — 0,05—0,15 С; $\leq 0,5$ Mn; $\leq 0,03$ Si

15 — 0,15—0,22 С; $\leq 0,5$ Mn; $\leq 0,07$ Si

20 — 0,15—0,25 С; $\leq 0,5$ Mn; $\leq 0,20$ Si

35 — 0,30—0,40 С; $\leq 0,6$ Mn; $\leq 0,20$ Si

40Х — 0,34—0,42 С; 0,5—0,8 Mn; $\leq 0,20$ Si; 0,8—1,1 Cr

15ХФ — 0,12—0,20 С; 0,3—0,6 Mn; $\leq 0,20$ Si; 0,8—1,1 Cr; 0,1—0,2 V.

ХИМИЧЕСКИЙ СОСТАВ И НОРМЫ ТВЕРДОСТИ ШАРИКОПОДШИПНИКОВОЙ СТАЛИ
 (по ГОСТ 801-47) [181]

Марка стали	Химический состав в %							Твердость стали		
	C	Mn	Si	Cr	Ni	P	S	Отожженной H_B	Холоднотянутой после закалки HRC	
	не более								шлифован- ной	нешлифо- ванной
ШХ6	1,05—1,15	0,20—0,40	0,15—0,35	0,90—1,20	0,30	0,027	0,020	207—170	62	59
ШХ9	1,00—1,10	0,20—0,40	0,15—0,35	1,30—1,65	0,30	0,027	0,020	207—170	62	59
ШХ15	0,95—1,10	0,20—0,40	0,15—0,35	1,30—1,65	0,30	0,027	0,020	207—170	62	60
ШХ15СГ	0,95—1,10	0,90—1,02	0,40—0,65	1,30—1,65	0,30	0,027	0,020	207—170	62	—
ШХ10*	0,32—0,42	0,40—0,70	0,17—0,37	0,8—1,20	≤ 0,20	0,030	0,030	—	—	—

Обезуглероженный слой в горячекатанной стали не должен превышать следующих норм:

Диаметр или толщина заготовки в мм.	До 15	15—30	30—50	50—70	70—100	100—150
Глубина слоя в мм.	0,25	0,50	0,75	1,0	1,25	1,50

В холоднотянутой стали обезуглероженный слой не должен превышать 1% диаметра или толщины; для шлифованной стали обезуглероженный слой не допускается.

Оценка качества по неметаллическим включениям при плавочном контроле на заготовке 90×90 мм производится по баллам.
 Допускаются следующие предельные нормы баллов:

Вид стали	Оксиды	Суль- фиды	Кар- биды	Сумма баллов
Электросталь отожженная	2,5	2,5	1,5	5,5
То же, неотожженная	3,0	3,0	3,0	6,0

* По ГОСТ 808-49 на проволоку для витых роликов (сталь ШХ10 содержит ≤ 0,25 Си).

**ХАРАКТЕРИСТИКА СТАЛЬНОЙ ЛЕНТЫ И ПРОВОЛОКИ,
ПРИМЕНЯЕМОЙ ДЛЯ ИЗГОТОВЛЕНИЯ ДЕТАЛЕЙ ШАРИКО-
И РОЛИКОПОДШИПНИКОВ [181]**

ГОСТ нан. ГУ	Назначение	Размеры $b \times a$ в мм	Марка стали	Механические и прочие свойства															
Лента																			
ГОСТ 10747 ТУ М1-68-47	Для изготовления разрезных колец	$2,9 \times 130$ $3,25 \times 130$ $3,8 \times 130$	65Г	$\sigma_{sp} \leq 85$; $t \geq 12$ при $t = 11,3\sqrt{F}$: $90-100 H_{RB}$. Излом мелкозернистый; микроструктура — зернистый перлит; обезуглероженный слой $\leq 0,04$ мм															
ГОСТ 10747 ТУ М1-71-47	То же	$0,7 \times 25,0$ $0,75 \times 38,1$ $1,0 \times 38,0$ $2,38 \times 50,8$	65Г	$\sigma_{sp} = 65 \div 85$; $t \geq 7$ при $t = 11,3\sqrt{F}$, $90 H_{RB}$ (для ленты $b = 1,0$ и $2,38$ мм). Излом — мелкозернистый; обезуглероженный слой $\leq 0,02$ мм на сторону															
Проволок																			
ГОСТ 808-49	Плоская проволока для витых роликов	$\varnothing \leq 2,5$ $\varnothing \geq 2,5$	ШХ10 *	$\sigma_{sp} = 55 \div 83$; $t > 7$ $\sigma_{sp} = 52 \div 77$; $t > 12$ } $45 H_{RC}$															
ГОСТ 4665-49	Для заклепок и распорок сепараторов для заклепок для распорок	$\varnothing \leq 1,4$ $\varnothing > 1,4$ $\varnothing \leq 4,0$ $\varnothing > 4,0$	15 20	$\sigma_{sp} = 45 \div 60$; $t > 3$ $\sigma_{sp} = 40 \div 55$; $t > 3$ $\sigma_{sp} = 65 \div 80$; $t > 3$ $\sigma_{sp} = 60 \div 75$; $t > 3$															
ГОСТ 4727-49	Для шариков и роликов	$\varnothing \leq 10$ $\varnothing \geq 10$	ШХ6 ** ШХ9 **	$\sigma_{sp} = 60 \div 73$; $62 H_{RC}$ Излом мелкозернистый. Микроструктура — мелкозернистый перлит (не допускаются участки пластинчатого перлита и карбидная сетка). Обезуглероженный слой $< 1\%$ на диаметр															
<p>* Механические свойства определяются на образцах с расчетной длиной 100 мм; при этом $f = ab - 0,18b$, где a — ширина, b — толщина проволоки. Твердость определяется после закалки, производимой по режиму: 380°C, $t = 45$ мин., m; $0_{\text{H}} 180^{\circ}\text{C}$, $t = 2$ часа.</p> <p>** Неметаллические включения в баллах:</p> <table style="margin-left: auto; margin-right: auto;"> <tr> <th></th> <th>Оксиды</th> <th>Сульфиды</th> <th>Карбиды</th> <th>Сумма баллов</th> </tr> <tr> <td>ШХ6</td> <td>2</td> <td>2</td> <td>0,5</td> <td>4</td> </tr> <tr> <td>ШХ9</td> <td>2</td> <td>2</td> <td>1</td> <td>4</td> </tr> </table>						Оксиды	Сульфиды	Карбиды	Сумма баллов	ШХ6	2	2	0,5	4	ШХ9	2	2	1	4
	Оксиды	Сульфиды	Карбиды	Сумма баллов															
ШХ6	2	2	0,5	4															
ШХ9	2	2	1	4															

ХИМИЧЕСКИЙ СОСТАВ РЕССОРНО-ПРУЖИННОЙ СТАЛИ

(по ГОСТ В-2052-43) [181]

Марка стали	Химический состав в %				
	C	Mn	Si	Cr	Прочие
65 .	0,60—0,70	0,50—0,80	0,17—0,37	≤0,3	Ni ≤0,3
70 .	0,65—0,75	0,50—0,80	0,17—0,37	≤0,3	≤0,3
75 .	0,70—0,80	0,45—0,75	0,15—0,30	≤0,3	≤0,5
85 .	0,80—0,90	0,45—0,75	0,15—0,30	≤0,3	≤0,5
65Г .	0,60—0,70	0,70—1,00	0,17—0,37	≤0,3	≤0,3
55ГС .	0,50—0,60	0,60—0,90	0,50—0,80	≤0,3	≤0,5
55С2* .	0,50—0,60	0,60—0,90	1,50—2,00	≤0,3	≤0,5
60С2* .	0,55—0,65	0,60—0,90	1,50—2,00	≤0,3	≤0,5
60С2А* .	0,55—0,65	0,60—0,90	1,60—2,00	≤0,3	≤0,5
63С2А* .	0,60—0,65	0,60—0,90	1,80—2,20	≤0,3	≤0,3
70С3А .	0,65—0,75	0,60—0,90	2,40—2,80	≤0,3	≤0,5
70С2ХА* .	0,65—0,75	0,40—0,60	1,40—1,70	0,2—0,4	≤0,3
50ХГ* .	0,45—0,55	0,70—1,00	0,15—0,30	0,90—1,20	≤0,5
55СГ .	0,50—0,60	0,8—1,0	1,3—1,8	≤0,3	≤0,3
60СГ .	0,55—0,65	0,8—1,0	1,3—1,8	≤0,3	≤0,3
60СГА .	0,56—0,63	0,8—1,0	1,3—1,8	≤0,3	≤0,3
50ХГА* .	0,45—0,55	0,80—1,00	0,15—0,30	0,95—1,20	≤0,2
60С2ХА .	0,55—0,65	0,45—0,70	1,40—1,80	0,70—1,00	≤0,3
50ХФА .	0,45—0,55	0,30—0,60	0,15—0,30	0,75—1,10	≤0,3
60С2ХФА .	0,55—0,65	0,45—0,70	1,40—1,80	0,90—1,20	0,15—0,25 V ≤0,3;
65С2ВА .	0,60—0,70	0,70—1,00	1,50—2,00	≤0,3	0,10—0,20 V ≤0,3;
60С2Н2А .	0,55—0,65	0,45—0,70	1,40—1,80	≤0,3	0,8—1,2 W
С-65А** . .	0,65—0,70	0,40—0,55	0,15—0,25	≤0,12	1,40—1,80 ≤0,20; ≤0,05; Al;
50ХГФА** .	0,48—0,55	0,80—1,00	0,15—0,30	0,95—1,20	0,15 Cu ≤0,20;
ЭИ142** .	0,65—0,75	0,40—0,60	1,40—1,70	0,2—0,4	0,15—0,25 V ≤0,2;
ЭИ272 ** .	0,37—0,47	0,50—0,80	1,60—2,00	≤0,25	≤0,3

В стали марок 65 и 70 содержится по ≤0,045% S и P; 75—60С2 и 50ХГ≤0,045% S и ≤0,040% P; С-65А — по ≤0,025% S и P; 60С2А, 70С3А, 50ХГА, 60С2ХА, 50ХФА, 65С2ВА и 60С2Н2А и 60С2ХФА ≤0,030% S, ≤0,035% P; 50ХГФА и ЭИ272 — по ≤0,040% S и P; 70С2ХА — по ≤0,030% S и P.

* Данные марки стали изготавливаются также по ГОСТ 4555-48 с содержанием Ni ≤0,3% и P ≤0,30% (для стали 50ХГА, 60С2А, 50ХГФА); сталь марки 70С2ХА по ГОСТ 2283-43.

** По техническим условиям заводов [181].

**НОРМЫ ТВЕРДОСТИ И МЕХАНИЧЕСКИЕ СВОЙСТВА
РЕССОРНО-ПРУЖИННОЙ СТАЛИ
НА ТЕРМИЧЕСКИ ОБРАБОТАННЫХ ОБРАЗЦАХ**

[177, т. 3]

Марка стали	Нормы твердости H_B не более	Термическая обработка (температура в $^{\circ}\text{C}$ и охлаждающая среда)		Механические свойства			
		Закалка (м—масло)	Отпуск	σ_{er} в $\text{kг}/\text{мм}^2$	σ_T в $\text{kг}/\text{мм}^2$	δ %	Φ %
Не менее							
65 .	255	830, м	380	100	80	9	35
70 .	269	820, м	380	105	85	8	30
75 .	285	810, м	380	110	90	7	30
85 .	302	810, м	390	115	100	6	30
65Г .	269	820, воздух	—	70	38	8	35
55ГС .	285	850, воздух	—	65	35	10	35
60СГА .	285	850, воздух	—	160	140	5	25
55С2, 55СГ .	285	880, м	400—510	130	120	6	30
60С2, 60СГ .	285	860, м	400—510	130	120	5	25
60С2А, 63С2А .		860, м	400—510	160	140	5	20
70С3А .		830, м	400—510	180	160	5	25
50ХГ .		850, м	490	130	110	5	35
50ХГА .		850, м	490	130	120	6	35
50ХФА .	302	860, м	400—450	180	110	10	45
60С2ХА .		860, м	420	180	160	5	20
60С2ХФА .		840, м	450	190	170	5	20
65С2ВА .		840, м	450	190	170	5	20
60С2Н2А .		840, м	400	175	160	5	20
С-65А	—	—	—	150	130	4	30
50ХФА	302	850, м	490	130	120	6	35

ХИМИЧЕСКИЙ СОСТАВ ИНСТРУМЕНТАЛЬНОЙ ЛЕГИРОВАННОЙ СТАЛИ (по ГОСТ 5950-51)

Группа стали	Марка	Химический состав в % *					Твердость		
		C ***	Mn	Si	Cr	Прочие	в состоянии поставки (после отжига или высокого отпуска) H_B	После закалки	
								H_{RC}	
Хромистая	X12	2,00—2,30	< 0,35	< 0,40	11,5—13,0	0,15—0,30V 0,40—0,60Mo	269—217	950—1000, м	60
	X12M	1,45—1,70	< 0,35	< 0,40	11,0—12,5		255—207	950—1000, м	58
	XГ	1,30—1,50	0,45—0,70	< 0,35	1,30—1,60	—	241—197	800—830, м	61
	X	0,95—1,10	< 0,40	< 0,35	1,30—1,60	—	229—187	830—860, м	62
	X09	0,95—1,10	< 0,40	< 0,35	0,75—1,05	—	229—179	830—860, м	62
	9Х	0,80—0,95	0,25—0,35	0,25—0,45	1,40—1,70	—	217—179	820—850, м	62
	X05	1,25—1,40	0,20—0,40	< 0,35	0,40—0,60	—	241—187	780—810, в	64
	7Х3	0,60—0,75	0,20—0,40	< 0,35	3,20—3,80	—	229—187	850—880, м	54
	8Х3	0,76—0,85	0,20—0,40	< 0,35	3,20—3,80	—	255—207	850—880, м	55
Хромокремистая	9ХС	0,85—0,95	0,30—0,60	1,20—1,60	0,95—1,25	—	241—197	820—860, м	62
	6ХС	0,60—0,70	< 0,40	0,60—1,00	1,00—1,30	—	229—187	840—860, м	56
	4ХС	0,35—0,45	< 0,40	1,20—1,60	1,30—1,60	—	207—170	880—900, м	47
Хромокремнемарганцевая	XГС	0,95—1,10	0,80—1,20	0,5—1,0	1,4—1,8	—	255—207	820—860, м	62
Ванадиевая	Ф	0,95—1,05	0,20—0,40	< 0,35	—	0,20—0,40V	217—179	780—820,	62
Хромовандиевая	8ХФ 85ХФ	0,75—0,85 0,80—0,90	0,20—0,40 0,30—0,60	< 0,35 < 0,35	0,50—0,80 0,45—0,70	0,15—0,30V 0,15—0,30V	207—170 —	800—850, —	61 42
Вольфрамовая	B1	1,05—1,25	0,20—0,40	< 0,35	0,10—0,30	0,80—1,20W 0,15—0,30V **	229—187	800—850, в	62
Хромовольфрамовая	3Х2B8	0,30—0,40	0,20—0,40	< 0,35	2,20—2,70	7,50—9,00W 0,20—0,50V	255—207	1075—1125, м	46
	4Х8B2	0,35—0,45	0,20—0,40	< 0,35	7,00—9,00	2,00—3,00W 0,40—0,70	255—207	1025—1075, м	45
	XB5	1,25—1,50	< 0,30	< 0,30	4,50—5,50W 0,15—0,30V **	285—229 ***	800—820, в	65	

Продолжение

Группа стали	Марка	Химический состав в %					Твердость		
		С	Мn	Si	Cr	Прочие	в состоянии поставки (после отжига или высокого отпуска) H_B	После закалки t° C, охлаждающая среда	H_{RC}
Хромовольфрамокремнистая	4XB2C	0,35—0,44	0,20—0,40	0,60—0,90	1,00—1,30	2,00—2,50W	217—179	860—900, в	53
	5XB2C	0,45—0,54	0,20—0,40	0,50—0,80	1,00—1,30	2,00—2,50W	255—207	860—900, м	55
	6XB2C	0,55—0,65	0,20—0,40	0,50—0,80	1,00—1,30	2,20—2,70W	286—229	860—900, м	57
Хромовольфрамомарганцевая	XБГ	0,90—1,05	0,80—1,10	0,15—0,35	0,90—1,20	1,20—1,60W	255—207	800—830, м	62
	9XBГ	0,85—0,95	0,90—1,20	0,15—0,35	0,50—0,80	0,50—0,80W	241—197	800—830, м	62
	5XBГ	0,55—0,70	0,90—1,20	0,15—0,35	0,50—0,80	0,50—0,80W	217—179	850—900, м	57
Хромоникелевая	5ХНМ	0,50—0,60	0,50—0,80	< 0,35	0,50—0,80	1,40—1,80Ni 0,15—0,30Mo	241—197	830—860, м	47
	5ХНТ	0,50—0,60	0,50—0,80	< 0,35	0,9—1,25	1,40—1,80Ni 0,08—0,15Ti	< 241	—	—
Хромомарганцевомолибденовая	5ХГМ	0,50—0,60	1,20—1,60	0,25—0,65	0,60—0,90	0,15—0,30Mo	241—197	820—850, м	50

* Содержание S и P $\leq 0,030\%$ каждого; содержание Ni для X12 и X12M $\leq 0,35\%$; для 9Х, 7Х3, 8Х3, 9ХС, 4ХС, ХГС, 8ХФ, Ф, 3Х2В8, 4XB2C, 5XB2C, 6XB2C, ХВГ, 5ХВГ, 5ХГМ $\leq 0,25\%$, для штампового инструмента $\leq 0,30\%$; для остальных марок стали $\leq 0,25\%$. По требованию потребителя — для стали X 1,2—1,3% С, для стали 8ХФ 0,65—0,80% С, для стали 85ХФ $\leq 0,02\%$, S и $\leq 0,2\%$ Ni, для стали 3Х2В8 0,40—0,50% С: для стали 9Х в случае ее применения для валков холодной прокатки диаметром $> 300 \text{ mm}$ $\leq 1,9\%$ Cr при 0,78—0,92% С.

** Обязательное содержание V оговаривается в заказе.

*** Для полос и квадратов твердость стали ХВ5 321—255 H_B .

**** Глубина обезуглероженного слоя горячекатаной и кованой стали на сторону от фактического размера стали не должна превышать для стали размером от 8 до 10 mm 0,35 mm

- 10 • 15 " 0,40 "
- 16 • 30 " 0,50 "
- 21 • 50 " 0,65 "
- 51 • 70 " 1,0 "
- > 71 " 1,5%

Глубина обезуглероживания холоднокатанной стали IV и V классов точности $\leq 1,5\%$ на сторону от фактического диаметра или толщины (для стали, легированной кремнием $\leq 2,0\%$).

**ХИМИЧЕСКИЙ СОСТАВ (по ГОСТ В-1435-42) И ТВЕРДОСТЬ
В ЗАКАЛЕННОМ СОСТОЯНИИ ИНСТРУМЕНТАЛЬНОЙ УГЛЕРОДИСТОЙ
СТАЛИ (177, т. 3, гл. VIII); [181]**

Марка стали	Химический состав в % *		Термическая обработка. ** Закалка (в воде и масле)	Твердость H_{RC} (после закалки)
	C	Mn		
У7	0,60—0,74	≤ 0,40	800—830°, в	61—63
У8	0,75—0,85	≤ 0,40	790—820°, в	61—63
У8Г	0,80—0,90	0,35—0,60	800—830°, в→м	61—63
У9	0,86—0,94	≤ 0,35	780—810°, в→м	62—64
У10	0,95—1,09	≤ 0,30	770—790°, в→м	62—64
У10Г	0,95—1,09	0,15—0,40	760—810°, м	61—63
У10	1,10—1,25	≤ 0,30	760—780°, в→м	62—65
У13	1,26—1,40	≤ 0,40	—	—

* Высококачественная инструментальная углеродистая сталь обозначается У7А, У8ГА, У13А. В качественной стали $S \leq 0,03\%$, и $P \leq 0,01\%$, в высококачественной стали $S \leq 0,02\%$, и $P \leq 0,03\%$. В качественной стали и в стали У8ГА и У10ГА $Si \leq 0,35\%$; во всех остальных марках высококачественной стали $Si \leq 0,03\%$. В стали У8, У8Г, У10Г, У8ГА и У10ГА $Cr \leq 0,30\%$, во всех остальных марках стали $Cr \leq 0,20\%$. Во всех марках стали $Ni \leq 0,25\%$.

** Температура отжига 750—760° для стали марок У7—У9 и 760—780° и У10—У13; охлаждение со скоростью 50° в час до 600—550°, далее на воздухе.

Охлаждение после закалки в→м означает до 200—250° в воде или в 5%ном водном растворе поваренной соли с последующим охлаждением в масле. Инструмент диаметром до 6—8 мм может охлаждаться в масле или расплавленной соли (селитре) при 150—160° и далее на воздухе. Температура отпуска принимается от 160° и выше в зависимости от требуемой твердости инструмента.

**ХИМИЧЕСКИЙ СОСТАВ ИНСТРУМЕНТАЛЬНОЙ БЫСТРОРЕЖУЩЕЙ
СТАЛИ (по ГОСТ 5952-51)**

Марка стали	Химический состав в % *				Твердость в состоянии поставки H_B		Твердость стали в состоянии закалки и отпуска H_{RC}
	C **	Cr	W	V	для обра- ботки резанием		
P18	0,7—0,8	3,8—4,4	17,5—19,0	1,0—1,4	285—207	255—207	
P9	0,85—0,95	3,8—4,4	8,5—10,0	2,0—2,6	Ø 3,6—4,2 мм	Ø 3,8—4,2	{ 62

* В обеих марках стали содержание $Mn \leq 0,4\%$, $Si \leq 0,4\%$, $Mo < 0,3\%$; $S \leq 0,03\%$, $P \leq 0,03\%$. Если в стали обеих марок молибдена содержится более 0,3%, то содержание вольфрама в стали снижается против указанного в таблице на основании соотношения: 1% Mo заменяет 2% W; к марке стали в этом случае добавляется буква М (P18M или P9M). Содержание молибдена допускается: в стали марки P18M в пределах 0,3—1,0%, P9M 0,3—0,6% (см. ГОСТ 5650-51, 4405-48, 2689-44).

** Наибольшая глубина обезуглероженного слоя (феррит + переходная зона) горячекатанной кованой стали не должна превышать на сторону следующих значений (в мм) в зависимости от размеров.

Размер в мм	Марки стали		Размер в мм	Марки стали	
	P18; P9	P18M; P9M		P18; P9	P18M; P9M
от 6—15	0,40	0,45	60—70	0,30	1,10
15—30	0,50	0,60	70—80	0,40	1,35
30—50	0,70	0,88	80—100	1,35	1,60

Обезуглероженный слой на шлифованной стали не допускается.

НАЗНАЧЕНИЕ МАРОК СТАЛИ ДЛЯ ИЗГОТОВЛЕНИЯ ОТДЕЛЬНЫХ ВИДОВ ИНСТРУМЕНТА [181 *]

Тип инструмента	Марка стали
<i>I. Режущий инструмент</i>	
1) Резцы	
Резцы обдирочные и фасонные высшей производительности, работающие по стали при $\geq 300 H_B$.	P18, P9
То же при $\geq 300 H_B$, а также резцы для полуобдирочных и чистовых работ	P9
То же для обработки стали при $\leq 220 H_B$, цветных металлов и серого чугуна	P9; XBS 9XC, X, X09, XB5
Резцы токарные, строгальные, долбежные для ремонтных и лекальных работ	
2) Сверла	
Сверла, работающие в тяжелых условиях с большой скоростью	P9, B1 Y12A, Y10A
Сверла $\varnothing < 12 \text{ мм}$, обрабатывающие мягкие материалы	9XC, X, X09
Сверла $\varnothing < 25 \text{ мм}$ с относительно малым короблением при закалке	X, XBГ
Сверла $\varnothing < 25 \text{ мм}$ с относительно малым короблением при закалке и сверла длинные	
3) Фрезы	
Фрезы высокой производительности для обработки стали при $> 250 H_B$	P18, P9
То же при $< 250 H_B$, цветных металлов и серого чугуна (шлифованные фрезы)	P9
То же, нешлифованные фрезы	P9
Фрезы для обработки твердых металлов при умеренной скорости резания	XB5
Фрезы с малой деформацией при закалке и работающие с умеренной скоростью резания	9XC, XBГ, P18
4) Долбяки	
5) Зенкеры, развертки	
Зенкеры высокой производительности, работающие по твердой стали	P9
То же, развертки	P9
Зенкеры и развертки высокой производительности	P9
То же, работающие с умеренной скоростью резания	9XC, Y12A
То же, с малой деформацией при закалке	X, 9XC
То же, длинные и тонкие	XBГ, 9XC
6) Метчики	
Метчики машинные высокой производительности	P18
То же, работающие с умеренной скоростью резания	Y12A, Y10A
Метчики с малой деформацией при закалке	X, 9XBГ, X09
Метчики длинные, не деформирующиеся при закалке	9XBГ
7) Расточные пластины, первые сверла	
Пластины и сверла высокой производительности для обработки стали при $< 250 H_B$	P9
То же для обработки стали и чугуна при $< 250 H_B$	9XC
8) Гребенки	
Гребенки винторезные	9XBГ, X, X09
Гребенки для обработки твердых металлов при умеренной скорости резания с получением в обрабатываемой детали размеров высокой точности	XB5, ХГ
Гребенки высокой производительности	P9
9) Протяжки (брони)	
Протяжки высокой производительности	P18, P9
Протяжки, не деформирующиеся при закалке	9XBГ, XBГ
Протяжки небольших размеров, работающие с умеренной скоростью	9XC, X

Продолжение

Тип инструмента	Марка стали
10) Плашки	
Плашки ответственного назначения	
Плашки круглые	P18, P9 У12А, У10А, В1 Х, 9ХС, ШХ15 ХВГ, 9ХВГ, 9ХС
То же крупных размеров	
Плашки круглые, не деформирующиеся при закалке	
11) Пилы	
Сегменты к пилам	P9 85ХФ
Ножовки и рамные пилы	
12) Деревообделочный инструмент	
Топоры, стамески, долотья	
Фрезы, зенковки, цековки	У7, У8 У8, ШХ6, 9Х
Сверла спиральные	В1, Х09, ШХ6, У10
Пилы продольные и дисковые	У8, ШХ6, 5ХВ2С. 85ХФ
<i>II. Инструмент, деформирующий металл в холодном состоянии</i>	
Штампы простой формы, обрезные и вырубные штампы без резких переходов, холодновысадочные пuhanсоны и штемпели мелких размеров	У10, У10А, У12
Штампы вытяжные крупных размеров, обрезные и вырубные штампы сложной формы, холодновысадочные пuhanсоны и штемпели крупных размеров	X12, X12М, X09, Х, ХГ, 9ХС, 6ХС, Ф 9ХС, 9ХВГ 30ХГС, 5ХВ2С 5ХВГ, 5ХВ2С, 6ХВ2С
Холодновысадочные штампы, не деформирующиеся при закалке	
Штампы для прессования	
Ножи	
Штампы сложной конфигурации формовочные, крупные гибочные с минимальной деформацией при закалке	X12 и X12 (1.45—1.7%С) Х, ШХ15, ХВГ, 5ХВ2С, У10, У8
Накатные ролики	
<i>III. Инструмент, деформирующий металл в горячем состоянии</i>	
Штампы кузнецкие, обжимки, бойки	У7
Штампы молотовые, пuhanсоны	5ХГМ, 5ХНМ, 5ХНТ
Штампы ковочных машин для первых формирующихся операций, а также для резки горячей стали	6ХВ2С, 5ХВ2С 4ХВ2С 4ХС 35ХГСА
Матрицы для штамповки болтов и заклепок	
Штампы и ножи для резки при повышенных температурах	
Пuhanсоны прошивные и протяжные	7Х3, 8Х3, 3Х2В8
Матрицы горячей высадки для горизонтально-ковочных машин. пuhanсоны, ножи ковочных машин	
<i>IV. Прессформы для литья под давлением</i>	
Формы для литья под давлением сплавов на медной основе и алюминиевых сплавов, литниковые буски, стержни	3ХВ8, 3Х13, 3Х2В8
Плиты и литниковые буски форм литья под давлением цинковых сплавов и литниковые буски оловянно-свинцовистых сплавов	5ХНМ, 5ХНТ 4ХВ2С, 4ХВС, 5ХВС, 4ХЗВ2
Формы для литья под давлением магниевых и алюминиевых сплавов	
Плиты и стержни для форм литья под давлением оловянно-свинцовистых сплавов	У8А, У10А
<i>V. Измерительный инструмент</i>	
Калибры резьбовые и калибры высокой точности (I—III классов)	ХГ, 9ХС (Х, ШХ15) 9ХВГ
То же, длинные и сложной формы, не деформирующиеся при закалке	ХГ, Х
Калибры IV и V классов точности с резкими переходами	У10, У12
То же простой формы	08, 10, 15, 20 (с последующей цементацией)
Плоские шаблоны и скобы	
<i>VI. Кузнечно-слесарный монтажный инструмент</i>	
Пневматический инструмент	4ХВ2С
Зубила, молотки, кувалды	У7, 60, 65
То же, ответственного назначения	4ХС
Пробойники	X09, X05, У8А
Обжимки для заклепок	У8, У7
Шаберы слесарные	У12, У10
Кернеры, бородки	У8, У7
Державки для резцов	45, 50, 40Х, 45Х
Хвостовая часть сварных инструментов	50, 55

* Таблица уточнена на основе приложения к ГОСТ 5950-51.

ХИМИЧЕСКИЙ СОСТАВ СТАЛИ СО СПЕЦИАЛЬНЫМИ ФИЗИЧЕСКИМИ СВОЙСТВАМИ [181]

ГОСТ или ТУ	Марка стали	Химический состав в %					
		C	Mn	Si	Cr	Ni	Прочие
ТУ 471-48 завода Электросталь"	ЭИ256 (Г13)	1,0—1,4	11,0—14,0	≤ 0,7	≤ 0,5	≤ 0,6	≤ 0,10Р
	ЭИ349 (свариваю- щаяся со стеклом)	≤ 0,15	0,4—0,8	≤ 0,4	25,0—30,0	≤ 0,6	≤ 0,02S ≤ 0,03P
То же	ЭИ94 (сердечни- ковая)	0,70—0,90	13,0—15,0	≤ 0,7	≤ 0,5	2,75—3,75	≤ 0,01Р
	55Г9Н9 (немагнит- ная)	0,45—0,55	8,0—9,0	0,17—0,37	≤ 0,20	8,0—9,0	≤ 0,05Р
	ЭИ269 (немагнит- ная)	0,50—0,60	4,0—5,5	≤ 0,6	≤ 0,25	18,5—21,5	≤ 0,05Р
	ЭИ423 (немагнит- ная)	0,60—0,70	8,0—9,0	0,2—0,4	2,5—3,2	8,0—9,0	≤ 0,08Р
	ЭИ429	0,15—0,25	6,0—7,0	≤ 0,05	11,0—15,0	10,0—13,0	—
	ЭИ25 (элинвар)	≤ 0,40	0,3—0,6	≤ 0,5	7,3—8,3	36,5—38,5	≤ 0,03Р
	ЭИ278	0,70—0,80	2,0—3,0	≤ 0,6	7,0—9,0	33,0—35,0	3,0—4,0Mo; ≤ 0,04Р
ТУ 235 ММП	A (железо)	≤ 0,025	≤ 0,035	≤ 0,030	—	—	≤ 0,025S; ≤ 0,015P;
ТУ завода Серп и молот"	Э	≤ 0,040	≤ 0,20	≤ 0,20	—	—	≤ 0,030S; ≤ 0,025P; ≤ 0,015Cu

В марках стали, в которых не указано содержание S и P, допускается S ≤ 0,030%, и P ≤ 0,035%.

ОТЛИВКИ ФАСОННЫЕ ИЗ ВЫСОКОХРОМИСТОЙ СТАЛИ (по ГОСТ 2176-43 коррозионностойкие, жаростойкие и износостойкие)

Химический состав, механические и физические свойства

Свойства *	Марки		Свойства *	Марки	
	X28	X34		X28	X34
Химический состав в %					
C	0,5—1,9	1,5—2,2	σ_{bp} при $t = 800^\circ$	220—320	250—320
Cr	26—30	32—36	900°	15—18	20—22
Si	0,5—1,3	1,3—1,7	1000°	9—11	12—15
Mn	0,5—0,8	0,5—0,8	1100°	5—7	10—12
P	≤ 0,1	≤ 0,1		3—4	6—8
S	≤ 0,08	≤ 0,1	Физические свойства		
Механические свойства **			γ в кг/дм ²	7,3—7,4	
σ_{bp} в кг/мм ²	≥ 35	≥ 40	(0—200°) $\alpha \cdot 10^6$ $\frac{\text{мм}}{\text{град}}$	9,4—10,0	
σ_{ut} в кг/мм ²	≥ 55	≥ 50	Линейная усадка в %	1,5—1,8	
f при $l = 600$ в мкм	≥ 6	≥ 5	E в кг/мм ²	18 000—22 000	
			Temperatura плавления в °C	1350—1450	

* Коррозионная стойкость в агрессивных средах см. ГОСТ 2176-43.

** См. ГОСТ 2055-43.

ХИМИЧЕСКИЙ СОСТАВ ВЫСОКОЛЕГИРОВАННОЙ НЕРЖАВЕЮЩЕЙ, КИСЛОТОСТОЙКОЙ И ЖАРОПРОЧНОЙ СТАЛИ (по ГОСТ 5632-51)

Название стали или сплава (тип стали или сплава)	Марка стали или сплава *	Химический состав в %								
		C	Si	Mn	Cr	Ni	Прочие	S	P	
Группа I										
Нержавеющие										
Хромистая	1X13 (ЭЖ1). 2X13 (ЭЖ2). 3X13 (ЭЖ3). 4X13 (ЭЖ4). X14 (ЭИ241). X18 (ЭИ229).	≤ 0,15 0,16—0,24 0,25—0,34 0,35—0,45 < 0,15 0,9—1,0	≤ 0,6 ≤ 0,6 ≤ 0,6 ≤ 0,6 ≤ 0,7 ≤ 0,8	≤ 0,6 ≤ 0,6 ≤ 0,6 ≤ 0,6 ≤ 0,7 ≤ 0,7	12,0—14,0 12,0—14,0 12,0—14,0 12,0—14,0 13,0—15,0 17,0—19,0	≤ 0,6 ≤ 0,6 ≤ 0,6 ≤ 0,6 ≤ 0,6 ≤ 0,6	— — — — — —	0,030 0,030 0,030 0,030 0,2—0,4 0,030	0,035 0,035 0,035 0,035 0,035 0,030	
Кислотостойкие										
Хромоникелевая	X17 (ЭЖ17). X25 (ЭИ181). X28 (ЭЖ27 и ЭИ349). X17H2 (ЭИ268). OX18H9 (ЭЯ90). 1X18H9 (ЭЯ1). 2X18H9 (ЭЯ2). 1X18HT (ЭЯ1Т).	≤ 0,12 ≤ 0,20 ≤ 0,15 0,11—0,17 ≤ 0,07 ≤ 0,14 0,15—0,25 ≤ 0,12	≤ 0,8 ≤ 1,0 ≤ 1,0 ≤ 0,8 ≤ 0,8 ≤ 0,8 ≤ 0,8 ≤ 0,8	≤ 0,7 ≤ 0,8 ≤ 0,8 ≤ 0,8 ≤ 2,0 ≤ 2,0 ≤ 2,0 ≤ 2,0	16,0—18,0 23,0—27,0 27,0—30,0 16,0—18,0 17,0—20,0 17,0—20,0 17,0—20,0 17,0—20,0	≤ 0,6 ≤ 0,6 ≤ 0,6 1,5—2,5 8,0—11,0 8,0—11,0 8,0—11,0 8,0—11,0	— — — — — — — —	0,030 0,030 0,030 0,030 0,030 0,030 0,030 0,030	0,035 0,035 0,035 0,035 0,035 0,035 0,035 0,035	
Хромоникелетитановая	X18H11B (ЭИ398 и ЭИ402). X13H4F9 (ЭИ100).	≤ 0,10 0,15—0,30	≤ 1,0 ≤ 0,8	≤ 2,0 8,0—10,0	17,0—20,0 12,0—14,0	9,0—13,0 3,7—5,0	8C до 1,5Nb —	0,030 0,030	0,035 0,060	
Хромоникелмolibденотитановая	X18H12M2T (ЭИ171 и ЭИ448).	≤ 0,12	≤ 0,8	≤ 2,0	16,0—19,0	11,0—14,0	2,0—3,0Mo 0,3—0,6Ti	0,030	0,035	
То же	X18H12M3T (ЭИ183, ЭИ432 и ЭИ397).	≤ 0,12	≤ 0,8	≤ 2,0	16,0—19,0	11,0—14,0	3,0—4,0Mo 0,3—0,6Ti	0,030	0,035	

* В скобках указаны прежние обозначения марок стали или сплава.

Название стали или сплава (тип стали или сплава)	Марка стали или сплава *	Химический состав в %								
		C	Si	Mn	Cr	Ni	Прочие	S	P	
не более										
Группа II										
Окалиностойкие до температуры 850—900°										
Хромокремнистая	X6C (ЭСХ6)	≤ 0,15	1,5—2,0	≤ 0,7	5,0—6,5	≤ 0,6	—	0,030	0,030	
Хромокремнистоалюминиевая	X9C2 (ЭСХ8)	0,35—0,50	2,0—3,0	≤ 0,7	8,0—10,0	≤ 0,6	—	0,030	0,030	
	X12HOC (ЭИ404)	0,07—0,12	1,2—2,0	≤ 0,7	11,5—14,0	≤ 0,5	1,0—1,5A1	0,030	0,035	
Окалиностойкие до температуры 1000—1100° **										
Хромокремнистая	X25C3Н (ЭИ261)	≤ 0,35	2,5—3,5	≤ 0,7	23,0—27,0	0,7—1,3	—	0,030	0,035	
Хромотитановая	X25T (ЭИ439)	≤ 0,15	≤ 1,0	≤ 0,8	23,0—27,0	≤ 0,6	4C + 0,8Ti	0,030	0,035	
Хромоникелевая	X23H13 (ЭИ319)	≤ 0,20	≤ 1,0	≤ 2,0	22,0—25,0	12,0—15,0	—	0,030	0,035	
Хромоникелекремнистая	X23H18 (ЭИ417)	≤ 0,20	≤ 1,0	≤ 2,0	22,0—25,0	17,0—20,0	—	0,030	0,035	
Хромоникелекремнистая	X20H14C2 (ЭИ211)	≤ 0,20	2,0—3,0	≤ 1,5	19,0—22,0	12,0—15,0	—	0,030	0,035	
То же	X25H20C2 (ЭИ283)	≤ 0,20	2,0—3,0	≤ 1,5	23,0—27,0	18,0—21,0	—	0,030	0,035	
	X18H25C2 (ЭЯ3С)	0,30—0,40	2,0—3,0	≤ 1,5	17,0—20,0	23,0—26,0	—	0,025	0,035	
Жаропрочные до температуры 600—650° ***										
Хромомолибденовая	X5M (ЭХ5М)	≤ 0,15	≤ 0,5	≤ 0,6	4,0—6,0	—	0,5—0,6Mo	0,030	0,030	
Хромокремнистомолибденовая	X6CM (ЭСХ6М)	≤ 0,15	1,5—2,0	≤ 0,7	5,0—6,5	—	0,45—0,6Mo	0,030	0,035	
То же	X7CM	≤ 0,15	1,5—2,0	≤ 0,7	6,5—8,0	—	0,45—0,6Mo	0,030	0,035	
Хромоникелекремнистая	X10C2M (ЭИ107)	0,35—0,45	1,9—2,6	≤ 0,7	9,0—10,5	≤ 0,5	0,7—0,9Mo	0,030	0,030	
	X13H7C2 (ЭИ72)	0,25—0,37	2,0—3,0	≤ 0,7	11,5—14,0	6,0—7,5	—	0,030	0,030	
Жаропрочные до температуры 700—800 °****										
Хромоникелевольфрамовая	4X14H14B2M (ЭИ69)	0,40—0,50	≤ 0,8	≤ 0,7	13,0—15,0	13,0—15,0	2,0—2,75W 0,25—0,40Mo	0,030	0,030	
То же	1X14H14B2M (ЭИ257)	≤ 0,15	≤ 0,8	≤ 0,7	13,0—15,0	13,0—15,0	2,0—2,75W 0,45—0,60Mo	0,030	0,035	
Хромоникелекремнистовольфрамовая	X14H14CB2M (ЭИ240)	0,40—0,50	2,75—3,25	≤ 0,7	13,0—15,0	13,0—15,0	1,75—2,75W 0,25—0,40Mo	0,030	0,030	

* В скобках указаны прежние обозначения марок стали или сплава.

** К этой группе относятся также стали X25 и X28.

*** Также сталь 1X18H9T.

**** Также сталь X18H12M3T.

**МЕХАНИЧЕСКИЕ СВОЙСТВА НЕКОТОРЫХ НЕРЖАВЕЮЩИХ,
ОКАЛИНОСТОЙКИХ И ЖАРОПРОЧНЫХ МАРОК СТАЛИ [133, 140]**

Марка стали	Термическая обработка	Механические свойства					
		σ_{kp} $\text{кг}/\text{мм}^2$	σ_T $\text{кг}/\text{мм}^2$	δ_t $\%$	ψ $\%$	a_H $\text{км}/\text{см}^2$	H_B
1Х13 (Ж1)	Отж., 860°	40	20	23	70	10	179
	Отж., 780°	50	30	25	—	—	163
	H , 1050°; O 720°	70	—	23,5	67	15	207
	3, 1050—1100°, м	63	40	14	43	—	163
	3, 1050°, возд.	100	80	8	50	7	250—310
	3, 1050°, возд. O 600°	75	55	12	55	8	210—250
	3, 1000°, возд. O 730°	60	42	20	60	9	190—220
	Отж., 860°	50	25	22	65	9	187
2Х13 (Ж2)	3, 1050°, возд.; O 700°	65	45	16	55	8	—
	3, 1050°, возд.; O 500°	90—125	70—95	7	45	5—7	285—341
3Х13 (Ж3)	Отж., 860°	55	30	20	60	7	207
	3, 1050°, возд.; O 600°	95	80	9	45	5	241—302
	3, 980—1050°, м; O 600°	85	65	12	45	5	241—302
4Х13 (Ж4)	Отж., 860°	48—56	—	20—25	—	—	—
	3, 1050°, возд.; O 600°	95	75	9	40—45	3	460—550
X17 (Ж17)	Отж., 760—780° (гор. прок.)	63	49	23	50	—	170—150
	Отж., 760—780° (хол. прок.)	49	35	32	70	—	170—150
X18 (ЭИ229)	3, 1000—1050°, м; O 200—300°	—	—	—	—	—	≤255
X28 (Ж27)	3, 850°, в (гор. прок.)	58	39	26	61	—	159
	3, 950°, возд. (гор. прок.)	46	34	5	6	—	137
Х6М	Отж., 850°	46	26	26	76	17,6	—
	3, 900°, возд.	117,5	94,7	10	51,6	4,5	—
	3, 900°, м; O 600°, возд.	93	80	$\delta_{10} = 8,5$	61,8	6,35	—
	3, 950°, м; O 650°, м	70	50	18	40	6,0	207
	3, 950°, м; O 800°, возд.	57	—	$\delta_{10} = 17,8$	—	—	153
X10C2M (ЭИ107)	3, 1100—1150°, м; O 750—780°, в или м	90	70	15 (7)	35 (30)	3,0	248—321
X9C2 (Х8)	Отж., 950°	86,8	63,8	23,2	53,5	—	—
	3, 1000°, м; O 820°, в	87,9	69,5	25,0	59,6	7,24	~ 280
0X18H9 (Я0)	3, 1050°, в	56—70	22	45	60	11	140—175
1X18H9 (Я1)	3, 1100°, в	60—65	20—25	45	60	11	—
1X18H9T (Я1Т)	3, 1050—1100°, в	54	22	40	60	11	140—170
	3, 1150°, в	58	25	40	—	11	137
X17H2 (ЭИ268)	3, 950—975°, м; O 275—350°	110	—	10	—	5	—
X18H11B (ЭИ398)	3, 1100—1150°, в	55	20	40	55	—	—
2X18H9 (Я2)	3, 1100—1150°, в	60—75	≥ 28	45—52	54—70	—	160—200
X18H25C2 (Я3С)	3, 1000°, в	65	40	20	35	6	163—241
X23H13 (ЭИ319)	3, 1100—1150° в или возд.	55	30	35	50	—	—
X23H18 (ЭИ417)	3, 1100—1150°, м, возд., в	55	30	35	50	—	145—210
	H , возд.	67,3	—	13	63	—	145—210
X25H20C2 (ЭИ283)	3, 1100—1150°, в	60	30	35	50	—	—
X20H14C2 (ЭИ211)	3, 1100—1150°, в	60	30	35	50	—	—
X13H4Г9 (ЭИ100)	3, 1120—1150°, в	65	25	40	55	10	—
4X14H14B2M (ЭИ69)	Отж., 880°	72	40	20	40	5	179—269
	3, 1170—1200°,	70	—	35	—	10	150—210
X14H14CB2M (ЭИ240)	Без термической обработки	70	40	20	40	—	179—269
X18H12M2T (ЭИ171)	3, 1100—1150°, возд.	55	22	40	55	12,5	—
X18H12M3T (ЭИ183)	3, 1100—1150°, в	55	22	40	55	12,5	—

**МЕХАНИЧЕСКИЕ СВОЙСТВА НЕКОТОРЫХ НЕРЖАВЕЮЩИХ,
ОКАЛИНОСТОЙКИХ И ЖАРОПРОЧНЫХ МАРОК СТАЛИ
ПРИ НИЗКИХ И ПОВЫШЕННЫХ ТЕМПЕРАТУРАХ [140]**

Марка стали	Температура в °C	Механические свойства			
		σ_{ap} в кг/мм ²	σ_T в кг/мм ²	δ_k в %	ψ в %
1X13 (Ж1)	-40	53,9	30	—	—
	100	68	52	14	—
	200	64	49	12	—
	300	60	48	12	—
	400	56	43	14	—
	500	42	30	18	—
	600	20	16	56	—
	700	10	7	63	—
	800	4	1	66	—
2X13 (Ж2)	100	69	52	13	—
	200	63	49	12	—
	300	60	48	11	—
	400	56	43	13	—
	500	43	30	18	—
3X13 (Ж3) 4X13 (Ж4)	100	77	—	25	54
	200	74	—	21	58
	300	71	—	19	57
	500	60	—	22	65
X17 (Ж17)	100	46	30	27	—
	200	47	27	26	—
	300	45	26	25	—
	600	20	15	60	—
X28 (Ж27)	400	50	38	18	52
	600	42,5	33	16	57
	700*	19	13	29	78
	800*	8	6	43	83
	900	4	2,5	48	91
X10C2M (ЭИ107)	20	109	—	δ_{rp} 11,6	—
	600	50	—	a_N 15,8	17,5
	700	17,9	—	27,6	27,5
	800	11,6	—	31,2	37,5
	900	3,8	—	48,0	37,5
X9C2 (CX8)	20	90	84	19	—
	200	84	55	16	—
	400	83	49	17	—
	600	54	40	14	—
	800	7	4	24	—
0X18H9 (Я0) 1X18H9 (Я1)	540	47	—	69,3	49,5
	700	38,7	—	56,1	49
	750	21,6	—	64,5	57,5
	870	11,3	—	38,1	37
2X18H9 (Я2)	-196	170	42	51	—
	-153	132	20	—	—
	540	47	68,5	50	—
	650	39	56,0	40	—
	760	22	65,5	58	—
	870	11,5	33,5	37	—

Продолжение

Марка стали	Температура в °C	Механические свойства			
		σ_{ap} в кг/мм ²	σ_T в кг/мм ²	δ_s в %	Φ в %
1Х18Н9Т (Я1Т)	-196	175,5	—	26,9	44,7
	-70	118,6	—	38,4	59,1
	20	66,1	24,4	—	59,9
	400	48,7	13,1	—	40
	700	30,3	12,1	$\sigma_{ap} = 3,1$	43,5
	800	18,3	10	$\sigma_{ap} = 0,6$	52
	900	10	7,9	—	60
Х18Н25С2 (Я3С)	15	69,4	—	28,8	48,9
	500	65,3	—	29,4	38,5
	600	55,8	16	$\sigma_{ap} = 9,1$	30,5
	700	36,1-43,2	13	$\sigma_{ap} = 3,65$	40,5
	800	29	—	28,7	56,5
	900	11,2	4	24,8	52,5
4Х14Н14В2М (ЭИ69)	500	64,3	—	26	33
	600	56,1	$\sigma_{ap} = 5,3$	21	34
	700	39,3	2,3	19	36
	800	25,3	0,55	25	59
	900	15,5	0,18	47	67

* σ_{ap} — предел ползучести в кг/мм² при величине деформации 10^{-7} м.м./мм час.

ТЕРМИЧЕСКАЯ ОБРАБОТКА И МЕХАНИЧЕСКИЕ СВОЙСТВА НЕРЖАВЕЮЩЕЙ И КИСЛОТОСТОЙКОЙ ЛИСТОВОЙ СТАЛИ (по ГОСТ 5582-50)

Марка стали	Термическая обработка	Механические свойства	
		σ_{ap} в кг/мм ²	δ_s в %
	не менее		
1Х13	Отж, 740-780°, п	40	21
2Х13	Отж, 740-780°, п	50	20
3Х13	Отж, 740-780°, п	50	15
4Х13	Отж, 740-780°, п	60	15
X17	Отж, 760-780, возд.	50	18
X25, X25T	3, 760-780°, нозд. или в	54	17
X28	3, 760-780°, возд. или в	50	17
0Х18Н9	3, 1050-1100°, возд. или в	54	45
1Х18Н9	3, 1080-1120°, в или возд.	55	35
2Х18Н9	3, 1100-1150°, в	60	38
1Х18Н9Т	3, 1050-1120°, в или возд.	54	40
X17Н2	3, 950-975° м: О275-350	110	10
X18Н11Б	3, 1080-1130° в или возд.	54	40
X23Н13	3, 1100-1150°, в	55	35
X23Н18	3, 1100-1150°, в	58	40
X25Н20С2	3, 1100-1150°, в	55	35
X20Н14С2	3, 1100-1150°, в	60	40
X18Н12М3Т	3, 1080-1130°, в или возд.	54	35
X18Н12М2Т	3, 1080-1130°, в или возд.	54	35
X13Н4Г9	3, 1100-1150°, в	65	40

ХАРАКТЕРИСТИКА ИЗДЕЛИЙ ИЗ НЕРЖАВЕЮЩЕЙ КИСЛОТОУПОРНОЙ И ЖАРОПРОЧНОЙ СТАЛИ (по ГОСТ 4986-49)

Марка стали *	Состояние материала при поставке **	Термическая обработка (рекомендуемая)	Механические свойства	
			σ_{sp} в кг/мм ²	δ_{10} в %
<i>Лента</i>				
1X13	Мягкая (M)	Отж.	40	21
2X13	(M)	Отж.	50	20
3X13	(M)	Отж.	50	20
0X18H9	(M)	З, 1050—1080°, в.	54	45
	Полумягкая (PM)	без термообработки	75—95	25
1X18H9	(M)	З, 1050—1080°, в.	54	35
	Полумягкая (PM)	без термообработки	80	20
	Нагартованная (H)	То же	100	13
	Особо нагартованная (OH)		115	8
2X18H9	(M)	З, 1120—1150°, в. или возд.	58	35
	(PM)	без термообработки	80	20
	(H)	То же	100	13
	(OH)		115	8
1X18H9T	(M)	З, 1050—1100°, в. или возд.	54	40
	(M)	З, 1080—1130°, в.	54	40
X18H12M2T	(H)	без термообработки	100	13
	(M)	З, 1080—1130°, в. или возд.	54	40
X18H11B	(H)	без термообработки	100	13
	(M)	З, 1120—1150°, в.	80	40
X13H4Г9	(PM)	без термообработки	80	20
	(H)	То же	100	15
	(OH)		115	8
X23H18	(M)	З, 1100—1150°, в. или возд.	58	45
<i>Проволока</i>				
1X18H9 и 2X18H9	Холоднотянутая Ø 0,2, 0,25, 0,3 и 0,4 мм	—	Факультативно	
		—	> 110	> 8 на длине $l=100$ мм

* Марки стали по ГОСТ 5632-51.

** Лента из стали марок 1X13, 2X13 и 3X13 (по требованию) должна выдерживать поперечный загиб на 180° вокруг оправки, толщина которой равна толщине ленты.

Лента и проволока из стали марок 1X18H9 — X18H11B и X13H4Г9 должны выдерживать испытание на интеркристаллической коррозии методом кипения образцов в течение 36 час. в растворе мелкого купороса и 10% -ной серной кислоты. Образец после кипения при загибе на 90° не должен давать трещин.

Сталь марки 1X13 — мартенситного (или полуферритного) класса, марки 2X13 и 3X13 — мартенситного класса, остальные марки аустенитного класса.

**ОСНОВНЫЕ СВОЙСТВА И ПРИМЕРНОЕ НАЗНАЧЕНИЕ
ВЫСОКОЛЕГИРОВАННОЙ НЕРЖАВЕЮЩЕЙ, КИСЛОТОСТОЙКОЙ,
ОГНЕСТОЙКОЙ И ЖАРОПРОЧНОЙ СТАЛИ (по ГОСТ 5632-51)**

Марка стали	Основные свойства	Примерное назначение
Группа I. Нержавеющая и кислотостойкая стали		
1Х13	Хорошо сопротивляется атмосферной коррозии. Наибольшей стойкостью отличается после термической обработки и полировки	Детали с повышенной пластичностью и подвергающиеся ударным нагрузкам (турбинные лопатки, клапаны гидравлических прессов, арматура крекинг- установок, болты, гайки, предметы домашнего обихода)
2Х13, 3Х13, 4Х13	То же. Удовлетворительно сопротивляется атмосферной коррозии	Те же детали, но с повышенной твердостью. Обрабатываемые на автоматах детали (зубчатки, шестерни, винты, гайки и другие детали с резьбой)
X18	Не ржавеет	Шариколодципники для нефтяного оборудования, ножи, втулки, вентили и другие детали, подвергающиеся сильному износу с повышенной стойкостью против коррозии
X17, X17Н2	Кислотостойкие, окалиностойкие	Оборудование азотнокислых заводов. Оборудование кухонь и консервных заводов, предметы домашнего обихода
X25, X23	Кислотостойкие, окалиностойкие	Аппаратура для растворов гипохлорита натрия, дымящейся азотной и фосфорной кислот
1Х18Н9, 2Х18Н9	Кислотостойкие	В авиации — детали самолетов, дирижаблей, плавки гидросамолетов; в архитектуре — материал для отделки зданий и художественных украшений; немагнитные части аппаратуры управления судов
0Х18Н9	Не ржавеет, кислотостойкая, не подвержена интеркристаллитной коррозии	Присадочный материал для газовой и электродуговой сварки хромоникелевой стали
1Х18Н9Т	Кислотостойкая, не подвержена интеркристаллитной коррозии	В промышленности азотной, лакокрасочной, угольной, молочной, пищевой. Патрубки и коллекторы выхлопной системы авиамоторов
X18Н11Б	Кислотостойкая	Сварная аппаратура, которая после сварки не может быть термически обработана
X13Н4Г9	Хорошо сопротивляется коррозии. Подвержена интеркристаллитной коррозии	Заменители холоднокатанной стали марок 1Х18Н9 и 2Х18Н9 для прочных и легких конструкций, соединяемых точечной электросваркой
X18Н12М2Т, X18Н12М3Т	Кислотостойкие, не подвержены интеркристаллитной коррозии	Аппаратура, требующая устойчивости против сернистой, кипящей фосфорной, муравьиной и уксусной кислот; для горячих растворов белильной извести и сульфатного щелока

Продолжение

Марки стали	Основны	Примерное назначение
Группа II. Окалиностойкая и жаропрочная сталь		
X6C	Окалиностойка при температуре до 750°	Детали котлов и печей, работающие с повышенной нагрузкой
X9C2	То же до 800°	Клапаны авиамоторов и детали, работающие при повышенной нагрузке
X12HOC	То же до 900°	Детали, работающие при пониженной нагрузке
X18H25C2, X25H20C2	То же до 1100°, жаропрочны, кислотостойкны	Детали, работающие при сильно нагруженном состоянии: печные конвейеры, ящики для цемента, крепежные детали
X20H14C2	То же до 1000°, жаропрочная, кислотостойкая	Подвески и опоры в котлах (в печах)
X23H13	То же	Трубы, сварочная проволока
X23H18		Детали установок для пиролиза газов
X25	Окалиностойка при температуре до 1100°	Детали, работающие при пониженной нагрузке
X25T	То же при 1100°	Чехлы к термопарам
1X18H9T	Жаропрочна при температуре до 600°, не подвержена интеркристаллитной коррозии	Патрубки и коллекторы выхлопной системы моторов
X5M	Жаропрочна при температуре до 650°	Трубы, детали насосов, задвижки; подвески и опоры котлов, работающие в нагруженном состоянии
X6CM, X7CM	То же до 650°, окалиностойки	Трубы, применяемые для крекинг-процессов в условиях сернистой коррозии, части насосов, задвижки, штоки
4X14H14B2M	То же до 800°, окалиностойка	Клапаны моторов, детали паровых и газовых трубопроводов
1X14H14B2M	То же	Детали пароперегревателей
X10C2M	То же до 650°, окалиностойка	Клапаны моторов
X13H7C2	То же	
X18H12M3T X14H14CB2M	} То же до 800°, } окалиностойки	Выпускные клапаны моторов

ФИЗИЧЕСКИЕ СВОЙСТВА

Марка стали	Критические точки в °С				Модуль нормальной упругости $E \cdot 10^{-3}$ в кг/мм ²				Коэффициент расширения $\beta \cdot 10^4$	
	Ac_1	Ac_3	Ar_1	Ar_3	20°	100°	300°	450°	20—100°	20—200°
08	732	874	680	854	20°				11,6	12,6
					19					
10	732	874	680	854	+15°	-40°			11,6	12,6
					19,8	21,2				
15 A12	735	863	865	840	20°	100°	300°	450°	11,9	12,5
					20,2	18,7	17,0	15,7		
20	735	854	682	835	20,0	—	—	—	11,1	12,1
25	735	840	680	824	20,2	20,0	18,9	15,2	11,1	12,3
30	732	813	677	796	—	—	—	—	100°	200°
									12,6	13,9
35	730	802	691	791	20,1	20,1	17,9	15,7	20—100°	20—200°
									11,09	11,9
40	730	790	690	—	21,35	21,0	19,8	17,95	12,4	12,6
45	725	770	690	720	—	—	—	—	16—75°	—
									11,7	
50	725	760	690	720	22,0	21,5	20,0	18,0	0—100°	12,4
									12,0	
55	727	774	690	755	—	—	—	—	11,0	11,8
60	727	766	690	743	20,8	21,2	19,3	17,8	11,1	11,9
65	727	752	696	730	—	—	—	—	11,8	12,6
70	730	743	693	727	21,0	—	—	—	11,5	12,3
15Г 20Г	735 735	863 854	685 682	840 835	20,8	—	—	—	—	25—300°
									12,3	13,2
30Г	734	812	675	796	21,07	—	—	—	100°	200°
									12,6	13,9
40Г	726	790	689	768	20,4	—	—	—	20—100°	100—200°
									9,4	12,
50Г	720	760	660	—	22,0	21,7	20,8	500°	—	20—200°
								19,1	11,6	11,9
60Г	726	765	689	741	21,1	400°	500°	550°	—	25—300°
					(H)	20,7	20,8 (3+O _B)	21,1	11,1	12,9

СТАЛИ [177, т. 3, гл. X]

Марка стали	Критические точки в °С				Модуль нормальной упругости $E \cdot 10^{-3}$ в кг/мм ²					Коэффициент расширения $\beta \cdot 10^3$	
	Ac_1	Ac_3	Ar_1	Ar_3							
65Г	724	750	694	721	21,1 (H)	20,79	450° 20,89 (3+ОВ)	500° 20,89	20—200° 11,1	20—200° 11,9	
10Г2 30Г2	720 718	830 804	620 627	710 727	21,11	—	—	—	—	—	
35Г2 40Г2	713 713	794 780	630 627	710 710	20,8 —	—	—	—	—	—	
45Г2	713	766	627	704	—	—	—	—	25—100° 11,3	25—600° 12,2	
50Г2	710	760	596	680	—	—	—	—	— 11,3	100— 200° 12,7	
15Х 20Х	735 766	870 838	720 702	— 729	20,7	—	—	—	— 11,3	20—200° 11,6	
30Х 35Х }	740	815	670	—	— 21,85	100° 21,5	300° 20,1	500° 17,95	13,4	13,3	
40Х	743	782	693	730	20,0	—	—	—	—	—	
45Х 50Х }	721	771	660	693	350° 21,02	425° 20,95	500° 21,09	575° 21,16	20—300° 12,8	13,8	
20ХФ	766	840	704	782	20° 18,63	—78° 18,63	—	—	— 12	20—200° 12,5	
40ХФ	754	790	702	746	20,17	—	—	—	— 11,0	25—300° 12,0	
15М 30М	730 740	930 815	610 666	830 760	—	—	—	—	—	—	
20ХМ	743	818	504	746	—	—	—	—	—	—	
30ХМ	757	807	693	763	20° 21,95	100° 21,6	300° 20,5	500° 18,6	20—200° 12,3	12,5	
35ХМ 35Х2М	745 715	820 776	620 607	— 705	21,95	21,6	20,5	18,6	12,3	12,5	
35ХС 40ХС	760 755	860 850	—	—	22,3	22,0	21,1	19,25	11,7	12,7	
25СГ 35СГ	750 750	880 830	—	—	21,4	21,15	20,5	18,9	11,5	12,6	
20ХГС 25ХГС 30ХГС	755 750 750	840 835 830	690 680 670	—	—	—	—	—	—	—	

Продолжение

Продолжение

Марка стали	Критические точки в °C				Модуль нормальной упругости $E \cdot 10^{-3}$ в кг/мм ²				Коэффициент расширения $\beta \cdot 10^6$		
	Ac_1	Ac_3	Ar_1	Ar_3	—	—	—	—	—	—	
35ХМН	800	940	730	—	—	—	—	—	—	—	
35ХМФ	755	835	600	—	21,7	21,3	20,35	18,35	11,3	11,7	
25H 30H 40H	730	820	660	—	21,5	21,0	20,2	18,5	12,2	12,2	
	655	—	562	—	—	—	—	—	—	—	
20ХН 30ХН	733 730	804 793	666 660	790 738	—	—	—	—	—	—	
40ХН 50ХН	731 735	769 750	660 657	702 690	—	—	—	—	11,8	12,3	
12ХН2	732	794	671	763	—	—	—	—	12,6	13,8	
12ХН3 · 20ХН3	715 700	830 760	670 500	— 630	20,4 20,3	—	—	—	11,8	13,0	
30ХН3	715	775	590	—	21,2	21,0	20,2	18,4	11,6	13,2	
37ХН3	710	770	640	—	19,9	—	—	—	11,7	20—300° 12,8	
12Х2Н4	710	820	660	—	20,4	—	—	—	100°	200° 11,8	13,0
18ХНВ	700	810	350	—	20,0	—	—	—	14,5	14,5	
25ХНВ	700	720	300	—	20,0	—	—	—	10,7	13,1	
33ХН3М	720	790	400	—	21,1	20,7	19,6	17,6	20—100° 10,8	20—200° 11,6	
ШХ9	730—750	875—890	710—690	—	21,0— 22,0	—	—	—	100°	200° 13	13,9

линейного (средний) $\frac{мм}{м град}$	Коэффициент теплопроводности λ в $\frac{ккал}{м \cdot час \cdot град}$				Теплоемкость (средняя) c в $\frac{ккал}{кг}$				Удельный вес в $\frac{кг}{дм^3}$	
	—	—	—	—	—	—	—	—		
—	—	—	—	—	—	—	—	—	—	
13,9	14,3	36,0	35,3	35,1	35,0	—	—	—	—	
13,8	14,4	43,2	41,8	39,6	36,0	—	—	—	7,8	
—	—	—	—	—	—	—	—	—	7,84	
—	—	26,2	22,6	21,6	20,8	—	—	—	7,87	
13,4	14,0	—	—	—	—	—	—	—	7,82	
14,8	14,3	85° 18,7	125° 20,6	480° 26,6	910° 18,3	58° 0,108	490° 0,057	920° 0,038	—	7,88
14,7	15,6	60° 26,6	500° 22,0	750° 18,3	910° 16,1	380° 0,157	425° 0,154	—	—	7,88
13,4	13,5	200° 32,5	300° 31,0	400° 30,0	600° 28,0	—	—	—	—	7,83
—	—	—	—	—	—	—	—	—	—	7,8
400°	600°	60°	500°	750°	910°	380°	425°	—	—	7,84
14,7	15,6	26,6	22,0	18,0	15,5	0,157	0,154	—	—	—
14,3	14,2	70° 20,5	230° 21,6	530° 24,1	900° 20,9	70° 0,116	280° 0,123	535° 0,185	900° 0,173	7,94
14,6	13,2	40° 23,4	200° 22,6	500° 22,0	950° 19,8	70° 0,111	535° 0,180	900° 0,197	—	7,9
20—400°	20—600°	100°	200°	300°	400°	—	—	—	—	—
13,3	13,7	35,1	32,5	29,2	26,2	—	—	—	—	—
400°	600°	34,6 (отж.) 31,6 (3)	—	—	45°	525°	980°	—	—	7,8
15	15,2	—	—	—	—	0,122	0,188	0,174	—	—

Продолжение

Марка стали	Критические точки в °С				Модуль нормальной упругости $E \cdot 10^{-3}$ в кг/м.м ²				Коэффициент расширения $\beta \cdot 10^6$	
	Ac_1	Ac_3	Ar_1	Ar_3	21,0	—	—	—	14	15,1
ШХ15	727	~900	694	—	21,0	—	—	—	14	15,1
55С2 60С2	775 750	840 820	—	—	20,0	—	—	—	—	—
50ХГ	750	775	—	—	21,3 (H)	—	—	—	50—150° 11,3	450— 550° 14,8
50ХФ	752	788	688	746	21,2	—	—	—	20—100° 12,4	20—200° 12,8
ЭИ256 (Г12)	—	—	—	—	—	—	—	—	—	—
1Х13 (Ж1)	730	850	700	820	21,0	—	—	—	100° 11,2	200° 12,6
2Х13 (Ж2)	820	950	780	—	21,0	—	—	—	0—100° 9,6	0—200° 10,4
3Х13 (Ж3)	800	—	—	—	21,0	—	—	—	11,0	11,3
Х9С2 (Х8)	900	970	810	870	—	—	—	—	100° 11,1	200° 12,7
Х10С2М (ЭИ107)	850	950	700	845	—	—	—	—	20—100° 10,0	20—800° 11,0
1Х18Н9 (Я1) 1Х18Н9Т (Я1Т)	—	—	—	—	20,0	—	—	—	16	0—200° 16,8
Х18Н25С2 (Я3С)	—	—	—	—	21,0	—	—	—	100° 14,2	200° 17,5
4Х14Н14В2М (ЭИ69)	—	—	—	—	—	—	—	—	20—300° 17	20—500° 18

линейного (средний) в $\frac{м}{м\text{град}}$	Коэффициент теплопроводности λ в $\frac{\text{ккал}}{\text{м час град}}$				Теплоемкость (средняя) c в $\frac{\text{ккал}}{\text{кг}}$				Удельный вес $\frac{\text{кг}}{\text{дм}^3}$
	45°	525°	980°	—	0,122	0,188	0,174	—	
15,6	15,8	34,6 (Отж.) 31,6 (3)	—	—	—	—	—	—	7,8
—	—	—	—	—	—	—	—	—	7,68
—	—	—	—	—	—	—	—	—	7,8
20—400°	20—600°	—	—	—	—	—	—	—	—
13,9	14,5	—	—	—	—	—	—	—	—
—	—	15,9	16,1	16,3	17,2	20° 0,12	—	—	8,0
400°	500°	30°	280°	660°	765°	85°	585°	900°	—
14,1	14,3	19,8	18,7	20,8	19,5	0,107	0,22	0,20	—
0—300°	0—500°	20°	100°	—	—	20°	—	—	7,75
10,9	11,3	21,6	25,2	—	—	0,11	—	—	7,75
11,5	11,7	18,0	—	—	—	0,117	—	—	7,76
400°	600°	135°	255°	560°	770°	40°	280°	570°	760°
14,3	14,2	14,0	15,8	18,0	18,0	0,113	0,117	0,218	0,205
—	—	20° 21,6	—	—	—	—	—	—	7,62
0—300°	0—400°	14,0	—	—	—	20°	—	—	7,9
17,5	18,1	—	—	—	—	0,12	—	—	—
400°	600°	110°	200°	570°	700°	—	—	—	—
19,3	19,3	13,0	14,8	20,6	22,7	—	—	—	—
20—700°	20—900°	15°	1000°	—	—	—	—	—	—
18	19	11,9	27,0	—	—	—	—	—	8,0

ЧУГУН

Отливки из серого чугуна (по ГОСТ 1412-48).
Механические свойства

Марки отливок	σ_{ap}	σ_{av}	f в мм при t в мм		σ_{BCEK}	H_B^{***}
	в кг/мм ²	в кг/мм ²	600	300	в кг/см ² *	
	не менее				не менее	
СЧ 00**	—	—	—	—	—	—
СЧ 12-28	12	28	6	2	50	143—229
СЧ 15-32	15	32	8	2,5	65	163—229
СЧ 18-36	18	36	8	2,5	70	170—229
СЧ 21-40	21	40	9	3	75	170—241
СЧ 24-44	24	44	9	3	85	170—241
СЧ 28-48	28	48	9	3	100	170—241
СЧ 32-52	32	52	9	3	110	197—248
СЧ 36-56	35	56	9	3	120	197—248
СЧ 38-60	38	60	9	3	130	207—262

* Факультативно.

** Испытания не производятся.

*** В местах, подлежащих механической обработке, для отливок, получаемых в металлических формах, допускается пониженная твердость при условии соответствия других механических свойств (см. ГОСТ 3443-46, 1855-46, 2716-44, 2670-44, 2612-44, 2055-43).

Класс, разряд и вид структуры металла отливок из серого чугуна (по ГОСТ 3443-46)

Класс структуры определяется по среднему проценту площади основной металлической массы, занятой перлитом на микрошлифе.

Класс	Количество перлита в %	Количество связанного углерода в %
П .	100	(>0,8)
П99 .	98—99	(>0,8)
П95 .	90—97	(>0,7)
П85 .	75—89	(0,6—0,7)
П65 .	55—74	(0,4—0,6)
П40 .	25—54	(0,2—0,4)
П15 .	<25	(<0,2)

Разряд определяется по среднему проценту площади, занятой графитом в поле зрения микроскопа.

Разряд	Количество графита
Г02	—
Г05	—
Г08	—
Г11	—
Г14	—
Г17	—

Вид структуры определяется по степени изолированности графитовых включений или их колоний (обособленность колоний).

Вид структуры	Характер распределения
Г5	В виде изолированных включений
Г4	Значительная степень изолированности
Г3	Средняя степень изолированности
Г2	Малая степень изолированности
Г1	В виде сплошного поля включений

Примерная характеристика структуры металла отливок из серого чугуна различных марок (по ГОСТ 1412-48)

Марки отливок	Для отливок со структурой класса				
	П40	П65	П85	П95	П99
СЧ 15-32	Г11 ≥Г3	Г11 ≥Г3	Г11 ≥Г1	—	—
СЧ 18-36	Г11 ≥Г4	Г11 ≥Г3	Г11 ≥Г2	—	—
СЧ 21-40	Г08 Г4 и Г5	Г08 Г4 и Г5	Г08 ≥Г3	Г08 ≥Г2	—
СЧ 24-44	Г08 Г5	Г08 Г4 и Г5	Г08 ≥Г3	Г08 ≥Г4	Г08 ≥Г3
СЧ 28-48	—	—	Г05 Г5	Г05 Г4 и Г5	Г05 ≥Г3
СЧ 32-52	—	—	—	Г05 Г5	Г05 ≥Г5

ОТЛИВКИ ИЗ АНТИФРИКЦИОННОГО СЕРОГО ЧУГУНА
(по ГОСТ 1585-42*)

Обозначение марок	Химический состав в %									H_B
	C	Si	Mn	P	S	Cr	Ni	Cu	Al	
СЧЦ1	3,2-3,6	2,2-2,4	0,6-0,9	0,15-0,25	0,20-0,55	0,20-0,55	0,3-0,4	0,2-0,3	0,10-0,15	170-229
СЧЦ2										

* См. также ГОСТ В-1412-42.

ОТЛИВКИ ИЗ КОВКОГО ЧУГУНА (по ГОСТ 1215-41)

Марка чугуна	σ_{sp} в кг/мм ²	δ в % на образце		H_B		
		$\phi 16$ мм	$\phi 12$ мм			
не менее						
не более						
После отжига в нейтральной среде						
КЧ 37-12	37	12	—	149		
КЧ 35-10	35	10	—	149		
КЧ 33-8	33	8	—	149		
КЧ 30-6	30	6	—	163		
После отжига в окислительной среде						
КЧ 40-3	40	3	4	201		
КЧ 35-4	35	4	5	201		
КЧ 30-3	30	3	4	201		

Глава IV

ТЕХНОЛОГИЯ ТЕРМИЧЕСКОЙ ОБРАБОТКИ ДЕТАЛЕЙ МАШИН И ИНСТРУМЕНТОВ

Под процессом термической обработки следует понимать изменение внутреннего строения (микроструктуры) металла под воздействием изменяющихся температурных условий и, как следствие этого, получение определенных физико-механических свойств металла: При определении каждого из процессов термической обработки вначале дается сущность происходящих физических изменений (содержание), а затем описывается способ осуществления процесса.

Выбор рациональных тепловых режимов термической обработки и определение путей их интенсификации могут быть произведены только на основе анализа физических закономерностей при нагреве, выдержке и охлаждении.

ФИЗИЧЕСКИЕ ОСНОВЫ НАГРЕВА И ОХЛАЖДЕНИЯ СТАЛИ

Каждый из процессов термической обработки состоит из трех стадий (фиг. 1):

1) нагрев с определенной скоростью (v_n) до требуемой по процессу температуры — период нагрева (τ_n);

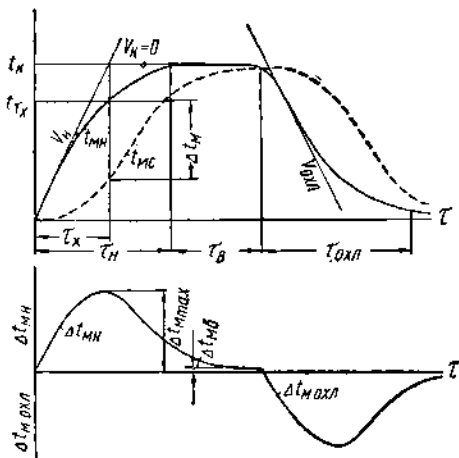
2) выдержка при этой температуре — период выдержки (τ_e);

3) охлаждение (τ_{ox}) с заданной по процессу скоростью (v_{ox}).

Скорость нагрева и скорость охлаждения изменяются от максимальных значений в начальный и до нуля в конечный моменты.

Кривые фиг. 1 характеризуют процесс нагрева при постоянной или повышающейся до определенных значений температуре внешней среды и при понижающем тепловом потоке $q \frac{\text{ккал}}{\text{м}^2 \cdot \text{час}}$.

Понятие средней скорости, которым часто пользуются практики, может быть отнесено к времени τ_x или темпе-



Фиг. 1. Термовой график „температура — время“

$$t_\tau = t_n \left(1 - e^{-\frac{\tau}{\tau_n}} \right) \quad \text{при } \tau = \tau_x$$

$$t_{\tau_x} = t_n \frac{e-1}{e} = 0.63t_n$$

$$v_n = \left(\frac{dt}{d\tau} \right)_{\tau=0} = \frac{\tau_n}{t_n}; \quad v_\tau = \frac{dt}{d\tau} = v_n e^{-\frac{\tau}{\tau_n}}$$

$$\text{при } \tau = \tau_x, \quad v_\tau = 0.37v_n$$

t_mn , t_{ec} — температура поверхности и сердцевины металла; Δt_mn , Δt_{ecmax} , Δt_{ec} , Δt_{ox} — разность температур между поверхностью и сердцевиной в период нагрева: максимальная, в конце выдержки и в период охлаждения.

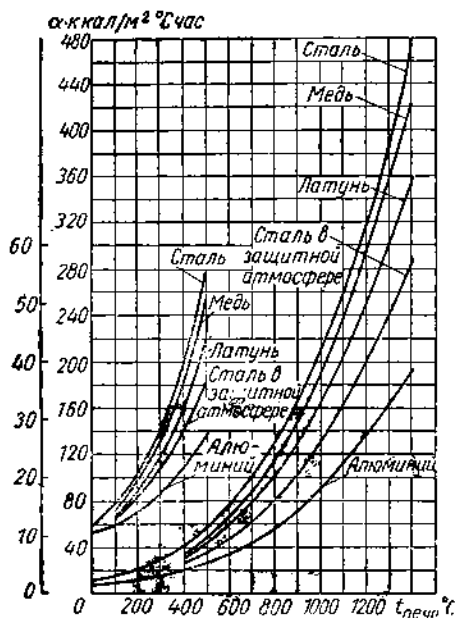
ture t_{τ_x} ; постоянная скорость нагрева $v = \text{const}$ может быть также получена при повышающемся тепловом потоке — q .

ФИЗИЧЕСКИЕ ЗАКОНОМЕРНОСТИ ПРИ НАГРЕВЕ, ВЫДЕРЖКЕ И ОХЛАЖДЕНИИ МЕТАЛЛА ([144], [44])

Параметр	Зависимость	
	прямая	обратная
Скорость нагрева v_n и скорость охлаждения v_{ox}	<p>От внешних условий</p> <p>а) Потока тепла через 1 м^2 поверхности металла в единицу времени $q \text{ ккал}/\text{м}^2\text{час}$</p> <p>б) Коэффициента теплоотдачи $a \text{ ккал}/(\text{м}^2\cdot\text{час}\cdot\text{град})$ (табл. на стр. 114 фиг. 2)</p> <p>в) Разности температур между внешней средой и нагреваемым металлом ($t_{sc} - t_{mn}$)</p> $\tau = \frac{gc}{\alpha_e} \ln \frac{t_{sc} - t_{mn}}{t_{sc} - t_{mk}}$	<p>От требуемого количества тепла $Q = \pm V/c(t_{mk} \pm t_{mn})$ ккал/час</p>
	<p>От физико-механических свойств (табл. на стр. 102–100)</p> <p>а) Коэффициента температуропроводности</p> $a = \frac{\lambda}{c_1} \text{ м}^2/\text{час}$ <p>б) Допустимого напряжения $\sigma \text{ кг}/\text{мм}^2$</p> $v_{n1} = \frac{5.6a\sigma}{R^2 \beta E} = \frac{2.1 \cdot a \sigma}{X^4 \beta E} \quad v_{n1} \text{ и } v_{n2} \text{ — скорость нагрева стали}$ $v_{n2} = \frac{400a}{R^2} = \frac{200a}{X^2} \quad \text{в упругом и пластическом состоянии (соответственно)}$	<p>а) Коэффициента линейного расширения — $\alpha, \beta \text{ мм}/\text{м}\cdot\text{град}$</p> <p>б) Модуля упругости $E \text{ кг}/\text{мм}^2$</p> <p>От размеров сечения X^2 и R^2 м</p>
Разность температур между поверхностью и сердцевиной Δt_m	<p>От формы деталей — отношения поверхности к объему $\frac{F}{V}$ (табл. на стр. 115)</p> <p>От внешних условий</p> <p>а) Скорости нагрева (охлаждения) v_n, v_{ox}</p> <p>б) Потока тепла q</p> <p>От размеров сечения детали X^2 и R^2</p> <p>От физико-механических свойств</p> <p>Допустимого напряжения $\sigma \text{ кг}/\text{мм}^2$</p> $\Delta t_m = \frac{qX}{2\lambda} = \frac{X^2 v}{2a} \quad z = \frac{1.05c^*}{\beta E} = \frac{1.4z^{**}}{\beta E}$	<p>От физико-механических свойств</p> <p>Коэффициента температуропроводности</p> $a = \frac{\lambda}{c_1} \text{ м}^2/\text{час}$ <p>(коэффициента теплопроводности $\lambda \text{ ккал}/(\text{м}\cdot\text{час}\cdot\text{град})$)</p>
Продолжительность выдержки τ_g (для выравнивания температуры между поверхностью и сердцевиной при Δt_g в конце выдержки)	<p>От размеров</p> <p>детали X^2 и R^2</p> $\tau_g = k_1 \cdot \frac{R^2}{a} = k_2 \cdot \frac{X^2}{a}$ <p>при $\Delta t_g = 5^\circ \quad k_1 = 0,6; \quad k_2 = 1,2$</p> <p>$\Delta t_g = 10^\circ \quad k_1 = 0,4; \quad k_2 = 0,9$</p> <p>$\Delta t_g = 20^\circ \quad k_1 = 0,3; \quad k_2 = 0,65$</p>	<p>От физических свойств</p> <p>— коэффициента температуропроводности a</p>

* При нагреве пластины.

** При нагреве цилиндра.



Фиг. 2. Коэффициент теплопередачи для нагрева различных металлов в электрических печах. Кривые построены по формуле:

$$\alpha_a = 0,03 c_{\text{прив.}} \left(\frac{T}{100} \right)^3 + (10 \div 15). \quad [176]$$

Коэффициент теплопередачи
 $\alpha \left(\frac{\text{ккал}}{\text{м}^2 \text{ час град}} \right)$ для пламенных печей*

Темпера- тура металла в °С	Коэффициент α при температуре печи в °С			
	900	1000	1100	1200
0	200	230	260	300
200	190	220	250	300
400	180	210	240	300
600	165	195	230	300
800	155	185	220	300
1000	—	170	210	315
1200	—	—	—	300

* Для электрических печей см. фиг. 2.

Зависимость продолжительности нагрева от эффективности внешней среды (750°C , стальной образец $\varnothing 50 \text{ мм}$) [177, т. 7, гл. XI]

Тепловой агрегат	Продолжи- тельность нагрева τ_H в мин.
Свинцовая ванна	6,0
Соляная	6,6
Пламенная печь	27,0
Электрическая печь	31,8

Продолжительность нагрева и выдержки в мин. в зависимости от сечения детали (для углеродистой стали*, Гипроавтопром)

Сечение детали в мм	Закалка **				Отпуск ***			
	Пламенная печь		Соляная ванна		Пламенная печь		Соляная ванна	
	Нагрев	Вы- держка	Нагрев	Вы- держка	Нагрев	Вы- держка	Нагрев	Вы- держка
25	20	5	7	3	25	10	10	5
50	40	10	17	8	50	15	25	6
75	60	15	24	12	75	20	35	9
100	80	20	33	17	100	25	45	12
125	100	25	40	20	125	30	55	14
150	120	30	50	25	150	40	65	15
175	140	35	55	30	175	45	70	20
200	160	40	65	35	200	50	90	20

* Для легированной стали продолжительность должна быть увеличена на 25—40%.

** Температура печи на 10—30° выше заданной температуры закалки.

*** Продолжительность высокого отпуска легированной стали обычно принимается равной 1—3 часам.

Продолжительность нагрева в мин. стальных деталей в зависимости от эффективности внешней среды и отношения $\frac{F}{V}$ [132]

Внешняя среда	Температура внешней среды в $^{\circ}\text{C}$	Отношения $\frac{F}{V}$					
		4		1	0,66	0,5	0,4
Расплавленный свинец	400—850	0,6—0,8	1,2—1,6	3—4	1,1—6,8	7,8—11,0	11—15
Расплавленная соль — 100% NaCl	850 950 1050	— — —	4 3 2	15 11 7	32 22 14	— — —	— — —
Расплавленная соль $\text{NaNO}_3 + \text{KNO}_3$ (1 : 1)	300 450 600	— — —	3,5 2,5 1,4	8 6 4	14 10 7	— — —	— — —
Масло (машинное)	100 200 300	— — —	14 11 8	23 18 14	32 24 19	— — —	— — —
—	—	$\frac{F}{V} = 0,12$ (шар $\varnothing 50 \text{ мм}$)			$\frac{F}{V} = 0,08$ квадратная заготовка $50 \times 50 \text{ мм}; l = 150 \text{ мм}$		
Электрическая печь	300 500 750 900		33 25 20 16			60,0 45,5 26,0 22,0	

ХАРАКТЕРИСТИКА ПРОЦЕССОВ ТЕРМИЧЕСКОЙ ОБРАБОТКИ СТАЛЬНЫХ ДЕТАЛЕЙ И ИНСТРУМЕНТОВ

Характеристика процессов термической обработки стальных деталей и инструментов и установление научно обоснованной терминологии произведены на основе проекта ГОСТ [145]. В определение терминов введено принципиальное изменение, заключающееся в том, что процессы характеризуются по изменению материальной (физической) сущности под воздействием температуры, т. е. по содержанию (а не по форме, выражением которой является то, что процессы термической обработки осуществляются путем нагрева, выдержки и охлаждения).

В определении раскрывается сущность процесса термической обработки (отжига, закалки и т. п.), и указывается — как осуществляется процесс.

Процессы термической обработки разделены на две основные группы:

1. Процессы, обусловливающие превращения, происходящие во всем или

только в части объема стали при нагреве до определенных температур, выдержке при этих температурах и охлаждении с заданной скоростью; сюда относятся процессы: отжиг, нормализация, закалка (в том числе и поверхностная), отпуск, низкотемпературная обработка и старение;

II. Процессы химико-термической обработки, обусловливающие изменения химического состава стали в поверхностных слоях. Сюда относятся цементация (науглероживание), азотирование, цианирование и др.

Применимые на машиностроительных заводах процессы термической обработки с целью их систематизации подразделены по следующим признакам:

- а) по условиям нагрева и выдержки;
- б) по условиям охлаждения;
- в) по условиям воздействия внешних факторов (химическая среда, давление и т. п.);
- г) по условиям изменения структуры или твердости на поверхности и по сечению детали;
- д) по условиям применимости.

*

Процессы, обусловливающие превращения во всем объеме нагреваемой детали (изделия)

Отжиг рекристаллизационный

Отжиг рекристаллизационный (*Отж_р*) процесс термической обработки, обусловливающий исправление искажений кристаллической решетки, полученных при холодном деформировании металла.

Рекристаллизационный отжиг осуществляется путем нагрева стали до температуры на 150—250° выше температуры начала роста зерен ($T_p \approx 0,4T_{pd}$), выдержки при этой температуре и последующего медленного охлаждения. Рекристаллизация вызывает рост деформированных зерен, снятие наклена и внутренних напряжений при коагуляции цементита и образовании зернистого перлита.

Рекристаллизационный отжиг применяется для изделий при холодном их деформировании — при производстве холоднокатанной стальной ленты и деталей глубокой вытяжки — как промежуточный процесс с целью увеличения пластичности стали.

По классификации А. А. Бочвара рекристаллизационный отжиг относится к I-й группе и называется отжигом 1-го рода.

Отжиг

Отжиг (*отж.*) — процесс термической обработки, обусловливающий получение равновесных (устойчивых) структур распада аустенита во время

или выше температуры в интервале превращений, продолжительной выдержки при этой температуре и последующего медленного охлаждения с заданной скоростью (фиг. 3). В процессе отжига происходит изменение дисперсности фаз и изменение формы и размера зерен аустенита; в результате получается равновесная структура феррито-цементитной смеси, снижается твердость и повышаются пластичность и вязкость.

Отжиг применяется для слитков, проката, отливок, поковок из легированной стали, заготовок из инструментальной и быстрорежущей стали, штамповых кубиков с целью снятия внутренних напряжений, улучшения обрабатываемости резанием, устранения структурной неоднородности и подготовки к последующей термической обработке.

По классификации А. А. Бочвара отжиг относится ко 2-й группе и называется отжигом 2-го рода или фазовой перекристаллизацией.

Отжиг подразделяется:

А. По условиям нагрева и выдержки:

отжиг полный — *Отж_п*,
отжиг неполный — *Отж_{н-п}*,

отжиг диффузионный — *Отж_д*.

Б. По условиям охлаждения:

отжиг изотермический — *Отж_{изо}*,

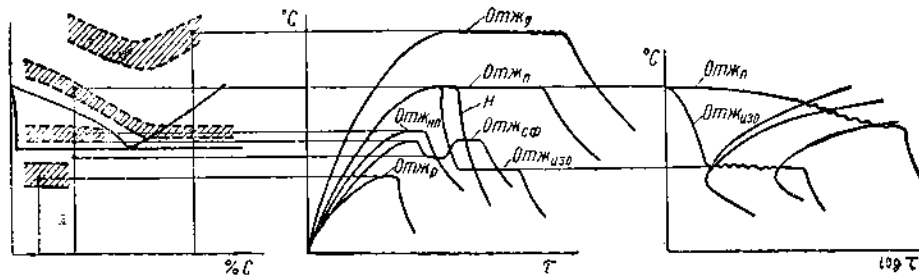
нормализация — *H*.

В. По условиям воздействия внешних факторов:

отжиг светлый — *Отж_{св}* (*H_{св}*).

Г. По условиям изменения структуры:

отжиг сфероидизирующий — *Отж_{сф}*,



Фиг. 3. Схематическое изображение тепловых режимов процесса отжига.

охлаждения с определенных температур нагрева в интервале превращений или выше. Отжиг осуществляется путем нагрева стальных деталей (изделий) до

Отжиг полный (*Отж_п*) осуществляется путем нагрева до температуры на 30—50° выше точки A_{c3} , выдержки при этой температуре и после-

дующего медленного охлаждения с заданной скоростью.

Отжиг неполный (*Отж_{н-п}*) осуществляется путем нагрева до температуры в интервале превращений, кратковременной выдержки при этой температуре и последующего медленного охлаждения. При неполном отжиге происходит только частичное изменение указанных свойств. Неполный отжиг применяется для заэвтектоидной стали или сортового проката и поковок из дозвтектоидной стали с целью снятия внутренних напряжений и улучшения обрабатываемости резанием.

Отжиг диффузионный (*Отж_д*) осуществляется путем нагрева до температуры на 150—250° выше точки A_{c3} , длительной выдержки при этой температуре и последующего охлаждения с заданной скоростью. В процессе диффузионного отжига происходят изменения дисперсности фаз и интенсивный рост зерен аустенита. Диффузионный отжиг применяется для слитков и крупных стальных отливок с целью выравнивания химической неоднородности и уменьшения ликвации.

Отжиг изотермический (*Отж_{изо}*) осуществляется путем нагрева до температуры выше интервала превращений, выдержки при этой температуре и последующего ускоренного охлаждения до температуры интервала наименьшей устойчивости аустенита с выдержкой при этой температуре (одно- или двухступенчатой) и последующего охлаждения на воздухе. По результатам изменения физико-механических свойств изотермический отжиг аналогичен полному отжигу, но продолжительность его резко сокращена.

Нормализация (*H*) является разновидностью полного отжига и отличается от него тем, что охлаждение деталей после выдержки производится на воздухе.

Нормализация применяется для поковок и штамповок из углеродистой и легированной конструкционной стали с малым и средним содержанием углерода, а также для цементируемых деталей.

Отжиг светлый (*Отж_{св}*) (нормализация светлая) осуществляется по любому из указанных выше тепловых режимов, но с применением защитных атмосфер или в печах с частичным вакуумом.

Светлый отжиг применяется для холоднокатанной ленты, прутков, проволоки, для деталей холодной штамповки, а также для деталей перед операциями гальванических покрытий с целью защиты поверхности металла от окисления и обезуглероживания.

Отжиг сфероидизирующий (*Отж_{сф}*) (сфероидизация) осуществляется путем нагрева с периодическим изменением температуры около (выше или ниже) точки A_{c1} (перлитного превращения). При этом получается коагуляция цементита с образованием зернистого перлита при снижении твердости и повышении пластичности и вязкости, а также уничтожается карбидная сетка у заэвтектоидной стали. Сфероидизация применяется главным образом с целью улучшения обрабатываемости стали ($C > 0,65\%$) резанием.

В практике машиностроительных заводов применяется процесс термической обработки, имеющий целью только снятие внутренних напряжений. Этот процесс условно называется отжиг низкий — *Отж_н*. Осуществляется низкий отжиг путем нагрева ниже температуры A_{c1} , выдержки при ней и медленного охлаждения обычно вместе с печью.

Закалка

Закалка (*З*) — процесс термической обработки, обусловливающий получение неравновесных структур превращения или распада аустенита, при резком его переохлаждении со скоростью выше критической. Закалка осуществляется путем нагрева деталей (изделий) до температур в интервале превращений или выше, выдержки при этих температурах и последующего охлаждения со скоростью выше критической (в интервале наименьшей устойчивости аустенита, фиг. 4).

Для большинства деталей (изделий) после закалки обязательно применяется процесс отпуска. Закалка с последующим высоким отпуском называется улучшением. Результатом закалки является получение структур мартенсита и троостита.

Являясь основным процессом термической обработки стальных деталей, инструментов и приспособлений, закалка применяется с целью получения высокой твердости и требуемых физико-механических свойств.

Закалка подразделяется:

А. По условиям нагрева и выдержки:

закалка полная — Z_n ,

закалка неполная — Z_{n-p} .

Б. По условиям охлаждения и изменения структуры:

закалка изотермическая на мартенсит — $Z_{изо-m}$,

закалка изотермическая на троостит — $Z_{изо-t}$,

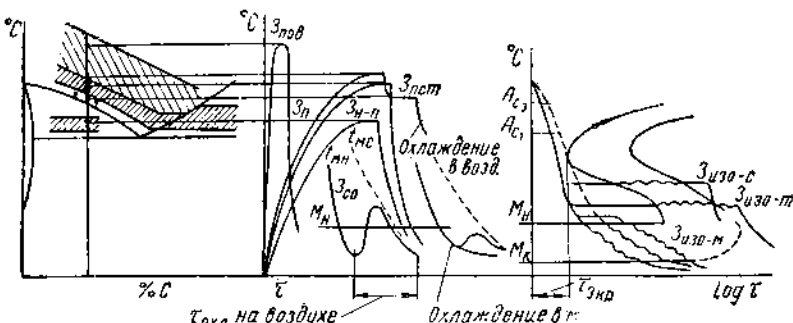
закалка изотермическая на сорбит — $Z_{изо-s}$,

закалка прерывистая — $Z_{пр}$,

закалка с подстуживанием — $Z_{пст}$,

закалка с самоотпуском — $Z_{со}$.

Закалка изотермическая на мартенсит ($Z_{изо-m}$) — осуществляется путем нагрева до температуры в интервале превращений или выше (в зависимости от содержания углерода в стали), выдержки при этой температуре и последующего быстрого охлаждения. Охлаждение производится в среде, обеспечивающей скорость выше критической в интервале наименьшей устойчивости аустенита, с выдержкой в этой среде при температуре на 20—30° выше температуры начала мартенситного превращения (M_K), при продолжительности меньшей, чем соответствующая началу распада аустенита, и последую-



Фиг. 4. Схематическое изображение тепловых режимов процесса закалки.

В. По условиям воздействия внешних факторов:

закалка светлая — $Z_{св}$,

закалка чистая — Z_n ,

закалка под давлением — $Z_{дав}$.

Г. По условиям изменения структуры или твердости на поверхности и по сечению:

закалка местная — дифференциальная — $Z_{н-d}$,

закалка поверхностная — $Z_{пов}$.

Закалка полная (Z_n) — осуществляется путем нагрева до температуры на 20—50° выше интервала превращений — точки Ac_3 (остальное аналогично основному определению процесса).

Закалка неполная (Z_{n-p}) — осуществляется при нагреве до температуры в интервале превращений (выше точки Ac_3); при этом наряду с неустойчивыми структурами остаются без изменения избыточные фазы (феррит для дозвтектоидной и карбиды для заэвтектоидной стали).

Неполная закалка применяется для заэвтектоидных сталей.

щим быстрым охлаждением до нормальной температуры. После закалки обязательно является процесс отпуска.

Изотермическая закалка применяется для инструментов из быстрорежущей и высоколегированной стали, для деталей шарико- и роликовподшипников, шестерен и т. п. с целью получения требуемых механических свойств при минимальной деформации.

Изотермическая закалка — новый прогрессивный процесс термической обработки.

Закалка изотермическая на троостит ($Z_{изо-t}$) — осуществляется путем нагрева до температуры выше интервала превращений, выдержки при этой температуре, последующего быстрого охлаждения в среде, обеспечивающей скорость выше критической (в интервале наименьшей устойчивости аустенита) и выдержки в этой среде при температуре на 20—100° выше температуры начала мартенситного превращения (M_K) при продолжительности, обеспечивающей полный распад аустенита. Результатом процесса является полу-

чение структуры „игольчатого троостита“ при повышенных значениях пластичности и вязкости и одновременно прочности. Отпуск после закалки на троостит является необязательным.

Закалка изотермическая на сорбит ($Z_{изо-с}$) — осуществляется так же, как процесс изотермической закалки на троостит с выдержкой при температуре на $50-100^\circ$ ниже температуры наименьшей устойчивости аустенита при получении требуемой твердости без последующего отпуска.

Результатом процесса является получение структуры сорбита при повышении пластичности и вязкости и одновременно достаточно высокой прочности при минимальной деформации деталей. Продолжительность общего цикла обработки резко сокращается. В применении к термической обработке проволоки этот процесс называется патентированiem, осуществляется путем нагрева до температуры на $20-30^\circ$ выше A_{Cs} , выдержки при этой температуре и охлаждения в расплавленном свинце при $540-560^\circ$ без последующего отпуска.

Закалка прерывистая ($Z_{пр}$) — аналогичная по условиям нагрева полной или неполной закалке при охлаждении в воде с выдержкой в промежутках на воздухе или в масле ($b \rightarrow$ воздух, $a \rightarrow$ масло). Прерывистая закалка применяется для крупных и сложных по конфигурации деталей или инструментов с целью уменьшения внутренних напряжений и деформации при закалке.

Закалка с подстуживанием ($Z_{пст}$) — осуществляется путем нагрева до температуры на $50-100^\circ$ выше точки A_{Cs} , выдержки при этой температуре с последующим замедленным охлаждением (подстуживанием) до температуры, близкой к A_{Cs} , и дальнейшим охлаждением со скоростью выше критической.

Закалка с подстуживанием применяется для деталей из мелкозернистой стали, а также для цементированных деталей при непосредственной закалке из цементационной печи с целью уменьшения в структуре закаленного слоя остаточного аустенита и снижения внутренних напряжений и деформации при закалке. Технологический процесс осуществляется, например, по схеме: цементация при $920-940^\circ$, подстуживание до $780-800^\circ$, непосредственная закалка с последующим низким отпуском.

Закалка с самоотпуском ($Z_{со}$) — процесс, сходный с полной или

неполной закалкой, но при продолжительности охлаждения в закалочной среде, обеспечивающей только частичное охлаждение с поверхности. Дальнейшее охлаждение на воздухе создает условия самоотпуска закаленного слоя детали за счет остаточной внутренней теплоты.

Закалка с самоотпуском применяется преимущественно при местной и дифференциальной закалке деталей несложной конфигурации с целью уменьшения внутренних напряжений и деформаций при закалке, а также с целью снижения трудоемкости термической обработки.

Закалка светлая ($Z_{св}$) — при любой разновидности процесса закалки — осуществляется с применением защитных атмосфер при нагреве и охлаждении в светлокалиющем масле.

Светлая закалка применяется для пружин, шестерен, валов и других деталей, работающих при знакопеременных нагрузках, с целью защиты от окисления и обезуглероживания и получения возможно более высоких значений предела выносливости.

Светлая закалка применяется также во всех других случаях с целью защиты стальных деталей от окисления и обезуглероживания.

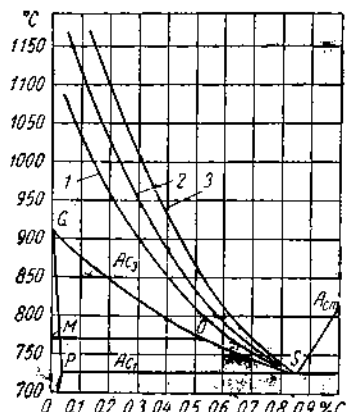
Закалка чистая ($Z_{ч}$) — процесс, аналогичный светлой закалке, но при применении любых закалочных сред, оставляющих обычно на поверхности деталей цвета побежалости или пригар масла.

Закалка под давлением ($Z_{давл}$) — вид закалки, характеризующийся применением более или менее значительного ($100-200 \text{ кг}/\text{м}^2$) всестороннего давления в процессе охлаждения изделий в штампах.

В результате получается изменение скорости фазовых превращений, что улучшает механические свойства стали и повышает режущие свойства инструментов.

Закалка местная (дифференциальная) ($Z_{м-д}$) — любой из указанных выше видов процесса, применяемый только для части детали, — местное повышение твердости, износостойчивости или прочности.

Закалка поверхностная ($Z_{пов}$) — осуществляется путем нагрева деталей со скоростью выше $1000 \text{ град}/\text{мин}$

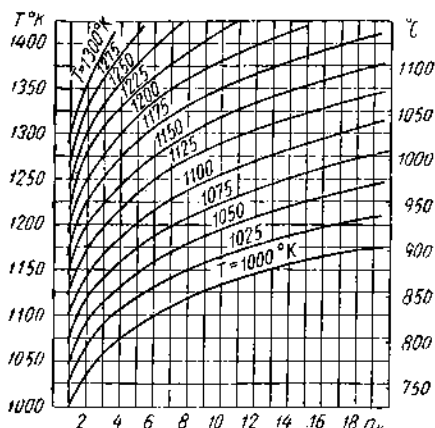


Фиг. 5. Смещение температур полной закалки при изменении скорости нагрева до звтекондной стали. 1—200° C/сек; 2—550° C/сек; 3—700° C/сек. [155].

В качестве источника нагрева применяются электроток и газовое пламя.

Классификация способов нагрева при поверхностной закалке

Источник тепловой энергии	Способ нагрева	Назначение процесса
Электроэнергия	<ol style="list-style-type: none"> 1. Индукционный, токами: <ol style="list-style-type: none"> а) промышленной частоты б) средней частоты в) высокой частоты 2. Контактный способ нагрева 3. В электролите 4. Непосредственный за счет пропускания тока через деталь (напряжение тока в пределах 5—15 в, сила тока в зависимости от размеров деталей). 	<ol style="list-style-type: none"> 1. Для нагрева под закалку деталей из конструкционной стали и инструментов из углеродистой и легированной стали 2. Для нагрева под закалку деталей простой конфигурации — цилиндрических, плит и т. п., а также для отпуска закаленных деталей 3. Для деталей простой конфигурации 4. Для нагрева деталей простой конфигурации — цилиндрических, проволок и т. п., а также для нагрева заготовок под ковку (Горьковский автозавод)
Газообразное топливо	<ol style="list-style-type: none"> 1. Ацетилено-кислородные 2. Газо-кислородным плам 3. Керамическими горелками при микрофакельном сжигании газов 	<ol style="list-style-type: none"> 1—2. Для нагрева под закалку шестерен большого модуля, валов, валков холодной прокатки, плит и т. п. 3. Для нагрева под закалку, а также под нормализацию, отжиг и отпуск



Фиг. 6. Кривые подобия для расчета температур нагрева при различных скоростях нагрева (Г. Ф. Головин [155]).

Кривые на фиг. 61 построены по уравнению подобия

$$T_1^2 - \frac{1}{kT_1} = T^2 e^{-\frac{1}{kT} n_v},$$

где T — температура закалки при известном режиме в $^{\circ}\text{К}$;
 T_1 — температура закалки при искомом режиме;
 n_v — фактор подобия скорости нагрева,
 $n_v = \frac{v_1}{v}$.

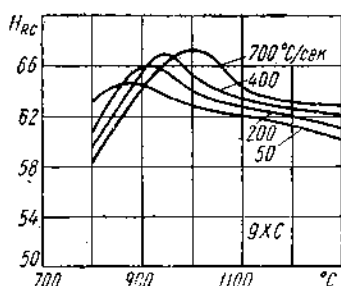
Пример: $v = 200^{\circ}/\text{сек}$, $T = 1073^{\circ}$ (800°C); требуется определить T_1 при $v_1 = 700^{\circ}/\text{сек}$.

$$n_v = \frac{v_1}{v} = \frac{700}{200} = 3,5$$

по графику $T_1 = 1150^{\circ}$ (875°C).

Найденная температура закалки совпадает с температурой по кривой 3 фиг. 5 для стали с содержанием углерода $0,52\%$.

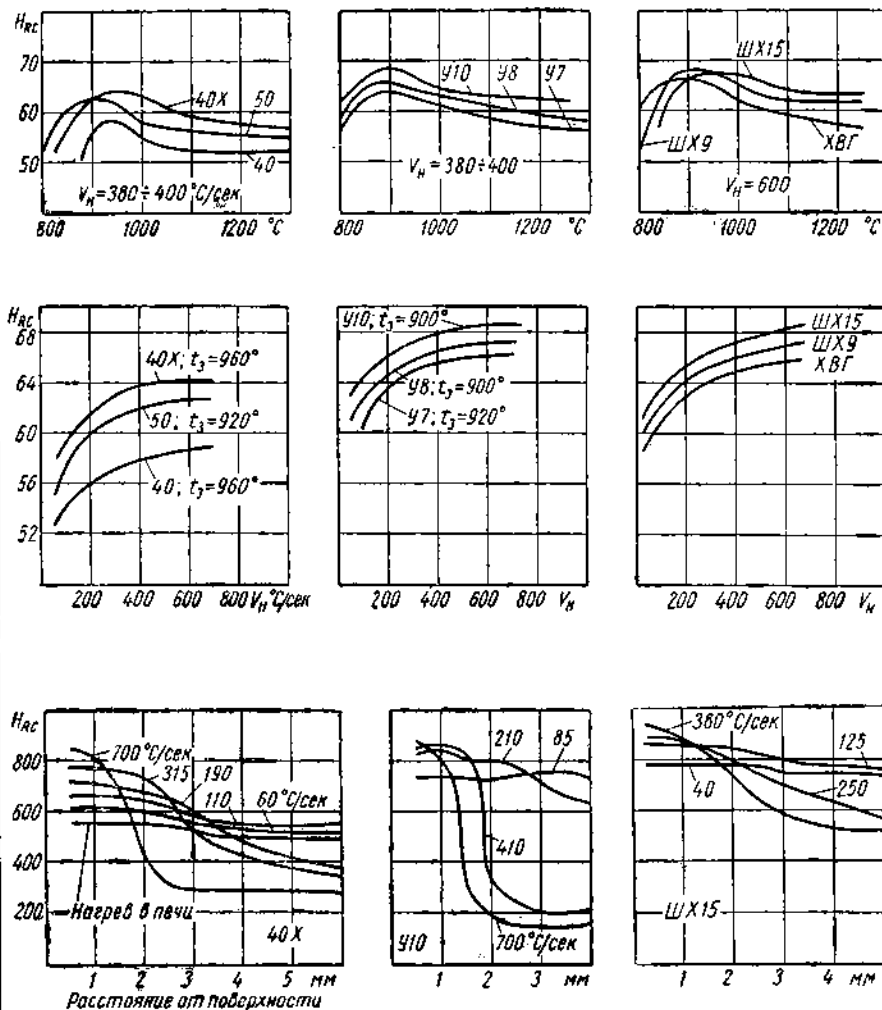
Данный метод подобия действителен только для расчета нагрева токами высокой частоты.



Фиг. 7. Изменение поверхностной твердости стали марок 9ХС и ХВГ в зависимости от температуры закалки при различных скоростях нагрева [59].

Рекомендуемые температуры нагрева т. в. ч. под закалку [59]

Марка стали	Температура нагрева под закалку в $^{\circ}\text{C}$	Скорость нагрева в град/сек	Марка стали	Температура нагрева под закалку в $^{\circ}\text{C}$	Скорость нагрева в град/сек
40.	900—940	380—400	У10	830—960	380—400
45.	840—920	380—400	ШХ15	920—1040	600
50.	860—900	380—400	ШХ9	900—1000	600
40Х	940—990	380—400	ХВГ	840—960	600
У7	880—960	380—400	9ХС	880—1000	600
У8	860—960	380—400			



Фиг. 8. Влияние различных факторов нагрева т. в. ч. на твердость стали. Верхний ряд — зависимость твердости на поверхности от температуры нагрева; средний ряд — зависимость твердости на поверхности от скорости нагрева v_n в град/сек; нижний ряд — изменение твердости по сечению при различных скоростях нагрева [59].

Основные закономерности режима поверхностной закалки при электронагреве т. в. ч. [79]

Параметр	Уравнение (формула)	Обозначение и размерность
Глубина проникновения тока в металл в мм	$p_{20^\circ} = 5,03 \cdot 10^4 \sqrt{\frac{\rho}{\rho_f}}$	ρ — магнитная проницаемость $\frac{ам\cdotсек}{см}$;
То же для электродной стали при 20° и 1000°	$p_{20^\circ} \approx \frac{21}{Vf}$ $p_{1000^\circ} \approx \frac{600}{Vf}$	ρ — удельное электросопротивление; $\rho = \frac{RS}{l}$.
То же для красной меди при 20° и 1000°	$p_{20^\circ} \approx \frac{230}{Vf}$ $p_{1000^\circ} \approx \frac{230}{Vf}$	если R — в омах, S — в $мм^2$ и l — в м.
Частота тока в гц для деталей сложной конфигурации	$f \approx \frac{5 \cdot 10^6}{\delta^2}$	ρ $\left[\frac{ом \cdot мм^2}{м} \right]$,
То же для деталей простой конфигурации	$f \approx \frac{5 \cdot 10^4}{\delta^2}$	если R — в микромах (10^{-6} ом), S — в $см^2$, l — в $см$;
То же для шестерен с модулем M при равномерном нагреве	$f \approx \frac{2 \cdot 10^3}{M^2}$	ρ $\left[\frac{мк ом \cdot см^2}{см} \right]$ или $мк ом \cdot см$
Удельная мощность при нагреве в $вт/см^2$ (фиг. 9)	$\Delta P = 2 \cdot 10^{-4} I^2 \sqrt{\rho \mu}$	$100 \frac{ом \cdot мм^2}{м} = \frac{мк ом \cdot см^2}{см}$
То же для углеродистой стали при $t > 768^\circ$	$\Delta P = 2 \cdot 10^{-6} I^2 \sqrt{\rho}$	$\rho_t = \rho_0 (1 + \alpha_t t) = \rho_0 + \rho_0 \alpha_t t$
То же при нагреве стали от 20 до 300° (нагрев по теплосмкости) (фиг. 10, а)	$\Delta P \approx \frac{5000 \delta}{\tau}$ $(\rho \gg \delta; K_{ut} \approx 1,5 \div 2,0)$	$\alpha_t = \frac{\rho_t - \rho_0}{\rho_0 t} = \frac{1}{\rho} \cdot \frac{d\rho}{dt}$
То же (нагрев по теплопроводности) (фиг. 10, б)	$\Delta P = \frac{\lambda \Delta T}{\delta} \approx \frac{(\lambda \Delta T)}{\delta}$ $(\rho < \delta; \lambda \approx 0,8)$ $K_{ut} \approx 1 + \frac{l}{2\pi T} = 2,5 \div 5,5$	Для дюэлектрической стали отожженной: $\rho_{20^\circ} = 10,5 + 3,0C + 3,0C^2$ $мк ом \cdot см$; закаленной с 850° $\rho_{20^\circ} = 10,3 + 1,6C + 28,6C^2$ $мк ом \cdot см$; для многих марок стали при нагреве до 900° $\rho = 120 \div 180$ $мк ом \cdot см$;
Общая затрата энергии в кватсек	$Q = qS$ при $\delta \approx 3$ $мм$ $q = 5,0$; $= \frac{Q}{\tau} = SAP$	δ — глубина закаленного слоя в $мм$.

$\sqrt{\rho \mu}$ — коэффициент поглощения мощности;

q — удельный расход электроэнергии в $кват \cdot сек/см^2$;

S — поверхность нагрева в $см^2$;

τ — продолжительность нагрева в сек.

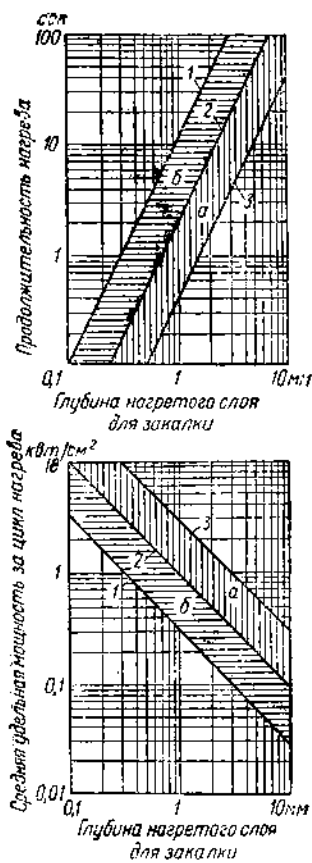
ΔT — перепад температуры в слое в $^\circ\text{C}$;

λ — коэффициент теплопроводности стали в $\frac{ват}{см \cdot град}$

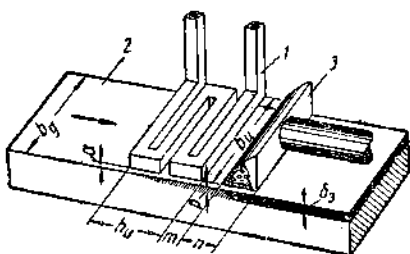
K_{ut} — коэффициент избыточного тепла;

$K_{ut} = \frac{\text{тепло общее}}{\text{тепло закаленного слоя}}$

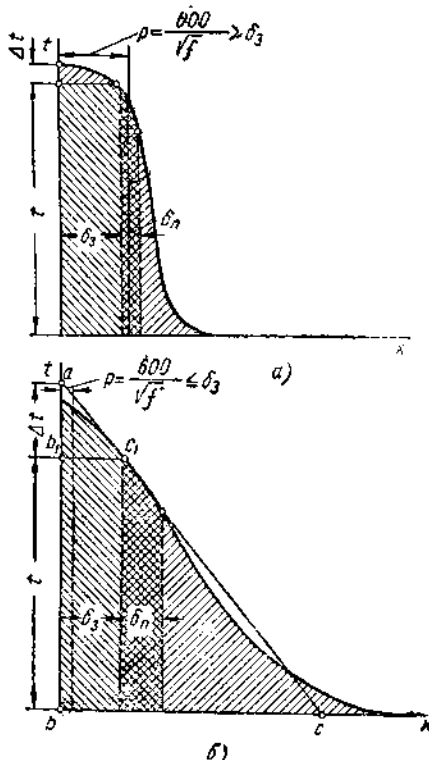
$\frac{1}{K_{ut}}$ — коэффициент полезного использования тепла



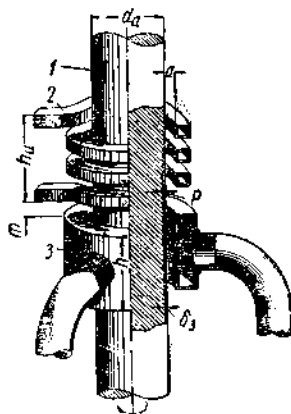
Фиг. 9. Режим индукционного нагрева углеродистой конструкционной стали: а — зона радиоиздийных режимов нагрева; б — зона режимов нагрева, дающая большую ширину переходной зоны закалки ($\delta_{\text{пер}} > \delta_{\text{зак}}$ [79]).



Фиг. 11. Взаимное расположение индуктора 1, плиты 2 и водяного душа 3 в процессе непрерывно-последовательной закалки.



Фиг. 10. Характер изменения температуры при индукционном нагреве.



Фиг. 12. Взаимное расположение цилиндрического гладкого вала 1, индуктора 2 и водяного душа 3 в процессе непрерывно-последовательной закалки.

**Характеристика способов поверхностной закалки
при электронагреве т. в. ч. [79]**

Способ закалки	Основные размеры в мм	Необходимая мощность генератора в квт	Продолжительность нагрева τ в сек. или скорость перемещения v в м/сек
Одновременный нагрев и закалка всей поверхности и последовательная обработка отдельных участков	Расстояние от индуктора до поверхности нагреваемой детали $a = 2+5$	$P_I = SAP$ ΔP в кват/см ²	1. Для устранения эксцентрикитета вращение 5–10 оборотов за цикл нагрева. При $h_u > 2d_a$ влияние эксцентрикитета снижается 2. Для шестерен $< 0,25$ м ² (при модуле $M > 4$)
Непрерывно-последовательная обработка (метод „перемещения“) (Фиг. 11 и 12)	$a = 2+5$. Расстояние дуги от индуктора $m \approx 5$, высота дуги $h \geq 10$. При нагреве по теплопроводности при $\delta \geq p$ $h_u > (15+25)\delta$. При нагреве по теплоемкости при $\delta < p$ $h_u = (5+10)\delta$. $b_u = b_d - 2a$; L – длина нагрева	$P_I = \pi d_a \Delta P h_u$ (d_a в см) для $\delta \ll 5$ мм при $\delta \geq p$ и при $\Delta p \approx \frac{2}{\delta}$ кват/см ² (δ в мм) $P_I = 10d_a$	При $\delta = 1+5$ $v_{min} = \frac{5}{\delta}$; $v = 2+20$; $\tau = \frac{h_u}{v}$ Скорость нагрева до точки Кюри: $v'_K = \frac{t' L}{\tau'_K h_u}$ То же выше точки Кюри: $v''_K = \frac{(t'' - t') L}{[\tau''_K - \tau'_K] h_u}$

Зависимость продолжительности нагрева и удельной мощности от требуемой глубины закаленного слоя и частоты тока приведена на фиг. 13.

Резкое повышение скорости процесса, снижение трудоемкости и снижение себестоимости термической обработки, а также возможность установки оборудования в потоке механической обработки делают процесс поверхностной закалки наиболее прогрессивным в условиях социалистических методов организации труда.

Электронагрев токами высокой частоты является важнейшим этапом технического прогресса термической обработки металлов.

Этим прогрессом мировая наука и техника обязана открытию в 1895 г. нашим гениальным соотечественником А. С. Поповым передачи на расстояние импульсов электромагнитных волн.

Впервые токи высокой частоты для закалки были применены в 1926 г. в лаборатории проф. В. П. Вологдиной.

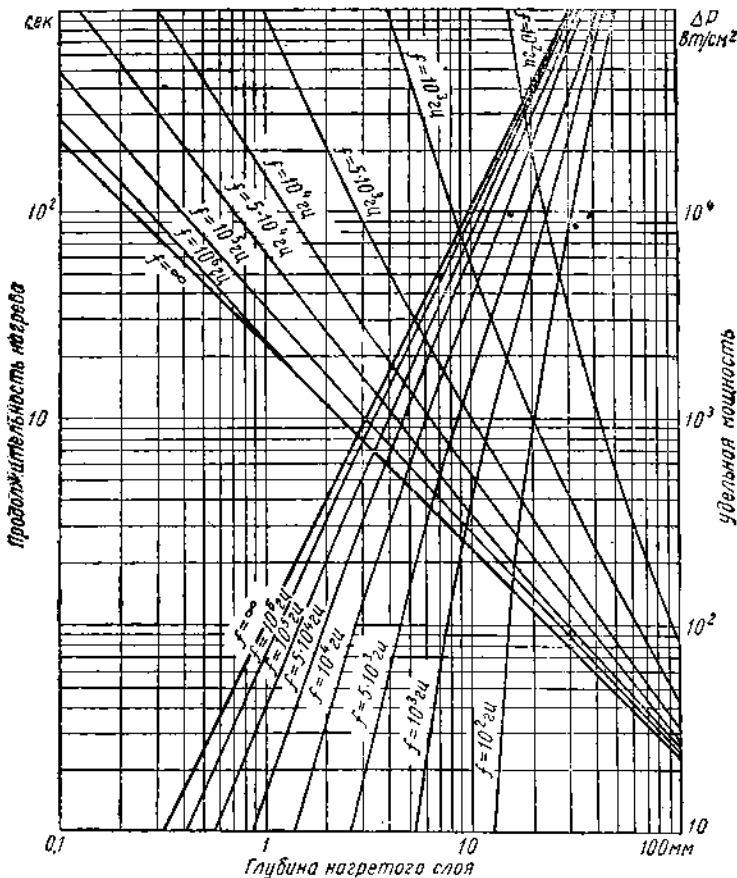
В 1935 г. В. П. Вологдиным и Б. Н. Романовым были осуществлены работы по индукционному нагреву металлов токами высокой частоты для поверхностной закалки.

В 1936 г. в лаборатории ленинградского завода „Светлана“ были начаты работы по изучению способов индукционного нагрева металлов и проектирование промышленных агрегатов с ламповыми генераторами.

Партия и правительство приняли ряд решений по широкому внедрению в промышленность электронагрева.

В настоящее время процесс поверхностной закалки т. в. ч. распространен в больших масштабах на ряде машиностроительных заводов страны.

Лаборатории заводов и институтов, а также специальный Институт электронагрева, проводят работы по дальнейшему расширению области применения электронагрева т. в. ч. в промышленности.



Фиг. 13. График для ориентировочного определения режимов индукционного нагрева под закалку эвтектоидной стали [79].

В 1931 г. проф. Н. В. Гевелинг разработал способ поверхностной закалки стальных деталей с нагревом за счет тепла, выделяемого при контактом электронагреве переменным током промышленной частоты (50 Гц) напряжением $U = 2 \div 8$ в.

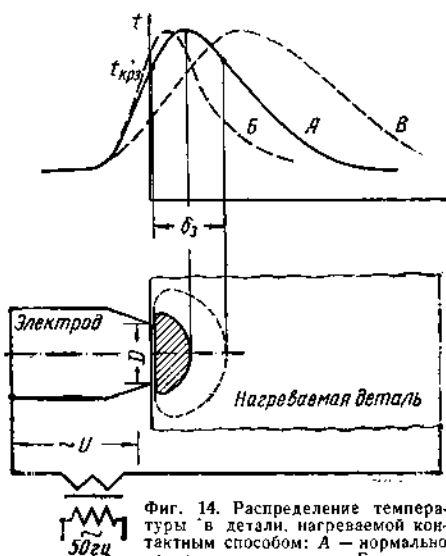
Схема распределения температуры в нагреваемой детали приведена на фиг. 14.

В качестве электродов обычно применяются медные ролики, катящиеся по поверхности детали (фиг. 15).

Контактный способ нагрева применяется также и для отпуска мест, подлежащих механической обработке (например, сверлению) после поверхностной закалки.

Соотношение между глубиной закаленного слоя, шириной калиящего ролика и силой тока
(Ю. М. Богатырев)

Глубина закаленного слоя δ в мм	Ширина калиящего ролика l в мм	Сила тока во вторичной цепи трансформатора в а
1,5-2,5	8-10	6 000-7 000
3,0-4,5	12-15	9 000-14 000
>5,0	>18	20 000-25 000

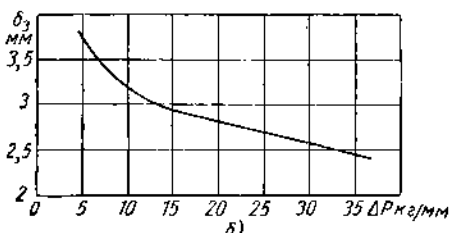
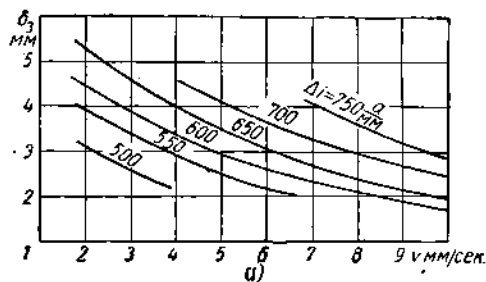


Фиг. 14. Распределение температуры в детали, нагреваемой контактным способом: А — нормально подведенная мощность; Б — увеличенная мощность и сокращенная продолжительность нагрева; В — недостаточная мощность.

Продолжительность нагрева в сек.

$$\tau = \frac{S}{\Delta I v},$$

где S — поверхность детали, подвергаемая закалке, в см^2 ; ΔI — перемеще-



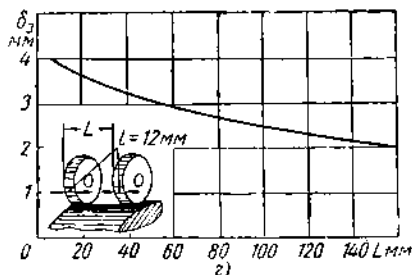
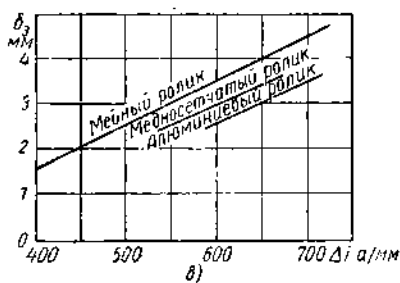
Фиг. 15. Зависимость глубины закаленного слоя от различных факторов: а — от скорости вращения v калящего ролика при различных значениях удельной плотности тока; б — от удельного давления AP на ширину ролика; в — от материала калящего ролика; г — от расстояния между роликами (по Ю. М. Богатыреву).

ние калящего ролика за один оборот в см ; при ширине калящего ролика $L \text{ см}$ рекомендуется брать $\Delta I = (0,6 \div 0,65) L$; v — скорость вращения детали в $\text{см}/\text{сек}$.

Новым прогрессивным методом нагрева стальных деталей, применяемым, в частности, для их закалки, является электронагрев в электролите, разработанный инж. И. З. Ясионгородским [179].

Электронагрев в электролите осуществляется при пропускании электрического тока через электролит; при этом электроток вызывает на одном из электродов — катоде — выделение водорода, который служит электросопротивлением, что производит интенсивный нагрев электрода — стальной детали. При отключении тока после нагрева происходит закалка деталей в том же электролите.

Нагрев при определенной интенсивности тока происходит в две фазы: в первой в продолжение тысячной доли секунды происходит местное появление искровых разрядов и разобщение электролита и электрода, создаваемое выделяющимися пузырьками водорода; во второй — газовый слой, окружающий электрод, приобретает особую устойчи-



вость, в результате чего нагрев катода проходит ровно и устойчиво. Устойчивое состояние газового слоя на катоде тем больше, чем меньше длительность первой фазы; это достигается путем применения таких электролитов, в которых при данном напряжении и данной силе тока выделяется больше водорода.

Наибольший эффект нагрева катода (стальной детали) получается в результате применения водных растворов — Na_2CO_3 , Na_2SO_4 , $\text{Ca}(\text{NO}_3)_2$, NaOH , KOH , MgCl_2 , BaCl_2 .

Ввиду того, что электросопротивление электролитов уменьшается с повышением температуры, рекомендуется проведение процесса при определенной постоянной температуре в пределах 20—60°.

Наиболее рациональным является применение постоянного тока напряжением более 120 в (чаще применяется 250 в), сила тока при этом может быть в пределах 2—20 а, плотность тока 3,0—7,0 $\text{a}/\text{см}^2$. Для возникновения эффекта нагрева катода величины плотности тока на обоих электродах — катоде и аноде —

могут быть весьма близкими, при несколько большей плотности на катоде.

Регулирование скорости нагрева осуществляется изменением: а) состава и концентрации электролита, б) напряжения и плотности тока и в) скорости вращения или передвижения нагреваемых деталей.

Пример режима закалки образцов из стали марки 40 диаметром 10 мм приведен в таблице. В результате применения указанного режима получается закаленный слой, структура которого состоит из мартенсита.

Электронагрев в электролите осуществляется следующими методами:

а) Концевой нагрев — нагрев свободного конца и нагрев при изолированном торце. Нагреваемая деталь, являющаяся катодом, погружается в электролит на определенную глубину, в первом случае свободно, во втором — при изоляции торца обычно шамотной подставкой; в первом случае применяется плотность тока, равная 4,0—6,5 $\text{a}/\text{см}^2$, во втором — 3,0—4,0 $\text{a}/\text{см}^2$ (при напряжении 200—220 в для элек-

Свойства электролитов, применяемых при электронагреве [179]

Соли электролита	Появление искровых разрядов (1-я фаза)			Появление эффектов нагрева катода (2-я фаза)		
	Концен- трация электро- лита в %	Сила тока при на- пряжен- ии 220 в в а	Электро- провод- ность элек- тролита при 18°	Концен- трация электро- лита в %	Сила тока при на- пряжен- ии 220 в в а	Электро- провод- ность при 18°
MgCl_2	1,5	3—4	120	22	6—7	1300
Na_2CO_3	1	3—4	130	4	6—8	400
$\text{Ca}(\text{NO}_3)_2$	1	2	90—100	8	6	550
BaCl_2	1	—	90	3	—	150
Na_2SO_4	1	—	80	10	—	687

Режим нагрева под закалку в электролите образца из стали 40 диаметром 10 мм [179]

Концен- трация раствора Na_2CO_3 в %	Глубина погруже- ния катода в мм	Напряже- ние в в	Сила тока в а	Плотность тока в $\text{a}/\text{см}^2$	Продолжи- тельность нагрева в сек.	Глубина закален- ного слоя в мм
5	2	220	6	4,55	8	3,3
10	2	220	8	6,05	4	3,0
10	2	180	6	4,55	8	3,6
5	3	220	8	4,60	5	3,6
10	3	220	10	5,8	4	3,6
5	5	220	12	5,1	5	7,0
10	5	220	14	6,0	4	6,2
10	5	180	12	5,1	7	6,0

тролита 5–10%-ный раствор Na_2CO_3 .

б) Местный поверхностный нагрев — погружением в электролит, в струе электролита, контактированием с простым изолятором.

в) Последовательный нагрев и нагрев при неподвижном экранированном катоде.

Нагрев под закалку газово (ацетилено)-кислородным пламенем — «пламенная закалка» — нашел применение в промышленности ранее других способов. Более совершенные методы нагрева, например, электронагрев т. в. ч., вытеснили в отечественном машиностроении нагрев газовым пламенем, так как последний не обеспечивает требуемую на поверхности температуру закалки. Замена ацетилена светильным газом и разработка в последние годы нового способа сжигания газов — микрофакельного сжигания в керамических горелках — создают условия успешной конкуренции «пламенной закалки» с электронагревом во многих случаях практики.

В практике применяются следующие способы поверхностной закалки при нагреве газовым пламенем:

1) одновременный нагрев и закалка сразу всей подлежащей обработке поверхности; способы стационарный и

вращательный; последний применяется при нагреве цилиндрических деталей (10–20 оборотов за цикл нагрева, 75–150 об/мин); 2) непрерывно-поступательный нагрев и закалка при перемещении — поступательный способ; 3) комбинированный способ.

Характеристика газовых горелок, применяемых для поверхностной закалки

1. Горелки инжекторные низкого давления (давление газа 0,05–0,1 ат, кислорода 3,0–3,5 ат).

2. Горелки безинжекторные высокого давления (давление газа 0,5–1,5 ат, кислорода 1,0–3,0 ат). К ним относятся:

А. Горелки многопламенные: а) плоские, б) кольцевые, в) плоские многорядные, применяемые при закалке методом перемещения, горелки и водяной луш в одном корпусе.

Диаметр сопла $d_c = 0,6 \div 1,0$ мм; расстояние между соплами $\sim 5,0$ мм.

Диаметр (внутренний) горелки в мм: $D_{2,4k} = D_d + [2,5d_c + (2 \div 6)]$; D_d — диаметр нагреваемой детали в мм.

Б. Горелки щелевые (широкофакельные). Длина щели $L \leq 800$ мм; ширина 0,15–0,25 мм.

Выбор и расчет технологических параметров пламенной закалки (непрерывно-поступательный способ) [25]

Параметр	Формула для определения параметра *	Обозначение и размерность величин, входящих в формулу
Скорость истечения w_0 м/сек	$w_0 = \left(\frac{n}{A_0 \delta} \right)^{1,49}$ $w'_0 = \left(342 \frac{n}{\delta} \right)^{1,49}$ $w_0 = \left(\frac{m}{A_0} \sqrt{\frac{v}{B_0}} \right)^{1,49} = 118(mv)^{1,49}$	$n = f \left(\frac{\delta}{x} \right)$; $m = \varphi \left(\frac{\delta}{x} \right)$; δ — глубина закаленного слоя; x — размер сечения детали

Продолжение

Параметр	Формула для определения параметра *	Обозначение и размерность величин, входящих в формулу
Скорость движения горелки v мм/сек	$v = \frac{A_0^2 B_0 w_0^{1.34}}{m^2} ; v' = \frac{w_0^{1.34}}{600 \text{ м}^2}$	
Глубина закаленного слоя δ мм	$\delta = \frac{n}{m} \sqrt{\frac{B_0}{v}} = \frac{n}{m} \sqrt{\frac{194}{v}} ;$ $\delta = \frac{n}{A_0 w_0^{0.67}} ;$	Для глубины закаленного слоя $\delta = -1,3 + 3,0$ мм; $w_0 \approx 50 + 175$ м/сек; A_0 — коэффициент скорости истечения; B_0 — коэффициент скорости движения горелки; для ацетилено-кислородного пламени $A_0 = 0,00203$, $B_0 = 194$
Число открытых рабочих отверстий горелки	$K_1 = 0,4 \frac{aL}{d}$ $K'_1 = L$	a — число рядов отверстий; L — ширина зоны горелки в мм
Шаг отверстий l в мм	$l = 2,5 d_c$	d_c — диаметр отверстий в мм;
Расход кислорода V_K л/час	$V_K = \frac{2.83 K_1}{1 + \frac{1}{c}} d_c^n w_0$ $V'_K = 1.09 K_1 w_0$	c — отношение расхода кислорода к расходу ацетилена; $c = 1.5$
Расход горючего газа V_z л/час	$V_z = \frac{1}{c} V_K$ $V'_z = \frac{V_K}{1.5}$	
Контрольное давление кислорода ΔP_K кг/см ²	$\Delta P_K = \frac{V_K}{670 F_1} - 1 \pm 0.08$	F_1 — приведенное сечение инжектора в мм^2 , определяемое тарированием: $F_1 = 7,14 \frac{V_B}{\tau V H}$
То же ацетилена из баллона ΔP_z кг/см ²	$\Delta P_z = \frac{V_z}{710 F_1} - 1 \pm 0.15$	V_B — объем воды, вытекающей из инжектора с неизменной высоты l время τ сек.
То же из генератора ΔP_z^2 мм рт. ст.	$\Delta P_z^2 = 0,59 \Delta P_0 - 0,41 \Delta P_\infty \pm 1$	ΔP_0 и ΔP_∞ — показания контрольного манометра при нейтральном пламени и закрытом ацетилене

* Знак „штрих“ относится к ацетилено-кислородному пламени.

Расход газа и продолжительность нагрева при пламенной закалке
 (соотношение расходов кислорода и ацетилена $c = 1,5$, глубина закалки
 $\delta = 1,3 \div 3,0 \text{ мм}$) [35]

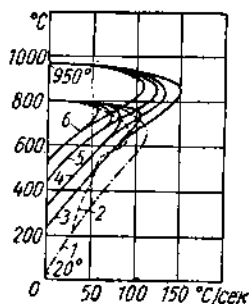
Параметр	Газ	Метод обработки	
		Одновременный нагрев и закалка	Непрерывно-последовательный нагрев и закалка
Расход газа в л/час	Ацетилен	$V_z = 360 \frac{S}{\sqrt{\delta}}$	$V_z = 1900 \frac{L}{\sqrt{\delta^3}}$
	Кислород	$V_K = 540 \frac{S}{\sqrt{\delta^3}}$	$V_K = 2900 \frac{L}{\sqrt{\delta^3}}$
Удельный расход газа в л/см ³	Ацетилен	$\Delta V_z = 0,7 \sqrt{\delta}$	$\Delta V_z = 0,45 \sqrt{\delta}$
	Кислород	$\Delta V_K = 1,05 \sqrt{\delta}$	$\Delta V_K = 0,7 \sqrt{\delta}$
Продолжительность нагрева в сек.	—	$\tau = 78^2$	
Скорость перемещения горелок относительно детали или детали относительно горелок в мм/сек	—	—	$v = \frac{12}{\delta^2}$

S — нагреваемая поверхность в см²; L — ширина зоны нагрева в см.
 Ацетилен — С₂H₂ — образуется при воздействии воды на карбид кальция:
 $\text{CaC}_2 + 2\text{H}_2\text{O} \rightarrow \text{Ca}(\text{OH})_2 + \text{C}_2\text{H}_2$.
 Из 1 кг карбида кальция получается 0,25—0,30 м³ ацетилена. Теплотворность ацетилена
 $Q_K = 13\,000 \text{ ккал/м}^3$.

Закалочные среды

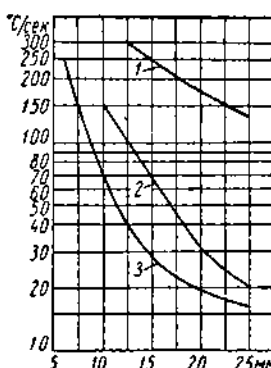
Закалочная среда должна обеспечивать энергичное охлаждение стальных деталей в интервале наименьшей устойчивости аустенита и создавать

практически наиболее часто применяются следующие закалочные среды: вода при температуре 15—25°;



Фиг. 16. Сравнительная охлаждающая способность масел и расплавленной соли (охлаждение стального шарика диаметром 12 мм): 1 — растительное масло; 2 — минеральное масло; 3 — расплавленная соль при температуре 250°С; 4 — то же при 350°; 5 — то же при 450°; 6 — то же при 550°.

минимальную скорость охлаждения в зоне мартенситного превращения ниже температуры 300° (фиг. 16).



Фиг. 17. Средняя скорость охлаждения (до полного охлаждения) с 700° стали марки 60 в зависимости от диаметра образца для охлаждающих сред:
 1 — вода при 8° (циркулирующая); 2 — селитра при 175° (перемешиваемая $\tau_{ox,1} = 30 \text{ сек.}$); 3 — масло при 55° (циркулирующее).

8—10% -ный водный раствор каустической соды (NaOH) и 10% -ный водный раствор поваренной соли (NaCl) при температуре 15—25°; масла (веретенное З и машинное Л) при температуре 20—60° закаливающая способность масла не уменьшается вплоть до 120°.

При изотермической закалке в качестве закалочных сред применяют расплавленные соли.

Сравнительная охлаждающая способность различных закалочных сред приведена ниже и на фиг. 16.

В качестве закалочных сред применяются также коллоидные растворы, например: 1) жидкое стекло с модулем 2,5—3,0 и удельным весом 1,12—1,2; 2) вода + (0,25—1,25%) пленки альгината натрия; 3) вода + (10—25%) ацетата кальция.

Скорость охлаждения стали в различных закаливающих средах

Закаливающая среда	Скорость охлаждения в °C/сек в интервале температур		Закаливающая среда	Скорость охлаждения в °C/сек в интервале температур	
	650—550°	300—200°		650—550°	300—200°
Вода при 18°	600	270	Вода дистиллированная	250	200
“ 28°	500	270	Эмульсия маска в воде	70	200
“ 50°	100	270	Мыльная вода	30	200
“ 74°	30	200	Минеральное машинное масло	150	30
10% -ный водный раствор едкого натра при 18°	1200	300	Трансформаторное масло	120	25
10% -ный водный раствор поваренной соли при 18°	1100	300	Сплав 75% Sn, 20% Cd (~175°)	450	50
10% -ный водный раствор соды при 18°	800	270	Медные плиты	60	30
10% -ный водный раствор серной кислоты при 18°	750	300	Железные плиты	35	15

Сравнительная охлаждающая способность закалочных сред

Закалочная среда	Относительная охлаждающая способность при температуре			
	20°	60°	99°	
Вода	Спокойная Проточная	1,0 1,01	0,44 0,46	0,07 0,08
Водный раствор NaCl	Спокойный 50% Проточный 10% Проточный	1,12 1,14 1,23	0,62 0,72 —	— — 0,14
Водный раствор NaOH	Спокойный 50% Проточный 10% Проточный	1,17 1,20 1,20	0,78 0,90 —	— — 0,20
Масло	Трансформаторное Минеральное (машинное, олеонафт и др.) Мазут Растительное (хопковое, льняное и др.)	0,17 0,21—0,44 0,36 0,15—0,30	Повышается То же	—
Расплавленные соли	С циркуляцией	При 200° 0,25—0,30	При 200° 0,17—0,20	—
Свинец	Спокойный	При 335° 0,05	—	—
Воздух	Спокойный	0,03	—	—

Характеристика закалочных масел

Параметры физико-химических свойств	Автол 4-6	Веретенное (ГОСТ 1837-42)		Машинное (ГОСТ 1707-42)		
		2	3	Л	С	СУ
Удельный вес в кг/дм ³	0,911	0,876—0,891	0,881—0,901	0,886—0,916	0,886—0,926	—
Вязкость при 50°:						
а) кинематическая в м/сек	25,0—29,0	11,8—14,0	19,0—23,0	29—33	41—53	45—57
б) соответствующая ей условная в °E	3,5—4,0	2,0—2,2	2,8—3,2	4,0—4,5	5,5—7,0	6,0—7,5
Температура вспышки по Бренекену в °C не ниже	180	165	170	180	190	200
Температура застывания в °C не выше	—30	—30	—20	—15	—10	—20
Кислотное число в жг						
КОН на 1 г масла не более	0,15	0,14	0,14	0,20	0,35	0,15
Содержание золы в % не более	0,01	0,007	0,007	0,007	0,007	0,005
Содержание механических примесей в % не более						
Содержание водорасторимых кислот и щелочен		Отсутствие		0,007	0,007	0,007
				Отсутствие		

Закалочные среды для изотермической закалки

Состав	Температура плавления в °C	Температура применения в °C
55% KNO ₃ + 45% NaNO ₃ *	137	150—500
55% NaNO ₃ + 45% NaNO ₂	221	230—550
55% KNO ₃ + 45% NaNO ₂	218	230—550
NaNO ₃	317	325—600
KNO ₃	337	350—600
NaNO ₂	—	—
100% KOH (или NaOH) **	360 (322)	330—450

* См. примечание к таблице на стр. 136.

** Процесс светлой изотермической закалки в расплавленной щелочи KOH или NaOH разработан тт. Волковым и Садовским.

Продолжительность и скорость охлаждения в масле образца Ø 22,2 мм стали 20 с 845° [133]

Вид закалки	Температура закалочного масла в °C	Продолжительность охлаждения τ в сек. и средняя скорость охлаждения v _{oxl} в град/сек. до температуры t в °C							
		700		540		370		200	
		τ	v _{oxl}	τ	v _{oxl}	τ	v _{oxl}	τ	v _{oxl}
Обычная	30	9,1	15,9	14,6	20,9	22,5	21,0	37,5	17,2
	40	9,0	16,1	13,2	23,2	20,2	23,5	36,3	17,8
	60	8,5	17,0	13,5	22,6	21,2	22,4	38,5	16,8
	120	7,3	19,9	13,5	22,6	24,5	19,3	53,8	12,0
	150	6,0	24,2	12,5	24,4	26,0	18,3	64,0	10,1
	180	6,3	23,0	13,0	23,5	26,0	18,3	84,0	7,7
	200	6,3	23,0	13,3	23,0	24,8	19,1	—	—
	230	6,3	23,0	13,0	23,5	28,7	16,5	—	—

Среды для нагрева под закалку. Состав солей и сплавов, применяемых в соляных печах-ваннах

Наименование	Химическая формула и процент основного вещества	ГОСТ или ТУ
Селитра калиевая 3-й сорт.	KNO ₃ — 98,0	1949-43
Селитра натриевая сорт Б.	NaNO ₃ — 98,0	328-41
Нитрит натрия 2-й сорт	NaNO ₂ — 95,0	18880-39
Кальций хлористый технический (плавленный) 1-й сорт	CaCl ₂ — 67,0	450-41
То же 2-й сорт.	CaCl ₂ — 67,0	450-41
То же обезвоженный 2-й сорт	CaCl ₂ — 83,0	ТУ МХП 1129-44
Калий хлористый 2-й сорт	KCl — 95,0	4568-49
3-й	KCl — 88,0	
Калий едкое, техническое твердое, сорт А	KOH — 92,0	ОСТ НКТП 3901
Б	KOH — 88,0	
Сода кальцинированная	Na ₂ CO ₃ — 98,0	5100-49
природная 1-й сорт	Na ₂ CO ₃ — 80,0 Na ₂ CO ₃ — 72,0	ТУ МХП 1240-45
Барий хлористый технический, сорт А	BaCl ₂ ·2H ₂ O — 95,0	742-41
Б . .	BaCl ₂ ·2H ₂ O — 94,0	
Бура техническая 1-й сорт	Na ₂ B ₄ O ₇ — 50,2	ОСТ 10111-39
2-й	Na ₂ B ₄ O ₇ — 49,2	
Калий железистосинеродистый технический 1-й сорт	K ₂ Fe(CN) ₆ ·3H ₂ O — 96,0 K ₂ Fe(CN) ₆ ·3H ₂ O — 93,0	ОСТ 10921-40
Натрий железистосинеродистый технический 1-й сорт.	Na ₄ Fe(CN) ₆ ·10H ₂ O — 97,0	
То же 2-й сорт.	Na ₄ Fe(CN) ₆ ·10H ₂ O — 95,0	ОСТ 10177-39
3-й	Na ₄ Fe(CN) ₆ ·10H ₂ O — 90,0	
Сода каустическая твердая, сорт А	NaOH — 95,0	2263-43
Б	NaOH — 92,0	
Цианиамид кальция технический 1-й сорт	Ca(CN) ₂ — 18,0	В-1780-42
2-й	Ca(CN) ₂ — 15,0	
Цианиплав (черный цианид) рядовой 1-й сорт	NaCN — 47,0	452-41
То же 2-й сорт.	NaCN — 42,0	
молотый 1-й сорт . .	NaCN — 47,0	
2-й	NaCN — 42,0	

Характеристика смесей солей, применяемых для соляных печей — ванн

Состав смеси	Содержание в весовых процентах	Температура плавления в °C	Удельный вес при температуре в °C		Температура применения в °C
			Температура	Удельный вес	
NaCl * KCl	44 56	660	{ 25 870	2,08 1,88	720—900
NaCl* BaCl ₂	22,5 77,5	635	—	—	665—870
NaCl BaCl ₂	55 45	540	25	2,3	570—900
NaCl * CaCl ₂	27,5 72,5	500		—	550—800
BaCl ₂ CaCl ₂	50 50	595		—	630—850
NaCl Na ₂ CO ₃	35 65	620		—	650—900
NaCl Na ₂ CO ₃	50 50	560	25	2,3	590—900
NaCl * K ₂ CO ₃	50 50	560	—	—	590—820
KCl * Na ₂ CO ₃	50 50	577	{ 25 760	2,24 1,76	650—870
KCl BaCl ₂	50 50	640	—	—	670—870
NaCl * KCl Na ₂ CO ₃	10 45 45	595	—	—	630—850
NaCl * KCl BaCl ₂	37 41 22	552	{ 25 760	2,07 2,32	590—880
KCl NaCl CaCl ₂	50 20 30	530	—	—	560—870
NaCl BaCl ₂ CaCl ₂	21 31 48	435	—	—	480—780
NaCN Na ₂ CO ₃ BaCl ₂	80 15 5	540	25	1,3	650—900

* Эвтектические смеси

Продолжение

Состав смеси	Содержание в весовых процентах	Температура плавления в °C	Удельный вес при температуре в °C		Температура применения в °C
			Температура	Удельный вес	
NaCN Na ₂ CO ₃ NaCl	75 10 15	590	25 850	1,62 1,25	700—850
NaCN Na ₂ CO ₃ NaCl	45 10 45	675	25 850	1,88 1,37	750—850
NaCN Na ₂ CO ₃ NaCl	30 45 25	625	25 850	2,09 1,52	700—850
NaCN KCN	75 25	523	—	—	550—600
NaCN * KCN	53 47	445	—	—	500—550
NaNO ₂ ** KNO ₃	50 50	143	25 315	2,22 1,85	160—550
NaNO ₂ ** KNO ₃	50 50	225	25 425	2,27 1,89	280—550
NaNO ₂ ** KNO ₃	50 50	220	—	—	280—550

* Эвтектические смеси.

** При температуре выше 550° селитра разлагается. При перегреве селитра вступает в химическое соединение (экзотермическое) с железом и чугуном, что связано с опасностью взрыва. Опасен местный перегрев селитры.

Недопустимо и весьма опасно соединение селитры с сажей, углем и водой (влажными деталями).

При расплавлении объем селитры увеличивается.

П р и м е ч а к и е. Подробное исследование свойств солей, применяемых при термической обработке стали, проведено д-р. техн. наук В. М. Вишняковым.

Отпуск

О т п у с к (*O*) — процесс термической обработки, обусловливающий превращение неустойчивых структур закаленного состояния в более устойчивые. Отпуск осуществляется путем нагрева деталей машин и инструментов до температуры ниже интервала превращений, выдержки при этой температуре и последующего охлаждения.

В результате отпуска получаются более устойчивые структуры по схеме мартенсит \rightarrow троостит \rightarrow сорбит и, как

следствие этого, получаются требуемые механические свойства или снятие внутренних напряжений.

Так, например, при отпуске закаленной углеродистой стали происходят следующие изменения: в интервале температур 80—170° — переход тетрагонального мартенсита закалки в кубический мартенсит отпуска (и, как следствие, увеличение ударной вязкости) с выделением карбida — Fe₃C; в интервале 200—270° — превращение остаточного аустенита в отпущеный мартенсит (со снижением ударной вязкости); в интервале

250—400°—образование троостита и при температуре выше 400°—коагуляция цементита—образование сорбита.

Указанная схема изменений действительна и для легированной стали перлитного и мартенситного классов, с той лишь разницей, что эти изменения происходят при иных (более высоких) температурах.

Отпуск применяется в сочетании с процессами: нормализацией (частично), закалкой, цементацией (для стали, сохраняющей остаточный аустенит в цементованном слое) и цианированием.

По условиям нагрева и выдержки отпуск подразделяется на:

отпуск высокий	O_b
низкий	O_n
многократный	O_{mkr}

Отпуск высокий (O_b)—нагрев до температуры в интервале 350—650°, выдержка при этой температуре и охлаждение с любой скоростью для стали, не чувствительной (по хрупкости) к скорости охлаждения. Для стали, чувствительной к скорости охлаждения, после выдержки при температуре высокого отпуска применяется ускоренное охлаждение в масле или воде.

Высокий отпуск применяется для деталей, изготавляемых из улучшаемой конструкционной стали, для инструментов из быстрорежущей стали, а также для цементуемых марок стали (сразу же после цементации), содержащих большое количество остаточного аустенита в слое.

Температура высокого отпуска лежит выше температуры интервала отпускной хрупкости (снижение ударной вязкости некоторых марок стали). Для марок стали, чувствительной к скорости охлаждения (снижение ударной вязкости при малой скорости охлаждения), после отпуска применяется охлаждение деталей в воде.

Отпуск низкий (O_n)—нагрев до температуры в интервале 150—200°, выдержка при этой температуре и охлаждение с любой скоростью.

Низкий отпуск применяется после закалки для деталей, подвергнутых цементации, цианированию и поверхностной закалке, а также для инструментов, изготовленных из углеродистой и легированной инструментальной стали с целью снятия внутренних напряжений.

Отпуск многократный (O_{mkr})—вид отпуска, характеризующийся много-

кратным (2—4 раза) повторением нагрева до заданной температуры с последующим полным охлаждением. Многократный отпуск применяется главным образом для инструментов из быстрорежущей стали.

В результате многократного отпуска достигается более полное превращение остаточного аустенита, что приводит к повышению твердости и стойкости режущего инструмента.

Низкотемпературная обработка

Низкотемпературная обработка (*H-mo*) («обработка холодом»)—процесс термической обработки, обусловливающий возможно более полное превращение остаточного аустенита в мартенсит у стали, температура конца мартенситного превращения которой лежит ниже нормальной (P18, P9, XГ, ШХ15, науглероженный слой стали 12Х2Н4А, 20Х2Н4А, 18ХНВА и т. п.).

Металлы и сплавы, применяемые для нагрева под отпуск стальных деталей *

Состав	Температура плавления в °C	Температура практического применения в °C
100% Pb (С.) технически чистый **	327	335—930
100% Sn (О.) технически чистое	232	240—1000
63% Sn + 37% Pb	183	190—350
91% Sn + 9% Zn (ЦВ.)	200	205—400
32,5% Sn + 67,5% Pb	225	245—400
15% Sn + 85% Pb	280	300—500

* Указанные металлы и сплавы могут также применяться при изотермической закалке. С целью снижения испарения поверхность ванны покрывается древесным углем или легкоплавкой солью.

** Свинец применяется также для нагрева стальных деталей под закалку.

В результате низкотемпературной обработки повышается твердость и стойкость режущего инструмента, происходит стабилизация размеров и повышается износостойчивость и предел выносливости цементованных деталей машин, вместе с тем снижается их ударная вязкость.

Низкотемпературная обработка впервые была предложена проф. А. П. Гуляевым.

Характеристика масел, применяемых для отпуска

Физико-химические свойства	Цилиндровое б (ГОСТ 3191-46)	Вапор (ГОСТ 788-43)	Вапор С (МНП 220-46)	Вискозин (ГОСТ 1859-42)
Вязкость при 100° С условная в °E.	4,5—6,0	5,5—7,5	< 7,5	3,0—4,0
Температура вспышки по Бренекену в °C не ниже	300	310	310	240
Температура застыивания в °C не выше	+17	—	—	—

Эффективность низкотемпературной обработки некоторых марок стали (В. Г. Воробьев [155])

Марка стали	Границы превращения		Количество остаточного аустенита после закалки A в %**		Прирост твердости после охлаждения до M_K в единицах H_{RC}
	M_H в °C *	M_K в °C	При +20° C	После охлаждения до M_K	
У7	300—255	-55	До 5	1	До 0,5
У8	255—230	-55	3—8	1—6	До 1,0
У9	230—210	-55	5—12	3—10	1,0—1,5
У10	210—175	-60	6—18	4—12	1,5—3,0
У12	175—160	-70	10—25	5—14	3—4
Х05	150—140	-95	15—30	2—14	4—7
Х09	175—150	-85	10—27	5—14	2—4
7Х	280—230	-55	3—10	1—8	До 1,0
9Х	220—180	-70	6—18	4—13	1,0—2,5
Х	175—145	-90	10—28	5—14	3—6
7Х3	240—185	-60	4—17	2—12	1,0—2,5
9ХС	210—185	-60	6—17	4—12	1,5—2,5
ШХ15	180—145	-90	9—28	4—14	3—6
ХВГ	155—120	-110	13—45	2—17	До 10
ХГ	120—100	-120	22—60	До 20	До 15
15Х—20Х ***	175—150	-85	10—25	5—12	3—5
20Х3 ***	140—120	-100	17—40	До 15	До 10
60F—70Г . . .	290—230	-55	До 8	До 6	До 1,0
15Н2А ***	160—140	-95	12—30	3—14	4—7
18Н5А и 21Н5А ***	120—100	-120	22—60	До 20	До 15
18ХНВА ***	130—120	-100	20—45	До 15	До 10

* Интервал значений M_H указан для отклонений химического состава по техническим условиям.

** Указанное количество аустенита относится к температурам закалки, обеспечивающим образование гомогенного аустенита; охлаждающие среды — обычные для данных марок стали.

*** Данные относятся к цементованному слою.

Влияние низкотемпературной обработки ($t = -183^{\circ}$) на механические свойства и износостойчивость некоторых марок легированной стали [8]

Марка стали	Механические свойства *								Увеличение износоустойчивости в %		
	До низкотемпературной обработки				После низкотемпературной обработки						
	σ_{BZ} в кг/мм ²	Стрела прогиба f в мкм	a_N в кг/м ²	H_{RC}	σ_{BZ} в кг/мм ²	Стрела прогиба f в мкм	a_N в кг/м ²	H_{RC}	Величина износа в мкм		
12Х2Н4А	222	2,6	15,3	58—59	5,75	191	2,2	13,1	58—64	3,99	32
18ХГТ . . .	252	2,95	3,85	57—58	2,85	230	2,75	2,4	60—63	2,38	16
18ХНМА . . .	257	4,07	10,5	46—50	3,85	186,3	2,90	7,27	60—61	2,38	38
18ХГМ . . .	202	2,4	3,5	58,5—59,5	3,90	177	1,68	1,82	60—61	2,45	37

* Образцы размером 10×10×120 мм подвергались газовой цементации на глубину 1,5 мм с последующей непосредственной закалкой и низким отпуском при температуре 150°.

Старение

Старение (Ст) — искусственное — процесс термической обработки, обуславливающий изменение тетрагональности мартенсита в закаленной стали *.

В результате старения происходит стабилизация размеров изделий.

Искусственное старение применяется для измерительных инструментов — калибров, скоб и т. п. и деталей точного машиностроения.

Температура искусственного старения 150—180°, продолжительность 5—20 час.

Процесс старения протекает также и при нормальной температуре, но при гораздо большей длительности.

* Процесс старения алюминиевых сплавов по физической сущности отличается от процесса старения стали.

Процессы химико-термической обработки

Химико-термическая обработка — изменение химического состава в поверхностных слоях металла (с последующим изменением микроструктуры) под воздействием внешних сред и температуры и, как следствие этого, получение определенных физико-механических свойств поверхности и сердцевины во взаимодействии.

Химико-термическая обработка применяется с целью повышения предела выносливости конструкционной стали при циклических нагрузках повышения износостойчивости трущихся поверхностей деталей и с целью противодействия влиянию внешних сред при нормальной и высокой температуре (устойчивость против коррозии и жаростойкость).

Влияние химико-термической обработки на предел выносливости хромоникельмolibденовой стали [177, т. I]

<i>σ_{ср}</i> в кг/мм ²	Форма образца	Напряженное состояние	<i>K_a</i> или <i>K_t</i>	Химико-термическая обработка		Предел выносливости в кг/мм ²		Коэффициент повышения предела выносливости
				Вид	δ в м.м.	без обработки	после обработки	
127—130	Круглый, гладкий, Ø 14 мм	Изгиб	1,0	Цементация *	0,2	62	70	1,13
		Кручение	1,0		0,2	25	31,5	1,26
127—130	То же с попечным отверстием Ø 2 мм	Изгиб	1,82	Цементация * после сверления отверстия	0,2—0,3	34	44	1,29
		Кручение	2,08		0,2—0,3	12	29	2,41
70—120	Круглый гладкий, Ø 7,5—14 мм	Изгиб	1,0	АЗотирование	0,2—0,8	—	—	1,2—1,5
70—120	Круглый обработанный, Ø 5 мм с треугольным надрезом глубиной 0,3 мм и углом при вершине 60°	Растяжение	1,6	АЗотирование	0,35—0,5	21,5 (влияние надреза полностью скомпенсировано)	54,0	2,5
70—120	Круглый, Ø 10 мм с надрезом, профиль которого совпадает с профилем метрической нарезки 10 мм	Изгиб	3,06	АЗотирование	0,35—0,5	12,5 (влияние надреза полностью скомпенсировано)	50,25	4,0

* После цементации — закалка и низкий отпуск.

Предел выносливости при изгибе цианированных, цементованных и азотированных образцов Ø 10 мм [40, вып. 26]

Марка стали	Термическая обработка образцов			σ_{-1} в кг/мм ²	HRA
	Режимы	час. τ	м.м. δ		
10	З. О	—	—	25,2	—
	У, 900°	4	0,36	43,2	80-81
	Цир, 820°	0,25	0,08	38,8	74
	Цир, 820°	1	0,18	45,3	78
	Цир, 850°	2,5	0,52	45,8	80-82
12ХН3А	З, 830°	—	—	40-42	—
	О _Н , 150-170°	—	—	—	—
	Цир, 850°	0,33	0,15	46,0	78-80
	Цир, 850°	1	0,33	54,0	80-81
	Цир, 860°	2	0,50	64,0	82-83
38ХМЮА	З. О	—	—	48-49	—
	АЗ, 540°	15	0,15	60,0	80-81
	АЗ, 540°	25	0,32	62,0	80-81

Любой из процессов химико-термической обработки осуществляется при взаимодействии внешних газовых или жидких сред с поверхностью металла при абсорбции и диффузии активного элемента в атомарном состоянии в глубь металла. Комплексное рассмотрение явлений, протекающих во внешней среде, на поверхности и внутри металла является научно обоснованным методом изучения процесса и нахождения путей его интенсификации при воздействии на явления, протекающие с наименьшей скоростью и тормозящие тем самым развитие процесса в целом.

Аналитическими и экспериментальными исследованиями установлена применимость законов Фика к случаю диффузии различных элементов в твердых растворах:

$$1) \quad dm = -D \frac{dc}{dx} dF dt,$$

где D — коэффициент диффузии в $\text{см}^2/\text{сек}$ ($\frac{\text{см}^2}{24 \text{ часа}}$);

$$D = Ae^{-\frac{Q}{RT}} \quad D = \frac{Q}{Nn} \delta e^{-\frac{Q}{RT}}$$

Q — теплота диффузии; R — газовая постоянная ($R = 1,987$); δ — межатомное

расстояние металла, в котором происходит диффузия; N — число Авогадро; n — постоянная Планка; A — коэффициент

$$\ln D = \ln A - \frac{Q}{R} \frac{1}{T} \text{ (см. фиг. 20).}$$

Из первого закона Фика вытекает параболическая зависимость глубины слоя x в мм от продолжительности процесса t в час.

$$x = \sqrt{2pt};$$

$$2) \quad \frac{\partial m}{\partial t} = D \left(\frac{\partial^2 c}{\partial x^2} + \frac{\partial^2 c}{\partial y^2} + \frac{\partial^2 c}{\partial z^2} \right).$$

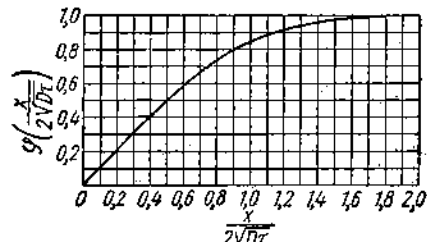
Решение этого уравнения приводит к выражению

$$C_x = C_f + (C_0 - C_f) \varphi \left(\frac{x}{2 \sqrt{Dt}} \right);$$

$$\frac{C_x - C_f}{C_0 - C_f} = \varphi \left(\frac{x}{2 \sqrt{Dt}} \right);$$

C_0 — начальное содержание в стали диффундирующего элемента; C_x — содержание диффундирующего элемента на глубине x от поверхности; C_f — содержание диффундирующего элемента в поверхностной тонкой зоне;

$\varphi \left(\frac{x}{2 \sqrt{Dt}} \right)$ — интеграл Гаусса (фиг. 18), по значению которого на основании по-



Фиг. 18. Значение функции $\varphi \left(\frac{x}{2 \sqrt{Dt}} \right)$.

слойного химического анализа определяется коэффициент диффузии D элемента.

Цементация

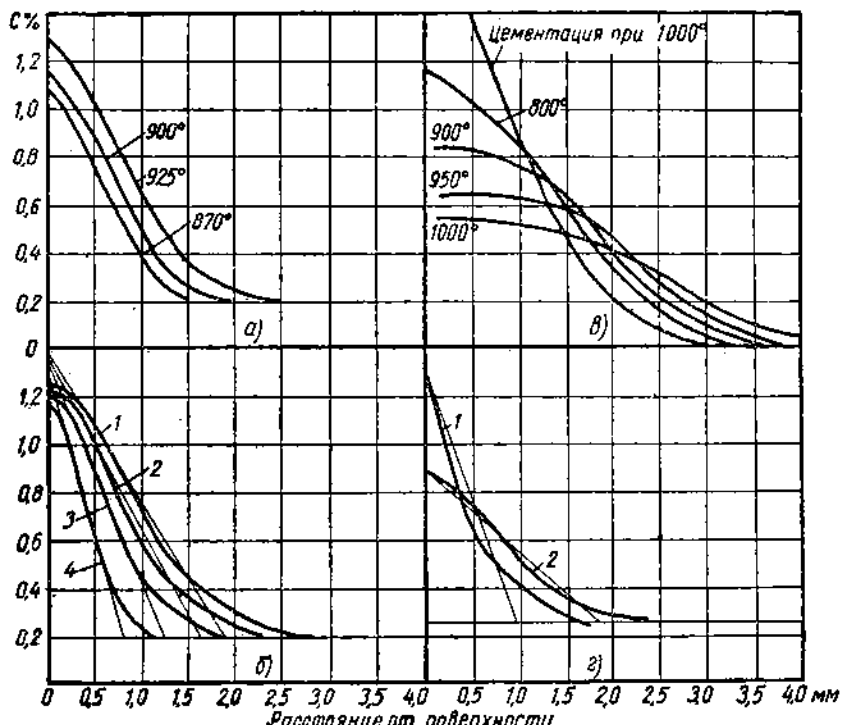
Цементация (науглероживание) (Ц) — процесс химико-термической обработки стальных деталей, обуславливающий

насыщение их поверхности углеродом на определенную глубину.

Цементация осуществляется путем нагрева стальных деталей в присутствии науглероживающей среды до температуры аустенитного состояния стали при оптимальном значении абсорбции угле-

рода поверхности к сердцевине и изменение в этой связи после термической обработки механических свойств слоя и детали в целом — повышение износостойкости, предела выносливости и предела прочности поверхностного слоя.

Распределение концентраций углерода



Фиг. 19. Распределение концентрации углерода по глубине слоя в зависимости от факторов: а — температуры процесса (сталь 20); б — продолжительности процесса (1—8,3 часа, 2—6,3 часа, 3—4,3 часа, 4—2,3 часа) (сталь 20); в — температуры выдержки без карбюризатора при $\tau_b = 10$ час. (сталь 08) после цементации при 1000°; г — продолжительности выдержки без карбюризатора; 1 — $\tau_b = 3$ часа 10 мин.; 2 — $\tau_b = 4$ часа 45 мин. после предварительной цементации.

рода. При этой температуре осуществляется выдержка, продолжительность которой зависит от требуемой глубины слоя, после чего следует охлаждение с различной скоростью, начиная с замедленной и кончая непосредственной закалкой.

Цементованные детали подвергаются закалке и низкому отпуску.

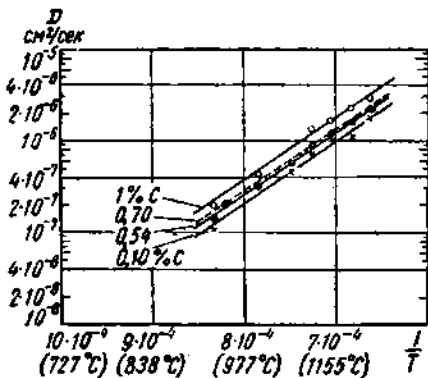
В результате цементации происходит изменение концентрации углерода от

по глубине является функцией температуры, продолжительности, активности карбюризатора и других факторов (фиг. 19).

Скорость диффузии углерода в ферrite наименьшая, а в аустените — или большая, поэтому процесс цементации стали проводится при температурах выше A_{c3} (900—940°), при этом температура является одним из факторов повышения эффективности процесса.

Числовые значения коэффициента диффузии углерода в аустените зависят:
а) от температуры

$$D = 0,12 e^{-\frac{32000}{RT}} \text{ (фиг. 20);}$$

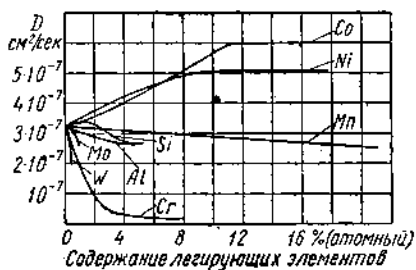


Фиг. 20. Числовые значения коэффициента диффузии углерода в аустените.

б) от начального содержания углерода в стали

$$D = (0,07 + 0,06\% \text{ C}) e^{-\frac{32000}{RT}}$$

$$D = (0,04 + 0,08\% \text{ C}) e^{-\frac{31350}{RT}}$$



Фиг. 21. Влияние легирующих элементов на коэффициент диффузии углерода в аустените (1000°; 0,4% C).

в) от легирующих элементов. Для конструкционной легированной стали эта зависимость приведена на фиг. 21 и в таблицах.

Влияние легирующих элементов на коэффициент диффузии углерода в аустените [40, вып. 24]

Элемент	Содержание элемента в %	Температура диффузии в °C	Коэффициент диффузии углерода $D \cdot 10^7$ см ² /сек при содержании углерода в %		
			0,2	0,4	0,7
C		1000	2,45	3,36	4,11
		1100	6,06	7,95	10,5
		1200	13,1	17,3	23,1
Ni	4,0	1000	2,67	3,4	4,5
		1100	6,54	8,3	11,0
		1200	14,03	17,9	23,7
	9,5	1000	—	4,2	5,6
		1100	—	10,1	13,4
		1200	—	21,9	29,2
Mn	1,0	1000	2,62	3,3	4,2
		1100	6,47	8,1	10,4
		1200	14,5	18,2	23,2
	12,0	1000	2,42	2,9	3,9
		1100	6,45	7,7	10,4
		1200	14,8	17,7	24,9
Cr	19,0	1000	2,4	2,6	2,9
		1100	6,8	7,34	8,2
		1200	16,7	18,3	24,0
	1,0	1000	1,39	1,9	2,26
		1100	3,7	5,8	6,05
		1200	8,9	12,1	14,3
Mo	2,5	1000	0,41	0,64	0,82
		1100	1,19	1,82	2,4
		1200	2,81	4,40	5,6
	7,0	1000	2,62	3,94	5,49
		1100	8,0	12,1	16,6
		1200	21,6	32,0	43,4
Co	0,9	1000	2,3	3,5	5,05
		1100	6,1	9,3	13,4
		1200	14,3	21,8	31,4
	1,55	1000	1,85	2,47	3,24
		1100	5,01	6,7	8,8
		1200	11,6	15,6	20,4
W	6,0	1000	3,9	4,9	6,2
		1100	9,3	11,4	14,8
		1200	20,4	25,7	32,4
	11,0	1000	3,9	5,42	7,65
		1100	9,5	13,2	18,7
		1200	19,1	26,7	37,7
Al	21,0	1000	—	5,6	7,81
		1100	—	12,8	17,8
		1200	—	27,0	37,6

Продолжение

Элемент	Содержание элемента в Φ_0	Температура диффузии в $^{\circ}\text{C}$	Коэффициент диффузии углерода $D \cdot 10^7 \text{ см}^2/\text{сек}$ при содержании углерода в %		
			0,2	0,4	0,7
W	0,5	1000	2,18	3,05	4,36
		1100	5,4	7,6	10,8
		1200	11,7	16,4	23,4
	1,05	1000	2,08	2,78	3,46
		1100	5,2	6,97	8,7
		1200	11,6	15,5	19,3
	1,95	1000	1,4	2,0	2,8
		1100	3,68	5,26	7,36
		1200	8,5	12,1	16,9
Si	1,6	1000	2,08	2,76	3,8
		1100	5,24	7,0	9,58
		1200	11,5	15,3	21,0
	2,55	1000	1,6	2,58	3,2
		1100	4,08	6,5	8,07
		1200	8,9	14,4	17,9
Al	0,7	1000	2,7	3,26	—
		1100	6,6	8,0	—
		1200	14,4	17,3	—
	1,7	1000	2,23	2,97	—
		1100	5,6	6,4	—
		1200	12,4	14,3	—
	2,45	1000	1,9	2,58	—
		1100	4,8	6,4	—
		1200	10,6	14,1	—

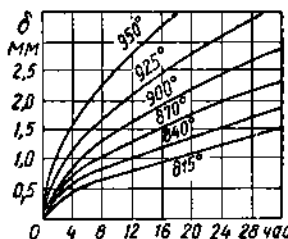
Влияние легирующих элементов на диффузионные константы при диффузии углерода в γ -железо ($0,4\%$ С) [40, вып. 24]

Элемент	%	$A \text{ см}^2/\text{сек}$	$Q \text{ ккал/атом}$
C	0,0	0,07	31 350
	1,0	0,11	34 300
	2,5	0,14	37 000
	7,0	0,18	38 900
Mn	0,0	0,07	31 350
	1,0	0,08	31 600
	12,0	0,19	33 900
	19,0	0,41	36 100
Ni	0,0	0,07	31 350
	4,0	0,07	31 000
	9,5	0,07	30 350
	18,0	0,06	29 800
Co	0,0	0,07	31 350
	6,0	0,08	30 500
	11,0	0,07	29 900
	21,0	0,05	28 850

Кремний тормозит процесс науглероживания стали из-за образования пленки окислов на поверхности детали.

За глубину цементованного слоя наиболее правильно принимать сумму заэвтектоидной, эвтектоидной и половины переходной зон. Это соответствует (после закалки) полумартенситной структуре твердостью $40-45 HRC$ и содержанию углерода $\sim 0,45-0,50\%$.

Глубина цементованного слоя δ в мм в зависимости от продолжительности



Фиг. 22. Зависимость глубины цементированного слоя δ от продолжительности процесса.

цементации τ в час. является параболической функцией

$$\delta = \sqrt{2pt}; \delta = 800 \sqrt{\tau \cdot 10^{-T}}$$

(фиг. 22).

Цементации подвергаются детали машин: шестерни, распределительные валы, поршневые пальцы, валы, лемехи и отвалы плугов и т. п.; измерительный инструмент: калибра, лекала, шаблоны и т. п.

Цементуемые марки стали: 10-25, 15Г, 20Г, 15Х, 20Х, 20ХЗ, 21Х, 25Н, 15ХГ, 20ХГ, 18ХГМ, 18ХГТ, 15ХФ, 20ХФ, 12ХМ, 20ХМ, 15НМ, 20НМ, 20ХН, 12Х2Н4, 20Х2Н4.

С целью повышения общей прочности деталей современной тенденцией является применение цементуемых марок стали с повышенным содержанием углерода до $0,30\%$.

Цементация подразделяется по условиям воздействия внешних факторов на:

- цементацию твердым карбюризатором U_m
- цементацию газовую U_g
- жидкостную $U_{ж}$

Цементация твердым карбюризатором (U_m) осуществляется путем нагрева стальных деталей в твердом карбюризаторе.

Детали упаковываются в ящики с за-
сыпкой твердым карбюризатором, со-
держащим 20—35%, свежего и 80—65%
отработавшего карбюризатора. При
упаковке деталей в ящики между дета-
лями принимается расстояние 5—15 мм,
между деталями и дном ящика 20—
30 мм, между деталями и боковыми
стенками 15—25 мм, между деталями и
верхней крышкой 25—40 мм.

При цементации твердым карбюризато-
ром активным элементом, производящим
науглероживание, является окись угле-
рода. Соли — BaCO_3 и CaCO_3 являются
активизаторами, ускоряющими процесс
образования окиси углерода.

При высокой активности внешней
среды и при высокой скорости реакций
взаимодействия окиси углерода с по-
верхностью стальных деталей процесс
науглероживания подчиняется указан-
ным ниже закономерностям.

**Состав твердого древесноугольного
(березового) карбюризатора (ГОСТ 2407-51)**

Составляющие	Состав карбюризатора в %		
	1-й сорт	2-й сорт	Полу- кокsovый ГОСТ 5535-50
BaCO_3	20—25	20—25	10—15
CaCO_3	3,5	5,0	3,5
S .	0,06	0,1	0,35
SiO_2 .	0,5	1,5	—
Влага .	5,0	5,0	6,0
Легучие .	10	10	—
Зернистость:			
Фракции Ø от 3,5 до 10 мм .	92	80	80
от 10 до 14 мм .	6	15	15
< 3,5 мм .	2	5	5

Продолжительность процесса цементации твердым карбюризатором в зависимости от требуемой глубины цементованного слоя

Глубина слоя в мм	Общая продолжи- тельность процесса в час.
0,4—0,7	4,5—5,5
0,6—0,9	5,5—6,5
0,8—1,2	6,2—10
1,0—1,4	8—11,5
1,2—1,6	10—14
1,4—1,8	11,5—16
1,5—1,9	13—18
1,6—2,0	14—19
1,8—2,2	16—22
2,0—2,4	19—24

Ящики и крышки к ним изготавли-
ются стальными, чугунными и из жа-
роупорного сплава. Стойкость сварных
стальных ящиков 150—200 час., литых
стальных и чугунных — 250—500 час.
и из жароупорного сплава 4000—
6000 час.

Для повышения эффективности про-
цесса применяются специальные ящи-
ки, изготовленные с учетом конфигу-
рации деталей.

Контроль результатов цементации
осуществляется на образцах — прут-
ках Ø 8—10 мм из той же стали, что
и цементуемые детали. При цемента-
ции низко- и среднелегированных ма-
рок стали могут применяться образцы
из стали марки 20.

Образцы закладываются в ящики
вместе с деталями и вынимаются в
конце процесса цементации. По излому
после закалки судят о глубине слоя
и величине зерна: в металлографиче-
ской лаборатории определяется более
точно глубина слоя и микроструктура
(наличие и характер распределения
цементита).

Цементация газовая Ц, осу-
ществляется путем нагрева и выдерж-
ки стальных деталей в присутствии
газового карбюризатора — смеси газов,
содержащих в своем составе метан —
 CH_4 , окись углерода — CO , непредель-
ные углеводороды и др.

Впервые процесс газовой цемента-
ции был разработан русским ученым
Аносовым в 1837 г. В 1933—1934 гг.
проф. Н. А. Минкевич и его ученики
проводили исследования по цементации
стальных деталей парами масел, а за-
тем под руководством Н. А. Минке-
вича в ЦНИИТМАШ был разработан
и внедрен на Московском автозаводе
имени Сталина в 1934 г. процесс це-
ментации газом пиролиза и крекинга
керосина.

Газовая цементация является наи-
более прогрессивным, в сравнении с
цементацией твердым карбюризато-
ром, процессом вследствие его мень-
шей продолжительности.

Разработка Стальпроектом совре-
менных безмуфельных печей для газо-
вой цементации и многооперационных
агрегатов позволит в более широких
масштабах внедрять этот процесс на
отечественных машиностроительных
заводах.

Активным науглероживающим эле-
ментом при газовой цементации являет-

Глубина цементованного слоя в мм в зависимости от продолжительности и температуры процесса газовой цементации

Продолжительность процесса в час.	Температура в °C									
	760	800	820	850	875	900	925	950	980	1000
1	0,20	0,25	0,30	0,30	0,46	0,53	0,63	0,74	0,86	1,00
2	0,28	0,36	0,69	0,53	0,63	0,76	0,89	1,04	1,22	1,42
3	0,36	0,43	0,53	0,63	0,79	0,94	1,09	1,30	1,50	1,75
4	0,41	0,51	0,61	0,74	0,89	1,07	1,27	1,50	1,75	2,00
5	0,46	0,56	0,69	0,84	1,00	1,20	1,42	1,68	1,96	2,26
6	0,48	0,61	0,76	0,91	1,09	1,32	1,55	1,83	2,13	2,46
7	0,53	0,66	0,78	1,00	1,19	1,42	1,68	1,98	2,31	2,55
8	0,56	0,71	0,86	1,04	1,27	1,52	1,80	2,11	2,46	2,80
9	0,61	0,74	0,91	1,12	1,35	1,60	1,90	2,23	2,55	3,05
10	0,64	0,79	0,96	1,17	1,42	1,70	2,00	2,36	2,79	3,20
11	0,66	0,84	1,02	1,22	1,50	1,78	2,11	2,46	2,82	3,35
12	0,69	0,86	1,07	1,30	1,55	1,85	2,21	2,50	3,05	3,55
13	0,71	0,89	1,09	1,35	1,62	1,93	2,29	2,54	3,06	3,56
14	0,74	0,94	1,14	1,40	1,68	2,00	2,39	2,79	3,30	3,81
15	0,79	1,00	1,20	1,45	1,73	2,10	2,47	2,81	3,38	3,92
16	0,81	1,00	1,22	1,50	1,80	2,13	2,54	2,85	3,50	4,06
17	0,84	1,02	1,27	1,52	1,85	2,21	2,55	3,05	3,55	4,17
18	0,85	1,06	1,30	1,57	1,90	2,29	2,69	3,17	3,72	4,32
19	0,86	1,09	1,35	1,62	1,96	2,34	2,70	3,30	3,81	4,40
20	0,89	1,12	1,37	1,68	2,00	2,39	2,80	3,31	3,89	4,55
21	0,91	1,14	1,40	1,70	2,06	2,46	2,90	3,41	3,98	4,62
22	0,94	1,17	1,42	1,75	2,11	2,51	2,96	3,50	4,06	4,73
23	0,97	1,19	1,47	1,77	2,16	2,54	3,05	3,55	4,17	4,83
24	0,99	1,22	1,50	1,83	2,19	2,62	3,10	3,66	4,29	5,00
	1,00	1,24	1,52	1,85	2,23	2,66	3,16	3,73	4,33	5,10

ся метан; некоторое участие принимает также и окись углерода.

Детали загружаются при помощи приспособления, на котором они раскладываются на расстоянии 5—10 мм одна от другой. Загруженное приспособление устанавливается в цементационную печь.

Благодаря такой загрузке деталей (без упаковки в ящики) и большой активности внешней газовой среды (метана) эффективность процесса газовой цементации резко повышается.

Газовый карбюратор получают следующими методами.

а) Из жидких нефтепродуктов, в частности из керосина, путем его

пиролиза при температуре в пределах 700—800° без доступа воздуха.

Состав газа варьирует в широких пределах в зависимости от температуры пиролиза:

25—80% H₂; 50—10% CH₄; 25—50% C_nH_m; остальные CO, CO₂, N₂ и O₂ в пределах до 30% каждого в зависимости от подсаса воздуха в реторту пиролизной установки. С повышением температуры пиролиза увеличивается содержание H₂ и снижается содержание тяжелых углеводородов C_nH_m; помимо газа в реторте пиролизной установки выделяются смолы и сажа.

Наличие в составе пиролизного газа тяжелых углеводородов и метана приводит к выделению большого количества сажи и смолистых (коксующихся) веществ в муфеле цементационной печи. Поэтому пиролизный газ может применяться в качестве газового карбюратора в мелких

печах, при малом расходе газа и обязательно при интенсивной его циркуляции в муфеле печи (печи шахтные, с вращающейся ретортой и т. п.).

б) Из керосина путем его пиролиза и последующего крекирования пиролизного газа при 900—940° в смеси с водяным паром (см. табл. на стр. 170). Схема приготовления газового карбюратора по данному методу следующая.

1. Пиролиз керосина при 740—760°. состав газа (ПГН):

20—25% H₂; 55—40% CH₄; 25—20% C_nH_m; остальное CO, CO₂, O₂ и N₂ до 6,0%, в сумме, в зависимости от подсаса воздуха в реторту (трубы) пиролизной установки.

2. Очистка пиролизного газа от смол и частично тяжелых фракций углеводородов водой, а затем соляровым маслом.

3. После очистки часть пиролизного газа ($\sim 25\%$) подвергается крекированию в смеси с водяным паром при $900-940^\circ$.

Состав крекинг-газа (КГН):

$60-70\% \text{H}_2$; $15-60\% \text{CH}_4$; $\leq 1,5\% \text{C}_n\text{H}_m$; $16-26\% \text{CO}$; остальное CO_2 , O_2 и N_2 в сумме до 80% .

4. Очистка крекинг-газа водой и осушка 10% -ным водным раствором хлористого кальция. Полученный крекинг-газ в смеси с пиролизным в соотношении $\sim 60:40$ подается в цементационные печи.

б) Из бензола C_6H_6 или пиробензола (ТУ 52-42 Главнефтесьбыта) путем его ввода в муфель цементационной печи каплями или при предварительном его испарении в отдельной реторте.

Пиробензол в качестве газового карбюризатора применяется главным образом в шахтных печах при циркуляции атмосферы в муфеле печи.

г) Из бензола или пиробензола с предварительным его испарением в смеси с водой. Водяной пар служит разбавителем, предупреждающим выделение в муфеле печи смолистых веществ и сажи.

д) Из углеводородных газов — природного, нефтяного, сжиженных, а также светильного и коксового путем их крекирования при $900-1100^\circ$ в смеси с воздухом (при $\alpha \leq 0,25$). Состав крекинг-газа углеводородов (КГУ): $30-40\% \text{H}_2$; $2-4\% \text{CH}_4$; $18-22\% \text{CO}$; остальное N_2 ; к крекинг-газу указанного состава при вводе в муфель цементационной печи добавляется $1-5\%$ исходного газа.

е) Из любых углеводородных газов путем их частичного сжижения при $\alpha = 0,5 \pm 0,6$ с последующим добавлением при вводе в муфель цементационной печи $5-10\%$ исходного газа.

ж) Цементация генераторным (безсернистым) газом в смеси с углеводородами — бензолом, природным, светильным и сжиженными газами.

Цементация жидкостная $T_{ж}$ осуществляется путем нагрева стальных деталей в расплавленных солях, содержащих в своем составе NaCN или SiC (табл. на стр. 148).

Особенностями процесса жидкостной цементации являются: ускорение процесса науглероживания, равномерность

нагрева цементуемых деталей, возможность непосредственной закалки из цементирующей ванны, отсутствие окисления и обезуглероживания и т. п. Процесс является новым и, вследствие его высокой эффективности, прогрессивным.

Впервые жидкостная цементация в ваннах, содержащих SiC , была разработана проф. С. С. Штейнбергом. Этот метод нашел применение для цементации болтов и других мелких деталей. В этом случае цементация производится при температуре $840-860^\circ$ в ваннах, состоящих из $75-80\% \text{Na}_2\text{CO}_3$, $15-20\% \text{NaCl}$ и $\sim 10\% \text{SiC}$.

Цементация в ваннах, содержащих NaCN , разработана и применяется на Московском мотозаводе. Оптимальный режим жидкостной цементации конструкционных сталей в ваннах с NaCN следующий:

температура процесса	$850-950^\circ \text{C}$
содержание цементованного слоя	$0,5-2,0 \text{ мм}$
продолжительность процесса	$1,0-6,0 \text{ час.}$
содержание углерода в поверхности	$0,8-1,0 \%$
содержание азота в поверхности	$\leq 0,2\%$
максимальная глубина азотирования	$0,10-0,25 \text{ мм}$

Характеристика цементованного слоя при жидкостной цементации стали 20 [120]

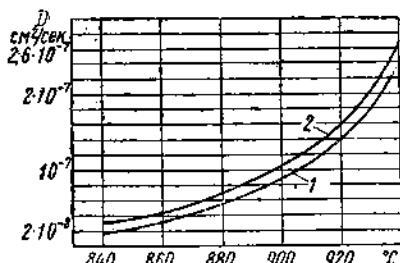
(содержание в ванне $35\% \text{ NaCN}$, $t = 840^\circ$, $t = 3 \text{ часа}$)

Глубина от поверхности в мм	Содержание в %	
	углерода	азота
0,125	0,82	0,19
0,25	0,80	0,14
0,37	0,64	0,06
0,50	0,48	0,03
0,63	0,40	0,01

Продолжительность процесса жидкостной цементации в зависимости от требуемой глубины цементованного слоя

Глубина цементованного слоя в мм	Продолжительность процесса в час.	Глубина цементованного слоя в мм	Продолжительность процесса в час.
0,4-0,7	1-2	1,2-1,6	4-6,5
0,6-0,9	1,5-3	1,4-1,8	5-8
0,8-1,2	2-4	1,5-1,9	6-9
1,0-1,4	3-5	1,6-2,0	7-10

Значения коэффициента диффузии углерода в зависимости от температуры жидкостной цементации приведены на фиг. 23.



Фиг. 23. Коэффициент диффузии углерода в зависимости от температуры жидкостной цементации: 1 — сталь 15; 2 — Cr-Mn сталь (0,18% C; 1,38% Mn; 1,3% Cr [120]).

Условия смешивания различных солей с цианистыми солями, применяемыми при жидкостной цементации

Допустимость смешения*	Соли		Результат смешения
	NaOH	Разложение NaCN	
Недопустимо	NaNO ₃ , KNO ₃ , NaNO ₂ , KNO ₂	Взрыв, выплескивание солей из ванни ** (при NaCN > 5%)	
Допустимо	NaCl, KCl, BaCl ₂ , Na ₂ CO ₃	Цианистые соли растворяются	

* Категорически недопустимо попадание в расплавленные соли воды.

** При изотермической закалке применяется перенос деталей через нейтральные ванны из смеси хлористых и углекисльных солей — NaCl, KCl, BaCl₂, Na₂CO₃ и т. п.

В цементованном слое как по концентрации, так и по глубине слоя преобладающим является содержание углерода. После жидкостной цементации и последующей закалки поверхностная твердость деталей равна 60—62 HRC.

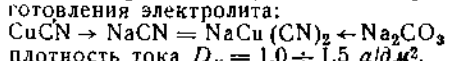
Защита стальных деталей от цементации меднением*.

Схема технологического процесса меднения: 1. Изоляция воском мест

* См. Г. Т. Бахвалов и др., Защитные покрытия металлов в машиностроении, Машгиз, 1949, также [177, т. 14].

детали, не подлежащих меднению. 2. Монтаж детали на приспособления. 3. Обезжиривание химическое или электролитическое. 4. Промывка в холодной проточной воде. 5. Травление химическое или электролитическое. 6. Промывка (двукратная) в холодной проточной воде. 7. Меднение в цианистом электролите. 8. Промывка в холодной проточной воде. 9. Демонтаж приспособлений. 10. Снятие воска. 11. Протирка и сушка. 12. Технический контроль.

Меднение. Состав электролита: медь цианистая CuCN — 45 г/л; натрий цианистый NaCN — 70 г/л; натрий углекислый Na₂CO₃ — 20 г/л. Способ приготовления электролита:



Требуемая толщина покрытия для защиты стали от цементации — 20—40 мк.

Определение продолжительности покрытия толщиной более 5 мк производится по данным таблицы путем пропорционального увеличения, например для требуемой глубины $\delta = 20 \text{ мк}$ при $D_K = 1,0 \text{ а/дм}^2$ и при $\gamma = 65\%$

$$\tau = \frac{20 \cdot 11 \cdot 100}{5 \cdot 65} = 68 \text{ мин.}$$

Продолжительность меднения (в мин.) для защиты от цементации (выход по току $\gamma = 100\%$, электролит цианистый)

Толщина слоя δ в мк	Плотность тока D_K в а/дм ²					
	0,1	0,25	0,5	0,75	1,0	1,5
1	23	9	4,5	3	2	1,5
2	45	18	9	6	4,5	3
3	88	27	13,5	9	7	4,5
4	90	36	18	12	9	6
5	113	45	23	15	11	7,5

Температура электролита — 30 ± 5°. Анодом служат пластины электролитной меди. Практический средний катодный выход по току — 65%. Толщина слоя покрытия δ за время $\tau = 1$ час составляет 17—26 мк.

$$\delta = \frac{D_K \cdot \tau \cdot E \eta}{\gamma} \quad (\text{см. таблицу});$$

E — электрохимический эквивалент в г/а-час; γ — удельный вес осаждаемого металла (меди) в г/см³.

Состав ванн для жидкостной цементации* [120]

Характеристика ванн	Ванны с BaCl_2 **												
	№ 1		№ 2		№ 3		№ 4		№ 5		№ 6		
	Наплавка (100%)	Свежая ванна	Наплавка (100%)	Свежая ванна	Наплавка (100%)	Свежая ванна	Наплавка нейтрализации со- дой (20%)	Свежая ванна	Наплавка ци- анистой соли (80%)	Свежая ванна	Наплавка ци- анистой соли (60%)	Наплавка цианистой соли (35%)***	Свежая ванна
Состав в весовых процентах	NaCN — NaCl BaCl_2 Na_2CO_3	80 — 15 5—8 15	68—80 — 15 35 15—27	50 15 15 35 —	45—50 — 85 — —	15 — 50 1— 1	15 — 50 15 22	— 80 — 5 —	64 10 15 35 —	50 15 15 35 —	— 50 — 50 —	10—15 — 85—90 — 15	80 30 5 60 0,5—1,0
Содержание NaCN в работающей ванне в %	30—50		22—30		10—15		50—70		18—20		8—10		
Минимально допустимое содержание NaCN в %	30		20		7		50		18		7		
Применяется для получения цементованного слоя глубиной в 1,5 мм:	1,4		1,8		2,0		0,8		1,0		2,0		
Допустимая рабочая (оптимальная) температура в °C	850—930 (900)		850—950 (900—930)		900—950 (930—950)		860—930 (900—930)		900—930		900—950 (930—950)		

* С целью уменьшения потерь тепла через зеркало ванны обязательным является покрытие его чешуйчатым графитом.

** Ванны № 1, 2 и 3 Московского мотозавода (Хинский). Наиболее употребительной является ванна № 2.

*** Существует модификация цианистой соли, в которой вместо NaCN применяется $\text{Ca}(\text{CN})_2$ в количестве 2—5%.

Характеристика ванн	Ванны с BaCl ₂				Ванны с NaF				Ванны с BaCl ₂ и SrCl ₂							
	№ 7		№ 8 № 9 № 10 № 11		№ 12		№ 13 № 14									
	Наплавка		Свежая ванна		Наплавка		Свежая ванна									
	нейтральными солями (50%)	цианистая солью (35%)	цианистая солью (10%)	Свежая ванна	Работающая ванна, состав в %		нейтральными солями (50%)	активными солями (50%)	Свежая ванна	Работающая ванна	Свежая ванна	Работающая ванна				
Состав в весовых процентах																
NaCN .	—	10—15	80	10—15	17—20	18—30	16—20	20—30	—	35—40	17—20	17—23 7,5—12				
NaCl	50	—	—	25—30	—	—	9	18	20	—	10	20—30 до 15				
KCl	—	—	—	1	27	24	—	—	25	5	15	— 5,5—20				
BaCl ₂	50	85—90	5	55—60	—	—	—	—	55	45	50	15—40 45—55				
SrCl ₂	—	—	—	—	—	—	—	—	—	5	2,5—3,5	до 3,5 2—10				
NaF .	—	—	—	—	3	3	5	5	—	—	—	—				
Na ₂ CO ₃	—	—	15	1,0—1,5	45	35	42	—	—	—	<30	<30				
Прочие	—	—	—	—	1,0SiC	1,0SiC	14 BaCO ₃	32BaCO ₃	—	—	—	—				
					0,7C	0,7C	8K ₂ CO ₃		—	—	—	—				
Содержание NaCN в работающей ванне в %	10—15		17—20	18—30	16—20	20—30	7,0—8,5		17—23	7,5—12						
Минимально допустимое содержание NaCN в %	10		14	12	15	20	7		17	7,5						
Применяется для получения цементованного слоя глубиной в мм до:	2,0		1,25	0,5	1,7	0,8	1,5		0,8	2,3						
Допустимая рабочая (оптимальная) температура ванны в °C	900—950 (930—950)		900—930	870—900	850—930 (900—930)	850—910	900—925		850—900	870—950						

Азотирование

Азотирование (A_3) — процесс химико-термической обработки стальных деталей, обуславливающий их насыщение азотом на определенную глубину от поверхности.

Азотирование осуществляется путем нагрева стальных деталей в присутствии аммиака NH_3 до температуры в пределах 520—650°.

При указанной температуре проводится или изотермическая, или ступенчатая (при разных температурах) выдержка в зависимости от требуемой глубины азотированного слоя с последующим охлаждением с любой скоростью.

Азотирование является конечным процессом цикла термической обработки и применяется с целью повышения износостойчивости и предела выносливости деталей машин.

Процесс азотирования впервые разработал русский ученый Н. П. Чижевский, опубликовавший с 1907 по 1913 гг. 14 работ, посвященных изучению влияния азота на свойства железа, стали и некоторых других металлов.

Широкому внедрению процесса азотирования в отечественное машиностроение способствовали работы Н. А. Минкевича, И. Е. Конторовича, С. Ф. Юрьева и В. И. Просвирина.

Подробные исследования по выяснению физических основ процесса азотирования проведены в последние годы Ю. М. Лахтиным [38].

При взаимодействии азота с металлами образуются нитриды, а при взаимодействии азота с железом — фазы внедрения.

Распределение фаз по глубине слоя от поверхности в качестве примера приведено на фиг. 24: при температуре ниже 591° — ϵ — γ' — α ; выше 591° — ϵ — γ' — γ — α .

Диффузия азота подчиняется ранее указанной закономерности

$$D_N = Ae^{-\frac{Q}{RT}} \text{ и } \dot{\varepsilon} = V^2 p t \quad (\text{фиг. 25}).$$

Коэффициент диффузии азота снижается с повышением содержания углерода в стали.

Углерод тормозит диффузию азота в ϵ - и α -фазах.

Атомно-кристаллические и концентрационные характеристики основных фаз азотированного слоя

Намывование фазы *	Стехиометрическое соотношение	Продел изменения концентрации азота 100% C_N в %	Тип решетки	Характер атомных связей	Изменение параметра решетки при 20° в Å	Коэффициент расширения $\beta \cdot 10^3$	Значение удельного объема фазы [173]
α -фаза — твердый раствор азота в железе	—	0,42 (при 591°) 0,015 (при 20°)	Кубическая, объемно-центрированная	Твердый раствор на основе азота	$(a)_\alpha = (2,861 + 2,62) C_N$	13,3	$0,12715 + 0,222 C_N + 5,07t \cdot 10^{-6}$
γ' -фаза — соединение переменного состава	$\text{Fe}_x \text{N}$ (при 5,5% N_2)	5,50—5,95 (при 591°)	Кубическая, гранично-центрированная	Твердый раствор на основе азота	$(a)_{\gamma'} = (3,59 + 4,05) C_N$	7,9	$0,11813 + 0,274 C_N + 2,79t \cdot 10^{-6}$
ϵ -фаза — соединение переменного состава	$\text{Fe}_{1-x} \text{N}$ (при 11,2% N_2)	8,0—11,2 и выше	Гексагональная, плотная	Твердый раствор на основе азота	$(a)_\epsilon = (2,51 + 2,4) C_N$ $(c)_\epsilon = (1,21 \div 2,0) C_N$	22,2	$0,11052 + 0,388 C_N + 7,36t \cdot 10^{-6}$

* При температуре выше 591° образуется γ -фаза — твердый раствор азота в углероде: при 591° и концентрации азота 2,35% γ -фаза образует азотистый эвтектоид $\alpha + \gamma'$.

Влияние азотирования на предел выносливости стали [73]

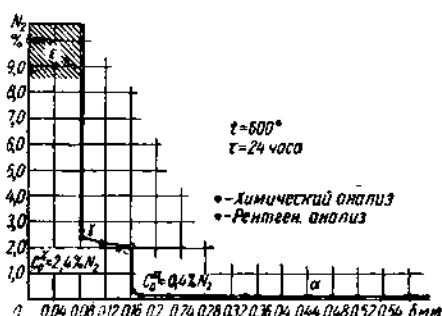
Марка стали	Термическая обработка	Механические свойства						
		H_V	σ_{sp} в кг/мм ²	δ в %	ψ в %	a_u в кг/мм ²	σ_{-1} в кг/мм ² *	σ_{-1k} в кг/мм ² **
18ХНМА	3, 860°, возд.: O_g , 520°	345	121,5	15,2	61,0	10,0	54,0	22,7
	3, 860°, возд.: O_g , 520°; A_3 520°; $\delta = 0,45$ мм	677—727	121,5	15,2	61,0	10,0	69,4	51,7
ЭИ355	3, 860°, возд.: O_g , 520°	345	125,0	14,8	57,2	6,6	50,0	17,8
	3, 860°, возд.: O_g , 520°; A_3 520°; $\delta = 0,35$ мм	766—825	125,0	14,8	57,2	6,6	67,4	65,5

* σ_{-1} при изгибе гладкого образца $\varnothing 7,52$ мм.** σ_{-1k} при изгибе образца с надрезом глубиной 0,24 мм, $r = 0,05$ мм, угол надреза 60°.

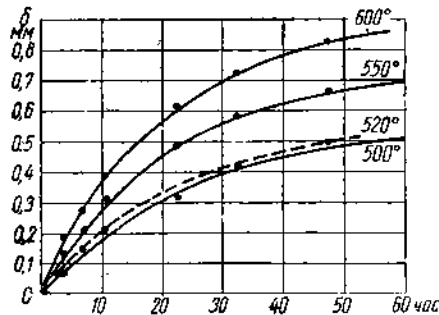
Кристаллическая структура нитридов

Стехиометрическая формула	$\frac{r_N}{r_M}$	Характеристика решетки		
		Тип решетки	Параметры решетки в Å	
ZrN	0,43	K12-6	$a = 4,59$	
ScN	0,47	K12-6	$a = 4,44$	
NbN	0,49	K12-6	$a = 4,41$	
TiN	0,51	K12-6	$a = 4,23$	
W_3N	0,51	K12-6	$a = 4,118$	
WN	0,51	Г8	—	
MoN	0,52	Г8-6	$a = 2,86$	
Mo_3N	0,52	K12-6	$c : a = 0,98$ $a = 4,128 \pm 4,16$	
VN	0,53	K12-6	$a = 4,13$	
MnN	0,53	K12-6	$a = 4,194 \pm 4,207$	
Mn_3N	0,53	Г12-6	$a = 2,773 \pm 2,883$ $c : a = 1,616 \pm 1,601$	
Mn_2N	0,53	K12-6	$a = 3,84$	
CrN	0,56	K12-6	$a = 4,14$	
Cr_3N	0,56	Г12-6	$a = 2,747 \pm 2,77$ $c : a = 1,616$	
Fe_3N	0,56	Г12-6	$a = 2,635 \pm 2,767$ $c : a = 1,61 \pm 1,62$	
Fe_2N	0,56	K12-6	$a = 3,79 \pm 3,83$ $a = 3,11$	
AlN*	—	—	$c : a = 1,6$	

* Нитрид AlN является фазой замещения; остальные нитриды являются типичными фазами внедрения



Фиг. 24. Изменение концентрации азота по глубине азотированного слоя [73].

Фиг. 25. Зависимость глубины азотированного слоя z от продолжительности процесса (сталь 3ХМЮА, пунктирная кривая соответствует стали марок 18ХНВА, ЭИ355 и 40ХМФА).

Коэффициент диффузии азота для отдельных фаз при азотировании стали [73]

Фаза	$D = f(T) \text{ см}^2/\text{сек}$	Коэффициент A	Теплопроводность азота, $\text{кал}/\text{см}^2\cdot\text{сек}\cdot\text{град}$
e	$D_e = 2,770 e^{-\frac{35250}{RT}}$	0,277	35250
T	$D_T = 0,335 \cdot 10^{-2} e^{-\frac{34660}{RT}}$	$0,335 \cdot 10^{-2}$	34660
a	$D_a = 4,67 \cdot 10^{-4} e^{-\frac{17950}{RT}}$	$4,67 \cdot 10^{-4}$	17950

Легирующие элементы — переходные металлы (вольфрам, молибден, хром, марганец и никель), а также кремний в сильной степени уменьшают глубину азотированного слоя.

Алюминий, наоборот, способствует повышению концентрации азота, увеличению глубины слоя и повышению его твердости. Наибольший эффект твердости получается при азотировании стали, содержащей алюминий, молибден и ванадий.

В практике отечественных заводов для азотируемых деталей применяется сталь марки 38ХМЮА (см. гл. III). В последнее время с целью повыше-

ния предела выносливости азотированнию подвергаются также стали хромистые, хромоникелевые, хромоникельвольфрамовые, хромоникельмолибденовые и др., например марок 18ХНВА, 18ХНМА, ЭИ355. Азотирование этих марок стали дает повышение твердости до 800 H_V .

Азотирование подразделяется: по условиям нагрева и выдержки на азотирование изотермическое — $Az_{изо}$; азотирование многоступенчатое $Az_{м-ст}$;

по условиям воздействия внешних сред на:

азотирование газовое — Az_g ;

азотирование жидкостное — $Az_{жк}$;

по условиям применимости на:

азотирование прочностное — $Az_{пр}$;

азотирование антакоррозионное — $Az_{акр}$.

Азотирование газовое Az_g осуществляется путем нагрева стальных деталей в герметически закрытых муфелях или печах в присутствии аммиака NH_3 , диссоциация которого допускается вплоть до 65% ($a_{NH_3} = 15 \div + 65\%$, нормально 15—30%). Давление аммиака в муфеле 80—120 мм вод. ст.

Азотирование жидкостное $Az_{жк}$ осуществляется путем пропу-

Режимы азотирования — $Az_{пр}$ * [73]

Режим азотирования	Вариант	1-я ступень			2-я ступень			3-я ступень			Глубина азотированного слоя, мм	Твердость на поверхности H_V
		$t, ^\circ C$	a_{NH_3} в %	τ_g в час.	$t, ^\circ C$	a_{NH_3} в %	τ_g в час.	$t, ^\circ C$	a_{NH_3} в %	τ_g в час.		
$Az_{изо}$ — изотермическое **	I	480—520	15—25	До 80	—	—	—	—	—	—	0,5—0,7	1050—1150
	II	540—560	30—50	35—65	—	—	—	—	—	—	0,5—0,6	950—1000
$Az_{2-ст}$ — двухступенчатое ***	I	500—510	< 25	18—20	550—575	35—55	20—24	—	—	—	0,5—0,7	900—1000
	II	540	30	10	570	30	8	—	—	—	0,35—0,45	900—1000
$Az_{3-ст}$ — трехступенчатое		500—520	20—35	15—18	600—620	50—70	18—20	550—570	35—50	4—5	0,5—0,8	950—1050

* С целью понижения хрупкости (фиг. 27) азотированного слоя после азотирования применяется процесс деазотирования при температуре 560—580° в течение 2—5 час. под потоком диссоциированного аммиака или в атмосфере воздуха.

** Режим азотирования гильзы цилиндра.

*** Режим азотирования шестерен.

сияния аммиака через соляную ванну с загруженными в нее деталями.

Для защиты деталей от коррозии через соль пропускается постоянный ток плотностью 0,1—0,25 A/dm^2 (деталь анод, графит — катод).

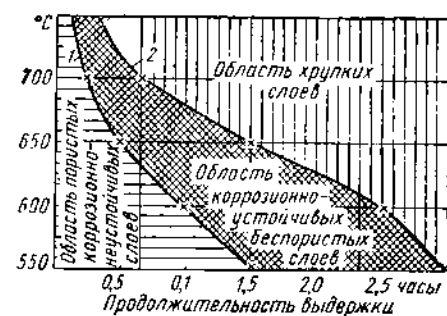
В настоящее время в промышленности применяется только газовое азотирование.

Азотирование изотермическое $Az_{изо}$ характеризуется выдержкой при одной из наиболее приемлемых, с точки зрения получения конечных результатов (высокая твердость 1050—1150 H_V при отсутствии хрупкой ϵ -фазы), температур в пределах 480—560°.

Азотирование многоступенчатое $Az_{м-ст}$ характеризуется ступенчатой выдержкой при различных температурах. Многоступенчатое азотирование применяется с целью повышения эффективности процесса (увеличение глубины слоя при минимальной продолжительности).

Азотирование прочностное $Az_{пр}$ применяется с целью повышения износостойчивости и предела вы-

носливости деталей в результате образования нитридов и нитридных фаз внедрения и как следствие — резкого повышения твердости (700—1150 H_V).



Фиг. 26. Технологические режимы антикоррозионного азотирования (медленное охлаждение после азотирования; при охлаждении в масле кривая 2 сдвигается вправо).

Азотирование антикоррозионное $Az_{акр}$ * разработанное советскими исследователями В. Д. Яхниной,

Режимы антикоррозионного азотирования — $Az_{акр}$ [73]

Азотируемые детали	Марки стали	t в °C		Степень диссоциации NH_3 в %	Продолжительность процесса t мин.		Закалочная среда	Глубина азотированного слоя в мкм
		азотирования	нагрева под закалку		азотирования	закалки		
Разные малоответственные детали	Малоуглеродистые	620 ≤ 650 ≤ 700	— — —	35—40 50 70	75—120 40—70 30—60	— — —	— — —	0,025—0,04 0,015—0,025 0,04—0,06
Мелкие детали (шестерни, валики, винты, штифты и др. сечением до 15 мм)	У7, У8, У10 ШХ15	780—790 830	— —	70—75 70—80	2—10 2—10	— —	Вода или масло Масло	— —
Крупные детали (шестерни, валики, винты и др.)	У7, У8, У10 ШХ15	600—700 600—700	780—790 830	70—80 70—80	5—30 5—30	5—7 5—7	Масло —	— —

* Отпуск после азотирования и закалки в зависимости от требуемой твердости производится при различных температурах в струе аммиака (при низком отпуске — без аммиака).

В. И. Просвириным и А. В. Рябченко-
ым, заменяет собой, а во многих слу-
чаях превосходит гальванические по-
крытия, применяемые с целью защиты
стальных и чугунных деталей от кор-
розии (см. фиг. 26).

Контроль азотированного слоя

Твердость — приборами с алмаз-
ной пирамидой (НВ или РВ) при на-
грузке 1—10 кг или 15, 30 и 60 кг.

Глубина:

- а) по излому контрольного образца;
- б) по макроструктуре при травлении
реактивами: 4% -ный раствор пикрино-

фильтр смачивается дистиллированной
водой и накладывается на испытуемую
поверхность детали. После 2—3 мин.
выдержки фильтр снимается, промыва-
ется холодной водой и сушится.

Поры в азотированном слое выяв-
ляются в виде синих точек на фильтре
(реакция между железом и железо-си-
неродистым калием).

Методы защиты от азотирования [73]

1. Лужение оловом (гальваническим
путем) при толщине покрытия 0,02—
0,05 мм.

Группа	Вид отпечатка	Определение	Примечание
I	◆ ◆ ◆ ◆	Некрупный	Во всех случаях допустимо
II	● ● ● ●	Слегка крупный	
III	■ ■ ■ ■	Хрупкий	Недопустимо на шлифованных поверхностях
IV	● ● ● ●	Очень хрупкий	Во всех случаях недопустимо

Фиг. 27. Шкала хрупкости азотированного слоя (ВИАМ).

вой кислоты в спирте или смесь спир-
товых растворов — 4% -ной азотной ки-
слоты и 4% -ной пикриновой кислоты
(10 : 2);

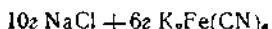
в) по микроструктуре (реактив тот же);

г) по кривым изменения твердости
от поверхности к сердцевине.

Хрупкость — по характеру отпе-
чатка от алмазной пирамиды прибора
НВ или РВ (фиг. 27).

Пористость (при антикоррозион-
ном азотировании) травлением.

Реактив:



растворяются в дистиллированной воде,
при 60° добавляется 2,5 г agar-agара.

Реактив наносится кистью на одну
сторону беззольного фильтра, и фильтр
просушивается. Перед испытанием

2. Никелирование при плотном и
мелкозернистом слое никеля толщиной
0,025—0,1 мм.

3. Обмазки:

а) смесь — 3 части порошка олова,
1 часть порошка свинца и 1 часть
хрома (для связывания) — растирается,
после чего разбавляется хлористым
цинком;

б) 6 частей SnO , 1 часть глицерина
и небольшое количество раствора со-
ляной кислоты с нашатырем; покрытые
этой пастой детали просушиваются при
200° и поверх покрытия накладывается
тонкая алюминиевая фольга;

в) свинцово-оловянная пыль (60 : 40)
разбавляется 13 частями смеси, состоя-
щей из 5 частей растительного масла,
1 части стеарина, 4 частей свиного сала,
2 частей пульверизированной смолы и
1 части хлористого цинка.

Износостойчивость стали, подвергнутой цианированию [40, вып. 26]

Марка стали	Термическая обработка		Средняя потеря в весе при износе в M_2 за 50 час.	
	Режим	H_{RC}	Круглые образцы	Призматические образцы
У10	З: О	61—62	1,65	1,5
12ХН3А	Ц: $\delta = 0,8 \div 1,0$ мм; З: О	61—63	0,87	0,93
12ХН3А	Цир: $\delta = 0,4 \div 0,5$ мм; З: О	60—62	0,46	0,4
20	Цир: $\delta = 0,4 \div 0,5$ мм; З: О	60—62	0,37	0,4

Цианирование

Цианирование Цир — процесс химико-термической обработки, обуславливающий поверхностное насыщение стали углеродом и азотом одновременно и повышение в этой связи механических свойств и износостойчивости.

Цианирование осуществляется путем нагрева стальных деталей в активных углерод- и азотсодержащих средах до температур, соответствующих максимальной абсорбции и диффузии углерода или азота, выдержки при этой температуре в зависимости от требуемой глубины слоя и последующей закалки или охлаждения на воздухе.

При высоких температурах преобладает насыщение стали углеродом, при низких — азотом.

Цианирование подразделяется:
по условиям нагрева на:
цианирование высокотемпературное — Цир_{в-т};
цианирование низкотемпературное — Цир_{н-т};

по условиям воздействия внешних факторов на:

цианирование жидкостное — Цир_ж;
цианирование газовое — Цир_г;

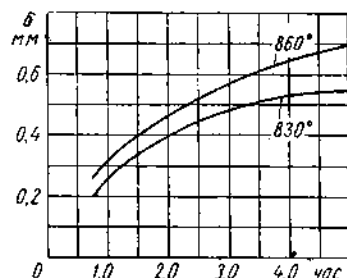
цианирование в твердой среде — Цир_{т-с}.

Высокотемпературное жидкостное цианирование Цир_{в-т, ж} ведется в ваннах двух видов — с цианидом натрия или калия ($NaCN$, KCN) и с цианидом кальция [$Ca(CN)_2$].

а) Ванны, содержащие $NaCN$ (или KCN).

Детали, предназначенные для цианирования, перед загрузкой их в ванну должны быть тщательно просушены во

избежание выплескиваний расплавленных солей. Температура процесса не



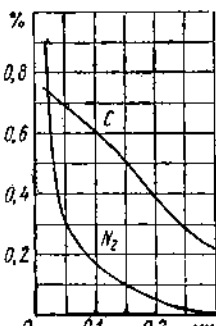
Фиг. 28. Зависимость глубины цианирования слоя стали марки 15 от продолжительности процесса (ванна с 50% $NaCN$; К. И. Терехов).

должна превышать 850° , так как это ведет к быстрому истощению ванны.

Практически применяемые температуры лежат в пределах $750 \div 850^\circ$ в зависимости от марки стали, требуемой глубины цианированного слоя и конфигурации цианируемых деталей.

Глубина цианированного слоя является параболической функцией продолжительности процесса (фиг. 28). Распределение концентрации углерода и азота по фиг. 29. Структура слоя состоит:

в поверхностных слоях из карбонитридных фаз $Fe_2(NC)$ и $Fe_4(NC)$ типа



Фиг. 29. Концентрация углерода и азота по глубине цианированного слоя (ванна 36—40% $NaCN$, $t = 850^\circ$, $t = 2$ часа; К. И. Терехов).

и т., в переходной зоне из мартенсита и троостомартенсита.

Для ведения процесса цианирования стали необходимо непрерывное окисление ванны.

Цианирование стали при проведении его в герметически закрытом тигле без доступа воздуха и других окислителей идет чрезвычайно медленно и дает очень слабый эффект.

Состав ванн высокотемпературного цианирования

Состав ванн в %			Темпера- тура пла- вления в °C
NaCN	Na ₂ CO ₃	NaCl	
20	40	40	
25	15—20	55—60	
30	20—25	45—50	580—610
40	30	30	

Для освежения ванн применяется технический высокопроцентный цианистый натрий, содержащий 85% NaCN, 20% NaCNO, 10% Na₂CO₃ и 1% NaCl, или среднепроцентный, содержащий 40—50% NaCN, 25—30% NaCl и 15—20% Na₂CO₃.

Минимальное содержание группы CN в работающей ванне должно поддерживаться на уровне 12—14% или, в пересчете на цианистый натрий или калий, 22—26% NaCN или 30—35% KCN.

Концентрация NaCN (или KCN) во время работы уменьшается и, кроме того, уровень соли в тигле снижается благодаря механическим потерям ее на "унос" с цианируемыми деталями и испарению.

Это требует добавления цианистых солей в ванну с расчетом получения в ней оптимального содержания 25% NaCN или 35% KCN.

б) Ванны, содержащие Ca(CN)₂.

Активный "цианплав" состоит из 30—35% Ca(CN)₂, 2—5% CaCN₂, 10—12% NaCN, 30—35% NaCl, 14—16% CaO, 4—5% С.

Рабочая ванна состоит из нейтральной части — 50—56% CaCl₂ (обезвоженного), 33—36% NaCl и активной части (цианплав — 7—10%), через каждые 2,0—2,5 часа при работе ванны в нее необходимо вводить 2—4% цианпласта.

Низкотемпературное жидкостное цианирование Цир_{н-т, ж} применяется с целью повышения режу-

щих свойств инструментов, изготовленных из быстрорежущих и высоколегированных марок стали.

Состав ванн для низкотемпературного цианирования инструмента (содержание солей в %)

Тип ванн	Активная часть	Нейтральная часть		Твердость HV после цианирования инструментов из стали марки РУ
		Na ₂ CO ₃	NaCl	
1	50—55	25—30	15—20	950—1100
2	25—35	45	25	
3	85—90	10—15	—	1000—1100

Инструменты подвергаются цианированию после их окончательной термической и механической обработки.

Температура цианирования для инструментов из стали Р9 находится в пределах 550—560°.

Глубина цианированного слоя зависит от содержания в ванне NaCN. Для ванн, содержащих не менее 50% NaCN или 60% KCN, рекомендуемая продолжительность процесса для различных видов инструментов приведена в таблице.

Глубина цианированного слоя быстрорежущей стали в зависимости от продолжительности выдержки при низкотемпературном цианировании

Продолжи- тельность выдержки в мин.	Глубина слоя в мк при содержании в ваннах NaCN		
	90%	50%	30%
5	0,008	0,006	0,006
15	0,020	0,018	0,015
30	0,035	0,030	0,030
45	0,037	0,035	0,035
60	0,045	0,043	0,040
120	0,055	0,055	0,052
360	0,080	0,075	0,070

Низкотемпературное цианирование инструментов из быстрорежущей стали впервые было разработано проф. Д. А. Прокошкиным и доц. В. Я. Дубовым.

Продолжительность жидкостного цианирования инструментов на глубину 0,02—0,03 мм*

Инструмент	Диаметр в мм	Продолжительность выдержки в мин. для стали марок Р18 и Р9	Инструмент	Диаметр в мм	Продолжительность выдержки в мин. для стали марок Р18 и Р9
Протяжки	5—10 10—15 15—20 20—30 30—40 > 40	8 12 14 15 18 20—30	То же с шагом резьбы 1,5—2 мм	—	8
Сверла, развертки и зенкеры	3—5 5—10 10—15 15—20 20—30 30—40 > 40	6 8 10 12 15 17 18—25	То же с шагом резьбы больше 2 мм Резьбонарезные фрезы с нешлифованным зубом и шагом резьбы до 1 мм **	— 40—50 50—70 70—90 90—100 > 100	10 11 12 13 14—15
Метчики с шагом резьбы до 1 мм	4—5 6—10 10—15 15—20 20—30 30—40 > 40	4 5 6 7 8 9 10—12	То же с шагом резьбы больше 2 мм	40—50 50—70 70—90 90—100 > 100	12 13 14 15 16—18
Метчики с шагом резьбы 1,0—1,5 мм	4—6 6—10 10—15 15—20 20—30 30—40 > 40	6 7 8 9 10 11 12—14	Червячные и шлицевые фрезы с нешлифованным зубом и модулем до 1,0 **	50—60 60—80 80—100 100—120 > 120	18 19 20 22 23—25
Метчики с шагом резьбы 1,75—2 мм	4—6 6—10 10—15 15—20 20—30 30—40 > 40	7 8 9 11 12 13 14—18	Фрезы цилиндрические фасонные и торцевые с шлифованным зубом	50—60 60—80 80—100 100—120 > 120 до 40 40—60 60—80 > 80	24 26 26 30 32—40 10—12 16 20 25—30
Метчики с шагом резьбы больше 2 мм	4—6 6—10 10—15 15—20 20—30 30—40 > 40	8 9 11 12 13 14 15—20	Дисковые фрезы	Толщина 1—2 2—5 5—10 10—15 > 15	6 8 12 15 18—23
Гребенки резьбовые с шагом резьбы до 1 мм	—	6—8	Резцы для шестерен с модулем 0,5—3,0	—	10—13
То же с шагом резьбы 1—1,5 мм	—	8—10	Фасонные тангенциальные резцы	25×30 30×45 40×40 40×50 40×60	15 18 22 26 26
То же с шагом резьбы 1,5—2 мм	—	10—12		40×60	26
То же с шагом резьбы больше 2 мм	—	12—15	Токарные и строгальные резцы	6×10 и 8×12 10×16 16×24 20×30 30×45	10 12 14 16 20
Плашки плоские с шагом резьбы до 1 мм	—	?			
То же с шагом резьбы 1—1,5 мм	—	?			

* Продолжительность выдержки в этой таблице дана исходя из работы ванн, содержащих не менее 50% NaCN или 60% KCN, при температурах 550—560° для режущего инструмента из стали Р9.

** Для инструментов (фрез) с шлифованным зубом продолжительность выдержки на 22—30% меньше.

Таблица составлена по уточненным данным Ц. А. Прокошкина и В. Я. Дубового.

Помимо вышеуказанных ванн для высоко- и низкотемпературного цианирования применяются также ванны на основе $K_4Fe(CN)_6$.

низа или нитромартенсита в поверхностной зоне и мартенситовой или троостомартенситовой зоны, расположенной под первой зоной.

Состав ванн жидкостного цианирования на основе $K_4Fe(CN)_6$

Состав ванны в %				Темпера- тура плавления в °C	Примечание
$K_4Fe(CN)_6 \cdot 3H_2O$	NaCl	BaCl ₂	KOH		
30—50	70—50	—	—	500	Для высокотемпературного цианирования
30—50	—	70—50	—		Для низкотемпературного цианирования
90	—	—	10	490	—
80	—	—	20		—

Цианирование газовое Цгп, является наиболее совершенным процессом одновременного насыщения стали углеродом и азотом.

а) Высокотемпературное газовое цианирование применяется для изделий из конструкционной стали с целью повышения их поверхностной твердости, износостойчивости и предела выносливости.

В качестве цианирующей среды для высокотемпературного газового цианирования деталей машин и инструментов (которое ведется при температурах 700—750 или 800—880°) применяется смесь, состоящая из 70—80% науглероживающего газа и 20—30% аммиака.

Науглероживающим газом может служить газ, полученный пиролизом керосина или мазута, природный газ с добавкой газа, полученного крекингом керосина или мазута, а также светильный газ.

Газовое цианирование применяется для деталей, изготовленных из среднеуглеродистой легированной стали типа 40Х, 35Г и т. п. При этом чем ниже содержание углерода в стали, тем более глубоким должен быть цианированный слой. Требуемая глубина цианированного слоя зависит также от степени нагруженности деталей при эксплуатации и от сечения детали.

После цианирования с этого же нагрева производится закалка деталей, после чего микроструктура поверхностного слоя состоит из нитроаусте-

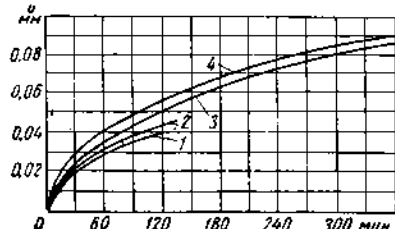
Состав смеси для газового цианирования

Название науглероживающего газа	Количество газа в смеси в %	
	Науглероживающий газ	Аммиак
Газ пиролиза керосина — ПГН	65—75	25—35
Генераторный газ (каменноугольный)	85—90	10—15
Светильный газ	70—75	25—30
Природный	60—70	30—40
Природный газ ультрародородов КГУ	25	25
Крекинг-газ ультрародородов КГУ	50	25
Природный газ	35	5
Продукты частичного скрекинга ПС-06	40	25
КГУ	75	25
Природный газ	35	5
КГУ	60	5
Пиробензол	50—60 капель в минуту	0,5—1,0 л/мин

* Состав газа в рабочем объеме печи при 900°: 10—15% CH_4 ; 50—60% H_2 ; 5—8% CO ; ~1,0% CO_2 .

б) Низкотемпературное газовое цианирование применяется для повышения режущих свойств и стойкости инструментов, изготовленных из быстрорежущей стали (фрезы, резцы, плашки, гребенки, зенкеры, зенковки, развертки, сверла,

протяжки, метчики). Перед цианированием инструменты проходят полную термическую и механическую обработку. Глубина цианированного слоя получается равной 0,02—0,4 мм (фиг. 30); поверхность твердость цианированных ин-



Фиг. 30. Зависимость глубины цианированного слоя стали Р18 от продолжительности процесса при температуре цианирования 560°. Содержание в ванне NaCN: 1 — 10%; 2 — 18%; 3 — 50%; 4 — 90% (Д. А. Прокошкин).

струментов находится в пределах 980—1150 HV (66—70 HRc). Перед цианированием инструменты должны быть тщательно очищены от окалины, соли и масла.

Температура цианирования инструментов должна совпадать с температурой их отпуска или быть ниже ее на 5—10°; так, для стали Р9 температура цианирования равна 550—560.

Продолжительность процесса цианирования в зависимости от диаметра или толщины цианируемых инструментов колеблется в пределах от 45 мин. до 2½ час.

Продолжительность газового цианирования инструментов в среде, содержащей 25—30% аммиака и 65—75% пиролизного газа
(по Ю. А. Геллеру и В. С. Барабаеву) (продолжительность выдержки указана после нагрева инструмента)

Инструмент	Диаметр или толщина в мм	Выдержка в мин.
Фрезы резьбовые: а) с шлифованным зубом (шаг 1—1,5 мм)	25—35 35—50 50—75 75—100	50—60 60—75 75—90 90—100
б) с нешлифованным зубом (шаг до 1 мм)	25—35 35—50 50—75 75—100	60—75 75—90 90—100 100—120
в) с нешлифованным зубом (шаг 1—1,5 мм)	25—35 35—50 >50	75—90 90—100 100—120

Инструмент	Продолжение	
	Диаметр или толщина в мм	Выдержка в мин.
Фрезы торцевые, цилиндрические и червячные: а) шлифованные	До 50 50—75 >75	90—100 100—120 120—150
б) нешлифованные	До 50 50—75 >75	100—120 120—150 150—180
Фрезы дисковые и шлифовочные	4—6 6—10 >10	50—60 75—90 90—120
Зенкеры и развертки	10—15 15—20 20—30 >30	60—75 75—90 90—120 120—150
Метчики: а) с шагом до 1 мм	10—15 15—20 20—30 >30	20—40 40—60 60—75 75—90
б) с шагом 1—1,5 мм	10—15 15—20 20—30 >30	40—60 50—75 75—90 90—120
Резцы тангенциальные	10×10 25×25	90—100 120—150
Сверла	10—15 15—20 20—30 30—40 >40	50—60 60—75 75—100 100—120 120—150

Цианирование в твердой среде Цирт применяется для режущих инструментов, прошедших окончательную термическую и механическую обработку.

Цианизатор состоит из смеси (по весу) 60—70% просушенного древесного угля (с величиной зерна 1—5 мм); 10—30% просушенной порошкообразной Na_2CO_3 и 20—40% $\text{K}_4\text{Fe}(\text{CN})_6$ или $\text{K}_3\text{Fe}(\text{CN})_6$ в порошке*, предварительно просушенной при 100—200°.

Инструмент упаковывается в ящики с засыпкой цианизатором: на дно ящика насыпают слой цианизатора в 20—30 мм; расстояние между инструментами и стенками ящика равно 20—30 мм; расстояние между инструментами 15—20 мм.

Цианирование инструмента ведется при температурах на 10—15° ниже температуры отпуска, т. е. для инструментов из стали и Р9 — при температуре 550—560; продолжительность выдержки при процессе цианирования приведена в таблице.

* Калиевые соли могут быть заменены натриевыми $\text{Na}_3\text{Fe}(\text{CN})_6$ или $\text{Na}_4\text{Fe}(\text{CN})_6$.

Продолжительность цианирования инструментов в твердом цианизаторе на глубину слоя 0,02—0,03 мм

Инструмент	Диаметр, мм	Продолжительность выдержки в час.
Резьбовые фрезы, шаг резьбы 2 мм .	35—40	1,5—2,0
Резьбовые фрезы, шаг резьбы 2,5—3,5 мм .	35—40	2,5—3,0
Червячные фрезы, шаг резьбы 4,25 мм .	—	3,0
Метчики, шаг резьбы <2 мм .	До 10	1,5—2,0
Метчики, шаг резьбы >2 мм .	10—25	2,0—3,0
Сверла .	До 5	0,5—1,0
	5—10	1,0—2,0
	10—25	2,0—3,0
Перовые черновые сверла .	70	1,5—2,0
Перовые комбинированные чистовые сверла .	60—70	2,5—3,0
Долбяки .	90	1,5—2,0
Резцы изаварные обдирочные .	—	1,0—1,5
Рецы прорезные .	—	1,5—2,5
Резцы дисковые резьбовые .	—	2,0—3,0

После выдержки при температуре процесса охлаждение инструментов до температуры 100—200° производят в ящиках вне печи.

Твердость цианированных инструментов 1000—1100 Н_у для стали Р9.

В практике применяется также цианирование пастами.

Для конструкционной стали паста вышеуказанного состава разводится 15% -ным раствором технической патоки или канцелярского клея до состояния краски.

Пасту наносят на деталь слоем в 3—4 мм (для глубины цианируемого слоя в 1,0—1,5 мм). Детали загружают в пустые цементационные ящики с песочным затвором. Процесс ведется при

920—930° с требуемой продолжительностью выдержки (например для пасты Стальит-2 продолжительность 1,5—2,0 часа при δ = 1,3 мм).

Состав паст для цианирования конструкционной стали [40, вып. 26]

Наименование составляющих паст	Содержание в % (весовых)				
	Сталь 1	Сталь 2	Паста 3	Паста 4	Паста 5
Сажа (голландская) или кокс (торфяной, малосернистый) .	30—60	30—60	35	45	40
BaCO ₃ .	—	—	15	20	15
Na ₂ CO ₃ и K ₂ CO ₃ .	20—40	20—40	20	20	20
K ₄ Fe(CN) ₆ .	5—10	5—10	15	15	20
Шавелевокислый натрий или калий .	—	5—10	—	—	—
Плав ГИПХ .	5—10	5—10	—	—	—
Муравьиокислый никель или шавелевокислый кобальт .	—	5—10	—	—	—
Феррохром .	—	—	15	—	—
Песок .	—	—	—	—	5

Для инструментальной и быстрорежущей стали при цианировании применяется паста состава (В. А. Иванов): 50% порошка древесного угля, 25% Na₂CO₃ и 25% K₄Fe(CN)₆, разведенная в 15% -ном водном растворе патоки. Паста наносится на инструмент слоем толщиной в 6—8 мм. После просушки пасты инструмент упаковывается в железный ящик с засыпкой чугунной стружкой. Продолжительность цианирования инструментов из углеродистой и легированной стали 2 часа при температуре отпуска. Инструмент из углеродистой и легированной стали нагревается до 780—820° в продолжение 2—3 час., закаливается и затем подвергается низкому отпуску.

Характеристика процессов диффузионной металлизации

[40, вып. 28] [94]

№ по пос.	Процесс	Темпера- тура в °C	Состав применяемых смесей	Глубина слоя δ в мк в зависи- мости от про- должительности процесса τ в час.	Примечание
Алитирование *					
1	Алитирование в твердой среде при нагреве деталей в жароупорных вращающихся ретортах	900—950	49% Al (порошок или пудра), 49% Al_2O_3 , 2% NH_4Cl . Предохранение от окисления производится введением N_2 или H_2	$\delta = 0,1 \div 1,0 \text{ мк}$ при $\tau = 2 \div 12 \text{ час.}$	
2	Алитирование в твердой среде при упаковке деталей в ящики	1050—1060	35—50% Al (пудра), 65—50% обожженной белой порошкообразной глины. При повторном использовании добавляется 5—10% Al (пудра)	$\delta = 0,6 \div 1,65 \text{ мк}$ при $\tau = 6 \div 15 \text{ час.}$ (после прогрева). Концентрация Al на поверхности $\sim 25\%$.	Алюминий диффундирует в металл, кроме того, наплавляется тонким слоем на поверхности Коэффициент диффузии алюминия в железе: $D_{900^\circ} = 0,33 \times 10^{-7} \text{ см}^2/\text{сек}$
3	То же (по ЦНИИТМАШ)	975—1000; предварительная выдержка при 750°, охлаждение в печи до 500—400°	37—47% Fe, 2—4% Cu, 0,5—0,25% NH_4Cl , остальное Al. Порошкообразная смесь, зерна $\sim 0,5 \text{ мк}$. При повторном использовании добавляется 10—30% свежего состава	$\delta = 0,1 \div 0,5 \text{ мк}$ при $\tau = 5 \div 6 \text{ час.}$ при диффузионном отжиге, при 900° с выдержкой 3 часа	Зазор между деталями $25 \div 40 \text{ мк}$, от стенок ящика и дна $30 \div 40 \text{ мк}$, верх $50 \div 60 \text{ мк}$, ящик с двойной крышкой, с засыпкой между стенками песком. Стойкость деталей обеспечивается при температуре $850 \div 950^\circ$
4	Алитирование газовое	600 один конец реторты, 900—1000 другой конец реторты	а) 45% Al (порошок или пудра), 45% Al_2O_3 , 10% NH_4Cl , остальное Fe. б) 55% Al, 3,4% Cu, остальное Fe. Поток газовой смеси $\text{H}_2 + \text{AlCl}_3$ по направлению к деталям	При $t = 900^\circ$ и $\tau = 120 \text{ мин.}$ $\delta = 0,08 \text{ мк};$ при $t = 1000^\circ$ и $\tau = 120 \text{ мин.}$ $\delta = 0,15 \text{ мк};$ при $t = 1050^\circ$ и $\tau = 120 \text{ мин.}$ $\delta = 0,22 \text{ мк}.$ Твердость 340—390 HV	—
5	Алитирование в расплавленном алюминии	750—800	92—94% Al, 6—8% Fe	$\delta = 1,0 \text{ мк}$ при выдержке в сплаве 45—60 мин. с последующим отжигом при $1100 \div 1150^\circ$ в течение 1,5 час.	На поверхности деталей образуется крупное соединение FeAl_3 (разлагающееся при длительном отжиге). Малая стойкость стальных тиглей

* Технология алитирования аустенитной стали не отличается от алитирования углеродистой стали: глубина слоя не ниже 0,10 мк; максимальная концентрация алюминия 28—30% (безуглеродистый твердый раствор).

Продолжение

№ по порядку	Процесс	Температура в °C	Состав применяемых смесей	Глубина слоя δ в мм в зависимости от продолжительности процесса τ в час	Примечание
6	Алитрирование электролитическое в расплавленных солях	700—800	75% AlCl ₃ , 25% NaCl или 50% AlCl ₃ , 50% NaCl	—	Анодом служит алюминиевая ванна, катодом — стальная деталь. Плотность постоянного тока — 0,5—1,0 а/дм ²
7	Алитрирование распыливанием жидкого алюминия	—	Нанесение слоя алюминия	δ = 0,25 ± 0,5 мм с последующим отжигом при 950—1000°	—

Хромированием

1	Хромирование в твердых средах	1050—1150 (925—1050)	а) 50—55% феррохрома (50—45% Cr, 4% C); 45—50% Al ₂ O ₃ ; 2% NH ₄ Cl; б) 65—70% феррохрома; 30—35% силикагеля (>80% SiO ₂ , 2—3% NH ₄ Cl); в) 60—65% феррохрома; 30—36% белой глины; 5% HCl	Глубина слоя δ = 0,1—0,3 мм, τ = 6—15 час. При 960°: τ = 1, δ = 0,03; τ = 2, δ = 0,05; τ = 4, δ = 0,08; τ = 6, δ = 0,10;	Концентрация 50—60% Al на глубине слоя 0,1 мм; D _{1150°} = 0,06·10 ⁻⁷ см ² /сек; D _{1200°} = 0,16 × 10 ⁻⁷ см ² /сек
2	Жидкостное хромирование	950—1000	Расплав содержащий NaCl, CrCl ₃ и феррохром. Например: 80% BaCl ₂ + 20% CaCl ₂ + добавка 10—15% CrCl ₃ (А. Н. Миникович)	—	Возможна непосредственная закалка изделий из ванны
3	Газовое хромирование	950 (950—1050)	Пропускание паров CrCl ₃ . Пары CrCl ₃ получаются пропусканием осущеных H ₂ и HCl через феррохром при 950°	δ = 0,06—0,10 мм. τ = 3 ± 5 час.	—

Алитрирование, главным образом в твердой среде и газовое, применяется для таких деталей, как топливники газогенераторов; колосники чугунные; пароперегревательные и обдувочные трубы; цементационные ящики; чехлы для термопар; электронагреватели и т. п.

Продолжение

№ пос. реж.	Процесс	Температура в °C	Состав применяемых смесей	Глубина слоя δ в м.м в зависимости от продолжительности процесса τ в час.	Примечание
Силицирование					
1	Силицирование в твердой среде с пропусканием газообразного хлора	1100—1200	а) Хлор пропускается через реторту, заполненную карбонитом или ферросилицием + 2% NH_4Cl вместе с деталями б) Хлор пропускается через реторту, заполненную на 70—90% ферросилицием, например, ферросилиция 75%, шамота — 20%, NH_4Cl — 5%. Введение в состав смесей NH_4Cl ускоряет процесс	$\delta = 0,5 \div 0,7 \text{ м.м.}$, $\tau = 2 \div 4 \text{ часа. Силицируются стали с содержанием} \leqslant 0,5\% \text{ C}$	Кремний диффундирует в γ-Fe; в пределе образуется α-фаза. $D_{2150^\circ} = 1,25 \times 10^{-7} \text{ см}^2/\text{сек. Максимальная концентрация кремния } 12\text{--}15\%; \text{ твердость слоя } 200\text{--}250 \text{ H}_{\text{B}}.$ Высокая сопротивляемость слоя коррозии в воде, морской воде, кислотах: азотной, серной и соляной; сопротивляемость окислению до 980°
2	Силицирование газовое	925—1050	То же, что и в первом случае, но детали располагаются в отдельной реторте с пропусканием через нее слабого тока хлора; в результате взаимодействия с SiC образуется SiCl_4	$\tau = 1100^\circ$ $\tau = 1, \delta = 0,8;$ $\tau = 2, \delta = 1,5;$ $\tau = 3, \delta = 2,0;$ $\tau = 980^\circ$ $\tau = 1, \delta = 0,3;$ $\tau = 3, \delta = 0,7;$ $\tau = 5, \delta = 0,9$	—
Хромосилирование					
1	В газовой среде, CrCl_3 и SiCl_4	950—1000	Пропускание хлора или $\text{HCl} + \text{H}_2$ или только H_2 через смесь ферросилиция и феррохрома в соотношении 1 : 1; образуется смесь, содержащая CrCl_3 и SiCl_4	Например, для стали марки 30 глубина слоя при выдержке 8 час., при использовании $\text{H}_2 - \delta = 0,07 \div 0,10 \text{ м.м.}; \text{HCl} + \text{H}_2 - \delta = 0,20 \div 0,25 \text{ м.м.}; \text{Cl}_4 - \delta = 0,50 \text{ м.м.}$	Смесь $\text{HCl} + \text{H}_2$ взрывоопасна. Хромосилированный слой обладает большей вязкостью, чем силицированный
Хромоалитирование					
1	В газовой среде, содержащей CrCl_3 и AlCl_3	950—980	а) Пропускание H_2 через реторту, содержащую 40% Al, 45% Al_2O_3 , 10% NH_4Cl ; при $600\text{--}650^\circ$ образуется газ CrCl_2 . б) Пропускание смеси $\text{H}_2 + \text{HCl}$ через реторту, содержащую феррохром с шамотом при $950\text{--}1000^\circ$; образуется газ CrCl_2 .	Например, для никелевого листа стали при выдержке 8 час., при 980° глубина слоя 0,3—0,4 м.м., при выдержке 3 часа: при $1000^\circ - 0,17 \text{ м.м.}$, $1050^\circ - 0,38 \text{ м.м.}$, $1100^\circ - 0,78 \text{ м.м.}$	Хромоалитирование изделий производится в отдельной реторте. Стойкость против окисления при температуре $1100\text{--}1200^\circ$

*

Контролируемые атмосферы

Защита стали от окисления и обезуглероживания при нагреве является первоочередной задачей технологов-термистов и имеет большое народно-хозяйственное значение.

Защита стали от окисления и обезуглероживания позволяет ликвидировать потерю металла от угарта (2-3% при термической обработке), снизить трудоемкость механической обработки за счет сокращения припусков, исключить операции очистки деталей от окалины и, наконец, повысить предел выносливости деталей, работающих при циклических нагрузках.

В зависимости от конечных условий взаимодействия газов со сталью атмосферы разделяются на: 1) защитные от окисления и обезуглероживания, применяемые при светлом отжиге и нормализации, светлой и частой закалке, пайке меди, спекании и т. п.; 2) науглероживающие, применяемые при газовой цементации и газовом цианировании, и 3) специальные, применяемые при азотировании, газовом хромировании и др.

Результаты взаимодействия газов со сталью и металлами вообще при нагреве определяются явлениями, протекающими во внешней по отношению к нагреваемому металлу среде, явлениями, протекающими на поверхности металла (на разделе фаз), и диффузионными (абсорбционными) явлениями, протекающими в объеме металла (в твердой фазе). Сущность процесса (окисление и восстановление окислов, науглероживание и обезуглероживание и т. п.) определяется взаимодействием внешней среды с поверхностью металла.

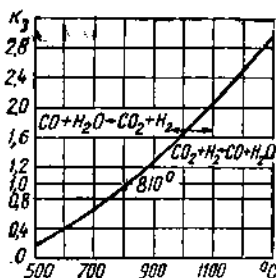
Главнейшие реакции взаимодействия газов со сталью приведены на фиг. 31-34.

Классификация контролируемых атмосфер приведена в таблице на стр. 170, а их применение — в таблице на стр. 168.

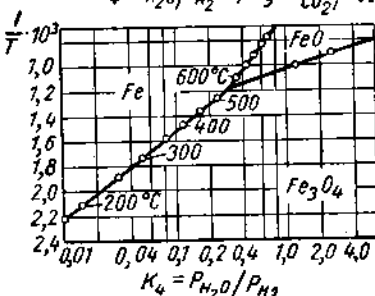
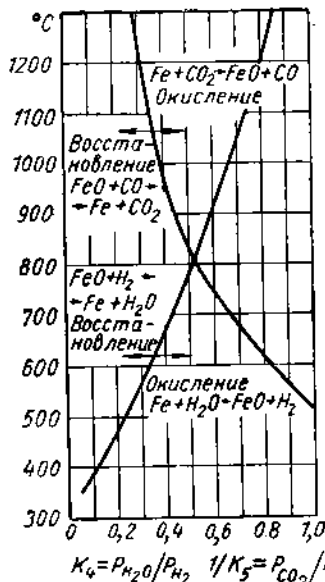
Наибольшее распространение в промышленности имеют атмосферы, получаемые путем сжигания (при $\alpha = 0.25 \div 1.0$) (фиг. 35) газов с последующей очисткой от двуокиси углерода этаноламиами и осушкой силикагелем или активированной окисью алюминия (атмосферы типа $\text{CO} - \text{CO}_2 - \text{H}_2 - \text{N}_2$).

Главнейшие реакции взаимодействия газов со сталью и константы их равновесия

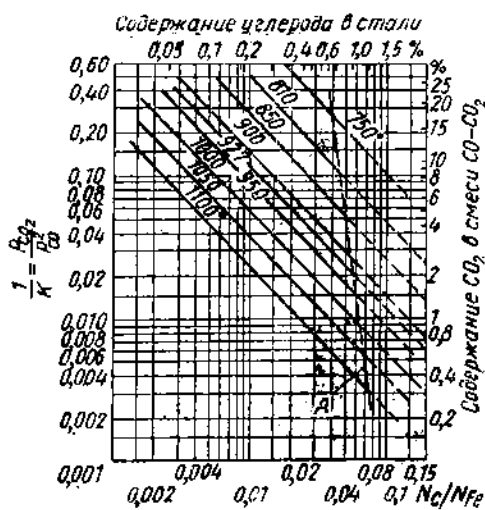
Температура в °C	$2\text{CO} = \text{CO}_2 + \text{C}$	$\text{C} + 2\text{H}_2 = \text{CH}_4$	$\text{H}_2\text{O} + \text{CO} = \text{H}_2 + \text{CO}_2$	$\text{Fe} + \text{H}_2\text{O} = \text{FeO} + \text{H}_2$	$\text{FeO} + \text{CO} = \text{Fe} + \text{CO}_2$			
	$K_1 = \frac{P_{\text{CO}}^2}{P_{\text{CO}_2}}$	$K_2 = \frac{P_{\text{CH}_4}^2}{P_{\text{H}_2}^2}$	$K_3 = \frac{P_{\text{H}_2}\cdot P_{\text{CO}}}{P_{\text{H}_2}\cdot P_{\text{CO}_2}}$	$K_4 = \frac{1}{K_5}$	$K_5 = \frac{P_{\text{H}_2\text{O}}}{P_{\text{H}_2}}$	$K_6 = \frac{P_{\text{CO}}}{P_{\text{CO}_2}}$		
400	$9,0 \cdot 10^{-5}$	$5,6 \cdot 10^{-2}$	0,081	12,3	0,107	9,35	—	—
450	$7,3 \cdot 10^{-4}$	0,164	0,135	7,38	0,158	6,33	0,87	1,15
500	$4,7 \cdot 10^{-3}$	0,422	0,205	4,88	0,214	4,67	0,952	1,05
550	0,0230	0,977	0,292	3,45	0,283	3,53	1,02	0,98
600	0,0960	2,09	0,394	2,55	0,334	2,99	1,18	0,848
650	0,343	3,92	0,513	1,96	0,377	2,65	1,36	0,735
700	1,06	7,16	0,650	1,56	0,425	2,35	1,52	0,657
750	2,96	12,3	0,794	1,27	0,463	2,16	1,72	0,582
800	7,48	20,1	0,950	1,05	0,500	2,00	1,89	0,529
850	17,46	31,8	1,12	0,891	0,564	1,83	2,05	0,487
900	37,76	48,3	1,31	0,765	0,590	1,69	2,20	0,455
950	76,70	71,0	1,49	0,668	0,625	1,60	2,38	0,420
1000	146,5	102,4	1,69	0,589	0,666	1,50	2,53	0,393
1050	—	—	1,90	0,527	0,750	1,41	—	—
1100	463,4	192	2,11	0,474	0,740	1,35	2,85	0,350
1150	—	—	2,30	0,433	—	—	—	—
1200	1244	235	2,51	0,395	0,793	1,26	3,16	0,317
1250	—	547	2,71	0,363	—	—	—	—
1300	2951	347	2,94	0,339	0,848	1,18	3,46	0,289



Фиг. 31. Кривая равновесия реакции водяного газа
 $\text{H}_2\text{O} + \text{CO} \rightleftharpoons \text{H}_2 + \text{CO}_2$



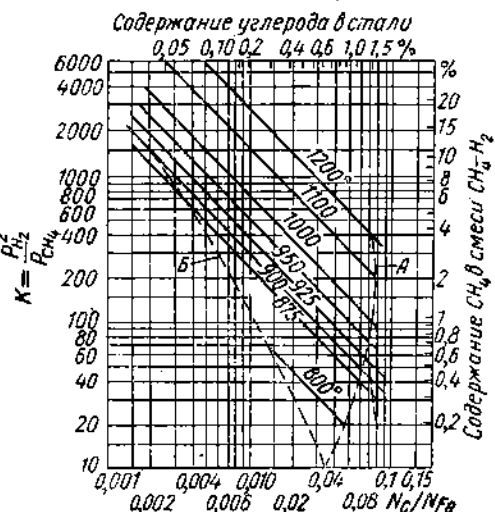
Фиг. 32. Кривые равновесия реакций
 $\text{Fe} + \text{H}_2\text{O} \rightleftharpoons \text{FeO} + \text{H}_2$
 $\text{FeO} + \text{CO} \rightleftharpoons \text{Fe} + \text{CO}_2$



Фиг. 33. Кривые равновесия системы $\text{CO} - \text{CO}_2 - \text{Pe}_1\text{C}$ для реакции: $\text{Fe} + 2\text{CO} \rightleftharpoons \text{C}(\text{Fe}_\gamma) + \text{CO}_2$

$$K = \frac{N_{Fe} P_{CO}^2}{N_{C} P_{CO_2}} ; \quad 3\text{Fe} + 2\text{CO} \rightleftharpoons \text{Fe}_3\text{C} + \text{CO}_2$$

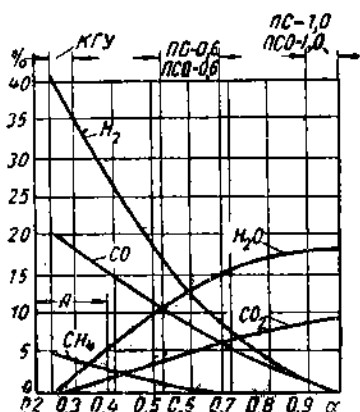
(кривая А); $P_{CO} + P_{CO_2} = 1.0$.



Фиг. 34. Кривые равновесия системы $\text{CH}_4 - \text{H}_2 - \text{Fe}_1\text{C}$ для реакций: $\text{C}(\text{Fe}_\gamma) + 2\text{H}_2 \rightleftharpoons \text{Fe} + \text{CH}_4$

$$K = \frac{N_{C} \cdot P_{H_2}^2}{N_{Fe} \cdot P_{CH_4}} ; \quad \text{Fe}_3\text{C} + 2\text{H}_2 \rightleftharpoons 3\text{Fe} + \text{CH}_4$$

(кривая А); $P_{H_2} + P_{CH_4} = 1$ (кривая Б для системы $\text{CH}_4 - \text{H}_2 - \text{Fe}_\alpha\text{C}$).



Фиг. 35. Состав продуктов частичного сжигания газов в зависимости от коэффициента избытка воздуха α (A — внешний нагрев камеры сжигания).

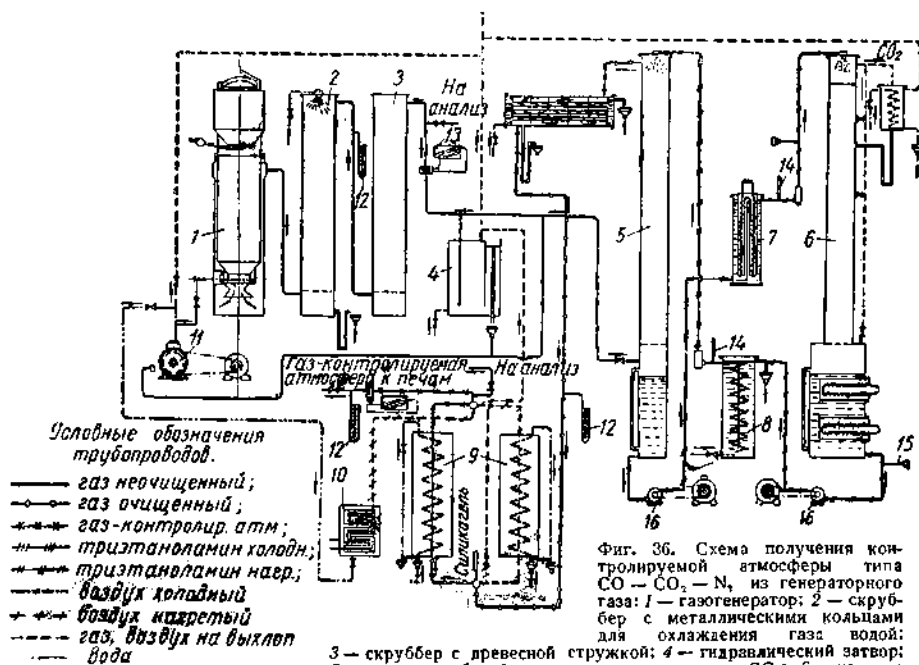
На фиг. 36 приведена технологическая схема получения атмосферы ПСО-1,0 из генераторного газа.

На указанной схеме типичными для приготовления атмосфер ГГО и ПСО (типа $\text{CO}-\text{CO}_2-\text{N}_2$ и $\text{CO}-\text{CO}_2-\text{H}_2-\text{N}_2$) являются элементы установки — абсорбер для поглощения двуокиси углерода водным растворомmono-, ди- или триэтаноламина и адсорбер для осушки газа силикагелем или алюмагелем.

В обоих элементах установки поглощение газа CO_2 и водяного пара происходит при низких температурах (15—30°), а восстановление поглотителей происходит при повышении температуры для этаноламина до 90—100°, а сикликагеля до 150—200°.

Процессы поглощения газа CO_2 и водяного пара, а также восстановление поглотителей — этаноламина и силикагеля происходят непрерывно.

При получении контролируемых атмосфер большое значение имеет также очистка газов от кислорода в колонках, заполненных активными средами.



5 — колонка абсорбера для очистки газа от CO_2 ; 6 — колонка абсорбера для восстановления абсорбента; 7 — пологреватель абсорбента; 8 — охладитель абсорбента; 9 — абсорбер (колонки с силикагелем); 10 — розжигонагреватель абсорбера; 11 — воздуховдука; 12 — манометры; 13 — приборы для определения расхода газа; 14 — термометры; 15 — регулятор температуры; 16 — насосы для перекачивания абсорбента.

Сравнение различных осушителей газов (воздуха)

Осушитель	Отношение часового объема осушиваемого газа к объему осушителя в m^3/m^3	Общий объем газа в l на $1 cm^3$ осушителя	Остаточная влажность газа		
			g/m^3	%	Точка росы в °C
$CuSO_4$, безводный	36—50	0,45—0,70	2,8	0,36	-6
$CaCl_2$, гранулированный	66—165	6,1—24,2	1,5	0,185	-14
$CaCl_2$, технический безводный	115—150	4,0—5,8	1,25	0,155	-15,5
$ZnCl_2$	120—235	0,8—2,1	0,98	0,12	-18
$Ba(ClO_4)_2$, безводный	26—36	2,3—3,7	0,82	0,10	-20
$NaOH$	75—170	2,3—8,9	0,80	0,10	-20
$CaCl_2$, безводный	75—240	1,2—7,8	0,35	0,046	-28
$Mg(ClO_4)_2 \cdot H_2O$	65—160	4,0—7,2	0,031	0,004	Ниже -50
KOH	55—65	3,2—7,2	0,014	0,0019	То же
Силикагель	43—59	2,1—5,2	0,006	0,0008	-
$CaSO_4$, безводный	75—150	1,2—18,5	0,005	-	-
CaO	60—90	7,6—10,1	0,003	-	-
$Mg(ClO_4)_2$, безводный	43—53	2,8—5,9	0,002	-	-
Al_2O_3 , активированный	36—63	5,6—6,2	0,001	-	-
BaO	63—66	10,6—25,0	0,00065	-	-

Физические свойства силикагеля марки КСМ Воскресенского химкомбината (ГОСТ 3956-47)

Насыпной вес	0,72 g/cm^3	Влагоемкость при 20°	8—10%
Удельная поверхность	350—450 m^2/g	Точка росы осущенного газа (содержание влаги 0,03 g/dm^3)	-52° до -54°
Удельный вес: кажущийся	1,28 g/cm^3	Скорость движения газа	0,2 dm/min
истинный	2,20		на 1 cm^2 площади сечения адсорбера
Пористость	41,8%		180—200°
Размер зерен $\varnothing 5—6 mm$	3,72% (весовых)	Остальное	Temperatura восстановления
$\varnothing 3—5$	81,5%		
$\varnothing 2—3$	12,7%		
$\varnothing 6$ и $\varnothing 2 mm$			

Физические свойства и динамическая активность некоторых подобных активному глинозему адсорбентов водяного пара

Наименование адсорбента	Насыпной вес в kg/m^3	Прочность на изстирание в весовых %	Динамическая активность (влагоемкость) в весовых %	Точка росы в °C
Активная окись алюминия (Физико-химический институт им. Л. Я. Карапова)				
Образец № 2	0,74	95,4	14,7	-55
№ 3	0,65	98,5	10,4	-55
Боксит (ВНИИГИ)	1,2	85,4	10,7	-60
Активная окись алюминия (НИИИФ)	0,62	98,0	17,1	-48
Гидроокись алюминия (НИИИФ)				
непрокаленная	0,65	98,8	14,3	-48
прокаленная	0,59	88,6	12,5	-56
Алюмосиликагель (НИИ МХП)	0,5	90,0	20,4	-55
То же (ВХХ)	0,77	98,7	23,0	-49—55
Алюмогель (химзавод)	0,4	93,0	13,0	-55
Глинозем (ВАЗ)	0,83	90,4—86,0	11,5	-53
Активный глинозем (ВНИИХИМАШ)*	0,85	94—97	11,5	-58—60

* При 20° и скорости воздуха 0,2 dm/min на 1 cm^2 по свободному сечению при высоте слоя 1000 mm .

Активный глинозем является наиболее эффективным адсорбентом, удовлетворяющим требованиям приготовления защитных атмосфер (системы: H_2 — N_2).

Физические свойства активного глинозема

Насыпной вес	0,85 кг/л
Удельная поверхность	270 м ² /г
(удельная поверхность силикагеля марки КСМ-350 — 450 м ² /г)	
Удельный вес: кожущийся	1,6 г/см ³
истинный	3,6 г/см ³
Общий объем воздушного пространства	76,0% (объемных)
Эффективный диаметр пор	25 ^Å
Размер зерен	Ø 5—6 мкм — 12% ₀ (весовых) Ø 3—5 мкм — 88% ₀ (весовых)

Размер зерен в мкм	Влагоемкость в %	Теплопроводность λ в ккал/м час град
2,4—4,7	0 15	0,094 0,105
4,7—9,5	0 15	0,105 0,112

Влагоемкость при 5° 10—13%₀
50° 4,4—7,8%₀
Temperatura восстановления (десорбции) 300—350° С

Тонкая очистка газов от кислорода

I. Препарат Научно-исследовательского и проектного института азотной промышленности для поглощения кислорода состоит из $\text{CuCl}_2 \cdot 2\text{H}_2\text{O}$, силикагеля и NaOH , приготовленного и прокаленного особым способом.

Адсорбент представляет собой шарики Ø 3—4 мм, восстановленные водородом при 200° после их приготовления.

Рабочая температура колонки при очистке газа равна 200°; газ очищается до содержания кислорода < 0,001%₀.

II. Препараторы: Ni — Al на пемзовой основе, Fe_2O_3 и MnO на шамотной основе и окись меди.

Окись меди при 350—450° дает степень очистки газа от кислорода до 0,002%₀ при продолжительности контакта до 100 мин. и 0,000X при ≥ 160 мин.

Для более высокой степени очистки, обеспечивающей при 200—250° С содержание кислорода на выходе 0,0000X%₀, может применяться препарат, приготовленный из $\text{CuCO}_3 \cdot \text{Cu}(\text{OH})_2$ растворением в аммиаке и осаждением на инфильтрированной земле.

Применение контролируемых атмосфер

Операция термообработки	Обрабатываемый металл	Температура процесса в °С	Требуемый вид поверхности	Рекомендуемые типы атмосферы
Отжиг	Малоуглеродистая сталь	650—750	Светлый	ДА: ДА-0,8; ПСО-1,0; ПС-0,6; ГГ;
	Средне- и высокоуглеродистая сталь	650—800		ГГО ПСО-1,0; ПС-0,6; ГГО
	Средне- и высокоуглеродистая легированная сталь	700—870	Светлый или чистый	ПСО-1,0; ПСО-0,6; ГГО; КГУ
	Быстро режущая сталь и инструментальная сталь, содержащая молибден	760—870	То же	ПСО-0,6; ПСО-1,0
	Хромистая и хромоникелевая нержавеющая сталь	980—1150	Светлый	ДА
	Медь	200—650		ПС-1,0; ГГ; ПС-0,6
	Латунь	425—735	Чистый	ПС-1,0; ГГ; ПС-0,6
	Медноникелевые сплавы	420—760	Светлый	ПС-0,6; ГГ
	Кремнемедистые сплавы	650—760	-	ПС-0,6; ГГ
	Чугун ковкий ферритный и перлитный	700—950	Светлый или чистый	ПС-0,6; ГГ; КГУ; ПС-0,6+исходный газ

ДА и Д-0,8 в печах с герметичными муфелями

Продолжение

Операция термообработки	Обрабатываемый металл	Температура процесса в °C	Требуемый вид поверхности	Рекомендуемые типы атмосферы
Нормализация	Малоуглеродистая сталь .	870—1000	Светлый или чистый	ПС-0,6; ГГ
Нормализация	Средне- и высокоуглеродистая сталь и легированная сталь	800—1100	Светлый или чистый	ПС-0,6; ПСО-1,0; ГГ-ВО; ГГО; КГУ
Закалка	Средне- и высокоуглеродистая сталь	760—980	Светлый или чистый	КГУ-ВО; КГУ; ПСО-0,6 + добавка исходного газа; ГГ-ВО; ГГО
	Средне- и высокоуглеродистая легированная сталь	760—980	То же	КГУ-ВО; КГУ; ПСО-0,6 и ПСО-1,0 + добавка исходного газа; КГУ-1000; КГУ
	Быстро режущая сталь .	980—1350		
Отпуск	Все классы стали	650	Светлый или чистый	ПС-0,6; ПС-1,0; ГГ
Пайка	Малоуглеродистая сталь .	1150	Светлый	ПС-0,6; ГГО
	Средне-, высокоуглеродистая и легированная сталь	1160		КГУ-ВО; КГУ; ПС-0,6; ПСО-1,0; ГГО
	Высокоуглеродистая и высокохромистая сталь .	1150		ДА
	Нержавеющая сталь .	1160		ДА
Пайка	Медь и латунь (пайка фосфористой медью или серебром)	650—870	Светлый	ПС-1,0; ПС-0,6
Спекание металлов (с восстановлением окислов)	Малоуглеродистые сплавы	980—1150	Светлый или чистый	КГУ-ВО; КГУ
	Высокоуглеродистые и специальные сплавы .	980—1150	То же	КГУ-ВО; КГУ
	Цветные сплавы .	760—980		КГУ-ВО; КГУ; ПСО-0,6
Газовая цементация	Все цементуемые марки стали . . .	900—980	Чистый или светлый	ПС-0,6 или ПСО-0,6 + добавка исходного газа; КГН; ПГН+КГН ГГО + добавка углеводородов; КГУ + добавка исходного газа
Газовое цинкование	Среднеуглеродистые и легированные стали	750—870	Чистый или светлый	To же, что и для газовой цементации
	Быстро режущие стали	540—680	To же	+ аммиак в концентрации 10—30%

Характеристика контро-

лируемых атмосфер

Тип атмосферы	Наименование и метод получения атмосферы	Условное обозначение атмосферы	Коэффициент избытка воздуха α
$H_2 - H_2O - N_2$	Продукты диссоциации аммиака с последующей осушкой	ДА	—
	Продукты частичного сжигания диссоциированного аммиака	ДА-0,8	0,70—0,95 0,88
$CO - CO_2 - N_2$	Генераторный газ, полученный в газогенераторе с внешним обогревом, при температуре процесса во всем объеме генератора $\geq 1200^\circ$	ГГ-ВО	—
	Генераторный газ древесный, древесноугольный, каменоугольный (бессернистый)	ГГ	—
	То же, очищенный от CO_2 и осушенный	ГГО	—
$CO - CO_2 - H_2 - N_2$	Продукты сжигания газов	ПС-1,0	0,95
	То же, очищенные от CO_2 и осушенные	ПСО-1,0	0,95
	Продукты частичного сжигания газов	ПС-0,6	0,55—0,65
	То же, с последующей очисткой от CO_2 и осушкой	ПСО-0,6	0,55—0,65
	Крекинг-газ углеводородных газов при внешнем подогреве крекинг-камеры до температуры $\geq 1000^\circ$	КГУ-ВО	0,25—0,28
	Продукты сжигания газов (или генераторный газ) с последующей очисткой от CO_2 и осушкой путем пропускания через реторту с древесным углем при 1000 — 1200°	ПС-эндо ГГ-эндо	0,6—0,65
$CO - CO_2 - CH_4 - H_2 - N_2$	Крекинг-газ углеводородных газов при внешнем подогреве крекинг-камеры до температуры $\leq 1000^\circ$	КГУ	0,25—0,28 0,25—0,28
	Крекинг-газ нефтепродуктов (керосина, масел и т. п.)	КГН	0,25—0,28
	Пирол-газ нефтепродуктов (керосина, мазута и т. п.) без доступа воздуха при 650 — 850°	ПГН	—
	Крекинг-газ нефтепродуктов (крекирование пирол-газа в смеси с водяным паром при температуре 900 — 950°)	КГН	$PGN : H_2O = 1 : 1,25$

Примерный состав в %					Точка росы в $^\circ C$	Выход газа в m^3/kg или в m^3/m^3	Главные элементы установок для получения атмосферы
CO_2	CO	H_2	CH_4	N_2			
—	—	75	—	25	—55 до —60	2,64	Испаритель, диссоциатор и адсорбер
		1—15 10	—	Остальное 90	—40	4,4—3,9 4,1	Испаритель, диссоциатор, камера частичного сжигания, скруббер-охладитель, рефрижератор и адсорбер
$\leq 0,5$	32—34	Следы	—	Остальное	+15	5,0	Газогенератор, водяной скруббер-охладитель
		$\leq 7,0$	4—6	1—2	”	+15	5,0
		Следы	28—32	4—7	2—3	—40	4,6
$\leq 0,2$	≤ 3	$\leq 0,5$ 1,2	—	Остальное	+15 +4	—	Камера сжигания и скрубберы-охладители
		≤ 3 1,5	—	94,0	—40 —40 —40	—	Камера сжигания, охладители, адсорбер и адсорбер
		≤ 3 1,2	—	97,1	—	—	
	≤ 2	$\leq 0,5$ 0,5	—	Остальное 70,7	+15 +4	—	То же, что для атмосферы ПС-1,0
		≤ 2 0,5	—	72	—40 —40	—	То же, что для атмосферы ПСО-1,0
		≤ 2 1,0	—	—	—	—	
	≤ 2	$\leq 0,5$ 0,5	—	Остальное	+15 +4	$\sim \alpha V_B + 1$	Крекинг-генератор, скрубберы для охлаждения и очистки газа, рефрижератор
		≤ 2 1,0	—	72	—40 —40	—	
		≤ 2 0,8	—	41,7	—	—	
$\leq 0,6$	≤ 2	$\leq 0,5$ 0,5	—	Остальное	+15 +4	—	Камера сжигания с ретортой, заполненной древесным углем, охладитель
		≤ 2 0,5	—	72	—40 —40	—	
		≤ 2 0,8	—	40,0	—	—	
	≤ 2	$\leq 0,5$ 0,5	—	—	—	—	Камера сжигания с ретортой, заполненной древесным углем, охладитель, адсорбер
		≤ 2 0,5	—	—	—	—	
$\leq 1,5$	≤ 12	$\leq 0,5$ 1,2	—	Остальное	+15 +15	$\sim \alpha V_B + 1$	Крекинг-генератор, скрубберы для охлаждения и очистки газа
		≤ 12 10	—	94,0	—40 —40 —40	—	То же
		≤ 12 10	—	97,1	—	—	
	≤ 12	$\leq 0,5$ 1,2	—	—	—	—	
		≤ 12 10	—	—	—	—	
$\leq 1,0$	≤ 2	$\leq 0,5$ 0,5	—	Остальное	+15	$2,6—2,8$	
		≤ 2 0,5	—	72	—40 —40	—	
	≤ 2	$\leq 0,5$ 0,5	—	—	—	—	
		≤ 2 0,5	—	—	—	—	
$\leq 1,0$	≤ 16	$\leq 0,5$ 0,5	—	Остальное	+15	$1,1$ (при $PGN : KGN = -0,4 : 0,6$)	Пирол-крекинг-установка
		≤ 16 10	—	94,0	—40 —40 —40	—	
		≤ 16 10	—	97,1	—	—	
$\leq 1,0$	≤ 16	$\leq 0,5$ 0,5	—	—	—	—	
		≤ 16 0,5	—	—	—	—	

РЕКОМЕНДУЕМЫЕ РЕЖИМЫ ТЕРМИЧЕСКОЙ ОБРАБОТКИ

Схемы прохождения деталей по цехам
(основных объектов производства)

Маршрут деталей *	Факторы, определяющие назначение схемы	Объекты термической обработки (примерные)
$K - T_1 - M - C6$ $L - T_1 - M - C6$	Заданная твердость деталей $\leq 270 - 300 H_B$, позволяющая производить последующую механическую обработку резанием Отсутствие требований по поверхностному упрочнению детали	Штампованные траки тракторов, шатуны карбюраторных автомобильных и тракторных моторов, подвески рессор, малонагруженные шестерни станков, вагонные оси и т. п.
$K - T_1 - C6$ $L - T_1 - C6$	Отсутствие механической обработки, любая заданная твердость детали	Рессоры; пружины горячей кавитации; литье траки тракторов и другие детали, изготавляемые из стали марки ЭИ256 (Г13)
$K - T_1 - M -$ $-T_1 - M - C6$	Заданная твердость детали больше $270 - 300 H_B$ Требования, предъявляемые в отношении свойства поверхностного слоя (цементация, азотирование и т. п.) Требования по механическим свойствам	Коленчатые и распределительные валы двигателей; тяжело нагруженные шестерни всех машин; шпинделы станков и др.
$K - T_1 - M -$ $-ГП - T_2 - ГП -$ $-M - C6$	Требование местной защиты при химико-термической обработке (цементации и азотировании) гальваническим покрытием Требование обезжикивания поверхности детали и последующего гальванического покрытия	Валик водяного насоса двигателя; тяжело нагруженные шестерни со шлицевыми отверстиями; гильзы цилиндра двигателей (азотируемые) и т. п.
$K - T_1 - M - T_2 -$ $- M - T_1 -$ $- M - C6$	Снятие припуска на механическую обработку после цементации, перед закалкой, при отсутствии защиты мест, не подлежащих цементации, например, выверливание отверстий, нарезание шлицев	Поршневые пальцы мотора, шестерни со шлицевыми отверстиями и т. п.
$T_1 - M - T_2 - M - C6$	Поступление на завод-изготовитель заготовок, не обработанных термически (ковок или проката)	Гильзы цилиндра из трубной заготовки; нормали из пруткового материала (стали)
$M - T_1 - M -$ $- T_2 - M - C6$	Аналогично схеме $K - T_1 - M - T_2 - -M - C6$, но при изготовлении деталей из пруткового материала	
$M - T_2 - M - C6$	Изготовление деталей из пруткового материала (стали)	Нормали: болты, шпильки, вальмы и валики, поршневые пальцы
$M - T_2 - C6$	Отсутствие требований по чистоте поверхности	Пальцы траков тракторов; нормали — болты и гайки, сухари, валики, втулки
$XП - T_1 - XП - C6$	Глубокая вытяжка — штамповка деталей из листового материала	Корпус масляного фильтра мотора; фара автомобиля и др.
$XП - T_2 - C6$	Требуемая твердость не менее $256 H_B$	

* Обозначения цехов: К — кузнецкий, T_1 и T_2 — 1-й и 2-й термические, М — механический, С6 — сборочный, Л — литейный, ГП — цех гальванических покрытий, ХП — холдингопрессовый.

Схемы технологических процессов термической обработки

Схема	Применение
1. Отж или $H - M$	Для поковок или отливок из углеродистой стали при $H_B \leq 207$
2. З - $O_H - M$	Для поковок или отливок из легированной стали при $H_B \leq 270 - 300$
3. Отж или $H - Z - O_H - M$	Для поковок сложной конфигурации крупногабаритных из среднеуглеродистой качественной стали при $H_B \leq 270 - 300$
4. З	Для отливок (траков) из стали марки ЭИ256 (Г13)
5. $H - M - Ц - З - O_H - M$	Для цементуемых деталей из углеродистой стали
6. $H - M - Ц - З, \text{ или } H - Z - O_H$	То же из качественной высоколегированной стали, деталей ответственного назначения
7. $H - M - Ц - O_H - Z - O_H$	То же из стали, имеющей большое количество остаточного аустинита в цементованном слое после закалки. Сталь марок 20Х2Н4, 18ХНВА и т. п.
8. Отж или $H - M - Ц - З - H\text{-то} - O_H$	То же
9. $H - M - Ц (З) - O_H$	То же для шестерен из стали 18ХГТ, 20Х2Н4, 18ХМВА (дает минимальное коробление)
10. $H - M - Цир - O_H$	Для всех цинкируемых деталей машин из сталей марок 40, 40Х и т. п.
11. Отж или $H - M - З - O_H$	Для большинства улучшаемых деталей, для штампов горячего и холодного деформирования металлов, для инструментов из быстрорежущей стали
12. Отж - $M - Z - O_H - H\text{-то} - O_H$	Для инструмента из быстрорежущей стали и для стали, содержащей после закалки большое количество остаточного аустинита
13. $H - M - З_{пос} - O_H$	Для деталей, не требующих упрочнения сердцевины
14. $Z - O_H - M - З_{пос} - O_H$	Для деталей ответственного назначения, требующих упрочнения сердцевины — коленчатые валы, шестерни и т. п.
15. $M - Цир - O_H$	Для болтов, гаек, шайб и других нормалей
16. $M - Ц (З) - O_H \text{ или } M - Ц - Z - O_H$	То же
17. ХП - З - O_H	Для деталей холодной штамповки, для болтов, и других нормалей
18. ХП - $H - ХП - H$	Для деталей холодной штамповки промежуточный отжиг — нормализация
19. Отжс (H) — $M - Z - O_H - M - Aз$ или $H - O_H - M - Z - O_H - M - O_H - Aз$	Для азотируемых деталей
20. $H - M - Ц - M - Z - O_H$	Для деталей, имеющих припуск, снимаемый механической обработкой после цементации
21. Отж - $M - Z - O_H - M - Цир$	Для режущего инструмента из быстрорежущей и высоко-легированной стали (Х12)

Приложение. Для схем 5—8 и 10 термическая обработка поковок (отливок) может быть проведена, в зависимости от марки стали, при применении только нормализации или нормализации плюс высокий отпуск, или только отжига.

Типовые режимы термической обработки наиболее употребительных марок конструкционной стали

Марка стали	Предварительная термическая обработка поковок (отливок):	Окончательная термическая обработка:
10 * и 15	$H, 900 - 920^{\circ}\text{C}; \leq 143^{\circ}\text{C} H_B$	I Ц, $900 - 940^{\circ}\text{C}$; З, 790°C ; в; $O_H, 150 - 180^{\circ}\text{C}$ $H_{RC} \geq 56, \leq 30$ (сердцевина) II Цир, $820 - 860^{\circ}\text{C}$, в; $O_H, 150 - 180^{\circ}\text{C}$
20	$H, 880 - 900^{\circ}\text{C}; \leq 156^{\circ}\text{C} H_B$	I Ц, $900 - 940^{\circ}\text{C}$; З, 790°C ; в; $O_H, 150 - 180^{\circ}\text{C}$ $H_{RC} \geq 56, \leq 30$ (сердцевина) II Цир, $820 - 860^{\circ}\text{C}$, в; $O_H, 150 - 180^{\circ}\text{C}$

* Может применяться и как окончательная термическая обработка.

Продолжение

Марка стали	Предварительная термическая обработка поковок (отливок)	Окончательная термическая обработка
35	$H, 850-870^\circ; \leq 187 H_B^*$	$\exists, 840^\circ, \text{в};$ $O_B, 540-580^\circ; 228-269 H_B$ $\exists, 830-850^\circ$
40**	I $H, 840-860^\circ; \leq 207 H_B^*$ II $\exists, 850^\circ, \text{в};$ $O_B, 560-580^\circ, \text{возд.; } 156-196 H_B$	$\exists, 840^\circ, \text{в};$ $O_B, 300-400^\circ; 364-444 H_B$ $O_B, 400-450^\circ; 321-415 H_B$ $O_B, 510-550^\circ; 241-286 H_B$ $O_B, 540-580^\circ; 228-269 H_B$ $O_B, 580-640^\circ; 192-228 H_B$
45	I $H, 830-850^\circ; \leq 217 H_B^*$ II $\exists, 820-840^\circ, \text{в};$ $O_B, 580-640^\circ, \text{возд.; } 192-228 H_B$	$\exists, 810-830^\circ, \text{в или } 840^\circ, \text{м}$ $O_B, 510-560^\circ; 241-286 H_B$ $O_B, 560-600^\circ; 192-235 H_B$
50	I $H, 820-840^\circ; \leq 228 H_B$ II $H, 850^\circ; O_B, 660^\circ \text{ возд.; } \leq 228 H_B^*$ III $\exists, 850^\circ, \text{в};$ $O_B, 590-600^\circ; \leq 228 H_B$	$\exists, 820-840^\circ, \text{в};$ $O_B, 560-620^\circ; \leq 241 H_B$ $O_B, 450^\circ; \sim 269 H_B$ $O_B, 550^\circ; \sim 248 H_B$ $O_B, 650^\circ; \sim 228 H_B$
60	I Отж., или $H, 810^\circ; 187-207 H_B$	$\exists, 820-840^\circ, \text{м или в};$ $O_B, 550-620^\circ; 207-241 H_B$ $O_B, 400^\circ; 321 H_B$ $O_B, 500^\circ; 286 H_B$ $O_B, 600^\circ; 223 H_B$
85	I Отж., 800-820° II $H, 740-760^\circ;$ $O_B, 650-680^\circ; \leq 228 H_B$	$\exists, 800^\circ, \text{м или в};$ $O_B, 340-380^\circ; 47-54 H_{RC}$ $O_B, 480-520^\circ; 38-48 H_{RC}$ $O_B, 520-580^\circ; 30-43 H_{RC}$ $O_B, 560-600^\circ; 26-33 H_{RC}$
35Г2	I Отж., 775°; 179 H_B II $H, 840-860^\circ; 241 H_B$ III $\exists, 800-820^\circ, \text{в};$ $O_B, 620-645^\circ; 255-302 H_B$	$\exists, 810^\circ, \text{в};$ $O_B, 620-640^\circ; 223-302 H_B$ $\exists, 820-840^\circ;$ $O_B, 550-620^\circ; 217-241 H_B$ $O_B, 350^\circ; 415 H_B$ $O_B, 450^\circ; 321 H_B$ $O_B, 550^\circ; 269 H_B$ $O_B, 650^\circ; 217 H_B$
45Г2	I Отж., 775-800°; 187 H_B II $H, 830-850^\circ; \leq 241 H_B$ III $\exists, 830-850^\circ, \text{м};$ $O_B, 550-600^\circ; 269-321 H_B$	$\exists, 840^\circ, \text{м};$ $O_B, 620-640^\circ, \text{в}; 225-302 H_B; O_B, 300^\circ;$ $447 H_B; O_B, 400^\circ; 401 H_B; O_B, 500^\circ; 321 H_B$ $O_B, 600^\circ; 268 H_B$

* Может применяться и как окончательная термическая обработка.

** См. табл. на стр. 177

Продолжение

Марка стали	Предварительная термическая обработка поковок (отливок)	Окончательная термическая обработка
50Г	I Отж, 775—800°; 187 H_B II H , 820—840°; < 241 H_B III H , 860°; O_g , 660° IV З, 840° в; O_g , 560—570°; 207—228 H_B	З, 830°, м; O_g , 550—650°; 241—286 H_B (З, 840, в; O_g , 550—620°) O_g , 400°; 321 H_B O_g , 500°; 286 H_B ; O_g , 600°; 223 H_B
60Г	I Отж, 775—800°; < 228 H_B II H , 840°; III З, 830—850°, м; O_g , 610—670°	З, 800—820°, м; O_g , 480—530°; 269—321 H_B O_g , 650—680°, 179—229 H_B
65Г	I Отж, 775—800°; < 229 H_B II H , 840° III З, 830—850°, м; O_g , 610—670°	З, 800°, м; O_H , 280—320°; 47—54 HRC
15Х 20Х	I H , 880—900°; < 179 H_B II З, 860°, м; O_g , 500°	I Цк, 900—920°; З, 800—820°, м; O_H , 180—200° II Цк, 900—920°; З, 780—800°, в; O_H , 180—200°; > 58—60 HRC ; 20—32 (сердце- вина) III Цк, 900—920°; ЗI, 850—870°, в или Н; ЗII, 780—800°, в; O_H , 180—220°; 58—60 HRC
40Х (38ХА)	I H , 850—870°; < 207 H_B II H , 885—940°; III H , 850°; O_g , 660°	I З, 850—870°, м; O_g , 425°; 363 H_B ; O_g , 540°; 293 H_B ; O_g , 650°; 223 H_B II З, 850° в; O_g , 550—580°; 235—248 H_B O_g , 600—620°; 196—212 H_B III Цкп, 810—830°, м; O_H , 180—200°; 48—56 HRC
45Х	H , 840—860°; < 228 H_B	I З, 840°, м; O_g , 485°, в; 302—341 H_B ; O_g , 580—620°, в; 255—285 H_B ; O_g , 600—650°, в; > 241 H_B
25СГ 35СГ	I H , 930°; 187—228 H_B II H , 930°; O_g , 600°; 163 H_B III З, 910—930°, в; O_g , 580—620°; 229 H_B	I З, 920°, в; O_H , 230°; 388—407 H_B ; O_g , 475°; 302—363 H_B ; O_g , 680°; 217—255 H_B
40CX	I Отж, 880°; 241—269 H_B II H , 900°; O_g , 660°	I З, 900—920°, м или в; O_H , 240—260°; 388—555 H_B ; O_g , 450—500; 341—415 H_B ; O_g , 560—610; 269—321 H_B ; O_g , 600—650°; 255—302 H_B ; O_g , 630—680°; 241—285 H_B II З, 880—900°, м O_H , 250—280°; > 47 HRC O_H , 280—320°; 47—54 HRC O_g , 430—470°; 38—43 HRC O_g , 580—620°; 33—37 HRC O_g , 650—690°; 20—30 HRC

Продолжение

Марка стали	Предварительная термическая обработка поковок (отливок)	Окончательная термическая обработка
40ХН	Отж, 820—850°; ≤ 207 HB	З, 820—840°, м; O _g , 550—600°, в или м; 255—286 HB
12ХН2	H, 885—940°; ≤ 207 HB	I З, 815—870°, м; O _g , 425°; 311 HB; O _g , 540°; 248 HB; O _g , 700°; 174 HB II ЦМ, 900—920°; З, 760—780°, м; O _g , 180—200°; ≥ 58, 23—28 HRC (сердцевины) ЦМ, 900—920°; З ₁ , 850—870°, м или H; З ₁₁ , 760—780°, м; O _g , 180—200°; ≥ 58 HRC
12ХН3	H, 885—940°; 156—228 HB	I ЦМ, 900°; З, 760—800°, м; O _g , 150—180°; ≥ 58 HRC, 26—40 HRC (сердце- вины) II Ц(КР), 840—860°, O _g , 150—180°
12Х2Н4	I H, 885—940°; 187—255 HB II H, 920—950°; O _g , 640—660°; ≤ 268 HB	I ЦМ, 900°; З, 800°, м; O _g , 180°; ≥ 60, 35—45 HRC (сердцевины) II ЦМ, 910°; O _g , 600—650°; З, 800°, м; O _g , 180°; ≥ 60 HRC III З, 815—845°, в, м; O _g , 200°; 335 HB O _g , 500°; 250 HB O _g , 650°; 175 HB
18ХНВА 18ХНМА	H, 950°; O _g , 650°; 197—269 HB	I ЦМ, 900°; З, 760—780°, м; O _g , 150—170°; ≥ 58 HRC, 35—47 HRC (сердцевины) II З, 860—900°; возд.; O _g , 180—220°; 311—387 HB III З, 850°, возд.; O _g , 550—590°, в; 302—341 HB
35ХМ	I H, 880°; 241—285 HB II З, 850°, в; O _g , 600—640°; 207—241 HB	I З, 850—870°, м или в; O _g , 600—640°, в или м; ≥ 221 HB II З, 850°, в; O _g , 550—560° возд.; 241—285 HB
35ХГ2	H, 870°	З, 840°, м; O _g , 620—640°; 228—269 HB
20ХГС	—	З, 880, м; O _g , 500—520°; ≥ 228 HB
30ХГС	—	З, 870, м; O _g , 640—660, в или м; ≥ 285 HB
35ХГС	—	З, 860—880°, м; O _g , 500—550°, в или м; ≥ 235 HB

Продолжение

Марка стали	Предварительная термическая обработка поковок (отливок)	Окончательная термическая обработка
38ХМЮА	H_u , 930—970°; O_g , 600—650°	β , 930—950°, м.; O_g , 600—675°, мех. обр. O_g , 550—600°, $t = 3 + 10$ час., A_3 , 500—650°
45ХНМФА	Отж., 850—860°	β , 860—880, м.; O_g , 390—420°; 415—477 H_B O_g , 460—530°; 363—444 H_B O_g , 550—600°; 321—363 H_B O_g , 600—650°; 260—321 H_B

П р и м е ч а н и е. В данной таблице температуры отжига, нормализации и закалки даны применительно к деталям сечением ≤ 120 мм; для более крупных сечений указанные температуры должны несколько повышаться.

Механические свойства закаленной стали марки 40 в зависимости от типа закалочной среды и температуры отпуска [133]

Показатель прочности	Температура отпуска °C	Закалка		
		при 850° в масле	при 820° в воде 35°	при 820° в 5%ном растворе NaOH 35°
σ_T в кг/мм ² :	300	68	100	112
	400	62	90	95
	500	55	75	80
σ_{dp} в кг/мм ² :	300	88	105	126
	400	78	100	110
	500	68	85	100
δ_s в %:	300	16	9	5
	400	18	12	12
	500	20	14	14

Термическая обработка заготовок Ø 25 мм, образцов Ø 20 мм.

Механические свойства стали марки 40Х в зависимости от температуры отпуска после закалки с 860° в масле [133]

Температура отпуска °C	Механические свойства		
	σ_{dp} в кг/мм ²	ϕ в %	σ_N в кг/мм ²
После закалки	180	9	1,2
150	199	32	5,75
175	202	—	8,54
200	193	41	5,37
225	190	41	4,42
250	184	44	4,18
275	171	44	2,51
300	167	47	2,80

Типовые режимы термической обработки инструментальной стали

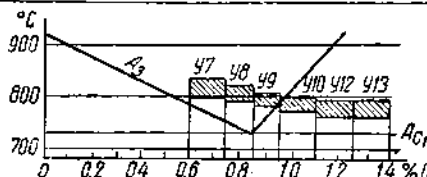
Марка стали	Предварительная термическая обработка	Окончательная термическая обработка
Быстро режущая сталь		
P18	Отж., 830—850°; Изо, 720—750°; $\tau_g = 5 \div 6$ час.; 217—255 H_B	I β , 800—850°; 1280—1310°; 60—63 H_{RC} II β , 350—400°, 800—850°, 1260—1300°; 63—65 H_{RC} I-II O_g , 550—570° трехкратный; 63—65 H_{RC} Цир, 550—560°; 1050—1200 H_V
P9	Отж., 830—850°; Изо, 720—750°; $\tau_g = 4 \div 5$ час.; 228—255 H_B	I β , 800—850°; 1230—1260° (резцы); 61—63 H_{RC} II β , 350—400°; 800—850°; 1210—1240°; 62—64 H_{RC} I-II, O_g , 550—570° трехкратный, 63—65 H_{RC} Цир, 550—560°; 1050—1200 H_V (67—72 H_{RC})

Продолжение

Марка стали	Предварительная термическая обработка	Окончательная термическая обработка
Легированная инструментальная Ледебуритная		
Х12		
	<i>Отж.</i> , 850–870°, <i>Изо.</i> , 720–750°; $\tau_g = 4 \div 5$ час.; 228–255 H_B	I β , 1000–1050°, м, распл. соль или возд.; 60–63 H_{RC} ; O_H , 400–425°; трехкратный; 60–63 H_{RC}
X12M	<i>Отж.</i> , 850–870°, <i>Изо.</i> , 720–750°; $\tau_g = 4 \div 5$ час.; 217–255 H_B	II β , 1115–1130°, м, распл. соль или возд.; 45–50 H_{RC} ; O_H , 500–520°; трехкратный; 60–63 H_{RC}
ХВ5		
	<i>Отж.</i> , 800–820°, <i>Изо.</i> , 670–700°; $\tau_g = 3 \div 4$ час.; 207–255 H_B	I β , 820–860°, м или в; 64–67 H_{RC} ; $O_H \approx 100^\circ$; 65–67 H_{RC} ; (O_H , 130–150°)
Заэвтектоидная и эвтектоидная сталь		
X, ШХ15 ШХ12	<i>Отж.</i> , 770–790°, <i>Изо.</i> , 670–700°; $\tau_g = 3 \div 4$ час.; 197–228 H_B	β , 835–855°, м или в; 62–64 H_{RC} O_H , 160–180°; $\geq 61 H_{RC}$
X, X09, ШХ9	<i>Отж.</i> , 770–780°, <i>Изо.</i> , 690–720°; $\tau_g = 3 \div 4$ час.; 187–228 H_B	β , 825–840°, м или в; 62–65° O_H , 160–180°; $\geq 61 H_{RC}$ O_H , 220–240°; 58–60 H_{RC}
9ХС	<i>Отж.</i> , 780–810°, <i>Изо.</i> , 680–730°; $\tau_g = 3 \div 4$ час.; 207–241 H_B	β , 850–870°, м или распл. соль; 62–64 H_{RC} O_H , 230–260°; $\geq 61 H_{RC}$ O_H , 275–320°; 55–60 H_{RC} (O_H , 170–190°)
ХГ	<i>Отж.</i> , 790–810°, <i>Изо.</i> , 700–730°; $\tau_g = 3 \div 4$ час.; 217–255 H_B	β , 840–860°, м; 63–66 H_{RC} O_H , 160–180°; $\geq 61 H_{RC}$ O_H , 220–240°; 58–60 H_{RC}
ХВГ	<i>Отж.</i> , 770–790°, <i>Изо.</i> , 700–730°; $\tau_g = 3 \div 4$ час.; 197–227 H_B	β , 820–840, м или распл. соль; 62–64 H_{RC} O_H , 160–180°; $\geq 61 H_{RC}$
9ХВГ	<i>Отж.</i> , 770–790°, <i>Изо.</i> , 690–720°; $\tau_g = 3 \div 4$ час.; 187–228 H_B	β , 810–830°, м или распл. соль; 61–64 H_{RC} O_H , 160–180°; $\geq 61 H_{RC}$
7Х3	<i>Отж.</i> , 780–800°, <i>Изо.</i> , 700–730°; $\tau_g = 3 \div 4$ час.; 207–241 H_B	β , 820–860°, м; 627–652 H_B ; O_B , 480–550°; 360–420 H_B (штампы)
Х05, ШХ6	<i>Отж.</i> , 770–790°, <i>Изо.</i> , 670–700°; $\tau_g = 3 \div 4$ час.; 217–255 H_B	I β , 800–825°, м; 62–65 H_{RC} O_H , 160–180°; $\geq 61 H_{RC}$ O_H , 230–275°; 56–60 H_{RC} II β , 780–800°, в; 63–65 H_{RC} O_H , 160–180° (150–250°) $\geq 61 H_{RC}$ (для мелкого и простой формы инструмента)

Продолжение

Марка стали	Предварительная термическая обработка	Окончательная термическая обработка
B1	Отж., 750—770°, Изд., 670—700°; $t_g = 3 \div 4$ час.; 187—228 H_B	I 3, 810—830°, м: 60—62 H_{RC} O_H , 150—170° II 3, 790—810°, ; 65—67 H_{RC} O_H , 150—170° O_H , 220—240° (для плашек)
Ф	Отж., 740—780°	I 3, 820—840°, м: 60—62 H_{RC} O_H , 150—170° II 3, 790—820°, 63—65 H_{RC} O_H , 150—170°
Дозавтектоидная		
5ХНМ	Отж., 760—790°; 207—241 H_B или O_B , 650—690°; 187—228 H_B	3, 820—860°, м: 512—578 H_B (52—58 H_{RC}); O_B , 520—550°; 320—410 H_B
5ХГМ	То же	3, 820—850°, м: 512—578 H_B ; O_B , 540—560°; 300—380 H_B
4ХВ2С и 5ХВ2С	Отж., 800—820°; 207—241 H_B или O_B , 690—730°; 190—235 H_B	3, 850—900°, м: 460—555 H_B (48—56 H_{RC}); O_B , 550—600°; 300—350 H_B
4ХС, 35ХГС	Отж., 840—870°; 207—241 H_B или O_B , 700—740°; 196—235 H_B	3, 850—900°, м: 444—555 H_B (47—54 H_{RC}); O_B , 600—660°; 280—310 H_B 3, 890—920° (для 35ХГС)
30ХГС	То же	3, 890—920°, м: 418—512 H_B ; O_B , 520—560°; 280—320 H_B
3Х2В8 или 2Х13 и 4Х13	—	3, 1050—1100°, м: 477—512 H_B O_B , 600—620°; 360—470 H_B ; O_B , 300°. $t = 5$ час. (для 2Х13 и 4Х13)
35ХЮА 38ХМЮА	Отж., 840—870°; 207—241 H_B ; Отж., 780—900°; 207—241 или O_B , 700—740°; 187—235 H_B	3, 890—940°, м: 444—555 H_B (418—512 H_B для 35ХЮА); O_B , 575—625; 310—350 H_B
Углеродистая		
У7 — У8	Отж., 750—770°, Изд., 600—650°; $t_g = 1 \div 2$ час.; 170—187 H_B	3, 780—830°, в или ж, через воду в масло, 60—63 H_{RC} O_H , 160—180°; $\geq 61 H_{RC}$
У9 — У13	Отж., 750—770°, Изд., 620—680°; $t_g = 1 \div 2$ час.; 179—207 H_B	3, 760—810°, в; через воду в масло, 62—64 H_{RC} O_H , 160—180°; O_H , 100° (реэцы) $\geq 61 H_{RC}$ (см. фигуру)



Температуры закалки углеродистой инструментальной стали

Технология термической обра

Процесс термической обработки (в скобках указаны встречающиеся на практике термины, обозначающие данный процесс)	Марка или тип чугуна	Режим термической обработки		
		Условия нагрева	Температура нагрева в °C	Выдержка
1. Термическая обработка для снятия внутренних напряжений *				
Отжиг низкотемпературный — <i>Отж_{н-т}</i> (Отжиг для снятия внутренних напряжений, стабилизирующий отжиг, стабилизация, старение, искусственное старение)	Серый чугун (детали сложной конфигурации)	Медленное (70—100°/час)	500—550°	Достаточная для прогрева всех частей детали при заданной температуре (1—8 час. в зависимости от конфигурации и массивности детали)

2. Термическая обработка, связанная с разложением цементита

Отжиг графитизирующий низкотемпературный — <i>Отж_{г-т}</i> (Отжиг для уменьшения твердости. Смягчающий отжиг, Отжиг для улучшения обрабатываемости, низкий отжиг, отжиг и др.)	Серый чугун: (графитизирующая сталь) ковкий чугун, антифрикционный ковкий чугун (при недоведении до конца или отсутствии второй стадии графитизации); сверхпрочный чугун со сфероидальным графитом *	Медленное, для деталей сложной конфигурации; ускоренное для деталей простой конфигурации	Несколько ниже A_1^{**} 650—750° (700—750°)	Достаточная для полного или требуемого частичного распада эвтектоидного цементита (для серого чугуна $\tau_g = 1—4$ часа, для ковкого $\tau_g = 60$ час.)
Отжиг графитизирующий — <i>Отж_{г-т}</i> *** (Отжиг на ковкий чугун, томление, графитизирующий отжиг)	Белый чугун, отбеленный чугун, серый чугун и чугун с глобуллярным графитом	Медленное для деталей сложной конфигурации; ускоренное для деталей простой конфигурации	900—1050° (1-я стадия графитизации) 800—700° (2-я стадия графитизации)	Достаточная для полного распада свободного цементита и установления структуры: аустенит — углерод отжига (1-я стадия графитизации)

* Первый вид термической обработки чугуна не связан с фазовыми превращениями, все остальные

** Критическая точка A_1 для чугуна, с достаточной для практики точностью может быть установлена по эмпирической формуле: $A_1 = 730 + 28 Si - 25 Mn$, где Si и Mn — процентное содержание Si и Mn.

*** Графитизирующий отжиг применяется также для отбеленного или половинчатого чугуна с целью охлаждение замедленное при прохождении интервала критических температур или ускоренное на воздухе перлит (сorbit) + графит.

ботки чугуна (М. Н. Кунявский)

Охлаждение	Структурные фазовые превращения	Исходная структура	Конечная структура после термической обработки	Назначение термической обработки
снятия внутренних напряжений *				
Медленное (20—50°/час) до окончательного перехода в область упругих деформаций, —до ~ 200°. Далее охлаждение на воздухе	Нет	Любая	Практически такая же, как исходная	Снятие напряжений, повышение прочности, вязкости, исключение коробления и трещин при механической обработке и в эксплуатации
с разложением цементита				
Медленное для деталей сложной конфигурации и ускоренное для деталей простой конфигурации	Распад эвтектоидного цементита	a) Перлит + графит б) перлит+графит в) перлит + феррит + графит	Перлит+феррит+графит феррит+графит	Улучшение обрабатываемости резанием, снятие внутренних напряжений; в случае ковкого и сверхпрочного чугуна с глобуллярным графитом — повышение пластичности, ударной вязкости и антифрикционных свойств, а также повышение магнитных характеристик
Замедленное (<250—300°/час) до интервала критической температуры; в интервале 800—700° очень медленное (2—3°/час) или длительная выдержка несколько ниже A_1 . После 2-й стадии графитизации охлаждение до 650° медленное и далее на воздухе	Распад эвтектического, вторичного и эвтектоидного цементита	Ледебурит+перлит	Феррит + углерод отжига	Превращение хрупкого и твердого чугуна в мягкий и пластичный ковкий чугун

виды процессов термической обработки связаны с фазовыми превращениями, по эмпирической формуле: $A_1 = 730 + 28 Si - 25 Mn$, где Si и Mn — процентное содержание Si и Mn. снятие отбела по режиму: $t = 850—950^{\circ}\text{C}$; $\tau = 0,5—5,0$ час. для установления структуры аустенит+графит; (нормализация графитизирующая); конечная структура — перлит+феррит + графит. феррит + графит или

Продолжение

Процесс термической обработки (в скобках указаны встречающиеся на практике термины, обозначающие данный процесс)	Марка или тип чугуна	Режим термической обработки		
		Условия нагрева	Температура нагрева в °C	Выдержка
Отжиг графитизирующий неполный — <i>Отжиграф, н-п</i> (Отжиг на перлитный ковкий чугун, отжиг на перлитоферритный ковкий чугун, спек, виды ковкого чугуна, антифрикционный ковкий чугун и др.)	Белый чугун	Медленное для деталей сложной конфигурации; ускоренное для деталей простой конфигурации	900—1050° (1-я стадия графитизации) 800—700° (2-я стадия графитизации)	Достаточная для полного распада свободного цементита и установление структуры: аустенит — углерод отжига (1-я стадия графитизации)
Отжиг графитизирующий со сфероидизацией — <i>Отжиграф, с-ф.</i> (Отжиг на зернистый перлит, специальный ковкий чугун, отжиг на сфероидизированный перлитный ковкий чугун)	То же	То же	900—1050° (1-я стадия графитизации)	То же
Отжиг графитизирующий сверхускоренный — <i>Отжиграф, с-у</i> * (Сверхускоренный отжиг, дисперсионный отжиг, скоростной отжиг с предварительной закалкой)	То же	Предварительный нагрев до 900—950°; $t_b = 0,5\text{--}1,0$ час., закалка в масле, воде или в расплавленных солях (250—300°) или нормализация при 900—950°	900—1050°	То же, но выдержка в 6—7 раз меньшая

3. Термическая обработка для увеличения

Нормализация — <i>Н а</i>) серого чугуна (Термическая обработка для повышения твердости, упрочнение серого чугуна и др., сорбитизация)	Серый чугун, модифицированный серый чугун	Медленно для деталей сложной конфигурации и ускоренно для деталей простой конфигурации	850—950°	Достаточная для насыщения аустенита углеродом (0,5—3,0 часа)
б) ковкого чугуна	Ковкий чугун	В зависимости от конструкции деталей	860—920°	То же (1,0—2,0 часа)

* Применяется также сверхускоренный графитизирующий высокотемпературный (1100—1150°) отжиг = 1—10 мин. при нагреве в соляных ваннах, до 30 мин. при электронагреве токами промышленной частоты и 3—6 сек. при электронагреве т. в. ч. с предварительной закалкой.

Охлаждение	Структурные фазовые превращения	Исходная структура	Конечная структура после термической обработки	Назначение термической обработки
Ускоренное до интервала критических температур, неполная выдержка во второй стадии графитизации	Распад эвтектического, вторичного и частично эвтектоидного цементита	Ледебурит + перлит	Перлит + углерод отжига или перлит + феррит + углерод отжига	То же, и повышение сопротивляемости износу при повышении твердости и прочности
Охлаждение ниже A_1 , длительная выдержка для сфероидизации эвтектоидного цементита	Распад эвтектического и вторичного цементита; сфероидизация эвтектоидного цементита	Ледебурит + перлит или ледебурит + перлит + графит	Зернистый перлит + графит	Улучшение обрабатываемости резанием, повышение прочности и вязкости
То же, что при <i>Отжиграф</i> , но выдержка в 7—10 раз меньшая	Распад эвтектического вторичного и эвтектоидного цементита	Ледебурит + перлит	Феррит + углерод отжига; включение углерода отжига в 1500—2000 раз больше, а их размер мельче	Превращение хрупкого и твердого белого чугуна в мягкий и пластичный ковкий чугун

КОЛИЧЕСТВА СВЯЗАННОГО УГЛЕРОДА

Ускоренное, обеспечивающее превращение аустенита в перлит (на воздухе) для деталей простой конфигурации, замедленное с 600—550° для деталей сложной конфигурации На воздухе	Насыщение аустенита углеродом и распад аустенита	Феррит + графит, или феррит + перлит + графит	Перлит + графит, или сорбит + графит	Повышение прочности и износостойчивости После нормализации применяется также высокий отпуск
Образование аустенита; превращение аустенита в перлит	Феррит + углерод отжига или феррит + перлит + углерод отжига	Перлит или сорбит + углерод отжига	Повышение прочности и износостойчивости После нормализации применяется высокий отпуск при 650—680° с выдержкой 1,0—1,5 часа	

при нагреве в соляных ваннах или при электронагреве т. в. ч.: продолжительность выдержки t = 3—4 мин. при нагреве в соляных ваннах и 3—6 сек. при электронагреве т. в. ч. с предварительной закалкой.

Продолжение

Процесс термической обработки (в скобках указаны встречающиеся на практике термины, обозначающие данный процесс)	Марка или тип чугуна	Режим термической обработки		
		Условия нагрева	Температура нагрева в °C	Выдержка
4. Термическая обработка, связанная с получением неравновесных структур				
Закалка — З (Улучшение)	Серый и ковкий чугун	В зависимости от конструкции деталей	830—900°	Достаточная для растворения углерода в γ-железе (0,5—3,0 часа)
Закалка изотермическая — Зизо	Белый, серый и ковкий чугун	То же	830—900°	10—90 мин.
Закалка поверхности — Зпов *	Серый и ковкий и модифицированный чугун	Нагрев поверхностного слоя газовым пламенем, т. в. ч., в электролите	900—1000°	При $W_y = 1,0 \text{ квт/см}^2$ $\tau = 6-8 \text{ сек.}$ $a = 3-4 \text{ мм}$
Отпуск — O	Все типы чугуна в закаленном состоянии	При загрузке в печь с температурой отпуска	Выше A_1 , в зависимости от требуемой твердости	0,5—2,0 часа (до 3 час.)
5. Химико-термическая обработка, связанная с обезуглероживанием поверхностного слоя				
Отжиг обезуглероживающий — Отжобез.	Белый чугун	Медленно в окислительной среде (с упаковкой в смесь 25% свежей + 75% отработанной железной руды)	900—1050°	Достаточная для обеспечения требуемого обезуглероженного слоя ($\delta = 1,5-2,5 \text{ мм}$ за 60—90 час.)
Азотирование — Аз Азотированиe — Азакр Алитирование — Алт Хромирование — Хр				
6. Химико-термическая обработка с насыщением				
			См. табл. характеристики	

* Применяется также сверхускоренный графитизирующий высокотемпературный (1100—1150°) отжиг при нагреве в соляных ваннах или при электронагреве т. в. ч.; продолжительность выдержки 1—10 мин. при нагреве в соляных ваннах, до 30 мин. при электронагреве токами промышленной ча

Охлаждение	Структурные фазовые превращения	Исходная структура	Конечная структура после термической обработки	Назначение термической обработки
получением неравновесных структур				
В воде или в масле	Превращение аустенита в неравновесные структуры	Перлит + графит (или углерод отжига в ковком чугуне)	Мартенсит, троостит + графит или углерод отжига	Повышение твердости, прочности и износостойчивости
В расплавленной соли при 200—400°	Изотермический распад аустенита	Перлит + графит; феррит + перлит + графит (или углерод отжига)	Игольчатый троостит + графит	То же, при сохранении пластичности
В воде, масле или масляной эмульсии	Превращение аустенита в неравновесные структуры	Перлит + графит (или углерод отжига в ковком чугуне)	В поверхностном слое — мартенсит или троостито-мартенсит	Повышение твердости и износостойчивости поверхности (48—53 HRC)
На воздухе	Распад неравновесных структур в более равновесные; превращение остаточного аустенита	Мартенсит + + остаточный аустенит + троостит + + графит	Троостит + + сорбит; сорбит	Снижение твердости, снятие закалочных напряжений; повышение вязкости и пластичности
поверхностного слоя специальными элементами				
Вместе с печью	В поверхностном слое до 1,5—2,5 мм полное обезуглероживание; в центре разложение цементита и частичный распад аустенита	Ледебурит + + перлит	В поверхностном слое — феррит, в сердцевине — перлит + углерод отжига или перлит + + феррит + + углерод отжига	Превращение твердого и хрупкого белого чугуна в мягкий, легко обрабатываемый с повышенной прочностью и удовлетворительной пластичностью

при нагреве в соляных ваннах или при электронагреве т. в. ч.; продолжительность выдержки 3—6 сек. при электронагреве т. в. ч. с предварительной закалкой.

Режимы отжига для снятия внутренних напряжений в чугунных деталях
 (По заводским данным)

Наименование деталей	Вес детали в кг	Толщина стекни в мм	Примерный химический состав в %								Температура загрузки в °С	Скорость нагрева в °С/час	Температура выдержки в °С	Продолжительность выдержки в час.	Продолжительность охлаждения в час.	Выдача на воздух при температуре в °С
			Cобщ	Si	Mn	S	P	Cr	Ni							
Станины, каретки, супорты, салазки	—	—	3,2	1,65	0,7	0,095	0,19	0,37	0,25	200—230	170	350—600	2,5—3,0	6—8	150	
Корпус редуктора, корпус задней бабки, крышка корпуса передней бабки	—	—	3,4	2,25	0,6	0,1	0,25	—	—	200—230	170	350—600	2,5—3,0	6—8	150	
Столы, салазки, чугунные вкладыши	—	—	—	—	—	—	—	—	—	400—500	—	400—500	5—6	—	200	
Станины	1,2—2,0	8—60	2,9	1,35	0,8	0,12	0,2	—	—	12—20	100	52—550	4,5	Сутки, вместе с печью	30—60	
Головки цилиндров, корпус выхлопного коллектора, корпус всасывающего коллектора	4—35	—	3,4	2,4	0,7	0,12	0,14	0,25	0,2	200—300	80	600	2,5	5	150	
Установочные плиты, крышки редукторов, станины станков	—	—	3,2	1,8	0,7	0,12	0,15	—	—	—	—	500—550	—	13	100	
Поршни	0,2	15—30	3,1	1,4	0,8	0,12	0,2	—	—	100—300	100	500	3	—	200—300	
Крышки и обечайки для поршневых колец	0,045—0,25	18—40	2,1	1,4	0,8	0,12	0,2	—	—	100—300	100	500	2	—	200—300	
Масленник	0,002—0,01	6—8	3,1	1,7	0,6	0,14	0,3	—	—	100—300	100	350—600	0,5—1,0	—	260—300	
Разметочные плиты, станины, рамы рольгантов, рамы газо-воздуходувок	1,5—15	70—100 40—70 10—40	3,1 3,2—3,4 3,2—3,4	1,7 1,4—1,7 1,4—1,7	0,6 0,6—0,8 0,6—0,8	0,14 0,1 0,1	0,3 0,4 0,4	— — —	— — —	100—300 200 150	100 60 70	550—600 450 425	10 8 6	8 8 7	150 150 150	

Влияние режима отжига на остаточные напряжения и механические свойства

(чугун состава 3,42% $C_{общ}$, 2,64% C_{sp} , 0,78% C_{cb} , 1,48% Si, 0,89% Mn, 0,17% P, 0,11% S, 0,16% Cr, 0,31% Ni)

Нагрев со скоростью 120—140° С в час, охлаждение до 200° С со скоростью 12—15° в час

Температура нагрева в °С	Выдержка в час	Остаточные напряжения в кг/мм ² *	Снятие напряжения в %	Твердость H_B		σ_N в кг/мм ²
				на поверхности	на глубине 25 мм	
Без термической обработки	2,3	0	228—265	178	26,4	
450	3	2,2	10	217—241	170	25,6
450	6	2,04	12	217—228	170	25,6
450	9	1,7	26	217—235	187	77,5
500	3	1,71	25	217—241	187	88,3
500	6	1,53	40	217—241	178	55,8
500	9	1,03	53	217—241	162	—
550	3	1,19	48	217—255	178	26,2
550	6	0,87	62	217—228	170	23,3
550	9	0,82	64	179—187	162	21,7
600	1	1,2	48	—	170	24,7
600	3	0,32	64	196—207	170	23,3
600	6	0,47	73	—	170	—
600	9	0,41	83	139—179	166	20,9

* Остаточные напряжения определялись путем замера деформации на продольно разрезанных образцах размером 50×75×300 мм.

Влияние режима термической обработки на длительность графитизации чугуна

Отжиг белого чугуна	Продолжительность графитизации в час.	
	I стадия	II стадия
Графитизирующий (обычный)	15—30	35—60
С предварительной нормализацией	10—15	15—20
С предварительной закалкой в масле	4—8	8—12
С предварительной закалкой в воде	1—5	6—10

Содержание связанного углерода, твердость и микроструктура серого чугуна после нормализации

(0,05% C_{cb} ; 23,8 H_{Sh} ; феррит+графит)

Температура нагрева в °С	Количество связанного углерода C_{cb}	Твердость H_{Sh}	Микроструктура					
			При выдержке в час.					
			1	3	1	3	1	3
800	0,43	9,50	33,4	34,1	Сорбитаобразный перлит+15% феррита + графит		Следы феррита вокруг пластинок графита + +сорбитаобразный перлит	
850	0,50	0,52	34,-	34,4	Сорбитаобразный перлит+следы феррита вокруг графита		То же	
900	0,55	0,63	34,6	34,8	Сорбитаобразный перлит+графит		Сорбитаобразный перлит+графит	
950	0,59	0,61	35,4	35,9	То же		То же	

Типовые режимы термической обработки коленчатых валов двигателей внутреннего горения
[177, т 7]

Марка стали	Предварительная термическая обработка в паковке				Окончательная термическая обработка					
	Нормализация в °C	Закалка		Отпуск в °C	Твердость HB	Закалка		Отпуск в °C	Твердость	
		Температура в °C	Охлаждающая среда			Температура в °C	Охлаждающая среда		шекк HRc	сердцевины HB
40	840—860	—	—	—	149—197	Шеек в закалочной машине (810—820) Шеек — током высокой частоты (860—880)	Раствор каустической соды Вода	450—470 170—190	402—444 HB 55—60	250—280 255—285
45	850—870	820—840	Вода	590—620	207—281					
Cr-Mo,Cu-Ni*	1060	—	—	—	—	870	Воздух	620	—	302—341
18ХНМА	940—960 Og, 640—660	—	—	—	197—260	870—900	Воздух или масло	180—220	—	311—375
Cr-Mo **	—	820—850	Масло	570—650	250—280	Шеек — газо-кислородным пламенем	Вода	Самоотпуск	52—54	250—280
50	—	810—820	Вода	550—630	320—350	Шеек — током высокой частоты	Вода	180—190	50—58	320—350
Cr-Ni	—	810—830	Масло	480—530	220—240	Азотирование шеек на глубину 0,2—0,3 мм	—	—	520—590 HB	220—240
Cr-Ni-Mo ****	920—940	—	—	—	—	820—870 после цементации шеек на глубину 2,5—3,5 мм	Масло	190—210	59—62	—

* Литой вал из стали состава: 0,55—0,60% C; 0,60—0,80% Mn; 0,30—0,40% S; 1,0—1,25% Cr; 0,9—1,1% Mo; 0,7—1,0% Cu; 0,55—0,65% Ni.

** 0,38—0,45% C; 0,9—1,2% Cr; 0,15—0,25% Mo.

*** 0,40—0,45% C; 1,2—1,5% Cr; 1,0—1,3% Ni.

**** 0,18—0,22% C, 1,7—2,1% Ni, 1,8—2,1% Cr, 0,20—0,35% Mo.

Для крупных коленчатых валов из стали 40 и 45 применяется режим: H, 870—900°; Og, 560—600°; 207—281 HB.

Типовые режимы термической обработки клапанов двигателей внутреннего сгорания [177, т. 7]

Марка стали	Термическая обработка всего клапана						Термическая обработка ножки клапана				Характеристика клапана	
	Отжиг в °C	Закалка		Отпуск		Твердость H_B	Зак		Отпуск в °C	Твердость H_{RC}		
		Темпера- тура в °C	Охлаж- дающая среда	Темпера- тура в °C	Охлаж- дающая среда		Температура в °C	Охлаж- дающая среда				
40ХН	—	840	Масло	550—600	—	25—30 H_{RC}	—	—	—	—	Всасывающий	
Х10С2М	—	1040—1060	Воздух	760—800	Вода	255—302	—	—	—	—	Выпускной	
	—	870—880 **	Масло	600—620	Воздух	241—302	840—860	Масло	—	42—56		
Сильхром *	750—880	1030—1070	Масло или воздух	800—840	—	202—293	—	—	—	—		
20ХНФА	—	840—860	Масло	620—660	Вода	255—302	—	—	—	—	Всасывающий	
40ХНМА	H_1 , 860—880	840—860		560—680		241—341	—	—	—	—		
40Х	—	850—860		600—620		≥ 258	850	Масло	—	45—50		
Х9С2	—	1010—1060		680—700	Воздух	25—35 H_{RC}	На контактной сварочной машине	—	—	>45	Выпускной	
	810—830	—	—	—	—	255—302		1050—1100	550	40—45		
Сильхром **	780—800	930—950	Масло	780—800	Воздух	248—293	930—950	Масло или воздух	—	—	Всасывающий	

* Состав стали: 0,4—0,5% C; 10% Cr; 2,5—3,0% Si.

** Состав стали: 0,4% C; 2,2% Cr; 4% Si.

*** Клапан сварной, тарелка из стали Х10С2М, стержень из стали 40Х; нагревом до 870—880° достигается закалка стержня и отжиг тарелки.

Типовые режимы термической обработки распределительных валов двигателей внутреннего сгорания [177, т. 7]

Марка стали	Цементация в °C	Закалка		Отпуск в °C	Твердость HR _C	
		Температура в °C	Охлаждающая среда		поверхностная	сердцевины
20	900—950	760—780	Раствор NaOH	200—220	58—60	—
15X	900—920 $\delta = 1,5 \pm 1,7$ $t = 12$ час.	780 $t = 40$ мин.	Вода $t = 1$ час	200	58—62	—
A20	900—920	770—790	Вода	170—190	60—65	28—34
13H2A	900—920	760—800	Масло	160—180	58	≤ 30
40	—	850	Раствор NaOH	200	50—60	—
		815	3—6% ₀ ный раствор NaOH при 25—40°	680	187—228 HB	—
40	H, 850—870	—	—	—	156—185 HB	—
		т. в. ч. (кулачки, шестерни)	Вода	—	53—60 (кулачки) 35—60 (шестерни) ≤ 50 (шейки)	—

Типовые режимы термической обработки шатунов двигателей внутреннего сгорания [177, т. 7]

Марка стали	Предварительная термическая обработка				Окончательная термическая обработка			
	Нормализация		Отжиг		Закалка		Отпуск	
	Температура в °C	Охлаждающая среда	Температура в °C	Охлаждающая среда	Температура в °C	Охлаждающая среда	Температура в °C	Охлаждающая среда
40	850—870	Воздух	—	—	810—820	Вода	590—620	Вода
40	—	—	—	—	820—840	5% ₀ ный раствор NaCl	500—520	Воздух
40	850—870	Воздух	—	—	810—820	Вода	560—620	217—241
Cr-Mo *	—	—	800—820	—	820—850	Масло	570—650	230—300
18ХНМА	940—960	Воздух	640—660	Воздух	870—900	Воздух или масло	180—220	—
45Г2	3, 850	Масло	O _g	650	—	—	—	228—269
35Г2	—	—	—	—	800—820	Вода	610—650	Вода
40ХНМА	—	—	820—860	—	820—840	Масло	560—620	Воздух
	860—880	Воздух	—	—	840—860	—	630—650	Вода

* 0,38—0,49% C, 0,9—1,2% Cr, 0,15—0,25% Mo.

Типовые режимы термической обработки шестерен коробок скоростей, редукторов, демультипликаторов, дифференциалов (автомобильных, тракторных, станочных, дизельных и др.) [177, т. 7; 5]

Марка	Предварительная термическая обработка (в поковке)			Окончательная термическая обработка				Твердость H_{RC}	
	Нормализация в °C	Отпуск в °C	H_B не более	Цементация в °C	Отжиг в °C	Закалка в °C	Отпуск в °C	поверхности	сердцевины
15ХГМ	—	—	—	900—920	—	780, м; $\tau = 35$ мин.	200	58—62	—
15ХН	—	—	—	900—920	—	780, м	200	56—62	—
40ХС	—	—	—	—	—	880—900 м	580—620	33—37	—
40СХ	—	—	—	—	—	900—920 м	560—610	30—35	—
40ХН	—	—	—	—	—	Цир, 820 ($\delta = 0,1 \pm 0,15$ мм)	200	50—54	—
	800—820	650—660	179—241						
50ХН	900—920	700—710	179—207	—	—	Цир 800—820,	220—240	48—52	—
20Х3	900—950	640—660	—	Газовая	—	820—830, подстужив.	180—200	56—62	30—45
12ХН3А	880—900	—	255	910—930	—	с температуры цементации	150—180	58	26—40
	900—920	670—680	160—207	900—920	—	3J 850, м; 3J 1 800, м	200—220	57	
						760—800, м	650—630		
12Х2Н4А	920—950	640—660	269	900—920	—	790—810, м	170—190	60	35—45
18ХНМА	935—960	640—660	255	900—920	640—660	840—860, м	180—200	54	35—47
18ХНВА	940—960	610—620	269	920—930	—	800—830 (солевая ванна)	160—H-то— —180°—O _H 160	—	—
18ХГТ	950—970	—	207	900—920	—	830—850, 820, м	200—220 200	≥56 56—60	—
12Х2Н4А	920—950	640—660	269	910	—	820, м	200	56—62	35—45
20Х2Н4	950—970	640—660	269	920	—	820, м	190—210	56—62	35—45
12Х2Н4А	920—940	630—650	269	Газовая	—	800—880, подстужив.	H-то (—70—80) O _H , 190—210	—	22—40
				910—930		с температурой цементации, м			
45	—	—	—	—	—	820—840, в	570—610	192—240 H_B	—
12ХН2А	890—910	—	—	900—920	—	770—810	180—200	56	217 H_B
20ХФА *	900	—	146—207	900—920	($\delta = 1,2 \pm 1,5$ мм)	840—860 (солевая ванна с 5—10% NaCN)	190—210	58—65 (зуб) 28—43 (хвостовик)	
20ХНМ **	900	—	—	900—930	($\delta = 1,5 \pm 1,6$ мм)	840—860 (м, в штампе)	~200	58—65	
35ХМА	Отж,	—	170—207	—		810—830	~200	48—55	285—444 H_B
18ХГМ **	850—860	—	187—228	880—900	($\delta = 0,7 \pm 0,9$ мм)	830 (м при 180° и м при 60°)	200	58—63 (зуб)	
40Х	850—870	—	187—241	—	—	850, в	550—600	285—321 H_B	

* Коническая ведущая шестерня заднего моста (ГАЗ ММ).

** Шестерня ведомая главной пары заднего моста (ГАЗ 51).

*** Шестерня ведущая главной передачи заднего моста (МЗМА).

Типовые режимы термической обработки валов и осей [177, т. 7]

Но.	Марка стали	Предварительная термическая обработка			Окончательная термическая обработка					Твердость	
		Норма в испыт. в. С	Огнепр. в. С	Твердость H _B	Цинкование в °С			Закалка в масле	Охлаждение в воде	Твердость в HRC	H _B
					С, в кипяченой	С, в жареной	С, в отварной				
Главные и промежуточные валы коробок передач	18ХНМА	Отж. 640—660	—	269	—	—	—	860—890	Масло	180—200	363—444
	40Х	—	—	—	—	—	—	815—830	Вода	190—200	—
	40	—	—	—	—	—	—	820—840	Масло	530—550	269—302
	50ХН	900—920	680—700	180—207	—	—	—	800—820	—	440—460	—
	18ХГМ	880—900	550—600	163—207	900—920	—	—	810—930	—	210—230	35—48
	18ХГТ	950—970	—	158—207	900—920	—	—	830—850	—	200—220	56—60
Валики переключения коробок перемены передач	46СХ	—	—	—	—	—	—	890—910	—	600—640	255—302
	40Х	—	—	—	—	—	—	—	Вода	200	—
	35	—	—	—	—	—	—	830—850	—	550—600	—
	40	—	—	—	—	—	—	—	Раствор NaOH	190—200	—
	20	—	—	—	900—910	—	—	—	—	—	45—58
	15	—	—	—	—	—	—	—	Вода	180—200	—
Валик водяного насоса	15Х	900—920	—	143—179	900—920	—	(δ = 0,15+0,35 м.м.)	790—810	—	—	56—63
	1Х13	—	—	—	—	—	—	760—780	Масло	200—220	—
Оси железнодорожных вагонов	45F	800—830	—	—	—	—	—	1100	—	350—400	—
	—	—	—	—	—	—	—	—	—	—	58—63
Оси паровозов, электровозов, тепловозов	40	860—880	—	—	—	—	—	—	—	—	—
	—	—	—	—	—	—	—	—	—	—	56—62
Оси различных машин и механизмов (сечением выше 100 мм)	35	850—870	—	179	217	—	—	—	—	—	—
	45	830—850	—	—	241	—	—	—	—	—	—
	35Г2	840—860	—	—	—	—	—	—	—	—	—
	30Х	—	—	—	—	—	—	—	—	—	—
	36Н	850—870	—	149	—	—	—	800—870	Вода	540—560	212

Типовые режимы термической обработки крепежных деталей

{177, т. 7}

Деталь	Марка стали	Закалка		Отпуск		Твердость	
		Температура в °C	Охлаждаю- щая среда	Температура в °C	Охлаждаю- щая среда	H_B	H_{RC}
Болты	15 .	Цирп	780—800	Вода	180—200	Воздух	—
	40Х .	840—860	Масло	590—630	Вода	241—285	—
	40ХН	800—820	—	410—430	—	—	33—38
	40СХ	900—920	—	560—600	—	269—231	—
	30	—	—	—	—	По напильнику	—
	45	830—850	NaOH	190—210	—	241—285	—
	18ХНМА .	810—830	Вода	540—570	Воздух	300—444	—
	Cr-Mo *	860—890	Масло	170—200	—	187—217	—
	Ni-Mo **	830—860	—	630—680	Вода	240—285	—
	37ХН3А	850—860	—	550—600	—	—	33—37
	20ХГС	880—890	—	650—670	—	230—269	—
	—	—	—	500—520	—	—	—
Гайки	45	Цирп	810—830	Вода	530—570	Воздух	—
	35 .	840—850	—	540—560	Вода	—	24—30
	A12 .	840—860	—	150—180	—	—	24—30
	40ХН	790—810	Масло	540—560	—	По напильнику	—
	40ХС .	880—900	—	650—690	Вода	255—285	25—30
Винты	10 .	Цирп	840—860	Вода	—	—	26—30
	40СХ		900—920	Масло	560—610	Вода	209—321
<p>* 0,22—0,29% C; 0,9—1,2% Cr; 0,15—0,25% Mo. ** 0,43—0,48% C; 1,65—2,0% Ni; 0,2—0,3% Mo.</p>							

Типовые режимы термической обработки рессор и пружин
 [177, т. 7]

Марка стали	Захалка		Отпуск в °C	Твердость H_B
	Температура в °C	Охлаждающая среда		
60С2	830—850	Масло	400—450	387—418
60С2 *	850—870	Вода или масло	470—490	387—477
	880—900	Масло	430—450	46—50
	860—880		350—400	387—418
50ХФ	840—860		430—450	40—47 H_{RC}
50ХФА *	840—860		550	363—415
50ХГФА	850—880		450—480	387—418
50ХГ	840—860		430—450	320—400
55	780—820	Вода	480—500	364—418
55С2	840—860	Масло	500—560	331—388
	840—860		550—600	353—415
	900—920		400—510	320—400
55С *	780—820	Вода	420—450	364—450
	830—850	Масло или вода	380—420	40—46 H_{RC}
У7А *	810—830	Масло		

* Относится к пружинам.

Типовые режимы термической обработки автомобильных деталей

(см. также [8])

Деталь	Марка стали	Предварительная термическая обработка		Окончательная термическая обработка	
		Режим	Твердость H_B	Режим (температура в °C, продолжительность, глубина слоя, охлаждающая среда)	Твердость H_{RC}
Втулка ушка рессоры (ГАЗ 51)	10	—	—	Цир, 815, $\tau = 10$ мин., NaOH	По напильнику
Шайба диафрагмы	08kp	—	—	Цир, 850, $\tau = 15$ мин., м	То же
Вилка подшипника выключения сцепления	08kp	—	—	Цир, 850, $\tau = 60$ мин., м; $\delta = 0,2$ мм	

Продолжение

Деталь	Марка стали	Предварительная термическая обработка		Окончательная термическая обработка	
		Режим t °C	Твердость H_B	Режим (температура в °C, продолжительность, глубина слоя, охлаждающая среда)	Твердость H_{RC}
Палец задней рессоры	20	—	—	Цир, 850, $\tau = 25$ мин., м; $\delta = 0,1$ мм; O_H , 200	≤ 35
Палец поршневой	20	—	—	Ц, 920, $\tau = 7$ час., $\delta = 0,8 \div 1,1$ мм З, 860, в; O_B , 450—500; З _{пов.} , в; O_H , 200	58—63
Собачка рычага ручного тормоза	25	—	—	Цир, 800, $\tau = 45$ мин., $\delta = 0,15$ мм, NaOH	По напильнику; ≤ 45 (сердцевина)
Вилка переключения	35	H , 870	170—207	Цир, 800, $\tau = 25$ мин., м; $\delta = 0,12$ мм	По напильнику
Фланец кожуха полуоси заднего моста наружный (ГАЗ ММ)	40	H , 840	156—207	З _{пов.} , $\tau = 12,5$ сек., $\delta = 3,0 \div 4,5$ мм (цилиндрической части, $l = 52$ мм)	53—60
Ось ленивца (ЗИС)	40	—	—	З, 830—840, в; O_B , 530—680, в	207—265 H_B
Поршневой палец (ГАЗ)	45	—	—	З _{пов.} , в, $\delta = 1,0 \div 1,5$ мм; O_H , 180	58—65
Передняя ось	45	З, 830—840, в; O_B , 600—630	217—263	—	—
Палец передней рессоры	45	—	—	З _{пов.} , в, $\delta = 1,8 \div 2,7$ мм	56—62
Палец задней рессоры	45	—	—	З _{пов.} , в, $\delta = 2,0 \div 3,5$ мм	56—62
То же	15Х	—	—	Цир, 840, $\tau = 25$ мин., O_H , 200	По напильнику
То же (ЗИС)	50I	—	—	З, 830, в; O_B , 380—400	42—47
Диск сцепления ведомый	50	—	—	З, 810—830, м; O_B , 390—410	38—52
То же (МЗМА)	85	—	—	З, 770—790, м (в штампе); O_B , 550—600	—

*

Продолжение

Деталь	Марка стали	Предварительная термическая обработка		Окончательная термическая обработка	
		Режим т° С	Твердость H_B	Режим (температура в ° С, продолжительность, глубина слоя, охлаждающая среда)	Твердость H_{RC}
Головка поршня уплотняющая амортизатора (ГАЗ)	15Г	—	—	Ц, 900, $\delta = 0,9 \pm 1,2$ мм; З, 830, м; O_H , 200	58—65
Сухарь клапана (ЗМЗ)	20Г	—	—	Ц, 900—920, $\delta = 0,5 \pm 0,8$ мм; З, 780—800; NaOH; O_H , 190—210	< 40 сердцевина По напильнику
Зубчатый обод маховика (ГАЗ)	50Г	—	—	З, 840, м; O_B , 550	241—286 H_B
Лонжерон (ЗИС)	30Г2	—	—	З, 900—920, м; O_B , 650—680	269 H_B
Сухарь тяги рулевого управления (ГАЗ)	A12	—	—	Цир, 815; $t = 40$ мин.; NaOH; $\delta = 0,15$ мм	< 45
Шестерня привода масляного насоса	A12	—	—	Цир, 815; $t = 40$ мин.; м; O_H , 200	По напильнику <35, сердцевина
Палец шаровой вилки выключателя сцепления (ЗМА)	A26	Н	—	Цир, 850; $t = 25$ мин.; NaOH; $\delta = 0,15 \pm 0,25$ мм, O_H ; 200	По напильнику
Фланец упорный распределительного вала (ГАЗ)	65Г	—	—	З, 815, м; O_B , 400	40—50
Шайба ведущей шестерни (ГАЗ-51)	65Г	—	—	З, 790, м; O_B , 425	40—45
Пружина клапана (ЗИС)	65Г	—	—	O_B , 370—400	42—48
Толкатель клапана (ГАЗ)	15Х	Н, 870	143—197	Ц, 910; $t = 8 \pm 9,5$ час.; $\delta = 0,9 \pm 1,2$ мм; З, 850, м; O_H , 200	40—55
Крестовина кардана (ГАЗ)	15Х	Н, 900	146—207	Ц, 900; $t = 12 \pm 14$ час.; $\delta = 1,3 \pm 1,6$ мм; З, 830, м; O_H , 200	57—65
То же (ЗМА)	15Х	Н, 850—870	156—197	Ц, 905—915; $t = 5$ час.; $\delta = 0,9 \pm 1,1$ мм; З, 790—810, м; O_H , 190—210	57—65
Каретка 1-й и 2-й скорости (ЗИС)	20Х3	Н, 960—970; O_B , 620—640	149—207	Ц, 890—910; $\delta = 0,7 \pm 1,1$ мм, З, 840—860, м; O_H , 200	56—62

Продолжение

Деталь	Марка стали	Предварительная термическая обработка		Окончательная термическая обработка	
		Режим ° С	Твер- дость H_B	Режим (температура в °С, продолжительность, глубина слоя, охлаждающая среда)	Твердость HRC
Стакан роликоподшипника	15ХФ	H	—	$\text{Ц}, 900; \tau = 6 \text{ час.}; \delta = 0,6 \div 0,8; \beta, 780, \text{в}; O_H, 200$	56—62
Полуось заднего моста	40ХА	$H, 850 \div 870$	187—241	$\beta, 875; \text{раств. KOH}; O_B, 480$	48—52 302—364 H_B
Ось шестерни заднего хода (ЗИС)	15ХФ	—	—	$\text{Ц}, 920; \tau = 10 \text{ час.}; \delta = 0,7 \div 1,2 \text{ мм.}; \beta, 910, \text{м}; O_H, 210$	56—62
Палец шаровой реактивного рычага (ЗМА)	12ХН3А	—	—	$\text{Ц}, 900; \tau = 5 \text{ час.} 20 \text{ мин.}; \delta = 0,95 \div 1,15 \text{ мм.}; \beta, 800, \text{м}; O_H, 200$	57—62; 33—40 (хвостовик)
Палец с шаровой головкой	20Х	—	—	$\text{Ц}, 910 \div 930; \beta, 850 \div 870, \text{м}; O_H, 200$	56—64
Переключение рулевой тяги (ЗИС)	12ХН3А	—	—	$\beta, 800 \div 820 \text{ (шаровой головки) м; } O_H, 200$	56—62
Траки гусеницы	27СГ	$H, 930 \div 950; \beta, 920 \div 940, \text{в}; O_B, 660 \div 680$	212—241	—	—
Вилка скользящая карданныго вала (ГАЗ)	30Х	—	—	$\beta, 830, \text{в}; O_B, 600$	255—302 H_B
Червяк рулевого управления (ГАЗ)	35Х	—	—	$\text{Цкр}, 805; \tau = 50 \text{ мин.}; \delta = 0,25 \text{ мм.}; O_H, 200$	По напильнику ≤ 35 (сердцевина)
Червяк руля	30ХН3А	—	—	$\text{Цкр}, 840 \div 850; \tau = 60 \text{ мин.}; \delta = 0,23 \div 0,35 \text{ мм.}; \beta, 800, \text{м}; O_H, 160$	45—52
То же	15Х	—	—	$\text{Ц}, 900; \tau = 7 \text{ час.}; \delta = 0,8 \div 1,0 \text{ мм.}; \beta, 810; O, 350; \tau = 30 \text{ мин.}$	45—50
Валик водяного насоса (МЭМА)	36ХЮА	$\beta, 930 \div 950, \text{м}; O_B, 650 \div 680$	—	$A_B, 515 \div 540 \div 510; \tau = 25 \div 10 \text{ час.}; \delta = 0,4 \div 0,5 \text{ мм}$	—

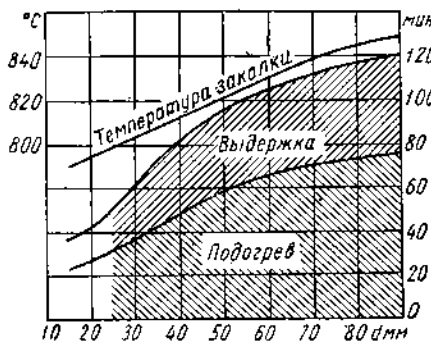
**Режим закалки автомобильных деталей при электронагреве т. в. ч. с охлаждением в воде
(по данным московского ЗИС и [8])**

Наименование детали	Марка стали	Режим обработки				Результат обработки		Поверхность, подвергаемая закалке
		Частота тока в герц	Емкость в мкФ	Продолжительность нагрева в сек.	Продолжительность охлаждения в сек.	Глубина закаленного слоя в мм	Твердость после закалки H_{RC}	
Коленчатый вал	45	3000	31,2	3,3—4,0	8,0—8,2	2,5—4,5	56—62	1-я — 6-я шатунные шейки 2, 3 и 6-я коренные шейки 7-я коренная шейка 4-я коренная шейка
		3000	31,2	4,1—4,3	8,0—8,2			
		3000	42,9	5,5—5,6	8,0—8,2			
		3000	39,0	5,7—5,8	8,0—8,2			
Распределительный вал	45	3000	44,1	3,1—5,5	5,5—8,5	2,5—8,0 2,5 2,5 —	56—62 56—62 56—62 40—56	Кулачок 1-я — 4-я шейки Эксцентрик Шестерня
		3000	44,1	4,3—4,5	5,0—5,4			
		3000	44,1	3,5—3,7	4,5—4,7			
		3000	44,1	4,1—4,3	1,8—2,0			
Коленчатый вал компрессора	45	3000	35,1	2,5—2,9	3,8—4,4	1,5—3,0	56—62	—
Ось шестерни заднего хода	45	8000	31,2	8,0—8,2	8,0—8,5	1,0—3,0	56—62	—
Стержень переключения 2-й и 3-й передач	45	8000	26,8	2,5—2,7	2,0—3,0	1,0—2,5	56—62	Зона отверстий
Вилка выключения сцепления	45	8000	18,6	1,8—2,3	2,0—2,5	1,0—4,0	56—62	Рожки
Ось ведомой шестерни масляного насоса	45	8000	39,0	2,0—2,2	3,0—3,5	1,0—2,5	56—62	—
		8000	27,9	3,1—3,5	4,0—4,5	1,0—4,0	56—62	—
Вал масляного насоса	45	8000	40,5	3,2—3,4	3,0—3,5	1,0—2,5	56—62	—
Валик привода распределителя	45	8000	22,4	3,2—3,4	2,5—3,5	1,0—2,5	56—62	—
Ось педалей сцепления и тормоза	45	8000	29,3	4,0—4,2	5,0—5,5	1,0—3,0	56—62	—

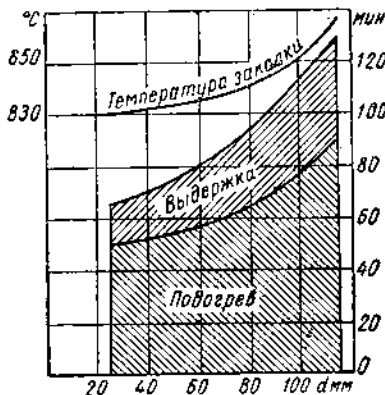
Вторичный вал коробки передач	40Х (улучшенная)	8000	41,2	3,1—3,5	6,8—7,2	1,5—4,0	56—62	Хвостовик Шейка Ø 45 мм Ø 51 — Шлицевая часть Шейка Ø 45 мм
			35,1					
Ось колодок тормоза переднего колеса	45	8000 8000	18,6 28,6	1,3—1,7 2,1—2,5	1,6—1,8 2,0—3,0	1,0—2,5 1,0—2,5	56—62 56—62	Хвостовик Цилиндрическая часть
Ось колодок тормоза заднего колеса	45	8000 8000	51,9 18,6	2,6—3,0 1,3—1,7	4,0—5,0 1,6—1,8	1,0—2,5	56—62	Цилиндрическая часть Хвостовик
Палец передней рессоры	45	8000	38,2	3,0—3,2	4,0—4,5	1,0—2,5	56—62	—
Палец задней рессоры задний	45	8000	31,0	5,0—5,2	6,0—7,0	1,0—2,5	56—62	—
Палец кронштейна задней рессоры	45	8000	31,2	7,4—7,6	7,0—8,0	1,0—3,0	56—62	—
Ось педали сцепления	45	8000	32,8	5,5—5,9	6,8—7,8	1,0—2,5	56—62	—
Колодка переднего и заднего тормоза	Ковкий ферритный чугун	8000	28,6	120—125	25—30	≥ 2,0	≥ 45	—
Кулак разжимной переднего тормоза правый и левый	45	3000 8000	42,1 30,6	7,6—7,8 7,6—7,8	7,8—9,0 7,0—8,5	До 5 1,5—3,5	56—62 56—62	Кулак Шейка
Кулак разжимной заднего тормоза правый и левый	45	8000 8000 8000	42,1 39,6 30,6	7,6—7,8 7,6—7,8 7,6—7,8	7,8—9,0 7,8—9,0 7,8—9,0	До 5 1,5—3,5 1,5—3,5	56—62 56—62 56—62	Кулак Шейка у кулака Шейка у шлицев
Втулка распорного подшипника ведомой шестерни	Ковкий ферритный чугун	8000	47,0	75,0	10,0—15,0	3,0—10,0	45—62	—
Ось колодки ручного тормоза	45	8000	—	2,5	6,0	1,0—3,5	56—62	—
Зубчатый венец маховика	45	250× ×10³	14000	19,0—26,0	5,0—7,5	1,0—3,5	48—60	—
Крюк буксирный	45	8000	37,1	39,0—40,0	17,0—18,0	≥ 6,0	≥ 45	—

Режим термической обработки деталей шарико- и роликоподшипников
(по данным 1-го ГПЗ [119])

Диаметр в мм	Оборудование и условия загрузки деталей	Режим термической обработки																						
Кольца																								
До 20—25	Нагрев в шапистой ванне состава 7—12% KCN (NaCN), 88—92% (Na ₂ CO ₃ + NaCl); 1 : 1, загрузка связками $P = 10—12 \text{ кг}$ (при необходимости требований чистоты поверхности кольца нагреваются в роторной печи)		3, 820—835°; $t = 15—30 \text{ мин.}$; м. 40—60°; промывка в 5—8%ном растворе Na ₂ CO ₃ ; нейтрализация: O_2 150—160°; $t = 1,5—2,0 \text{ часа}$; 62—66 HRC																					
> 25 до 200	Нагрев в печи непрерывного действия конвейерной $F = 420 \times 3500 \text{ мм}$, трехзонной $W_I = 60 \text{ квт}$, $W_{II} = 35 \text{ квт}$, $W_{III} = 25 + 30 \text{ квт}$, $v = 120 \text{ см/с}$; выдержка при нагреве может меняться от 20 до 100 мин.; $P = 150—280 \text{ кг/час}$. Загрузка колец в 2—3 ряда, при высоте 70—75 мм (для ответственных колец 55—60 мм). При увеличении загрузки t_H увеличивается на 15—20%; охлаждающая среда — масло, 25—40° С (Крупные кольца Ø 180—200 мм снимаются с конвейера печи вручную)	Размер колец в мм	Толщина стенки	Наружный диаметр	t_H в °C																			
<table border="1" style="width: 100%; border-collapse: collapse;"> <thead> <tr> <th>2,0—3,0</th><th>30—60</th><th>815—825</th><th>15—30</th></tr> <tr> <th>3—9</th><th>30—80</th><th>830—840</th><th>20—40</th></tr> <tr> <th>9—15</th><th>80—120</th><th>835—845</th><th>30—50</th></tr> <tr> <th>15—25</th><th>100—240</th><th>840—850</th><th>40—60</th></tr> <tr> <th>20—27</th><th>200—240</th><th>845—855</th><th>50—75</th></tr> </thead> </table> <p>Твердость 62—66 HRC Отпуск. Кольца подшипников массовых серий 160°, $t = 2 \text{ часа}$ Крупные кольца из стали марки ШХ15-160°, $t_I = 3 \text{ часа}$, $t_{II} = 2 \text{ часа}$ Круглогабаритные кольца из стали марки ШХ15СГ-170—180°, $t_I = 5 \text{ час.}$, $t_{II} = 5 \text{ час.}$, после шлифовки 150—160°, $t = 3 \text{ часа}$ Кольца прецизионных подшипников 160°, $t = 3 \text{ часа}$, после шлифовки 150°, $t = 1,5—2 \text{ часа} + \text{старение}$ Отпуск в печах-ваннах селитровых или масляных, а также в печах с циркуляцией атмосферы</p>					2,0—3,0	30—60	815—825	15—30	3—9	30—80	830—840	20—40	9—15	80—120	835—845	30—50	15—25	100—240	840—850	40—60	20—27	200—240	845—855	50—75
2,0—3,0	30—60	815—825	15—30																					
3—9	30—80	830—840	20—40																					
9—15	80—120	835—845	30—50																					
15—25	100—240	840—850	40—60																					
20—27	200—240	845—855	50—75																					
Ролики																								
15—30 Сталь марки ШХ15	I. Та же печь, охлаждающая среда — масло, 25—40° II. Печь с пульссирующим подом $W = 80 \text{ квт}$; $P = 40—100 \text{ кг/час}$	Ø в мм		t в °C	t_H в мин. (фиг. 37)																			
		15—20		835—845	30—40																			
		20—25		840—850	35—45																			
		25—30		845—855	45—60																			
4—28	Роторная печь с диаметром роторты 280 мм $W_I = 29 \text{ квт}$, $W_{II} = 13 \text{ квт}$, $v = 220 \text{ см/с}$; охлаждающая среда — масло, 25—45°	Марка стали	Ø в мм	t в °C	t_H в мин.																			
		ШХ6	4—10	825—835	20—25																			
		ШХ9	10—15	835—845	25—35																			
		ШХ15	15—22	840—850	30—45																			
			22—28	845—855	35—50																			
					P в кг/час																			
					45—50																			
					50—55																			
					50—55																			
					50—60																			



Фиг. 37. Температура нагрева и продолжительность нагрева и выдержки для закалки роликов в зависимости от их наибольшего диаметра d .



Фиг. 38. Температура нагрева и продолжительность нагрева и выдержки для закалки шариков в зависимости от их диаметра d .

Продолжение

Диаметр в мм	Оборудование и условия загрузки деталей	Режим термической обработки				
		Марка стали	\varnothing в мм	t в °C $\pm 10^\circ$	τ_H в мин.	Охлаждающая среда
28—80	Конвейерная, карусельная или с пульсирующим подом при индивидуальной закалке	ШХ15	28—33 34—38 39—45 46—53	830 835 840 845	50—55 50—60 55—65 55—65	3—5%о-ный водный раствор Na_2CO_3
		ШХ15СГ	45—50 51—55 56—65 66—80	810 815 820 825	45—55 50—55 60—75 65—75	Масло
>55—60	Печь-ванна соляная			$t_I = 730 \div 750^\circ$, $\tau_H = 12 \div 14$ мин., $t_{II} = 850 \div 865^\circ$, $\tau_H = 7 \div 10$ мин., вода или керосин (для конических роликов)		
				Отпуск для всех роликов $150 \div 160^\circ$, $\tau = 2 \div 4$ часа; после шлифовки для особо точных роликов 150° , $\tau = 1,5 \div 2$ часа		

Шары

До 17/32" (13 м.м.)	Ретортная печь	\varnothing в дюймах	t в °C	τ_H в мин.	Охлаждающая среда
		До $1\frac{1}{2}$ $1\frac{1}{2} \div 2\frac{1}{2}$ $2\frac{1}{2} \div 3\frac{1}{2}$ $3\frac{1}{2} \div 4\frac{1}{2}$	810—815 815—820 820—830 825—835	15—20 20—22 22—25 25—30	масло, 60—80° масло, 25—45°

Продолжение

Диаметр в мм.	Оборудование и условия загрузки деталей	Режим термической обработки			
		φ в дюймах	t в °C ± 10	τ _H в мин. (см. фиг. 38)	P в кг/час
17/32—1 1/2"	То же. закалка в 3,5—5% ₀ ном водном растворе Na ₂ CO ₃ , < 40—45°	17/32—21/32 13/16—25/32 13/16—15/16 21/32—15/32 19/32—1 1/16 19/32—1 1/16	820 825 830 835 840 845	25 25 30 30—35 35—40 40—45	60—65 65—70 70—75 75—80 75—80 70—75
1 1/2—2"	Ретортная или карусельная печь, закалка в 3,5—5% ₀ ном водном растворе Na ₂ CO ₃	1 1/2—2"	840—855	40	—
		Отпуск:			
		шары до 1 1/2" 150—160°, τ _H = 1,5 ± 2 часа 1/2—1 1/2" 150—160°, τ _H = 2,5 ± 3 часа 1 1/2—3" 150—160°, τ _H = 3,5 ± 4 часа 3—8" 150—160°, τ _H = 4 часа			

Массивные кольца

Нагрев под закалку (охлаждающая среда — керосин) в соляных печах-ваннах (25%₀ BaCl₂ + 75%₀ NaCl) с тиглем φ 630—500 мм, h = 700—600 мм или электродных соляных печах-ваннах с рабочим объемом 500×560×700 мм, расстояние между электродами 225 мм по треугольнику. u = 6 ± 12 в, W = 80 кват

Тип подшипника	Размеры в мм			Количе- ство загру- жаемых изделий	t _I в °C	τ _I в мин.	t _{II} в °C	τ _{II} в мин.
	D _{нар}	d _{вн}	h					
Упорные	460 580	50 64	—	—	760—780 780—780	25 30	865—870 865—870	15—18 18—20
Радиальные ци- линдрические роликовые	260 320 440 530	225 275 395 470	85 100 135 135	3 2 2 1		30 30 30 25		12—13 13—14 13—14 12—13
Роликовые бочко- образные	225 260 285 360 440	170 190 220 325 390	120 135 120 120 145	3 3 3 3 2	790—800	30 30 30 30 25	860—870	14—15 14—15 15—16 13—14 12—13
Цилиндрические с витыми роли- ками	320	280	150	3		20		8—10

Продолжение

Детали подшипников из цементуемой стали

Цементации подвергаются детали подшипников, испытывающие при эксплуатации высокие динамические нагрузки

Применяемые марки стали: 12ХН3, 12ХН4, 18ХГТ

Жидкостная цементация

Состав солей: 6—10% NaCN, 55—60% BaCl₂,
15—20% KCl, 10—15% NaCl

Цементация: $t_1 = 250—400^\circ$; $t_{II} = 900—930^\circ$; $\tau = 4—6$ час.

Отжиг по одному из двух вариантов:

- | | |
|--|---|
| 1. $t = 900—930^\circ$, $\tau = 5$ час. | } Охлаждение в соляной ванне
при $220—230^\circ$ |
| 2. $t = 970—1000^\circ$, $\tau = 20$ мин. | |

Цементация твердым карбюризатором

Кольца

Цементация

Нагрев		Выдержка		Глубина слоя	
t в $^\circ\text{C}$		\emptyset в мм		Диаметр колец в мм	δ в мм
700	6	500	5	500	4
700—800	3	800	8	500—700	5
800	6	1100	11	700—900	6
800—940	5			≥ 900	7

Закалка

Нагрев		Выдержка		Охлаждающая среда
t в $^\circ\text{C}$		t в $^\circ\text{C}$		
До 670—700	60	780 для колец тонкого сечения	40	масло, $\leq 60^\circ$, кольца вынимают из масла при 100° , при охлаждении кольца вращают
, 780—800	40	800 для колец толстого сечения		

Отпуск

$t = 160 + 170^\circ$, $\tau = 4—6$ час. для тонких сечений; $t = 6—8$ час. для толстых сечений

Через 16—24 час. кольца вновь подвергаются отпуску по вышеуказанным режиму

После шлифовки кольца для снятия напряжений вновь подвергаются отпуску $t = 150 + 160^\circ$, $\tau = 3$ часа

Газовая цементация

Цементация колец производится в ретортных и шахтных печах

Карбюризатор: в шахтных печах — пиробензол;
в ретортных — смесь состава 65% керосина, 35% вазелина

Цементация: $t = 940^\circ$

Закалка: $t = 820 + 830^\circ$, м, 50°

Отпуск: $t = 160 + 170^\circ$, $\tau = 2,5 + 3,0$ часа

Твердость на поверхности 61—66 H_{RC}, в сердцевине 35—45 H_{RC}.

Типовые режимы термической обработки деталей станков [91]

Детали и условия их работы	Марка стали		Режим термической обработки				Твердость	
	основ- ная	заменя- ющая	Норма- лизация в °C	Закалка		Отпуск в °C	H_B	H_{RC}
охлаж- дающая среда				в °C	в	в °C		
I. Шестерни, работающие при низких скоростях и малых удельных давлениях (сменные шестерни)	45	Ст.6 50	850—870 —	820—840	— в	520—550	170—217 220—250	—
Шестерни, работающие при повышенных изгибающих усилиях и небольших скоростях	40Х	—	—	830—850		600—650	230—260	
Шестерни, работающие при больших окружных скоростях и больших усилиях при отсутствии ударных нагрузок	40Х	35ХМ	—	820—840	м	180—200	—	45—50
Шестерни коробок скоростей, работающие при больших окружных скоростях и средних удельных давлениях с ударными нагрузками, а также шестерни и шпинделы прецизионных станков	12ХН3	—	920 И. 880—900	780—800		500—580° 140с, 180—200° $H_{RC} = 1$	—	60—63
Шестерни повышенной точности, работающие при небольших скоростях и средних давлениях	35ХМ	—	—	850—870	м	500—550	241—280	—
Шестерни, работающие при высоких давлениях и средних окружных скоростях	35ХМ	—	—	850—870		200—220	—	45—53
Шестерни крупные малонагруженных тяжелых станков	50Г2	45Г2	810—840	—	—	—	217—241	—
То же при средних давлениях и средних окружных скоростях	50Г2	45Г2	—	810—830		500—600 269—321	28—35	
II. Шпинделы малонагруженные небольшого сечения, работающие в подшипниках качения	45	Ст. 6, 50	—	820—840		520—550 220—250	—	
То же сложной конфигурации	40Х	45Х	—	830—850	м	600—650 230—260	—	
То же, работающие в условиях больших нагрузок	40Х	—	—	820—840		450—500	—	35—42
Шпинделы, работающие в подшипниках качения при средних нагрузках и средних окружных скоростях	40Х	35ХМ	—	820—840		180—200	—	40—50
Шпинделы и валы тяжелых станков, работающих в подшипниках качения	60Г2	45Г2	810—840 830—850	—	—	—	217—241 217—241	—

Продолжение

Детали и условия их работы	Марка стали		Режим термической обработки			Твердость	
	основ- ная	зака- зыва- ющая	Норми- лизация в °C	Закалка		Отпуск в °C	H_B
				в охлаж- дающей среде	в °C		H_{RC}
III. Валы и валики простой конфигурации, работающие при небольших окружных скоростях и нагрузках	45	Ст. 6, 50	—	820—840		500—550	220—250
То же повышенной прочности	40Х	45Х (при $d > 100 \text{ мм}$)	—	830—850		600—650	230—260
IV. Ч е р в я к и, работающие при средних нагрузках	40Х	—	—	820—840		600—650	230—260
V. Ц а н г и	У8	—	—	780—800	в или в + м	180—200 350—400	— ~40
	9ХС	—	—	840—870		230—260 400—450	— 40—45 (Хвостовая часть)
VI. Ролики, копиры	ШХ15	—	—	835—850	и	200—220	— 59—63
VII. Х о д о в ы е в и н т ы	ХГ	—	—	830—840	м 140°	200—210 $\tau = 3-5$ час., Ст. 150°, $\tau = 48$ час.	56—60
	ХГ	—	—	840—850	м 140°	$H_{mo} = 160^\circ$ $\tau = 1$ час., 180—200; Ст. 150°, $\tau = 24$ часа	58—62
VIII. Роторы гидронасоса, установочные колпачки, втулки, муфты, оправки и др.	40Х	—	—	820—840		180—200	— 45—50
XI. Винты, болты, гайки, шайбы, простановочные кольца и др.	35	40	—	850—860	в	200—300	— 30—40

Условия поверхностной закалки с электронагревом т. в. ч. шестерен станков с модулем 3,25—4,5, изготовленных из стали марки 45 [91]

Характеристика шестерен			Условия индукционного нагрева			
Наружный диаметр в мм	Ширина зуба в мм	Модуль в мм	Мощность в квт	Удельная мощность в квт·сек/см ²		Удельный расход электроэнергии в квт·сек/см ²
99	36	3,25	71,4	0,7	18	12,0
152	15	3,25	63,0	0,9	15	14,0
93,5	22	4,25	61,2	1,0	15	33,4
153,0	26	4,25	80,0	0,66	45	29,0
42*	30	3,5	46,2	1,2	6	7,3

Рекомендуемые марки стали, технические условия и схемы термической обработки деталей сельскохозяйственных машин [98]

Типовые детали	Марка стали или чугуна	Технические условия и схемы термической обработки	Твердость	
			закаленной зоны	незакаленной зоны
Лемехи плугов тракторных	Л65 (ГОСТ 5687-51)	σ $\sigma_M (20-45 \text{ мк})$	450-650 H_B	$\leq 255 H_B$
Лемехи плугов конных	Л53 (ГОСТ 5687-51)	$\sigma_M (20-35 \text{ мк})$	450-650 H_B	$\leq 255 H_B$
Лемехи лущильников и предплужников	То же	То же	350-450 H_B	250-350 H_B
Лемехи копача	50		350-450 H_B	250-350 H_B
Лемехи картофелеуборочных машин	50		350-450 H_B	$\leq 300 H_B$
Лемехи корчевателя	Л65		350-550 H_B	$\leq 250 H_B$
Отвалы плугов	МСт. 2 или 15 Трехслойная сталь	σ : $\delta = 1.2+1.8 \text{ мм}$ (для конных плугов) $\delta = 1.5+2.2 \text{ мм}$ для тракторных, $\delta = 1.0+1.5 \text{ мм}$ для предплужников σ $\delta_1 = 2.4 \pm 0.3 \text{ мм}$ $\delta_2 = 2.2 \pm 0.3 \text{ мм}$ $\Delta\delta = 0.0 \pm 0.3 \text{ мм}$ $\sigma_M (> 20 \text{ мк})$	$\geq 450 H_B$ $\geq 50 HRC$ $\geq 450 H_B$ $\geq 50 HRC$	- -
Отвалы окучника	Ст. 6	σ_M	$\geq 300 H_B$	-
Отвалы копача	50	σ , σ_M	250-350 H_B	-
Лапы культиваторов	65Г-70Г для лап, подрезающих растения; МСт. 5, МСт. 6 для рыхлительных лап	σ_M , σ (зоны, прилегающей к леевиту)	$\leq 350-500 H_B$	$\leq 350 H_B$
Лапы свеклоуборочных машин	Л53	σ_M , σ	То же	То же
Диски плугов, лущильников, борон и сеялок	65Г-70Г	σ или σ_M	321-415 H_B	-
Диски полевые (тракторных и конных плугов и лущильников)	МСт. 6 или Л53	σ_M , σ (100-200 мк)	404-555 H_B	$\leq 280 H_B$
Сегменты и вкладыши (режущих аппаратов уборочных машин)	У9	σ_M , σ	50-60 HR_{C}	$\leq 35 H_B$
Вкладыши самоходного комбайна (дет. 6111)	35	σ (20 мк) $\delta = 0.6+1.0 \text{ мм}$	45-50 HR_{C}	-
Ножи кормоизмельчивающих машин (силосорезок, соломорезок и корнерезок)	У9 или 65Г-70Г	σ_M , σ	450-550 H_B 47-56 HR_{C}	$\leq 38 HRC$
Ножи свеклоуборочных машин	У9	σ , σ	45-65 HR_{C}	-
Ножи жмыходробилки	15	σ , σ	90-96 HS_{sh}	-
Ножи узловязателя споновязалок	У9	σ_M , σ	50-58 HR_{C}	15-35 HR_{C}
Ножи и гребенки аппарата для стрижки овец	У12А или У13	σ , σ	60-65 HR_{C}	-

Продолжение

Типовые детали	Марка стали или чугуна	Технические условия и схемы термической обработки	Твердость	
			закаленной зоны	незакаленной зоны
Зубья барабанов молотилок саблевидные	МСт. 6 или 45	β_M , O	400—510 H_B	$\leq 300 H_B$
Косы сельскохозяйственные	У7А или У8А	β , O	40—50 H_{RC}	—
Зубья поперечных граблей	65Г или 70Г	β , O*	341—444 H_B в верхней части и середине	$>269 H_B$ на пальце
Наральники пружинных борон Наральники сошников сеялок	Л53 Ст. 5	β_M , O** β_M , O	350—500 H_B $>350 H_B$	$\leq 300 H_B$ —
Крылья отвала окучника	Ст. 6	β , O	$>300 H_B$	—
Боковина сошника и загортач картофелесажалки	65Г	β_M , O	350—500 H_B	$\leq 350 H_B$
Молотки дробилки	МСт. 2	Π , β_M (50 мм)	56—62 H_{RC}	—
Пилы хлопкоочистительных машин	85	β , O	30—35 H_{RC}	—
Оси тракторных плугов и дущильников	Л53	β_M , O	300—450 H_B	—
Звенья цепи элеватора картофелеуборочных машин Цепи приводные втулочно-роликовые: пластинки	65Г	То же	38—45 H_{RC}	$\leq 30 H_{RC}$
валики	40, 45, 50 10, 15, 20 40, 45, 50	β , O Π , β β , O	40 H_{RC} 40—50 H_{RC}	— —
втулки и ролики	10, 15, 20	Π , β ***	35—45 H_{RC}	—

* При нагрузке 15 кг деформация 5,0—600 мм; остаточная деформация ≤ 30 мм.** При нагрузке 120 кг деформация >200 мм; остаточная деформация <4 мм.

*** Предельная нагрузка на цепи при шаге 38 мм—3000 кг; при шаге 41,3 мм—3500 кг.

Продолжение

Типовые детали	Марка стали или чугуна	Технические условия и схемы термической обработки	Твердость	
			закаленной зоны H_{RC}	незакаленной зоны
Пластинка и собачки автомата плуга	МСт. 2	Ц, З	45—50	—
Пластинки трения режущих аппаратов уборочных машин	У9	З _М , О	48—58	≤35 H_{RC}
Пальцевый брус косилок	МСт. 6 или 45	З, О	230—320 H_B	—
Палец головки шатуна ветро-двигателя	МСт. 2	Ц, З	45—50	—
Рессоры сидений	65Г или 70Г	З, О	280—370 H_B	—
Детали самоходного комбайна: мастерни (6116)	40	З, О	45—50	—
(6244)	40Х	То же	48—53	—
(6164, 6165, 6245)	40Х	Цир. $\delta = 0,15$ мм, З, О	48—53	20—40 H_{RC}
Вал ведущий (6119—6120)	40	З, О	35—40	(на шлицах)
Вал приемочный (6159)	40Х	То же	255—285 H_B	—
Вал сцепления (6163)	40Х		18—22	—
Полусоси (6242 и 6243)	40Х	З, О	369—415 H_B	—
Палец (6185)	40	З, О	35—40	—
Втулка и ролик цепи (6240 и 6258)	35	Цир. $\delta = 0,2 \div 0,3$ мм	35—40	—
Золотник (6124)	35	З, О	35—40	—
Валик цепи (6316, 6317)	45	З, О	40—45	—
Эксцентрик тормоза (6337)	40	З, О	25—35	—
Звездочки двухрядные (6364, 6359, 4679)	40	З, О	45—50	—
Вал трехзвездочный и сухарь (6157)	40	З, О	45—50	—
Сухарь и пробка (6335 и 6336)	Ст. 3	Цир. $\delta = 0,1 \div 0,2$ мм	30—35	—
Звездочки всех типов, кулачковая муфта, муфта сцепления и направляющая пятика ножа	Ст. 15—22 (МСч. 28—48 Сч. 21—40)	З, О или З _М , О	321—415 H_B	—
Детали споновязалки:				
Червяк и зубчатка дисков пальца	МСт. 2	Ц, З	40—50	—
Челюсть крючка вязателя	65Г	З _М , О	30—40	—
Чистка диска вязателя и держатель шпагата	У9	З _М , О	40—50	—
Зубчатка для цепных передач вала барабана комбайна	10 или 25	Ц, З	54—62	—
Цепи приводные крючковые из штампованных звеньев (с шагом 38 мм)	80Г	З, О	38—45	—
Звенья цепей *	КЧ 33—8, КЧ 35—10	{ H З, О	145—204 или 187—255 285—350 H_B	—

* Предельная нагрузка на цепи при шаге 30 мм—600 кг; при шаге 38 мм ≥900 кг.

Типовые режимы термической обработки инструментов из быстрорежущей стали
 [177, т. 7]

Марка стали	Отжиг*		Закалка			Отпуск			Цинн-рование	
	Температура в °C		Охлаждающая среда	Твердость H_{RC}	Темпера-тура в °C	Крат-ность	Твердость H_{RC}			
	температура в °C резцов	фасонного инструмен-та								
P9	870—890	1240—1260	1210—1240	Масло при 200—250°, далее на воздухе; селитра при 450—550°, далее на воздухе	62—63	550—570	2—3	62—64	535—545	
P18	870—890	1280—1310	1260—1290		62—63	540—550	2—3	63—65	550—560	

* Отжиг: нагрев до указанной в таблице температуры, выдержка при ней 3—4 часа, охлаждение до 750—760° со скоростью 20—40° в час, охлаждение с 750—760° до 600 со скоростью 6—10° в час и далее на воздухе. Твердость 207—255 H_B . Отжиг изотермический: нагрев до указанной в таблице температуры, выдержка при ней 3—4 часа, охлаждение до 720—700° со скоростью 40—50° в час, выдержка при этой температуре 2—4 часа и далее охлаждение на воздухе. Твердость до 260 H_B .

Нагрев под закалку производится с подогревом в двух интервалах температур: первый 600—650°, второй 850—900°. Продолжительность нагрева зависит от размеров инструмента. Выдержка при многократном отпуске равна 1 час, а при однократном—3—6 час.

Типовые режимы термической обработки режущего и измерительного инструмента из легированной стали
 [177, т. 7]

Марка стали	Крити-ческая точка A_c в °C	Отжиг		Закалка			Отпуск в °C	
		Температура в °C	Твердость H_B	Охлаждающая среда	Твердость H_{RC}			
X12	800	850—870 или	3,7—4,1 269—217	900—950	Масло или струя воздуха	—	220—260	
X12M	810	780—800	3,8—4,2 255—207	1000—1030	Спокойный воздух или масло	—	400	
				1100—1150*	Масло	—	525, двукратный	
XГ	740	780—800 или 710—730	3,9—4,3 241—197	800—820		62—64	170—200	
X	750	780—800 или 710—730	4,0—4,4 299—187	820—840		62—64	170—200	
9Х	740	780—800 или 710—730	4,1—4,5 217—179	820—840	Масло или вода	64—66	—	
X05	730	780—800	3,9—4,3 241—197	760—780	Вода	63—65	Кипячение в воде	
9ХС	770	820—840	4,0—4,4 229—187	840—860	Масло	62—64	150—200	
4ХС	765	840—860	4,2—4,6 207—170	850—870	Вода	—	—	
Ф	730	760—780 или 680—720	4,1—4,5 217—179	890—920	Масло	62—64	—	
B1	740	780—800 или 680—720	4,0—4,4 229—187	790—810	Вода	63—65	150—200	
XБ5	760	780—800 или 730—750	3,6—4,0 285—229	800—820	Масло	65—67	150—170	
XБГ	750	780—800 или 700—720	3,8—4,2 255—207	850—860	Масло	62—65	190—210	
				790—820	—	63—65	190—210	

* Для получения вторичной твердости и увеличения красностойкости (режущий инструмент).

** Для плашек температура отпуска 220—240°.

Формулы (практические) для определения продолжительности подогрева и окончательного нагрева под закалку различных инструментов
 [177, т. 7, гл. XI]

Вид инструмента	Подогрев τ в мин. до температуры в $^{\circ}\text{C}$		Окончательный нагрев под закалку τ в мин.
	550—600	800—850	
Метчики, развертки, сверла, круглые протяжки и прочий стержневой инструмент	$\tau = bD$	$\tau = cD$	$\tau = aD$
Фрезы, насадные развертки, насадные зенкеры, у которых $\frac{D-d}{2} < h$.	$\tau = b \frac{D-d}{2}$	$\tau = c \frac{D-d}{2}$	$\tau = a \frac{D-d}{2}$
Круглые и накатные плашки, фрезы при $\frac{D-d}{2} > h$, молотовые штампы и штампы для холодного деформирования стали	$\tau = bh$	$\tau = ch$	$\tau = ah$
Круглые протяжки из легированной стали при нагреве в электропечи	$\tau = (d+4) b$	—	$\tau = d+4$
То же шпоночные протяжки	$\tau = (n+4) b$	—	$\tau = n+4$

D — диаметр режущей части инструмента в мм; d — диаметр отверстия инструмента в мм
 h — высота и толщина в мм; b, c, a — коэффициенты (см. табл. ниже).

Значение коэффициентов a , b и c (в $\text{мм}/\text{мин}$) для расчета продолжительности нагрева по формулам вышеприведенной таблицы

Материал инструмента	Коэффициенты	Тип печи	
		Соляная ванна	Периодического действия
Углеродистая сталь	a	0,10—0,17 0,30—0,35 (без подогрева)	0,7—0,8 1,2—1,5 (без подогрева)
	b	0,30—0,40	1,4—2,5
Легированная сталь	a	0,15—0,20	1,0—1,2
	b	0,30—0,40	1,4—2,5
Высоколегированная сталь X12 и X12M	a	0,17—0,18	0,4—0,5
	b	0,30—0,40	1,4—2,5
	c	0,30—0,35	0,8—1,1
Быстрорежущая сталь Р18 и Р9	a	0,09—0,12	0,25
	b	0,35—0,50	2,0—2,5
	c	0,30—0,35	0,8—1,1

Для свинцовой ванны — коэффициент a , для углеродистой стали — 0,1 (без подогрева).

Типовые режимы термической обработки инструментов, деформирующих металл давлением [177, т. 3 и 7]

Марка стали	Режим термической обработки				Отпуск °C	Твердость		
	Отжиг		Закалка					
	Температура в °C	Твердость (H _B)	Температура в °C	Охлаждающая среда				
в холодном состоянии								
У10А	680—720	(4,7—4,3) 163—217	770—800	Вода	200—360	H _{Rc} 60—44		
Х	780—800	(4,4—4,0) 187—229	820—840	Масло	200—260	59—53		
9ХС	820—840	(4,3—3,9) 197—241	820—850		275—320	55—60		
6ХС	760—780	(≥3,9) ≤241	840—860		180—200	56—54		
ХГ	790—810	(4,3—3,9) 197—241	820—840		200—260	58—55		
4ХВ2С	760—780	(4,2—3,6) 207—285	860—900		240—270 220—260	58—54 48—41		
5ХВ2С	760—780	(4,5—4,1) 179—217	790—810	Вода	240—280	55—52		
Ф	760—780	(4,5—4,1)	850—900	Масло	400—350	50—47		
5ХВГ	~790	179—217	850—900					
X12	850—870	(4,1—3,7) 217—269	950—1000		400—525	60—57		
X12М	780—800	(4,2—3,8) 207—255	1025—1050		400—525	60—57		
в горячем состоянии *								
У7А	680—720	>207	800—830	Вода	200—420	H _B 600—321		
5ХНМ	700	197—241	820—860	Масло	500	364—418		
6ХНМ	700	207—255	820—860		525	340—387		
5ХГМ	700	197—241	820—850		540	364—418		
6ХВ2С	760	229—285	880—900		550—600	375—321		
5ХВ2С	760	207—255	860—880		550—600	364—311		
4ХВ2С	760	179—217	850—900		550—600	351—302		
4ХС	800	174—207	890—900		600—660	311—277		
35ХГСА	820	187—255	900—940		650—670	311—277		
7Х3	760	187—229	860—880		480—550	418—364		
8Х3	760	207—255	820—860		480—550	444—397		
5ХВГ	790	197—241	810—830		540—600	418—321		
3Х2В8	820	187—229	1050—1100		600—620	477—364		

* Охлаждение при отжиге со скоростью 50° в час. до 350—400°, далее — на воздухе.

Типовые режимы термической обработки стали, применяемой для прессформ литья под давлением [177, т. 3 и 7]

Марка стали	Режим термической обработки					Твердость H_{RC}	
	Отжиг		Закалка		Отпуск в $^{\circ}\text{C}$		
	Температура в $^{\circ}\text{C}$	Твердость (σ), H_B	Температура в $^{\circ}\text{C}$	Охлаждающая среда			
3Х2В8 .	850—860	(4,2—3,8) 207—255 (4,5—4,1)	1050—1100	Масло	575—600	44—40	
4ХВ2С	800—820	179—217 (4,2—3,8)	860—900		190—210	—	
5ХВ2С	800—820	207—255 (>4,2)	860—900		240—270	—	
3Х13	860	<207	1050	Масло или воздух	600	40—43	
5ХНМ	830—860	(4,3—3,9) 197—241 (4,9—4,4)	820—850	Масло	520—550	39—35	
У8А .	750—760	156—187 (4,7—4,3)	800—820	Вода	На требуемую твердость		
У10А	760—780	163—197	780—800		То же		

**Технологический процесс катодного травления стальных деталей
(Автозавод имени Сталина)**

Операция	Состав электролита в г/л	Режим
Обезжиривание анодное	NaOH—85 Na ₃ PO ₄ —30	$t = 80^{\circ}$; $D = 7 \text{ а/дм}^2$; $\tau = 10\text{--}15 \text{ мин.}$; катоды железные
Промывка	—	$t = 50\text{--}60^{\circ}$; $\tau = 1,0 \text{ мин.}$
"	—	$t = 15\text{--}20^{\circ}$; $\tau = 1,0 \text{ мин.}$
Травление катодное	H ₂ SO ₄ —50 HCl—30 NaCl—22	$t = 60\text{--}70^{\circ}$; $D = 7 + 10 \text{ а/дм}^2$; $\tau = 10\text{--}15 \text{ мин.}$; анод—кремнистый чугун (2,0—2,4% Si) и сурьмянистый свинец*
Промывка	—	$t = 50\text{--}60^{\circ}$; $\tau = 1,0 \text{ мин.}$
"	—	$t = 15\text{--}20^{\circ}$; $\tau = 1,0 \text{ мин.}$
Анодное снятие свинцовой пленки	NaOH—85 Na ₃ PO ₄ —30	$t = 50\text{--}60^{\circ}$; $D = 5\text{--}7 \text{ а/дм}^2$; $\tau = 8\text{--}12 \text{ мин.}$; катоды железные
Промывка	—	$t = 15\text{--}20^{\circ}$; $\tau = 1,0 \text{ мин.}$
"	—	$t = 90\text{--}95^{\circ}$; $\tau = 1,0 \text{ мин.}$

* Стойкость анодов из кремнистого чугуна 4—6 месяцев; полоски из сурьмянистого свинца завешиваются на анодные штанги, поверхность их составляет 1—2% от поверхности чугунных анодов.

КОНТРОЛЬ ТВЕРДОСТИ

Соотношение между величинами твердости при испытании различными приборами приведено в табл. на стр. 215.

Определение твердости стальным шариком (ОСТ 10241-40 для H_B до 450) прибором типа ПБМ.

$$H_B = \frac{P}{F} = \frac{P}{D^2} \left(\frac{\frac{2}{\pi}}{1 - \sqrt{1 - \left(\frac{d}{D} \right)^2}} \right),$$

где D — диаметр шарика в мм; d — диаметр отпечатка в мм.

Толщина испытуемой детали должна быть не менее 10-кратной глубины отпечатка, а выдержка под нагрузкой — от 15 до 60 сек., в зависимости от материала. Этим методом испытываются главным образом поковки, отливки.

Соотношение между пределом прочности при растяжении и твердостью H_B : для кованой и катаной стали $\sigma_{sp} = 0,36 H_B$, для серого чугуна $H_B = 40$ $\sigma_{sp} = \frac{H_B}{6}$ и для стального литья $\sigma_{sp} = (0,3 \div 0,4) H_B$.

Определение твердости твердомером с алмазной пирамидой ТП (НВ)

$$H_V = \frac{P}{F} = \frac{2P \sin \frac{\alpha}{2}}{d^2}$$

Толщина испытуемой детали и выдержка под нагрузкой при испытании прибором ПБМ

Материал	Твердость H_B	Толщина испытуемого металла в мм	Диаметр шарика в мм	Нагрузка P в кг	Выдержка под нагрузкой t в сек.
Черные металлы	150—450	>6 3—6 <3	10 5 2,5	3000 750 187,5	15 15 15
	<150	>6 3—6 <3	10 5 2,5	3000 750 187,5	30 30 30
Медь, латунь, бронза, магниевые сплавы	31,8—130	>6 3—6 <3	10 5 2,5	1000 250 62,5*	30 30 30
Алюминий, подцинковые сплавы	3—35	>6 3—6 <3	10 5 2,5	250 62,5* 15,6*	60 60 60

* Нестандартная нагрузка.

d — диагональ отпечатка в мм; α — угол при вершине между противоположными гранями пирамиды. При $\alpha = 136^\circ$

$$H_V = 1,8544 \frac{P}{d^2}.$$

Рекомендуемая нагрузка P — по таблице. Стандартная нагрузка — 50 кг. При испытании тонких слоев диффузионных поверхностных гальванических покрытий может также применяться нагрузка менее 5 кг.

Рекомендуемая нагрузка при контроле твердомером с алмазной пирамидой ТП (НВ)

Толщина детали в мм	Твердость H_V			
	25—50	50—100	100—300	300—900
Рекомендуемая нагрузка P в кг				
0,3—0,5	—	—	—	5; 10
0,5—1,0	—	—	10; 20	10; 20
1—2	5; 10	5; 10	10; 20	10; 20
2—4	10; 20	20; 50	20; 50	20; 50
>4	20; 50	30; 50	50 и выше	50; 100; 120

Этим методом испытываются азотированные и цинкованные детали, а также детали, поверхностно закаленные на малую глубину.

Определение твердости алмазным конусом или стальным и шариком (для

$H_B > 450$) на приборе типа ТК (РВ) (тврдомер конусный)

$$H_R = K - \frac{h}{c},$$

где $K = 130$ при испытании стальным шариком (шкала В); $K = 100$ при испытании алмазным конусом (шкалы С и А); c — цена деления индикатора, равная 0,002 мм; h — глубина вдавливания шарика или конуса.

Обозначения шкал по ОСТ 10242-40.

Применяемые нагрузки: обычный прибор ТК $P_0 = 10$ кг; $P = 60$; 100 или 150 кг.

Прибор для определения твердости в тонких слоях $P_0 = 3$ кг; $P = 15$, 30 и 45 кг и соответственно шкалы 15—Т, 30—Т и 45—Т при испытании стальным шариком $\varnothing 1,588$ мм и 15—Н, 30—Н и 45—Н — алмазным конусом.

Определение твердости по методу упругого отскока бойка H_{Sh} прибором ШРС.

Мера твердости — высота отскока h стального бойка весом 2,5 г, падающего на испытуемую деталь с высоты $H = 254$ мм. Шкала прибора имеет 140 равных делений; деление 100 соответствует твердости закаленной на мартенсит высокогородистой стали. При испытании

Характеристика прибора ТК (РВ)

Обозначение шкалы	Твердость H_B	Наконечник	Нагрузка в кг	Пределы шкалы	Обозначение твердости
В	60—230	Стальной шарик $\varnothing 1,588$ мм	100	25—100	H_{RB}
С	230—700	Алмазный конус (Угол конуса 120°)	150	20—67	H_{RC}
А	> 700	То же	60	Свыше 70	H_{RA}

Расстояние между центрами соседних отпечатков и до края изделия при испытании берется по шкалам А и С $> 2,5$; по шкале В > 4 мм.

мягких металлов применяется стальной бойек с тупым наконечником, при этом H_{Sh} $H'_{Sh} = 0,56$.

Техническая характеристика приборов для контроля твердости [61, а]

Параметры	ПБМ*	ПБ-750А	ПБ-З	ТК* (РВ) (ТУ ММ и П 20/Х 1951 г.)	ТП* (НВ) (ТУ ММ и П 23/ХII 1950 г.)
Предварительная нагрузка в кг	3000; 1000;	750; 250;	3000; (1000;	10	120; 100;
Основная нагрузка в кг	750; 250 и 187,5	187,5; 62,5	750; 500)	150, 100 и 60	(62,5); 50; 30; 20; (15,6); 10 и 5
Максимальное отклонение величины нагрузки в %	± 1	—	—	± 1	± 1
Диаметр испытательных шариков в мм	10,5 и 2,5	5 и 2,5	10 и 5	—	—
Наибольшая высота испытуемого изделия в мм	250	120	160	200	180
Расстояние от центра отпечатка до станины прибора в мм	120	75	100	135	130
Продолжительность одного испытания в сек.:					
для стали	16—18	—	—	—	—
для цветных металлов	36—38 (60)	—	—	—	—
Мощность электромотора в квт	0,25	—	—	—	—
Габаритные размеры в мм:					
длина	710	360	700	480	450
ширина	430	150	220	205	210
высота	885	446	600	625	675
Вес прибора (нетто) с грузами в кг	260	36	120	65	80
Условное обозначение единиц твердости	H_B	H_B	H_B	H_R	H_V

* См. Прейскурант на приборы и лабораторное оборудование, ММиП, Машгиз, 1951.

Для углеродистой стали действует следующее соотношение:

$$H_B \approx 7H_S; \quad e_{sp} \approx 2,5H_{Sh}.$$

Этим методом контролируются главным образом цементованные или поверхностно закаленные детали при толщине сечения деталей более 2 мм.

Соотношение чисел твердости, определенных различными методами

Твердость по прибору ПБМ, при испытании стальным шариком $\varnothing 10 \text{ мк}$ при $P = 3000 \text{ кг}$		Твердость по прибору ТК (РВ)		Твердость по прибору ТП (НВ) при испытании пирамидой H_V	Твердость по методу упругого отсека (по прибору ШРС) H_{Sh}
Диаметр отпечатка в мк	H_B	При испытании алмазным ко- нусом при $P = 150 \text{ кг}$ (шкала С); H_{RC}	При испытании стальным ша- риком $\varnothing 1,568 \text{ мк}$ при $P = 10^3 \text{ кг}$ (шкала В); H_{RB}		
2,00	946			—	—
2,05	898	—	—	—	—
2,10	875	—	—	—	—
2,15	817	—	—	—	—
2,20	782	72	—	1220	107
2,25	744	69	—	1114	100
2,30	713	67	—	1021	96
2,35	683	65	—	940	92
2,40	652	63	—	867	88
2,45	627	61	—	803	85
2,50	600	59	—	746	81
2,55	578	58	—	694	78
2,60	555	56	—	649	75
2,65	532	54	—	606	72
2,70	512	52	—	587	70
2,75	495	51	—	551	68
2,80	477	49	—	534	66
2,85	469	48	—	502	64
2,90	444	47	—	474	61
2,95	430	45	—	460	59
3,00	415	44	—	435	57
3,05	402	43	—	423	55
3,10	387	41	—	401	53
3,15	375	40	—	390	52
3,20	364	39	—	380	50
3,25	351	38	—	361	49
3,30	340	37	—	344	47
3,35	332	36	—	335	46
3,40	321	35	—	320	45
3,45	311	34	—	312	44
3,50	302	33	—	305	42
3,55	293	31	—	291	41
3,60	286	30	—	285	40
3,65	277	29	—	278	39
3,70	269	28	—	272	38
3,75	262	27	—	261	37
3,80	255	26	—	255	36
3,85	248	25	—	250	36
3,90	241	24	100	240	35
3,95	235	23	99	235	34
4,00	228	22	98	226	33
4,05	223	21	97	221	33
4,10	217	20	97	217	32
4,15	212	19	96	213	31
4,20	207	18	95	209	30

Продолжение

Твердость по прибору ПБМ, при испытании стальным шариком $\varnothing 10 \text{ мм}$ при $P = 3000 \text{ кг}$		Твердость по прибору ТК (РВ)		Твердость по прибору ПТ (НВ) при испытании пирамидой H_V	Твердость по методу упругого отсека (по прибору ШРС) H_{Sh}
Диаметр отпечатка в мм	H_B	При испытании алмазным ко- нусом при $P = 150 \text{ кг}$ (шкала С); HRC	При испытании стальным ша- риком $\varnothing 1,588 \text{ мм}$ при $P = 100 \text{ кг}$ (шкала В); HR_B		
4,25	202	—	94	201	30
4,30	196	—	93	197	29
4,35	192	—	92	190	29
4,40	187	—	91	186	28
4,45	183	—	89	183	28
4,50	179	—	88	177	27
4,55	174	—	87	174	27
4,60	170	—	86	170	26
4,65	166	—	85	166	26
4,70	163	—	84	163	25
4,75	159	—	83	159	25
4,80	156	—	82	156	24
4,85	153	—	81	153	24
4,90	149	—	80	149	23
4,95	146	—	79	146	29
5,0	143	—	78	143	22
5,05	140	—	77	140	21
5,10	137	—	75	137	21
5,15	134	—	74	134	19
5,20	131	—	73	131	19
5,25	128	—	72	128	19
5,30	126	—	71	126	19
5,35	124	—	70	124	19
5,40	121	—	68	121	19
5,45	118	—	67	118	19
5,50	116	—	65	116	19
5,55	114	—	64	114	18
5,60	112	—	63	112	18
5,65	109	—	61	109	18
5,70	107	—	60	107	18
5,75	105	—	58	105	18
5,80	103	—	57	103	18
5,85	101	—	56	101	17
5,90	99	—	55	99	17
5,95	97	—	53	97	17
6,00	95	—	51	95	17

**Удельный расход материалов,
применяемых при термической
обработке**
(отнесенный к весу нагреваемых
изделий)

1. *Газы — защитная атмосфера в муфельных или герметически закрытых печах при светлом отжиге* — 4—6 $\text{м}^3/\text{т}$; продувка муфеля 4—6-кратным объемом; расход газа при выдержке 1,5—2,0 $\text{м}^3/\text{час}$

(при давлении в муфеле 20—40 мм вод. ст.); при охлаждении — до 0,5 $\text{м}^3/\text{час}$ (при 10—30 мм вод. ст.).

2. То же в печах непрерывного действия — 0,20—0,25 $\text{м}^3/\text{кг}$; на печь 40 $60 \text{ м}^3/\text{час}$ при давлении на поду $\sim 0,5 \text{ мм}$ вод. ст.

3. *Закалочные среды*. Масла — веретенное 2, машинное Л, льняное и др. — 1,0—2,0%; 10% -ный водный раствор $\text{NaOH} \sim 0,1\%$.

Вода — 6—8 л/кг; $q_s = 1.5$ л/сек при поверхности закалке душем, f — площадь отверстий душа в см².

4. Нагревательные среды. Свинец до 5%; соли NaCl, KCl, BaCl₂ и др. ~ 2,0%; цианистые соли, добавляемые в количестве 2—5% для предупреждения обезуглероживания ~ 0,1%; масло Вапор ~ 1,0%; масло Вискозин ~ 2,0%; селитра калиевая и натриевая до 1,2%.

5. Карбюризаторы для цементации. Твердый при соотношении свежего к отработанному 25:30:75:70 от 3 до 5%; вес карбюризатора в ящике до 10% от веса деталей.

Керосин — 0,02—0,03 кг/кг, выход пирол-газа из 1 кг керосина 0,6 м³. Силировое масло для очистки пирол-газа 0,8 л/100 кг деталей или 0,3 л/м³ пирол-газа. Хлористый кальций (10%-ный водный раствор) для осушки крекинг-газа — 0,05 л/м³ газового карбюризатора.

Пиробензол в шахтных печах:

Размеры муфеля в мм		
Диаметр	Высота	Расход в г/час
350—450	600—700	200—300
450—500	900—1200	350—450
600—650	1200—1500	500—700

6. Цианизаторы: цианистый натрий ~ 2%, освежение ванн свежей цианистой солью ~ 5% от веса солей в ванне, нейтральные соли: CaCl₂ ~ 5,0%; NaCl ~ 3,0%; плав ГИПХ — 1,5—2,0%.

7. Аммиак при азотировании. 5—10 г/кг деталей массивных, 20—50 (до

80) г/кг деталей с большой удельной поверхностью.

8. Приспособления, поддоны и ящики. Ящики и поддоны для цементации: из листовой стали $\delta = 5\text{--}10$ мм — стойкость 200—250 час., ~ 5%; стального литья — стойкость до 500 час., ~ 6—8%; из листовой жароупорной стали $\delta = 5\text{--}10$ мм — стойкость 2500—3000 час., ~ 0,5—1,0%; жароупорного литья — стойкость 4000—5000 час.

9. Материалы, применяемые при очистке деталей от окалины и промывке деталей:

а) при промывке — сода Na₂CO₃ (10%-ный водный раствор) ~ 0,25—0,5%; каустическая сода NaOH ~ 0,5—1,0%; вода 20—30%; пар 10—15%;

б) при песко-дробеструйной очистке от окалины — песок речной 5—8%; дробь и стальной песок ~ 0,05—0,1%;

в) при травлении — техническая серная кислота или соляная кислота 3—4% без применения регуляторов и ~ 2% с применением регуляторов.

То же при электрическом травлении 1—1,5% с осаждением свинца и 0,5—0,8% без осаждения свинца. Известь 0,1—0,2%; сода Na₂CO₃ 0,025—0,035% (8% в начале процесса и 1% в конце), каустическая сода NaOH 0,04—0,05 (10% в начале процесса и 1% в конце).

Поваренная соль NaCl 0,01—0,015% без осаждения свинца и 0,10—0,15% с осаждением свинца; хлорное железо 0,015—0,018%; пар 160—200 кг/т; вода 15—20%.

Глава V

ПЕЧИ, НАГРЕВАТЕЛЬНЫЕ УСТАНОВКИ, ПРИБОРЫ ТЕПЛОВОГО КОНТРОЛЯ

Ввиду ограниченного объема в данном издании справочника приводятся материалы только по печам, нагревательным установкам и кратко по приборам теплового контроля.

Приведена характеристика только того оборудования, какое изготавливается в централизованном порядке различными заводами и организациями.

ВЕЧИ

Печи классифицируются:

1. По источникам тепловой энергии и способам ее использования.
2. По конструктивным особенностям и способам механизации.
3. По особенностям рабочего объема и применению внешних сред.
4. По назначению для различных процессов термической обработки.

I. Классификация термических печей по источникам тепловой энергии и способам ее использования

Вид тепловой энергии	Способ использования
A. Электроэнергия (электрические печи)	а) Металлические нагреватели б) Карборундовые нагретатели в) Электроды
Б. Газообразное топливо (печи с газовым обогревом)	а) Пламенное сжигание низкого давления б) Поверхностное беспламенное сжигание в) Микрофакельное сжигание (керамические горелки) г) Сжигание в радиационных трубах д) Атмосферное сжигание е) Диффузионное сжигание
В. Жидкое топливо (печи, работающие на жидким топливе)	а) Форсунки высокого давления б) Форсунки низкого давления
Г. Твердое топливо (печи, работающие на твердом топливе)	а) Индивидуальные газогенераторы б) Топки: горизонтальные и наклонные колосники; топки простые и полугазовые в) Пылеугольные топки

II. Классификация термических печей по конструктивным особенностям и способам механизации

Тип печей	Конструктивные особенности	Способы
А. Периодического действия	1. С горизонтальным неподвижным подом	Ручная загрузочная тележка; ручной толкател; приспособления на кране, крановой балке и монорельсе; загрузочно-выгрузочная машина
	2. Шахтные	Кран, крановая балка, монорельс ручной, электрический и пневматический подъемник

Продолжение

Тип печей	Конструктивные особенности	Способы механизации
А. Периодического действия	3. Печи-банки	Кран, крановая балка, монорельс, ручной, электрический и пневматический подъемник
	4. С выдвижны	Крановая балка. Для пода: лебедка, редуктор-рейка, кран
	5. С поднимающимся подом	Пневматический или гидравлический подъемник. Для пода: толкатель, редуктор-рейка
	6. Колпаковые (колокольные) с неподвижным основанием (подом)	Кран
	7. То же с передвижным основанием (подом)	Специальный подъемник для камеры нагрева; для пода: лебедка, толкатель, редуктор-рейка
	8. С передвижной камерой нагрева	Для передвижения камеры нагрева—ручной механизм и механизм от электромотора
	9. Горизонтально- и вертикально-протяжные (для проволоки и ленты)	Механизмы с намоточными барабанами
	10. С наклонным подом	Механизмы-толкатели (вертикальные), подъемники и т. п.
Б. Непрерывного действия	11. Толкательные	Толкатели ручные, механические — рычажные и винтовые, пневматические и гидравлические. Коэффициент трения 1,0; нагрузка на поддон $\sim 250 - 400 \text{ кг}/\text{м}^2$
	12. Конвейерные	Конвейеры — пластичные, сетчатые, ленточные, цепные и подвесные. Нагрузка на конвейер 200—350 $\text{кг}/\text{м}^2$, на крюк подвесного конвейера — 15—25 кг
	13. С роликовым подом	Проталкивание толкателями деталей, загруженных в ящики; вращение роликов от механизма
	14. С вращающейся роторной	Вращение от электромотора цепной передачей через редуктор
	15. С вибрирующим подом	Рычажный или эксцентриковый механизм, периодически встрахивающий под печи

Продолжение

Тип печей	Конструктивные особенности	Способы механизации
Б. Непрерывного действия	16. С шагающим подом	Эксцентриковый механизм, поднимающий и опускающий четырехугольную жесткую раму
	17. С вращающимся подом или сводом	Механизм непрерывного вращения от электромотора или периодического вращения от гидравлического и пневматического толкателя
	18. Механизированные печи-ванны	Механизм с червячным ведом, механизм со спиралью, конвейер. Карусель с подъемником

III. Классификация термических печей по особенностям рабочего объема и применению внешних сред

Тип печей по применению внешних сред	Особенности рабочего объема печей
А. Печи с воздушной атмосферой и продуктами горения*	вт — с верхним расположением топок нт — с нижним расположением топок бт — с боковым расположением топок вц — с выносными топками и циркуляцией атмосферы ц — с циркуляцией атмосферы м — муфельные
Б. Печи с искусственной атмосферой, получаемой в печи	мв — муфельные с частичным вакуумом мг — с газирующими муфелями гз — с газовой завесой
В. Печи с контролируемой атмосферой, получаемой вне печи	м — муфельные б-м — безмуфельные
Г. Печи-ванны: а) Масляные б) Свинцовые в) Соляные	{ т — тигельные { т — тигельные б-т — бестигельные

* Пламенные печи имеют отвод продуктов горения: а) в дымовую трубу через боров; б) в вентиляционную систему и в) непосредственно в цех.

**Классификация термических печей по назначению и рекомендация
их для различных процессов термической обработки**

Типы печей по технологическим процессам	Рекомендация по классификационным признакам		
	I	II	III
Отжигательные	Б а, б, г; В а, б; А а; Г а, б, в	А 1, 2, 4, 5; Б 9, 11, 16, 17	А вт, нт, бт; Б мв
Для светлого отжига	А а; Б г	А 6, 7; Б 12, 13	В м, б-м
Для патентирования прошлоки	А а; Б а, б, ; В б	Б 9	А вт, нт, вц
Нормализационные	Б а, б; В б; А а; Г а, б	А 1, 2, 4; Б 10-17	А вт, нт, бт
Для светлой нормализации	А а; Б г	А 2; Б 11-14	В м, б-м
Закалочные	А а; б, в; Б а, б, в; В б; Г а, б	А 1-4; Б 9-18	А вт, нт, бт, вц, м; Б мг, гз; Г бт, вт, вб-т
Для чистой и светлой закалки	А а, б; Б б, г	А 1, 2; Б 11-15 17 и 18	В м, б-м; Гв
Отпускные	А а, в; Б а, б, г, д; В б	А 1-4; Б 10-14, 17 и 18	А вц, ц, н; Г бт, вт, вб-т
Для цементации твердым карбюризатором	Б а, б; В б; Г а, б; А а	А 1; Б 11, 14, 17	А вт, нт, бт
То же газовой	Б а, б, г; В б; А а	А 2, 6, 7; Б 11, 14	В м, б-м
Для цементации жидкостной	А в; Б а; В б	А 3; Б 18	Г вт, вб-т
Для азотирования: газового жидкостного	А а; Б г А в; Б г	А 2, 8; Б 11 А 3; Б 18	В м Г вт
Для цинкования: газового жидкостного твердым цинкатором	Б а, б; А а, в; В б А а; Б а, б, г Б а, б; В б; А а; Г а	А 3; Б 18 А 2, 6, 7; Б 11, 14 А 1; Б 11, 14, 17	Г вт, вб-т В м, б-м А вт, нт, бт

Техническая характеристика электропечей (трест "Электропечь")

Тип печей		Мощность в квт*	Напряжение в в	Число фаз	Размеры рабочего пространства печи в мм			Максимальная производительность в кг/час	Габаритные размеры по площади в м ² ×L×H
Старое обозначение	Новое обозначение				ширина, диаметр	длина	высота		
ПНД-10	Н-14	15	60	1	150	330	150	25	1150 900
КН-15	Н-15	15	380/220	1/3	200	400	180	50	950
—	КН-15Б	15	380/220	1/3	300	650	250	50	1,1×1,7×1,5 1,8×1,64
—	КН-15В	15	75	1	300	450	150	35	1,04×1,32
ПН-12	Н-30	30	380/220	1/3	450	950	450	125	950
—	ПН-12Б	30	380/220	1/3	450	900	400	140	1,27×2,0×1,65 1,9×1,94
ПН-13	Н-45	45	380/220	3	600	1200	500	275	950
ПН-14	Н-60	60	380/220	3	750	1500	550	290	950
ПН-15	Н-75	75	380/220	3	900	1800	600	350	950
—	ПН-15Б	75	380/220	3	900	1800	600	380	950
—	Г-30	30/12	50-80	3	300	400	250	50	1300
—	Г-50	50/18	50-80	3	450	700	350	130	1300
ПН-22	Ш-30	30	380/220	1/3	Ø 450	—	800	140	950
ПН-31	—	24	220	1	Ø 400	—	500	100	650
—	ПН-31Б	24	380/220	1	Ø 400	—	500	100	650
ПН-32	—	36	380/220	3	Ø 500	—	650	280	650
ПН-31	—	75	380/220	3	Ø 950	—	1220	550	650
—	Ц-25	25	380	1	Ø 300	—	450	50	950
—	Ц-35	35	380	1	Ø 300	—	600	100	950
—	Ц-60	60	380/220	3	Ø 450	—	600	150	950
—	Ц-75	75	380	3	Ø 450	—	900	220	950
—	Ц-90	90	380/220	3	Ø 600	—	900	400	950
—	Ц-105	105	380/220	3	Ø 600	—	1200	500	950
ПА-32-3	А-20	20	220	1	Ø 500	—	530	25	600
ПШ-312	Ш-35	35/10	380/220	1/3 (2 зоны)	300	300	1200	125	950
—	Г65	65	380/220	—	300	300	1470	—	1300
ПШ-320	Ш-55	55/15	380/220	1/3 (2 зоны)	300	300	2040	230	950
ПШ-625	Ш-70	70	380/220	1/3 (3 зоны)	Ø 600	—	2500	330	950
ВС-21	В-10	10/6	220	1	Ø 200	—	350	30	850
ВС-21Б	В-11/7	11/7	120	1	Ø 200	—	400	30	850
ВЦ-22	В-20	20/7	220	1	Ø 300	—	535	80	850
ВЦ-23	В-30	30/9	380/220	1/3	Ø 400	—	555	130	850
—	С-20	20/10	17,5-5,5	1	Ø 220	—	460	90	1300
—	С-25	25/15	17,5-5,5	1	Ø 380	—	475	90	850
—	С-45	45/20	17,5-5,5	1	Ø 340	—	600	200	1300
—	С-50	50/10	17,5-5,5	3	600	900	450	100	600
—	С-100	100/15	17,5-5,5	3	600	900	450	160	850
СП2-35	—	35/15**	24,2-8,0	3	Междугорячими-220	—	420	30	1300
СП3-75	—	75/25**	17,5-5,5	3	Тоже	—	580	55	1300
—	Б-70 ***	70/17	380/220	3	Ø 310	2000	—	160	920
—	П1650 ****	650	380	3	2600	6700	1600	садка 30 т	950
—	ШО-130	13^	380/220	3	Ø 950/470	—	1850	1,0т	850
—	НШ-100	100	380/220	3	970	1800	600	100	850

* В знаменателе дроби указана мощность холостого хода печи.

** Печи применяются с трансформаторами (см. табл. на стр. 225), печи Н-14, КН-15Б и ВС-21Б применяются со специальными трансформаторами.

*** Для шариков Ø 5 мм.

**** Для отжига кокильного чугуна, с подъемным подом.

^ Для светлого отжига проволоки и ленты.

^ Для нагрева под закалку штампов.

Техническая характеристика серии конвейерных закалочно-отпускных электрических печей
 (трест „Электропечь“)

Наименование показателей	Агрегаты							
	I величины				II величины			
	A. Закалочные печи							
Тип	K70	K80	K100	K120	K160	K180	K200	
Мощность в квт	70	80	100	120	160	180	200	
Размеры рабоч. пространства в мм:								
ширина	400	400	400	400	600	600	600	
длина	2050	2700	3350	4000	4000	4650	5300	
высота	415	415	415	415	415	415	415	
Количество тепловых зон	2	2	3	3	3	3	4	
Мощность в квт:								
W _I	50	60	50	60	90	90	90	
W _{II}	20	20	30	40	40	60	60	
W _{III}	—	—	20	20	30	30	30	
Мощность холостого хода в квт	32	34	36	38	46	50	54	
Производительность в кг/час	120	160	200	250	360	410	460	
Длина ленты конвейера в м.	—	7,6	8,88	10,2	10,2	11,48	—	
Габаритные размеры (B×L×H) в м	2,35×4,2×2,0	2,35×5,2×2,0	2,35×5,8×2,0	2,35×6,2×2,0	2,55×6,18×2,0	2,55×6,83×2,0	—	
Б. Отпускные печи								
Тип	K45	K55	K65	K75	K95	K105	K125	K055
Мощность в квт	45	50	60	70	95	105	125	55
Размеры рабоч. пространства в мм:								
ширина	400	400	400	400	600	600	600	
длина	2800	3450	4100	4750	4750	5400	5700	6120
высота	415	415	415	415	415	415	415	415
Количество тепловых зон	2	2	3	3	3	4	4	3
Мощность в квт:								
W _I	30	35	30	35	60	45	55	35
W _{II}	15	15	15	17,5	15	30	35	10
W _{III}	—	—	15	17,5	20	15; W _{IV} 15	17,5; W _{IV} 17,5	10
Мощность холостого хода в квт	2,9	31	33	35	43	45	48	165
Производительность в кг/час	120	160	200	250	360	410	460	250
Длина ленты конвейера в м	—	10,0	11,28	12,6	—	13,76	16,48	—
Габаритные размеры (B×L×H) в см	2,35×4,8×2,0	2,35×5,4×2,0	2,35×6,1×2,0	2,35×6,77×2,0	—	2,55×7,42×2,0	2,55×8,7×2,0	—

П р и м е ч а и е. Напряжение для всех печей 380 или 220 в; температура закалочных печей 875°; отпускных 600°, для печи K055 200°; скорость конвейерной ленты — 0,042±0,21 м/мин, для печи K055—0,034±0,051 м/мин.

**Техническая характеристика толкательных закалочно-отпусочных электрических печей
(трест „Электропечь“)**

	Агрегат	Тип печи	Мощность в кВт *	Размеры рабочего пространства в м			Мощность зон в квт			Количество приспособлений **		Производительность печи		Габаритные размеры в м				
				ширина	высота	длина	I	II	III	подлонов	башмаков	емкость с поддонами в кг	емкость деталей в кг	производительность при $\tau = 4$ час в кг/час	температура в °C	B	H	L без механизмов
1-й величины	T-80	80	600	400	3350	55	25	—	10	40	1050	800	200	950	1,64	1,75	3,95	8,1
	T-55	55	600	400	4000	35	20	—	13	52	1365	1040	200	650	1,64	1,75	4,6	7,6
	T-100	100	600	400	4000	52	24	24	12	48	1250	940	235	950	1,64	1,75	4,6	8,75
	T-75	75	600	400	4650	38	18,5	18,5	15	60	1575	1200	235	650	1,64	1,75	5,25	8,25
	T-120	120	600	400	4650	60	30	30	14	56	1500	1120	280	950	1,64	1,75	5,25	9,4
	T-85	85	600	400	5300	48	20	20	17	68	1785	1360	280	650	1,64	1,75	5,9	8,9
2-й величины	T-170	170	900	500	5300	85	42,5	42,5	16	64	2250	1680	420	950	1,94	1,85	5,9	10,05
	T-115	115	900	500	6600	60	27,5	27,5	21	84	2940	2205	420	650	1,94	1,85	7,2	10,2
	T-200	200	900	500	5950	110	45	45	18	72	2600	1960	490	950	1,94	1,85	6,55	10,7
	T-135	135	900	500	7250	70	32,5	32,5	23	92	3335	2353	490	650	1,94	1,85	7,85	10,85
	T-220	220	900	500	6600	130	45	45	20	80	2950	2240	560	950	1,94	1,85	7,2	11,35
	T-145	145	900	500	7900	75	35	35	25	100	3675	2800	560	650	1,94	1,85	8,5	11,5
3-й величины	T-240	240	1200	500	5300	135	52,5	52,5	8	96	3450	2820	705	950	2,24	1,85	5,9	—
	T-166	166	1200	500	6600	85	40	40	10	120	3750	3150	705	650	2,24	1,85	7,2	—
	T-270	270	1200	500	5950	140	65	65	9	108	3750	3160	790	950	2,24	1,85	6,55	—
	T-185	185	1200	500	7250	95	45	45	11	132	4125	3465	790	650	2,24	1,85	7,85	—
	T-300	300	1200	500	6600	156	72	72	10	120	4200	3540	885	950	2,24	1,85	7,2	—
	T-195	195	1200	500	7900	100	47,5	47,5	12	144	4560	3840	885	650	2,24	1,85	8,5	—
4-й величины	T-320	320	1500	600	5300	166	77	77	8	128	4700	4040	1010	950	2,54	1,95	5,9	—
	T-215	215	1500	600	6600	110	52,5	52,5	10	160	5250	4500	1010	650	2,54	1,95	7,2	—
	T-360	360	1500	600	5950	180	90	90	9	144	5350	4580	1150	950	2,54	1,95	6,55	—
	T-235	235	1500	600	7250	120	57,5	57,5	11	176	5885	5060	1150	650	2,54	1,95	7,85	—
	T-400	400	1500	600	6600	210	95	95	10	160	6000	5160	1232	950	2,54	1,95	7,2	—
	T-265	265	1500	600	7900	135	65	65	12	192	6540	5640	1230	650	2,54	1,95	8,5	—

* Напряжение сети 380/220 в, число фаз — 3.

** Количество направляющих у печей, агрегатов 1-й и 2-й величин — 2 с расстоянием между направляющими 450 мм, у печей агрегатов 3-й величины — 2 и 4 с расстоянием 620 и 450 мм; у печей агрегатов 4-й величины — 4 с расстоянием 450 мм; размер подлонов по длине для печей агрегатов 1-й и 2-й величины — 340 мм, для 2-й и 3-й величины — 680 мм, длина башмаков для всех печей — 170 мм.

**Техническая характеристика сухих трансформаторов, предизначаемых для питания
электрических печей [183]**

Тип	Номинальная мощность в ква	Число фаз	Напряжение в в		Номинальная сила тока на высокой стороне в а		Номинальная сила тока на низкой стороне в а	Габаритные размеры в мм B×L×H
			первичное	вторичное	при 220 в	при 380 в		
I. Однофазные								
ТПО-22 (СВО-2)	2	1	220	10—5	—	—	—	280×340×250
ТПО-102 (ТПО-10)	10	1	220	15—14—13—12—11	—	—	—	356×570×780
ТПО-170** (СВО-17)	17	1	380 (220)	75	77	44,7	227	384×630×645
ТПО-202	20	1	220	120—104,8—90,2—74,7— —60—52,7—45,1—37,3	—	—	—	360×570×830
ТПО-203	20	1	380	То же	—	—	—	То же
ТПО-502** (СВО-50)	50	1	220	17,25—14,6—12,6—11,1— —10—7,8—5,5	229	—	4500	775×1095×1210
ТПО-503 (СВО-50)	50	1	380	То же	—	132	—	То же
II. Трехфазные								
ТПТ-350** (СВТ-35)	35	3	380/220	17—15—14—12—10—6,5	—	53,3	1835±1450	510×1020×836
ТПТ-600 (СВТ-60)	60	3	380/220	17—15—13—11—10—7,7— 5,5	155	92	3120	825×1450×1210
ТПТ-640*** (СВТ-64)	64	3	380/220	163—131,5—124—111,5—102	127	97	300	625×1080×1145
III. Автотрансформаторы								
АПТ-332	33	3	220	163,5—150—140—133—122— 114—52	—	—	—	410×670×820
АПТ-333	33	3	380	163,5—150—140—133—122— 114—52	—	—	—	410×670×820
АПО-1803	180	1	380	500—475—450—415—400— 250—210	—	—	—	630×905×1200

* Применяются для печи Н-14.

** Применяются для электродных печей-ванн.

*** Применяются для высокотемпературных печей.

Техническая характеристика закалочных баков
 (трест „Электропечь“ [183, 61 г.])

Тип	Ширина конвейерной ленты в мм	Размеры бака в мм			Емкость бака в м ³	Производительность (средняя) в кг/час	Скорость конвейера в м/мин
		ширина	длина	высота			
I. Конвейерные							
ЗБК-400 (ЗБ-400)	I исполнение*	400	1150	3600	1100	5,0	250
	II исполнение	400	1100	4800	1200	5,4	0,04—0,34
ЗБК-600 (ЗБ-600)	I То же	600	1150	3600	1100	5	400
	II	600	1300	6000	1350	8,2	0,04—0,31
ЗБК-800		800	1950	6000	—	10	2000
II. Толкателевые **							
ЗБТ-600 (ЗБ-600Т)	600×350		2100	1690	2080	4,5	350
	1200×350		2360	2360	2170	6,8	750

* I исполнение с охлаждением закалочной жидкости через змеевик и с вентилятором для циркуляции жидкости.

** Для толкателевых закалочных баков приведены размеры загрузочного стола и габаритные размеры.

Техническая характеристика моечных машин
 (трест „Электропечь“) [183]

Тип	Емкость (количество раствора) в м ³	Ширина конвейера в мм	Скорость конвейера в м/мин	Температура жидкости в °C	Производительность в кг/час	Габаритные размеры в м В×Л×Н
I. Конвейерные						
ММК-400 . (ММ-400)	1,2	400	0,75	90	250	1,68×3,98×2,25
ММК-600 . (ММ-600)	1,2	600	0,75	90	450	То же
ММК-800 . (ММ-800)	2,2	800	—	90	2000	1,45×4,52×2,39
II. Толкателевые						
ММТ-600 . (ММ-600Т)	0,58	600×2380* Л—400	—	90	350	1,81×2,38×1,65
ММТ-1200 . (ММ-1200Т)	0,80	1200×2380* Л—400	—	90	750	2,35×2,38×1,66

* Размеры камеры.

Характеристика щитов управления
(трест „Электропечь“)

Тип	Максимальная мощность в квт при напряжении:		Рабочий ток в а
	380 в	220 в	
ШУ-12, ШУ-22, ШУ-32	50	29	75
ШУ-13, ШУ-23, ШУ-33	99	57	150
ШУ-14, ШУ-24, ШУ-34	198	114	300
ШУМ-12, ШУМ-22, ШУМ-32	50	29	75
ШУМ-13, ШУМ-23, ШУМ-33	99	57	150
ШУМ-14, ШУМ-24, ШУМ-34	198	114	300

Обозначения: ШУМ — щит управления с магнитным пускателем типа П-322; первые цифры: 1 — потенциометр, 2 — электрический регулятор, 3 — милливольтметр; вторые цифры: 2 — магнитная станция второй величины, 3 — то же третьей величины, 4 — то же четвертой величины.

Химический состав и свойства металлических электронагревателей

Максимальная рабочая температура в °С не более	Наименование и марка материала (сплава)	Химический состав в %	Свойства
700	Алитированное железо	≤ 0,2C	$\gamma = 7,86; \rho = 0,12+0,15;$ $\alpha_f = (7-10) \cdot 10^{-3};$ $\beta = 11,7 \cdot 10^{-6}$
500	Константан	60—57 Cu; 30—40 Ni; 1,0—1,4 Mo	$\gamma = 8,7; \rho = 0,44+0,52;$ $\alpha_f = 0,5 \cdot 10^{-4}; \beta = 14 \cdot 10^{-6};$ $c = 0,098; \lambda = 20,0$
850	X13Ю4 (ЭИ60) (фехраль)	≤ 0,15 C; ≤ 0,7 Mn; ≤ 1,0 Si; 12,0—15,0 Cr; ≤ 0,6 Ni; 3,5—5,5 Al	$\gamma = 7,4; \rho = 1,25+1,35 (1,8);$ $\alpha_f = 0,1 \cdot 10^{-3}$
1000	0X17Ю5 (ЭИ318)	≤ 0,06 C; ≤ 0,7 Mn; ≤ 0,6 Si; 16,0—19,0 Cr; ≤ 0,6 Ni; 4,0—6,0 Al	$\gamma = 7,0+7,2; \rho = 1,3+1,5 (1,24);$ $\alpha_f = 0,8 \cdot 10^{-4};$ $\beta = (14,5+15,0) \cdot 10^{-6}$
1200	0X25Ю5 (ЭИ292)	≤ 0,06 C; ≤ 0,7 Mn; ≤ 0,6 Si; 23,0—27,0 Cr; ≤ 0,6 Ni; 4,5—6,5 Al	$\gamma = 6,9+7,2; \rho = 1,4+1,6 (1,35)$ $\alpha_f = 0,5 \cdot 10^{-4}$ $\beta = (14,5+15,0) \cdot 10^{-6}$
850	1X17Ю5 (ЭИ341)	≤ 0,12 C; ≤ 0,7 Mn; ≤ 1,2 Si; 16,0—19,0 Cr; ≤ 0,6 Ni; 4,0—6,0 Al	$\gamma = 7,0-7,2;$ $\rho = 1,15+1,25 (1,24);$ $\alpha_f = 1,4 \cdot 10^{-4}$ $\beta = (14,5+15,0) \cdot 10^{-6}$

Продолжение

Максимальная рабочая температура в °С не более	Наименование и марка материала (сплава)	Химический состав в %	Свойства
1150	1Х25Ю5 (ЭИ-340)	≤ 0,12 C; ≤ 0,7 Mn; ≤ 1,2 Si; 23,0—27,0 Cr; ≤ 0,6 Ni; 4,5—6,5 Al	$\gamma = 7,0+7,2;$ $\rho = 1,25+1,45$ (1,35); $\alpha_f = 0,3 \cdot 10^{-4};$ $\beta = (14,5+15,5) \cdot 10^{-6}.$
1000	Нихром Х15Н60	≤ 0,15 C; ≤ 1,5 Mn; ≤ 1,0 Si; 15,0—18,0 Cr; 55,0—61,0 Ni; остальное Fe	$\gamma = 8,4; \rho = 1,0+1,15$ (1,10) $\alpha_f = 0,1 \cdot 10^{-3}$
1100	Нихром Х20Н80	≤ 0,15 C; ≤ 1,5 Mn; ≤ 0,5 Si; 20,0—23,0 Cr; 75,0—78,0 Ni; осталное Fe	$\gamma = 8,4; \rho = 1,10+1,20$ (1,15); $\alpha_f = 0,1 \cdot 10^{-3}; \beta = 14 \cdot 10^{-6};$ $c = 0,105$
1300	Кантал	20,0 C; 5,0 Al; 3,0 Co; остальное Fe	$\gamma = 7,1+7,25; \rho = 1,3+1,45;$ $\alpha_f = (0,6—0,9) \cdot 10^{-4};$ $\beta = (14+15) \cdot 10^{-6};$ $c = 0,118; \lambda = 11,0$
1300	Мегапир	≤ 0,1 C; 30,0 Cr; 5,0 Al; остальное Fe	$\gamma = 7,1; \rho = 1,4;$ $\alpha_f = 0,4 \cdot 10^{-4};$ $\beta = 15,5 \cdot 10^{-6}; c = 0,118$ $\lambda = 11,0$
1350	Сплав № 3 ИОНХ	≤ 0,5 C; ≤ 0,5 Mn; ≤ 0,8 Si; 23,0—27,0 Cr; 6,0—8,0 Al; 0,2—0,9 Ti	$\gamma = 6,8+7,0; \rho = 1,45+1,6;$ $\beta = (16,5—17,2) \cdot 10^{-6}$
1400	Платина (для лабораторных печей)	—	$\gamma = 21,4; \rho = 0,1;$ $\alpha_f = 4,0 \cdot 10^{-3};$ $c = 0,032; \lambda = 60,0$
1400	Молибден (для лабораторных печей)	—	$\gamma = 23,0; \rho = 0,045;$ $\alpha_f = 5,5 \cdot 10^{-3}$

Приложение. Сплавы Х13Ю4, ОХ17Ю5, Х17Ю5, Х25Ю5, ОХ25Ю5, Х15Н60 и Х20Н80 по ГОСТ 5632-51.

Химический состав, свойства и размеры карборундовых электронагревателей

Наименование показателей	Карборундовые I (типа силит)	Наименование показателей	Карборундовые I (типа силит)
Химический состав в %: .	94,4 SiC; 3,6 SiO ₂ ; 0,3 C; 0,2 Al; 0,6 Fe; 0,3 Si; 0,6 (CaO + MgO)	Максимальная температура применения в °С: .	1400
τ в кг/дм ² : .	3,27—3,30	ρ в о.н. мм ² /м: .	1000—2000
λ 1000—1400° в ккал в час град	20	Мощность стержня W _c в вт: .	270—7530 (при 1100°)* 60—1760 (при 1400°)* 4760—26000 (при 1100°)** 1040—5650 (при 1400°)**
α в м/m в град	5,6·10 ⁻⁶	Размеры стержней в мм: диаметр d	6—25* 22—30**
с в ккал в град	0,17	длина общая L	210—1200 * 405—1320 **

* С утолщенным концами (33 размера).
** С лобовым контактом (9 размеров).

Характеристика карборундовых нагревателей для печей Г30 и Г50 треста „Электропечь“

Наименование показателей	Тип печи	
	Г30	Г50
Диаметр в мм	25	30
Длина в мм	400	500
Длина выводных концов в мм	400	400
Мощность в кват: при температуре 1250° С	5,66	8,77
1300° С	4,40	7,6
1350° С	3,14	6,25
Удельная поверхностная нагрузка в вт/с.м ² :	1,3	1,3

Удельное электросопротивление карборундовых электронагревателей в % в зависимости от температуры [176]

Тип нагревателей	Температура в °С							
	0	200	400	600	800	1000	1200	1400
Карборундовые I (типа силит)	100	88	75	70	63	58	53	49
Карборундовые II (типа глобар)	100	82	65	61	62	63	64	65
Электрографит	100	82	77	78	82	88	92	96

Механические свойства и удельное электросопротивление никромов в зависимости от температуры [176]

Марка никрома	Параметры	Свойства при температуре в °С									
		0	200	400	500	600	700	800	900	1000	
Железо-никелевый никром, (20% Cr, 30% Ni, 50% Fe)	а) $\sigma_{\text{ср}}$ в kz/mm^2 б) Скорость крипа $10^6 - 10^7 \text{ см/с}$ при нагрузке в kz/mm^2 в) Допускаемая нагрузка в kz/mm^2 г) Удельное электросопротивление ρ в $\frac{\text{ом} \cdot \text{мм}^2}{\text{м}}$	—	—	—	60	50	42	35	17	8	
		—	—	—	—	—	3,8	2,2	1,0	0,2	
		—	—	—	—	—	2,5	1,2	0,5	0,15	
		1,06	1,13	1,20	—	1,24	—	1,28	—	1,32	
X13H60	а) $\sigma_{\text{ср}}$ в kz/mm^2 б) Скорость крипа $10^6 - 10^7 \text{ см/с}$ при нагрузке в kz/mm^2 в) Допускаемая нагрузка в kz/mm^2 г) Удельное электросопротивление ρ в $\frac{\text{ом} \cdot \text{мм}^2}{\text{м}}$	—	—	—	50	43	30	15	5	—	
		—	—	—	—	—	2,7	0,8	0,2	—	
		—	—	—	—	—	2,0	0,6	0,15	—	
		1,13	1,16	1,18	—	1,20	—	1,21	—	1,23	
X20H80	а) $\sigma_{\text{ср}}$ в kz/mm^2 б) Скорость крипа $10^6 - 10^7 \text{ см/с}$ при нагрузке в kz/mm^2 в) Допускаемая нагрузка в kz/mm^2 г) Удельное электросопротивление ρ в $\frac{\text{ом} \cdot \text{мм}^2}{\text{м}}$	—	—	—	72	64	48	30	10	5	
		—	—	—	—	—	3,5	2,0	0,9	0,15	
		—	—	—	—	—	2,5	1,2	0,5	0,1	
		1,1	1,12	1,15	—	1,15	—	1,15	—	1,15	

Расчет металлических нагревательных электросопротивлений

Исходные данные:

N_y — установленная мощность (общая) в kвт ; число фаз — одна или три (для печей мощностью до 15 kвт рекомендуется применять однофазное соединение); n — число параллельных линий в фазе; U_A — линейное напряжение в сети в $в$.

Материал электросопротивления (см. табл. на стр. 227) и его сечение (круг или лента).

Последовательность расчета. Определяются:

1. Мощность фазы $N_\phi = N_y$ (для однофазного соединения);

$$N_\phi = \frac{N_y}{3} \quad (\text{для трехфазного}).$$

2. Мощность параллельной ветви $N_{n,\Delta} = \frac{N_\phi}{n}$.

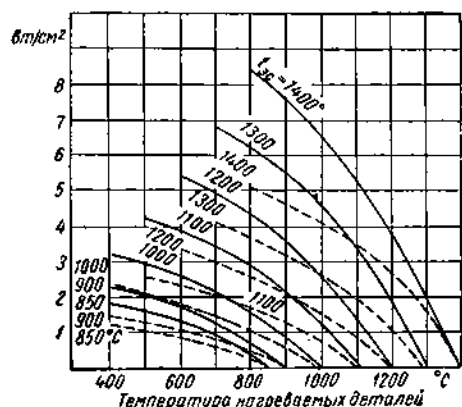
$$3. \text{Фазовое напряжение } U_{\phi,\lambda} = \frac{U_A}{\sqrt{3}};$$

$$U_{\phi,\Delta} = U_A \quad (\text{для печей } \cos \varphi = 1).$$

4. Сила тока:

$$\text{линейная } I_{A,\lambda} = \frac{N_y}{\sqrt{3} U_A};$$

$$I_{A,\Delta} = \frac{N_y}{U_A}; \quad I = \frac{N}{U};$$



Фиг. 1. Удельная поверхностная мощность для свободно излучающих спиральных проволочных и ленточных электросопротивлений при нагреве стали (пунктирные кривые соответствуют нагреву стали в защитной атмосфере). На кривых приведены значения температуры электросопротивлений [88].

$$\text{в фазе } I_{\phi,\lambda} = I_\phi; \quad I_{\phi,\Delta} = \frac{I_\phi}{\sqrt{3}};$$

$$\text{в параллельной ветви } I_{n,\phi} = \frac{I_\phi}{n}.$$

5. Сопротивление в омах:

$$\text{общее } R = \frac{U^2}{10^3 \cdot N_y};$$

$$\text{фазовое } R_\phi = \frac{U_\phi^2}{10^3 \cdot N_\phi};$$

параллельной ветви

$$R_{n,\phi} = \frac{U_\phi^2}{10^3 \cdot N_{n,\phi}}.$$

6. I-й вариант. Размеры электросопротивления в мм:

a) для круглого сечения (проводолка)

$$d = \sqrt{\frac{4 \cdot 10^5 \rho_t N_\phi^2}{\pi^2 v U^2}},$$

b) для ленты сечением $a \times b$ мм

$$a = \sqrt{\frac{10^5 \cdot N_\phi^2 \rho_t}{2 U_\phi^2 k (1 + k)}},$$

где $k = \frac{b}{a}$; ρ_t — удельное электросопротивление при температуре t в ом \times $\text{мм}^2/\text{м}$; v — удельная поверхностная мощность;

$$v = \frac{N_\phi}{F_c \cdot 10^3} \text{ в } \text{Вт}/\text{см}^2;$$

F_c — поверхность электросопротивления фазы; $F_c = \pi d L_\phi$ в см.

Значения v (фиг. 1)

Температура печи в °C	v в $\text{Вт}/\text{см}^2$	Температура печи в °C	v в $\text{Вт}/\text{см}^2$
< 300	4,0	800—900	1,5
300—400	3,5	900—1000	1,0
400—600	3,0	1000—1100	0,8
600—800	2,0	1100—1200	0,5

Значения удельной поверхностной мощности, определяемые по кривым фиг. 1, должны быть практически уменьшены на 15%, а для зазкрапированных нагревателей на 40—50%
б) длина электросопротивления в м

$$L_\phi = \frac{R_\phi S}{\rho_t} = \frac{10^2 N_\phi}{\pi d v};$$

$L_\phi = L_{n,\phi} \cdot n$; $L_{\text{общ}} = 3L_\phi$ (для трехфазного соединения);

S — сечение в мм^2 ;

г) вес нагревателя в кг

$$G = 10^{-3} \cdot L_{\text{общ}} \cdot g;$$

g — вес 1 пог. м в г.

2-й вариант:

1) выбирается стандартное сечение электросопротивления и по расчетному значению R (п. 5) определяются длина и вес (пп. б и бг);

2) по выбранным размерам определяется удельная мощность v ;

3) полученное значение v сравнивается с принятыми нормами (см. фиг. 1).

Нагреватели применяются в виде круглых спиралей или зигзагов ленты (фиг. 2).

Для круглых спиралей:

Коэффициент сердечника

$$k = \frac{D}{d} = 5 \div 8.$$

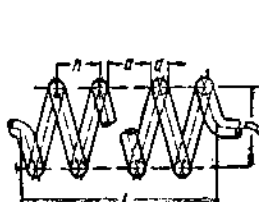
Коэффициент плотности намотки

$$m = \frac{h}{d} = 2 \div 4.$$

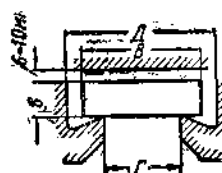
Расстояние между витками $a = (1 \div 3) d$.

Число витков

$$n = \frac{1000 L}{\pi D} = \frac{1000 l}{h}.$$



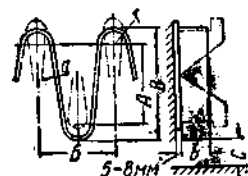
а)



б)



в)



Фиг. 2. Форма наиболее употребительных электросопротивлений: а — круглая спираль; б — ленточный нагреватель, расположенный горизонтально; в — ленточный нагреватель, расположенный вертикально.

Длина спирали

$$l = \frac{Lh}{\pi D} = \frac{Lm}{\pi k};$$

L — общая длина нагревателя
Мощность спирали $N_c = \frac{0,1E_l}{m}$

Температура спирали в $^{\circ}\text{C}$

$$t_c = t_n \left(1 + \frac{d^2}{2,1h} \right);$$

t_n — температура прямой проволоки.
Для ленточных электросопротивлений по И. И. Корнилову:
а) при горизонтальном расположении
 $A = \Gamma - 2(r + a)$; $B = (2 \div 5) r$; $B = B$;
 $\Gamma = 0,6B$; $D = (1,3 \div 1,4) B$; $r \leq 6a$;
б) при вертикальном расположении
для нагрева до 1000°C $A = B - 2(r + a)$;
 $B = (2 \div 4) r$; $B \leq 200$; $C = 35$ мм;
 $r = 6a$;
для нагрева $1000 - 1350^{\circ}\text{C}$ A и B аналогичны предыдущему; $B \leq 150$; $C = 45$ мм;
 $r = 6a$.

Расчет неметаллических нагревательных элементов

Удельная поверхностная нагрузка . . . в $\text{вт}/\text{см}^2$	30—35
при температуре $< 1000^{\circ}$	
1100—1200	21
1200—1250	18
1250—1300	14
1300—1350	10
1350—1400	5

$$\text{Мощность стержня } N_{cm} = F_c \cdot \frac{U_2}{R}$$

$$\text{Сопротивление стержня } R_{cm} = \frac{\rho l_{cm}}{S}.$$

Диаметр стержня в мм

$$d_{cm} = \sqrt[3]{\frac{4 \cdot 10^6 N_{cm}^2 \rho t}{U^2 \pi r^2}}.$$

$$\text{Длина стержня в } m \quad l_{cm} = \frac{N_{cm} 10^2}{\pi r d}.$$

Для силовых стержней

$$F_{cm} = \frac{V}{10n} = \pi d l_{cm};$$

F_{cm} — поверхность стержня в см^2 ; V — объем рабочего пространства печи в см^3 ;
 n — число стержней.

Формулы электрического сопротивления и потребляемой мощности печей для основных схем включения нагревательных элементов

Схема включения нагревательных элементов	Число нагревательных элементов	Общее сопротивление в омах	Мощность в кват
Последовательно		$R = nr$	$N = \frac{U^2}{10^3 \cdot nr}$
Параллельно		$R = \frac{r}{n}$	$N = \frac{nU^2}{10^3 \cdot r}$
Последовательно-параллельно (параллельно n групп; каждая группа из m нагревательных элементов, включенных последовательно)	mn	$R = \frac{mr}{n}$	$N = \frac{nU^2}{10^3 \cdot mr}$
Параллельно-последовательно (последовательно n групп; каждая группа из m нагревательных элементов, включенных параллельно) . . .	mn	$R = \frac{nr}{m}$	$N = \frac{mU^2}{10^3 \cdot nr}$
Звезда .	3	$R = r$	$N = \frac{U^2}{10^3 \cdot r}$
Треугольник .	3	$R = \frac{r}{3}$	$N = \frac{3U^2}{10^3 \cdot r}$
Двойная звезда	6	$R = \frac{r}{2}$	$N = \frac{2U^2}{10^3 \cdot r}$
Двойной треугольник .	6	$R = \frac{r}{6}$	$N = \frac{6U^2}{10^3 \cdot r}$

Размеры (в мм) типовых печей периодического действия (Союзтеплострой)

Тип печей	Размеры камеры нагрева $B' \times L'$	Размеры пода $B \times L$	Площадь пода (в м^2)	Размеры рабочего окна (ширина \times высота)	Высота от пола до свода камеры нагрева
I	550 \times 580	350 \times 580	0,2	350 \times 290	350
II	700 \times 810	470 \times 810	0,38	470 \times 290	440
III	810 \times 930	580 \times 930	0,54	470 \times 405	520
IV	930 \times 1150	700 \times 1150	0,81	580 \times 405	530

Высота от пола до пода для всех печей — 1000 мм.

Техническая характеристика печей-ванн
(Союзтеплострой)

Условное обозначение	Размеры, объем и вес тигла					Производительность (средняя) в кг/час	Расход топлива (удельный) в ккал/кг	
	мазутные	диаметр в мм	глубина в мм	полезный объем в мм	вес в кг		при 600°	при 850°
ПТВГ-1	ПТВМ-1	200 200	350 585	8,5 14,3	49 73	20	500 350	1200 900
ПТВГ-2	ПТВМ-2	250 250 250	350 535 610	13,2 22,0 26,0	62 86 95	35 50 60	400 330 300	1000 800 750
ПТВГ-3	ПТВМ-3	300 300	535 610	31,0 37,0	130 146	70 80	300 280	750 700
ПТВГ-4	ПТВМ-4	400 400	535 610	59,0 69,0	160 210	100 125	310 280	750 700

Габаритные размеры печей в м: 1 — $\varnothing 0,91$, $h = 2,1$; 2 и 3 — $\varnothing 1,06$, $h = 2,2$; 4 — $\varnothing 1,17$, $h = 2,2$.

Удельная производительность (нетто, кг/м³·час) печей для различных процессов термической обработки (ориентировочно)

Тип печи	Процессы термической обработки					
	Отжиг при <6 час.	Нормализация	Закалка	Отпуск (высокий и низкий)	Цементация	Газовое цинкование
Периодического действия (камерные) с горизонтальным подом	40—60	120—160	120—160	100—140	—	8—12
С выдвижным подом	35—50	60—80	60—80	60—80	—	8—12
Непрерывного действия:						
толкателевые	50—70	150—200	150—200	140—180	40—50	15—18
конвейерные	—	180—220	180—220	150—200	—	—
с вращающимся подом	—	180—200	180—200	150—180	—	—
С вращающимися роликами	40—100 (ковкий чугун)	180—220	180—220	150—200	—	15—18

Размеры рабочего пространства наиболее распространенных печей

Тип печи	Эскиз типовой печи	Размеры
Печи периодического действия		<p>Площадь пода $F \text{ м}^2$ $F = L \cdot B$ $B = B' - 2c$ $c = 0,08 \pm 0,1$</p>
Печи-ванны		<p>Объем рабочего пространства $V \text{ м}^3$ $V \approx \frac{\pi D^2}{4} (H - c)$ $c = 0,05 \pm 0,07$</p>
Печи шахтные		$V = \frac{\pi D^2}{4} \cdot H$ $D = D' - 2c$ $c = 0,1 \pm 0,15$
Печи непрерывного действия: а) толкательные		<p>$F = L \cdot B$ Размер поддона $l \times b$, число поддонов m $m = \frac{L + c}{l}$</p> <p>$c = 0,1 \pm 0,15$</p>
б) конвейерные		<p>$F = L_1 \cdot b$ (при сквозном конвейере); b — ширина конвейера</p>

Приведенные в таблице размеры рабочего пространства печей условно принимаются за основу при определении удельной производительности печей. $P_f = \frac{P}{F} \text{ кг}/\text{м}^2 \text{ час}$; $P_v = \frac{P}{V} \text{ кг}/\text{м}^3 \text{ час}$.

Расчет производительности и количества оборудования

Пок	Уравнение (формула)	Обозначение и размерность величин
Производительность брутто в кг/час	$P_b = \frac{m(gn + g_1)}{\tau} = \frac{60(gn + g_1)}{Z}$	m — количество приспособлений, помещающихся в рабочем объеме печи; n — количество деталей, укладываемых на приспособления; g — вес детали в кг; g_1 — вес приспособлений в кг; τ — общая продолжительность процесса в час.; Z — темп толкания (для толкателей и печей с пульсирующим подом);
То же нетто в шт/час	$P_n = \frac{mgn}{\tau} = \frac{60gn}{Z}$ $P = \frac{mn}{\tau} = \frac{60n}{Z}$	$Z = \frac{60\tau}{m}$ в мин.;
Удельная производительность печи в кг/м ² час	$P_f = \frac{P_b}{F}$	F — площадь пода печи в м ² ;
То же в кг/м ² час	$P_v = \frac{P_b}{V}$	V — объем рабочего пространства печи в м ³ ;
Производительность конвейерных печей и других агрегатов в кг/час	$P = 60qw = \frac{qL}{\tau}$	F — рабочая площадь конвейера печи в м ² ; L — длина конвейера (рабочая) в м; q — нагрузка деталей на 1 м длины конвейера в кг/м;
Удельная производительность конвейерной печи в кг/м ² час	$P_f = \frac{P_h}{F_1}$	w — скорость движения конвейера (ленты) в м/мин;
Производительность пребойных печей (для проволоки, ленты)	$P_h = 60n_1g_2w = \frac{n_1g_2L}{\tau}$	n_1 — количество одновременно протягиваемых; бунтов проволоки (ленты);
Количество печей (оборудования) расчетное	$n_p = \frac{P_u}{P_h} : \Phi(1 - \tau_g)$	g_2 — вес 1 пол. м проволоки (ленты) в кг;
То же, фактически установленное	$n_\phi = \frac{L_p}{k}$	P_u — программа цеха (месячная или годовая) по данному процессу в кг; Φ — фонд времени оборудования (месячный или годовой) в час; τ_g — доля времени на выполнение вспомогательных операций; k — коэффициент загрузки оборудования; $k = 0,8 \div 0,9$, для уникального оборудования k может быть любым

Вспомогательное время на переналадку режима печей

Операция	Продолжительность процесса, час.	Доля времени в зависимости от количества переналадок и циклов в сутки				
		1	2	3	4	5
Нагрев в печах непрерывного действия	12	0,5	—	—	—	—
То же, а также нагрев в камерных печах и печах-ваннах при конвейерном способе работы	8 4 2 1	0,38 0,16 0,08 0,04	0,66 0,32 0,13 0,08	— 0,48 0,24 0,12	— 0,64 0,32 0,16	— 0,40 0,20
Нагрев в печах с выдвижным подом	12 8 6	0,25 0,16 0,12	— 0,33 0,24	— 0,36	—	—
Нагрев в камерных печах при работе партиями				$\tau_g = 0,1 \div 0,2$		

* При расчете на любое другое время работы оборудования Φ (месяц, смена) $\tau_g = \frac{\tau n_u^*}{\Phi}$.

Фонд времени работы оборудования

Число рабочих дней в году	Продолжительность работы в сутки	Потеря времени на капитальный ремонт в %**	Фонд времени оборудования Ф в час.	
			годовой	месячный
306	8	3	2375	198
		3	4749	396
		5	4651	387
	24	5	6947	581
		8	6777	566
		10	6610	551
360 *	24	8	7949	662
		10	7776	648

* С данным фондом времени работают печи непрерывного действия для цементации и печи с длительным тепловым режимом (отжиг, азотирование и т. п.).

** Потери времени на ремонт: для механического оборудования и печей, работающих в одну смену, — 3%; для печей, работающих в две смены, — 5%; и механического оборудования, работающего в три смены, — 5%; для круглосуточно работающих печей периодического действия — 8%; непрерывного действия механизированных — 10%.

Тепловой расчет печей

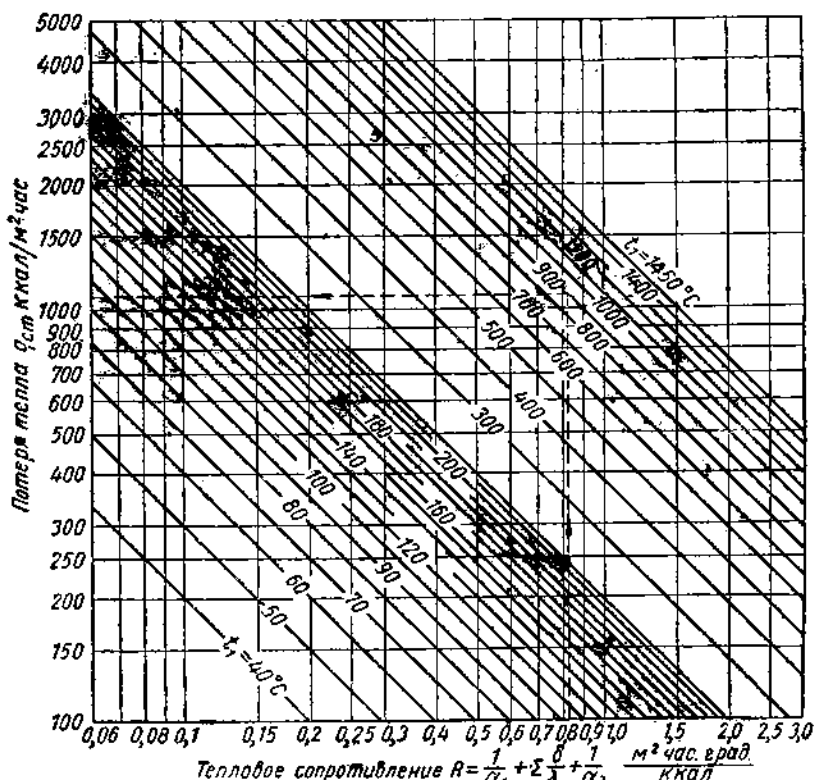
Параметр	Уравнение (формула)	Обозначение и размерность величин
А. Пламенных		
Общее уравнение теплового баланса	$BQ_H = \frac{Q_n + 1,05 Q_{sn}}{\tau_H}$	Q_H — теплотворность топлива (низшая) в ккал/кг, ккал/м³; P_H и P_B — производительность печи (нетто и брутто) в кг/час;
Тепло, на нагрев металла (полезное тепло)	$Q_n = \frac{1}{a} P_H (t_{MK} - t_{MH}) = \frac{m(gn + g)}{\tau_H} c(t_{MK} - t_{MH})$	$a = \frac{P_H}{P_B} = 1,0+0,5$; $m(gn + g)$ — емкость печи в кг; m — количество приспособлений в печи;
Внешние потери тепла	$Q_{sn} = Q_{cm} + Q_A + Q_{akk} + \dots$	t — вес деталей и вес приспособлений в кг; n — количество деталей на приспособлении;
Потери тепла стенками печи	$Q_{cm} = \frac{t_1 - 20}{R} F$ (фиг. 3)	τ_H — продолжительность нагрева часов; t_1 и T_1 — температура печи в °С и °К;
Потери тепла лучиспусканием через открытые окна	$Q_A = 4,0\varphi \left[\left(\frac{T_1}{100} \right)^4 - 75 \right] F_{OK} \tau$	$F = \sqrt{F_B \cdot F_H}$ — поверхность стенок печи (средняя в м²); F_B и F_H — то же внутренних и наружных в м²;
Потери тепла на аккумуляцию кладкой, конвейерами, тележками и т. п.	$Q_{akk} = \alpha (t_{KK} - t_{MK})$	$\frac{1}{K} = \frac{1}{a_1} + \sum \frac{1}{\lambda} + \frac{1}{a_2} \text{ в } \frac{\text{м}^2 \cdot \text{час} \cdot \text{град}}{\text{ккал}}$
Коэффициент использования топлива	$\eta_H = 1 - \frac{t}{t_0} = \frac{t + nt_B l}{t_{0H} + t_B + t_m}$	$\frac{1}{a_1} \approx 0,01 + 0,05; \frac{1}{a_2} \approx 0,12 + 0,08$; a_1 и a_2 — коэффициенты теплоотдачи;
Расход топлива	$B = \frac{Q_n + 1,05 Q_{sn}}{Q_H \eta_H}$	$\sum \frac{b}{\lambda} \approx 2,5 + 0,8$;
Коэффициент полезного действия печи	$\eta = \frac{Q_n \cdot 100}{BQ_H}$	b — толщина стенок печи в м; λ — коэффициент теплопроводности в $\frac{\text{ккал}}{\text{м} \cdot \text{час} \cdot \text{град}}$;
Удельный расход топлива	$\epsilon = \frac{B}{P_H} = \frac{105 ct \left(\frac{1}{a_1} - \frac{\tau_B}{\eta} \right)^*$	$\varphi = 0,55+0,65$ — коэффициент дифрагирования;

* Учтена потеря тепла на разогрев печи в количестве 5% от Q_{sn} .

Продолжение

Параметр	Уравнение (формула)	Обозначение и размерность величин
Б. Электрических		
Уравнение теплового баланса	$Q = Q_n + 1,05Q_{\text{дл}}^*$	i_{KK}, i_{KH} — теплосодержание кладки или металла в конце и начале нагрева.
Коэффициент полезного действия печи	$\tau_i = \frac{Q_n \cdot 100}{Q}$	i — теплосодержание продуктов горения при температуре выхода из печи в ккал/м ³ ;

* Расчет $Q_{\text{дл}}$ аналогичен расчету для пламенных печей.



Фиг. 3. Номограмма для определения потерь тепла через стены печи в зависимости от температуры наружной поверхности и температуры между слоями.

Продолжение

Параметр	Уравнение (формула)	Обозначение и размерность величин
Расход электроэнергии	$W = 1,16 \cdot 10^{-3} \left(\frac{1}{\alpha} P_H \Delta t_m + 1,05 Q_{BH} \right) = 1,16 \cdot 10^{-3} \left[\frac{1}{\alpha} m (ng + g) \Delta t_m + 1,05 Q_{BH} \right] : \tau_H$	V_{nz} — объем продуктов горения в m^3 ; t_B — Δct — теплосодержание подогретого воздуха в $ккал/m^3$; g — избыток воздуха: $g = \frac{V_B}{V_{nz}}$ — количество воздуха, приходящееся на 1 m^3 продуктов горения, в m^3/m^3 ;
Удельный расход электроэнергии	$\theta = \frac{1,16 \cdot 10^{-3} 110ct \left(\frac{1}{\alpha \eta} - \frac{\tau_B}{\eta} \right)}{1 - \tau_B}$	η — теплосодержание подогретого топлива (газа); $g = \frac{1}{V_{nz}}$ — количество топлива, приходящееся на 1 m^3 продуктов горения, в m^3/m^3 ;
Мощность печи (установленная) в квт	$N_y = (1,25 + 1,40) W$	Q_n' — количество топлива, потребное на нагрев металла (брутто), в $ккал$; τ_B — вспомогательное время на переналадку процесса (доля от полного времени) табл. на стр. 235

П р и м е ч а н и е. Тепловой расчет и особенно сравнение показателей работы печей различной конструкции необходимо производить при переменной удельной производительности P_f кг/м² час. При постоянном коэффициенте использования топлива (τ_H = const при $t = \text{const}$) расход топлива есть прямолинейная функция от производительности, коэффициент полезного действия повышается, а удельный расход топлива уменьшается с увеличением производительности.

При повышении производительности печи, достигаемой за счет увеличения температуры продуктов горения (увеличения θ), расход топлива общий и удельный увеличиваются, а к. п. д. падает.

Физические свойства некоторых материалов [40]

Наименование материала	γ в $кг/м^3$	λ $ккал/м\cdot час\cdot град$	c $ккал/кг\cdot град$	$\alpha \cdot 10^3$ в $м^2/час$
Асбест листовой	770	0,10	0,195	0,712
Асбест. волокно	470	0,095 (50%)	0,195	1,04
Бетон	2300	1,10	0,27	1,77
Гипс	1650	0,25	—	—
Глина огнеупорная	1846	0,89 (450°)	0,26	1,855
Дерево дуб:				
волокну	800	0,178	0,42	0,53
Земля сухая	1500	0,169	—	—
влажная	1700	0,565	0,48	0,593
Каменный уголь	1400	0,16	0,312	0,37
Кирпич и изоляционные материалы		(см. табл. на стр. 252–257)		
Лед	920	1,935	0,54	3,89
Мрамор	2700	1,12 (90°)	0,10	4,15
Песок сухой	1500	0,28	0,19	9,85
влажный	1650	0,97	0,50	1,77
Пробковая пластина	190	0,036	0,45	0,42
Резина	1200	0,14	0,33	0,353
Стекло	2500	0,64	0,16	1,6
Стеклянная вата	200	0,032	0,16	1,0
Шлаковая вата	250	0,06 (100%)	0,06	—
Алюминий	2670	175	0,22	328
Бронза	8000	55	0,091	75
Латунь	8600	73,5	0,090	95
Медь	8800	330	0,091	418
Сталь	7900	39,0	0,11	45
Чугун	7220	54	0,12	625
Воздух	—	0,021	—	—

Степень черноты полного нормального излучения для некоторых материалов [87]

Наименование материала	Температура в °C	Степень черноты ε
Алюминий полированный .	225—575	0,039—0,057
" шероховатый .	26	0,055
" окисленный при 600°	200—600	0,11—0,19
Железо полированное .	425—1000	0,144—0,377
" окисленное . . .	100	0,736
" окисленное гладкое .	125—525	0,78—0,82
" литое необработанное	925—1115	0,87—0,95
Стальное литье полированное	770—1040	0,52—0,56
Сталь листовая шлифованная .	940—1100	0,55—0,61
" окисленная .	200—600	0,80
Чугун окисленный .	200—600	0,64—0,78
Окись железа .	500—1200	0,85—0,95
Латунь тусклая .	50—350	0,22
" окисленная .	200—600	0,61—0,59
Медь окисленная .	200—600	0,57—0,57
" расплавленная .	1075—1275	0,16—0,13
Никелевая проволока .	185—1000	0,096—0,186
Никром	125—1035	0,64—0,76
Платиновая лента .	930—1115	0,12—0,17
" проволок .	225—1875	0,073—0,182
Свинец окисленный .	25	0,281
Оцинкованное железо блестящее .	200	0,63
" окисленное . . .	28	0,228
Асбестовый картон .	24	0,276
Бумага .	24	0,96
Вода .	20	0,924
Гипс .	0—100	0,96—0,963
Дерево (дуб) . .	20	0,895
Кирпич красный	20	0,93
" шамотный глазурованный	1100	0,75
" огнеупорный .	—	0,8—0,9
Лак белый эмалевый .	23	0,906
" черный блестящий .	25	0,875
" матовый .	40—95	0,96—0,98
" белый . . .	40—95	0,80—0,95
" алюминиевый .	20	0,39
Мрамор серый .	22	0,931
Резина мягкая .	24	0,859
Стекло гладкое .	22	0,937
Сажа .	95—270	0,952
Толь .	20	0,910
Уголь	125—625	0,81—0,79
Штукатурка известковая .	10—90	0,91

Тепловые параметры жидкостей [87]

Наименование жидкости	в кг/м²	t °C	λ ккал в час град	с ккал в кг град	a · 10³ в м²/час
Аммиак .	617	20	0,49	1,13	0,703
То же .	665	-32	0,48	1,10	0,656
Бензин .	900	0	0,125	0,43	0,323
То же .	900	50	0,098	0,44	0,24
Бензол .	900	0	0,13	0,40	0,30
Керосин .	850	0	0,104	—	—
То ж	850	200	0,077	—	—
Крекинг-мазут (Гозий)	—	27	0,117	—	—
То же .	—	47	0,115	—	—
Мазут А .	—	32	0,102	—	—
То же	—	65	0,099	—	—
Нефтяное мас .	890	200	0,089	0,58	0,173
Смола .	1200	80	0,12	—	—

Коэффициент теплопроводности жидкостей $\lambda \cdot 10^2$ $\frac{\text{ккал}}{\text{м час град}}$ [87]

Наименование жидкости	Температура в °C						
	0	25	50	75	100	125	150
Спирт метиловый	18,4	18,12	17,8	17,5	—	—	—
Спирт этиловый	16,25	15,75	15,25	14,75	—	—	—
Ацетон	15,0	14,5	14,0	13,55	13,0	—	—
Нитробензол	13,25	12,9	12,6	12,3	12,0	11,7	—
Бензол	13,0	12,45	11,9	11,35	10,8	10,35	—
Глицерин	23,8	24,05	24,35	24,6	24,85	25,1	25,4
Вазелиновое масло	10,75	10,65	10,5	10,4	10,2	10,1	9,95
Касторовое масло	15,8	15,55	15,25	15,0	14,7	14,45	14,2

Коэффициент теплопроводности газов при атмосферном давлении [87]

t в °C	$\lambda \cdot 10^3$ в $\frac{\text{ккал}}{\text{м час град}}$					
	CO ₂	H ₂ O	N ₂	O ₂	Воздух	H ₂
0	12,6	13,9	20,9	21,2	21,0	150,0
100	18,6	20,6	27,1	28,3	27,8	186,0
200	25,6	28,4	33,1	35,0	33,8	222,0
300	33,6	37,3	38,6	41,3	39,6	258,0
400	40,6	47,3	43,6	47,3	44,8	294,0
500	47,2	58,4	48,0	52,9	49,4	330,0
600	53,4	70,7	51,9	58,0	55,5	366,0
700	59,2	84,2	55,2	62,6	57,2	402,0
800	64,6	98,8	58,0	66,8	60,6	438,0
900	69,6	114,5	60,8	70,5	63,7	474,0
1000	74,2	131,0	62,2	73,8	66,5	510,0

**Тепловая характеристика термических печей (к. п. д.)
(при производительности брутто)**

Процесс термической обработки	Тип печей	К. п. д. в %	
		электрических	пламенных
Отжиг (при длительности $\tau = 4 + \frac{1}{6}$ час.)	Периодического действия, камерные	50—70	10—12
	То же шахтные с выдвижным подом	55—70	11—13
	Непрерывного действия	45—60	8—12
Отжиг холднокатанной стальной ленты и прутков	С выдвижным подом Колпаковые	45—55 60—75	6—9 16—22

Продолжение

Процесс термической обработки	Тип печей	К. п. д. в %	
		электрических	пламенных
Нормализация и закалка	Периодического действия, камерные	65—75	15—20
	То же, шахтные .	65—75	15—22
	Непрерывного действия толкательные	70—80	18—25
	То же конвейерные .	70—80	18—25
	с вращающимся подом	70—80	18—25
Азотирование	Периодического действия шахтные .	40—45	—
	То же с передвижной камерой	40—45	—
Закалка и цинкование	Печи-ванны	60—70	6—8
Цементация твердым карбюризатором	Периодического действия камерные	60—75	12—15
	Непрерывного действия .	65—80	15—22
	С вращающейся ретортой .	65—75	15—20
Цементация газовая	Периодического действия шахтные и непрерывного действия муфельные .	65—75	18—25
	То же безмуфельные .	—	20—25

ТОПЛИВО

Теплотворность твердого и жидкого топлива

A) по Кнорре *

Древесное топливо

$$Q_a = 9250 C + 27700 H - 3460 O \text{ ккал/кг.}$$

Торф и мазут

$$Q_a = 8880 C + 26640 H - 3330 O \text{ ккал/кг.}$$

Бурый уголь

$$Q_a = 8700 C + 26100 H - 3260 O \text{ ккал/кг.}$$

Битуминозные каменные угли

$$Q_a = 8550 C + 25600 H - 3200 O \text{ ккал/кг.}$$

Антрациты

$$Q_a = 8400 C + 25100 H - 3150 O \text{ ккал/кг.}$$

Б) по Дюлонгу

$$Q_a = 80,8 C + 344,6 \left(H - \frac{O}{8} \right) + 25 S \text{ ккал/кг.}$$

В) по Менделееву

$$Q_a = 81 C + 300 H + 26 (S - O) \text{ ккал/кг.}$$

Г) по Фондрашку

$$Q_a = (89,1 - 0,062 C^2) C + 270 (H - 0,1 O) + 25 S \text{ ккал/кг.}$$

где C^2 и C — содержание углерода в горючей и рабочей массе в %.

Для всех формул:

$$Q_n = Q_a - 6 (9H + W) \text{ ккал/кг.}$$

где W — влажность топлива в %.

* Г. Ф. Кнорре, Топочные процессы, Госэнергоиздат, 1951.

Теплотворность газообразного топлива

A. Общая формула для газообразного топлива

$$Q = \frac{q_{CO} \cdot CO + q_{H_2} \cdot H_2}{100} + \\ + \frac{q_{CH_4} \cdot CH_4 + \dots}{100},$$

где q_{CO} , q_{H_2} — теплота реакции горения горючих газов в ккал/м³ (см. табл. на стр. 23).

CO , $H_2 \dots$ — содержание горючих газов в %.

По Кнорре для углеводородных газов

$$Q_n = 6600\bar{n} + 1950 \text{ ккал/м}^3,$$

где \bar{n} — углеродное число;

$$\bar{n} = \frac{CH_4 + 2 C_2H_6 + 3C_3H_8 + \dots}{100 - B}.$$

CH_4 , $C_2H_6 \dots$ содержание углеводородов в %.

$$B = (CO_2 + N_2) \text{ в \%}.$$

$Q_g = 7000\bar{n} + 2400 \text{ ккал/м}^3$ для газов метанового ряда (C_nH_{2n+2}).

$Q_g = 7000\bar{n} + 550 \text{ ккал/м}^3$ для газов этиленового ряда (C_nH_{2n}).

$Q_g = 7000\bar{n} \text{ ккал/м}^3$ для газов ацетиленового ряда (C_nH_{2n-2}).

$Q_g = 7000\bar{n} - 7500 \text{ ккал/м}^3$ для газов бензольного ряда (C_nH_{2n-6}).

Расход воздуха; количество, состав и теплосодержание продуктов горения топлива

A. Эмпирические формулы по Гурвичу

a) Расход воздуха:
для твердого и жидкого топлива

$$V_g = 1,015 k_1 \alpha \frac{Q_n + 6W}{1000} \text{ м}^3/\text{кг};$$

для газообразного топлива

$$V_g = 1,015 k_1 \alpha \frac{Q_n}{1000} \text{ м}^3/\text{м}^3;$$

б) количество продуктов горения: для твердого и жидкого топлива

$$V_{n,i} = (k_2 + nk_1) \frac{Q_n + 6W}{1000} + \\ + 1,24 \frac{W}{100} \text{ м}^3/\text{кг};$$

для газообразного топлива

$$V_{n,i} = (k_2 + nk_1) \frac{Q_n}{1000} + \frac{B + 0,12W}{100} \text{ м}^3/\text{м}^3;$$

в) теплосодержание продуктов горения:

для твердого и жидкого топлива

$$i = \left[(\delta + \alpha) \frac{Q_n + 6W}{100} + 1,37 \frac{W}{100} \right] (0,33 + \\ + 0,05 \cdot 10^{-3}t + 0,006 \cdot 10^{-3}t^2) t;$$

для газообразного топлива

$$i = \left[(\delta + \alpha) \frac{Q_n}{100} + \frac{B + 0,14W}{100} \right] (0,33 + \\ + 0,05 \cdot 10^{-3}t + 0,006 \cdot 10^{-3}t^2) t,$$

где Q_n — низшая теплотворность топлива в ккал/кг, ккал/м³; α — коэффициент избытка воздуха; n — избыток воздуха

$$n = \alpha - 1;$$

W — влажность топлива в % для твердого и жидкого топлива и в г/м³ для газообразного; B — содержание в продуктах горения $CO_2 + O_2 + N_2$ в %; k_1 , k_2 , δ и t — коэффициенты, значение которых следующее:

Вид топлива	k_1	k_2	δ	t
Дрова	1,05	1,21	0,22	—
Торф	1,05	1,19	0,19	—
Горючие сланцы	1,12	1,21	0,19	—
Бурые угли	1,09	1,16	0,17	—
Каменные угли	1,09	1,16	0,14	—
Антрацит и кокс	1,10	1,14	0,14	—
Жидкое топливо	1,10	1,19	0,17	—
Природный газ и крекинг-газы	1,10	1,24	0,22	1,0
Коксовый газ	1,0	1,16	0,24	0,9
Генераторный и доменный (древесно-угольный) газы	0,66	1,04	0,24	0,8
Доменный (коксовый) газ	0,79	0,98	0,24	0,75

Б. Эмпирические формулы для углеводородных газов (природных) по Кнорре

при углеродном числе

$$\bar{n} = \frac{\text{CH}_4 + 2\text{C}_2\text{H}_6 + 3\text{C}_3\text{H}_8 + \dots}{100}$$

Расход воздуха в $\text{м}^3/\text{м}^3$

$$V_a = 7,13\bar{n} + 2,28;$$

$$V_{a,\alpha} = (7,13\bar{n} + 2,28)\alpha.$$

$$V_{n2} = 7,6\bar{n} + 2,9 \text{ м}^3/\text{м}^3; Q_H = 6000\bar{n} + 1950 \text{ ккал/м}^3.$$

Количество продуктов горения в $\text{м}^3/\text{м}^3$

$$V_{n2} = 7,6\bar{n} + 2,9;$$

$$V_{n2,\alpha} = \bar{n}(7,6 + 7,13\alpha) + 2,28\bar{n} + 2,9.$$

Состав продуктов горения в $\text{м}^3/\text{м}^3$

$$\text{CO}_2 = \bar{n};$$

$$\text{H}_2\text{O} = \bar{n} + 1;$$

$$N_2 = 5,6\bar{n} + 1,9 \text{ (при } \alpha = 1,0, \bar{n} = 0,0)$$

$$(\text{O}_2 + \text{N}_2)_a = \bar{n}(5,6 + 7,13\alpha) + 2,28\bar{n} + 1,9$$

(при $\alpha > 1,0$, $\bar{n} > 0,0$).

Характеристика газообразного топлива

Вид топлива	Типичный химический состав в %	Теплотворность Q_H ккал/м ³	Изначальное теплосодержание продуктов горения при $\alpha = 1,0$ в ккал/м ³
Генераторный газ (древесный, торфяной и каменноугольный)	5—9 CO ₂ ; 20—28 CO; 7—13 H ₂ ; 3 CH ₄ ; оставшееся N ₂	1100—1550	600—715
Светильный и коксовальный газы	3 CO ₂ ; 8—9 CO; 45—55 H ₂ ; 25—35 CH ₄ ; оставшееся N ₂	4000—5400	830—845
Нефтяной и природный газы	75—95 CH ₄ ; оставшееся CO ₂ , C ₂ H ₆ , O ₂ и N ₂	8000—10 000 $Q_H = 6000\bar{n} + 1950$	770—780
Сжиженные (углеводородные) газы типа C _n H _{2n+2}	60C ₃ H ₈ ; 40 C ₂ H ₆ ; 100C ₄ H ₁₀	20 000—25 000 $Q_H = 6000\bar{n} + 1950$	815—825

Средний состав продуктов горения газообразного топлива при $\alpha = 1,0$ в %

Топливо	CO ₂	H ₂ O	N ₂
Генераторный газ	17,6	7,8	74,6
Светильный и коксовальный газы	9,0	21,0	70,0
Природный и нефтяной газы	9,7	18,7	72,6
Природный, нефтяной, сжиженные углеводородные газы в $\text{м}^3/\text{кг}$	\bar{n}	$(\bar{n} + 1)$	$(5,6\bar{n} + 1,9)$

**Методика определения расхода топлива и электроэнергии
(Пример)**

Наименование и тип печей	Количество однотипных печей n	Коэффициент использования (затраты) κ	Производительность печи (травленого цетто) P_n в кг/час	Коэффициент полезного действия печи η ($\eta = \frac{P_n}{P_n + P_{pr}}$)	Коэффициент, учитывающий нагрев приспособлений, P_n	Расход топлива $B = \frac{Q_n \cdot 100}{Q_n \eta} =$ $= \frac{P_n}{\eta} \cdot ct \cdot 100$ в м³/час, квт·ч	Фонд времени работы печей в час/час	Доля времени на перекладку, τ_a	Расход топлива (электроэнергии) $P_n = B(\Phi_n + (1 - \tau_a)\varphi_n)$ в кг/кг, м³/кг, квт·ч	Удельный расход топлива (электроэнергии) $b = \frac{B(1 - \tau_a)}{\nu_n(1 - \tau_a)} \times$ $\times (1,35 \div 1,10) =$ $= \frac{100 \cdot ct \left(\frac{1}{\eta} - \frac{\tau_a}{\eta} \right)}{Q_n(1 - \tau_a)} \times$ $\times (1,35 \div 1,10)$ в кг/кг, м³/кг, квт·ч
I. Светильный газ ($Q_n = 5400$ ккал/м³)										
Печи непрерывного действия для пементации $F = 1,2 \div 8,0 = 9,6$ м²	4	0,80	120	0,15	0,5	$B = 42,5$ м³/час	645	0,5	65 600	0,55
Печи для нагрева пол закалку $F = 1,0 \div 1,4 = 1,4$ м²	2	0,75	210	,18	1,0	$B = 26,6$	386	0,2	12 300	0,13
II. Электроэнергия										
Печи с передвижной камерой нагрева для аэтилизации (мощностью 100 квт).	6	0,90	20	0,50	0,6	$W = 56,0$	645	0,1	184 000	3,0
Печи шахтные для отпуска	4	0,70	200	0,75	0,9	$W = 18,5$	197	0,1	10 340	~0,10

Системы сжигания различных видов топлива

Система сжигания	Вид топлива	Давление перед горелкой (форсункой) в мм вод. ст. или в атм		Рациональный тип горелки, форсунки	Краткая характеристика системы сжигания
		топлива	воздуха		
Низкого и среднего давления	Мазут	2,0—3,0*	400—100	Союзэнергостроя с двойным регулированием подачи воздуха, Стальпроекта, Органерго	Кольцевая система подачи мазута с подогревом его до 60—80°
Высокого давления	Мазут	0,5—2,0*	2,0—4,0*	Шухова с с охлаждением водой	То же и тупиковая
Пламенное сжигание	Газообразное (газы всех сортов)	100—200	100—200	Союзэнергостроя, типа Г; ЦНИИТМАШ	$\alpha = 1,05+1,10$
Поверхностное беспламенное сжигание высокого давления	Генераторные газы $Q_H = 1200+1500 \text{ ккал/м}^3$	700—1000	—	С инспиратором-инжектором. Горелки: туннельные, сводовые и ударные, радиационные трубы (вертикальные)	$\alpha \leq 1,05$; количество горелок на инспиратор 1—4 шт.
	Водяной и смешанный газы $Q_H = 2600+3000 \text{ ккал/м}^3$	1000—2000	—	То же	То же
	Светильный и коксовальный газы $Q_H = 4000+5500 \text{ ккал/м}^3$	3000—5000	—	Инспираторы-горелки, двойного смешения, радиационные трубы (вертикальные)	$\alpha \leq 1,05$; количество горелок на инспиратор 1—4 шт.
	Нефтяной и природный газы $Q_H = 8000+10000 \text{ ккал/м}^3$	1,4—1,8*	—	То же	То же
Поверхностное беспламенное сжигание низкого давления	Газы всех сортов, включая углеводородные $Q_H \approx 2000 \text{ ккал/м}^3$	50—125	700—1200	Механический смеситель или инспиратор с пропорционирующим смесителем, радиационные трубы (вертикальные)	
Микрофакельное	То же	50—125	700—1200	Керамические горелки	$\alpha < 1,05$
Диффузионное		100—200	400—1200	Радиационные трубы (горизонтальные)	То же
Атмосферное		50—200	—	Атмосферные горелки — „розетки“ и трубы	Подсос воздуха в инспиратор при $\alpha = 0,5+0,6$; остальной воздух из атмосферы

Примечание. Значения давления со знаком * выражены в атм.

Техническая характеристика форсунок

Тип форсунки	Диаметр гнезда сопла в мм	Производительность в кг/час при давлении воздуха в мм вод. ст.							Диаметр воздухо-проводка в мм	
		150	300	400	450	500	600	700		
Одноступенчатая большой производительности	ФОБ-1*	16 20	2 3	3 3,7	4 6	—	4,2 7	—	—	38
	ФОБ-2	20 26	4 5	5,5 8	7 10	—	8 12	—	—	50
	ФОБ-3	45 50	14 17	21 25	25 30	—	27 33	—	—	75
	ФОБ-4	70 80	25 32	25 45	41 51	—	45 56	—	—	100
Двухступенчатая большой производительности	ФДБ-1*	50	—	—	—	20	22	24	25	50
	ФДБ-2	64	—	—	—	30	34	37	40	75
	ФДБ-3	70	—	—	—	48	52	56	60	100
	ФДБ-4	90	—	—	—	76	82	89	95	125
Низкого давления Стальпроекта**	A-40 A-30	40 30	—	16 11	18 13	—	20 14,5	22 16	24 17	— 65
	A-60 A-52	60 52	—	38 32	44 36	—	50 41	55 46	58 49	100
	A-75 A-95 A-125	75 95 125	—	54 80 135	62 95 148	—	69 105 170	76 115 185	81 120 205	125 150 200

* Форсунки типа ФОБ и ФДБ Союзстеклостроя, указана максимальная производительность.

** Производительность форсунок Стальпроекта приведена при $\alpha = 1,2$. Форсунки изготавливаются двух типов — бесфланцевые А и с фланцами Б.

Помимо указанных типов форсунок применяются и многие другие, например, Органерго, ЦНИИТМАШ с вихревым движением факела, паро-воздушная.

Характеристика форсунок по данным испытаний см. [180].

Техническая характеристика газовых горелок пламенного горения низкого давления

Тип горелки*	Производительность в м ³ /час	Диаметр газо- и воздухопровода в мм		Давление в мм вод. ст. (числитель) и скорость в м/сек (знаменатель)		Размер сопла газовоздушной смеси в мм
		газо-проводка	воздухо-проводка	воздуха		
С раздельной подачей газа и воздуха	ГШ-1	5—15	25	25	50—100	22,5×50
	ГШ-1 ^{1/2}	10—30	37	37	10—15	21×75
	ГШ-2	20—60	50	50	10—20	24,5×118
	ГШ-2 ^{1/2}	40—100	63	63		24,5×128
Шелевая	ГШ-3	60—140	75	75	50—100	53×120
	ГШ-4	100—200	100	100	10—15	58×150
	ГШ-5	150—300	125	125	10—20	68×183
Тангенциальная с вихревым факелом	ГТН-1	50—100	50	65		Ø 70
	ГТН-2	100—200	65	80		Ø 90
	ГТН-3	150—300	85	100	≥ 80—100	Ø 115
	ГТН-4	200—400	100	125	10—15	Ø 140
	ГТН-5	300—600	125	150	15—20	Ø 170
	ГТН-6	500—1000	150	170	Скорость смеси 10—12 м/сек	Ø 200
С вихревым факелом	ГТ-1	100	67	80	≥ 80—100	Ø 80
	ГТ-2	160	85	100	10—15	Ø 100
	ГТ-3	250	106	125	15—20	Ø 126
	ГТ-4	400	132	160		Ø 160
	ГТ-5	630	170	200	Скорость смеси 10—12 м/сек	Ø 200
	ГТ-6	1000	212	250		Ø 250

* Горелки ГШ — Союзтеплостроя, ГТН — Стальпроекта.

Горелки поверхностного беспламенного горения

Обязательным условием нормальной эксплуатации горелки является $W_c > U_c$. Скорость газовоздушной смеси по вылету из сопла горелки должна быть больше скорости распространения пламени

$$W_c = \frac{V_c}{f_{c,z}} = \sqrt{\frac{2gh_c}{\gamma_c}} \text{ м/сек.}$$

где V_c — объем газовоздушной смеси в м³/сек; $f_{c,z}$ — площадь сопла горелки при его диаметре $d_{c,z}$; h_c — давле-

ние газовоздушной смеси в горелке в атм; $h_c \approx 60 \div 70$ мм вод. ст.; γ_c — удельный вес газовоздушной смеси в кг/м³.

Диаметр туннеля горелки $D_m \approx 2,5 d_{c,z}$ мм (туннель изготавливается также конусным). Длина туннеля горелки $L_m = 6 d_{c,z} + 30$ мм для генераторного и природного газов и $L_m = 2,25 d_{c,z} + 20$ мм для светильного, коксового и водяного газов. К одному инспиратору-смесителю может быть присоединено 1, 2, 3 . . . n горелок; в этом случае между диаметрами сопла горелки $d_{c,z}$ и сопла инспиратора $d_{c,u}$ существует соотношение $d_{c,u} = 0,42d_{c,z}\sqrt{n}$.

Размеры газовых горелок и туннелей системы беспламенного сжигания

Условное обозначение	Диаметр сопла горелки d_{42} в мм	Размеры горелки в мм	№ горелки и длина в мм ($N - L_2$)	Размеры туннеля в мм			Производительность в м³/час при $Q = 1300$ ккал/м³ и давлении газа в мм вод. ст.		
				Диаметры		Длина L_m	700	1200	1500
				D'_m	D''_m				
ШИ-3	10—19	40 65 38	1—65, 2—100, 3—140, 4—180, 5—215, 6—255, 7—290	42	38	95	5—11	6—15	8—20
ШИ-8	—	50 75 38	8—330, 9—370, 10—405, 11—445, 12—485, 13—520, 14—560	53	48	143	—	—	—
ШИ-9 ШИ-12	21—25 65	50 75 50 90	15—21 22—28	56 69	51 64	146 159	15—20	18—24	22—30
ШИ-15 ШИ-16	29—32 75	65 90 75 100	29—35 36—42	80 80	73 73	187 197	26—32	33—39	41—60
ШИ-18 ШИ-20	35—38 75	75 115 —	43—56	88 95	80 86	238 257	40—48	50—57	60—70
ШИ-22 ШИ-24	41—44	90 130 —	57—70	105 118	95 108	257 280	55—60	65—75	80—90

Размеры и производительность инспираторов смесителей высокого давления

Условное обозначение	Производительность в м³/час	Размеры в мм							
		Диаметр горловины $D_{горл}$	Длина горловины $L_{горл}$	Диаметр диффузора $D_{диф}$	Длина диффузора $L_{диф}$	Длина конуса смесителя $L_{кон}$	Общая длина смесителя L	Угол конуса α	Диаметр газопровода в дюймах
ИИ-1	9,6	14	80	26	95	22	18	280	$1\frac{1}{4}$
ИИ-2	13,6	16	85	32	140	22	18	330	$1\frac{1}{4}$
ИИ-3	20,0	20	125	38	150	22	20	380	1
ИИ-4	30,2	24	140	48	190	28	20	410	1
ИИ-5	44,0	28	185	56	250	38	21	585	$1\frac{1}{4}$
ИИ-6	71,0	34	210	68	290	42	21	670	$1\frac{1}{2}$
ИИ-7	96,0	40	235	80	345	62	21	770	$1\frac{1}{2}$
ИИ-8	142,9	48	280	96	395	67	21	875	2

Свойства мазута-топлива (по ГОСТ 1501-42)

Физико-химические свойства	Марка мазута			
	10	20	40	80
Вязкость по Энглеру при 75° С не более	3,6	6,0	10,0	16,5
Температура вспышки по Бренекену в °С не ниже	65	80	100	110
Температура застывания в °С не выше	+5	+5	+10	+25
Содержание:				
золь в % не более	0,3	0,3	0,3	0,3
воды в % не более	2	2	2	2
серы в % не более	4	4	4	4

Коэффициент для пересчета различных видов топлива на условное

$$Q_n = 7000 \text{ ккал/кг}^*$$

Вид топлива	Теплотворность Q_n в ккал/кг или ккал/м³	Коэффициент $\beta = \frac{\tau_{\mu} Q_n}{\tau_{\mu y} Q_{ny}}$	
		4 500	0,60
Твердое	6 000	0,82	
	7 000	1,00	
	8 000	1,10	
Мазут	9 600	1,35	
	1 200	0,145	
Генераторный газ	1 300	0,163	
	1 500	0,200	
Светильный и коксовальный газы	4 000	0,55	
Природный газ	8 200	1,40	
	11 000	1,75	
Сжиженные газы .	24 000	3,70	

$$* X_{y\theta} = X_{Qn} \beta.$$

Пределы и температуры взрываемости (воспламенения) газовоздушных смесей и некоторых жидкких и твердых видов топлива [118]; [77]

Наименование видов топлива	Температура воспламенения	Содержание газа в воздухе в % (объемных)		Наибольшая скорость распространения пламени в см/сек
		Нижний предел	Верхний предел	
Метан CH_4	680—750	5,3—5,6	14,5	67,0
Этан C_2H_6	530—605	3,0	12,5—15,0	85,0
Этилен C_2H_4	475—550	3,3—4,0	14,0—18,3	166,0
Пропан C_3H_8	510—580	2,1	9,5	82,0
Пропиллен C_3H_6	455	2,6	7,5	101,0
Бутан C_4H_{10}	475—550	1,6—1,9	8,5	82,5
Бутилен C_4H_6	445	1,9	6,0	98,0
Окись углерода CO	610—658	12,4—15,6	70,9—75,0	41,5
Водород H_2	530—590	4,1—9,5	65,2—75,0	267,0
Ацетилен C_2H_2	335—500	3,5	52,3	135,0

Продолжение

Наименование видов топлива	Температура воспламенения	Содержание газа в воздухе в % (объемных)		Наибольшая скорость распространения пламени в см/сек
		Нижний предел	Верхний предел	
Аммиак NH ₃ .	—	16,1	26,4	—
Доменный газ . .	—	35,0	74,0	—
Генераторный газ	—	20,7	74,0	—
Водяной газ .	—	5,0	75,0	—
Коксовый газ .	—	5,6	30,4	—
Светильный газ	—	8,0	24,5	—
Природный газ	—	3,0	15,0	—
Нефтяной газ	—	1,1	5,5	—
Керосин	270—320	—	—	—
Бензин .	410—560	—	—	—
Нефть	360—400	—	—	—
Бензол . .	720—770	—	—	—
Торф, дерево .	225—295	—	—	—
Древесный уголь	350	—	—	—
Бурые угли	450	—	—	—
Кокс .	600—700	—	—	—

С повышением температуры пределы воспламенения расширяются.

Пределы воспламенения газовых смесей определяются из соотношения:

$$N = \frac{100}{\frac{p_1}{n_1} + \frac{p_2}{n_2} + \frac{p_3}{n_3} + \dots}$$

где N — предел воспламенения (нижний или верхний) газовой смеси, состоящей из компонентов 1, 2, 3...; $p_1, p_2, \dots, n_1, n_2, \dots$ — содержание компонентов в газовой смеси и их пределы воспламенения (нижний или верхний).

Пределы воспламенения сужаются, если в газовой смеси содержатся CO₂ и H₂O (см. [77]).

Предельно-допустимое содержание некоторых ядовитых газов, паров и пыли в воздухе производственных помещений (по ГОСТ 1324-47)

Наименование веществ	Предельно-допустимая концентрация в мг/л воздуха	Наименование веществ	Предельно-допустимая концентрация в мг/л воздуха
Аммиак	0,02	Серауглерод	0,01
Бензин, дигрон, керосин, минеральные масла .	0,3	Фенол	0,005
Бензол	0,1	Фосфор желтый . . .	0,0003
Окислы азота (в пересчете на N ₂ O)	0,005	Фосфористый водород	0,0003
Окись этилена	0,001	Хлорбензол, ди- и трихлорэтан, четыреххлористый углерод	0,05
Окись цинка	0,005	Хлористый водород и соляная кислота	0,01
Окись углерода	0,02—0,03	Хлор	0,001
Ртуть металлическая	0,00001	Цианистый водород	0,0003
Свинец и его неорганические соединения	0,00001	Этиловый (диэтиловый) эфир	0,3
Серная кислота и серный ангидрид	0,002	Пыль, содержащая кварц в количестве выше 50% (пыль кварца, песка, кварцита и др.)	2,0 мг/м ³
Сернистый газ	0,02—0,04	Все остальные виды пыли	до 10 мг/м ³
Сероводород	0,01		

МАТЕРИАЛЫ

Характеристика жароупорной стали, применяемой для деталей печей [176]

Марка стали		Удельный вес γ в $\text{кг}/\text{dm}^3$	Удельное электросопротивление r $\mu\text{омм}$ при 20°	Коэффициент линейного расширения β ($20-100^\circ$) μ	Теплопроводность λ в $\text{ккал}/\text{м град час}$	Теплоемкость c в кг град	Начало интенсивного окисления в $^\circ\text{C}$	Прочность на разрыв в $\text{кг}/\text{мм}^2$	Область применения
Магнистая	1X13 .	7,75	0,57	$10,6 \cdot 10^{-6}$	34,0	0,16	700	50-60	Детали печей: лист, прокат при $t \leq 700^\circ$
	2X13								
	3X13								
	4X13 .								
	X17	7,6	0,65	$10,5 \cdot 10^{-6}$	20,0	0,12	900	50-55	Лист, прокат при $t = 1100^\circ$
	X18								
	X10C2M	7,6	0,75	$10,7 \cdot 10^{-6}$	18,0	0,11	900	100-120	Литье при $t \leq 900^\circ$
	X25C3H	7,6	0,80	$10,0 \cdot 10^{-6}$	18,0	0,11	1100	100-120	Литье при $t \leq 1100^\circ$
Немагнитная	0X18H9	7,9	0,75	$(16,0-16,7) \cdot 10^{-6}$	12,5	0,12	900	60-70	Лист, прокат, литье при $t \leq 850^\circ$
	1X18H9								
	1X18H9Г								
	2X18H9 .	7,8	0,95	$17,0 \cdot 10^{-6}$	11,0	0,12	1000	60-75	Лист, прокат, литье при $t \leq 1100^\circ$
	X20H14C2								
	X18H25C2								

Основные свойства огнеупоров [176]

Наименование (класс, сорт, марка)	Вес		Огнеупор- ность в °С	Предел допускаемой температуры в °С	Удельное электросопро- тивление при 800° р · 10³ ом·см	Удельная теплоемкость с в ккал и час град	Коэффициент теплопровод- ности λ в ккал и час град	Прочность при сжатии в кг/см²	Темпера- тура начала деформации под нагруз- кой в 2 кг/см²	
	объемный в кг/м³	удельный								
Шамотный кирпич	A	1,8—1,9	1,54—2,02	1730	1300—1400	7—15	0,21+0,055α*	0,72+0,5α*	100	1150
	B			1670	1250—1300				125	
	B			1580	1200—1250				100	
Динасовый кирпич	I	1,9—1,95	2,38—2,40	1710	1600—1650	9 (1200°)	0,2+0,06α	0,8+0,6α	200	1650
	II			1690					175	
Талько-магн.		—	2,85	1540—1560	—	—	0,3 (200°)	0,6+0,55α	300—400	1500
Изделия из плавленого мульти		2,1—2,4	3,0	1800—1850	1750	—	0,22+0,06α	—	1500—3000	1700
Силикатовые изделия (мулитовые)		2,2—2,4	2,9—3,0	1780—1850	1650	180 11,5 (1200°)	0,2+0,06α	1,45—0,2α	400—800	1500—1650
Корундовые (алундовые) изделия		2,3—2,6	3,7—3,9	1800—2000	1600—1700	1000 100 (1200°)	0,19+0,1α	1,8+1,6α	200—800	1550—1680
Карборундовые изделия (карбофракс)		2,3—2,6	3,1—3,2	2000—2200	1400—1500	800 40 (1200°)	0,2+0,35α	18—9α	400—900	1500—1650
Графитовые изделия		1,6	2,2	2000	2000	—	0,2	140—35α	200—300	1900
Красный кирпич		1,2	—	—	700—750	—	0,21+0,055α	0,4+0,44α	50—150	—

* $\alpha = 10^{-3}t$.

Физические свойства шамотного кирпича [182]

ГОСТ, ОСТ	Класс и сорт	Огнеупорность в °С не ниже	Предел прочности при сжатии в кг/см ² не менее	Дополнительная усадка в процентах при температуре не более	Пористость (кажущаяся) в процентах не более
390-41	A. Сорт 1	1730	100	0,7 при 1400°	—
	2	1730	100	1,0 при 1400°	—
	3	1730	80	1,0 при 1400°	—
	B. Сорт 1	1670	125	0,7 при 1350°	—
	2	1670	100	1,0 при 1350°	—
	3	1670	80	1,0 при 1350°	—
	B ₂ . Сорт 1	1580	100	0,7 при 1250°	—
	2	1580	80	1,0 при 1250°	—
16238-39 (изделия огнеупорные полукирпичные)	ПК	1710	100	0,7 при 1400°	28
	ПГ	1670	125	0,6 при 1400°	25
	ПР	1610	100	1,0 при 1250°	32

Шамотный кирпич по ГОСТ 390-41 применяется как в печах непрерывного действия со стационарным температурным режимом, так и в печах периодического действия с переменным температурным режимом.

При этом допустима максимальная температура кладки:

для кирпича класса А 1300—1400°
Б 1250—1300°
В 1200—1250°

Допускается замена шамотного кирпича класса Б полукирпичом ПГ а кирпича класса В—полукирпичом ПР.

Размеры нормального шамотного кирпича (ГОСТ 389-41) [182]

Кирпич	Большой размер				Малый размер			
	Размеры в мм			Вес в кг	Размеры в мм			Вес в кг
	длина	ширина	толщина		длина	ширина	толщина	
Прямой Клин ребровой односторонний Клин ребровой двухсторонний Клин торцевой односторонний Клин торцевой двухсторонний	250	123	65	3,8	280	113	65	3,2
	250	123	65/55	3,4	230	113	65/55	3,0

**Форма и размеры шамотного кирпича
(по ГОСТ 4247-48) [182]**

Наименование кирпича и форма	Марка	Размеры в мм							Вес в кг?	Применение
		a	a ₁	b	c	g	d	a°		
Прямой	H-3	113	—	100	230	—	—	—	4,9	Для выравнивания швов кладки
	H-4	113	—	65	171	—	—	—	2,4	Для перевязки и выравнивания кладки на длине в сочетании с прямым кирпичом H-1
	H-5	111	—	35	230	—	—	—	4,9	1. То же по ширине 2. При кладке пролетов в сводов
	H-6 (H-71)	150	—	65	300	—	—	—	5,6	1. Для стен 2. Для сводов и для арок загрузочных окон совместно с H-16
Прямой (специальный)	H-7	113	—	65	230	—	—	—	3,2	Для стен электрических печей
Полочка прямая секторная	H-8 H-9	210 175	—	113 90	35 36	113 68	115 80	—	1,4 1,0	Для крепления нагревателей электрических печей
Плита и брус	H-10	460	—	230	100	—	—	—	20,1	Для перекрытия проемов
	H-11	460	—	171	100	—	—	—	15	То же
	H-12	575	—	171	100	—	—	—	18,7	Для перекрытия проемов и камер нижних топок
Клин горцевой (двухсторонний и односторонний)	H-14 (H-73)	45	65	113	230	—	—	—	2,7	Для кладки сводов в сочетании с кирпичом H-1 для R = 520+1260 мм
	H-15 (H-74)	55	65	150	300	—	—	—	5,1	То же в сочетании с кирпичом H-6 для R = 1650+3600 мм
	H-16 (H-75)	55	65	171	280	—	—	—	4,5	Для перевязки колец в сводах (клин односторонний)
	H-17 (H-16)	45	65	171	230	—	—	—	4,1	To же
	H-18	56	65	113	171	—	—	—	2,2	Для кладки сводов в сочетании с кирпичом H-4 для R = 1260+2700 мм (клин односторонний)
	H-19	45	65	113	171	—	—	—	2,0	To же, что и кирпич H-18, для R = 520+1260 мм

Продолжение

Продолжение

Наименование кирпича и форма	Марка	Размеры в мм		Вес в кг	Применение
		<i>a</i>	<i>R</i>		
Подвесной прямой	H-40 H-41	100 75		15,3 11,5	Для сводов Для выравнивания кладки свода по длине
<i>l</i>	Марка	Размеры в мм		Вес в кг	Применение
Опорный	H-42	—	—	22,5	Для подовых направляющих (труб)
Горелочные	H-43	25	75	17,1	Для горелок
	H-44	37,5	95	11,3	Для горелок и форсунок
	H-45	50	105	11,8	
	H-46	62,5	120	11,0	
	H-47	75	130	9,3	
	H-48	87,5	135	8,7	
	H-49	100	135	8,2	
П р и м е ч а н и я . Марки динасового кирпича (Н-71) — (Н-82).					

Основные свойства пористых огнеупорных изделий (легковесов) [176]

Огнеупор	Объемный вес в кг/дм ³	Прочность на скатие в кг/см ²	Огнеупорность в °С	Начало деформации под нагрузкой 2 кг/см ² при температуре в °С	Коэффициент теплопроводности λ в ккал/в час·град	Температура применения в °С	Область применения
Химлегковес Пенолегковес	0,74 0,54—0,61	30—40 25—35	1710 1710—1730	1190 1130—1260	0,13+0,11α* 0,08+0,14α	1200 1150—1300	Для печей, работающих непрерывно без резких колебаний температуры
Ультралегковес (пенолегковес)	0,27—0,33	7—10	1710—1730	1130	0,05—0,15α	1100	Защищенные изоляции высокотемпературных печей
Пеношамот Легковес выгорающими добавками	0,95 0,6 1,3 1,0	30 10 50 30	1740 1630 1750 1700	1340 1280 1300 1250	0,24+0,2α 0,09+0,125α 0,35+0,3α 0,25+0,22α	1350 1300 1800 1260	Для всех термических печей

$$* \alpha = 10^{-3} f.$$

Характеристика теплоизоляционных материалов

Материал	Максимальная температура применения в °С	Объемный вес в кг/дм ³	Коэффициент теплопроводности λ в ккал/в час·град
Диатомит необожженный в кусках	800	0,68	0,147+0,2α *
То же в порошке	900	0,55	0,08+0,210α
обожженный в порошке	1000	0,55	0,085+0,215α
Кирпич диатомовый	900	0,50	0,095+0,125α
	900	0,60	0,125+0,27α
	950	0,70	0,17+0,23α
	900	0,40	0,07+0,19α
Кирпич пенодиатомовый	900	0,45	0,088+0,17α
	900	0,50	0,095+0,20α
	900	0,55	0,103+0,17α
Асбест распущенный 3-й сорт	500	0,34	0,075+0,21α
Асбестовый картон	500	0,90	0,14+0,16α
Асбестовый шнур	300	0,80	0,11+0,13α
Шлаковая 1-й сорт	—	0,20	0,048+0,13α
минеральная 2-й сорт	—	0,30	0,052+0,135α
ваты 3-й сорт	750	0,30	0,06+0,135α
Стеклянная вата	600	0,25—0,30	0,032+0,22α
Стеклянное волокно	600	0,10—0,20	0,025+0,25α
Пенообетон	300	0,40	0,085
	300	0,50	0,105

$$* \alpha = 10^{-3} f_{ep}.$$

НАГРЕВАТЕЛЬНЫЕ УСТАНОВКИ

Характеристика контактных закалочных установок (по данным ЦБПЭЗ ЦНИИТМАШ) (фиг. 4)

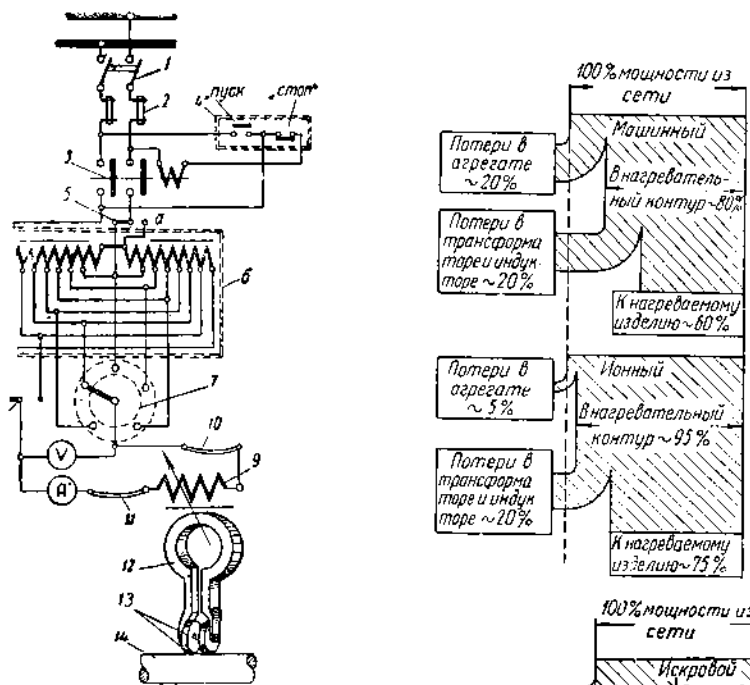
Параметры	Мощность установок P в ква		
	21,2	34,8	62,5
Наибольшая сила тока во вторичной цепи I_2 в а.	8 500	14 000	25 000
Напряжение, подаваемое на ролик, U_2 в в	0,87—2,50	0,88—2,50	1,0—2,5
Количество ступеней регулирования напряжения	15	15	15
Изменение напряжения на каждой ступени в %.	2,5	2,5	3,0

Основная комплектующая аппаратура

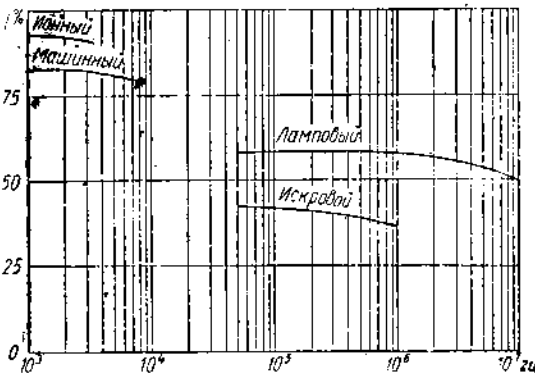
Силовой однофазный (сварочный) трансформатор	KTE-222	KTH-232	KTE-232 (два параллельно)
Регулировочный автотрансформатор	TC-82-A6	TC-94-A6	TC-150
Коммутатор к автотрансформатору на 15 положений для переключения под нагрузкой.	На 200 а Изготавливается по чертежам	На 400 а Изготавливается по чертежам	На 400 а ЦНИИТМАШ
Электромагнитный контактор.	KT-23	KT-24	KT-25

Основная характеристика генераторов повышенной и высокой частоты [79]

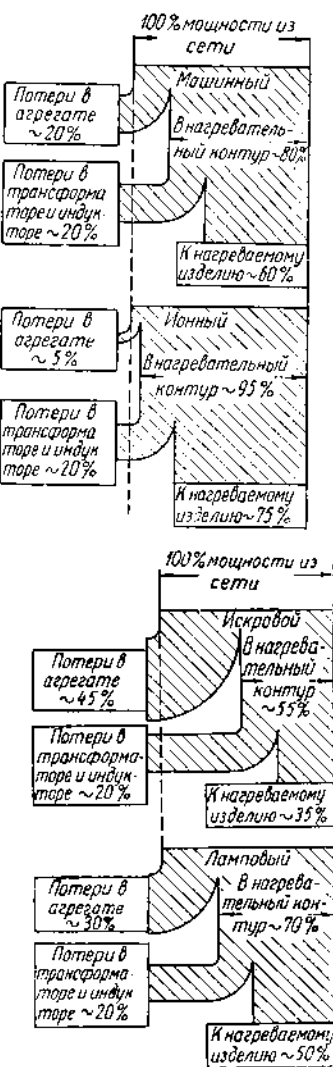
Тип генератора (фиг. 5)	Диапазон рабочих частот в гц	Пределы применяемых мощностей в квт	К. п. д. в % (фиг. 6)	Применение
Машинный (мотор-генератор)	500—10 000	15—1000	70—85	Кулакковые и коленчатые валы, оси, крупные шестерни; $\delta = 1,0+3,0$ мм
Ионный (экситронный)	500—3000	250—1000	90—95	Крупные детали цилиндрической формы, плиты; $\delta = 5,0+8,0$ мм
Искровой	50 000—500 000	5—35	30—40	Мелкие детали машин, режущий и измерительный инструмент; $\delta < 1,0$ мм
Ламповый (электронный)	$50 \cdot 10^4$ — $1 \cdot 10^6$	5—500	50—60	Детали сложной формы—шестерни, штампы, инструмент и т. п.; глубина слоя—от долей мм



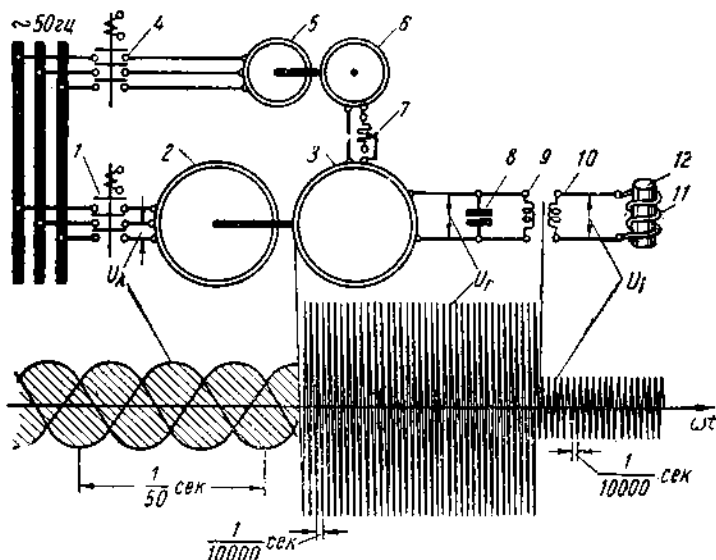
Фиг. 4. Электрическая схема контактной электро-закалочной установки ЦБПЭЗ «ШНИМТАИ»:
1 — двухполюсный рубильник; 2 — предохранители;
3 — контактор; 4 — кнопки „пуск“ и „стоп“;
5 — переключатель сети на 220 и 380 в; 6 — ре-
гулировочный автотрансформатор; 7 — коммута-
тор для переключения ступеней автотрансформа-
тора; 8 — рубильник; 9 — силовой трансформатор;
10 и 11 — гибкие шины; 12 — трансформатор;
13 — закаливающие ролики; 14 — нагреваемая де-
таль.



Фиг. 6. К. п. д. генератора повышенной и высокой
частоты [79].



Фиг. 5. Баланс мощностей про-
мышленных типов генераторов
токов повышенной и высокой
частоты (М. Г. Лозинский) [79].



Фиг. 7. Принципиальная и скелетная схема установки машинного генератора:
1 — контактор; 2 — электродвигатель (50 гц); 3 — генератор токов повышенной ча-
стоты; 4 — контактор; 5 — электродвигатель; 6 — возбудитель тока; 7 — реостат;
8 — конденсаторная батарея; 9 — первичная обмотка трансформатора тока повы-
шенной частоты; 10 — вторичная обмотка трансформатора тока повышенной частоты;
11 — индуктор; 12 — нагреваемая деталь.

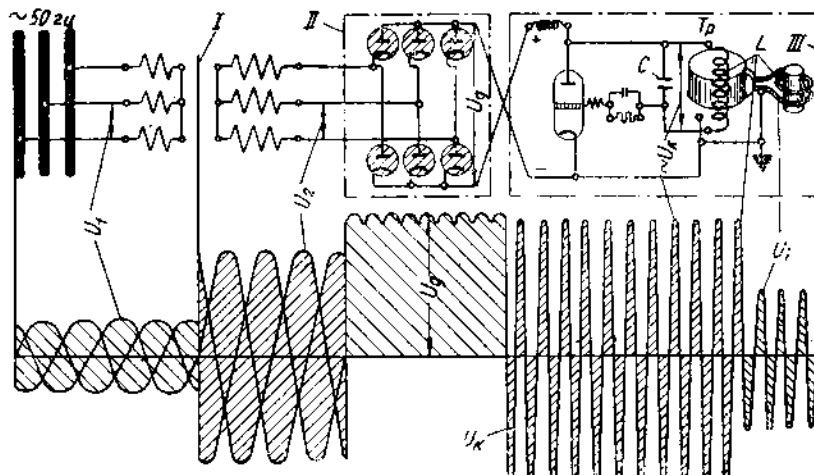
Параметры машинных генераторов (преобразователей) * (фиг. 7)

Тип агрегата	Род машины	Мощн	Напряжение в в	Сила тока в а	Частота в гц	К. п. д. агрегата в %	Число оборотов в минуту	Общий вес агрегата в т	Габарит (по пло-щади) в м
ПВ-50/2500	Генератор типа ВГ-60 Двигатель	55 165	375/750 220/380	148/74 260/150	2500 50	72	2950	2,0	1,2×0,99
ПВ-100/8000	Генератор типа ВГ-100 Двигатель	110 130	375/750 220/380	296/148	8000 50	63	1500	5,0	1,53×1,12
ПВ-100/2500	Генератор Двигатель	100 165	375/750 220/380	286/140	2500 50	—	2950	2,0	1,42×0,825

* По заводским ТУ.

Характеристика машинных высокочастотных генераторов
 (для поверхностной закалки МГЗ и для сплошного нагрева МГН)

Тип генератора	Номинальная мощность в квт	Напряжение в в	Рабочая частота тока f в Гц	Мощность конденсаторной батареи в квт
МГЗ-52	50	375/750	2500	750
МГЗ-102	100	375/750	2500	1000
МГЗ-108	100	375/750	8000	1200
МГН-252	250	750/1500	2500	1500
МГН-502	500	750/1500	2500	2500



Фиг. 8. Принципиальная и скелетная схемы установки с ламповыми генераторами: I — трансформатор напряжения 50 Гц, 220/380 — 7650 в; II — газородный выпрямитель — постоянный ток; III — ламповый генератор; $U_1 = 220/380$ в; $U_2 = 7650$ в; $U_g = 1,35 U_2$ (постоянный); $U_k = U_g$ (высокая частота); $U_i \leq 1000$ в.

Техническая характеристика высокочастотных ламповых генераторов

Тип генератора (фиг. 8)	Мощность установленная в квт	Мощность выходная номинальная в квт	Рабочая частота тока $f \cdot 10^{-5}$ периодов в сек	Габаритные размеры в м		Применение
				в плане	в высоту	
ЛГН-10	15	8	3,0—7,0	0,75 × 1,25	2,1	Для нагрева мелких деталей
ЛГЗ-30	50	30	2,0—2,5	1,4 × 2,8	2,3	Для поверхностного нагрева
ЛГЗ-60	100	60	2,0—2,5	1,4 × 2,8	2,3	То же
ЛГЗ-100	150	100	1,0—1,5	1,9 × 2,5	2,35	
ЛГПЗ-30	50	30	2,0—2,5	2,68 × 3,68	2,3	Для поверхностного нагрева
ЛГПЗ-60	100	60	2,0—2,5	2,68 × 3,75	2,3	и плавки металлов

Для всех установок: напряжение питающей сети 380 или 220 в; число фаз — 3. Установки поставляются komplektно с генераторным блоком, шкафом силового трансформатора, с трансформатором и высокочастотным закалочным трансформатором.

Характеристика конденсаторных батарей для включения в колебательный контур высокочастотного машинного генератора

Параметры характеристики	Тип батарей		
	БК-2502 (БК-2500)	БК-1002 (БК-50)	Б-1502 (БК-100)
Мощность батареи в квад	2500	1000	1500
Емкость конденсаторной батареи в мкф	180	210	210
Напряжение в в	375/750	375/750	375/750
Частота в гц	2500	2500	2500
Размеры в мм:			
ширина	1220	1220	1220
длина	2210	1350	1350
высота	2000	2000	2000

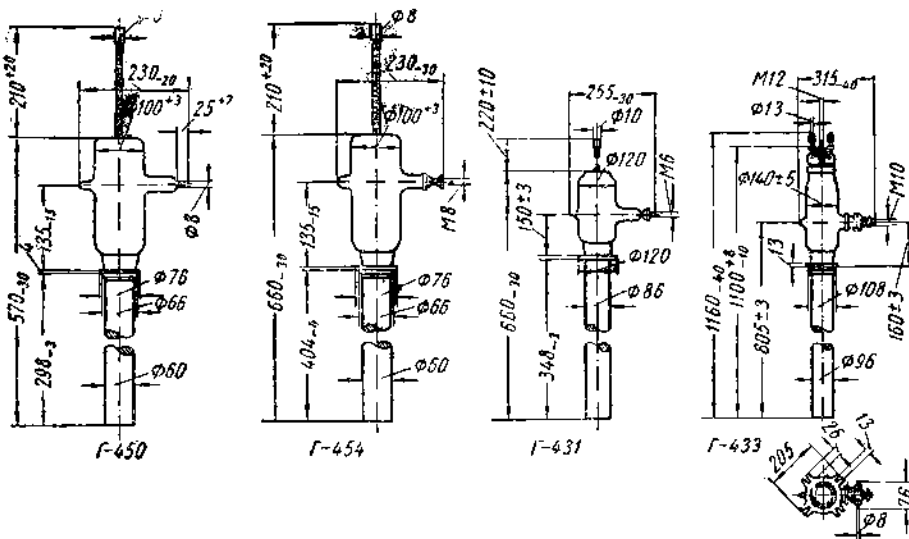
Параметры бумажно-масляных контурных конденсаторов с водяным охлаждением [79]

Конденсатор	Емкость в мкф	Реактивная мощность в ква	Частица в гц	Рабочее напряжение в в	Вес в кг
ПМВ 1-1	11,2	70	1000	1000	23
ПМВ 3-1	1,28	70	1000	2000	23
ПМВ 2,4-2	0,98	70	2000	2400	23
ПМВ 1,5-2	3,0	84	2000	1500	23
ПМВ 0,66-2,5	8,8	70	2500	660	23
ПМВ 0,4/0,8-8	16,0	120	8000	400/800	24,5

Габаритные размеры конденсаторов в мм: длина 360; ширина 140; высота 490; высота корпуса—350; расстояние между клеммами—205.

Характеристика щитов управления машинными высокочастотными генераторами

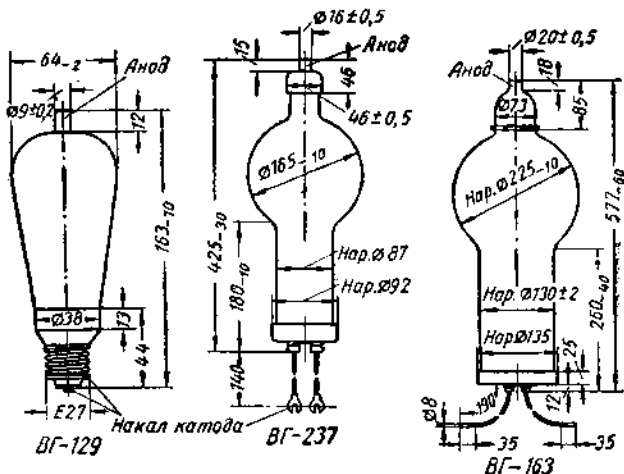
Параметры характеристики	Тип щита управления	
	ЩВ-52 (АИ-1)	ЩВ-102(АИ-1)
Максимальная мощность генератора в кват	100	200
Частота тока в гц	2500	2500
Напряжение в в	220	220
Напряжение возбуждения в в	110	110
Размеры в мм	850×650,	h—1950



Фиг. Габаритные размеры генераторных ламп.

Характеристика мощных генераторных ламп с водяным охлаждением анода, применяемых в промышленных высокочастотных установках (фиг. 9) [79]

Параметры	Тип лампы			
	Г-450 (ГКО-10)	Г-454 (ГДО-30)	Г-431	Г-433
Мощность полезная типовая колебательная P_K в квт	10	30	30	10 ³
Мощность максимальная, рассеиваемая анодом, P_A в квт	12	20	20	60
Напряжение накала U_f в в	16,5	22,5	20,0	33,0
Ток накала I_f в а	52	70	102	210
Электронная эмиссия катода (минимальная) I_e в а	7	14	12	50
Напряжение анодное U_A в в	8000	10 000	15 000	15 000
Ток анодный при напряжении на сетке $U_g = 0$ (нулевой ток) I_a в а	0,5—0,7	1,0—1,3	1,0	4,0
Крутизна характеристики S в ма/в.	7	10	15	25
Коэффициент усиления β	42	45	50	45
Частота наибольшая при nominalном анодном напряжении f в мгц	20	1,5	6	6
Междудиэлектродные емкости в см ²	анод—сетка сетка—катод анод—катод	18 14 4,5	27 — —	23 25 1,5
Габариты в мм	высота H ширина B	570 230	660 230	660 255
Средний срок службы в час.	1250	1500	2000	3000



Фиг. 10. Габаритные размеры газотронов.

Характеристика газотронов высокочастотных установок (фиг. 10) [79]

Параметры	Тип газотрона		
	ВГ-129	ВГ-237	ВГ-163
Максимальный (амплитудный) анодный ток $I_{a.m}$ в а	1,50	10	50
То же средний $I_{a.csp}$ в а.	0,5	3,5	1,6
Допустимый кратковременный импульс в °С анодного тока (максимальный) $I_{удар}$.	5	30	150
Падение напряжения (при t воздуха, равной 20°) — ΔU_a в в	14	16	18
Напряжение накала U_f в в	2,5	5,0	5,0
Ток накала I_f в а.	9	22	32
Обратное напряжение $U_{обр}$ при $t=15\div20^\circ$ в в	5000	10 000	15 000
То же при $t=35^\circ$ в в	1500	7 000	10 000
Продолжительность разогрева после хранения и транспортировки в мин.	45	90	120
То же после перерыва в работе в мин..	3	5	30
Средний срок службы в час.	1500	2000	3000
Габариты в мм { высота дiameter.	163 (-19) 64 (-2)	425 (-30) 165 (-10)	577 (-60) 225 (-10)
Вес (максимальный) в кг	0,1	0,85	2,0

Более удобной и совершенной является схема управления с применением выпрямителей-тигираторов (тигирон ТГ20/1500 с ртутным наполнением).

ПРИБОРЫ ТЕПЛОВОГО КОНТРОЛЯ

Характеристика термометров сопротивления

Параметр	Платиновые термометры * одинарные для низких давлений одинарный ЭТ-III двойной — ЭТ-IX	Медные термометры		
		Для высоких давлений ЭТ-X	Для низких давлений ЭТ-XIV	Для высоких давлений с кабельным выводом ЭТ-XI
Температура применения в °С	—120 ± +50	—50 ± +100	—50 ± +100	—50 ± +100
Длина в мк	500, 750, 1000, 1250, 1500, 2000 3	350, 400, 500, 600, 950, 1500 30	500, 750, 1000, 1250, 1500, 2000 3	— 30
Максимально допускаемое при измерении температуры давление в кг/см ²				
Электрическое сопротивление термометра, измеряемое на зажимах, в ом при 0°	46 ± 0,05	53 ± 0,1	53 ± 0,1	53 ± 0,1
при 100°	69,99 ± 0,2	—	—	—
Глубина погружения в мк	>150	>150	>150	<100
Материал обмотки чувствительного элемента	Платиновая проволока „Экстра”		Медная проволока ПЭС или ПЕШО	
Диаметр обмотки в мк	0,07 ± 0,005		0,10	
Материал каркаса .	Слюда мусковит розовой (ОСТ 4-64) 0,3×10,5×120		Медная трубка Ø 6,0; l=75,0 мк	
Размер каркаса в мк			Ø 6,0	
Материал выводов .	Серебряная проволока 1,5 ± 0,05		Медная проволока 1,5	
Диаметр выводов в мк	Сталь марки 20 или 1Х18Н9Т	Сталь марки 20 или 1Х18Н9Т	Латунь Л-62	
Материал защитной арматуры				

* Платиновые термометры с индексом „а” (например, ЭТ IIIa) предназначаются для измерения температур в пределах от —120 до +30°. Защитный чехол с чувствительным элементом и выводами у этих термометров залив параконом, что исключает попадание влаги в обмотку чувствительного элемента. Аналогичные термометры типа ЭТ-VIII (двойной) ЭТ-I (одинарный) с глубиной погружения 150, 200, 300, 400, 750 и 1300 м.м.

Для измерения температуры воды и помещений изготавливается медный термометр сопротивления ЭТ-XII с пределами измерения температуры от —50 до +100° С; электрическое сопротивление 53 ± 0,1 ом.

Характеристики

Тип *	Материал термопар	Э. д. с. в паре в мв при $t=100^\circ$, $t_0=0^\circ$	Верхний предел измеряемых температур в $^\circ\text{C}$		Ком
			при длительном применении	при кратко-временном применении	
ТП **	Платинородий — платина: 90% Pt + 10% Rh — 100% Pt α электр. = 0,5 мм (ГОСТ 3044-45 табл. 1)	0,64±0,03	1100	1300	ПК1П—ПК6П
ТБ 9—29***	Платинородий — платинозолотопалладий: 90% Pt + 10% Rh — 10% Pt + 60% Au + 30% Pd	2,97 (5,71 при 1200° С)	1300	1600	ПК1Б—ПК6Б
TX	Хромель — алюмель: 90% Ni + 10% Cr — 95% Ni + 5% (Al, Si, Mg) α электр. = 3,2 мм (ГОСТ 3044-45, табл. 2)	4,10±0,15 4,10±0,3	900 (600)	1250	ПК1М—ПК6М
TXK	Хромель — копель: 90% Ni + 10% Cr — 56% Cu + 44% Ni	6,90±0,3	600 (500)	800	ПК1ХК—ПК6ХК
TЖК	Железо — копель ПТ-II — для измерения температуры поверхности; α электр.=3 мм	5,75±0,25	600	800	ПК1ЖК—ПК6ЖК
TMK	Медь — копель	4,75±0,15	350	500	ПК1МК—ПК7МК
TЖK**	Железо — константан: 100% Fe—60% Cu+40% Ni	5,02—5,05	600	800	ПК1Ж—ПК6Ж
TM	Медь — константан: 119° 180°	5,4 5,4	-200+50 -200+50	--	ПК1М—ПК7М

* Термопары с индексом II (например, TX-II) — коленчатые.

** Термопары лабораторные ТП-IV и ТП-V с пределами измеряемой температуры до 1300°.

*** Термопары нестандартные.

ка термопар

пенсационные провода		Длина термопар в мм			
Материал проводников и условная их окраска		длина жезла	глубина погружения (макс.)	длина жезла	глубина погружения (макс.)
электроотрицательного	электроположительного				
Мель (красный)	Сплав ТП (99,4% Cu+0,6% Ni) (зеленый)	ТП-II 500 750 1000 1250 1500 2000	300 300 500 500 750 750	1000 1250 1500 1000 1500 500	ТП-III 850 1100 1350 TII-IV 300 TPI-V 300
То же	Сплав ТБ (84% Cu+16% Ni) (синий)	—	—	—	—
Хромель (фиолетовый)	Константан (коричневый) Алюмель (черный)	TX-XIII и TXK-XIII 500 750 1000 1250 1500 2000 2500 3000	200 200 400 400 650 950 1250 1600	TX-VIII и TXK-VIII 350 400 500 600 900 1500 1500	150 200 300 400 750 1300
То же	(Копель желтый)	TXK-XV (малониерционная) 300 350 400 500	100 150 200 300	TXK-XVIII (для измерения температуры поверхности труб) ~300 <135	100 100
Железо (белый)	То же	Со штуцером ТЖК-VIII то же, что TX-VIII Без штуцера ТЖК-VIII			
Медь (красный)	То же	То же			
Железо (белый)	Константан (коричневый)	—			
Медь (красный)	То же	Диаметр трубки 30—33 мм; диаметр электрода 0,5 мм; допускаемое давление—250 ат. Диаметр трубки 30—45 мм; диаметр электрода — 0,5 мм; длина термопары 255 мм			

Примечание. Чехлы термопар: ТБ и ТП-II — фарфоровые; ТП-III — фарфоровые с охлаждением водой; TX и TXK — из стали 1Х18Н9Т, Х28 или 20; TЖK, TMK и др. — из стали 20.

Характеристика термометров

Тип	Шкала в °C		Характеристика шкалы	Краткое описание	Длина в мм		Назначение
		до			рабочей части	верхней части	
I. Ртутные стеклянные	0	+50	0,5 или 1,0				
1. Технические с ложечной шкалой	0	+100	0,5 1,0				
	0	+150	1,0				
	0	+200	1,0 или 2,0	Капилляр заполнен инертным газом—азотом. Термометры прямые и изогнутые под углом 90, 120 и 135°	85, 130, 180, 230, 280, 330, 430, 530, 750, 1000	Прямых 220±10; изогнутых 250±15	Измерение температуры в закалочных баках, печах-ваннах масляных для низкого отпуска и соляных для изотермической закалки
	0	+250	2,0				
	0	+300	2,0				
	0	+350	2,0				
	0	+400	2,0 или 5,0				
	0	+450	5,0				
	0	+500	5,0 или 10,0				
2. Контактные	0	+50	1,0				
	0	+100	1,0				
	0	+150	1,0				
	0	+200	2,0	Прямые и изогнутые под углом 90°, содин контактом на 20, 35 или 45°. То же на 150 или 75°. То же с двумя контактами на 80, 60 и 60° или на 65 и 80° или на 135 и 155°	85, 130, 230, 330 и 530	Прямых 135±5; изогнутых 160±5	Автоматическое регулирование температуры в закалочных баках, при этом для всех контактных термопар допускается применение переменного тока: 1 а при 6 с, или 0,5 а при 12 с и 0,15 а при 24 с (постоянный ток)
II. Манометрические							
1. Жидкостные с рабочей жидкостью:							
а) метиловым спиртом CH_3OH	-46	+150	Равномерная шкала				
б) кеноломом $\text{C}_6\text{H}_5(\text{CH}_3)_2$	-40	+400	Равномерная шкала до 120°, далее—неравномерная	Термометры состоят из термобаллона, капилляра, трубчатой пружины, указывающей шкалы и самопищущего механизма. В некоторых термопарах в капилляре установлена проволока из специального сплава для компенсации изменения внешней температуры в пределах от -20 до +50°	Длина капилляра в м 20,0 22,0		Измерение и автоматическое регулирование температуры в закалочных баках и печах-ванных—масляных и соляных
в) ртутью Hg	-30	+500	Равномерная		10,0—20,0		

Тип	Шкала в °С		Характеристика шкалы	Краткое описание	Длина в м.м		На
		до			рабочей части	верхней части	
2. Паровые с рабочей испаряющейся жидкостью:							
Хлор-метилом — ТПС-120	+40	+120	Неравномерная, цена деления (ЦД) 10,5 и 2° ЦД = 5° (40—60°) 2° (60—120°)	Термобаллон заполняется на $\frac{2}{3}$ объема изоконипящей жидкостью: хлорметилем, хлорэтилем, эфир-этилом, ацетоном или бензолом			
Ацетоном ТПС-200	+50	+200	ЦД 10° (50—100°), 5° (100—150°), 2° (150—200°)	Капилляр и пружина заполняются глицерином в смеси с водой или спиртом Максимально допустимая рабочая температура механизма и капилляра +50° Наибольшее расстояние от места измерения температуры до прибора 29 м и 14 м (для ТПС-120)	Корпуса \varnothing 265 $h = 118$ термобаллона $l = 250$ $t_{раб} = 100$ длины капилляра 29 м, 15 м (для ТПС-120) Глубина погружения 130—250 м.м		Измерение температуры газов, воздуха и жидкостей в установках при давлении до 600 ат
То же ТПП-200	+50	+200	То же				
3. Газовые							
Тип ТГ азотный	0	+100		Термометры показывающие и самопишущие на одну или две кривые. Привод от двигателя Уоррена. Термобаллон имеет диаметр 22 м.м., длину 185—408 м.м.	30—40		
ТГ-270	0	+150		Показывающий			
ТГ-278	0	+200		Показывающий в сигнальным устройством			
ТГ-410*	0	+300		Самопишущий с приводом диаграммы от часового механизма			
ТГ-610*				Самопишущий с приводом диаграммы от синхронного двигателя			
ТГ-618				Самопишущий сигнальным устройством			

* Регуляторы температуры О4ТГ-410 и О4ТГ-610 предназначаются кроме того для записи во времени и поддержания постоянства температуры.

Характеристика оптических и радиационных пирометров

Тип	Условное обозначение	Шкала в °C	Техническая характеристика
Оптический с исчезающей нитью (частичного излучения)	ОППИР-45	1) +800 до +1400 2) +1200 до +2000	Пределы погрешности измерения в % от номинального ±1,5% То же дополнительного ±1,5% Максим. выдвижение тубуса объектива 28 мм То же окуляра 29 мм Расстояние от измеряемого источника тепла 0,5—5,0 м
Радиационные (полного излучения) переносный стационарный	РП РПС	+900 до 1800	Погрешность показаний от наибольшего значения шкалы ±2% Габаритные размеры телескопа 136×77×75 мм Вес прибора (РП) — 6 кг Измерители, приборы: ГНКП или МП-08 для прибора РП ПГУ или МПБ-46; СГ или ЭРМ-47 или любой из автоматических для прибора РПС

Пирометры оптический и фотоэлектрический [184]

Тип пирометра	Условное обозначение	Пределы измерения в °C	Примечания
Оптический со встроенным показывающим прибором	—	до 1500 и до 2000	Габариты 395×315×155 мм (ТУ 100—1951)
Фотоэлектрический указывающий*	ФЭП-3	800—1300 1200—1700	Предназначен для измерения температуры при поверхностной закалке

* Регистрацию показаний фотоэлектрического пирометра ФЭП-3 производят быстро действующий потенциометр БП-102 на ленточной диаграмме с шириной градуированной части 280 мм. Время перемещения пера на всю длину шкалы — 3 сек. Габариты потенциометра 442×409×316 мм (ТУ 10056—1951).

Техническая характеристика милливольтметров ПГУ, ГНЗС, ГНКП, ГПКП и МПБ-46
(ГОСТ 2261-43)

Краткое описание прибора	Первичный прибор	Пределы шкалы в °C	Цена деления в °C	Внешнее сопротивление в ом
Миливольтметр ПГУ высокомоментный щитовой, показывающий, профильного типа прибор магнитоэлектрической системы с вертикальной осью Вес прибора — 6 кг Пределы рабочей температуры +10°—+50° С, класс точности 1,5	Термопары ТХК ТЖК ТХ	0—400 0—600 0—400 0—600 0—800 0—1100 0—1300	5 10 5 10 10 20 20	15 15; 25 5; 15 5; 15; 25 5; 15 5; 15; 25 3,6
Миливольтметр ГНЗС Показывающий стационарный щитовой прибор магнитоэлектрической системы с горизонтальной нитью	ТЛ и ГБ ПП Радиационный пирометр Калориметр	0—1300 0—1600 900—1800 0—3000 ккал/м³ 0—5000	20 20 20 — —	15 15 5 5

Продолжение

Потенциометры и мосты электронные

Наименование и тип	Характеристика
Потенциометр электронный ЭП-120 и ЭМ-120*	Для измерения, показания и регистрации температуры. Нерегулирующий, без сигнальных контактов, однозаписный, с временем перемещения пера на всю шкалу 20 сек.
ЭП-107 и ЭМ-107	То же, с временем перемещения пера 7 сек.
ЭП-120-1С и ЭМ-120-1С	То же, что и ЭП-120 (или ЭМ-120) с одним сигнальным комплектом, положение которого не указывается на шкале прибора
ЭПД-120 и ЭМД-120	То же, с двухпозиционным электрическим регулятором
ЭПТ-120 и ЭМТ-120	То же с трехпозиционным электрическим регулятором
ЭПА-120	То же, с автоматическим электрическим регулятором
ЭПП-120 и ЭМП-120	То же, с реостатным датчиком для пропорционального и изодромного регулирования

Техническая характеристика гальванометров, логометров, потенциометров [184]

Тип	Наименование	Класс точности	Длина шкалы в мм и количество точек измерения*	Применение	Габариты в мм
1. Гальванометры пирометрические					
МП-08	Милливольтметр переносный, показывающий: МП-18 в трехзажимном корпусе МП-28 в пятизажимном корпусе МП-38 в двухзажимном корпусе	1,0	140 (по дуге) } 115 (по дуге)	В комплекте с термопарами В комплекте с пирометром РП	210×202×83
МС-08	Милливольтметр Стационарный, показывающий	1,0	115 (по дуге)	В комплекте с термопарами	184×164×87
МПБ-46	См. табл. на стр. 270				
СГ	Милливольтметр Стационарный с профильной шкалой, самопищащий	1,5	135 (по дуге) Запись измерений в 1, 3 и 6 точках*	В комплекте с термопарами, пирометром РП, электрическим газоанализатором и калориметром	220×562×280 337×575×272
ЭРМ-47	Электронный регулятор с показывающим милливольтметром (двухпозиционный) То же (трехпозиционный)	1,5	Профильная—180	В комплекте с термопарами или пирометром РП для измерения и одновременного регулирования температуры или сигнализации отступлений ее от заданного значения	357×326×296
ПУД	Пирометрическая установка Стационарная (аналогичная установка ТУ406-401-47)	—	—	Для измерения температуры в пределах от 0 до +600° в 10, 12 или 13 точках (с комплектом хромель-копелевых термопар).	(385×175×300)
2. Логометры					
ЛПБ-46	Логометр с профильной шкалой, показывающий	1,5	170 (по дуге)	В комплекте с термометрами сопротивления	295×125×208

3. Автоматические потенциометры и уравновешенные мосты

СП	Потенциометр автоматический, самопищащий или показывающий	—	280 1, 3 и 6 точек**	В комплекте с термопарами и телескопом пирометра РП	504×396×269
АУМ	Уравновешенный мост автоматический или показывающий	—	То же	В комплекте с термометрами сопротивления	504×396×269
СПР	Потенциометр автоматический, самопищащий или показывающий с электрическим регулирующим устройством	—	280 1 и 3 точки Регулирование с переключением на одну точку**	В комплекте с термопарами или телескопом пирометра РП для измерения, записи и позиционного регулирования температуры	504×396×269
АУМР	Уравновешенный мост автоматический, самопищащий или показывающий с электрическим регулирующим устройством	—	То же	То же в комплекте с термопарами сопротивления	504×396×269
СПРП	Потенциометр автоматический, самопищащий или показывающий, с пневматическим регулирующим устройством	—	280; Запись измерений и регулирование одной точки**	В комплекте с термопарами или телескопом пирометра РП для измерения, записи и изодромного регулирования температуры	504×396×269
АУМРП	То же уравновешенный	—	То же	То же в комплекте с термометрами сопротивления	504×396×269
ЭПД-07	Электронный потенциометр автоматический, самопищащий	—	1*	В комплекте с термопарой для измерения температуры в одной точке с записью в полярных координатах	506×420×363
ЭМД-207	То же уравновешенный мост	—	1	То же в комплекте с термометрами сопротивления	506×420×363
ЭПД-17	Электронный потенциометр автоматический, самопищащий с электрическим позиционным регулятором	—	1*	В комплекте с термопарой для измерения и позиционного регулирования температуры в одной точке с записью в полярных координатах	506×420×363
ЭДМ-217	То же уравновешенный мост	—	1	То же в комплекте с термометром сопротивления	506×420×363
ЭПД-27	Электронный потенциометр автоматический	—	1*	В комплекте с термопарой для измерения и пропорционального регулирования температуры с записью в полярных координатах	506×420×363
ЭДМ-227	То же уравновешенный мост	—	1	То же в комплекте с термометром сопротивления	506×420×363
ЭПД-37	Электронный потенциометр самопищащий	—	—	В комплекте с термопарой для измерения и изодромного регулирования температуры в одной точке с записью в полярных координатах	506×420×363

* Привод диаграммной бумаги от двигателя Уоррена.

** Привод диаграммной бумаги от двигателя переменного тока 50 гц, 220 в.

Тип	Наименование	Класс точности	Длина шкалы в мм и количество точек измерения *	Применение	Габариты в мм
ЭДМ-237	То же уравновешенный мост	—	—	То же в комплекте с термометром сопротивления	506×420×363
ЭПУ-18	Электронный потенциометр автоматический, показывающий одношкальный	0,5	—	В комплекте с термопарой для измерения температуры в одной точке	506×420×363
ЭПУ-28	То же, двухшкольный	0,5	—	В комплекте с двумя термопарами для измерения температуры в двух точках	506×420×363
ПУ	Пневматическое устройство для потенциометров	—	—	Предназначено для работы в качестве регулирующего устройства в комплекте с автоматическим потенциометром	—

4. Исполнительные механизмы к потенциометрам

ДР	Исполнительный механизм двухпозиционного регулирования с поступательным и вращательным движением	—	—	Применяются в комплекте с автоматическими потенциометрами и уравновешенными мостами. Двигатель 220 в, 60 ам, 50 зц
ДР-1	То же с вращательным движением	—	—	Время срабатывания регулируется по следующим настройкам: 10, 15, 22, 30, 45, 60, 75, 90, 105 и 120 сек.
ПР	Исполнительный механизм со следящей реостатной системой (с жесткой обратной связью) с поступательным и вращательным движением	—	—	Усилие 50 кг при настройке на 30 сек. и плече кривошипа в 32 мм
ПР-1	То же с вращательным движением	—	—	

* Привод диаграммной бумаги от двигателя Уоррена.

Электрические газоанализаторы [184]

Для анализа продуктов горения, а также для анализа контролируемой атмосферы типа ГГ, ГГ-ВО и ПС-0,6 применяются электрические газоанализаторы типа ГЭУК-21 и ГЭД-49, работающие по принципу изменения теплопроводности в зависимости от состава газовых смесей. Газоанализатор ГЭУК-21 применяется для непрерывного определения содержания в газовой смеси двуокиси углерода CO_2 , имеет шкалу от 0 до 20%. В комплект прибора входят: а) приемник CO_2 ; б) показывающий милливольтметр типа МПБ; в) керамический фильтр с запасным керамическим стаканом; г) газозаборная трубка; д) крестовина с краном; е) конденсационный сосуд; ж) холодильник; з) контроль-

ный фильтр и и) эжектор с манометром.

Указанный газоанализатор может также применяться для определения водорода в защитной атмосфере типа ДА-08; в этом случае требуется новая градировка шкалы милливольтметра и перемена контактов датчика.

Газоанализатор типа ГЭД-49 применяется для непрерывного определения содержания двуокиси углерода — CO_2 и суммы окиси углерода и водорода — $\text{CO} + \text{H}_2$ в продуктах горения или в защитной атмосфере типа ПСО-1,0.

Шкала прибора 0—20% CO_2 и 0—2% ($\text{CO} + \text{H}_2$).

В комплект прибора дополнительно в сравнении с газоанализатором ГЭУК-21 входит: приемник $\text{CO} + \text{H}_2$ с печью дожигания водорода; показывающий милливольтметр типа МГБ и запасные плечевые элементы для приемника $\text{CO} + \text{H}_2$ (4 шт.).

ПРИЛОЖЕНИЕ

ПЕРЕЧЕНЬ ОСНОВНЫХ ДЕЙСТВУЮЩИХ ГОСУДАРСТВЕННЫХ ОБЩЕСОЮЗНЫХ СТАНДАРТОВ НА СТАЛЬ

№ стандарта	Наименование стандарта
	Классификация и технические условия
ГОСТ 6200-50	Металлы и сплавы. Классификация по химическому составу. Терминология
ГОСТ 2334-50	Поковки из легированной стали общего назначения
ГОСТ 2335-50	Поковки из углеродистой стали общего назначения
ГОСТ 380-50	Сталь углеродистая горячекатанная обыкновенного качества
ГОСТ 498-11	Сталь углеродистая горячекатанная. Заготовки для поковок и штамповок
ГОСТ 497-41	Сталь углеродистая горячекатанная обыкновенного качества. Блюмы, сажи и заготовки для проката
ГОСТ 499-41	Сталь углеродистая горячекатанная для заклепок
ГОСТ 536-41	Сталь углеродистая горячекатанная для котельных связей и анкеров
ГОСТ 535-45	Сталь углеродистая горячекатанная обыкновенного качества сортовая
ГОСТ 5521-50	Сталь горячекатанная углеродистая для судостроения
ГОСТ 1496-42	Сталь полосовая горячекатанная рессорная
ОСТ НКТП 4034	Сталь прокатная листовая углеродистая котельная и топочная для котлов паровых и морских судов
ОСТ 12535-38	Сталь прокатная углеродистая для мостостроения
ГОСТ 500-41	Сталь тонколистовая и широколистовая (универсальная) углеродистая обыкновенного качества
ГОСТ 501-41	Сталь тонколистовая углеродистая горячекатанная обыкновенного качества толщиной от 0,88 до 3,75 мм
ГОСТ 5632-51	Сталь высоколегированная нержавеющая жаропрочная и сплавы с высоким омическим сопротивлением. Классификация и марки
ОСТ НКТП 3212	Сталь тонколистовая однокованныя
ГОСТ 369-41	Сталь листовая котельная и топочная для паровозов
ГОСТ 5520-50	Сталь листовая углеродистая для котлостроения
ГОСТ 503-41	Лента стальная низкоуглеродистая холодной прокатки
ГОСТ 934-41	Заготовки круглые для штампов горячей штамповки
ГОСТ 932-41	Заготовки прямоугольные для штампов горячей штамповки
ГОСТ 933-41	Сталь для штамповых заготовок прямоугольная (для штампов горячей штамповки)
ОСТ НКТП 4112	Сталь инструментальная быстрорежущая
ОСТ 14958-39	Сталь инструментальная легированная
ГОСТ В 1435-42	Сталь инструментальная углеродистая
ГОСТ В 1051-41	Сталь качественная конструкционная холоднотянутая (калиброванная)
ГОСТ В 1050-41	Сталь качественная конструкционная углеродистая горячекатанная сортовая
ГОСТ В 2052-43	Сталь качественная рессорно-пружинная горячекатанная сортовая
ГОСТ В 1414-42	Сталь конструкционная автоматная
ГОСТ 4543-48	Сталь конструкционная легированная сортовая
ГОСТ 2588-44	Сталь круглая повышенной отделки поверхности и повышенной точности размеров (серебрянка)
ОСТ НКТП 3543	Сталь магнитная сортовая
ГОСТ 5058-49	Сталь низколегированная
ГОСТ 5210-50	Сталь прокатная специальных профилей для напильников и рашпилей
ГОСТ 4555-48	Сталь рессорная горячекатанная для автостроения
ГОСТ 801-47	Сталь шарико- и роликоподшипниковая хромистая
ГОСТ 4041-18	Сталь горячекатанная тонколистовая качественная углеродистая конструкционная для автостроения
ГОСТ 2672-44	Сталь листовая для авиастроения
ОСТ 10222-38	Сталь листовая качественная нормальная марганцовистая для судостроения
ГОСТ 1577-42	Сталь листовая качественная толщиной свыше 4 мм
ГОСТ 802-41	Сталь листовая электротехническая
ГОСТ 5497-50	Сталь пильная тонколистовая для хлопкоочистительных машин

Продолжение

№ стандарта	Наименование стандарта
ГОСТ В 1542-12	Сталь тонколистовая качественная легированная конструкционная
ГОСТ 914-47	Сталь тонколистовая качественная углеродистая конструкционная
ГОСТ 5582-50	Сталь тонколистовая нержавеющая, кислотостойкая и огнестойкая
ГОСТ 2615-44	Лента высокого омического сопротивления из жаростойких сплавов
ГОСТ 3632-47	Лента стальная для втулок велосипедных и мотоциклетных цепей
ГОСТ 333-47	Лента стальная для роликов велосипедных и мотоциклетных цепей
ГОСТ 1540-42	Лента (подкат) стальная инструментальная горячекатаная
ГОСТ 1543-42	Лента стальная инструментальная холоднокатаная
ГОСТ 4986-49	Лента стальная нержавеющая для авиастроения
ГОСТ 2614-41	Лента стальная пружинная термически обработанная
ГОСТ 2293-43	Лента стальная холоднокатаная из инструментальной и пружинной стали
ГОСТ 2284-43	Лента стальная холоднокатаная из конструкционной стали
ГОСТ 2383-43	Проволока стальная тянутая и холоднотянутая
ГОСТ 1071-41	Проволока стальная пружинная термически обработанная ответственного назначения
ГОСТ 1070-41	Проволока стальная углеродистая холоднотянутая для клапанов пружин ответственного назначения
ГОСТ 2288-43	Проволока высокого омического сопротивления из жаростойких сплавов
ГОСТ 4727-49	Проволока круглая из хромистой стали для шариков и роликов подшипников качения
ГОСТ 808-49	Проволока плоская для витых роликов
ГОСТ В 1749-42	Проволока стальная легированная пружинная специального назначения
ГОСТ 5548-50	Проволока стальная нержавеющая и кислотостойкая
ГОСТ 3704-47	Проводка стальная хромоникелевая для пружин
ГОСТ 3287-46	Отливки из ковкого чугуна. Терминология и классификация отливок
ГОСТ 2612-44	Отливки стальные. То же
ГОСТ 4009-48	Отливки из ковкого чугуна
ГОСТ 1215-41	Отливки из модифицированного серого чугуна
ГОСТ 2611-44	Отливки из серого чугуна
ГОСТ 1412-43	Отливки фасонные из углеродистой стали
ГОСТ 977-41	Отливки из антифрикционного серого чугуна
ГОСТ 1585-42	Отливки фасонные из высокомарганцевистой стали
ГОСТ 2176-43	
	Методы испытаний
ГОСТ 1778-42	Металлографическое определение неметаллических включений в стали
ГОСТ 5640-51	Сталь тонколистовая качественная. Метод определения, микроструктура
ГОСТ 2625-44	Методика определения обрабатываемости металлов резанием
ГОСТ 3379-46	Методика определения режущих свойств быстрорежущей стали
ГОСТ 3665-47	Метод испытания на кручение
ГОСТ 3248-46	Метод испытания на ползучесть
ГОСТ 1763-42	Метод определения глубины обезуглероживания стальных полуфабрикатов и деталей микронализом
ГОСТ 5657-51	Сталь конструкционная. Испытание на прокаливаемость методом торцевой закалки
ГОСТ 5639-51	Сталь. Метод определения величины зерна
ГОСТ 2860-45	Метод определения предела выносливости (усталости)
ГОСТ 2999-45	Метод определения твердости алмазной пирамидкой
ГОСТ 1524-42	Метод определения уларной вязкости
10241-40	Испытание на твердость по Бринелю
10242-40	Испытание на твердость по Роквеллу
ГОСТ 1497-42	Методы испытания металлов на растяжение
1682	Проба технологическая. Обзор
1683	Проба на загиб в холодном и нагретом состоянии
1684	Проба на незакаливаемость загибом
1685	Проба на свариваемость, загибом
1686	Проба на осадку в холодном состоянии
1688	Проба на перегиб (в части, относящейся к проволоке и пружинам круглого сечения, заменен ГОСТ 1579-42)
1694	Проба на развертывание фасонного материала
1693	Проба на расплощивание
ГОСТ 2331-43	Стали и чугуны (нелегированные). Методы химического анализа
ГОСТ 2604-44	Сталь и чугун (легированные). Методы химического анализа
ГОСТ 2419	Методы ускоренного определения срока службы проволоки для электронагревательных элементов
ГОСТ 2055-43	Отливки из серого и ковкого чугуна. Методы механических испытаний
ГОСТ 2861-45	Отливки из серого чугуна. Методы испытания давлением в клиньях
ГОСТ 3443-46	Структура отливок из серого чугуна перлито-ферритного класса

ЛИТЕРАТУРА И ИСТОЧНИКИ *

1. Абрамсон Я. П., Горчаков А. В. и Калинин Т. А., Глубокое цианирование, М., Оргавтпром, 1948.
2. Автоматизация металлургических и нагревательных печей (Сборник статей), М., Оборонгиз, 1948.
3. Азот в стали, Сборник статей под ред. В. И. Просвирина, 1950.
4. Автомобильные конструкционные стали, Справочник, под ред. А. П. Гулевина и И. С. Козловского (ВНИИОМАШ), 1951.
5. Алякринский Ю. С. и Парменьев А. И., Оперативное планирование и диспетчирование в термических цехах, 1951.
6. Аранович М. С., Термическая обработка стали (Тех. информация Моск. орг. на Ленинград. ин-та им. В. М. Молотова), 1951.
7. Артемьев В. Ф. и Склюев П. В., Закалка токами высокой частоты, Москва — Свердловск, 1947.
8. Ассонов А. Д., Дисперсионный метод отжига отливок из белого чугуна с повышенным содержанием хрома, М., 1947.
9. Ассонов А. Д., Термическая обработка деталей автомобиля, М., 1951.
10. Ассонов А. Д., Термическая обработка чугунных отливок, М., Мин. автотракторной промышленности, 1949.
11. Борбанель Р. И., Электрические печи сопротивления с принудительной конвекцией (Моск. фабрика Ленина энергет. ин-та им. В. М. Молотова), 1951.
12. Батурина В. В. и Кучерук В. В., Вентиляция машиностроительных заводов, 1951.
13. Богачев И. Н. и Пермяков В. Г., Отпуск закаленной стали, 1950.
14. Булгаков П. В., Металлы и сплавы для гирюскопических приборов и счетно-решающих механизмов, Оборонгиз, 1951.
15. Богоодицкий Н. П., Пасынков Б. В. и Гареев Б. М., Электротехнические материалы, изд. 2-е, Госэнергоиздат, 1951.
16. Богданов С. Г., Металловедение и термическая обработка, 1950.
17. Богатырев Ю. М., Отпуск поверхностно-закаленной конструкционной стали.
18. Браун М. П., Малогированные цементируемые стали, 1948.
19. Болховитинов Н. Ф., Металловедение и термическая обработка. Учебник для машиностроительных вузов, М., 1947.
20. Быковский А. Д., Новые методы термической обработки отвалов и лемехов, М., 1948.
21. Бунин К. П., Железоуглеродистые сплавы, М., 1949.
22. Василенко А. А. и Григорьев И. С., Модифицированный чугун в машиностроении, Гостехиздат Украины, 1950.
23. Воскресенский К. Д., Сборник задач по теплотехнике, Госэнергоиздат, 1951.
24. Влияние термической обработки на структуру жаропрочных сталей. Сборник статей под ред. В. И. Просвирина (ЦНИИОМАШ), 1951.
25. Вуколович М. П., Термодинамические свойства воды и водного пара. Таблицы и диаграммы, 4-е изд., 1951.
26. Веништок А., Исследование влияния поверхностной закалки токами высокой частоты на усталостную прочность стали, М., НИИ Оргавиапром, 1947.
27. Водзинский Э. П., Обработка металлов холодом, М., Углетехиздат, 1948.
28. Водзинский Э. П., Термическая обработка металлов токами высокой частоты, М., Мин. угольной промышленности восточных районов СССР, 1948.
29. Вологодин В. П., Поверхностная индукционная закалка, М., Оборонгиз, 1947.
30. Вопросы теории и практики производства термической обработки. Под ред. К. С. Борисенко, Стально, Индустр. ин-т им. Н. С. Хрущева, 1948.
31. Гардин А. И., Нагрев токами высокой частоты. Ред.-изд. отдел Министерства транспортного машиностроения СССР, 1949.
32. Грозин Б. Д., Механические свойства закаленной стали, 1951.
33. Грошев М. В., Бесфакельное скижание природного газа, под ред. И. И. Черновильского, АН СССР. Институт теплоэнергетики, 1950.
34. Глазов А. П., Контроль состава газа в процессе газовой цементации, М., Оборонгиз, 1949.
35. Готлиб Л. И., Основы технологии пламенной поверхностной закалки, М., 1948.
36. Грязнов И. М., Изотермическая закалка стали, М., Издат. 1947.
37. Гуляев А. П., Металловедение, М., Оборонгиз, 1948.
38. Донской А. В., Высокочастотная закалка режущих кромок вырубных ножей, 1950.
39. Дубинин Г. Н., Газовый метод хромирования стали, Металлургиздат, 1950.
40. Засечные курсы по металловедению и термической обработке, ВНИИОМАШ, Комитет металловедения и термической обработки, М., Вып. 1. Сидорин И. И., Роль русской науки в развитии металловедения и термической обработки металлов, ч. 1, 1948. Вып. 2. То же, 1951. Вып. 3. Шрайбер Д. С., Современные методы исследования структуры металлов, 1948.
- Вып. 4. Ройтман И. М., Минромеханические методы испытания металлов, 1948. Вып. 5. Фридман Я. Б., Современные

* В список включена литература, изданная за время с 1/1 1947 г. по 1/1 1952 г. Литература и источники без указания издательства относятся к Машгизу.

- представления о механических свойствах металлов, 1949.
- Вып. 6. Фридман Я. Б., Ударная вязкость и другие ударные испытания, 1949.
- Вып. 7. Соренсен С. В., Усталость металлов, 1949.
- Вып. 8. Шрайбер Д. С., Современные методы дефектоскопии металлов, 1949.
- Вып. 9. Одинг И. А. и Матвеев С. И., Испытание металлов при высоких температурах, 1949.
- Вып. 10. Попова Н. М., Карбидный анализ, 1949.
- Вып. 11. Миркин И. Л., Атомное строение и свойства металлов, 1949.
- Вып. 12. Миркин И. Л. и Блантер М. Е., Фазы в металлических сплавах, 1949.
- Вып. 13. Миркин И. Л. и Блантер М. Е., Фазовые превращения, 1949.
- Вып. 14. Блантер М. Е. и Миркин И. Л., Структуры железных сплавов и процессы их образования, 1950.
- Вып. 15. Корнеев Н. И., Пластическая деформация металлов и термический режим обработки давлением сталей и сплавов, 1949.
- Вып. 16. Блантер М. Е., Превращения при нагревании стали, 1949.
- Вып. 17. Садовский В. Д., Превращения густинент, 1949.
- Вып. 18. Бокштейн С. З., Превращения при отпуске, 1949.
- Вып. 19. Гуляев А. П., Структура и свойства стали, 1949.
- Вып. 20. Кидин И. Н., Закалка стали при нагреве токами высокой частоты, 1950.
- Вып. 21. Лившиц Г. Л., Отжиг и нормализация стали, 1949.
- Вып. 22. Болховитинов Н. Ф., Прокаливаемость стали, 1949.
- Вып. 23. Мочалкин Р. И., Деформация стали при термической обработке, 1949.
- Вып. 24. Блантер М. Е., Физические основы химико-термической обработки, 1949.
- Вып. 25. Ильинский С. К., Цементация стали, 1949.
- Вып. 26. Терехов К. И. и Минкевич А. Н., Цианирование стали, 1951.
- Вып. 27. Лахтин Ю. М., Азотирование стали, 1949.
- Вып. 28. Лахтин Ю. М., Диффузионная металлизация, 1949.
- Вып. 29. Бокштейн С. З. и Кишкун С. Т., Основы легирования конструкционной стали, 1950.
- Вып. 30. Геллер Ю. А., Инструментальные стали, 1949.
- Вып. 31. Химушин Ф. Ф., Жароупорные стали и сплавы, 1949.
- Вып. 32. Шаров М. В., Алюминиевые и магниевые сплавы для фасонного литья, 1951.
- Вып. 33. Шаров М. В., Легкие сплавы и их сравнительная характеристика, 1950.
- Вып. 34. Воронов С. М., Деформируемые алюминиевые сплавы, 1951.
- Вып. 35. Воронов С. М. и Рабинович М. Е., Магниевые деформируемые сплавы, жаропрочные легкие сплавы, 1951.
- Вып. 36. Кунявский М. Н., Термическая обработка чугуна, 1950.
- Вып. 37—38. Печковский А. М., Механизация и автоматизация термических печей, 1951.
- Вып. 39. Печковский А. М., Контролируемые атмосферы, методы получения и установки для их изготовления, 1951,
- Вып. 40. Печковский А. М., Приборы для контроля температуры в термических печах, 1950.
- Вып. 43. Солодикин А. Г., Методика экономического обоснования технологии термической обработки, 1950.
41. Заяцлов А. С., Фазовые превращения в железоуглеродистых сплавах, Судпромгиз, 1948.
42. Замятин М. М., Кинетика процессов химико-термической обработки стали, Металлургиздат, 1951.
43. Захаров Г. А., Два года рентабельной работы (термический цех Саратовского подшипникового завода), Саратов, Облиздат, 1948.
44. Иванцов Г. П., Теория и методы расчета нагрева металла, Москва — Свердловск, Металлургиздат.
45. Ильин Г. П., Нагрев металла, М., Металлургиздат, 1943.
46. Индукционный нагрев металлов, Под ред. проф. С. Я. Турлыгина, М., 1949.
47. Индукционный нагрев и электротермообработка, Под ред. проф. С. Я. Турлыгина, 1950.
48. Исследования прочности стали. Сборник статей под ред. И. В. Кудрявцева (ЦНИИМаш), 1951.
49. Иванов В. А., Станки для высокочастотной закалки, 1951.
50. Ищенко К. П., Пайка инструмента в печах с газовой восстановительной средой. Под ред. И. И. Семенченко, 1951.
51. Каплинский И. Л., Вентиляция термических цехов, М., Стройиздат, 1949.
52. Кащенко Г. А., Основы металловедения, М., Металлургиздат, 1949.
53. Косяк В. А. и Ларин Т. В., Термическая обработка серого чугуна, М., Трансжелдориздат, 1948.
54. Колпаков В. Ф., Безаккуситтельный нагрев стали, М., 1947.
55. Костецкий Б. И. и Куруклис Г. Л., Глубокая вакуумная режущих инструментов, Свердловск, 1947.
56. Косов К. В., Основы металловедения и термическая обработка, Киев, 1949.
57. Краткий справочник машиностроителя. Под ред. А. С. Близнянского, 1950.
58. Конторович И. Е., Термическая обработка стали, Металлургиздат, 1950.
59. Кидин И. Н., Термическая обработка стали при индукционном нагреве, Металлургиздат, 1950.
60. Каталог-справочник лабораторных приборов и оборудования. Вып. 37. Материалы, применяемые в приборостроении (сост. К. И. Шелапутин, С. Х. Клипинис, П. Л. Загорянский), 1950.
61. Каталоги на оборудование.
- а) Новые машины и приборы. Каталог, ЦНИИМаш, 1950.
 - б) Твердомер типа ТК для испытания твердости металлов. Моск. завод „Манометр“.
 - в) Качественные стали. Каталог, Внешторгиздат, 1951.
 - г) Бак зажалочный конвейерный. Серия 36. Каталог „Международная книга“ (Центр. бюро техн. информации Мин. электропромышленности СССР), 1951.
 - д) Шахтные электропечи для газовой цементации. Серия Ц. Каталог „Международная книга“ (Центр. бюро техн. информации Мин. электропромышленности СССР), 1950 г.
 - е) Электропечи конвейерные для закалки. Серия К. Каталог „Международная книга“ (Центр. бюро техн. информации Мин. электропромышленности СССР), 1951.

- ж) Пресс типа ПБМ для испытания твердости металлов по методу Бриеля. Описание и руководство к пользованию. Завод "Манометр", 1951.
62. Кудрявцев И. В., Саверин М. М. и Рябченков А. В., Методы поверхностного упрочнения деталей машин, М., 1949.
63. Куроедов В. А., Об основах расчета теплообменных аппаратов (ЦНИИТМАШ), 1951.
64. Куроедов В. А., Пламенные мuffleные печи для нагрева металла, М., 1947.
65. Крянин И. Р. и Сушки Г. В., Сравнительные свойства сталей для фасонного литья, вылавливаемых основным и кислым процессами (ЦНИИТМАШ), 1951.
66. Корнилов И. И., Твердые растворы железа, изд. АН СССР, 1951.
67. Кузмин М. А., Безинерционные печи, 1950.
68. Куркулис Г. Л., Обработка инструмента холодом, Свердловск 1948.
69. Куркулис Г. Л., Закалка в электродите инструментальных сталей, Свердловск 1952.
70. Лагунцов И. Н. и Башкиров Б. Я., Термическая обработка подшипниковых колец. Памятка мастера, М., Мин. автотракторной промышленности, 1947.
71. Лапшин В. А., Закалка деталей токами высокой частоты, Горький, Облиздат, 1949.
72. Ларин Н. И., Аллитирование, М., Гизмстрпром, 1947.
73. Лахтин Ю. М., Физические основы процесса азотирования, М., 1948.
74. Лебедев М. Г., Нагрев кузнецких заготовок токами высокой частоты. Под ред. А. Д. Ассонова, М., Мин. автотракторной промышленности, 1948.
75. Липчич Н. И. и Козлова Ю. В., Определение качества термообработки стальных деталей квазиметром системы Михеева (ВНИИОМШ, Уральский Дом техники), 1950.
76. Линчевский В. П., Нагревательные печи, изд. 2-е пер., М., Металлургиздат, 1948.
77. Линчевский В. П., Топливо и его сжигание, М., Металлургиздат, 1947.
78. Ляшко Н. Ф. и Сергеев Г. А., Упрочнение дурализированной двойным старением, М., ВВИА им. Жуковского, 1948.
79. Лозинский М. Г., Поверхностная закалка и индукционный нагрев стали, М., 1949.
80. Ляшко Н. Ф., Упрочнение и разрушение металлов и некоторые предельные механические состояния металлов, Оборонгиз, 1951.
81. Лебедев Т. А., Некоторые поправки общей теории сплавов, Лениздат, 1951.
82. Левин Е. Е., Микроскопическое исследование металлов. Практическое руководство, 1951.
83. Ларичев В. А., Качественные стали для современных котельных установок, Госэнергоиздат, 1951.
84. Материалы в химическом машиностроении. Под ред. Д. О. Славина (НИИХИММАШ), 1950.
85. Материалы в химическом машиностроении. Под ред. В. В. Никифорова (ЦНИИДИ), 1950.
86. Металловедение и термическая обработка, библиографический указатель под ред. И. С. Козловского, БНИИОМШ, 1952 г.
87. Михеев М. А., Основы тепlopерехода, М., Госэнергоиздат, 1949.
88. Металловедение и термообработка (Уралитомаш — Центр, лаборатория Уральмашвода), Свердловск, 1947.
89. Мороз Л. С., Упрочнение безуглеродистых сплавов железа при фазовом превращении, Металлургиздат, 1951.
90. Мороз Л. С. и Шураков С. С., Проблема прочности цементированной стали. Под ред. Г. Н. Давиденкова, Л., ЦНИИ Минтрансмаш, 1947.
91. Морозова Е. М. и Сливак Э. Д., Термическая обработка в станкостроении, М., 1949.
92. Морозов С. М. и Никитинова А. А., Дефекты структур котельных сталей, Речиздат, 1951.
93. Металловедение и термическая обработка Вып. 2, 1949.
94. Минкиевич А. Н., Химико-термическая обработка стали, 1950.
95. Нагрев стали и печи, Сборник статей под ред. В. Ф. Колытона, М., 1949.
96. Новое в металловедении и литейном производстве, под ред. Г. Н. Глебова, 1951.
97. Новое в металловедении, М. (ВНИИОМШ), 1948.
98. Омельянов А. Е. и Рабинович И. П., Справочник по материалам деталей сельскохозяйственных машин, 1949.
99. Окромешко Н. В., Литье, ковка, термическая обработка (деталей авиадвигателей), М., Оборонгиз, 1947.
100. Осборн Г. и др., Индукционный нагрев. Сборник статей, пер. с англ. О. М. Рубанова, под ред. М. Г. Лозинского, М., 1948.
101. Памятки Дмитрия Константиновича Чернова. Сборник под ред. Н. Т. Гудцова, Металлургиздат, 1950.
102. Поверхностное упрочнение стали методами химико-термической обработки, ЭНИМС, М., 1949.
103. Погодин-Алексеев Г. И., Гельпер Ю. А. и Раухштадт А. Г., Металловедение. Методы анализа, лабораторные работы и задачи. Оборонгиз, 1950.
104. Погодин-Алексеев Г. И., Методическое пособие по лаборатории металловедения (Всесоюзный заочный политехн. ин-т), 1950.
105. Подгорский Л. В., Защитные атмосферы при термообработке инструментальных сталей. Древесный газ, М., ВНИИ МСС, 1949.
106. Подгорский Л. В. и Бадаева А. А., Цинкирование инструмента из углеродистой стали, М., ВНИИ МСС, 1949.
107. Потак Я. М. и Васильев Л. В., Руководство по термической обработке сталей для самолетостроения, изд. 2-е доп., испр., М., Оборонгиз, 1947.
108. Потак Я. М. и Шор Э. Р., Термическая обработка сталей для самолетостроения. Под ред. Н. М. Склирова, М., Оборонгиз, 1948.
109. Проблемы конструкционной стали. Сборник докладов научно-технической сессии по металловедению и термической обработке, посвященной проблемам конструкционной стали. Под ред. В. С. Меськина, Л., 1949.
110. Проблемы металловедения и физики металлов, М., Металлургиздат, 1949.
111. Просвирин В. И., Влияние внешнего давления на фазовые превращения в стали и чугуне, М., (ЦНИИТМАШ), 1948.
112. Просвирин В. И., Термическая обработка жаропрочных сталей, 1951.
113. Пузавский Г. Ф., Влияние кислорода на процесс цементации железа, М., ВВИА им. Жуковского, 1947.
114. Пожарная опасность при термической обработке металлов в седитовых и масляных ваннах. Сост. УПО МВД г. Москвы, 1950.
115. Применение токов высокой частоты в стакостроительной промышленности. Труды конференции, 1960 г. под ред. Г. И. Бабая. Центр. бюро техн. информации, 1951.
116. Памятка по технике безопасности для рабочих термических цехов, 1950.

117. Рабинович И. П., Термическая обработка деталей сельскохозяйственных машин, М., ВИСХОМ, 1948.
118. Райхер С. А., Техника безопасности в термических цехах, 1950.
119. Раузин Я. Р., Термическая обработка хромистой стали, 1950.
120. Регнер З. Л., Жидкостная цементация стали, М., 1949.
121. Рогельберг И. Л. и Шпигенецкий Е. С., Диаграммы рекристаллизации металлов и сплавов. Справочник, Металлургиздат, 1950.
122. Рыбин Ю. В., Металлы и сплавы, применение в химической промышленности. Конспект лекций по материаловедению, Госхимиздат, 1950.
123. Русские учебные-металловеды. Общая редакция и вступ. очерк Д. М. Нахимова и А. Г. Раухтальта, 1951.
124. Садовский В. Д., Атлас диаграмм кинетики превращения переохлажденного аустенита в легированных сталях. Москва — Свердловск, Металлургиздат 1947.
125. Сборник по обмену опытом заводов строительного и дорожного машиностроения (ВНИИСтройормаш), 1950, вып. 5. Готлиб Л. И., Станок для поверхностной закалки крупных деталей. Вып. 9. Юшкевич П. М., Термическая обработка червяков токами высокой частоты. Сборник 12, 1951. Готлиб Л. И., Поверхностная закалка крупных деталей.
126. Свойства и термическая обработка транспортного металла, Сборник статей, М., Металлургиздат, 1947.
127. Сидерский Г. Д., Установки для термической обработки деталей при низких температурах, М., ИТЭИН, 1948.
128. Свойства металлов и сплавов (Справочник), пер. с англ., М., Металлургиздат, 1946.
129. Серенсен С. В. и Конторович И. Н., Влияние азотирования на усталость конструкционной стали, М., Оборонгиз, 1947.
130. Солодихин А. Г., Механизация процессов термической обработки. Альбом чертежей, МОНИТОМАШ, 1950.
131. Самохин А. И. и Лагундо в И. Н., Технология термической обработки, 1950.
132. Соколов К. Н., Оборудование термических цехов. Термические печи и изгрев металлов, 1950.
133. Справочник машиностроителя, т. 1 и т. 2.
134. Спивак Э. Д. и Зусман В. Г., Закалка типовых деталей станков с индукционным нагревом токами высокой частоты, М., ЭНИМС, 1947.
135. Стародубов К. Ф., Оборудование термических цехов. Учебное пособие для металлургических вузов, М., Металлургиздат, 1948.
136. Структура и свойства сталей. Отв. ред. В. П. Елютина, М., Металлургиздат, 1949.
137. Сжигание газа в промышленных печах. Сборник статей под ред. и с предисл. Н. Н. Доброхотова, Гостехиздат Украины, 1950.
138. Смирнов А. А., Ремонт теплотехнических контрольно-измерительных приборов. Практическое руководство. Гостехиздат, 1950.
139. Структура и свойства стали. Сборник статей под ред. Е. П. Елютина, Металлургиздат, 1951.
140. Славкин Д. О. и Штейман Е. В., Металлы и сплавы в химическом машиностроении и автомобилестроении. Справочник, 1951.
141. Сварка и термическая обработка металлов. Под общей редакцией К. И. Гостева, Оборонгиз, 1961.
142. Свирчакус и А. Д., Термовые расчеты электрических печей сопротивления (Москва — орден Ленина Энергет. ин-т им. В. М. Молотова), 1951.
143. Структура и свойства термически обработанной стали. Сборник научных работ под ред. Г. И. Погодина-Алексеева, 1951.
144. Тайц Н. Ю., Технология нагрева стали. Металлургиздат, 1950.
145. Термическая обработка. Доклады на Московской конференции по термической обработке, М., ВНИОМАШ, 1948.
146. Технологические, физико-химические и механические свойства стали. Отв. ред. В. П. Елютина, М., Металлургиздат, 1949.
147. Тутов И. Е., Металлопечь, 1951.
148. Торопалова Г. А., Химико-термическая обработка чугунного литья, ИТЭИН, 1946 (1947).
149. Торопалова Г. А., Термическая обработка стали. Учебное пособие для ремесленных училищ, М., Металлургиздат, 1947.
150. Труды Всесоюзной научно-технической конференции по промышленным печам, М.-Л., Госэнергоиздат, 1949.
151. Термическая обработка рельсов. Сборник статей под ред. И. П. Бардина, изд. АН СССР, 1950.
152. Трапезников А. К., Контроль материалов и изделий рентгеновскими лучами, 1951.
153. Тельнов Г. М. и Натализон Е. И., Электронагрев методом сопротивления, 1951.
154. Топоревых Н. И. и Шерман М. Я., Теплотехнические измерительные и регулирующие приборы на металлургических заводах, Металлургиздат, 1951.
155. Термическая обработка металлов. Материалы конференции (УралНИТОМАШ). Под ред. И. Н. Богачева и К. Н. Соколова, 1950.
156. Уманский Я. С. и др., Физические основы металлопечь (Атомное строение сплавов), М., Металлургиздат, 1949.
157. Упрочнение машиностроительных сортов стали поверхностной обработкой. Под ред. И. А. Однита, М., 1947.
158. Уманский Я. С., Трапезников А. К. и Китайгородский А. И., Рентгенография, 1951.
159. Физико-химические методы исследования металлов. Под ред. Н. И. Еремина (ЦНИИМШ), 1950.
160. Филиппов Е. А., Нагревательные индукторы для индукционного нагрева, М., ИТЭИН, 1947.
161. Физико-химические методы исследования металлов. Сборник статей под ред. Н. И. Еремина, 1950.
162. Фазовые превращения в железоуглеродистых сплавах, 1950.
163. Хинский И. С., Скоростное глубокое цинковирование деталей, М., 1948.
164. Чеврюков Ф. Я., Химико-термическая обработка режущего инструмента (Нитроприменение пастами), М., Углехимиздат, 1948.
165. Чернышев И. Е. и Возлинский А. Г., Термическая обработка цементируемых шестерен автомобиля, М., Мин. автортракторной промышленности СССР, 1948.
166. Черков Дмитрий Константинович, Жизнь, деятельность и выдержки из трудов. Общая редакция и вступ. очерк проф. Б. Е. Воловича, 1950.
167. Чернышев В. В. и Иванов В. А., Высокочастотная закалка тракторных деталей, 1950.
168. Чирков В. Г., Газовое цинковирование конструкционных сталей, М., 1949.
169. Шелеляковский К. З. и Рымкин С. Е., Техника применения индукционного нагрева, М., 1949.

170. Штейнберг С. С., Термическая обработка стали. Избранные статьи. Под ред. И. Н. Богачева, В. А. Садовского и Н. П. Кирьяновой, 1950.
171. Шапошников Н. А., Механические испытания металлов. 1951.
172. Юрьев С. Ф., Деформация стали при химико-термической обработке. Под ред. Н. Т. Гудцова, 1950.
173. Юрьев С. Ф., Удельные объемы фаз в мартенситном превращении аустенита, Металлургиздат, 1950.
174. Юм-Розери В., Электроны и металлы (перев. с англ.). Металлургиздат, 1950.
175. Эстрик Б. М., Отечественные установки для приготовления контролируемых атмосфер (Моск. ордена Ленина Энергет. ин-т им. В. М. Молотова), 1951.
176. Электрические промышленные печи. Под ред. А. Д. Свеничанского, Госэнергоиздат, 1948.
177. Энциклопедический спрашочник „Машиностроение“, М., Машгиз, 1946—1949 гг.
- т. 1, книга 1-я, глава III „Химия“;
- т. 1, книга 1-я, глава IV „Техническая механика жидкостей и газов“;
- т. 1, книга 1-я, глава V „Теплота“;
- т. 1, книга 1-я, глава VI „Электротехника“;
- т. 1, книга 2-я, глава V „Прочность“;
- т. 3, глава I „Испытания механических свойств металлов“;
- т. 3, глава II „Испытания хим металлов“;
- т. 3, глава III „Физические методы испытаний“;
- т. 3, глава IV „Технологические пробы“;
- т. 3, глава V „Физико-химические и механические свойства чистых металлов“;
- т. 3, глава VI „Общие свойства и классификация стали“;
- т. 3, глава VII „Конструкционная сталь“;
- т. 3, глава VIII „Инструментальная сталь“;
- т. 3, глава IX „Сталь высоколегированная с особыми свойствами“;
- т. 3, глава X „Состав, свойства и назначение стали“;
- т. 4, глава I „Чугун“;
- т. 4, глава II „Цветные металлы и сплавы“;
- т. 4, глава III „Твердые сплавы“;
- т. 7, глава XI „Технология термической обработки металлов“;
- т. 14, глава IV „Проектирование термических цехов и отделений“.
178. Ясногорский И. З., Нагрев металлов и сплавов в электролите. Мин. автомобильной промышленности СССР, 1949.
179. Ясногорский И. З., Нагрев металлов и сплавов электролите, 1949.
180. Прейскурант на сталь обыкновенного качества, Металлургиздат, 1960.
181. Прейскурант на качественную сталь, Металлургиздат, 1960.
182. Прейскурант на огнеупорные изделия и сырье, Металлургиздат, 1949.
183. Прейскурант № 16 на электрические печи, высокочастотные установки и запасные части к ним. ЦБТН Министерства электропромышленности, 1951.
184. Прейскурант № 6 на контрольно-измерительные приборы. МАП, Оборонгиз, 1951.
185. Прейскурант оптовых цен на оборудование, приборы, литье и поковки. Министерство черной металлургии СССР, Металлургиздат, 1951.

ОГЛАВЛЕНИЕ

Предисловие	3
Глава I. Выдающиеся русские ученые металловеды-термисты	7
Глава II. Физические величины и константы	15
Обозначения и размерности величин	15
Обозначения величин механической прочности	17
Соотношения между размерными числами технической, физической и электрической системами мер	18
Электрические и магнитные величины	19
Шкалы температур	20
Сравнение градусов Цельсия и Фаренгейта	21
Теплоемкость	23
Теплоемкость и теплосодержание газов	23
Тепловые эффекты реакций	26
Тепловые эффекты образования соединений металлических элементов	27
Константы равновесия важнейших химических реакций	28
Свойства некоторых элементов и их соединений, применяемых при термической обработке металлов	30
Упругость водяного пара и содержание влаги в 1 м ³ влажного газа	32
Элементарные ячейки пространственных кристаллических решеток	33
Основные физические характеристики элементарных частиц	33
Возможные значения и сочетания квантовых чисел	34
Периодическая система элементов	35
Физико-химические константы важнейших элементов, образующих металлические сплавы	36
Глава III. Состав, свойства и назначение стали .	38
Диаграмма состояния „железо — углерод”	38
Структуры и их свойства	39
Изотермический распад аустенита	42
Влияние легирующих элементов на свойства стали	47
Зернистость стали	52
Прокаливаемость стали	53
Химический состав, механические свойства и назначение различных марок стали	60
Классификация стали	60
Химический состав и механические свойства углеродистой стали обычного качества	63
Назначение, химический состав, механические свойства и технологические пробы стали обыкновенного качества	64
Химический состав и механические свойства качественной, углеродистой стали	74
Классификация углеродистой стали по механическим свойствам	75
Механические свойства тонко- и толстолистовой углеродистой стали .	76
Химический состав автоматной стали	76
Механические свойства сортовой автоматной стали	76
Отливки фасонные из углеродистой стали	77

Химический состав конструкционной легированной стали	77
Нормы твердости и механические свойства легированной стали	79
Механические свойства сердцевины цементуемой стали после закалки и низкого отпуска	81
Классификация легированной стали по механическим свойствам	82
Механические свойства калиброванной холоднотянутой стали	83
Химический состав и нормы твердости шарикоподшипниковой стали	84
Характеристика стальной ленты и проволоки, применяемой для изготовления деталей шарико-роликоподшипников	85
Химический состав рессорно-пружинной стали	86
Нормы твердости и механические свойства рессорно-пружинной стали	87
Химический состав инструментальной легированной стали	88
Химический состав и твердость в закаленном состоянии инструментальной углеродистой стали	90
Химический состав инструментальной быстрорежущей стали	90
Назначение марок стали для изготовления отдельных видов инструмента	91
Химический состав стали со специальными физическими свойствами	93
Отливки фасонные из высокомарганцевистой стали	93
Химический состав высоколегированной нержавеющей, кислотостойкой и жароупорной стали	94
Механические свойства некоторых нержавеющих, окалиностойких и жаропрочных марок стали	96
Механические свойства некоторых нержавеющих, окалиностойких и жаропрочных марок стали при низких и повышенных температурах	97
Термическая обработка и механические свойства нержавеющей и кислотостойкой листовой стали	98
Характеристика изделий из нержавеющей кислотоупорной и жаропрочной стали	99
Основные свойства и примерное назначение высоколегированной нержавеющей, кислотостойкой, огнестойкой и жаропрочной стали	100
Физические свойства стали	102
Чугун. Отливки из серого чугуна	110
Отливки из антифрикционного серого чугуна	111
Отливки из ковкого чугуна	111
Глава IV. Технология термической обработки деталей машин и инструментов	112
Физические основы нагрева и охлаждения стали	112
Физические закономерности при нагреве, выдержке и охлаждении металла	113
Характеристика процессов термической обработки стальных деталей и инструментов	115
Процессы обусловливающие превращения во всем объеме нагреваемой детали (изделия)	116
Отжиг рекристаллизационный	116
Отжиг	116
Закалка	117
Закалочные среды	131
Отпуск	136
Низкотемпературная обработка	137
Старение	139
Процессы химико-термической обработки	139
Цементация	140
Азотирование	150
Цианирование	155
Характеристика процессов диффузионной металлизации	161
Контролируемые атмосферы	164
Рекомендуемые режимы термической обработки	172
Схемы прохождения деталей по цехам	172
Схемы технологических процессов термической обработки	173

Типовые режимы термической обработки наиболее употребительных марок конструкционной стали	173
Типовые режимы термической обработки инструментальной стали	177
Технология термической обработки чугуна	180
Режимы отжига для снятия внутренних напряжений	186
Влияние режима отжига на остаточные напряжения	187
Влияние режима термической обработки на длительность графитизации чугуна	187
Содержание связанного углерода	187
Типовые режимы термической обработки коленчатых валов двигателей внутреннего сгорания	188
Типовые режимы термической обработки клапанов двигателей внутреннего сгорания	189
Типовые режимы термической обработки распределительных валов двигателей внутреннего сгорания	190
Типовые режимы термической обработки шатунов двигателей внутреннего сгорания	190
Типовые режимы термической обработки шестерен коробок скоростей, редукторов, демультипликаторов, дифференциалов	191
Типовые режимы термической обработки валов и осей	192
Типовые режимы термической обработки крепежных деталей	193
Типовые режимы термической обработки рессор и пружин	194
Типовые режимы термической обработки автомобильных деталей	194
Режим закалки автомобильных деталей при электронагреве т. в. ч. с охлаждением в воде	198
Режим термической обработки деталей шарико- и ролиководшипников	200
Типовые режимы термической обработки деталей станков	204
Условия поверхностной закалки с электронагревом т. в. ч. шестерен станков с модулем 3,25–4,5, изготавливаемых из стали марки 45	205
Рекомендуемые марки стали, технические условия и схемы термической обработки деталей сельскохозяйственных машин	206
Типовые режимы термической обработки инструментов из быстрорежущей стали	209
Типовые режимы термической обработки режущего и измерительного инструмента из легированной стали	209
Формулы (практические) для определения продолжительности подогрева под закалку различных инструментов	210
Типовые режимы термической обработки инструментов деформирующих металл давлением	211
Типовые режимы термической обработки стали, применяемой для пресс-форм литья под давлением	212
Технологический процесс катодного травления стальных деталей	212
Контроль твердости	213
Соотношение чисел твердосчи, определенных различными методами	215
Удельный расход материалов, применяемых при термической обработке	216
Глава V. Печи, нагревательные установки, приборы теплового контроля	
Печи	218
I. Классификация термических печей по источникам тепловой энергии и способам ее использования	218
II. Классификация термических печей по конструктивным особенностям и способам механизации	218
III. Классификация термических печей по особенностям рабочего объема и применению внешних сред	220
Классификация термических печей по назначению и рекомендация их для различных процессов термической обработки	221
Техническая характеристика электропечей	222
Техническая характеристика серии конвейерных закалочно-отпускных электрических печей	223

Техническая характеристика толкательных закалочно-отпусочных электрических печей	224
Техническая характеристика сухих трансформаторов, предназначенных для питания электрических печей	225
Техническая характеристика закалочных баков	226
Техническая характеристика моечных машин	226
Характеристика щитов управления	227
Химический состав и свойства металлических электронагревателей	227
Химический состав, свойства и размеры карборундовых электронагревателей	229
Характеристика карборундовых нагревателей для печей Г30 и Г50 преста "Электропечь"	229
Удельное электросопротивление карборундовых электронагревателей в % в зависимости от температуры	229
Механические свойства и удельное электросопротивление никромов в зависимости от температуры	230
Расчет металлических нагревательных электросопротивлений	230
Расчет неметаллических нагревательных элементов	232
Формулы электрического сопротивления и потребляемой мощности печей для основных схем включения нагревательных элементов	232
Размеры типовых печей периодического действия	233
Техническая характеристика печей-ванн	233
Удельная производительность печей для различных процессов термической обработки	233
Размеры рабочего пространства наиболее распространенных печей	234
Расчет производительности и количества оборудования	235
Вспомогательное время на переналадку режима печей	235
Фонд времени работы оборудования	236
Тепловой расчет печей	236
Физические свойства некоторых материалов	238
Степень черноты полного нормального излучения для некоторых материалов	239
Тепловые параметры жидкостей	239
Коэффициент теплопроводности жидкостей	240
Коэффициент теплопроводности газов при атмосферном давлении	240
Тепловая характеристика термических печей (к. п. д.)	240
Топливо	241
Теплотворность твердого и жидкого топлива	241
Характеристика газообразного топлива	243
Средний состав продуктов горения газообразного топлива при $\alpha = 1,0$ в %	243
Методика определения расхода топлива и электроэнергии	244
Системы сжигания различных видов топлива	245
Техническая характеристика форсунок	246
Техническая характеристика газовых горелок пламенного горения низкого давления	247
Горелки поверхностного беспламенного горения	247
Размеры газовых горелок и туннелей системы беспламенного сжигания	248
Размеры и производительность инспираторов смесителей высокого давления	248
Свойства мазута-топлива	249
Коэффициент для пересчета различных видов топлива на условное $Q_n = 7000 \text{ ккал/кг}$	249
Пределы и температуры взрываемости (вспламенения) газовоздушных смесей и некоторых жидких и твердых видов топлива	249
Предельно-допустимое содержание некоторых ядовитых газов, паров и пыли в воздухе производственных помещений	250
Материалы	251
Характеристика жароупорной стали, применяемой для деталей печей	251

Основные свойства огнеупоров	252
Физические свойства шамотного кирпича	253
Размеры нормального шамотного кирпича	253
Форма и размеры шамотного кирпича	254
Основные свойства пористых огнеупорных изделий (легковесов)	257
Характеристика теплоизоляционных материалов	257
Нагревательные установки	258
Характеристика контактных закалочных установок	258
Основная характеристика генераторов повышенной и высокой частоты	258
Параметры машинных генераторов	260
Характеристика машинных высокочастотных генераторов	261
Техническая характеристика высокочастотных ламповых генераторов	261
Характеристика конденсаторных батарей для включения в колебательный контур высокочастотного машинного генератора	262
Параметры бумажно-масляных контурных конденсаторов с водяным охлаждением	262
Характеристика щитов управления машинными высокочастотными генераторами	262
Характеристика мощных генераторных ламп с водяным охлаждением анода	263
Характеристика газотронов высокочастотных установок	264
Приборы теплового контроля	265
Характеристика термометров сопротивления	265
Характеристика термопар	266
Характеристика термометров	268
Характеристика оптических и радиационных пирометров	270
Техническая характеристика милливольтметров ПГУ, ГНЗС, ГНКП, ГПКП и МПБ-46	270
Потенциометры и мосты электронные	271
Техническая характеристика гальванометров, логометров потенциометров	272
Электрические газоанализаторы	275
Приложение. Перечень основных действующих государственных общесоюзных стандартов на сталь	276
Литература и источники	278

Технический редактор *Т. Ф. Соколова*
Корректор *Л. Ф. Никифорова*
Обложка художника *А. Л. Бельского*

Сдано в производство 11/1 1952 г. Подписано
к печати 8/VII 1952 г. Т-05813 Тираж 20 000 экз.
Печ. л. 18,38 (2 вкл.) Уч.-изд. л. 30. Бум. л. 9,19
Формат 60×92^{1/16}. Номинал — по прейскуранту
1952 г. Заказ № 1880

1-я типография Машгиза,
Ленинград, ул. Монсисенко, 10



Замеченные опечатки

Стр.	Строка	Напечатано	Должно быть	По чьей вине
23	Правая колонка, 19—20-я сверху	R — газовая постоянная в $\text{кгм}/\text{кг} \cdot ^\circ\text{C}$	R — газовая постоянная в $\text{кгм}/\text{кг} \cdot ^\circ\text{C}$	Корр.
30	17-я сверху, 2-я колонка	K_2CO_2	K_2CO_3	
121	1-я сверху, 2-я колонка	на фиг. 61	на фиг. 6	Тип.
235	1-я снизу, 1-я таблица, 2-я колонка	$n_\phi = \frac{L_\phi}{k}$	$\frac{n_\phi}{k}$	Корр.
262	4-я колонка, 2-я таблица	Частица	Частота	

А. А. Шмаков, „Справочник термиста“. Зак. 1880.

